



INSTITUTO
NACIONAL DE
SALUD



PERÚ

Ministerio
de Salud

ANUARIO ESTADÍSTICO

2021

LIMA - PERU



MINISTERIO DE SALUD DEL PERÚ

MINISTRO DE SALUD
Jorge Antonio López Peña

VICEMINISTRO DE SALUD PÚBLICA
Jorge Antonio López Peña (e)

**VICEMINISTRO DE PRESTACIONES Y
ASEGURAMIENTO EN SALUD (E)**
Augusto Magno Tarazona Fernández

INSTITUTO NACIONAL DE SALUD
Jefe Institucional
Víctor Javier Suárez Moreno

Subjefe Institucional
Darwin Emilio Hidalgo Salas

ÓRGANOS DE LÍNEA

Centro Nacional de Alimentación y Nutrición
Director General
Walter Vílchez Dávila

Centro Nacional de Control de Calidad
Director General
Luis Enrique Moreno Exebio

Centro Nacional de Productos Biológicos
Directora General
Noemí Silvia Sarmiento Herrera

Centro Nacional de Salud Intercultural
Director General
Gualberto Segovia Meza

**Centro Nacional de Salud Ocupacional y
Protección del Ambiente para la Salud**
Director General
Carlos Huamaní Pacsi

Centro Nacional de Salud Pública
Director General
Luis Fernando Donaires Toscano

ÓRGANOS DE ASESORAMIENTO

Oficina General de Asesoría Técnica
Director General
Jorge Augusto Ayo Wong

Oficina General de Asesoría Jurídica
Director General
Alcides Pelayo Chávarry Correa

**Oficina General de Investigación y
Transferencia Tecnológica**
Director General
Leda Yamilée Hurtado Roca

ÓRGANOS DE APOYO

Oficina General de Administración
Directora General (E)
Edmundo David Monteverde Valverde

Oficina General de Información y Sistemas
Director General
Leonardo Ronyald Rojas Mezarina

Catalogación hecha por el Centro de Información y Documentación Científica del INS

Anuario estadístico 2021 / compilado por Jenny Milagros Sánchez Silva; Angie Emily Gabriel Maldonado. -- Lima: Ministerio de Salud, Instituto Nacional de Salud, 2021.

323 p. : il., graf., tab., map.

1. LABORATORIOS/ estadística & datos numéricos 2. ACADEMIAS E INSTITUTOS/estadística & datos numéricos 3. PERÚ

I. Sánchez Silva, Jenny Milagros, comp.

II. Gabriel Maldonado, Angie Emily, comp.

III. Perú. Ministerio de Salud

IV. Instituto Nacional de Salud (Perú).

ISSN: 1993-5706

Hecho el Depósito Legal en la Biblioteca Nacional del Perú N° 2007-01159

Abril, 2021

Diseño y diagramación: Rafael Alberto Arévalo Baila

© Instituto Nacional de Salud, 2021

Cápac Yupanqui 1400, Jesús María, Lima, Perú

Teléfono: (511) 748-1111

Correo electrónico: postmaster@ins.gob.pe

Página Web: www.ins.gob.pe

© Ministerio de Salud, 2021

Av. Salaverry cuadra 8 s/n, Jesús María, Lima, Perú

Teléfono: (511) 315-6600

Página web: www.minsa.gob.pe

Reproducido por:

DESIGNER EYE, de Segundo Eliades Moreno Pacheco

Avenida Argentina 144, stand 1281, sótano 1 – Cercado de Lima

Se terminó de reproducir en abril de 2021

La versión electrónica de este documento se encuentra disponible en forma gratuita en www.ins.gob.pe

Se autoriza su reproducción total o parcial, siempre y cuando se cite la fuente.

Contenido

PRESENTACIÓN	17
INTRODUCCIÓN	18
ASPECTOS GENERALES	27
CENTRO NACIONAL DE SALUD PÚBLICA	
LABORATORIO DE ANATOMÍA PATOLÓGICA	
Cuadro 1.1. Muestras procesadas en el Laboratorio de Anatomía Patológica por tipo de examen según mes de ingreso al Instituto Nacional de Salud (INS), 2020	50
Cuadro 1.2. Muestras procesadas en el Laboratorio de Anatomía Patológica por tipo de examen según DISA - DIRESA/ otras instituciones remitentes al Instituto Nacional de Salud (INS), 2020	50
LABORATORIO DE BACTERIAS DE TRANSMISIÓN SEXUAL (BTS)	
Cuadro 1.3. Muestras procesadas para el diagnóstico de clamidiasis por tipo de examen según mes de ingreso al Instituto Nacional de Salud (INS), 2020	51
Cuadro 1.4. Muestras procesadas para el diagnóstico de clamidiasis por tipo de examen según DISA - DIRESA/ otras instituciones remitentes al Instituto Nacional de Salud (INS), 2020	51
Cuadro 1.5. Muestras procesadas para el diagnóstico de Infección Gonocócicas (gonorrea) por tipo de examen según mes de ingreso al Instituto Nacional de Salud (INS), 2020	52
Cuadro 1.6. Muestras procesadas para el diagnóstico de Infección Gonocócicas (gonorrea) por tipo de examen según DISA - DIRESA/ otras instituciones remitentes al Instituto Nacional de Salud (INS), 2020	52
Cuadro 1.7. Muestras procesadas para el diagnóstico de sífilis por tipo de examen según mes de ingreso al Instituto Nacional de Salud (INS), 2020	53
Cuadro 1.8. Muestras procesadas para el diagnóstico de sífilis por tipo de examen según DISA - DIRESA/ otras instituciones remitentes al Instituto Nacional de Salud (INS), 2020	54
Mapa 1.1. Distribución de muestras positivas para diagnóstico de sífilis según departamentos, Instituto Nacional de Salud (INS), 2020	55
Gráfico 1.1. Tendencia de muestras procesadas y positivas para el diagnóstico de sífilis, Instituto Nacional de Salud (INS), 2007-2020	56
LABORATORIO DE CHAGAS	
Cuadro 1.9. Muestras procesadas para el diagnóstico de Enfermedad de Chagas o Tripanosomiosis Americana por tipo de examen según mes de ingreso al Instituto Nacional de Salud (INS), 2020	57
Gráfico 1.2. Enfermedad de Chagas: muestras positivas por tipo de examen reportadas por el Instituto Nacional de Salud (INS) según mes, 2020	58
Cuadro 1.10. Muestras procesadas para el diagnóstico de Enfermedad de Chagas o Tripanosomiosis Americana por tipo de examen según DISA - DIRESA/ otras instituciones remitentes al Instituto Nacional de Salud (INS), 2020	59
Mapa 1.2. Distribución de muestras positivas para diagnóstico de enfermedad de Chagas según departamentos, INS, 2020	60
LABORATORIO DE ENTEROPATÓGENOS	
Cuadro 1.11. Muestras procesadas para el diagnóstico de naegleriosis y acantamebiosis (amebiasis de vida libre) por tipo de examen según mes de ingreso al Instituto Nacional de Salud (INS), 2020	61
Cuadro 1.12. Muestras procesadas para el diagnóstico de naegleriosis y acantamebiosis (amebiasis de vida libre) por tipo de examen según DISA - DIRESA/ otras instituciones remitentes al Instituto Nacional de Salud (INS), 2020	61
Cuadro 1.13. Muestras procesadas para el diagnóstico de enfermedades diarreicas agudas - EDA (enteropatógenos) por tipo de	

examen según mes de ingreso al Instituto Nacional de Salud (INS), 2020	62
Cuadro 1.14. Muestras procesadas para el diagnóstico de enfermedades diarreicas agudas - EDA (enteropatógenos) por tipo de examen según DISA - DIRESA/ otras instituciones remitentes al Instituto Nacional de Salud (INS), 2020.....	63
Cuadro 1.15. Muestras procesadas para el diagnóstico de infecciones parasitarias- enteroparásitos por tipo de examen según mes de ingreso al Instituto Nacional de Salud (INS), 2020.....	64
Cuadro 1.16. Muestras procesadas para el diagnóstico de infecciones parasitarias-enteroparásitos por tipo de examen según DISA - DIRESA/ otras instituciones remitentes al Instituto Nacional de Salud (INS), 2020.....	64
LABORATORIO DE HEPATITIS	
Cuadro 1.17. Muestras procesadas para el diagnóstico de hepatitis viral por tipo de examen según mes de ingreso al Instituto Nacional de Salud (INS), 2020.....	65
Cuadro 1.18. Muestras procesadas para el diagnóstico de hepatitis viral por tipo de examen según DISA - DIRESA/ otras instituciones remitentes al Instituto Nacional de Salud (INS), 2020.....	66
Mapa 1.3. Distribución de muestras positivas para diagnóstico de hepatitis b según departamentos, Instituto Nacional de Salud (INS), 2020	68
Cuadro 1.19. Muestras procesadas para el diagnóstico de infección por enterovirus por tipo de examen según mes de ingreso al Instituto Nacional de Salud (INS), 2020	69
Cuadro 1.20. Muestras procesadas para el diagnóstico de infección por enterovirus por tipo de examen según DISA - DIRESA/ otras instituciones remitentes al Instituto Nacional de Salud (INS), 2020.....	69
Cuadro 1.21. Muestras procesadas para el diagnóstico de parálisis flácida por tipo de examen según mes de ingreso al Instituto Nacional de Salud (INS), 2020	70
Cuadro 1.22. Muestras procesadas para el diagnóstico de parálisis flácida por tipo de examen según DISA - DIRESA/ otras instituciones remitentes al Instituto Nacional de Salud (INS), 2020.....	70
Gráfico 1.3. Tendencia de muestras procesadas y positivas para el diagnóstico de parálisis flácida, Instituto Nacional de Salud (INS), 2007-2020	71
Cuadro 1.23. Muestras procesadas para el diagnóstico de rotavirus por tipo de examen según mes de ingreso al Instituto Nacional de Salud (INS), 2020.....	71
Cuadro 1.24. Muestras procesadas para el diagnóstico de rotavirus por tipo de examen según DISA - DIRESA/ otras instituciones remitentes al Instituto Nacional de Salud (INS), 2020.....	72
LABORATORIO DE IRAS E IIH	
Cuadro 1.25 Muestras procesadas para el diagnóstico de difteria por tipo de examen según mes de ingreso al Instituto Nacional de Salud, 2020	73
Cuadro 1.26 Muestras procesadas para el diagnóstico de difteria por tipo de examen según DISA - DIRESA / otras instituciones remitentes al Instituto Nacional de Salud, 2020	73
Cuadro 1.27 Muestras procesadas para el diagnóstico de meningitis bacteriana por tipo de examen según mes de ingreso al Instituto Nacional de Salud (INS), 2020	74
Cuadro 1.28 Muestras procesadas para el diagnóstico de meningitis bacteriana por tipo de examen según DISA/DIRESA / otras instituciones remitentes al Instituto Nacional de Salud (INS), 2020.....	75
Cuadro 1.29 Muestras procesadas para el diagnóstico de tos ferina por tipo de examen según mes de ingreso al Instituto Nacional de Salud (INS), 2020.....	75
Cuadro 1.30 Muestras procesadas para el diagnóstico de tos ferina por tipo de examen según DISA/DIRESA / otras instituciones remitentes al Instituto Nacional de Salud (INS), 2020.....	76
Gráfico 1.4 Tos ferina: muestras positivas a RT-PCR reportados mensualmente por el INS, 2020.....	77
Mapa 1.4 Distribución de muestras positivas para diagnóstico de tos ferina según departamentos, INS, 2020.....	78
Gráfico 1.5 Tendencia de muestras procesadas y positivas para el diagnóstico de tos ferina, INS, 2006-2020	79

LABORATORIO DE IHH

Cuadro 1.31 Bacterias aisladas de infecciones intrahospitalarias mediante los metodos de identificación confirmatoria según mes de ingreso al Instituto Nacional de Salud, 2020	80
Cuadro 1.32 Bacterias aisladas de infecciones intrahospitalarias mediante los metodos de identificación confirmatoria según DISA - DIRESA/ otras instituciones remitentes al Instituto Nacional de Salud, 2020	81
Cuadro 1.33 Resistencia del microorganismo Acinetobacter baumannii, según metodo de susceptibilidad y gen de resistencia realizadas por mes en el Instituto Nacional de Salud, 2020.....	82
Mapa 1.5 Distribución del microorganismo acinetobacter baumannii, según regiones remitentes al Instituto Nacional de Salud, 2020	84
Cuadro 1.34 Resistencia del microorganismo Acinetobacter del complejo baumannii/calcoaceticus, según metodo de susceptibilidad realizadas por mes en el Instituto Nacional de Salud, 2020.....	85
Mapa 1.6 Distribución del microorganismo acinetobacter del complejo baumannii/calcoaceticus, según regiones remitentes al Instituto Nacional de Salud, 2020	87
Cuadro 1.35 Resistencia del microorganismo Enterococcus avium, según metodo de susceptibilidad realizadas por mes en el Instituto Nacional de Salud, 2020.....	88
Mapa 1.7 Distribución del microorganismo Enterococcus avium, según regiones remitentes al Instituto Nacional de Salud, 2020 ...	89
Cuadro 1.36 Resistencia del microorganismo Enterococcus faecalis, según metodo de susceptibilidad y gen de resistencia realizadas por mes en el Instituto Nacional de Salud, 2020.....	90
Mapa 1.8 Distribución del microorganismo enterococcus faecalis, según regiones remitentes al Instituto Nacional de Salud, 2020 .	92
Cuadro 1.37 Resistencia del microorganismo Enterococcus faecium, según metodo de susceptibilidad y gen de resistencia realizadas por mes en el Instituto Nacional de Salud, 2020.....	93
Mapa 1.9 Distribución del microorganismo enterococcus faecalis, según regiones remitentes al Instituto Nacional de Salud, 2020 .	94
Cuadro 1.38 Resistencia del microorganismo Escherichia coli, según metodo de susceptibilidad y gen de resistencia realizadas por mes en el Instituto Nacional de Salud, 2020	95
Mapa 1.10 Distribución del microorganismo Escherichia coli, según regiones remitentes al Instituto Nacional de Salud, 2020	96
Cuadro 1.39 Resistencia del microorganismo Klebsiella pneumoniae, según metodo de susceptibilidad y gen de resistencia realizadas por mes en el Instituto Nacional de Salud, 2020.....	97
Mapa 1.11 Distribución del microorganismo klebsiella pneumoniae, según regiones remitentes al Instituto Nacional de Salud, 2020 ...	100
Cuadro 1.40 Resistencia del microorganismo Pseudomonas aeruginosa, según metodo de susceptibilidad y gen de resistencia realizadas por mes en el Instituto Nacional de Salud, 2020.....	101
Mapa 1.12 Distribución del microorganismo pseudomonas aeruginosa, según regiones remitentes al Instituto Nacional de Salud, 2020 xxx	102
Cuadro 1.41 Resistencia del microorganismo Staphylococcus aureus, según metodo de susceptibilidad realizadas por mes en el Instituto Nacional de Salud, 2020.....	103
Mapa 1.13 Distribución del microorganismo Staphylococcus aureus, según regiones remitentes al Instituto Nacional de Salud, 2020 xxx	104

LABORATORIO DE LEISHMANIA

Cuadro 1.42. Muestras procesadas para el diagnóstico de leishmaniasis por tipo de examen según mes de ingreso al Instituto Nacional de Salud (INS), 2020	105
Cuadro 1.43. Muestras procesadas para el diagnóstico de leishmaniasis por tipo de examen según DISA - DIRESA/ otras instituciones remitentes al Instituto Nacional de Salud (INS), 2020	106
Cuadro 1.43. Muestras procesadas para el diagnóstico de leishmaniasis por tipo de examen según DISA - DIRESA/ otras instituciones remitentes al Instituto Nacional de Salud (INS), 2020	107
Mapa 1.14 Distribución de muestras positivas para diagnóstico de leishmaniasis según departamentos, INS 2020	108

Gráfico 1.6. Tendencia de muestras procesadas y positivas para el diagnóstico de leishmaniasis, Instituto Nacional de Salud (INS), 2007–2020.....	109
---	-----

LABORATORIO DE MALARIA

Cuadro 1.44. Muestras procesadas para el diagnóstico de malaria (paludismo) por tipo de examen según mes de ingreso al Instituto Nacional de Salud (INS), 2020.....	110
Cuadro 1.45. Muestras procesadas para el diagnóstico de malaria (paludismo) por tipo de examen según DISA-DIRESA/ otras instituciones remitentes al Instituto Nacional de Salud (INS), 2020.....	110
Mapa 1.15 Distribución de muestras positivas para diagnóstico de malaria (paludismo) según departamentos, INS, 2020.....	111
Gráfico 1.7. Tendencia de muestras procesadas y positivas para el diagnóstico de malaria (paludismo), Instituto Nacional de Salud (INS), 2008-2020.....	112

LABORATORIO DE METAXÉNICAS BACTERIANAS

Cuadro 1.46. Muestras procesadas para el diagnóstico de enfermedad de arañazo de gato por tipo de examen según mes de ingreso al Instituto Nacional de Salud (INS), 2020.....	113
Cuadro 1.47. Muestras procesadas para el diagnóstico de enfermedad de arañazo de gato por tipo de examen según DISA - DIRESA/ otras instituciones remitentes al Instituto Nacional de Salud (INS), 2020.....	114
Cuadro 1.48. Muestras procesadas para el diagnóstico de enfermedad de Carrión (bartonelosis) por tipo de examen según mes de ingreso al Instituto Nacional de Salud (INS), 2020.....	115
Cuadro 1.49. Muestras procesadas para el diagnóstico de enfermedad de Carrión (bartonelosis) por tipo de examen según DISA - DIRESA/ otras instituciones remitentes al Instituto Nacional de Salud (INS), 2020.....	116
Mapa 1.16 Distribución de muestras positivas para diagnóstico de enfermedad de Carrión según departamentos, INS, 2020.....	117
Cuadro 1.50. Muestras procesadas para el diagnóstico de rickettsias en humanos por tipo de examen según mes de ingreso al Instituto Nacional de Salud (INS), 2020.....	118
Cuadro 1.51. Muestras procesadas para el diagnóstico de rickettsias en humanos por tipo de examen según DISA - DIRESA/ otras instituciones remitentes al Instituto Nacional de Salud (INS), 2020.....	119

LABORATORIO DE METAXÉNICAS VIRALES

Cuadro 1.52. Muestras procesadas para el diagnóstico de dengue por tipo de examen según mes de ingreso al Instituto Nacional de Salud (INS), 2020.....	120
Cuadro 1.53. Muestras procesadas para el diagnóstico de dengue por tipo de examen según DISA - DIRESA / otras instituciones remitentes al Instituto Nacional de Salud (INS), 2020.....	121
Gráfico 1.8 Distribución de muestras positivas para diagnóstico de dengue, INS, 2020.....	122
Mapa 1.17 Distribución de los serotipos para dengue según departamentos, INS, 2020.....	123
Mapa 1.18 Distribución de muestras positivas para diagnóstico de dengue según departamentos, INS, 2020.....	124
Cuadro 1.54. Muestras procesadas para el diagnóstico de encéfalo equino-animal por tipo de examen según mes de ingreso al Instituto Nacional de Salud (INS), 2020.....	125
Cuadro 1.55. Muestras procesadas para el diagnóstico de encéfalo equino-animal por tipo de examen según DISA - DIRESA/ otras instituciones remitentes al Instituto Nacional de Salud (INS), 2020.....	125
Cuadro 1.56. Muestras procesadas para el diagnóstico de encéfalo equino-humanos por tipo de examen según mes de ingreso al Instituto Nacional de Salud (INS), 2020.....	126
Cuadro 1.57. Muestras procesadas para el diagnóstico de encéfalo equino-humanos por tipo de examen según DISA - DIRESA/ otras instituciones remitentes al Instituto Nacional de Salud (INS), 2020.....	126
Cuadro 1.58. Muestras procesadas para el diagnóstico de fiebre amarilla por tipo de examen según mes de ingreso al Instituto Nacional de Salud (INS), 2020.....	127
Cuadro 1.59. Muestras procesadas para el diagnóstico de fiebre amarilla por tipo de examen según DISA - DIRESA/ otras instituciones remitentes al Instituto Nacional de Salud (INS), 2020.....	128
Mapa 1.19. Distribución de muestras positivas para diagnóstico de fiebre amarilla según regiones, INS, 2020.....	129

Cuadro 1.60. Muestras procesadas para el diagnóstico de fiebre de chikungunya por tipo de examen según mes de ingreso al Instituto Nacional de Salud (INS), 2020	130
Cuadro 1.61. Muestras procesadas para el diagnóstico de fiebre de chikungunya por tipo de examen según DISA - DIRESA/ otras instituciones remitentes al Instituto Nacional de Salud (INS), 2020	131
Cuadro 1.62. Muestras procesadas para el diagnóstico de fiebre de oropuche por tipo de examen según mes de ingreso al Instituto Nacional de Salud (INS), 2020	132
Cuadro 1.63. Muestras procesadas para el diagnóstico de fiebre de oropuche por tipo de examen según DISA - DIRESA/ otras instituciones remitentes al Instituto Nacional de Salud (INS), 2020	133
Cuadro 1.64. Muestras procesadas para el diagnóstico de fiebre de mayaro por tipo de examen según mes de ingreso al Instituto Nacional de Salud (INS), 2020	134
Cuadro 1.65. Muestras procesadas para el diagnóstico de fiebre de mayaro por tipo de examen según DISA-DIRESA/ otras instituciones remitentes al Instituto Nacional de Salud (INS), 2020	135
Cuadro 1.66. Muestras procesadas para el diagnóstico de infección por virus Hanta por tipo de examen según mes de ingreso al Instituto Nacional de Salud (INS), 2020	136
Cuadro 1.67. Muestras procesadas para el diagnóstico de infección por virus Hanta por tipo de examen según DISA - DIRESA / otras instituciones remitentes al Instituto Nacional de Salud (INS), 2020	136
Cuadro 1.68. Muestras procesadas para el diagnóstico de virus de Zika por tipo de examen según mes de ingreso al Instituto Nacional de Salud (INS), 2020	137
Cuadro 1.69. Muestras procesadas para el diagnóstico de virus de Zika por tipo de examen según DISA - DIRESA/ otras instituciones remitentes al Instituto Nacional de Salud (INS), 2020	138
Cuadro 1.70. Muestras procesadas para el diagnóstico de lepra por tipo de examen según mes de ingreso al Instituto Nacional de Salud (INS), 2020	139
Cuadro 1.71. Muestras procesadas para el diagnóstico de lepra por tipo de examen según DISA - DIRESA/ otras instituciones remitentes al Instituto Nacional de Salud (INS), 2020	139
LABORATORIO DE MICOBACTERIAS	
Cuadro 1.72. Muestras procesadas para el diagnóstico de tuberculosis por tipo de examen según mes de ingreso al Instituto Nacional de Salud (INS), 2020	140
Cuadro 1.73. Muestras procesadas para el diagnóstico de tuberculosis por tipo de examen según DISA - DIRESA/ otras instituciones remitentes al Instituto Nacional de Salud (INS), 2020	141
Mapa 1.20 Distribución de muestras positivas para diagnóstico de tuberculosis según departamentos, INS, 2020	142
Gráfico 1.9. Pirámide de pacientes con muestras positivas para tuberculosis, Instituto Nacional de Salud (INS), 2020	143
Gráfico 1.10. Tendencia de muestras procesadas y positivas para el diagnóstico de tuberculosis, Instituto Nacional de Salud (INS), 2007-2020	143
LABORATORIO DE MICOLOGÍA	
Cuadro 1.74. Muestras procesadas para el diagnóstico de micosis producidas por hongos por tipo de examen según mes de ingreso al Instituto Nacional de Salud (INS), 2020	144
Cuadro 1.75. Muestras procesadas para el diagnóstico de micosis producidas por hongos según DISA - DIRESA/ otras instituciones remitentes al Instituto Nacional de Salud (INS), 2020	145
Mapa 1.21 Distribución de muestras positivas para diagnóstico de micosis producidas por hongos según departamentos, INS, 2020 .	146
Gráfico 1.11. Tendencia de muestras procesadas y positivas para el diagnóstico de micosis, Instituto Nacional de Salud (INS), 2005-2020	147
Cuadro 1.76. Muestras procesadas para el diagnóstico de Epstein Barr por tipo de examen según mes de ingreso al Instituto Nacional de Salud (INS), 2020	148
Cuadro 1.77. Muestras procesadas para el diagnóstico de Epstein Barr por tipo de examen según DISA - DIRESA / otras instituciones remitentes al Instituto Nacional de Salud (INS), 2020	148

LABORATORIO DE SARAMPIÓN Y RUBÉOLA

Cuadro 1.78. Muestras procesadas para el diagnóstico de herpes I por tipo de examen según mes de ingreso al Instituto Nacional de Salud (INS), 2020	149
Cuadro 1.79. Muestras procesadas para el diagnóstico de herpes I por tipo de examen según DISA - DIRESA/ otras instituciones remitentes al Instituto Nacional de Salud (INS), 2020	150
Cuadro 1.80. Muestras procesadas para el diagnóstico de herpes II por tipo de examen según mes de ingreso al Instituto Nacional de Salud (INS), 2020	151
Cuadro 1.81. Muestras procesadas para el diagnóstico de herpes II por tipo de examen según DISA - DIRESA/ otras instituciones remitentes al Instituto Nacional de Salud (INS), 2020	152
Cuadro 1.82. Muestras procesadas para el diagnóstico de parvovirus b19 por tipo de examen según mes de ingreso al Instituto Nacional de Salud (INS), 2020	153
Cuadro 1.83 Muestras procesadas para el diagnóstico de parvovirus b19 por tipo de examen según DISA - DIRESA/ otras instituciones remitentes al Instituto Nacional de Salud (INS), 2020	153
Cuadro 1.84. Muestras procesadas para el diagnóstico de rubéola por tipo de examen según mes de ingreso al Instituto Nacional de Salud (INS), 2020	154
Cuadro 1.85. Muestras procesadas para el diagnóstico de rubéola por tipo de examen según DISA - DIRESA/ otras instituciones remitentes al Instituto Nacional de Salud (INS), 2020	155
Gráfico 1.12. Tendencia de muestras procesadas y positivas para el diagnóstico de rubeóla, Instituto Nacional de Salud (INS), 2005-2020	156
Cuadro 1.86. Muestras procesadas para el diagnóstico de sarampión por tipo de examen según mes de ingreso al Instituto Nacional de Salud (INS), 2020	156
Cuadro 1.87. Muestras procesadas para el diagnóstico de sarampión por tipo de examen según DISA - DIRESA/ otras instituciones remitentes al Instituto Nacional de Salud (INS), 2020	157
Gráfico 1.13. Tendencia de muestras procesadas y positivas para el diagnóstico de sarampión, Instituto Nacional de Salud (INS), 2006-2020	158
Cuadro 1.88. Muestras procesadas para el diagnóstico de varicela por tipo de examen según mes de ingreso al Instituto Nacional de Salud (INS), 2020	158
Cuadro 1.89. Muestras procesadas para el diagnóstico de varicela por tipo de examen según DISA - DIRESA/ otras instituciones remitentes al Instituto Nacional de Salud (INS), 2020	159
 LABORATORIO DE VTS - VIH/SIDA	
Cuadro 1.90. Muestras procesadas para el diagnóstico de infección por citomegalovirus por tipo de examen según mes de ingreso al Instituto Nacional de Salud (INS), 2020	160
Cuadro 1.91. Muestras procesadas para el diagnóstico de infección por citomegalovirus por tipo de examen según DISA - DIRESA/ otras instituciones remitentes al Instituto Nacional de Salud (INS), 2020	161
Cuadro 1.92. Muestras procesadas para el diagnóstico de infección por el virus de inmunodeficiencia humana (SIDA) por tipo de examen según mes de ingreso al Instituto Nacional de Salud (INS), 2020	162
Cuadro 1.93. Muestras procesadas para el diagnóstico de infección por el virus de inmunodeficiencia humana (SIDA) por tipo de examen según DISA - DIRESA/ otras instituciones remitentes al Instituto Nacional de Salud (INS), 2020	163
Gráfico 1.14. Pirámide de pacientes con muestras positivas para infección por el virus de inmunodeficiencia humana (SIDA), Instituto Nacional de Salud (INS), 2020	164
Grafico 1.15. Muestras positivas para VIH (SIDA) según etapas de vida, Instituto Nacional de Salud (INS), 2020	165
Mapa 1.22 Distribución de muestras positivas para diagnóstico de VIH - SIDA según departamentos, INS, 2020	166
Gráfico 1.16. Tendencia de muestras procesadas y positivas para el diagnóstico de VIH (SIDA), INS, 2006-2020	167
Cuadro 1.94. Muestras procesadas para evaluar la carga viral y los linfocitos CD4/CD8 por tipo de examen según mes de ingreso al Instituto Nacional de Salud (INS), 2020	167

Cuadro 1.95. Muestras procesadas para evaluar la carga viral y los linfocitos CD4/CD8 por tipo de examen según DISA - DIRESA/ otras instituciones remitentes al Instituto Nacional de Salud (INS), 2020	168
Cuadro 1.96. Muestras procesadas para el diagnóstico de infecciones por virus linfotrópico humano - HTLV-1 por tipo de examen según mes de ingreso al Instituto Nacional de Salud (INS), 2020	169
Cuadro 1.97. Muestras procesadas para el diagnóstico de infecciones por virus linfotrópico humano - HTLV-1 por tipo de examen según DISA - DIRESA / otras instituciones remitentes al Instituto Nacional de Salud (INS), 2020.....	170
Cuadro 1.98. Muestras procesadas para el diagnóstico de virus respiratorios por tipo de examen según mes de ingreso al Instituto Nacional de Salud (INS), 2020	171
Cuadro 1.99. Muestras procesadas para el diagnóstico de virus respiratorios por tipo de examen según DISA - DIRESA/ otras instituciones remitentes al Instituto Nacional de Salud (INS), 2020	172
Mapa 1.23 Distribución de muestras positivas para diagnóstico de virus respiratorios según departamentos, INS, 2020	173
Gráfico 1.17. Tendencia de muestras procesadas y positivas para el diagnóstico de virus respiratorios, Instituto Nacional de Salud (INS), 2006-2020	174
Cuadro 1.100. Muestras procesadas para el diagnóstico de COVID-19 por tipo de examen según mes de ingreso al Instituto Nacional de Salud (INS), 2020	175
Cuadro 1.101. Muestras procesadas para el diagnóstico de COVID-19 por tipo de examen según DISA - DIRESA/ otras instituciones remitentes al Instituto Nacional de Salud (INS), 2020	176
Mapa 1.24 Distribución de muestras positivas para diagnóstico de covid-19 según departamentos, INS, 2020	177
LABORATORIO DE ZONOSIS BACTERIANA	
Cuadro 1.102. Muestras procesadas para el diagnóstico de ántrax - carbunco por tipo de examen según mes de ingreso al Instituto Nacional de Salud (INS), 2020	178
Cuadro 1.103. Muestras procesadas para el diagnóstico de ántrax -carbunco por tipo de examen según DISA - DIRESA/ otras instituciones remitentes al Instituto Nacional de Salud (INS), 2020	178
Cuadro 1.104. Muestras procesadas para el diagnóstico de brucelosis por tipo de examen según mes de ingreso al Instituto Nacional de Salud (INS), 2020	179
Cuadro 1.105. Muestras procesadas para el diagnóstico de brucelosis por tipo de examen según DISA - DIRESA/ otras instituciones remitentes al Instituto Nacional de Salud (INS), 2020.....	180
Cuadro 1.106. Muestras procesadas para el diagnóstico de leptospirosis animal por tipo de examen según mes de ingreso al Instituto Nacional de Salud (INS), 2020	181
Cuadro 1.107. Muestras procesadas para el diagnóstico de leptospirosis animal por tipo de examen según DISA - DIRESA/ otras instituciones remitentes al Instituto Nacional de Salud (INS), 2020	181
Cuadro 1.108. Muestras procesadas para el diagnóstico de leptospirosis humano por tipo de examen según mes de ingreso al Instituto Nacional de Salud (INS), 2020	182
Cuadro 1.109. Muestras procesadas para el diagnóstico de leptospirosis humano por tipo de examen según DISA - DIRESA/ otras instituciones remitentes al Instituto Nacional de Salud (INS), 2020	183
Cuadro 1.110. Muestras procesadas para el diagnóstico de Lyme por tipo de examen según mes de ingreso al Instituto Nacional de Salud (INS), 2020	184
Cuadro 1.111. Muestras procesadas para el diagnóstico de Lyme por tipo de examen según DISA - DIRESA/ otras instituciones remitentes al Instituto Nacional de Salud (INS), 2020.....	184
Cuadro 1.112. Muestras procesadas para el diagnóstico de peste animal por tipo de examen según mes de ingreso al Instituto Nacional de Salud (INS), 2020	185
Cuadro 1.113. Muestras procesadas para el diagnóstico de peste animal por tipo de examen según DISA - DIRESA/ otras instituciones remitentes al ingreso al Instituto Nacional de Salud (INS), 2020	185
Cuadro 1.114. Muestras procesadas para el diagnóstico de peste humana por tipo de examen según mes de ingreso al Instituto Nacional de Salud (INS), 2020	186
Cuadro 1.115. Muestras procesadas para el diagnóstico de peste humana por tipo de examen según DISA - DIRESA/ otras instituciones remitentes al Instituto Nacional de Salud (INS), 2020	186

Gráfico 1.18. Tendencia de muestras procesadas y positivas para el diagnóstico de peste humana, Instituto Nacional de Salud (INS), 2006-2020	187
--	-----

LABORATORIO DE ZONOSIS PARASITARIAS

Cuadro 1.116. Muestras procesadas para el diagnóstico de cisticercosis por tipo de examen según mes de ingreso al Instituto Nacional de Salud (INS), 2020	188
Cuadro 1.117. Muestras procesadas para el diagnóstico de cisticercosis por tipo de examen según DISA - DIRESA/ otras instituciones remitentes al Instituto Nacional de Salud (INS), 2020	189
Gráfico 1.19. Tendencia de muestras procesadas y positivas para el diagnóstico de cisticercosis, Instituto Nacional de Salud (INS), 2004 -2020	190
Cuadro 1.118. Muestras procesadas para el diagnóstico de hidatidosis o echinococosis por tipo de examen según mes de ingreso al Instituto Nacional de Salud (INS), 2020	190
Cuadro 1.119. Muestras procesadas para el diagnóstico de hidatidosis o echinococosis por tipo de examen según DISA - DIRESA/ otras instituciones remitentes al Instituto Nacional de Salud (INS), 2020	191
Cuadro 1.120. Muestras procesadas para el diagnóstico de fasciolosis por tipo de examen según mes de ingreso al Instituto Nacional de Salud (INS), 2020	192
Cuadro 1.121. Muestras procesadas para el diagnóstico de fasciolosis por tipo de examen según DISA - DIRESA/ otras instituciones remitentes al Instituto Nacional de Salud (INS), 2020	193
Cuadro 1.122. Muestras procesadas para el diagnóstico de toxoplasmosis por tipo de examen según mes de ingreso al Instituto Nacional de Salud (INS), 2020	194
Cuadro 1.123. Muestras procesadas para el diagnóstico de toxoplasmosis por tipo de examen según DISA - DIRESA/ otras instituciones remitentes al Instituto Nacional de Salud (INS), 2020	195

LABORATORIO DE ZONOSIS VIRALES

Cuadro 1.124. Muestras procesadas para el diagnóstico de rabia animal por tipo de examen según mes de ingreso al Instituto Nacional de Salud (INS), 2020	196
Cuadro 1.125. Muestras procesadas para el diagnóstico de rabia animal por tipo de examen según DISA - DIRESA/ otras instituciones remitentes al Instituto Nacional de Salud (INS), 2020	197
Gráfico 1.20. Tendencia de muestras procesadas y positivas para el diagnóstico de rabia animal, Instituto Nacional de Salud (INS), 2007-2020	198
Cuadro 1.126. Muestras procesadas para el diagnóstico de rabia humana por tipo de examen según mes de ingreso al Instituto Nacional de Salud (INS), 2020	199
Cuadro 1.127. Muestras procesadas para el diagnóstico de rabia humana por tipo de examen según DISA - DIRESA/ otras instituciones remitentes al Instituto Nacional de Salud (INS), 2020	200
Mapa 1.27 Distribución de muestras positivas para diagnóstico de rabia humana según departamentos, INS, 2020	201
Gráfico 1.21. Tendencia de muestras procesadas y positivas para el diagnóstico de rabia humana, Instituto Nacional de Salud (INS), 2008-2020	202

CENTRO NACIONAL DE ALIMENTACIÓN Y NUTRICIÓN

Cuadro 2.1. Proporción de desnutrición crónica (talla/edad) en niño/as menores de tres años que acceden a los establecimientos de salud por criterio de evaluación según DIRESA/ GERESA/ DISA; HIS, 2020	204
Gráfico 2.1. Proporción de desnutrición crónica (talla/edad) en niño/as menores de tres años que acceden a los establecimientos de salud por criterio de evaluación según DIRESA/ GERESA/ DISA; HIS, 2020	205
Mapa 2.1 Prevalencia de desnutrición crónica(talla/edad) en niños/as menores de tres años que acceden a los establecimientos de salud por criterio de evaluación según DIRESA/GERESA/DISA - HIS, 2020	206
Cuadro 2.2. Proporción de desnutrición global (peso/edad) en niños/as menores de tres años que acceden a los establecimientos de salud por criterio de evaluación según DIRESA/ GERESA/ DISA; HIS, 2020	207
Gráfico 2.2. Proporción de desnutrición global (talla/edad) en niños/as menores de tres años que acceden a los establecimientos de salud por criterio de evaluación según DIRESA/ GERESA/ DISA; HIS, 2020	208

Mapa 2.2 Proporción de desnutrición global (peso/edad) en niños/as menores de tres años que acceden a los establecimientos de salud por criterio de evaluación según DIRESA/GERESA/DISA - HIS, 2020	209
Cuadro 2.3. Proporción de desnutrición aguda en niños/as menores de tres años que acceden a los establecimientos de salud por criterio de evaluación según DIRESA/ GERESA/ DISA; HIS, 2020	210
Gráfico 2.3. Proporción de desnutrición aguda en niños/as menores de tres años que acceden a los establecimientos de salud por criterio de evaluación según DIRESA/ GERESA/ DISA; HIS, 2020	211
Mapa 2.3 Proporción de desnutrición aguda en niños/as menores de tres años que acceden a los establecimientos de salud por criterio de evaluación según DIRESA/GERESA/DISA -HIS, 2020	212
Cuadro 2.4. Proporción de sobrepeso (peso/talla) en niños/as menores de tres años que acceden a los establecimientos de salud por criterio de evaluación según DIRESA/ GERESA/ DISA; HIS, 2020	213
Gráfico 2.4. Proporción de sobrepeso (peso/talla) en niños/as menores de tres años que acceden a los establecimientos de salud por criterio de evaluación según DIRESA/ GERESA/ DISA; HIS, 2020	214
Mapa 2.4 Proporción de sobrepeso (peso/talla) en niños/as menores de tres años que acceden a los establecimientos de salud por criterio de evaluación según DIRESA/GERESA/DISA - HIS, 2020	215
Cuadro 2.5 Proporción de obesidad (peso/ talla) en niños menores de tres años que acceden a los establecimientos de salud por criterio de evaluación según DIRESA/ GERESA/ DISA; HIS, 2020	216
Gráfico 2.5. Proporción de obesidad (peso/talla) en niños/as menores de tres años que acceden a los establecimientos de salud por criterio de evaluación según DIRESA/ GERESA/ DISA; HIS, 2020	217
Mapa 2.5 Proporción de obesidad (peso/talla) en niños/as menores de tres años que acceden a los establecimientos de salud por criterio de evaluación según DIRESA/GERESA/DISA - HIS,2020	218
Cuadro 2.6. Proporción de desnutrición crónica (talla/edad) en niños/as menores de cinco años que acceden a los establecimientos de salud por criterio de evaluación según DIRESA/ GERESA/ DISA; HIS, 2020	219
Gráfico 2.6. Proporción de desnutrición crónica (talla/edad) en niños/as menores de cinco años que acceden a los establecimientos de salud por criterio de evaluación según DIRESA/ GERESA/ DISA; HIS, 2020	220
Mapa 2.6 Proporción de desnutrición crónica (talla/edad) en niños/as menores de cinco años que acceden a los establecimientos de salud por criterio de evaluación según DIRESA/GERESA/DISA - HIS, 2020	221
Cuadro 2.7. Proporción de desnutrición global (peso/edad) en niños/as menores de cinco años que acceden a los establecimientos de salud por criterio de evaluación según DIRESA/ GERESA/ DISA; HIS, 2020	222
Gráfico 2.7. Proporción de desnutrición global (peso/edad) en niños/as menores de cinco años que acceden a los establecimientos de salud por criterio de evaluación según DIRESA/ GERESA/ DISA; HIS, 2020	223
Mapa 2.7 Proporción de desnutrición global (peso/edad) en niños/as menores de cinco años que acceden a los establecimientos de salud por criterio de evaluación según DIRESA/GERESA/DISA -HIS, 2020	224
Cuadro 2.8. Proporción de desnutrición aguda en niños/as menores de cinco años que acceden a los establecimientos de salud por criterio de evaluación según DIRESA/ GERESA/ DISA; HIS, 2020	225
Gráfico 2.8. Proporción de desnutrición aguda en niños/as menores de cinco años que acceden a los establecimientos de salud por criterio de evaluación según DIRESA/ GERESA/ DISA; HIS, 2020	226
Mapa 2.8 Proporción de desnutrición aguda en niños/as menores de cinco años que acceden a los establecimientos de salud por criterio de evaluación según DIRESA/GERESA/DISA - HIS, 2020	227
Cuadro 2.9. Proporción de sobrepeso (peso/talla) en niños/as menores de cinco años que acceden a los establecimientos de salud por criterio de evaluación según DIRESA/ GERESA/ DISA; HIS, 2020	228
Gráfico 2.9. Proporción de sobrepeso (peso/talla) en niños/as menores de cinco años que acceden a los establecimientos de salud por criterio de evaluación según DIRESA/ GERESA/ DISA; HIS, 2020	229
Mapa 2.9 Proporción de sobrepeso (peso/talla) en niños/as menores de cinco años que acceden a los establecimientos de salud por criterio de evaluación según DIRESA/GERESA/DISA - HIS, 2020	230
Cuadro 2.10. Proporción de obesidad (peso/talla) en niños/as menores de cinco años que acceden a los establecimientos de salud por criterio de evaluación según DIRESA/ GERESA/ DISA; HIS, 2020	231

Gráfico 2.10. Proporción de obesidad (peso/talla) en niños/as menores de cinco años que acceden a los establecimientos de salud por criterio de evaluación según DIRESA/ GERESA/ DISA; HIS, 2020.....	232
Mapa 2.10 Proporción de obesidad (peso/talla) en niños/as menores de cinco años que acceden a los establecimientos de salud por criterio de evaluación según DIRESA/GERESA/DISA - HIS, 2020	233
Cuadro 2.11. Proporción de déficit de peso y sobrepeso en gestantes que acceden a los establecimientos de salud según DIRESA/ GERESA/ DISA; Centro Latinoamericano de Perinatología (CLAP), Instituto Nacional de Salud (INS), 2020.....	234
Gráfico 2.11. Proporción de déficit de peso en gestantes que acceden a los establecimientos de salud según DIRESA/ GERESA/ DISA; Centro Latinoamericano de Perinatología (CLAP), Instituto Nacional de Salud (INS), 2020.....	235
Mapa 2.11 Proporción de déficit de peso en gestantes que acceden a los establecimientos de salud según DIRESA/GERESA/DISA; Centro Latinoamericano de Perinatología (CLAP) - Instituto Nacional de Salud (INS), 2020	236
Gráfico 2.12. Proporción de sobrepeso en gestantes que acceden a los establecimientos de salud según DIRESA/ GERESA/ DISA; Centro Latinoamericano de Perinatología (CLAP), Instituto Nacional de Salud (INS), 2020	237
Mapa 2.12 Proporción de sobrepeso en gestantes que acceden a los establecimientos de salud según DIRESA/GERESA/DISA; Centro Latinoamericano de Perinatología (CLAP) - Instituto Nacional de Salud (INS), 2020.....	238
Cuadro 2.12. Proporción de IMC pregestacional en mujeres que acceden a los establecimientos de salud según DIRESA/ GERESA/ DISA; Centro Latinoamericano de Perinatología (CLAP), Instituto Nacional de Salud (INS), 2020.....	239
Gráfico 2.13. Proporción de bajo peso según IMC pregestacional en mujeres que acceden a los establecimientos de salud según DIRESA/ GERESA/ DISA; Centro Latinoamericano de Perinatología (CLAP), Instituto Nacional de Salud (INS), 2020	240
Mapa 2.13 Proporción de bajo peso según IMC Pregestacional en mujeres que acceden a los establecimientos de salud según DIRESA/GERESA/DISA; Centro Latinoamericano de Perinatología (CLAP) - Instituto Nacional de Salud (INS), 2020	241
Gráfico 2.14. Proporción de sobrepeso según IMC pregestacional en mujeres que acceden a los establecimientos de salud según DIRESA/ GERESA/ DISA; Centro Latinoamericano de Perinatología (CLAP), Instituto Nacional de Salud (INS), 2020	242
Mapa 2.14 Proporción de sobrepeso según IMC Pregestacional en mujeres que acceden a los establecimientos de salud según DIRESA/GERESA/DISA; Centro Latinoamericano de Perinatología (CLAP) - Instituto Nacional de Salud (INS), 2020	243
Gráfico 2.15. Proporción de obesidad según IMC pregestacional en mujeres que acceden a los establecimientos de salud según DIRESA/ GERESA/ DISA; Centro Latinoamericano de Perinatología (CLAP), Instituto Nacional de Salud (INS), 2020	244
Mapa 2.15 Proporción de obesidad según IMC Pregestacional en mujeres que acceden a los establecimientos de salud según DIRESA/GERESA/DISA; Centro Latinoamericano de Perinatología (CLAP) - Instituto Nacional de Salud (INS), 2020	245
Cuadro 2.13. Proporción de anemia en gestantes que acceden a los establecimientos de salud según DIRESA/ GERESA/ DISA; Instituto Nacional de Salud (INS), 2020	246
Gráfico 2.16. Proporción de anemia en gestantes que acceden a los establecimientos de salud según DIRESA/ GERESA /DISA; Instituto Nacional de Salud (INS), 2020	247
Mapa 2.16 Proporción de anemia en gestantes que acceden a los establecimientos de salud según DIRESA/GERESA/DISA - Instituto Nacional de Salud (INS), 2020	248
Cuadro 2.14. Proporción de anemia en niños/as que acceden a los establecimientos de salud según DIRESA/ GERESA/ DISA; HIS, 2020.....	249
Gráfico 2.17. Proporción de anemia en niños/as menores de 36 meses que acceden a los establecimientos de salud según DIRESA/ GERESA/ DISA; HIS, 2020.....	250
Mapa 2.17 Proporción de anemia en niños/as menores de 36 meses que acceden a los establecimientos de salud según DIRESA/ GERESA/DISA - HIS, 2020	251
Gráfico 2.18. Proporción de anemia en niños/as menores de 60 meses que acceden a los establecimientos de salud según DIRESA/ GERESA/ DISA; HIS, 2020.....	252
Mapa 2.18 Proporción de anemia en niños/as menores de 60 meses que acceden a los establecimientos de salud según DIRESA/ GERESA/DISA - Instituto Nacional de Salud (INS), 2020.....	253
CENTRO NACIONAL DE PRODUCTOS BIOLÓGICOS	
Cuadro 3.1 Producción de sueros de uso humano en el Laboratorio de Reactivos de Diagnóstico, Instituto Nacional de Salud (INS), 2020.....	255

Gráfico 3.1 Producción de sueros de uso humano en el Laboratorio de Reactivos de Diagnóstico - Instituto Nacional de Salud (INS), 2020.....	255
Cuadro 3.2 Producción de reactivos para diagnóstico de uso humano en el Laboratorio de Reactivos de Diagnóstico, Instituto Nacional de Salud (INS), 2020	256
Gráfico 3.2 Producción de reactivos para diagnóstico de uso humano en el Laboratorio de Reactivos de Diagnóstico, Instituto Nacional de Salud (INS), 2020	256
Cuadro 3.5 Visitas realizadas al serpentario “Oswaldo Meneses” por entidad y por mes, Instituto Nacional de Salud (INS), 2020 ..	257
Gráfico 3.5 Número de visitas realizadas al serpentario “Oswaldo Meneses” según meses, Instituto Nacional de Salud (INS), 2020 ...	257
Gráfico 3.6 Número de visitas realizadas al serpentario “Oswaldo Meneses” según entidad, Instituto Nacional de Salud (INS), 2020 ..	258
CENTRO NACIONAL DE SALUD OCUPACIONAL Y PROTECCIÓN DEL AMBIENTE PARA LA SALUD	
Cuadro 4.1. Personas atendidas por meses según lugar de región en el Servicio de Psicología, Instituto Nacional de Salud (INS), 2020.....	260
Cuadro 4.2. Análisis realizados por motivo de la muestra según tipo de análisis en el Laboratorio clínico, Instituto Nacional de Salud (INS), 2020	260
Cuadro 4.3. Análisis de metales pesados en muestras biológicas (sangre, orina) en el Laboratorio Químico Toxicológico, Instituto Nacional de Salud (INS), 2020	261
Cuadro 4.4. Personas atendidas por sexo según rango de edad en el Laboratorio Químico Toxicológico, Instituto Nacional de Salud (INS) 2020	262
Cuadro 4.5. Personas atendidas según lugar de procedencia en el Laboratorio Químico Toxicológico, Instituto Nacional de Salud (INS), 2020	263
Cuadro 4.6. Personas atendidas por lugar de residencia (regiones) en el Laboratorio Químico Toxicológico, Instituto Nacional de Salud (INS), 2020	264
CENTRO NACIONAL DE SALUD INTERCULTURAL	
Cuadro 5.1. Visitas realizadas al Jardín Botánico por entidad y por mes, Instituto Nacional de Salud (INS), 2020	266
Gráfico 5.1. Visitas realizadas al Jardín Botánico según procedencia, Instituto Nacional de Salud (INS), 2020.....	266
Gráfico 5.2. Tendencia de visitas al Jardín Botánico, INS 2008-2020.....	267
CENTRO NACIONAL DE CONTROL DE CALIDAD	
Cuadro 6.1. Productos ingresados para el control de la calidad según cliente, Instituto Nacional de Salud (INS), 2020.....	269
Gráfico 6.1. Productos ingresados para el análisis de control de la calidad, Instituto Nacional de Salud (INS), 2020	269
Cuadro 6.2. Informes de ensayos emitidos según cliente, Instituto Nacional de Salud (INS), 2020.....	270
Gráfico 6.2. Informes de ensayos emitidos según cliente, Instituto Nacional de Salud (INS), 2020	270
Cuadro 6.3. Informes de ensayos emitidos por cliente según conclusión, Instituto Nacional de Salud (INS), 2020	271
Gráfico 6.3. Informes de ensayos emitidos por cliente según conclusión, Instituto Nacional de Salud (INS), 2020.....	271
Cuadro 6.4. Informes de ensayos emitidos por cliente según conclusión, Instituto Nacional de Salud (INS), 2020	272
Cuadro 6.5. Informe de ensayos emitidos por clase de producto según cliente, Instituto Nacional de Salud (INS), 2020	273
Cuadro 6.6. Informe de ensayos emitidos por clase de producto según cliente y mes, Instituto Nacional de Salud (INS), 2020	274
Cuadro 6.7. Informes de ensayos emitidos por procedencia de producto según cliente, Instituto Nacional de Salud (INS), 2020	275
Gráfico 6.4. Informes de ensayos emitidos por procedencia de producto según cliente, Instituto Nacional de Salud (INS), 2020	276
Cuadro 6.8. Informe de ensayos emitidos por procedencia de producto según cliente y mes, Instituto Nacional de Salud (INS), 2020 ..	277
Cuadro 6.9. Ensayos emitidos por tipo según cliente, Instituto Nacional de Salud (INS), 2020	279

Cuadro 6.9. Ensayos emitidos por tipo según cliente, Instituto Nacional de Salud (INS), 2020	280
Gráfico 6.5. Ensayos emitidos por tipo de cliente, Instituto Nacional de Salud (INS), 2020	281
OFICINA GENERAL DE INVESTIGACIÓN Y TRANSFERENCIA TECNOLÓGICA	
Cuadro 7.1. Número de solicitudes de autorización de EC presentadas y Número de EC autorizados por año, 2003-2020	283
Gráfico 7.1. Ensayos clínicos presentados y autorizados por año, 2003-2020.....	284
Cuadro 7.2. Número de solicitudes de autorización de EC presentadas y tpo de conclusión del procedimiento según año 2003-2020. 285	
Gráfico 7.2. Número de ensayos clínicos presentados y conclusión de la solicitud de autorización según año, 2003-2020	286
Cuadro 7.3. Ensayos clínicos autorizados según fase de estudio, 2020	287
Gráfico 7.3. Ensayos clínicos autorizados según fase de estudio, 2020	287
Cuadro 7.4. Ensayos clínicos autorizados por especialidad registrada, 2020	288
Gráfico 7.4. Ensayos clínicos autorizados por especialidad registrada, 2020	289
Cuadro 7.5. Inspecciones realizadas a ensayos clínicos autorizados, a centros de investigación y a comités institucionales de ética en investigación, 2020.....	289
Cuadro 7.6. Comités de ética que aprobaron los ensayos clínicos, por centro de investigación, 2020.....	290
Cuadro 7.7. Ensayos clínicos autorizados según tipo de institución de investigación, 2020	291
Gráfico 7.5. Ensayos clínicos autorizados según tipo de institución de investigación, 2020	291
Cuadro 7.8. Total de centros de investigación registrados por región, 2020.....	292
Gráfico 7.6. Investigaciones observacionales registradas y aprobadas, años 2001-2020.....	293
Cuadro 7.9. Proyectos de investigación aprobados con Resolución Directoral de la OGITT en el 2020, según órgano	293
Cuadro 7.10. Número de proyectos ganadores de fondos concursables incluidos en el Plan Operativo Institucional (POI) del 2020 (en cualquiera de sus versiones), según órgano	294
Cuadro 7.11. Proyectos de investigación supervisados por la OGITT en el 2020, según órgano	294
Cuadro 7.11. Número de investigadores/as del Instituto Nacional de Salud (INS) en el Registro Nacional de Investigadores en Ciencia y Tecnología (RENACYT) al 2020, por órgano.....	295
Cuadro 7.13. Número de acciones de capacitación programadas vs. ejecutadas con financiamiento institucional (*) según trimestres - Plan de Desarrollo de las Personas del Instituto Nacional de Salud (INS), 2020, cuarta versión	295
Cuadro 7.14. Acciones de capacitación ejecutadas mensualmente con financiamiento institucional - Plan de Desarrollo de las Personas del Instituto Nacional de Salud (INS), 2020 - segunda versión.....	296
Cuadro 7.15. Número de capacitaciones (programado vs. ejecutado) por trimestres - PDP, Instituto Nacional de Salud (INS), 2020, segunda versión	296
Cuadro 7.16. Número de trabajadores/as que al menos ha recibido una acción de capacitación y financiamiento institucional, a nivel de centro nacional u oficina general, PDP, Instituto Nacional de Salud (INS), 2020, segunda versión	297
Cuadro 7.17. Acciones de capacitación ejecutadas con financiamiento institucional que cuentan con certificación de una institución educativa superior - PDP, Instituto Nacional de Salud (INS), 2020, tercera versión	298
Gráfico 7.7. Número de personas informadas en “eventos técnico-científicos” organizados por el Instituto Nacional de Salud (INS), 2020 (ejecución) por trimestre - meta 049 “Eventos técnicos científicos”	299
Gráfico 7.8. Número de “eventos técnico-científicos”, 2020 - meta 049	300
Cuadro 7.18. Número de personas capacitadas por Unidad militar - Programa de Entrenamiento en salud pública dirigido al personal de tropa en servicio militar acuartelado-2020.....	301
Cuadro 7.19. Acciones ejecutadas en el año 2020 en el marco del Centro de Apoyo a la Tecnología y la Innovación (CATI) en el Instituto Nacional de Salud (INS)	302

OFICINA GENERAL DE ADMINISTRACIÓN

Cuadro 8.1. Personal del Instituto Nacional de Salud (INS) por nominación de cargo, 2020	304
Cuadro 8.2. Personal del Instituto Nacional de Salud (INS) por órganos institucionales según nominación, 2020.....	305

OFICINA GENERAL DE INFORMACIÓN Y SISTEMAS

Cuadro 9.1 Atenciones en búsqueda de información realizadas por tipo de usuario, 2020.....	307
Cuadro 9.2 Accesos a las bases de datos virtuales, 2020	307
Cuadro 9.3 Accesos por usuarios/as a plataformas institucionales especializadas, 2020.....	308
Cuadro 9.4 Procesamiento de la colección bibliográfica del CINDOC, 2020.....	308
Cuadro 9.5 Atenciones a solicitudes de información por la Ley de Transparencia y Acceso a la Información Pública, 2020	309
Gráfico 9.1 Atenciones a solicitudes de información por la ley de Transparencia y acceso a la información pública, 2020.....	309
Cuadro 9.6 Difusión de información técnica a través de la Biblioteca Virtual del Instituto Nacional de Salud (INS), 2019	310
Cuadro 9.7 Distribución y difusión externa de información técnica de las publicaciones del Instituto Nacional de Salud (INS), 2020	310
Cuadro 9.8 Accesos a diseminación selectiva de la información, 2020	311
Gráfico 9.2 Usuarios/as que reciben Diseminación Selectiva de la Información, 2020	311
Cuadro 9.9 Participantes que usan la plataforma de videoconferencia virtual Zoom, 2019	312
Cuadro 9.10 Capacitación en publicación científica, búsqueda de información científica, gestión del conocimiento e información pública, 2020	312
Cuadro 9.11 Número de usuarios/as que accedieron al Repositorio Científico del Instituto Nacional de Salud (INS) y catálogo virtual del INS, 2020.....	313
Cuadro 9.12 Número de artículos recibidos por la Revista Peruana de Medicina Experimental y Salud Pública durante el año 2020, distribuidos según tipo de artículo.....	313
Cuadro 9.13 Número de artículos publicados por la Revista Peruana de Medicina Experimental y Salud Pública durante el año 2020, distribuidos según ediciones	314
Gráfico 9.3 Artículos recibidos de la Revista de Medicina Experimental y Salud Pública, período 2015-2020	314
Gráfico 9.4 Evolución del indicador del Scimago Journal Rank (SJR) de la Revista Peruana de Medicina Experimental y Salud Pública, periodo 2016-2020.....	315
Gráfico 9.5 Número de visitas y descargas de la Revista de Medicina Experimental y Salud Pública, período 2016-2020.	316
Cuadro 9.14 Accesos realizados a las principales páginas del portal web del Instituto Nacional de Salud (INS), 2020	317
Cuadro 9.17 Número de publicaciones COVID-19 según filiación, Instituto Nacional de Salud (INS). 2020.....	318
Cuadro 9.18 Número de alertas bibliográficas sobre COVID-19, 2020.....	318
Cuadro 9.18 Número de accesos al Boletín Institucional 2020.....	319

Presentación

El Instituto Nacional de Salud está comprometido con la promoción, desarrollo y difusión de la investigación científico-tecnológica. Asimismo, tiene como objetivo brindar servicios en los campos de la salud pública, el control de enfermedades transmisibles y no transmisibles, la alimentación y nutrición, la producción de productos biológicos, el control de calidad de alimentos, productos farmacéuticos y afines, la salud ocupacional, la protección del medioambiente y la salud intercultural, con el fin de colaborar con la mejora de la calidad de vida de las personas. En ese sentido, nuestra institución, a través de la Oficina Ejecutiva de Estadística e Informática de la Oficina General de Información y Sistemas, en cumplimiento de estos objetivos, publica, desde el año 2005, el anuario estadístico del Instituto Nacional de Salud.

Al respecto, la presente publicación busca informar sobre los diferentes aspectos en los que nuestra institución trabaja y más aún, en el contexto de la emergencia sanitaria debido a la pandemia por la COVID-19, que dio prioridad al monitoreo y seguimiento de acciones para la prevención y control del COVID-19, informando sobre la difusión de investigaciones, ensayos clínicos y el desarrollo tecnológico en salud basados en evidencias.

Las fuentes de información de este anuario provienen de los diferentes centros nacionales del Instituto Nacional de Salud (INS) que desarrollan sus actividades en colaboración con los laboratorios regionales, DISA y DIRESAS. Sobre este punto, es necesario recalcar que la información presentada en este documento, vale decir, indicadores, acciones y detalles en general, refleja los datos que se envían al INS, así como la producción de los laboratorios de referencia nacional del INS, que, si bien están distribuidos en todo el país, no pretenden ser extrapolables como datos nacionales de prevalencia u otra dimensión.

Así, la elaboración final de este documento correspondió a la Oficina Ejecutiva de Estadística e Informática, a través de la Unidad Funcional de Estadística, en coordinación con los diversos centros y oficinas vinculadas al INS.

De igual manera, expresamos nuestro agradecimiento al apoyo que han brindado a este propósito, el personal técnico y profesional de las oficinas que han intervenido proporcionando información, así como en su procesamiento y/o verificación.

}Finalmente, queremos recalcar que como institución siempre estaremos a disposición de todas aquellas personas que, con sus valiosos aportes, ideas e indicaciones sobre esta publicación, pueden contribuir con la mejora de los contenidos en el futuro. Asimismo, confiamos en que los resultados consignados en este anuario sean un instrumento valioso de consulta que permita encontrar información sobre salud, así como de otros aspectos a los que nuestra entidad se dedica.

Carlos Verástegui García
Director ejecutivo
Oficina Ejecutiva de Estadística e Información

Introducción

El Instituto Nacional de Salud (INS) es un Organismo Público Ejecutor (OPE) del Ministerio de Salud (MINSa) dedicado a la investigación en salud, la producción de insumos biológicos, el control de calidad de medicamentos, alimentos e insumos, el diagnóstico referencial de laboratorio, la salud ocupacional y la salud intercultural. Esta institución tiene 118 años de historia, desde su funcionamiento bajo la denominación de Instituto Vaccinal en 1896.

En efecto, entre los años 1896 y 1902 se creó el Instituto Vaccinal por decreto del presidente Nicolás de Piérola asumiendo obligaciones relevantes para la producción de la vacuna animal en el país. Luego, pasó a ser el Instituto de Vacuna y Sueroterapia, abriendo una sección encargada especialmente para el cultivo y conservación de los “serums” que se empleaban para el tratamiento de algunas enfermedades infecciosas. En 1917, se denomina Instituto Nacional de Higiene y en el año 1936 adquiere el nombre de Instituto Nacional de Higiene y Salud Pública con la finalidad de crear nuevos laboratorios de investigación y ampliar su ámbito científico hacia las enfermedades infecciosas, aplicando los medios preventivos de control. De este modo, pasaría a convertirse en soporte técnico del Ministerio de Salud. A través de los años, sus áreas de trabajo fueron extendiéndose con la incorporación del Instituto Bacteriológico Peruano. En 1958, una disposición gubernamental estableció determinadas reformas y el cambio de su denominación a la de Instituto Nacional de Salud Pública con funciones de laboratorio a nivel nacional, producción de sueros, vacunas, antígenos de uso humano, diagnóstico de enfermedades infectocontagiosas, control de medicamentos y alimentos, investigación de enfermedades, almacenaje y venta de narcóticos. En 1969, se crean los Institutos Nacionales de Salud y se incorporan los Institutos de Salud Pública, Nutrición, Investigaciones Pecuarias y Salud Ocupacional. En 1981, vuelve a cambiar de denominación a la de Instituto Nacional de Salud. Desde 1990 se convierte en un organismo público descentralizado del Ministerio de Salud con personería jurídica de derecho público interno, con autonomía económica, financiera y administrativa.

Un año más tarde, el Instituto de Salud Ocupacional es adscrito al Ministerio de Salud y, posteriormente, incorporado al Instituto Nacional de Salud bajo la denominación de Centro Nacional de Salud Ocupacional y Protección del Ambiente para la Salud.

Si bien a través del tiempo hubo una progresiva incorporación de nuevas tecnologías y ajustes en el INS para cumplir mejor sus funciones, es en la década de 1990 donde se instaura una etapa de modernización, incluyendo la Red Nacional de Laboratorios de Salud Pública, planteada como el embrión de los centros de investigación ligados al desarrollo y la incorporación de nuevas técnicas como las de biología molecular, financiadas con recursos del Estado y la cooperación internacional. En la misma década, se inicia, también, la internacionalización del INS a través del desarrollo de proyectos de investigación y reuniones técnicas con instituciones de Brasil, EE.UU. y Europa. Coincidentemente, en este periodo se dieron grandes epidemias que exigían una respuesta adecuada y oportuna.

Actualmente, la misión del INS se enmarca en la promoción, desarrollo y difusión de la investigación científico-tecnológica y la prestación de servicios de salud en los campos de la salud pública, el control de las enfermedades transmisibles y no transmisibles, la alimentación y nutrición, la producción de insumos biológicos, el control de calidad de alimentos, productos farmacéuticos y afines, la salud ocupacional y protección del ambiente centrado en la salud de las personas y la salud intercultural, para, así, contribuir a mejorar la calidad de vida de la población.

Asimismo, este instituto tiene como visión, ser una institución moderna, dinámica y líder a nivel nacional e internacional en la generación, desarrollo y transferencia de tecnologías y conocimientos científicos en la investigación biomédica, la nutrición, la salud ocupacional, la protección del ambiente centrado en la

salud de las personas, la salud intercultural, la producción de insumos biológicos y el control de calidad de alimentos, productos farmacéuticos y afines; para lo cual, cuenta con personal capacitado y competitivo, en una concepción ética y humanista, para mejorar la calidad de vida de la población y contribuir al desarrollo integral y sostenido del país.

Así, el INS presenta en el Anuario Estadístico información al cierre del año 2020 y consta de siete capítulos que corresponden a la producción de los diferentes centros nacionales y oficinas generales. Al respecto, la Oficina General de Información y Sistemas, a través de la Oficina Ejecutiva de Estadística e Informática, se encargó de la recopilación, consistencia y tabulación de los datos que constituyen el Anuario Estadístico 2020.

En el capítulo I, se presenta información del Centro Nacional de Salud Pública (CNSP) con pruebas de diagnóstico procesadas y relacionada con enfermedades transmisibles y no transmisibles. Asimismo, en el capítulo II, se muestra información del Centro Nacional de Alimentación y Nutrición (CENAN) relacionada con el estado nutricional de niños menores de cinco años y gestantes.

Además, en el capítulo III, se muestra información del Centro Nacional de Productos Biológicos (CNPB) relacionada con la producción de reactivos, medios de cultivo, antígenos y vacunas antirrábicas, así como las visitas realizadas al serpentario mientras que en el capítulo IV, se muestra información del Centro Nacional de Salud Ocupacional y Protección del Ambiente para la Salud (CENSOPAS) relacionado a las atenciones ocupacionales.

En el capítulo V, se muestra información del Centro Nacional de Salud Intercultural (CENSI) relacionada con las visitas realizadas al Jardín Botánico.

En cambio, en el capítulo VI, se muestra información del Centro Nacional de Control de Calidad (CNCC) relacionada con el control de calidad de productos farmacéuticos y afines y en el capítulo VII, se muestra información de la Oficina General de Investigación y Transferencia Tecnológica (OGITT) relacionada con los protocolos de investigación, investigaciones y ensayos clínicos, así como el apoyo a las diferentes instancias internas y externas mediante capacitación y asistencia técnica.

En el capítulo VIII, muestra la información de la Oficina General de Administración (OGA), con información del personal que labora en nuestra institución y en el capítulo IX, se presentan datos de la Oficina General de Información y Sistemas (OGIS) relacionados con la divulgación de información técnico-científica: libros, revistas, boletines, base de datos y solicitudes de información a diversos usuarios/as, así como las secciones más visitadas del portal web.

En el año 2020 debido a la pandemia por la COVID-19, mediante Decreto Supremo N° 008-2020-SA, y sus modificatorias, se declara Emergencia Sanitaria en el país a consecuencia de la pandemia de la enfermedad COVID-19, y en razón de ello, se ha emitido normas y disposiciones orientadas a facilitar la actuación del Ministerio de Salud y sus Entidades, entre ellas el Instituto Nacional de Salud, para desarrollar las acciones e intervenciones necesarias para enfrentar esta enfermedad, razón por la cual, se presenta información en los centros u oficinas involucrados en acciones para la prevención y control del COVID-19.

CENTRO NACIONAL DE SALUD PÚBLICA (CNSP)

El Instituto Nacional de Salud para el mejor cumplimiento de sus funciones cuenta, como parte de su estructura, con seis órganos de línea denominados "centros nacionales". Uno de estos es el Centro Nacional de Salud Pública, que es el órgano técnico-normativo encargado de investigar, normar, desarrollar y evaluar

integralmente las investigaciones para el desarrollo de nuevas tecnologías apropiadas, relacionadas con las enfermedades transmisibles y no transmisibles, con el fin de contribuir con criterios técnicos y científicos a la formulación de las políticas que guíen la atención de salud pública.

Los antecedentes históricos del Centro Nacional de Laboratorios de Salud Pública se remontan al año 1991. En esta fecha se cambia la denominación de los institutos nacionales de salud a la de Instituto Nacional de Salud; la cual, mantiene hasta la fecha. Dentro de esta nueva estructura se establece, como órgano de línea, al Centro de Referencia de Laboratorios de Salud Pública (CERELASP), que tiene como principal función la investigación de las enfermedades infecciosas. Al respecto, la epidemia del cólera, en 1991, permitió al Instituto Nacional de Salud fortalecer la vigilancia laboratorial de las enfermedades en las diferentes regiones del país a través del Sistema Nacional de la Red de Laboratorios Regionales, como soporte fundamental de supervisión, prevención y control de ellas.

En 1992, el CERELASP cambia su denominación por la de Dirección General de Laboratorios de Referencia (DILARE) dependiendo en la línea organizacional de la Dirección Técnica de Enfermedades Transmisibles.

En 1995, al aprobarse el reglamento de Organización y Funciones del Instituto Nacional de Salud (Resolución Ministerial N° 178-95-SA/SM) adquiere su actual denominación como Centro Nacional de Laboratorios de Referencia (CNLR); la cual, mantiene hasta la fecha.

El CNSP está conformado por laboratorios especializados de referencia nacional. Estos laboratorios realizan la confirmación etiológica e investigaciones de las principales enfermedades infecciosas del país. Asimismo, están especializados en el campo de la bacteriología, la virología, la parasitología, la entomología, la micología y la inmunología. Además, tienen capacidad para usar diferentes tecnologías, desde pruebas de tamizaje como lecturas en láminas o pruebas serológicas hasta métodos moleculares como PCR en tiempo real y secuenciamiento genético.

También, implementan y desarrollan nuevas técnicas y procedimientos con recursos tecnológicos de punta, dentro del marco de un estricto control de calidad. Así, el desarrollo de estas tecnologías permite investigar el comportamiento de los principales microorganismos de importancia en el país y proporciona información acerca de la resistencia de los vectores a los insecticidas, la resistencia bacteriana a los antibióticos, la distribución de los serotipos del virus influenza, del virus del dengue, de la leptospirosis, entre otros. De igual modo, durante las situaciones de brotes que ponen en riesgo la salud pública del país, se utilizan técnicas como la electroforesis de campo pulsado, RFLP y secuenciamiento genético para investigar la epidemiología molecular de estas enfermedades y su distribución geográfica.

Además, realiza la vigilancia de la resistencia de VIH a los antirretrovirales, serotipos de dengue, resistencia y circulación de *Yersinia pestis*, serovares de leptospira, influenza y otros virus respiratorios a nivel nacional para contribuir en la formulación de la vacuna contra el virus de la influenza. A su vez, proporciona asesoría técnica y científica a instituciones privadas y públicas contribuyendo a la capacitación altamente especializada del personal de salud para la investigación científica y la utilización de tecnologías.

Asimismo, cuenta con una unidad de análisis de políticas y generación de evidencias en salud pública; la cual, se encarga de proponer recomendaciones para el desarrollo de políticas de salud a partir de la generación y análisis de evidencia científica. De esta manera, el conocimiento generado sirve de sustento fundamental para la toma de decisiones e intervenciones en salud pública, implementación de políticas públicas y la evaluación de tecnologías sanitarias a nivel nacional.

CENTRO NACIONAL DE ALIMENTACIÓN Y NUTRICIÓN (CENAN)

La Dirección de Alimentación Nacional formaba parte del Ministerio de Fomento cuando el 30 de octubre de 1941 una sección de esta Dirección (la Sección Técnica de Alimentación Popular) pasó a integrar la Dirección de Salubridad para constituir el Departamento Técnico de Nutrición. Al respecto, mediante Decreto Supremo del 2 de setiembre de 1944 este Departamento Técnico de Nutrición se transforma en el Instituto Nacional de Nutrición. Asimismo, el 21 de noviembre de 1944 se reglamentan sus funciones las que comprendían: investigación, formación de dietistas, administración, economía y legislación de la nutrición, divulgación y nutriología. En 1948, el doctor Carlos Collazos Chiriboga, quien se encontraba desarrollando estudios en la Escuela de Salud Pública de la Universidad de Harvard, es nombrado jefe del Instituto de Nutrición. Durante su gestión, en 1950, el instituto se incorporó al sistema administrativo del Servicio Cooperativo Interamericano de Salud Pública. En el año 1942, Dicho servicio era una organización establecida conjuntamente por los gobiernos del Perú y de los Estados Unidos; la cual, funcionaba como un organismo del Ministerio de Salud Pública y Asistencia Social del Perú y tenía la misión de llevar a cabo proyectos cooperativos específicos en la salud pública y la medicina preventiva en beneficio del pueblo peruano. En estos programas, participaban técnicos/as y variado personal peruano. Sin embargo, este Convenio caducó el 31 de diciembre de 1961. A partir de ese momento, se firmaron convenios con la Universidad de Harvard para el entrenamiento de profesionales peruanos, así como para recibir asistencia técnica de dicha casa de estudios; con lo cual, se inició el desarrollo de las capacidades analíticas del instituto, emprendiéndose metódicamente el análisis de la composición de los alimentos peruanos. Durante estos años, se organizó el bioterio con el apoyo de la Organización de las Naciones Unidas para la Alimentación y la Agricultura (FAO, en sus siglas en inglés).

Mediante Ley n.º 13908 del 13 de enero de 1962, el Instituto de Nutrición se integra a los Servicios Especiales de Salud Pública, anexo al Ministerio de Salud Pública y Asistencia Social, sobre la base del Servicio Cooperativo Interamericano de Salud Pública. Asimismo, por Decreto Ley n.º 17642 del 13 de mayo de 1969, es integrado a los institutos nacionales de salud como Organismo Público Descentralizado (OPD) del sector salud, dependiente de la Dirección Superior del Ministerio de Salud, junto al Instituto Nacional de Salud Pública (antes, Instituto Nacional de Salud), Instituto de Investigación Pecuaria, Instituto de Nutrición, Instituto de Salud Ocupacional y el Centro de Control de Productos Biológicos. Dentro de este contexto, tenía como funciones la "preparación de productos biológicos tanto para uso humano como pecuario", "actuar como centro de referencia en microbiología y nutrición", "certificar la calidad de los alimentos que se adquieran con recursos del Ministerio de Salud", "certificar la calidad sanitaria de los alimentos que se importen cuando sea necesario" y "adiestrar personal profesional y técnico". Asimismo, contaba con aspectos normativos y de investigación. En este OPD, se mantiene el Instituto de Nutrición hasta 1987.

Entre 1978 y 1984, el instituto estableció un convenio con la Deutsche Gesellschaft für Technische Zusammenarbeit (GTZ), para realizar estudios sobre el lupino y las microalgas; lo cual, permitió una importante asistencia técnica de la cooperación alemana para el desarrollo de diversos estudios. Asimismo, en 1988, el Instituto Nacional de Nutrición pasó a formar parte del Ministerio de Salud (MINSA) como centro de Investigación en Nutrición y Control de Alimentos (CINCA). Seguidamente, sobre la base del Instituto Nacional de Nutrición y el Programa Especial de Alimentación y Nutrición, dependiente del MINSA (antes denominado Dirección Nacional de Alimentación) que se encargaba del manejo de programas de alimentación escolar y otros, se crea el Instituto Nacional de Alimentación y Nutrición (INAN) por Decreto Supremo n.º 020-88-SA.

Además, mediante Decreto Legislativo n.º 584 del 16 de abril de 1990, se aprueba la Ley del Ministerio de Salud donde se consideran como OPD al Instituto Nacional de Salud, al Instituto Nacional de Medicina Tradicional, al Instituto de Protección del Medio Ambiente y a la Escuela de Salud Pública. De esta manera, se

integra el Instituto de Nutrición al Instituto Nacional de Salud con funciones específicas en la alimentación y nutrición de investigación, en el desarrollo de tecnologías apropiadas, la producción, registro y control de calidad de alimentos.

En 1995, al aprobarse el Reglamento de Organización y Funciones del Instituto Nacional de Salud (R.M. 178-95-SA/DM), obtiene su actual denominación: Centro Nacional de Alimentación y Nutrición (CENAN). Este centro es el órgano de línea técnico-normativo del Instituto Nacional de Salud que se encarga, a nivel nacional, de promover, programar, ejecutar y evaluar las investigaciones y el desarrollo de tecnologías apropiadas en el ámbito de la alimentación, la nutrición humana, el control sanitario de alimentos, bebidas y otros.

Asimismo, tiene como mandato conferido por el Estado, conducir el sistema de vigilancia nutricional y realizar el control de calidad de alimentos, especialmente de los programas sociales, proponiendo acciones que generen hábitos alimenticios saludables que contribuyan a un mejor estilo de vida y la reducción de daños considerados problemas de salud pública como la desnutrición crónica, la anemia, las enfermedades no transmisibles relacionadas con estilos y hábitos de alimentación y nutrición inadecuada. Además, como responsable del control de calidad nutricional de los alimentos, coordina con otros sectores públicos como MIMDES-PRONAA, Wawa Wasi, gobiernos locales (para el caso del Programa del Vaso de Leche, PAN TB), educación, INEI y organismos no públicos e instituciones de la cooperación internacional y nacional.

En forma permanente, el CENAN diseña, elabora y valida tecnologías y materiales educativos adaptados culturalmente a poblaciones indígenas y al público en general para la difusión de estilos de vida saludables; los cuales, se ofrecen a los/las profesionales de la salud y a la comunidad en general. Tal es el caso de la Guía de Consejería para el personal de salud y el aplicativo informático denominado "La Mejor Receta"; el cual, difunde diariamente, a través del portal institucional, una lista de los diez alimentos más económicos y nutritivos y un menú familiar de buena calidad nutricional. También, diseña las tecnologías de decisiones informadas que contribuyen a facilitar información a los gobiernos locales para la toma de decisiones en cuanto a la alimentación y nutrición.

En este sentido, el CENAN fomenta el desarrollo de investigaciones con impacto en la salud pública, generando nuevas evidencias científicas orientadas a mejorar las políticas y estrategias de prevención y control de la alimentación y nutrición de la población peruana. De esta forma, contribuye con el desarrollo local, regional y nacional.

CENTRO NACIONAL DE SALUD OCUPACIONAL Y PROTECCIÓN DEL AMBIENTE PARA LA SALUD (CENSOPAS)

El Instituto de Salud Ocupacional fue creado el 5 de agosto de 1940 según el D.S. n.º 1818 como Departamento Nacional de Higiene Industrial, del Ministerio de Salud Pública y Asistencia Social. Desde entonces, fue la primera y única institución peruana dedicada a la prevención de enfermedades ocupacionales y de accidentes de trabajo, cuyas actividades fueron financiadas, desde el 12 de marzo de 1947 (Ley n.º 10833) por una contribución equivalente al 1.8 % del monto de la planilla de las empresas mineras y conexas. En 1948, en función a un acuerdo bilateral entre los gobiernos del Perú y de los Estados Unidos de Norteamérica, el Servicio Corporativo Interamericano asume las funciones del Departamento Nacional de Higiene Industrial; el cual, además de capacitar en el extranjero a sus profesionales, lo implementó con infraestructura para convertirlo en el Instituto de Salud Ocupacional (ISO), categoría que alcanzó en 1951, llegando a ser el primer Centro de Capacitación en Salud Ocupacional y Calidad del Aire, en Latinoamérica.

En 1969, el ISO (D. L. n.º 17642) es incorporado a los Institutos Nacionales de Salud (INS), y en 1980 (D. L.

n.º 070) cambió su denominación por la de Dirección de Salud Ocupacional y Laboratorios del Ambiente (DISOLA). En noviembre de 1985 (R. M. n.º 001-86-SA-DM), es convertido a Instituto Nacional de Salud Ocupacional (INSO) y en abril de 1990, se dispone, mediante D. L. n.º 584, que el INSO se integre al Instituto Peruano de Seguridad Social (IPSS) transferencia, que nunca se realizó. Y en menos de un año (enero de 1991), se dispone (Ley n.º 25303) que el INSO se reintegre al MINSA. Ese mismo año, se considera (R. M. n.º 0009-91-SA/DM) al INSO como parte del Instituto Nacional de Salud (INS). De este modo, el INSO, mediante esta anexión fue liquidado en noviembre de 1994 (R. M. n.º 552-94-SA/DM), y su personal, bienes y funciones pasaron a la DIGESA, perteneciente al MINSA, funciones que fueron asumidas aun cuando recién, en abril de 2001, (R. M. n.º 223-2001-SA/DM) se creó la Dirección Ejecutiva de Salud Ocupacional (DESO), como parte de la DIGESA. Asimismo, el 26 de julio de 2001 se resuelve (R. M. n.º 413-2001-SA/DM) reintegrar el INSO a la estructura orgánica del MINSA bajo la denominación de Instituto de Salud Ocupacional Alberto Hurtado Abadía, condición que mantuvo hasta que fue integrado, como el INAPMAS, para formar el CENSOPAS.

El Instituto Nacional de Protección del Medio Ambiente para la Salud (INAPMAS) fue creado el 28 de octubre de 1985 (D. L. n.º 354) con el nombre de Consejo Nacional de Protección del Medio Ambiente para la Salud (CONAPMAS), denominación que cambió a la de INAPMAS (D. L. n.º 584) en 1990, decretándose, dos años después (D. S. n.º 002-92-SA) su condición de organismo público descentralizado del Ministerio de Salud, hasta que en el año 2002 fue integrado con el INSO para formar el CENSOPAS.

El Centro Nacional de Salud Ocupacional y Protección del Ambiente (CENSOPAS) es el centro encargado de realizar evaluaciones, investigaciones y recomendaciones para la prevención de enfermedades y daños a la salud por actividades económicas que pueden afectar a los/las trabajadores/as y a la comunidad. Asimismo, brinda servicios especializados de evaluación médica y psicológica por exposición ocupacional y ambiental, así como la evaluación de riesgos ocupacionales y ambientales (físicos, químicos, biológicos, ergonómicos y psicosociales).

Además, en el marco del Programa Global de Eliminación de la Silicosis en el Mundo para el 2030, el CENSOPAS lidera su aplicación en el Perú. Para asegurar su cumplimiento ha elaborado guías de evaluación médica y psicológica. También, está implementando un laboratorio infrarrojo y está haciendo las propuestas técnico-normativas para garantizar la actuación sanitaria pública y privada en salud ocupacional. Y, finalmente, presta asesoramiento y asistencia técnica a los gobiernos regionales ante problemas de salud humana por la contaminación ambiental originada por actividades económicas como la minería y la agricultura, entre otros.

CENTRO NACIONAL DE SALUD INTERCULTURAL (CENSI)

Su principal objetivo es proponer políticas, estrategias y normas en salud intercultural, así como promover el desarrollo de la investigación que permita la integración de la medicina tradicional, alternativa y complementaria con la medicina académica, respetando el carácter multiétnico del país, y mejorando el nivel de salud de los pueblos andinos y amazónicos en el marco de la interculturalidad como derecho. Por ello, desarrolla acciones de sensibilización, eventos de capacitación y materiales informativos para abordar con pertinencia intercultural e integrar a los pueblos indígenas amazónicos y andinos en las estrategias de prevención y control de diversas enfermedades como el VIH/SIDA, las infecciones de transmisión sexual, tuberculosis, hepatitis B, enfermedades transmisibles en general, y otras que afectan la salud materna e infantil.

Igualmente, el CENSI es el responsable de elaborar la Fitofarmacopea de plantas medicinales estableciendo los criterios para evaluar y reconocer los productos naturales de uso en salud, así como de elaborar el

Inventario Nacional de Plantas Medicinales. Asimismo, como parte de la proyección social, este centro mantiene un Jardín Botánico de Plantas Medicinales, así como un Herbario; los cuales, ofrecen programas de visitas guiadas para difundir la importancia de la investigación y conocimiento de especies vegetales, así como sus propiedades curativas.

CENTRO NACIONAL DE CONTROL DE CALIDAD (CNCC)

En 1943, se inicia el control de calidad de medicamentos en la Facultad de Farmacia y Bioquímica de la Universidad Mayor de San Marcos (UNMSM). Al respecto, se crea, originalmente, en el año 1945 como Laboratorio de Control de Calidad de Medicamentos y es incorporado al Instituto Nacional de Salud en 1948.

El 13 de mayo de 1969, según Decreto Ley n.º 17642, el Instituto Nacional de Salud (INS) pasa a ser un organismo descentralizado del sector salud. Y según estructura orgánica, se denomina Centro de Control de Productos Biológicos y Medicamentos. Asimismo, en 1973, el INS firma el Convenio Básico de Cooperación Técnica entre los gobiernos de Perú y la República Federal de Alemania para mejorar la capacidad y la situación de este centro a través de un control eficiente de la calidad de los medicamentos en el Perú. Además, hay que recordar que el actual local de Chorrillos se inauguró el 6 de agosto de 1976.

Durante el periodo 1987-1990, formó parte del Comité Nacional de Medicamentos y Drogas (CONAMAD). Al respecto, en enero de 1991, en virtud del Decreto Legislativo n.º 584, el Centro Nacional de Control de Calidad (CNCC) se constituye en un órgano de línea del INS y el 6 de mayo del 2008 con D.S. n.º 034-2008-PCM, el Instituto Nacional de Salud pasa a ser organismo público ejecutor.

Desde el año 2001, el CNCC viene participando en pruebas de intercomparación internacionales (ensayos interlaboratorios) organizados por la Wetenschappelijk Instituut Nederlandse Apothekers (WINAp) y la OMS/OPS. A la fecha, el CNCC ha participado en 19 ensayos interlaboratorios, nueve organizados por la WINAp, cuatro por la OMS y seis por la OPS; con lo cual, alcanzó una ubicación entre los mejores laboratorios del mundo (Grupo A I). Asimismo, el CNCC, a inicios del año 2009, obtuvo la acreditación internacional conforme a la norma ISO/IEC 17025, con el organismo de acreditación Assured Calibration and Laboratory Accreditation Select Services (ACLASS).

Finalmente, hacia abril del 2010 el CNCC, revalidada su acreditación ante ACLASS, ha precalificado como laboratorio de referencia de la ONU.

CENTRO NACIONAL DE PRODUCTOS BIOLÓGICOS (CNPB)

El Centro Nacional de Productos Biológicos (CNPB) presenta como antecedente de creación al Instituto de Zoonosis e Investigación Pecuaria del Ministerio de Agricultura. Posteriormente, en 1969, se fusionó con el Instituto Nacional de Productos Biológicos, formando parte de los laboratorios de la Institución con el objetivo de aprovechar la infraestructura, el equipamiento y el personal para la búsqueda de la sinergia y, así, ampliar la producción de insumos biológicos de uso humano y animal.

El CNPB es el centro encargado de insumos de uso humano, uso veterinario e insumos para la investigación biomédica. Asimismo, dicho centro produce inmunosueros que se utilizan para el tratamiento de mordeduras de arañas y serpientes. Al respecto, cuenta con una caballeriza y áreas para crianza en cautiverio de animales venenosos, utilizando modernas técnicas para la extracción del veneno. Los inmunosueros que se elaboran son:

- Antibotrópico polivalente
- Anticrotálico monovalente
- Antilachésico monovalente
- Antiloxoscélico monovalente

El CNPB, también, produce la vacuna antirrábica para uso humano y veterinario, las vacunas de brucelosis caprina y vacuna contra el ántrax (carbunco) para uso veterinario, los medios de cultivo (medio bifásico Ruiz Castañeda, las placas agar sangre y placa agar chocolate), los reactivos de diagnóstico (PPD y peste), los sueros de diagnóstico (salmonella y *Vibrio cholerae*) y los antígenos de diagnóstico para brucelosis (tamiz y complementaria).

Además, el INS elaboró el primer kit de diagnóstico regional para el dengue en Sudamérica: Tariki Dengue y formará parte del programa productivo, Asimismo, es el único productor, a nivel mundial, del antígeno para diagnosticar fiebre amarilla, aportando a la salud pública con el Kit Tariki Fiebre Amarilla. Y, también, mantiene un bioterio de animales de experimentación que alberga a ratas albinas, conejos, cobayos, ratones y hámsteres, con fines de producción, control, diagnóstico e investigación.

El Centro Nacional de Productos Biológicos, órgano de línea del Instituto Nacional de Salud, está especializado en la producción de biológicos e insumos de uso humano, uso veterinario e investigación biomédica. Asimismo, tiene como misión desarrollar nuevas tecnologías para satisfacer la demanda del país en la prevención, el diagnóstico y el tratamiento de enfermedades de importancia en salud pública.

Además, tiene como visión ser un centro nacional de productos biológicos, nacional e internacionalmente reconocido, que emplea la más avanzada tecnología y conocimientos para producir bienes biológicos con óptima calidad e innovadores, seguros y altamente eficaces; para lo cual, aplica y transfiere conocimientos científicos y tecnológicos en salud y afines para el mejoramiento de la salud pública del país. El CNPB, también, produce la vacuna antirrábica para uso humano y veterinario, las vacunas de brucelosis caprina y vacuna contra el ántrax (carbunco) para uso veterinario, los medios de cultivo (medio bifásico Ruiz Castañeda, las placas agar sangre y placa agar chocolate), los reactivos de diagnóstico (PPD y peste), los sueros de diagnóstico (salmonella y *Vibrio cholerae*) y los antígenos de diagnóstico para brucelosis (tamiz y complementaria).

Además, el INS elaboró el primer kit de diagnóstico regional para el dengue en Sudamérica: Tariki Dengue y formará parte del programa productivo, Asimismo, es el único productor, a nivel mundial, del antígeno para diagnosticar fiebre amarilla, aportando a la salud pública con el Kit Tariki Fiebre Amarilla. Y, también, mantiene un bioterio de animales de experimentación que alberga a ratas albinas, conejos, cobayos, ratones y hámsteres, con fines de producción, control, diagnóstico e investigación.

El Centro Nacional de Productos Biológicos, órgano de línea del Instituto Nacional de Salud, está especializado en la producción de biológicos e insumos de uso humano, uso veterinario e investigación biomédica. Asimismo, tiene como misión desarrollar nuevas tecnologías para satisfacer la demanda del país en la prevención, el diagnóstico y el tratamiento de enfermedades de importancia en salud pública.

Además, tiene como visión ser un centro nacional de productos biológicos, nacional e internacionalmente reconocido, que emplea la más avanzada tecnología y conocimientos para producir bienes biológicos con óptima calidad e innovadores, seguros y altamente eficaces; para lo cual, aplica y transfiere conocimientos

científicos y tecnológicos en salud y afines para el mejoramiento de la salud pública del país.

OFICINA GENERAL DE INVESTIGACIÓN Y TRANSFERENCIA TECNOLÓGICA (OGITT)

El Instituto Nacional de Salud, a través de la Oficina General de Investigación y Transferencia Tecnológica (OGITT), ejerce su rol regulador y promotor de la investigación en salud que le confiere el Ministerio de Salud. Así, la OGITT tiene como objetivo principal la promoción, el desarrollo y la difusión de la investigación aplicada y el desarrollo tecnológico en salud basado en evidencias y en prioridades de investigación a nivel nacional y regional, de manera articulada con los principales problemas sanitarios del país.

De acuerdo con los lineamientos de política del sector salud, la visión, la misión, los objetivos estratégicos y el plan estratégico del Instituto Nacional de Salud, la Oficina General de Investigación y Transferencia Tecnológica contribuye con acciones orientadas a fortalecer el desarrollo de los recursos humanos y la transferencia de tecnología dentro de los procesos de investigación que genera y promueve en salud.

OFICINA GENERAL DE INFORMACIÓN Y SISTEMAS (OGIS)

La Oficina Ejecutiva de Estadística e Informática (OEEI) de la Oficina General de Información y Sistemas (OGIS) del Instituto Nacional de Salud (INS) se encarga de organizar, conducir, supervisar y evaluar los procedimientos de los sistemas de información estadísticos e informáticos. Asimismo, dicha oficina produce y difunde información estadística del INS y desarrolla los planes de los sistemas estadísticos e informáticos. Además, es la encargada de mantener actualizadas las herramientas tecnológicas e informáticas con el fin de contribuir con el desarrollo de las ciencias de la salud.

OFICINA GENERAL DE ADMINISTRACIÓN (OGA)

Órgano de apoyo de la Alta Dirección del Instituto Nacional de Salud, encargada de la administración de los recursos humanos, materiales, económicos y financieros de la institución.

Aspectos generales

1. ENFERMEDADES:

AMEBIASIS

La amebiasis es una enfermedad causada por el parásito *Entamoeba histolytica*. Puede afectar a cualquier persona, aunque es más común en las personas que viven en áreas tropicales con condiciones sanitarias deficientes. El diagnóstico puede ser difícil, porque otros parásitos pueden ser muy similares a *E. histolytica* cuando se observa bajo un microscopio. Las personas infectadas no siempre se enferman. Varias especies de protozoos del género *Entamoeba* colonizan a las personas, pero no todos ellos están asociados con la enfermedad. Al respecto, el *Entamoeba histolytica* es bien reconocido como una ameba patógena. Asimismo, se encuentra asociada con infecciones intestinales y extraintestinales. Las otras especies son importantes porque pueden confundirse con *Entamoeba histolytica* en las investigaciones de diagnóstico¹.

AMEBIASIS VIDA LIBRE

Las amebas son seres vivos del reino Protozoa. Las amebas de vida libre que afectan al ser humano pertenecen a dos phyla del reino Protozoa: Percolozoa y Rhizopoda.

Por un lado, el phylum percolozoa agrupa a organismos primitivos, algunos de los cuales pueden ser ameboflagelados con un flagelo transitorio. Asimismo, no tienen aparato de Golgi, pero poseen mitocondrias o hidrogenosomas y peroxisomas. El phylum incluye la clase Heterolobosea, el orden Schyzopyrenida, la familia Vahlkampfiidae y los géneros *Naegleria* y *Vahlkampfia*.

Por otro lado, el phylum rhizopoda agrupa a organismos con pseudópodos como medio de locomoción y alimentación, mitocondrias con crestas tubulares. La mayoría de las especies son de vida libre².

ANTRAX – CARBUNCO

El *Bacillus anthracis*, es un bacilo Gram positivo, aerobio, de 4-8 µm; in vitro se observa en forma de cadenas largas; in vivo en forma de microorganismos aislados o en cadenas cortas de extremos ligeramente redondeados. Cuando se expone al oxígeno del aire forma esporas muy resistentes a los agentes físicos, químicos y condiciones ambientales adversas, pudiendo permanecer viables en los suelos y contaminándolos durante muchos años. La transmisión se realiza a través del contacto directo de piel lesionada del huésped con carne, pelos, lanas, cueros o productos procedentes de animales infectados que han muerto por carbunco. El periodo de incubación es de 2 a 7 días, con un promedio de 48 horas después del contacto (cutáneo). En las otras formas de presentación suele ocurrir en un periodo menor a 24 horas³.

1 Centros para el Control y la Prevención de Enfermedades (CDC).

2 “Infecciones por amebas de vida libre. Comentarios históricos, taxonomía y nomenclatura, protozoología y cuadros anátomo-clínicos” en Revista Chilena de Infectología, Santiago, 2006; 23(3): 200-214.

3 Ministerio de Salud (MINSA), Norma técnica para la atención integral de Carbunco Humano, 2006.

BOTULISMO

El botulismo es una enfermedad grave y puede ser mortal. Sin embargo, es relativamente inusual. Es una intoxicación causada, generalmente, por la ingesta de alimentos contaminados con neurotoxinas muy potentes. *Clostridium botulinum* produce esporas termorresistentes ampliamente difundidas en el medioambiente que en ausencia de oxígeno germinan, crecen y excretan toxinas. Existen siete formas diferentes de toxina botulínica identificadas con las letras de la A a la G. Cuatro de ellas (tipos A, B, E y, ocasionalmente, la F) pueden causar botulismo humano. Los tipos C, D y E provocan enfermedades en otros mamíferos, aves y peces. Los síntomas iniciales incluyen fatiga intensa, debilidad y vértigo, seguidos, generalmente, por visión borrosa, sequedad de boca y dificultad para tragar y hablar. También pueden concurrir vómitos, diarrea, constipación e inflamación abdominal⁴.

El diagnóstico de laboratorio consiste en la detección de la toxina botulínica y el aislamiento del germen. La primera se realiza mediante la prueba de toxicidad en el ratón; la cual, consiste en inocular intraperitonealmente al ratón con una muestra de suero y observar su reacción durante cuatro días. La segunda, la identificación del *C. botulinum*, se basa en: a) la reacción de la lipasa, b) la coloración de Gram, c) la determinación de requerimientos de crecimiento anaeróbico, d) la demostración de toxigenicidad y e) la identificación del tipo de toxina⁵.

BRUCELOSIS

La brucelosis es la zoonosis más difundida y transmitida por diversos animales (ganado bovino, ovino, caprino y porcino, camellos y búfalos) mediante contacto directo con la sangre, la placenta, fetos o secreciones uterinas, o por el consumo de productos de origen animal infectados y crudos (especialmente leche y productos lácteos). La brucelosis humana debida a la *Brucella melitensis* tiene graves consecuencias de salud pública en las zonas donde se cría ganado ovino y caprino. La brucelosis puede presentarse con inicio de fiebre continua intermitente y de duración variable, sudoración profusa, fatiga, anorexia, pérdida de peso, dolor de cabeza, artralgia y dolor generalizado⁶.

Al respecto, el aislamiento de *Brucella* spp. constituye el método de diagnóstico definitivo. Suele obtenerse por hemocultivo o cultivo de médula ósea y, más raramente por cultivo de líquido cefalorraquídeo, líquido articular, exudado purulento, etc. El medio clásico de Ruiz Castañeda, que usa una fase sólida y otra líquida, es el más apropiado para el diagnóstico. Adicionalmente, se realiza la detección de anticuerpos frente a *Brucella* mediante las pruebas de Rosa de Bengala como prueba de despistaje inicial o screening, seroaglutinación en tubo o placa con pocillos y seroaglutinación tras tratamiento del suero con 2 – mercaptoetanol.

4 Organización Mundial de la Salud (OMS). Botulismo. Nota descriptiva n.º 270, agosto de 2013.

5 María Isabel Farace, Edgardo Castelli, Manual de procedimientos: diagnóstico de botulismo en muestras clínicas y de alimentos, 2007

6 Organización Mundial de la Salud (OMS). Zoonosis – brucelosis

CLAMIDIASIS

Las clamidias son un grupo especial de bacterias. Poseen ADN y ARN, ribosomas similares a los de las bacterias Gram negativas y pared celular, pero tienen un ciclo vital peculiar; el cual, transcurre en buena parte en el interior de las células. Asimismo, su forma contagiosa, denominada cuerpo elemental, está adaptada a la vida extracelular. *C. trachomatis* infecta preferentemente el epitelio columnar de las mucosas de los ojos, las vías respiratorias y los genitales. Esta infección induce inmunidad, pero, a menudo, persiste durante meses o años, si el paciente no recibe tratamiento.

Existen cuatro modalidades de diagnóstico microbiológico para las infecciones por *C. trachomatis*: examen microscópico directo, cultivo, serología y detección de antígenos y de ácido nucleicos. La microinmunofluorescencia se encuentra entre las más recomendables y se emplea especialmente en casos de neumonías en recién nacidos y de perihepatitis ⁷.

CISTICERCOSIS

La cisticercosis es la infección por la tenia en la fase larvaria (cisticerco). Una vez en el interior del cuerpo pueden desarrollarse cisticercos en diversos tejidos, como músculos, tejidos subcutáneos, ojos y encéfalo; los que se encuentran en el sistema nervioso central causan neurocisticercosis, la forma más grave de la enfermedad. La teniasis se transmite al ser humano a través de la ingestión accidental de cisticercos presentes en carne de cerdo o de vacuno poco cocinada. La teniasis por *Taenia solium* o *Taenia saginata* se caracteriza generalmente por síntomas leves e inespecíficos. Puede cursar con dolor abdominal, náuseas, diarrea o estreñimiento, que aparecen entre 6 y 8 semanas después de la ingestión de los cisticercos, una vez que la tenia se ha desarrollado completamente⁸.

En la teniasis intestinal se diagnostica por la eliminación de proglótidas móviles en las heces o en la ropa interior. El examen parasitológico seriado con método de enriquecimiento por sedimentación debe ser complementado con la prueba de Graham que permite observar los huevos depositados en la zona perianal. En la neurocisticercosis se utilizan: el diagnóstico por imágenes (tomografía axial computada y resonancia magnética nuclear), el diagnóstico por detección de anticuerpos específicos en sangre y LCR, la técnica de ELISA, Western Blot y biopsia de cerebro para estudio histopatológico ⁹.

DENGUE

El dengue es una infección vírica transmitida por la picadura de las hembras infectadas de mosquitos del género *Aedes aegypti*. Hay cuatro serotipos de virus del dengue (DEN 1, DEN 2, DEN 3 y DEN 4). Los síntomas aparecen entre 3 a 14 días (promedio de 4 a 7 días) después de la picadura infectiva. La enfermedad se manifiesta como un síndrome febril y afecta a lactantes, niños/as pequeños/as y adultos/as. Los síntomas varían desde una fiebre moderada hasta una fiebre alta incapacitante con cefaleas intensas, dolor retroorbitario, dolor muscular y articular, y exantema ¹⁰.

Las pruebas de laboratorio incluyen pruebas serológicas, cultivo celular y pruebas biomoleculares. Para el diagnóstico serológico es necesaria la obtención de sueros pareados (fase aguda y convaleciente) y consiste en la identificación de anticuerpos IgM e IgG mediante pruebas de ELISA.

7 Roca B. "Infecciones por clamidias (Chlamydial infections)". An. Med. Interna [Internet].2007; 24(6).

8 Organización Mundial de la Salud (OMS). Teniasis/Cisticercosis. Nota descriptiva n.º 376, 2013.

9 Organización Panamericana de la Salud (OPS). Cisticercosis o cisticerciasis.

10 Organización Mundial de la Salud (OMS). Dengue. Temas de salud, 2014.

ENCÉFALO EQUINO ANIMAL I

La encefalitis equina venezolana, son zoonosis transmitidas por mosquitos a humanos y equinos, y son mantenidos en la naturaleza en ciclos enzoóticos de transmisión entre mosquitos y roedores silvestres o aves, que son sus huéspedes naturales. El periodo de incubación de la EEV varía entre 1 a 5 días. Al respecto, la enfermedad tiene un comienzo súbito con escalofrío, dolor de cabeza, fiebre, dolores musculares y postración, leves movimientos de los ojos y rigidez de la nuca. Asimismo, la astenia, el mareo y el malestar general producen incapacidad del paciente.

El diagnóstico virológico se realiza mediante el aislamiento viral en una variedad de líneas celulares o ratones lactantes a partir sangre LCR o muestras de tejidos. La detección de antígeno por ensayo inmunoenzimático (ELISA) o la amplificación parcial del ácido nucleico viral por RT-PCR son procedimientos rápidos de diagnóstico¹¹.

ENFERMEDAD DE CARRIÓN

La enfermedad de Carrión o bartonelosis humana es una enfermedad infecciosa cuyo agente etiológico es la *Bartonella bacilliformis*, una proteobacteria aeróbica Gram negativa, polimórfica y flagelada. La transmisión se atribuye a mosquitos flebotómicos del género *Lutzomyia*, especialmente a las especies *verrucarum* y *peruensis*, conocidas popularmente como titira o manta blanca. También, se puede transmitir por transfusiones sanguíneas. Al respecto, el/la paciente presenta, inicialmente, manifestaciones generales como hiporexia, malestar, decaimiento y, progresivamente, se agrega dolor osteomuscular y artralgias. Entre las manifestaciones graves y complicadas se pueden observar anemia severa, trastornos convulsiones, agitación psicomotriz y deterioro del sensorio hasta llegar al coma¹².

El diagnóstico de laboratorio incluye el frotis de sangre con tinción Wright o Giemsa, el aislamiento mediante cultivo en agar sangre y con el propósito de identificar las diferentes especies de *Bartonella* se emplea el secuenciamiento genético de los productos amplificados por PCR. También, se usan cultivos celulares y pruebas serológicas como inmunofluorescencia, hemaglutinación indirecta, ELISA 1 y Western Blot.

ENFERMEDAD DE CHAGAS

La enfermedad de Chagas es, también, llamada tripanosomiasis americana. Es una enfermedad potencialmente mortal causada por el parásito protozoo *Trypanosoma cruzi*; el cual, es transmitido a los animales y a las personas a través de insectos vectores que se encuentran solamente en las Américas. A los insectos vectores se les conoce como triatomínicos y son conocidos comúnmente en la región suroccidental del Perú, como "chirimachas". La enfermedad de Chagas tiene dos fases: la fase aguda y la fase crónica. Ambas fases, pueden ser asintomáticas o ser potencialmente mortales. Los síntomas que nota el paciente pueden incluir fiebre, fatiga, dolor en cuerpo, dolor de cabeza, sarpullido, pérdida de apetito, diarrea y vómito¹³.

La demostración del parásito en la sangre periférica puede hacerse por un examen en fresco, frotis y gota gruesa, método de concentración de Strout, hemocultivo, xenodiagnóstico y PCR .

11 Organización Panamericana de la Salud (OPS). Encefalitis equinas transmitidas por artrópodos. Centro Panamericano de Fiebre Aftosa

12 Ministerio de Salud (MINSA). Atención de la bartonelosis o enfermedad de Carrión en el Perú. 2006.

13 Centros para el Control y la Prevención de Enfermedades (CDC). Parásitos – Enfermedad Chagas.

ENTEROPATÓGENOS

Conjunto de enfermedades producidas por parásitos intestinales. Los helmintos más importantes son: *Enterobius vermicularis*, *Hymenolepis nana*, *Trichuris trichura*, *Taenia solium*, *Ascaris lumbricoides*, *Taenia saginata*, *Estrongyloides estercoralis*, *Diphyllobothrium latum*, *Hymenolepis diminuta*, *Fasciola* sp. etc. Adicionalmente, se puede incluir en este grupo a los protozoarios más importantes: *Giardia intestinalis*, *Entamoeba histolytica*, *Isospora belli*, *Sarcocystis hominis*, *Ciclospora cayetanensis*, *Blastocystis hominis*, *Dientamoeba fragilis*, *Enterocytozoon bieneusis* y *Encephalitozoon intestinalis*.

En general, la mayoría de estos parásitos produce manifestaciones gastrointestinales (síndrome diarreico agudo o crónico, dolor abdominal, vómitos, anemia, cefalea, adinamia, fiebre, infecciones urinarias, eosinofilia, vulvitis y prurigo), aunque cada uno de ellos se acompaña de síntomas característicos más específicos. Su diagnóstico por el laboratorio se basa en diferentes técnicas de identificación de las formas adultas, larvianas, huevos y quistes de cada uno de los parásitos o de sus productos. Otras técnicas incluyen la identificación de antígenos específicos en el suero; por ejemplo, mediante técnicas de inmunoblot.

EHRlichiosis

Es una zoonosis cuyo agente etiológico es la Ehrlichia; la cual, es una bacteria Gram negativa perteneciente al orden Rickettsiales y cuyo vector es la garrapata. Entre los signos y síntomas que presentan son: fiebre, cefalea, artralgia, mialgia, anorexia, náusea, vómitos, escalofríos, neumonía y exantema. El diagnóstico etiológico indirecto se realiza por medio de pruebas como la inmunofluorescencia, Western Blot y PCR¹⁴.

FASCIOLosis

La fasciolosis es una zoonosis causada por el trematodo *Fasciola hepática*, que afecta a animales vertebrados herbívoros (vacas, ovejas, cabras, entre otros) y a humanos. La infección se adquiere debido a la ingesta de diversos vegetales acuáticos crudos, algunos terrestres, o agua contaminados con metacercarias, la forma infectante.

Durante la fase aguda, las manifestaciones incluyen dolor abdominal, hepatomegalia, fiebre, vómitos, diarrea, urticaria y eosinofilia, y pueden durar meses. En la fase crónica, los síntomas son más discretos y reflejan la obstrucción biliar intermitente y la inflamación¹⁵.

FIEBRE AMARILLA

La fiebre amarilla es una enfermedad vírica aguda, hemorrágica, transmitida por mosquitos infectados. El término "amarilla" alude a la ictericia que presentan algunos pacientes. El virus de la fiebre amarilla es un arbovirus del género *Flavivirus* y su vector principal son los mosquitos; los cuales, transmiten el virus de un huésped a otro, principalmente entre los monos, pero también del mono a la persona y de una persona a otra. Una vez contraído el virus y pasado el periodo de incubación de 3 a 6 días, la infección puede cursar en una o dos fases. La primera, aguda, suele causar fiebre, mialgias con dolor de espalda intenso, cefaleas, escalofríos, pérdida de apetito y náuseas o vómitos¹⁶.

14 Enfermedades emergentes y reemergentes en Yucatán a finales del siglo XX. <http://www.revbiomed.uady.mx/pdf/rb97847.pdf>.

15 Centros para el Control y la Prevención de Enfermedades (CDC). Fascioliasis.

16 Organización mundial de la Salud (OMS). Fiebre amarilla. Nota informativa n.º 100, 2014.

Las pruebas de laboratorio para su diagnóstico incluyen pruebas serológicas, cultivo celular y pruebas biomoleculares. Para el diagnóstico serológico es necesaria la obtención de sueros pareados (fase aguda y convaleciente) y consiste en la identificación de anticuerpos IgM e IgG mediante pruebas de ELISA.

FIEBRE DE CHIKUNGUNYA

La fiebre chikungunya es una enfermedad vírica transmitida a las personas por mosquitos infectados. Además de fiebre y fuertes dolores articulares, produce otros síntomas; tales como dolores musculares, dolores de cabeza, náuseas, cansancio y erupciones cutáneas.

Algunos signos clínicos de esta enfermedad son iguales a los del dengue, con el que se puede confundir en zonas donde este es frecuente.

Para establecer el diagnóstico se utilizan, entre otros, las pruebas serológicas, como la inmunoabsorción enzimática (ELISA), pueden confirmar la presencia de anticuerpos IgM e IgG contra el virus chikungunya. Las mayores concentraciones de IgM se registran entre 3 y 5 semanas después de la aparición de la enfermedad, y persisten unos 2 meses. Las muestras recogidas durante la primera semana tras la aparición de los síntomas deben analizarse con métodos serológicos y virológicos (RT-PCRt).

FIEBRE DE MAYARO

La fiebre Mayaro es una zoonosis producida por un arborvirus, género Alphavirus, familia Togavirus, endémico en bosques húmedos tropicales de la región tropical de Sudamérica transmitido por mosquitos *Haemagogus*. Los casos humanos se asocian con exposiciones recientes a ambientes húmedos boscosos donde habitan los vectores. Al respecto, la enfermedad es parecida al dengue, con un inicio rápido de fiebre, dolores generalizados, cefalea, dolor retroocular, mareos, artralgias generalizadas y edema articular muchas veces incapacitante. El curso de la enfermedad es autolimitado, de tres a cinco días, no letal. No obstante, las artralgias pueden durar semanas o meses¹⁷.

INFECCIONES GONOCÓCICAS – GONORREA

La gonorrea es una enfermedad de transmisión sexual (ETS) que puede infectar tanto a los varones como a las mujeres. Puede causar infecciones en los genitales, el recto y la garganta. Se puede contraer gonorrea al tener relaciones sexuales anales, vaginales y orales con una persona que tenga esta enfermedad. Es posible que algunos varones con gonorrea no presenten ningún síntoma. No obstante, los varones que presentan síntomas pueden tener sensación de ardor al orinar, secreción de color blanco, amarillo o verde del pene, dolor o inflamación en los testículos.

¹⁷ Organización Panamericana de la Salud (OPS). Alerta epidemiológica: brote de fiebre mayaro en las américas. 2010

FIEBRE DE OROPUCHE

La fiebre de Oropouche es una zoonosis producida por el virus de Oropouche, un bunyavirus del grupo Simbu. Es transmitido a las personas, principalmente, por la picadura del mosquito *Culicoides paraensis*. Al respecto, la enfermedad produce un cuadro similar al dengue.

Asimismo, tiene un periodo de incubación de 4 a 8 días, con rango entre 3 y 12 días. El inicio es súbito, generalmente, con fiebre, cefalea, artralgia, mialgias, escalofríos, y a veces náuseas y vómitos persistentes hasta 5 a 7 días. Ocasionalmente, puede presentarse meningoencefalitis¹⁸.

INFECCION POR CITOMEGALOVIRUS

El citomegalovirus (CMV) es uno de los virus del herpes. Este grupo de virus abarca los virus del herpes simple, los virus de la varicela-zóster (que causan varicela y culebrilla) y los virus de Epstein-Barr (que causan mononucleosis infecciosa, también conocida en inglés como "mono"). La infección por CMV es una infección común que normalmente no hace daño. Una vez que el CMV se aloja en el cuerpo de una persona, se mantendrá ahí de por vida. Pueden presentar signos y síntomas leves como los siguientes: fiebre, dolor de garganta, cansancio y glándulas inflamadas. El citomegalovirus (CMV) puede enfermar gravemente a los bebés que contrajeron la infección antes del nacimiento. Se transmite a través del contacto cercano con una persona que tiene el virus en la saliva, la orina u otros líquidos corporales.

Un análisis de sangre para estos anticuerpos puede saber si una persona ha sido infectada con CMV¹⁹.

ENFERMEDAD POR ENTEROVIRUS

Las enfermedades enterovirales se caracterizan por tener distintas formas de presentación que varían desde la infección subclínica a otras graves como la miocarditis, la encefalitis y la parálisis flácida aguda. Son virus de la familia Picornaviridae, género enterovirus. El período de incubación es de 3 a 6 días. Al respecto, la forma sintomática cursa como: enfermedad febril inespecífica, faringitis nodular, estomatitis, herpangina, neumonía, pleurodinia o mialgia epidémica o enfermedad de Bornholm, síndrome mano-pie-boca, diarrea aguda, miocarditis, miopericarditis, enfermedad exantemática, meningitis aséptica, encefalitis y parálisis aguda flácida.

Para el diagnóstico de la enfermedad se realiza las técnicas tradicionalmente utilizadas como el cultivo, aislamiento y serotipificación con antisueros neutralizantes específicos, aunque el rendimiento es bajo. También, se aplica serología (IgG e IgM específica en suero), técnica PCR-RT. d- Diferenciación intratípica²⁰.

ENFERMEDADES PARASITARIAS

Afecciones causadas por diversidad de agentes protozoarios y helmintos; las cuales, afectan distintas porciones del tubo digestivo, con una relación variable con la pared intestinal. Asimismo, ocasionan manifestaciones clínicas muy heterogéneas, ocurriendo en diferentes escenarios epidemiológicos que pueden impactar significativamente sobre la salud y la calidad de vida de las personas. Existen tres grupos de helmintos de importancia médica: nematodos (áscaris), cestodos (tenias) y trematodos (dístomas).

18 Organización Panamericana de la Salud (OPS). Alerta epidemiológica: brote de fiebre de oropouche. 2010.

19 Centros para el Control y la Prevención de Enfermedades (CDC). El Citomegalovirus (CMV) e Infección congénita por CMV.

20 Organización Panamericana de la Salud (OPS). Diagnóstico e investigación epidemiológica de las enfermedades transmitidas por los alimentos – Módulo 4.

Las fases que, normalmente, aparecen en las técnicas de diagnóstico son los huevos y las larvas. Con menos frecuencia, pueden verse gusanos adultos como el caso de *Ascaris* y *Enterobius* y el diagnóstico de algunos cestodos se basan en la observación de los segmentos o proglotis.

Entre los protozoos intestinales figuran las amebas y los flagelados. Se reconocen dos fases en el diagnóstico: la fase vegetativa o de trofozoíto y la fase latente quística. Ambas, pueden aparecer en las heces. Los trofozoítos suelen aparecer en las heces diarreicas o sueltas. En cambio, en las heces bien formadas aparecen habitualmente quistes²¹.

INFECCIÓN POR VIRUS HANTA

El hantavirus es una enfermedad viral aguda grave causada por el virus Hanta. La infección por hantavirus puede progresar a síndrome pulmonar por hantavirus (SPH); el cual, puede ser fatal. Las personas se infectan por contacto con roedores infectados por hantavirus o su orina y excrementos y pueden causar fiebre hemorrágica con síndrome renal (FHSR). Al respecto, el control de roedores dentro y alrededor de la casa sigue siendo la estrategia principal para prevenir la infección por hantavirus.

Los síntomas pueden desarrollarse entre 1 y 5 semanas después de la exposición a la orina fresca, excrementos o saliva de roedores. Los primeros síntomas incluyen fatiga, fiebre y dolores musculares, sobre todo en los grandes grupos musculares-muslos, caderas, espalda y hombros²².

HEPATITIS VIRAL

La hepatitis es una inflamación del hígado causada, generalmente, por una infección vírica. Se conocen cinco tipos principales de virus de la hepatitis, designados como A, B, C, D y E. Estos son los que mayor preocupación generan debido a la gran morbilidad y mortalidad que conllevan y a su potencial para causar brotes y propagarse de forma epidémica. En particular, los tipos B y C dan lugar a una afección crónica en cientos de millones de personas y son en conjunto la causa más común de cirrosis y cáncer hepáticos²³.

Para el diagnóstico de las hepatitis virales se utilizan técnicas de ELISA. Se detecta el antígeno de superficie de la hepatitis B (HBsAg), el anticuerpo contra el antígeno de superficie (anti-HBs), el anticuerpo contra el antígeno core total (anti HBc), el anticuerpo IgM contra el antígeno core (anti-HBc IgM), el anticuerpo contra el antígeno delta (anti-HD IgM), el anticuerpo IgM contra el virus de la hepatitis A (IgManti-HAV), el anticuerpo contra el virus de la hepatitis C (anti HVC) y el anticuerpo IgM contra el virus de la hepatitis E (IgM anti-HEV).

HERPES I – II

El herpes es una enfermedad de transmisión sexual (ETS) que cualquier persona sexualmente activa puede contraer. La mayoría de las personas con el virus no tiene síntomas. Es importante saber que aún sin presentar los signos de la enfermedad, se puede contagiar a una pareja sexual. El herpes genital es una ETS causada por dos tipos de virus. Estos virus se llaman herpes simple del tipo 1 y herpes simple del tipo 2. Las llagas del herpes genital, por lo general, se ven como una o más ampollas en los genitales, el recto o la boca.

21 Organización Mundial de la Salud (OMS). Parásitos intestinales. 1992.

22 Centros para el control y la prevención de enfermedades (CDC). Hantavirus.

23 Organización Mundial de la Salud (OMS). Alerta y Respuestas Mundiales: Hepatitis.

Las ampollas se abren y dejan llagas dolorosas que pueden tardar semanas en curarse. A estos síntomas a veces se les llaman “brotes”. La primera vez que una persona tiene un brote es probable que, también, presente síntomas similares a los de la influenza (gripe) como fiebre, dolores corporales e inflamación de glándulas²⁴.

HERPES 6

El VHH-6 (virus del herpes humano 6) es un virus muy común que causa síntomas como fiebre, diarrea y sarpullido. A veces, puede provocar problemas más graves como convulsiones e inflamación del cerebro. Casi todas las personas contraen el VHH-6 durante la infancia.

Las personas con sistemas inmunes fuertes combaten el virus y no tienen problemas de salud a largo plazo. Luego de que su sistema inmune lo combate, el virus puede permanecer en su organismo, aunque ya no esté provocando síntomas. El VHH-6 es un tipo de virus del herpes, pero es diferente del herpes al que las personas se contagian por contacto sexual²⁵.

HIDATIDOSIS O ECHINOCOCOSIS

La equinococosis humana es una enfermedad parasitaria provocada por céstodos del género *Echinococcus*. Las dos formas más importantes de la enfermedad en el ser humano son la equinococosis quística (hidatidosis) y la equinococosis alveolar. La persona se infecta por la ingestión de huevos de parásitos presentes en alimentos, agua o suelo contaminados, o por contacto directo con animales huéspedes (como zorros, perros o gatos). La infección humana por *E. granulosus* conduce al desarrollo de una o más hidátides localizadas principalmente en el hígado y los pulmones, y con menor frecuencia en los huesos, riñones, bazo, músculos, sistema nervioso central y ojos²⁶.

El diagnóstico por el laboratorio se realiza a través de pruebas serológicas de tipo inmunoblot.

INFECCIONES POR VIRUS LINFOTRÓPICO T HUMANO - HTLV-1

El virus linfotrópico T humano 1 (HTLV-1) forma parte de la familia Retroviridae, clasificado dentro del género Deltaretrovirus. Este agente infeccioso consiste en partículas esféricas de 100 nm de diámetro, aproximadamente, provista de una envoltura lipoproteica que obtiene de las células huésped sobre la cual se implantan proteínas de superficie y transmembrana propias del virión. En su interior, se encuentra una cadena simple de ARN en sentido positivo y las enzimas integrasa y transcriptasa reversa formando una nucleocápside icosaédrica. Se transmite por contacto sexual, vía transplacentaria, transfusión de hemoderivados y está especialmente relacionado con la lactancia materna.

Existe una clasificación de las enfermedades severas asociadas a la infección por HTLV-1, agrupadas en tres categorías: síndromes inflamatorios (paraparesia espástica tropical, uveítis), enfermedades neoplásicas (leucemia/linfoma de células T) e infecciones oportunistas (especialmente hiperinfección por *Strongyloides stercoralis* y *Sarcoptes scabiei*)²⁷.

24 Centros para el control y la prevención de enfermedades (CDC). Herpes.

25 Boletín educativo para el paciente, NIH Clinical Center. http://www.cc.nih.gov/ccc/patient_education/pepubs_sp/hhv6_sp.pdf

26 Organización Mundial de la Salud (OMS). Equinococosis. Nota descriptiva n.º 377, 2014.

27 “Virus linfotrópico T humano 1 (HTLV-1), strongyloidiasis y escabiosis. Infecciones y asociaciones a considerar”. Scielo: Invest. clín Maracaibo, 2008; v 49 (4).

LEISHMANIASIS

La leishmaniasis es causada por un protozoo parásito del género *Leishmania*, que cuenta con más de 20 especies diferentes. Se transmite a las personas por la picadura de flebótomos hembra infectados. Hay tres formas principales de leishmaniasis: visceral (la forma más grave de la enfermedad, a menudo conocida como kala-azar), cutánea (la más común) y mucocutánea.

La forma más común es la leishmaniasis cutánea; la cual, causa llagas en la piel. Las úlceras se desarrollan, típicamente, en unas pocas semanas o meses de la picadura de la mosca de arena y pueden cambiar de tamaño y apariencia con el tiempo. Las úlceras pueden comenzar como pápulas (protuberancias) o nódulos (protuberancias) y pueden terminar como úlceras (como un volcán, con un borde elevado y el cráter central). Asimismo, las úlceras de la piel pueden estar cubiertas por costra. Las llagas, generalmente, son indoloras, pero pueden ser dolorosas. Algunas personas tienen glándulas inflamadas cerca de las úlceras (por ejemplo, debajo del brazo, si estas se encuentran en el brazo o la mano)²⁸.

El diagnóstico definitivo de leishmaniasis requiere la demostración del parásito; el cual, puede ser observado en forma de amastigote en aquellas muestras procedentes de las lesiones, y/o en su forma de promastigote cuando son aislados de los cultivos. El parásito puede ser demostrado a través del frotis, cultivo, histopatología y a través de la inoculación en animales. Los métodos indirectos se basan en la detección de la enfermedad a través de la respuesta inmune celular y/o de la respuesta inmune humoral a través de anticuerpos específicos desarrollados como consecuencia de la enfermedad; los cuales, incluyen la intradermorreacción de Montenegro (leishmanina), el método de ELISA/ DOT-ELISA y la inmunofluorescencia indirecta (IFI).

LEPTOSPIROSIS HUMANA

La leptospirosis es una enfermedad de distribución mundial y forma parte del grupo de enfermedades zoonóticas. La persona es una huésped accidental que se infecta directamente con orina, tejidos, semen y secreciones vaginales de animales infectados, e indirectamente con el agua de lagunas, acequias, ríos, charcos y otros, con suelo húmedo y vegetación contaminada con orina infectada. Los huéspedes reservorios son los animales silvestres y domésticos que eliminan las leptospiras con la orina por periodos variables, dependiendo de la especie animal.²⁹ En el Perú, se han identificado más de 60 serovariedades. Los síntomas más comunes son fiebre, escalofríos, mialgias, cefalea, conjuntivitis y síntomas respiratorios. Ocasionalmente, cursa con erupción cutánea, meningitis y uveítis. Puede presentarse ictericia, insuficiencia hepática y renal, anemia hemolítica y hemorragia en piel y mucosa.

El diagnóstico se confirma con la elevación de los títulos en las pruebas serológicas específicas, como aglutinación microscópica o mediante el aislamiento de leptospiras en sangre (en la primera semana) o líquido cefalorraquídeo (entre el cuarto y el décimo día) durante la fase aguda y en la orina después del décimo día, en medios especiales. Suele dar positiva la inoculación en cricetos, cobayos o jerbos de corta edad. Además, se usan la IFI y ELISA a fin de detectar los gérmenes en las muestras clínicas y de una necropsia.

²⁸ Centros para el control y la prevención de enfermedades (CDC). Leishmaniasis.

²⁹ Organización Mundial de la Salud (OMS). Paludismo. nota descriptiva n° 94, 2013.

MALARIA

El paludismo es causado por parásitos del género *Plasmodium* que se transmiten al ser humano por la picadura de mosquitos infectados del género *Anopheles*, los llamados vectores del paludismo, que pican sobre todo entre el anochecer y el amanecer. Hay cuatro tipos de paludismo humano: *Plasmodium falciparum*, *Plasmodium vivax*, *Plasmodium malariae* y *Plasmodium ovale*. Los más frecuentes son el paludismo por *P. falciparum* y por *P. vivax* y el más mortal el paludismo por *P. falciparum*.

El paludismo es una enfermedad febril aguda. Los síntomas aparecen a los 7 días o más (generalmente entre los 10 y los 15 días) de la picadura del mosquito infectivo. Los primeros síntomas son fiebre, dolor de cabeza, escalofríos y vómitos. Si no se trata en las primeras 24 horas, el paludismo por *P. falciparum* puede agravarse, llevando a menudo a la muerte³⁰.

El diagnóstico de laboratorio se realiza mediante el diagnóstico parasitológico que consiste en el examen microscópico de la muestra de sangre para demostrar la presencia del parásito; para lo cual, se usa la técnica de coloración de giemsa, con la cual podemos observar la gota gruesa y el frotis. El Diagnóstico inmunológico, abarca métodos inmunoserológicos que evalúan la inmunidad humoral y celular del huésped. Para el inmunodiagnóstico de malaria se tiene: inmunofluorescencia indirecta (IFI), ELISA, pruebas inmunocromatográficas (Dipstick), hemaglutinación, radioinmunoensayo, etc³¹.

MENINGITIS BACTERIANA

La meningitis es una inflamación de las leptomeninges (piamadre y aracnoides) con afectación del líquido cefalorraquídeo (LCR) que ocupa el espacio subaracnoideo, ocasionada por la presencia de una bacteria. *Haemophilus influenzae*, *Neisseria meningitidis* (meningococo) y *Streptococcus pneumoniae* (neumococo); los cuales, son los responsables del 70 a 85% de los casos de meningitis bacterianas.³² La bacteria se transmite de persona a persona a través de gotículas de las secreciones respiratorias o de la garganta. La propagación de la enfermedad se ve facilitada por el contacto estrecho y prolongado (besos, estornudos, tos, dormitorios colectivos, vajillas y cubiertos compartidos) con una persona infectada. El periodo de incubación medio es de cuatro días, pero puede oscilar entre dos y diez días. Los síntomas más frecuentes son rigidez de nuca, fiebre elevada, fotosensibilidad, confusión, cefalea y vómitos.

El diagnóstico inicial de la meningitis meningocócica puede establecerse a partir de la exploración física, seguida de una punción lumbar que muestra un líquido cefalorraquídeo (LCR) purulento. A veces, se puede observar la bacteria en el examen microscópico del LCR. El diagnóstico es respaldado o confirmado por el cultivo positivo de la sangre o del LCR, las pruebas de aglutinación o la reacción en cadena de la polimerasa (PCR).

MICOSIS I

La piel es el órgano principal de localización de las infecciones micóticas en las personas, siendo estas infecciones clasificadas en superficiales y profundas. Las micosis superficiales están limitadas a 0,1 y 0,7 mm de la superficie externa de la piel. Estos hongos se denominan dermatofitos y la patología que ellos producen se llama dermatofitosis. Los dermatofitos son filamentosos y tabicados.

30 Organización Mundial de la Salud (OMS). Paludismo. nota descriptiva n° 94, 2013.

31 Instituto Nacional de Salud (INS). Manual de procedimientos de laboratorio para el diagnóstico de malaria. 2003.

32 Centros para el control y la prevención de enfermedades (CDC). Epstein-Barr (EBV).

Asimismo, se clasifican en tres géneros: *Microsporum*, *Tricofiton* y *Epidermofiton*. Son queratinófilos y se nutren de ella, asentando en la persona sobre queratina no alterada.

MONONUCLEOSIS INFECCIOSA (EPSTEIN BARR)

Virus Epstein-Barr (VEB), también conocido como herpesvirus humano 4, es un miembro de la familia del virus herpes. Es uno de los virus humanos más comunes. El VEB se encuentra en todo el mundo. La mayoría de las personas se infectan con este virus en algún momento de sus vidas. El VEB se propaga más comúnmente a través de fluidos corporales, especialmente la saliva. Sin embargo, el EBV, también, puede propagarse a través de la sangre y el semen durante el contacto sexual, las transfusiones de sangre y trasplantes de órganos. El VEB puede causar mononucleosis infecciosa, también llamada mono, y otras enfermedades.

Los síntomas de la infección por VEB pueden incluir fatiga, fiebre, inflamación de garganta, ganglios linfáticos inflamados en el cuello, agrandamiento del bazo, inflamación del hígado, erupción. Asimismo, el diagnóstico de la infección por VEB puede ser un reto, ya que los síntomas son similares a otras enfermedades. La infección por el VEB puede ser confirmada con una prueba de sangre que detecta los anticuerpos. Alrededor del 90 % de los/as adultos/as tienen anticuerpos que demuestren que tienen una infección actual o pasada por VEB³³.

MYCOPLASMA PNEUMONIAE

Mycoplasma pneumoniae (*M. pneumoniae*) es una bacteria que causa infección en los pulmones. La bacteria causa la enfermedad al dañar el revestimiento de las vías respiratorias (garganta, tráquea y pulmones). Una persona que está enferma con infección por *M. pneumoniae* tiene esta bacteria en la nariz, la garganta, la tráquea y los pulmones. Esta bacteria se transmite de persona a persona a través de gotitas aerotransportadas (spread). Las personas que están enfermas con la infección generalmente transmiten la enfermedad al toser o estornudar.

Los laboratorios de referencia clínicos son capaces de proporcionar pruebas de diagnóstico para *Mycoplasma pneumoniae* (*M. pneumoniae*) mediante cultivos, la serología, o métodos moleculares³⁴.

PARÁLISIS FLÁCIDA

La poliomielitis es una enfermedad muy contagiosa causada por un virus que invade el sistema nervioso y puede causar parálisis en cuestión de horas. El virus se transmite de persona a persona, principalmente, por vía fecal-oral o, con menos frecuencia, a través de un vehículo común, como el agua o los alimentos contaminados, y se multiplica en el intestino. Los síntomas iniciales son: fiebre, cansancio, cefalea, vómitos, rigidez del cuello y dolores en los miembros.³⁵ La confirmación del laboratorio es indispensable para el diagnóstico definitivo. Las dos enfermedades que se confunden más a menudo con poliomielitis son el síndrome de Guillain-Barré (SGB) y la mielitis transversa.

33 Centros para el control y la prevención de enfermedades (CDC). Epstein-Barr (EBV).

34 Centros para el control y la prevención de enfermedades (CDC). *Mycoplasma pneumoniae*.

35 Organización Mundial de la Salud (OMS). Poliomielitis. Nota descriptiva, n.º 114, 2014.

Todos los poliovirus que se aíslan de las muestras de pacientes con parálisis flácida aguda o de contactos deben ser caracterizados. Esta caracterización determina si el virus es “salvaje” o “similar al de la vacuna”. La identificación inicial se confirma con la prueba de reacción en cadena de la polimerasa (RCP)³⁶.

PARVOVIRUS B19

La infección por parvovirus B19 puede causar dolor en las articulaciones o hinchazón (síndrome poliartropatía) y anemia severa (una condición en la cual el cuerpo no tiene suficientes glóbulos rojos saludables), que es más común en las personas. Esto puede conducir a crisis aplásica transitoria (TAC), hidropesía fetal, anemia congénita, aplasia pura de células rojas o anemia de larga duración o crónica.

El parvovirus B19 se propaga a través de secreciones respiratorias (como saliva, esputo o moco nasal) cuando una persona infectada tose o estornuda. El parvovirus B19, también, puede propagarse a través de sangre o productos sanguíneos. Asimismo, una mujer embarazada que está infectada con el parvovirus B19 puede transmitir el virus a su bebé.

La quinta enfermedad es una enfermedad leve y temeraria causada por el parvovirus B19. Esta enfermedad, también llamada Eritema infectiosum, tiene este nombre porque fue quinto en una lista de clasificaciones históricas de enfermedades comunes de erupción cutánea en niños/as. Es más común en niños/as que en personas adultas. Una persona generalmente se enferma con la quinta enfermedad dentro de 4 a 14 días después de ser infectada con parvovirus B19³⁷.

PESTE

Esencialmente, es una enfermedad de los roedores silvestres. La peste es una enfermedad bacteriana (*Y. pestis*) que se propaga de un roedor a otro por parásitos y pulgas y a las personas por la picadura de pulgas infectadas. Sin tratamiento, la mortalidad (en particular de la peste neumónica, que es muy contagiosa y letal) puede alcanzar niveles altos. También, hay un gran riesgo de infección nosocomial. Sin embargo, cuando se diagnostica rápidamente y se trata a tiempo, la peste puede controlarse exitosamente con antibióticos, reduciéndose la mortalidad del 60 % a menos del 15 %. Los brotes de peste, a menudo, están vinculados a la pobreza, los disturbios civiles y la guerra, y cuando la infraestructura de salud y las instalaciones se han venido abajo. Si estos brotes no están contenidos suponen un riesgo para la salud que va más allá de las fronteras nacionales.³⁸ Los síntomas son escalofríos, fiebre e inflamaciones en los ganglios (bubones [adenopatías]). Si la enfermedad fue transmitida por inhalación se denomina peste neumónica, ya que infecta a los pulmones. En este caso, los primeros signos de la enfermedad son: fiebre, dolor de cabeza, debilidad, tos productiva.

Los microorganismos de esta enfermedad pueden identificarse al realizar cultivos faríngeos de personas asintomáticas que hayan tenido contacto con enfermos de peste.

36 Organización Panamericana de Salud (OPS). Erradicación de la poliomielitis. Guía práctica. 2005.

37 Centros para el control y la prevención de enfermedades (CDC). Parvovirus B19.

38 Organización Mundial de la Salud (OMS). Peste.

La identificación, mediante el examen microscópico directo, de microorganismos Gram negativos, ovoides, coloración bipolar, en forma de “alfiler de seguridad”, de material de aspirados de bubón, de esputo o del líquido cefalorraquídeo, define solo un diagnóstico presuntivo y que no es concluyente de la infección. La prueba de anticuerpos fluorescentes o de ELISA con captura de antígeno es más específica y útil en los casos esporádicos. Al respecto, el diagnóstico es confirmado mediante el cultivo e identificación del agente causal, en el exudado de bubones, sangre, líquido cefalorraquídeo o esputo. También, es diagnosticado por un aumento o disminución en cuatro veces o más del título de anticuerpos. La prueba más usada para el diagnóstico serológico es la hemaglutinación pasiva con la fracción-1 de *Yersinia pestis* como antígeno.

RABIA

La rabia es una zoonosis producida por el virus de la rabia; el cual, causa una encefalomiелitis aguda en todos los mamíferos, incluyendo a las personas. Es mortal cuando no se administra tratamiento oportuno. Caracterizado porque la persona presenta alteraciones sensoriales imprecisas (“hormigueos” o parestesias) o dolor relacionado con el lugar de la mordedura del animal, malestar general, insomnio, dolor de cabeza, fiebre, sensación de angustia e intranquilidad, irritabilidad. En el periodo de excitación, continúa la fiebre, presenta hiperestesia y sialorrea (salivación abundante). Posteriormente, hay espasmos de la laringe y contracciones musculares dolorosas ante la presencia de agua (hidrofobia), a corrientes de aire (aerofobia) y a la luz (fotofobia). En el periodo paralítico, las personas pueden manifestar respuestas agresivas. Además, puede presentar dificultad para la deglución, delirio, alucinaciones y convulsiones. Suele observarse hemiparesias, parálisis flácida y coma. La muerte sobreviene a consecuencia de parálisis respiratoria³⁹.

Para el diagnóstico, se hace tinción específica de tejido cerebral con anticuerpos fluorescentes o por aislamiento del virus en ratón o en sistemas de cultivo celular. Un diagnóstico presuntivo se puede hacer por tinción específica con anticuerpos fluorescentes de cortes de piel delgada; por ejemplo, de la nuca, a nivel de la línea de implantación del cabello. En caso del diagnóstico serológico, se realizan las pruebas de neutralización en ratones o en cultivos celulares.

ROTAVIRUS

El género rotavirus pertenece a la familia Reoviridae. Es un virus ácido ribonucleico (ARN) de doble cadena, en once segmentos. Han sido identificados siete grupos principales de rotavirus denominados A, B, C, D, E, F, G. Sin embargo, solo los grupos A, B, y C infectan a las personas, siendo el grupo A el más importante.

Los rotavirus tienen la capacidad de adherirse al revestimiento epitelial del tracto gastrointestinal. El principal sitio de replicación del rotavirus son los enterocitos maduros sobre las vellosidades del intestino delgado alto, pero, también, se disemina hasta el íleo. Las lesiones en la mucosa se producen como resultado de la destrucción selectiva de la puntas de las vellosidades del intestino. Por eso, el mecanismo principal de inducción de la diarrea debido a la infección por rotavirus es la disminución de la absorción de la sal, glucosa y agua. El vómito empieza temprano en el curso de la enfermedad y es seguido por la diarrea acuosa; la cual, puede ser blanda y de corta duración o severa con deshidratación secundaria a pérdidas de fluidos gastrointestinales. Son comunes la fiebre y el dolor abdominal. El vómito y la fiebre ceden en los 2 a 3 días de la enfermedad y la diarrea suele persistir entre 4 y 5 días. Asimismo, la deshidratación severa puede llevar al choque y a la muerte⁴⁰.

39 Ministerio de Salud (MINSa). Norma técnica de prevención y control de la rabia en el Perú.

40 Organización Panamericana de la Salud (OPS). Protocolo para la vigilancia epidemiológica centinela de diarreas causadas por rotavirus y de la invaginación intestinal. 2007.

RICKETTSIAS HUMANOS

Son un grupo de enfermedades con clínica similar, causadas todas por Rickettsias muy afines. Son transmitidas por las garrapatas duras o Ixodidae, que se encuentran distribuidas ampliamente en todo el mundo. Las especies varían mucho según la zona geográfica. Los inmunoensayos enzimáticos y las pruebas de anticuerpos por IFI se tornan positivos a partir de la segunda semana de la enfermedad.

Las pruebas de fijación del complemento que emplean antígenos de fiebres maculosas con especificidad de grupo, lo hacen un poco después. Las pruebas de Weil-Felix con Proteus OX-19 y Proteus OX-2 son mucho menos específicas y sus resultados deben confirmarse por medio de pruebas serológicas más directas.

RUBEOLA/ SARAMPIÓN

El sarampión es causado por un virus de la familia de los paramixovirus que normalmente crece en las células de revestimiento de la faringe y los pulmones. Se trata de una enfermedad humana que no afecta a los animales. El primer signo del sarampión suele ser la fiebre alta, que comienza unos 10 a 12 días después de la exposición al virus y dura entre 4 y 7 días. En la fase inicial el paciente puede presentar rinorrea, tos, ojos llorosos y rojos, y pequeñas manchas blancas en la cara interna de las mejillas. Al cabo de varios días aparece un exantema, generalmente en el rostro y la parte superior del cuello, acabando por afectar a las manos y pies, para luego desvanecerse. El intervalo entre la exposición al virus y la aparición del exantema oscila entre 7 y 18 días (media de 14 días). El sarampión suele ser leve o moderadamente grave. Los casos graves son especialmente frecuentes en niños pequeños malnutridos. El virus del sarampión es muy contagioso y se propaga por la tos y los estornudos, el contacto personal íntimo o el contacto directo con secreciones nasales o faríngeas infectadas⁴¹.

Se diagnostican mediante pruebas inmunoserológicas, a través de la detección de IgM específica para el virus de sarampión o de la rubéola. El empleo de técnicas de ELISA de captura o indirectas representa el patrón establecido internacionalmente para descartar o confirmar el diagnóstico. Simultáneamente, pueden tomarse muestras de orina o hisopado nasofaríngeo; las cuales, permiten establecer la distribución geográfica y grupo genético del virus aislado.

SÍFILIS

La sífilis es una infección de transmisión sexual (ITS) causada por una bacteria con forma de sacacorchos llamada *Treponema pallidum*. La sífilis es transmitida a través del contacto sexual, ya sea por vía vaginal, anal u oral. También, por el contacto directo con la lesión o herida húmeda de la sífilis. Las lesiones de sífilis se les conocen como "chancros" y aparecen, principalmente, en los genitales y no presentan dolor, razón por la cual muchas personas no buscan ayuda médica. También, puede pasarse al besar o a través del contacto manual u otro contacto personal cercano. Esta enfermedad se busca en toda gestante, ya que las mujeres embarazadas con sífilis pueden transmitir esta infección a sus bebés durante el embarazo, antes del parto. A esta forma de enfermedad se llama sífilis congénita.

41 Organización Mundial de la Salud (OMS). Sarampión. Nota descriptiva n.º 286, 2014.

La persona infectada seguirá teniendo sífilis aun cuando no tenga ni signos ni síntomas, ya que la infección permanece en el organismo. Progresa, entonces, a la etapa final de la sífilis llamada sífilis terciaria y en ella la infección se puede dirigir al cerebro (sistema nervioso en general), al corazón, a la piel y a los huesos. Entre los signos y síntomas de la fase terciaria de la sífilis, se encuentran la dificultad para coordinar los movimientos musculares, parálisis, ceguera gradual, demencia y muchos otros signos neurológicos que pueden causar la muerte de la persona infectada⁴².

El diagnóstico de laboratorio se corrobora, generalmente, por estudios serológicos sanguíneos y en el LCR, en tanto estén indicados. Las pruebas reactivas positivas con antígenos no treponémicos (como el caso de la reagina plasmática rápida o RPE) y el VDRL (o método de laboratorio de investigación de enfermedades venéreas) deben conformarse por otros estudios que usen antígenos treponémicos, en caso disponer de ellos, a fin de agilizar la exclusión de reacciones biológicas falsas positivas.

TOS FERINA

La tos ferina es una infección aguda de las vías respiratorias causada por la bacteria *Bordetella pertussis*, que se transmite de una persona infectada a otra susceptible, por medio de gotículas expulsadas por las vías respiratorias. Tiene un periodo de incubación de 7 a 10 días. Posteriormente, las personas enfermas desarrollan síntomas catarrales, incluida la tos. Las distintas fases de la enfermedad (catarral, convulsiva y de convalecencia) pueden durar de uno a varios meses. En su fase inicial catarral, la tos ferina es, fácilmente, transmisible con una tasa de ataque secundaria de hasta el 90 % en personas no inmunes, que mantienen contacto con la persona enferma⁴³.

Entre las técnicas disponibles para el diagnóstico de tos ferina, tenemos: técnicas microbiológicas, inmunológicas, serológicas y moleculares. El aislamiento por cultivo se realiza en el medio de Bordet Gengou, aunque se pueden emplear otros medios. La técnica inmunológica más requerida es la inmunofluorescencia directa. También, están disponibles las técnicas de ELISA y la reacción en cadena de la polimerasa.

TOXOPLASMOSIS

Toxoplasma gondii es un protozoo parásito de distribución mundial que se transmite a las personas de varios modos. Los gatos, que constituyen su reservorio principal, son los únicos animales que eliminan oocistos por las heces. Los oocistos permanecen viables en el suelo húmedo durante muchos meses. Una vez ingeridos, liberan formas invasivas que rápidamente se transforman en taquizoitos; los cuales, experimentan una multiplicación asexual en los macrófagos tisulares. Los taquizoitos intracelulares se dispersan, luego, por la circulación sanguínea y linfática alcanzando así el cerebro, el corazón y los pulmones. La infección primaria de una persona inmunodeficiente puede dar lugar a encefalitis, miocarditis o neumonitis como consecuencia de la multiplicación incontrolada de taquizoitos. El síndrome de inmunodeficiencia adquirida (sida) ha originado un aumento pronunciado de los casos de encefalitis toxoplásmica⁴⁴.

42 Universidad Peruana Cayetano Heredia (UPCH). Sífilis.

43 Organización Panamericana de la Salud (OPS). Alerta epidemiológica: tos ferina, 2012

44 Organización Mundial de la Salud (OMS). Toxoplasmosis

Para el diagnóstico, se consideran los signos clínicos confirmados por la serología, demostración del agente en tejidos o líquidos corporales por biopsia o necropsia, o la identificación en animales o en cultivos celulares. Asimismo, se determina una infección activa por el aumento en los niveles de anticuerpos. Una prueba definitiva de infección congénita radica en la presencia de IgM específica o de niveles crecientes en los títulos de IgG en una serie de sueros en lactantes, o ambos fenómenos. Por último, pueden persistir durante años los niveles elevados de anticuerpos IgG, sin relación con la enfermedad activa.

TUBERCULOSIS

La tuberculosis es causada por *Mycobacterium tuberculosis*. Es una bacteria que casi siempre afecta a los pulmones. La infección se transmite de persona a persona a través del aire. Cuando una persona enferma de tuberculosis pulmonar tose, estornuda o escupe, expulsa bacilos tuberculosos al aire. Basta con que una persona inhale unos pocos bacilos para quedar infectada. La afección es curable y se puede prevenir. Los síntomas comunes de la tuberculosis pulmonar activa son: tos productiva (a veces con sangre en el esputo), dolores torácicos, debilidad, pérdida de peso, fiebre y sudores nocturnos. La tuberculosis afecta, principalmente, a los/as adultos/as jóvenes; es decir, en la edad más productiva, pero todos los grupos de edad están en riesgo. Las personas infectadas simultáneamente por el VIH y el bacilo tuberculoso tienen entre 21 y 34 veces más probabilidades de enfermar de tuberculosis⁴⁵.

El diagnóstico presuntivo de enfermedad activa se hace al demostrar la presencia de bacilos acidorresistentes en frotis teñidos de esputo u otros líquidos corporales.

VIH/SIDA

El virus de la inmunodeficiencia humana (VIH) infecta a las células del sistema inmunitario alterando o anulando su función. La infección produce un deterioro progresivo del sistema inmunitario con la consiguiente inmunodeficiencia. Al respecto, se considera que el sistema inmunitario es deficiente cuando deja de poder cumplir su función de lucha contra las infecciones y enfermedades.

El síndrome de inmunodeficiencia adquirida (SIDA) es un término que se aplica a los estadios más avanzados de la infección por VIH y se define por la presencia de alguna de las más de 20 infecciones oportunistas o de cánceres relacionados con el VIH. El VIH puede transmitirse por las relaciones sexuales vaginales, anales u orales con una persona infectada, la transfusión de sangre contaminada o el uso compartido de agujas, jeringuillas u otros instrumentos punzantes. Asimismo, puede transmitirse de la madre al hijo durante el embarazo, el parto y la lactancia. Los síntomas de la infección por el VIH varían en función del estadio en que se encuentre. No obstante, en la mayoría de los casos el pico de infectividad se alcanza en los primeros meses. Asimismo, muchas veces la persona ignora que es portadora hasta que alcanza fases más avanzadas y otras presentan una afección de tipo gripal con fiebre, cefalea, erupción o dolor de garganta⁴⁶.

El diagnóstico de laboratorio se realiza mediante el empleo inicial de pruebas de inmunoensayo (ELISA). Si esta resulta reactiva, debe suplementarse con otras más específicas: inmunofluorescencia indirecta y Western Blot. Durante el periodo que transcurre entre la infección y la seroconversión (aproximadamente tres meses), puede utilizarse la prueba de detección de antígeno p24 y pruebas de PCR.

45 Organización Mundial de la Salud (OMS). Tuberculosis, 2014; Nota descriptiva n.º 104.

46 Organización Mundial de la Salud (OMS). VIH/SIDA

VARICELA

La varicela es una enfermedad infecciosa aguda, altamente contagiosa, autolimitada y universalmente difusa. El agente etiológico es el virus varicela-zoster (VZV), un herpes virus con DNA a doble hélice del cual se conoce un único serotipo. Después de la infección primaria que causa la varicela, el virus persiste en forma latente en los ganglios de las raíces de los nervios espinales y craneales y su reactivación provoca la aparición del herpes zoster.

En general, la varicela tiene un curso benigno en los niños/as sanos/as e inmunocompetentes, mientras puede adquirir mayor gravedad cuando desarrolla en neonatos/as o en adultos/as. La infección de VZV puede ser particularmente grave si se la contrae durante el embarazo, tanto para la madre como para el producto de la concepción.⁴⁷

VIRUS DEL ZIKA

El virus del Zika es un flavivirus transmitido, principalmente, a través de la picadura de mosquitos infectados del género *Aedes*, y sobre todo de *Aedes aegypti* en las regiones tropicales. Los mosquitos *Aedes* suelen picar durante el día, sobre todo al amanecer y al anochecer, y son los mismos que transmiten el dengue, la fiebre chikungunya y la fiebre amarilla.

Asimismo, es posible la transmisión sexual y se están investigando otros modos de transmisión, como las que se dan mediante transfusiones de sangre.⁴⁸

INFLUENZA (VIRUS RESPIRATORIO)

La influenza es causada por un virus que ataca preferentemente el tracto respiratorio alto (la nariz y garganta-bronquios) y raramente, también, los pulmones. La infección, usualmente, dura una semana y se caracteriza por un inicio súbito de fiebre alta, dolores musculares, dolor de cabeza, severo malestar general, tos no productiva, dolor de garganta y secreción nasal. La mayoría de las personas se recupera en una o dos semanas sin requerir tratamiento alguno. Los virus, actualmente, circulantes que causan la enfermedad en las personas se dividen en dos grupos: A y B. La influenza A tiene dos subtipos; los cuales, son importantes para las personas: A (H3N2) y A (H1N1) que son asociados con mayor mortalidad. Los virus de la influenza son definidos por dos componentes proteínicos diferentes, conocidos como antígenos ubicados en la superficie de los virus llamados: hemaglutinina (H) y neuroaminidasa (N)⁴⁹.

En la fase febril incipiente de la influenza, la confirmación del diagnóstico por métodos de laboratorio se hace mediante el aislamiento de los virus desde secreciones faríngeas, nasales, de material lavado en cultivo celular o en huevos embrionados; por la identificación directa de los antígenos víricos en células nasofaríngeas por pruebas de inmunofluorescencia directa con anticuerpos, por ELISA o por amplificación del ARN vírico. También, se puede confirmar por demostración de una respuesta serológica específica entre sueros de fase aguda y de convalecencia.

47 Doctor. Alfredo Mendoza, Gabriela Palla. Inmunización anti - varicela, Rev. Soc. Ped. 1999; 38(1):20-24

48 OMS. Enfermedad por el virus Zika. <http://www.who.int/mediacentre/factsheets/zika/es/>

49 Ministerio de Salud (MINSU). Estrategia Nacional de Prevención y control de la TB: influenza

2. OTROS TERMINOS:

ANEMIA

La anemia es la disminución de los niveles de hemoglobina y del número de glóbulos rojos por debajo de los niveles considerados como normales para la persona. Los factores principales que determinan la alta prevalencia de anemia ferropénica son las bajas cantidades de hierro consumido en la dieta y su disponibilidad en esta, y las pérdidas de sangre intestinal por parasitismo (casos de uncinaria y anquilostomas), el incremento de las demandas asociadas a la gestación y crecimiento infantil, los partos múltiples entre otros.

Las principales causas de la deficiencia de hierro son: una asimilación insuficiente del metal contenido en la dieta, la dilución del hierro orgánico por un rápido crecimiento y la pérdida de sangre. Asimismo, las consecuencias de la deficiencia de hierro son: en los/as niños/as, retraso en el desarrollo intelectual y del desarrollo motor, retraso en el crecimiento y disminución de la resistencia a las infecciones. En las gestantes, retardo en el crecimiento interuterino, aumento del bajo peso al nacer y riesgo de mortalidad neonatal, aumento de la mortalidad materna, aumento de las complicaciones obstétricas y riesgo a las hemorragias y disminución de la capacidad de trabajo y rendimiento físico e intelectual⁵⁰.

ANTÍGENOS

La definición moderna abarca todas las sustancias que pueden ser reconocidas por el sistema inmune adaptativo, bien sean propias o ajenas. Los antígenos son usualmente proteínas o polisacáridos. Esto incluye partes de bacterias (cápsula, pared celular, flagelos, fimbrias, y toxinas), de virus y otros microorganismos. Los lípidos y ácidos nucleicos son antigénicos únicamente cuando se combinan con proteínas y polisacáridos⁵¹.

CONTROL DE CALIDAD

Todas las medidas tomadas, incluyendo el establecimiento de especificaciones, muestreo, análisis e informe de análisis, para asegurar que las materias primas, productos intermedios, materiales de envase y productos farmacéuticos terminados cumplan con las especificaciones establecidas para identidad, contenido, pureza y otras características⁵².

DÉFICIT DE PESO

La desnutrición a menudo empieza desde la concepción, puesto que las mujeres embarazadas y mal nutridas tienen un mayor riesgo de muerte al dar a luz y tiene una mayor probabilidad de tener bebés con defensas débiles a las enfermedades. La desnutrición debilita el sistema inmunológico e incrementa los riesgos de enfermedad⁵³.

50 Ministerio de Salud (MINSAL): El hierro, anemia por deficiencia de hierro, 2007.

51 Antígeno (es.wikipedia.org)

52 Organización Mundial de la Salud. Serie de Informes Técnicos de la OMS, n.º 957, 2010.

53 Ministerio de Salud (MINSAL): Plan comunicacional de la campaña de nutrición, 2007.

La desnutrición materna constituye el principal problema en los países en vías de desarrollo más empobrecidos y, generalmente, se considera un factor importante de la elevada prevalencia de bajo peso al nacer y retardo de crecimiento fetal. El acceso limitado a alimentos de calidad es la razón principal de la desnutrición. Sin embargo, los hábitos y los tabúes alimenticios, sumado al limitado conocimiento, también, pueden contribuir a esta condición⁵⁴.

DESNUTRICIÓN AGUDA

Un/a niño/a con desnutrición aguda moderada pesa menos de lo que le corresponde con relación a su altura. Se mide, también, por el perímetro del brazo; el cual, está por debajo del estándar de referencia. Asimismo, la desnutrición aguda grave o severa es la forma de desnutrición más grave. El/la niño/a tiene un peso muy por debajo del estándar de referencia para su altura. Se mide, también, por el perímetro del brazo. Asimismo, altera todos los procesos vitales del/a niño/a y conlleva un alto riesgo de mortalidad. El riesgo de muerte para un/a niño/a con desnutrición aguda grave es nueve veces superior que para un/a niño/a en condiciones normales⁵⁵.

DESNUTRICIÓN CRÓNICA

Un/a niño/a que sufre desnutrición crónica presenta un retraso en su crecimiento. Se mide comparando su talla con el estándar recomendado para su edad. Indica una carencia de los nutrientes necesarios durante un tiempo prolongado; por lo cual, aumenta el riesgo de que contraiga enfermedades y esto tiene efectos negativos en su desarrollo físico e intelectual.

La desnutrición crónica, siendo un problema de mayor magnitud en cuanto al número de niños/as afectados/as, es, a veces, invisible y no recibe la atención debida. El retraso en el crecimiento puede comenzar antes de nacer, cuando el/la niño/a aún está en el útero de su madre. Si no se actúa durante el embarazo y antes de que el/la niño/a cumpla los 2 años de edad, las consecuencias son irreversibles y se harán sentir durante el resto su vida. La desnutrición está asociada normalmente a situaciones de pobreza, con consecuencia para el aprendizaje y menos desempeño económico⁵⁶.

DESNUTRICIÓN GLOBAL

La desnutrición debida a la falta de vitaminas y minerales (micronutrientes) se puede manifestar de múltiples maneras. La fatiga, la reducción de la capacidad de aprendizaje o de inmunidad son solo algunas de ellas⁵⁷.

54 Organización Mundial de la Salud (OMS): Ingesta proteico-energética durante el embarazo.

55 UNICEF. La desnutrición infantil, causas y consecuencias y estrategias para su prevención y tratamiento.

56 UNICEF. La desnutrición infantil, causas y consecuencias y estrategias para su prevención y tratamiento.

57 UNICEF. La desnutrición infantil, causas y consecuencias y estrategias para su prevención y tratamiento.

DIRIMENCIA

Proceso técnico efectuado como última instancia del procedimiento administrativo iniciado a pedido de parte, sea por el/la interesado/a o su representante legal quien solicita a la autoridad competente la ejecución de un nuevo análisis por no estar de acuerdo con los resultados emitidos por el Centro Nacional de Control de Calidad o laboratorios de la Red de Laboratorios Oficiales de Control de Calidad de Medicamentos del Sector Salud⁵⁸.

ENSAYOS CLÍNICOS

Un ensayo clínico es cualquier estudio de investigación que asigna de manera prospectiva participantes humanos o grupos de humanos a una o más intervenciones sanitarias a fin de evaluar los efectos en los resultados sanitarios. Un ensayo clínico, también, puede hacer referencia a un ensayo clínico de intervención. Las intervenciones incluyen, pero no se limitan a fármacos, células y otros productos biológicos, procedimientos quirúrgicos, procedimientos radiológicos, dispositivos, tratamientos conductuales, cambios en el proceso de atención, atención preventiva, etc. Esta definición incluye ensayos de fase I a fase IV⁵⁹.

ENSAYOS DE CONFORMIDAD

Análisis de los ingredientes farmacéuticos activos, excipientes farmacéuticos, material de envase o productos farmacéuticos de acuerdo con los requerimientos de una monografía farmacopeica o una especificación en una autorización de comercialización aprobada⁶⁰.

ESTUDIO OBSERVACIONAL

Es aquella en la que el/la investigador/a se limita a “la observación y el registro” de los acontecimientos sin intervención alguna en el curso natural de estos. Incluye aquellos proyectos de investigación donde no se controla la asignación del/a paciente a un determinado tratamiento o intervención, sino que esta se efectúa de acuerdo a la práctica clínica habitual, siendo, por ende, el/a investigador/a solo un observador/a y descriptor/a de lo que ocurre⁶¹.

PROTOCOLO DE INVESTIGACIÓN

Es un documento técnico de una propuesta de investigación, metodológicamente y científicamente desarrollada; el cual, tiene como objetivo la presentación de un plan de investigación para generar o cambiar conocimientos de un modo sistemático⁶².

58 R.M. n.º 1853-2002-SA/DM: “Reglamento de Dirimencias de Productos Farmacéuticos y Afines Pesquisados por la Dirección General de Medicamentos Insumos y Drogas (DIGEMID)” del Centro Nacional de Control de Calidad del Instituto Nacional de Salud (INS).

59 Organización Mundial de la Salud. Plataforma de registros internacionales de ensayos clínicos.

60 Organización Mundial de la Salud. Serie de Informes Técnicos de la OMS, n.º 957, 2010.

61 Instituto Nacional de Salud. Investigación en salud, protocolos de investigación observacional.

62 Instituto Nacional de Salud (INS). Investigación en salud, protocolos de investigación observacional.

SALUD OCUPACIONAL

La disciplina de la salud ocupacional tiene como finalidad promover y mantener el más alto grado de bienestar físico, mental y social de los/as trabajadores en todas las profesiones. Asimismo, busca evitar el desmejoramiento de la salud causado por las condiciones de trabajo, protegerlos/as en sus ocupaciones de los riesgos resultantes de los agentes nocivos, ubicar y mantener a los/as trabajadores de manera adecuada a sus aptitudes fisiológicas y psicológicas y, en suma, adaptar el trabajo a la persona y a cada persona a su trabajo⁶³.

SOBREPESO Y OBESIDAD

El sobrepeso y la obesidad se definen como una acumulación anormal o excesiva de grasa que puede ser perjudicial para la salud. El índice de masa corporal (IMC) es un indicador simple de la relación entre el peso y la talla que se utiliza frecuentemente para identificar el sobrepeso y la obesidad en las personas adultas. Se calcula dividiendo el peso de una persona en kilos por el cuadrado de su talla en metros (kg/m²). La definición de la OMS es la siguiente: Un IMC igual o superior a 25 determina sobrepeso, un IMC igual o superior a 30 determina obesidad.

La causa fundamental del sobrepeso y la obesidad es un desequilibrio energético entre calorías consumidas y gastadas. En el mundo se ha producido un aumento en la ingesta de alimentos hipercalóricos que son ricos en grasa, sal y azúcares, pero pobres en vitaminas, minerales y otros micronutrientes, así como un descenso en la actividad física. La obesidad infantil se asocia con una mayor probabilidad de obesidad, muerte prematura y discapacidad en la edad adulta. No obstante, además de estos mayores riesgos futuros, los/as niños/as obesos/as sufren dificultad respiratoria, mayor riesgo de fracturas e hipertensión, y presentan marcadores tempranos de enfermedad cardiovascular, resistencia a la insulina y efectos psicológicos⁶⁴.

VACUNA ANTIRRÁBICA

Se entiende por vacuna cualquier preparación destinada a generar inmunidad contra una enfermedad estimulando la producción de anticuerpos. Puede tratarse, por ejemplo, de una suspensión de microorganismos muertos o atenuados, o de productos o derivados de microorganismos. El método más habitual para administrar las vacunas es la inyección⁶⁵. La combinación de inmunoglobulina contra la rabia humana (HRIG, por sus siglas en inglés) y la vacuna se recomienda para las exposiciones con o sin mordeduras, independientemente del intervalo entre la exposición y el inicio del tratamiento⁶⁶.

63 Comité Conjunto de la Organización Internacional del Trabajo (OIT) y la Organización Mundial de la Salud (OMS)

64 Organización Mundial de la Salud. Obesidad y sobrepeso. Nota descriptiva n.º311, mayo 2014.

65 Organización Mundial de la Salud (OMS): Vacunas.

66 Centros para el control y la prevención de enfermedades (CDC). La rabia.



**CENTRO NACIONAL
DE SALUD PUBLICA**



LABORATORIO DE ANATOMÍA PATOLÓGICA

Cuadro 1.1. Muestras procesadas en el Laboratorio de Anatomía Patológica por tipo de examen según mes de ingreso al Instituto Nacional de Salud (INS), 2020

MES	Número de muestras únicas ingresadas				Tipo de examen	
	Total	Sexo		%	Diagnóstico Citológico	Diagnóstico histopatológico
		fem.	masc.			
Total	106	74	32	100.0	1	105
Enero	18	13	5	17.0	-	18
Febrero	34	23	11	32.1	-	34
Marzo	29	27	2	27.4	-	29
Abril	0	-	-	0.0	-	-
Mayo	5	3	2	4.7	-	5
Junio	1	-	1	0.9	-	1
Julio	3	2	1	2.8	1	2
Agosto	4	-	4	3.8	-	4
Septiembre	3	1	2	2.8	-	3
Octubre	2	1	1	1.9	-	2
Noviembre	4	3	1	3.8	-	4
Diciembre	3	1	2	2.8	-	3

Fuente: Instituto Nacional de Salud - Centro Nacional de Salud Pública - Netlab, 2021

Elaboración: Oficina Ejecutiva de Estadística e Informática - OGIS

Fecha de descarga: julio de 2021 de la base de datos Netlab v1

Cuadro 1.2. Muestras procesadas en el Laboratorio de Anatomía Patológica por tipo de examen según DISA - DIRESA/ otras instituciones remitentes al Instituto Nacional de Salud (INS), 2020

DISA - DIRESA/ OTRAS INSTITUCIONES	Número de muestras únicas ingresadas				Tipo de examen	
	Total	Sexo		%	Diagnóstico citológico	Diagnóstico histopatológico
		fem.	masc.			
Total	106	74	32	100.0	1	105
Ayacucho	31	23	8	29.2	-	31
Huánuco	1	1	-	0.9	1	-
Jaén - Cajamarca	17	17	-	16.0	-	17
Lima Ciudad	1	1	-	0.9	-	1
Loreto	3	-	3	2.8	-	3
Puno	4	-	4	3.8	-	4
San Martín	23	23	-	21.7	-	23
Tumbes	1	-	1	0.9	-	1
Ucayali	12	5	7	11.3	-	12
Instituto Nacional de Salud	7	2	5	6.6	-	7
Essalud	2	-	2	1.9	-	2
Consultorio particular	4	2	2	3.8	-	4

Fuente: Instituto Nacional de Salud, Centro Nacional de Salud Pública - Netlab, 2021

Elaboración: Oficina Ejecutiva de Estadística e Informática - OGIS

Fecha de descarga: julio de 2021 de la base de datos Netlab v1

LABORATORIO DE BACTERIAS DE TRANSMISIÓN SEXUAL (BTS)

Cuadro 1.3. Muestras procesadas para el diagnóstico de clamidiasis por tipo de examen según mes de ingreso al Instituto Nacional de Salud (INS), 2020

MES	Número de muestras únicas ingresadas			Tipo de examen		
	Total	Sexo		Inmunofluorescencia directa	P	
		fem.	masc.			
		%				
Total	3	0	3	100.0	2	1
Enero	1	-	1	33.3	-	1
Febrero	2	-	2	66.7	2	-
Marzo	0	-	-	0.0	-	-
Abril	0	-	-	0.0	-	-
Mayo	0	-	-	0.0	-	-
Junio	0	-	-	0.0	-	-
Julio	0	-	-	0.0	-	-
Agosto	0	-	-	0.0	-	-
Septiembre	0	-	-	0.0	-	-
Octubre	0	-	-	0.0	-	-
Noviembre	0	-	-	0.0	-	-
Diciembre	0	-	-	0.0	-	-

P= Positivo, N= Negativo

Fuente: Instituto Nacional de Salud, Centro Nacional de Salud Pública - Netlab, 2021

Elaboración: Oficina Ejecutiva de Estadística e Informática - OGIS

Fecha de descarga: julio de 2021 de la base de datos Netlab v1

Cuadro 1.4. Muestras procesadas para el diagnóstico de clamidiasis por tipo de examen según DISA - DIRESA/ otras instituciones remitentes al Instituto Nacional de Salud (INS), 2020

DISA - DIRESA / OTRAS INSTITUCIONES	Número de muestras únicas ingresadas			Tipo de examen		
	Total	Sexo		Inmunofluorescencia directa	P	
		fem.	masc.			
		%				
Total	3	0	3	100.0	2	1
Lima Sur	2	-	2	66.7	2	-
Consultorio particular	1	-	1	33.3	-	1

P= Positivo, N= Negativo

Fuente: Instituto Nacional de Salud, Centro Nacional de Salud Pública - Netlab, 2021

Elaboración: Oficina Ejecutiva de Estadística e Informática - OGIS

Fecha de descarga: julio de 2021 de la base de datos Netlab v1

Cuadro 1.5. Muestras procesadas para el diagnóstico de Infección Gonocócicas (gonorrea) por tipo de examen según mes de ingreso al Instituto Nacional de Salud (INS), 2020

MES	Número de muestras únicas ingresadas			Tipo de examen			
	Total	Sexo		N	P a N. N	P a N. P	
		fem.	masc.				%
	Identificación confirmatoria gonorrea						
Total	43	2	41	100.0	10	26	7
Enero	13	-	13	30.2	7	4	2
Febrero	14	-	14	32.6	1	10	3
Marzo	8	-	8	18.6	-	8	-
Abril	0	-	-	0.0	-	-	-
Mayo	0	-	-	0.0	-	-	-
Junio	0	-	-	0.0	-	-	-
Julio	0	-	-	0.0	-	-	-
Agosto	0	-	-	0.0	-	-	-
Septiembre	2	-	2	4.7	-	1	1
Octubre	1	-	1	2.3	-	-	1
Noviembre	1	-	1	2.3	-	1	-
Diciembre	4	2	2	9.3	2	2	-

P= Positivo, N= Negativo, P a N. N= Positivo a N. gonorrhoeae Betalactamasa Negativo, P a N. P= Positivo a N. gonorrhoeae Betalactamasa Positivo

Fuente: Instituto Nacional de Salud, Centro Nacional de Salud Pública - Netlab, 2021

Elaboración: Oficina Ejecutiva de Estadística e Informática - OGIS

Fecha de descarga: julio de 2021 de la base de datos Netlab v1

Cuadro 1.6. Muestras procesadas para el diagnóstico de Infección Gonocócicas (gonorrea) por tipo de examen según DISA - DIRESA/ otras instituciones remitentes al Instituto Nacional de Salud (INS), 2020

DISA - DIRESA/ OTRAS INSTITUCIONES	Número de muestras únicas ingresadas			Tipo de examen			
	Total	Sexo		N	P a N. N	P a N. P	
		fem.	masc.				%
	Identificación confirmatoria gonorrea						
Total	43	2	41	100.0	10	26	7
Ancash	2	-	2	4.7	-	1	1
Arequipa	1	-	1	2.3	-	1	-
Ayacucho	2	-	2	4.7	-	1	1
Lima Sur	6	-	6	14.0	1	4	1
Lima Provincias	1	-	1	2.3	1	-	-
Lima Ciudad	20	2	18	46.5	2	15	3
Loreto	5	-	5	11.6	5	-	-
Madre de Dios	4	-	4	9.3	-	4	-
Puno	1	-	1	2.3	-	-	1
Consultorio particular	1	-	1	2.3	1	-	-

P= Positivo, N= Negativo, P a N. N= Positivo a N. gonorrhoeae Betalactamasa Negativo, P a N. P= Positivo a N. gonorrhoeae Betalactamasa Positivo

Fuente: Instituto Nacional de Salud, Centro Nacional de Salud Pública - Netlab, 2021

Elaboración: Oficina Ejecutiva de Estadística e Informática - OGIS

Fecha de descarga: julio de 2021 de la base de datos Netlab v1

Cuadro 1.7. Muestras procesadas para el diagnóstico de sífilis por tipo de examen según mes de ingreso al Instituto Nacional de Salud (INS), 2020

MES	Número de muestras únicas ingresadas					Tipo de examen									
						FTA - ABS IgM			FTA - ABS			RPR		TPHA	
	Total	Sexo		NE 1/	%	I	NR	R	I	NR	R	NR	R	NR	R
		Fem.	Masc.												
Total	1,286	658	492	136	100.0	1	328	11	1	40	48	12	6	191	661
Enero	152	73	65	14	11.8	1	36	1	1	7	7	4	3	15	83
Febrero	230	131	85	14	17.9	-	47	1	-	8	7	4	1	18	142
Marzo	97	55	33	9	7.5	-	19	-	-	2	4	1	1	9	61
Abril	38	21	13	4	3.0	-	30	-	-	-	-	-	-	-	8
Mayo	65	21	33	11	5.1	-	38	-	-	1	2	-	-	2	22
Junio	87	40	38	9	6.8	-	27	1	-	-	-	-	-	4	53
Julio	58	30	13	15	4.5	-	22	3	-	3	2	1	1	5	22
Agosto	85	45	32	8	6.6	-	17	-	-	3	2	2	-	9	53
Septiembre	52	36	11	5	4.0	-	6	1	-	1	4	-	-	5	34
Octubre	141	76	51	14	11.0	-	24	3	-	2	11	-	-	38	65
Noviembre	190	98	74	18	14.8	-	38	1	-	9	5	-	-	75	70
Diciembre	91	32	44	15	7.1	-	24	-	-	4	4	-	-	11	48

NR = No reactivo, R = Reactivo, I = Indeterminado

1/ No especifica el origen de la muestra

FTA,ABS IgM= Inmunofluorescencia indirecta para el diagnóstico de sífilis IgM

RPR= Reagina plasmático rápida

TPHA= Hemoaglutinación para el diagnóstico de sífilis

Fuente: Instituto Nacional de Salud, Centro Nacional de Salud Pública - Netlab, 2021

Elaboración: Oficina Ejecutiva de Estadística e Informática - OGIS

Fecha de descarga: julio de 2021 de la base de datos Netlab v1

Cuadro 1.8. Muestras procesadas para el diagnóstico de sífilis por tipo de examen según DISA - DIRESA/ otras instituciones remitentes al Instituto Nacional de Salud (INS), 2020

DISA - DIRESA/ OTRAS INSTITUCIONES	Número de muestras únicas ingresadas					Tipo de examen									
						FTA - ABS IgM			FTA - ABS			RPR		TPHA	
	Total	Sexo		NE 1/	%	I	NR	R	I	NR	R	NR	R	NR	R
		Fem.	Masc.												
Total	1,286	658	492	136	100.0	1	328	11	1	40	48	12	6	191	661
Ancash	39	16	23	-	3.0	-	-	-	-	-	4	-	-	3	32
Andahuaylas - Apurímac	14	8	6	-	1.1	-	-	-	-	-	-	-	-	4	10
Apurímac	14	7	7	-	1.1	-	2	-	-	1	1	-	-	3	7
Arequipa	21	13	7	1	1.6	-	7	1	1	2	-	-	-	2	8
Ayacucho	24	9	5	10	1.9	1	22	1	-	-	-	-	-	-	-
Bagua - Amazonas	14	8	6	-	1.1	-	1	-	-	1	-	-	-	2	10
Cajamarca	5	5	-	-	0.4	-	1	-	-	-	-	-	-	2	2
Callao	15	9	6	-	1.2	-	1	-	-	-	-	-	-	-	14
Chanka - Apurímac	3	3	-	-	0.2	-	-	-	-	-	-	-	-	-	3
Cusco	130	78	47	5	10.1	-	31	1	-	11	7	-	-	10	68
Cutervo - Cajamarca	2	2	-	-	0.2	-	-	-	-	-	-	-	-	-	2
Huancavelica	95	47	48	-	7.4	-	2	-	-	1	1	-	-	18	73
Huánuco	38	15	14	9	3.0	-	34	1	-	-	2	-	-	-	1
Ica	131	72	51	8	10.2	-	16	-	-	1	5	-	-	16	93
Jaén - Cajamarca	9	7	2	-	0.7	-	-	-	-	-	1	5	-	1	7
Junín	80	44	14	22	6.2	-	48	1	-	3	7	-	-	4	17
La Libertad	74	25	43	6	5.8	-	43	2	-	-	-	-	-	-	28
Lambayeque	2	-	2	-	0.2	-	2	-	-	-	-	-	-	-	-
Lima Sur	37	25	12	-	2.9	-	5	-	-	1	1	-	-	2	30
Lima Este	102	32	20	50	7.9	-	68	2	-	12	6	-	-	-	18
Lima Provincias	22	11	11	-	1.7	-	6	1	-	2	1	-	-	3	12
Lima Ciudad	292	167	102	23	22.7	-	34	1	-	3	10	1	-	101	144
Loreto	2	1	1	-	0.2	-	-	-	-	-	-	-	-	-	2
Luciano Castillo- Piura	1	-	1	-	0.1	-	-	-	-	-	-	-	-	-	1
Madre de Dios	1	-	1	-	0.1	-	-	-	-	-	-	-	-	-	1
Pasco	13	13	-	-	1.0	-	2	-	-	-	-	-	-	2	9
Piura	32	16	14	2	2.5	-	3	-	-	-	-	-	-	7	22
San Martín	47	12	35	-	3.7	-	-	-	-	-	-	-	-	8	39
Ucayali	1	-	1	-	0.1	-	-	-	-	-	-	-	-	-	1
Instituto Nacional de Salud	5	2	3	-	0.4	-	-	-	-	-	-	-	-	-	-
Essalud	1	-	1	-	0.1	-	-	-	-	-	-	-	-	1	-
Minsa	1	1	-	-	0.1	-	-	-	-	-	-	-	-	-	1
Consultorio particular	19	10	9	-	1.5	-	-	-	-	2	2	6	6	2	6

NR= No reactivo, R= Reactivo, I= Indeterminado

1/ No especifica el origen de la muestra

FTA,ABS IgM= Inmunofluorescencia indirecta para el diagnóstico de sífilis IgM

RPR= Reagina plasmático rápida

TPHA= Hemoaglutinación para el diagnóstico de sífilis

Fuente: Instituto Nacional de Salud, Centro Nacional de Salud Pública - Netlab, 2021

Elaboración: Oficina Ejecutiva de Estadística e Informática - OGIS

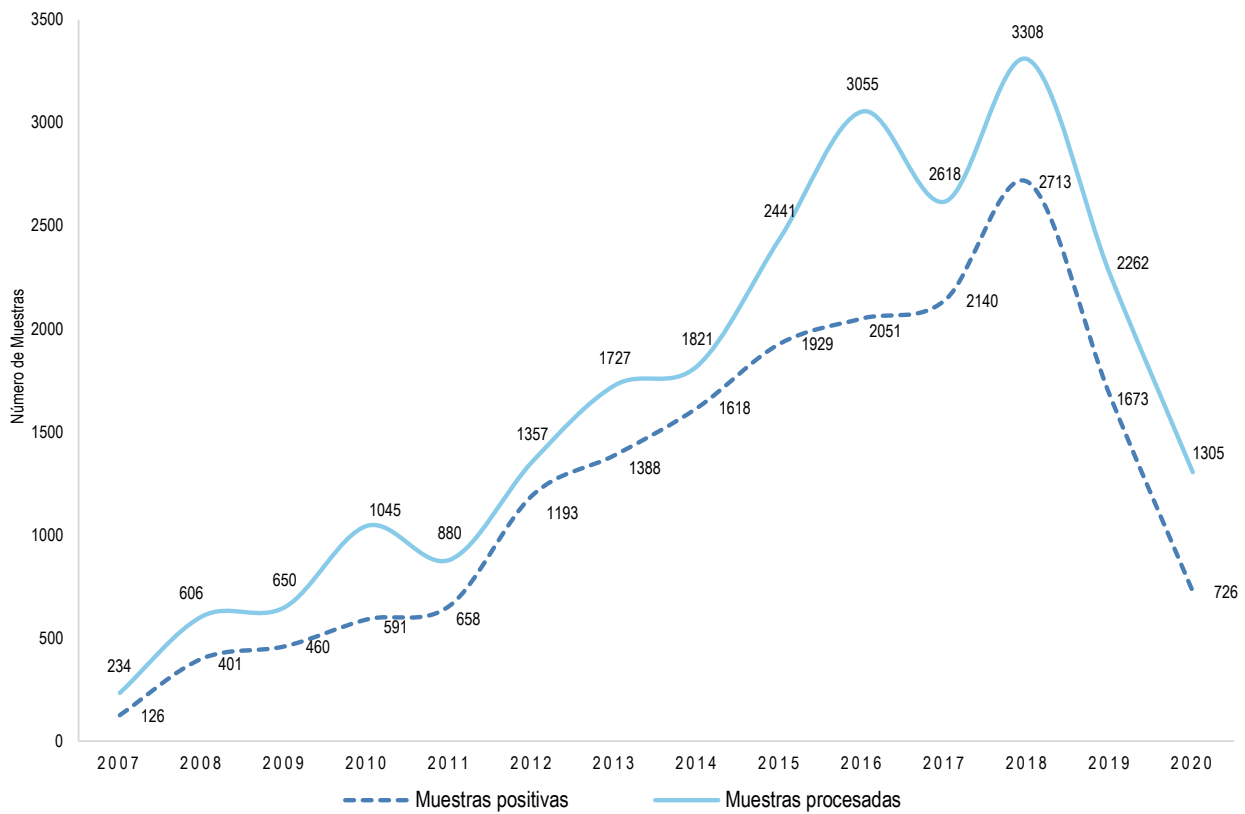
Fecha de descarga: julio de 2021 de la base de datos Netlab v1

Mapa 1.1. Distribución de muestras positivas para diagnóstico de sífilis según departamentos, Instituto Nacional de Salud (INS), 2020



Fuente: Instituto Nacional de Salud, Centro Nacional de Salud Pública, Netlab, 2021
Elaboración: Oficina Ejecutiva de Estadística e Informática, OGIS

Gráfico 1.1. Tendencia de muestras procesadas y positivas para el diagnóstico de sífilis, Instituto Nacional de Salud (INS), 2007-2020



Muestras positivas para las pruebas de FTA, ABS IGM SIFILIS, FTA, ABS SIFILIS, RPR SIFILIS, TPHA SIFILIS

Fuente: Instituto Nacional de Salud, Centro Nacional de Salud Pública - Netlab, 2021

Elaboración: Oficina Ejecutiva de Estadística e Informática - OGIS

Fecha de descarga: julio de 2021 de la base de datos Netlab v1

LABORATORIO DE CHAGAS

Cuadro 1.9. Muestras procesadas para el diagnóstico de Enfermedad de Chagas o Tripanosomiasis Americana por tipo de examen según mes de ingreso al Instituto Nacional de Salud (INS), 2020

MES	Número de muestras únicas ingresadas				Tipo de examen								
					Elisa IgG		Hemocultivo		Inmunofluorescencia indirecta IgG		Microconcentración		PCR Chagas
	Total	Sexo		%	I	NR	R	N	I	NR	R	N	N
		fem.	masc.										
Total	782	586	196	100.0	7	710	54	9	13	712	48	7	7
Enero	23	8	15	2.9	-	18	4	1	-	18	4	1	1
Febrero	41	11	30	5.2	2	21	13	5	5	19	12	3	5
Marzo	30	7	23	3.8	1	20	6	1	2	21	6	1	1
Abril	2	-	2	0.3	-	2	-	-	-	2	-	-	-
Mayo	8	4	4	1.0	-	3	5	-	-	3	5	-	-
Junio	8	4	4	1.0	-	5	3	-	-	5	3	-	-
Julio	5	-	5	0.6	-	3	1	1	-	3	1	1	-
Agosto	312	270	42	39.9	1	306	4	1	-	307	4	1	-
Septiembre	48	42	6	6.1	1	44	3	-	-	45	3	-	-
Octubre	62	33	29	7.9	2	55	5	-	1	56	5	-	-
Noviembre	72	64	8	9.2	-	71	1	-	-	71	1	-	-
Diciembre	171	143	28	21.9	-	162	9	-	5	162	4	-	-

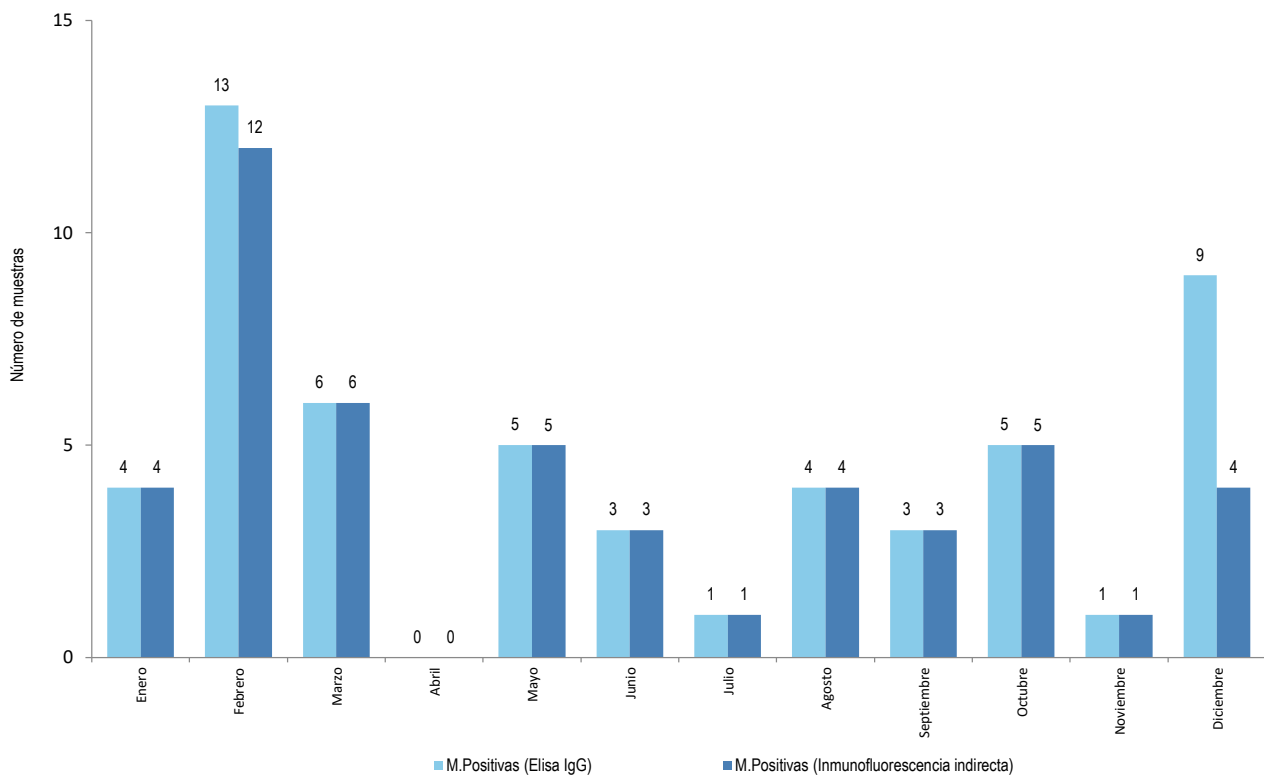
N= Negativo, NR= No reactivo, R= Reactivo, RD= Reactivo débil, I= Indeterminado

Fuente: Instituto Nacional de Salud, Centro Nacional de Salud Pública - Netlab, 2021

Elaboración: Oficina Ejecutiva de Estadística e Informática - OGIS

Fecha de descarga: julio de 2021 de la base de datos Netlab v1

Gráfico 1.2. Enfermedad de Chagas: muestras positivas por tipo de examen reportadas por el Instituto Nacional de Salud (INS) según mes, 2020



Fuente: Instituto Nacional de Salud, Centro Nacional de Salud Pública - Netlab, 2021
Elaboración: Oficina Ejecutiva de Estadística e Informática - OGIS

Cuadro 1.10. Muestras procesadas para el diagnóstico de Enfermedad de Chagas o Tripanosomiasis Americana por tipo de examen según DISA - DIRESA/ otras instituciones remitentes al Instituto Nacional de Salud (INS), 2020

DISA - DIRESA/ OTRAS INSTITUCIONES	Número de muestras únicas ingresadas				Tipo de examen								
					Elisa IgG		Hemocultivo		Inmunofluorescencia indirecta IgG			Microconcentración	
	Total	Sexo		%	I	NR	R	N	I	NR	R	N	N
		fem.	masc.										
Total	782	586	196	100.0	7	710	54	9	13	712	48	7	7
Amazonas	4	2	2	0.5	-	-	4	-	-	-	4	-	-
Apurímac	2	1	1	0.3	-	1	1	-	-	1	1	-	-
Arequipa	16	9	7	2.0	2	9	5	-	2	9	5	-	-
Ayacucho	41	39	2	5.2	-	39	2	-	-	39	2	-	-
Bagua - Amazonas	543	478	65	69.4	1	532	9	1	5	533	4	-	1
Cajamarca	3	1	2	0.4	-	2	1	-	-	2	1	-	-
Callao	6	-	6	0.8	-	4	1	1	-	4	1	1	1
Cusco	5	-	5	0.6	1	3	1	-	1	3	1	-	-
Huánuco	3	2	1	0.4	-	3	-	-	-	3	-	-	-
Jaén - Cajamarca	2	-	2	0.3	-	-	1	1	-	-	1	-	1
Junín	2	-	2	0.3	-	2	-	-	-	2	-	-	-
La Libertad	20	-	20	2.6	-	18	2	-	1	17	2	-	-
Lambayeque	19	9	10	2.4	1	9	7	-	2	10	7	-	-
Lima Sur	1	1	-	0.1	-	1	-	-	-	1	-	-	-
Lima Este	2	-	2	0.3	-	1	-	1	-	1	-	1	1
Lima Ciudad	12	3	9	1.5	1	6	4	1	2	6	3	1	-
Loreto	3	1	2	0.4	-	1	2	-	-	1	2	-	-
Moquegua	4	4	-	0.5	-	3	1	-	-	3	1	-	-
Piura	1	-	1	0.1	-	1	-	-	-	1	-	-	-
San Martín	18	4	14	2.3	-	10	8	-	-	10	8	-	-
Tacna	4	1	3	0.5	-	1	3	-	-	1	3	-	-
Ucayali	53	24	29	6.8	1	49	1	2	-	50	1	2	2
Instituto Nacional de Salud	1	1	-	0.1	-	1	-	-	-	1	-	-	-
ESSALUD	3	-	3	0.4	-	1	1	1	-	1	1	1	1
Consultorio particular	14	6	8	1.8	-	13	-	1	-	13	-	1	-

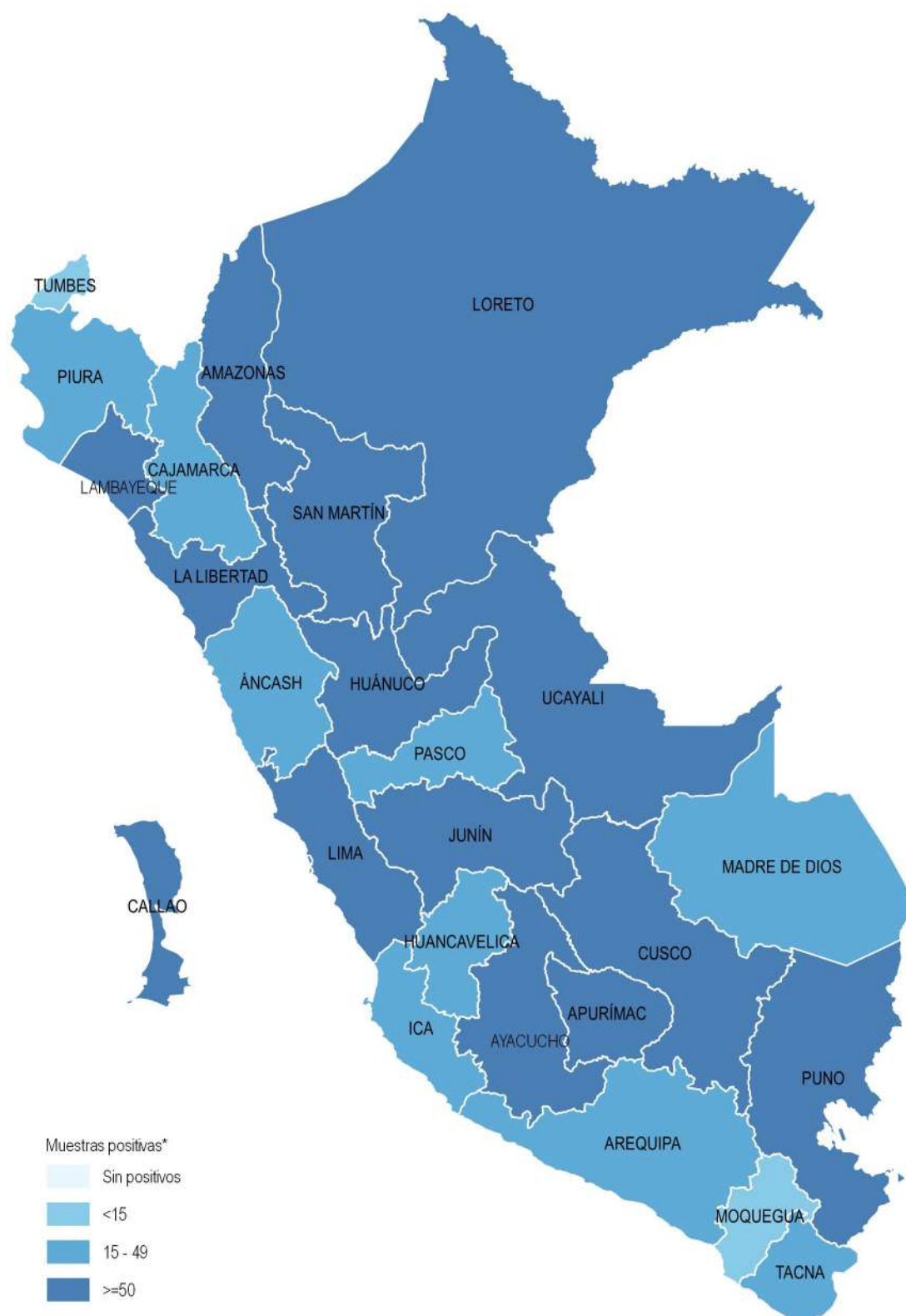
N= Negativo, P=Positivo, NR= No reactivo, R= Reactivo, RD= Reactivo débil, I= Indeterminado

Fuente: Instituto Nacional de Salud, Centro Nacional de Salud Pública - Netlab, 2021

Elaboración: Oficina Ejecutiva de Estadística e Informática - OGIS

Fecha de descarga: julio de 2021 de la base de datos Netlab v1

Mapa 1.2. Distribución de muestras positivas para diagnóstico de enfermedad de Chagas según departamentos, INS, 2020



* Positivas a las pruebas de Elisa IgG e Inmunofluorescencia indirecta
Fuente: Instituto Nacional de Salud, Centro Nacional de Salud Pública, Netlab, 2021
Elaboración: Oficina Ejecutiva de Estadística e Informática, OGIS

LABORATORIO DE ENTEROPATÓGENOS

Cuadro 1.11. Muestras procesadas para el diagnóstico de naegleriosis y acantamebiasis (amebiasis de vida libre) por tipo de examen según mes de ingreso al Instituto Nacional de Salud (INS), 2020

MES	Número de muestras únicas ingresadas					Tipo de examen			
						Coloración		Examen directo y concentración	
	Total	Sexo		NE 1/	%	N	AC	N	BL
		fem.	masc.						
Total	31	7	9	15	100.0	2	5	11	1
Enero	1	1	-	-	3.2	-	1	-	-
Febrero	16	-	4	12	51.6	1	2	1	1
Marzo	5	1	3	1	16.1	-	2	2	-
Abril	2	-	1	1	6.5	-	-	2	-
Mayo	0	-	-	-	0.0	-	-	-	-
Junio	0	-	-	-	0.0	-	-	-	-
Julio	0	-	-	-	0.0	-	-	-	-
Agosto	0	-	-	-	0.0	-	-	-	-
Septiembre	0	-	-	-	0.0	-	-	-	-
Octubre	4	2	1	1	12.9	-	-	3	-
Noviembre	2	2	-	-	6.5	1	-	2	-
Diciembre	1	1	-	-	3.2	-	-	1	-

N= Negativo, AC= Acanthamoeba sp, BL= Balamuthia sp

1/ No especifica el origen de la muestra

Fuente: Instituto Nacional de Salud, Centro Nacional de Salud Pública - Netlab, 2021

Elaboración: Oficina Ejecutiva de Estadística e Informática - OGIS

Fecha de descarga: julio de 2021 de la base de datos Netlab v1

Cuadro 1.12. Muestras procesadas para el diagnóstico de naegleriosis y acantamebiasis (amebiasis de vida libre) por tipo de examen según DISA - DIRESA/ otras instituciones remitentes al Instituto Nacional de Salud (INS), 2020

DISA - DIRESA/ OTRAS INSTITUCIONES	Número de muestras únicas ingresadas					Tipo de examen			
						Coloración		Examen directo y concentración	
	Total	Sexo		NE 1/	%	N	AC	N	BL
		fem.	masc.						
Total	31	7	9	15	100.0	2	5	11	1
Arequipa	1	1	-	-	3.2	1	-	1	-
Cusco	1	1	-	-	3.2	-	-	1	-
Lambayeque	1	-	1	-	3.2	-	1	-	-
Lima Ciudad	16	1	2	13	51.6	-	-	3	-
Loreto	3	-	3	-	9.7	1	-	2	1
Piura	1	-	1	-	3.2	-	1	-	-
Tumbes	1	-	1	-	3.2	-	1	-	-
Instituto Nacional de Salud	3	2	-	1	9.7	-	1	2	-
Essalud	2	1	1	-	6.5	-	1	1	-
Consultorio particular	2	1	-	1	6.5	-	-	1	-

N= Negativo, AC= Acanthamoeba sp, BL= Balamuthia sp

1/ No especifica el origen de la muestra

Fuente: Instituto Nacional de Salud, Centro Nacional de Salud Pública - Netlab, 2021

Elaboración: Oficina Ejecutiva de Estadística e Informática - OGIS

Fecha de descarga: julio de 2021 de la base de datos Netlab v1

Cuadro 1.13.- Muestras procesadas para el diagnóstico de enfermedades diarreicas agudas - EDA (enteropatógenos) por tipo de examen según mes de ingreso al Instituto Nacional de Salud (INS), 2020

MES	Número de muestras únicas ingresadas		Tipo de examen																																			
	Total	Sexo fem. masc.	Cepas (Otros) %	Cultivo para Salmonella		Ácido nalidíxico		Amoxicilina + Ac. Clavulánico		Ampicilina 10 ug		Cefotaxima 30 ug		Ceftazidima		Ciprofloxacina 5 ug		Cloranfenicol 30 ug		Nitrofurantoina 300 ug		Tetraciclina 30 ug		Colimoxazol														
				PB	I	R	S	I	R	S	I	R	S	I	R	S	I	R	S	I	R	S	I	R	S	I	R	S										
Total	635	80	179	376	100.0	613	34	7	181	79	37	16	141	1	85	108	1	35	158	16	8	170	67	135	66	10	50	134	4	29	161	4	225	39	3	78	24	
Enero	136	36	71	29	21.4	132	4	-	16	9	2	1	22	-	6	19	1	3	21	-	-	25	4	12	9	-	4	4	21	1	4	20	-	17	8	2	15	8
Febrero	113	22	59	32	17.8	120	5	1	18	4	4	-	14	-	6	12	-	3	15	1	1	16	4	15	3	-	4	14	-	4	14	-	20	2	-	15	3	
Marzo	77	15	31	31	12.1	74	3	-	5	6	6	-	6	1	5	6	-	-	12	-	-	12	-	6	6	3	5	4	-	-	12	-	11	1	-	12	-	
Abril	58	-	3	55	9.1	51	7	-	16	4	3	-	17	-	3	17	-	1	19	1	-	19	-	17	3	1	3	16	-	3	17	-	16	4	1	16	3	
Mayo	22	-	-	22	3.5	19	3	-	16	3	2	-	7	-	5	4	-	2	7	1	-	8	-	15	4	-	2	7	-	3	6	-	16	3	-	5	4	
Junio	3	2	-	1	0.5	3	-	-	-	-	-	-	-	-	-	-	-	-	-	-	-	-	-	-	-	-	-	-	-	-	-	-	-	-	-	-		
Julio	21	-	-	21	3.3	21	-	-	8	7	4	3	5	-	7	5	-	2	10	2	2	8	-	8	7	3	6	3	-	3	9	-	13	2	-	8	4	
Agosto	18	1	-	17	2.8	17	1	-	-	8	6	1	1	-	6	2	-	-	8	-	-	8	-	-	8	-	8	6	2	1	-	7	-	8	-	6	2	
Septiembre	42	-	2	40	6.6	38	4	2	19	14	4	4	17	-	16	9	-	5	20	1	4	20	14	12	9	2	8	15	2	5	18	3	26	6	-	-		
Octubre	19	1	3	15	3.0	17	2	-	13	2	-	1	4	-	3	2	-	4	1	3	2	2	2	12	1	-	1	4	-	1	4	-	14	1	-	-		
Noviembre	33	2	8	23	5.2	31	2	3	13	3	1	1	7	-	3	6	-	2	7	3	-	6	6	11	3	-	2	7	-	1	8	1	14	5	-	-		
Diciembre	93	1	2	90	14.6	90	3	1	57	19	5	5	41	-	25	26	-	13	38	4	1	46	37	27	13	1	9	41	-	5	46	-	70	7	-	1		

R= Resistente, S= Sensible, I= Intermedia, PB= Positiva a alguna bacteria

Fuente: Instituto Nacional de Salud, Centro Nacional de Salud Pública - Neilab, 2021

Elaboración: Oficina Ejecutiva de Estadística e Informática - OGIS

Fecha de descarga: julio de 2021 de la base de datos Neilab v1

Cuadro 1.14. Muestras procesadas para el diagnóstico de enfermedades diarreicas agudas - EDA (enteropatógenos) por tipo de examen según DISA - DIRESA/ otras instituciones remitentes al Instituto Nacional de Salud (INS), 2020

DISA - DIRESA/ OTRAS INSTITUCIONES	Número de muestras únicas ingresadas		Tipo de examen																																			
	Total	Sexo fem. masc.	Cepas (Otros) %	Cultivo y tipificación		Cultivo para <i>Salmonella</i>		Acido nalidixico		Amoxicilina + Ac. Clavulánico		Ampicilina 10 ug		Cefotaxima 30 ug		Cefazidima		Ciprofloxacina 5 ug		Cloranfenicol 30 ug		Nitrofurantoina 300 ug		Tetraciclina 30 ug		Cotrimoxazol												
				PB	I	R	S	I	R	S	I	R	S	I	R	S	I	R	S	I	R	S	I	R	S	I	R	S	I	R	S							
Total	635	80	179	376	100.0	613	34	7	181	79	37	16	141	1	85	108	1	35	158	16	8	170	67	135	66	10	50	134	4	29	161	4	225	39	3	78	24	
Ancash	1	1	-	0.2		1	-	-	-	-	-	-	-	-	-	-	-	-	-	-	-	-	-	-	-	-	-	-	-	-	-	-	-	-	-	-	-	-
Arequipa	3	1	2	-	0.5	3	-	-	-	-	-	-	-	-	-	-	-	-	-	-	-	-	-	-	-	-	-	-	-	-	-	-	-	-	-	-	-	-
Cajamarca	3	1	2	-	0.5	3	-	-	-	-	-	-	-	-	-	-	-	-	-	-	-	-	-	-	-	-	-	-	-	-	-	-	-	-	-	-	-	-
Callao	22	6	15	1	3.5	22	-	-	-	-	-	-	-	-	-	-	-	-	-	-	-	-	-	-	-	-	-	-	-	-	-	-	-	-	-	-	-	-
Cusco	8	3	5	-	1.3	8	-	-	-	-	-	-	-	-	-	-	-	-	-	-	-	-	-	-	-	-	-	-	-	-	-	-	-	-	-	-	-	-
Huancavelica	1	-	1	-	0.2	1	-	-	-	-	-	-	-	-	-	-	-	-	-	-	-	-	-	-	-	-	-	-	-	-	-	-	-	-	-	-	-	-
Jaén - Cajamarca	1	-	1	-	0.2	1	-	-	-	-	-	-	-	-	-	-	-	-	-	-	-	-	-	-	-	-	-	-	-	-	-	-	-	-	-	-	-	-
Junín	12	5	7	-	1.9	24	-	-	-	-	-	-	-	-	-	-	-	-	-	-	-	-	-	-	-	-	-	-	-	-	-	-	-	-	-	-	-	
La Libertad	49	18	31	-	7.7	49	-	-	-	-	-	-	-	-	-	-	-	-	-	-	-	-	-	-	-	-	-	-	-	-	-	-	-	-	-	-	-	
Lambayeque	36	9	11	16	5.7	30	6	-	2	1	-	-	3	-	3	-	-	3	-	3	1	-	2	1	1	1	1	2	2	1	1	1	2	1	1	2	1	1
Lima Sur	9	-	8	1	1.4	9	-	-	-	-	-	-	-	-	-	-	-	-	-	-	-	-	-	-	-	-	-	-	-	-	-	-	-	-	-	-	-	-
Lima Provincias	10	3	7	-	1.6	10	-	-	-	-	-	-	-	-	-	-	-	-	-	-	-	-	-	-	-	-	-	-	-	-	-	-	-	-	-	-	-	-
Lima Ciudad	386	17	39	330	60.8	360	26	7	164	70	35	15	118	1	80	87	1	33	134	14	8	146	63	123	56	10	45	113	2	24	142	4	208	30	1	63	17	
Loreto	5	-	5	-	0.8	5	-	-	-	-	-	-	-	-	-	-	-	-	-	-	-	-	-	-	-	-	-	-	-	-	-	-	-	-	-	-	-	-
Luciano Castillo - Plura	5	1	4	-	0.8	5	-	-	-	-	-	-	-	-	-	-	-	-	-	-	-	-	-	-	-	-	-	-	-	-	-	-	-	-	-	-	-	-
Plura	24	9	15	-	3.8	24	-	-	2	-	-	2	-	2	-	2	-	2	-	2	-	2	-	2	-	2	-	2	-	2	-	2	-	2	-	2	-	2
Instituto Nacional de Salud	2	-	2	-	0.3	2	-	-	-	-	-	-	-	-	-	2	-	-	-	-	-	-	-	-	-	-	-	-	-	-	-	-	-	-	-	-	-	-
Essalud	32	7	23	2	5.0	32	-	-	1	-	-	1	-	1	-	1	-	1	-	1	-	1	-	1	-	1	-	1	-	1	-	1	-	1	-	1	-	1
Militar	26	-	-	26	4.1	24	2	-	13	7	2	1	17	-	5	15	-	1	19	-	20	2	11	7	7	4	16	1	1	18	1	14	6	2	14	4		

R= Resistente, S= Sensible, I= Intermedia, PB= Positiva a alguna bacteria

Fuente: Instituto Nacional de Salud, Centro Nacional de Salud Pública - Netlab, 2021

Cuadro 1.15. Muestras procesadas para el diagnóstico de infecciones parasitarias- enteroparásitos por tipo de examen según mes de ingreso al Instituto Nacional de Salud (INS), 2020

MES	Número de muestras únicas ingresadas				Tipo de examen						
					Indicador biológico	Kato katz	Método directo y aclaración		Método directo y concentración		Método de Graham
	P	N	P	N							
							Total	Sexo		%	
fem.	masc.										
Total	53	28	25	100.0	1	1	0	9	32	15	1
Enero	8	7	1	15.1	-	-	-	1	4	3	1
Febrero	8	4	4	15.1	-	-	-	3	5	-	-
Marzo	4	3	1	7.5	-	-	-	2	3	-	-
Abril	1	1	-	1.9	1	-	-	-	-	-	-
Mayo	0	-	-	0.0	-	-	-	-	-	-	-
Junio	0	-	-	0.0	-	-	-	-	-	-	-
Julio	2	-	2	3.8	-	-	-	-	1	1	-
Agosto	13	1	12	24.5	-	-	-	-	5	11	-
Septiembre	5	5	-	9.4	-	-	-	-	5	-	-
Octubre	1	1	-	1.9	-	-	-	1	-	-	-
Noviembre	5	1	4	9.4	-	-	-	-	5	-	-
Diciembre	6	5	1	11.3	-	1	-	2	4	-	-

P = Positivo, N = Negativo

Fuente: Instituto Nacional de Salud, Centro Nacional de Salud Pública - Netlab, 2021

Elaboración: Oficina Ejecutiva de Estadística e Informática - OGIS

Fecha de descarga: julio de 2021 de la base de datos Netlab v1

Cuadro 1.16. Muestras procesadas para el diagnóstico de infecciones parasitarias-enteroparásitos por tipo de examen según DISA - DIRESA/ otras instituciones remitentes al Instituto Nacional de Salud (INS), 2020

DISA - DIRESA / OTRAS INSTITUCIONES	Número de muestras únicas ingresadas				Tipo de examen						
					Indicador Biológico	Kato katz	Método directo y aclaración		Método directo y concentración		Método de Graham
	P	N	P	N							
							Total	Sexo		%	
fem.	masc.										
Total	53	28	25	100.0	1	1	0	9	32	15	1
Amazonas	1	1	-	1.9	-	1	-	-	1	-	-
Ayacucho	2	1	1	3.8	-	-	-	-	2	-	-
La Libertad	1	1	-	1.9	-	-	-	-	1	-	-
Puno	0	-	-	0.0	-	-	-	1	-	-	-
Ucayali	1	1	-	1.9	1	-	-	-	-	-	-
Instituto Nacional de Salud	6	4	2	11.3	-	-	-	1	4	1	-
Consultorio particular	42	20	22	79.2	-	-	-	7	24	14	1

P= Positivo, N= Negativo

Fuente: Instituto Nacional de Salud, Centro Nacional de Salud Pública - Netlab, 2021

Elaboración: Oficina Ejecutiva de Estadística e Informática - OGIS

Fecha de descarga: julio de 2021 de la base de datos Netlab v1

Cuadro 1.18. Muestras procesadas para el diagnóstico de hepatitis viral por tipo de examen según DISA - DIRESA/ otras instituciones remitentes al Instituto Nacional de Salud (INS), 2020

DISA - DIRESA/ OTRAS INSTITUCIONES	Número de muestras únicas ingresadas			Tipo de examen																																					
	Total	Sexo		Hepatitis A						Hepatitis B						Hepatitis C						Hepatitis D																			
		ferm.	masc.	%	N	P	NR	R	RD	I	NR	R	I	N	P	PD	NR	R	R	RD	I	NR	R	RD	NR	R	RD	NR	R	RD	NR	R									
Total	5,532	2,988	2,533	1	100.0	344	50	15	292	1,818	2	176	1,429	1	2	969	418	21	1,097	81	117	1,766	75	6	852	1,846	11	473	55	3	5	3	778	10	3	720	22				
Amazonas	21	15	6	-	0.4	4	-	-	-	13	-	2	5	-	9	7	-	8	1	-	6	1	-	8	10	-	-	-	-	-	-	-	2	-	-	2	-				
Ancash	23	12	11	-	0.4	4	-	-	-	13	-	6	-	-	6	-	4	2	2	10	-	-	1	13	-	-	-	-	-	-	-	-	1	-	-	1	-	-			
Andahuaylas - Apurímac	142	64	78	-	2.6	2	-	1	30	85	-	9	12	-	20	55	-	18	-	-	22	-	-	104	17	-	3	-	-	-	-	-	8	-	-	8	-	-			
Apurímac	45	27	18	-	0.8	5	-	1	4	23	-	2	27	-	14	5	-	16	3	4	34	-	-	10	28	-	4	-	-	-	-	-	9	-	-	9	-	-			
Arequipa	38	14	24	-	0.7	6	-	-	5	8	-	2	6	-	7	4	-	3	1	-	7	1	-	12	7	-	8	3	-	-	-	-	-	-	-	-	-	-			
Ayacucho	1,732	1,071	661	-	31.3	52	-	1	5	281	1	51	641	-	1	331	25	4	243	16	22	733	17	-	35	727	4	95	-	-	-	-	-	414	3	1	382	10	-		
Bagua	30	19	11	-	0.5	-	-	-	-	19	-	1	24	-	2	2	1	24	-	-	1	27	-	-	3	25	-	1	-	-	-	-	-	1	-	-	1	-	-		
Cajamarca	27	9	18	-	0.5	-	-	-	4	21	-	6	8	-	12	5	-	13	-	-	1	15	8	-	9	27	-	6	6	-	-	-	-	-	-	5	-	-	5	-	
Callao	32	14	18	-	0.6	2	-	-	-	17	-	-	13	-	15	-	-	6	5	3	22	-	-	1	22	-	1	-	-	-	-	-	-	-	14	-	-	14	-	-	
Chanka - Apurímac	569	360	209	-	10.3	40	-	2	14	252	1	9	159	-	-	95	33	5	148	11	24	193	1	2	47	210	2	13	2	-	-	-	-	102	4	2	91	6	-		
Cusco	34	26	8	-	0.6	3	-	1	9	13	-	2	5	-	10	14	-	8	-	4	10	1	-	19	11	-	8	-	-	-	-	-	6	-	-	6	-	-	6	-	
Huancavelica	121	92	29	-	2.2	12	2	1	10	56	-	6	55	-	27	18	2	45	1	7	61	1	-	28	63	-	4	-	-	-	-	-	23	-	-	-	-	21	1		
Huánuco	19	6	13	-	0.3	2	-	-	2	7	-	1	1	-	6	4	-	2	-	2	1	-	-	8	3	-	-	-	-	-	-	-	-	-	-	-	-	-	-		
Ica	9	6	3	-	0.2	2	-	-	-	6	-	1	5	-	-	1	-	4	2	-	6	1	-	-	6	1	-	1	-	-	-	-	-	-	-	-	-	-	-		
Jaén - Cajamarca	385	245	140	-	7.0	43	-	1	18	120	-	8	130	-	68	35	2	88	13	15	152	1	-	45	165	-	31	1	-	-	-	-	75	-	-	-	69	3	-		
Junín	327	107	220	-	5.9	11	-	2	31	155	-	8	24	-	30	42	1	50	1	4	34	4	2	87	32	-	64	8	1	3	1	9	-	-	-	9	-	-	8	-	
Lambayeque	182	58	124	-	3.3	8	3	-	23	79	-	5	-	-	15	14	-	5	-	1	5	-	-	57	10	-	48	-	2	-	-	-	5	-	-	5	-	-	5	-	
Lima Sur	123	69	54	-	2.2	10	-	7	40	-	12	26	-	-	28	8	-	21	2	4	41	6	-	17	52	-	6	4	-	-	-	-	9	-	-	9	-	-	9	-	
Lima Este	96	70	26	-	1.7	4	-	7	33	-	5	29	-	-	22	6	1	24	3	2	39	3	-	11	41	2	-	2	-	-	-	-	2	-	-	2	-	-	2	-	
Lima Provincias	87	58	29	-	1.6	6	-	-	1	44	-	2	38	-	24	-	2	25	3	2	44	3	1	4	49	-	2	-	-	-	-	-	6	-	-	6	-	-	6	-	
Lima Ciudad	668	309	359	-	12.1	58	-	62	160	-	30	120	1	1	141	83	3	100	11	11	183	15	-	161	178	2	91	22	-	1	2	47	1	-	44	-	-	44	-		
Loreto	137	86	51	-	2.5	19	2	-	18	75	-	7	30	-	24	21	-	42	2	2	47	3	1	26	53	-	6	-	-	-	-	-	17	1	-	16	1	-	-		
Luciano Castillo - Piura	22	11	11	-	0.4	4	10	-	-	3	-	-	1	-	1	-	-	5	-	-	1	-	-	5	4	-	7	-	-	-	-	-	-	-	-	-	-	-	-	-	
Madre de Dios	6	6	-	-	0.1	-	-	-	-	5	-	1	4	-	2	-	-	3	-	-	4	1	-	-	5	-	-	-	-	-	-	-	-	-	-	-	-	-	-		
Moquegua	2	2	-	-	0.0	-	-	-	-	-	-	1	-	-	-	-	-	-	-	-	1	-	-	-	1	-	-	-	-	-	-	-	-	-	-	-	-	-	-		
Pasco	30	19	11	-	0.5	2	-	-	1	13	-	2	11	-	5	3	-	11	1	-	12	1	-	6	18	-	-	-	-	-	-	-	6	-	-	-	6	-	-	5	-
Piura	56	24	31	1	1.0	13	27	1	6	2	-	1	-	-	7	7	-	15	-	-	1	-	-	23	2	-	9	-	-	-	-	-	-	-	-	-	-	-	-	-	
Puno	23	11	12	-	0.4	9	-	1	2	19	-	3	12	-	11	3	-	7	1	1	14	2	-	6	17	-	1	-	-	-	-	-	-	-	-	-	-	-	-	-	
San Martín	288	88	200	-	5.2	2	-	1	11	215	-	1	5	-	3	5	-	69	-	6	-	-	-	66	8	-	43	2	-	-	-	-	3	-	-	3	-	-	3	-	
Tacna	8	7	1	-	0.1	1	-	-	-	5	-	6	-	-	-	-	-	6	-	1	7	-	-	7	-	-	-	-	-	-	-	-	-	-	-	-	-	-	-		
Tumbes	4	2	2	-	0.1	-	-	-	-	-	-	-	-	-	2	-	-	-	-	2	-	-	-	2	-	-	-	-	-	-	-	-	-	-	-	-	-	-	-		
Ucayali	111	58	53	-	2.0	13	4	-	9	14	-	2	15	-	14	6	-	75	2	3	18	1	-	20	19	-	5	1	-	-	-	-	5	1	-	-	5	1	-	5	1

Instituto Nacional de Salud	8	5	3	-	0.1	-	-	-	3	-	1	-	1	3	-	-	3	3	4	-	-	1	-	-	1	-
Essalud	3	-	3	-	0.1	1	-	-	-	-	3	-	-	-	-	-	-	1	-	-	-	-	-	-	-	-
Militar	1	-	1	-	0.0	-	-	1	-	-	1	-	-	1	-	-	-	-	-	-	-	-	-	-	-	-
Consultorio particular	52	8	44	-	0.9	4	-	10	7	-	3	1	-	13	8	-	4	-	5	3	-	23	9	-	8	1

I= Indeterminado, P= Positivo, N= Negativo, NR= No reactivo, R= Reactivo

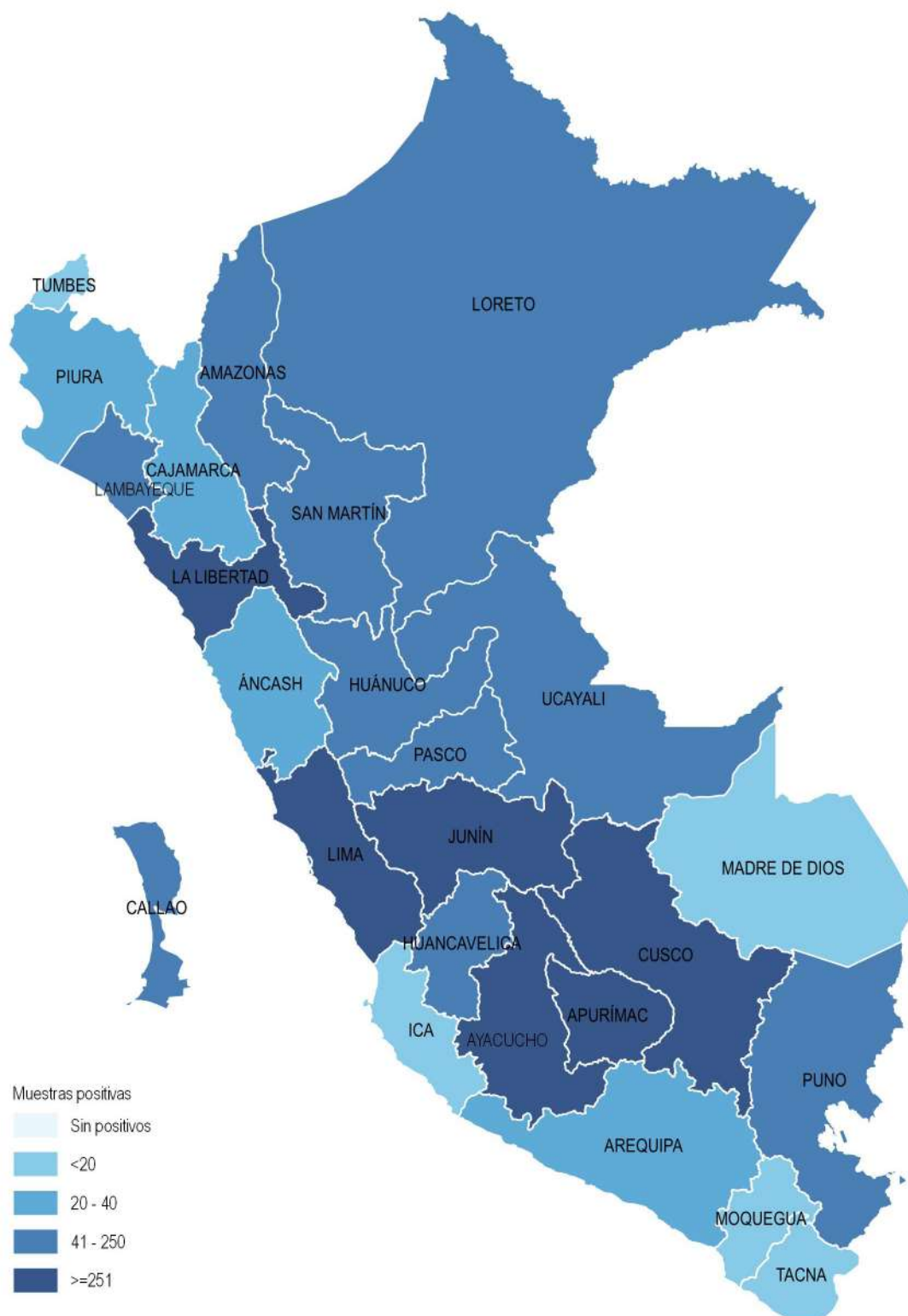
1/ No especifica el origen de la muestra

Fuente: Instituto Nacional de Salud, Centro Nacional de Salud Pública - Neilab, 2021

Elaboración: Oficina Ejecutiva de Estadística e Informática - OGIS

Fecha de descarga: julio de 2021 de la base de datos Neilab v1

Mapa 1.3. Distribución de muestras positivas para diagnóstico de hepatitis b según departamentos, Instituto Nacional de Salud (INS), 2020



Fuente: Instituto Nacional de Salud, Centro Nacional de Salud Pública, Netlab, 2021
Elaboración: Oficina Ejecutiva de Estadística e Informática, OGIS

Cuadro 1.19. Muestras procesadas para el diagnóstico de infección por enterovirus por tipo de examen según mes de ingreso al Instituto Nacional de Salud (INS), 2020

MES	Número de muestras únicas ingresadas				Tipo de examen			
					Aislamiento viral y tipificación	ELISA - Adenovirus		PCR enterovirus
	N	N	P	N				
						Total	Sexo	
fem.	masc.							
Total	478	156	322	100.0	222	97	9	211
Enero	184	59	125	38.5	71	57	6	71
Febrero	122	27	95	25.5	50	2	-	50
Marzo	83	30	53	17.4	57	-	1	57
Abril	4	2	2	0.8	4	-	-	4
Mayo	2	1	1	0.4	2	-	-	2
Junio	7	4	3	1.5	4	-	-	7
Julio	35	15	20	7.3	1	32	2	1
Agosto	3	2	1	0.6	3	-	-	3
Septiembre	6	1	5	1.3	6	-	-	5
Octubre	14	6	8	2.9	14	-	-	6
Noviembre	11	7	4	2.3	6	5	-	2
Diciembre	7	2	5	1.5	4	1	-	3

P= Positivo, N= Negativo

Fuente: Instituto Nacional de Salud, Centro Nacional de Salud Pública - Netlab, 2021

Elaboración: Oficina Ejecutiva de Estadística e Informática - OGIS

Fecha de descarga: julio de 2021 de la base de datos Netlab v1

Cuadro 1.20. Muestras procesadas para el diagnóstico de infección por enterovirus por tipo de examen según DISA - DIRESA/ otras instituciones remitentes al Instituto Nacional de Salud (INS), 2020

DISA - DIRESA/ OTRAS INSTITUCIONES	Número de muestras únicas ingresadas				Tipo de examen			
					Aislamiento viral y tipificación	ELISA - Adenovirus		PCR enterovirus
	N	N	P	N				
						Total	Sexo	
fem.	masc.							
Total	478	156	322	100.0	222	97	9	211
Ancash	2	-	2	0.4	1	-	-	1
Arequipa	106	44	62	22.2	7	88	8	6
Cajamarca	20	7	13	4.2	9	-	-	9
Callao	40	10	30	8.4	24	-	-	25
Cusco	9	6	3	1.9	9	-	-	8
Huancavelica	2	-	2	0.4	1	-	-	1
Junín	5	1	4	1.0	5	-	-	5
La Libertad	70	25	45	14.6	38	-	1	36
Lambayeque	9	3	6	1.9	7	-	-	7
Lima Sur	10	-	10	2.1	6	-	-	7
Lima Provincias	2	1	1	0.4	2	-	-	1
Lima Ciudad	91	31	60	19.0	42	9	-	37
Luciano Castillo	19	3	16	4.0	7	-	-	6
Piura	28	12	16	5.9	26	-	-	26
San Martín	1	-	1	0.2	-	-	-	-
Essalud	63	13	50	13.2	38	-	-	36
Consultorio Particular	1	-	1	0.2	-	-	-	-

P= Positivo, N= Negativo

Fuente: Instituto Nacional de Salud, Centro Nacional de Salud Pública - Netlab, 2021

Elaboración: Oficina Ejecutiva de Estadística e Informática - OGIS

Fecha de descarga: julio de 2021 de la base de datos Netlab v1

Cuadro 1.21. Muestras procesadas para el diagnóstico de parálisis flácida por tipo de examen según mes de ingreso al Instituto Nacional de Salud (INS), 2020

MES	Número de muestras únicas ingresadas				Tipo de examen	
					Cultivo y tipificación	
	Total	Sexo		%	N	P
		Fem.	Masc.			
Total	39	16	23	100.0	31	1
Enero	8	4	4	20.5	7	-
Febrero	12	3	9	30.8	10	-
Marzo	8	4	4	20.5	6	-
Abril	0	-	-	0.0	-	-
Mayo	1	-	1	2.6	1	-
Junio	2	1	1	5.1	1	-
Julio	1	-	1	2.6	1	-
Agosto	0	-	-	0.0	-	-
Septiembre	2	1	1	5.1	1	1
Octubre	2	2	-	5.1	2	-
Noviembre	3	1	2	7.7	2	-
Diciembre	0	-	-	0.0	-	-

P= Positivo, N= Negativo

Fuente: Instituto Nacional de Salud, Centro Nacional de Salud Pública - Netlab, 2021

Elaboración: Oficina Ejecutiva de Estadística e Informática - OGIS

Fecha de descarga: julio de 2021 de la base de datos Netlab v1

Cuadro 1.22. Muestras procesadas para el diagnóstico de parálisis flácida por tipo de examen según DISA - DIRESA/ otras instituciones remitentes al Instituto Nacional de Salud (INS), 2020

DISA - DIRESA/ OTRAS INSTITUCIONES	Número de muestras únicas ingresadas				Tipo de examen	
					Cultivo y Tipificación	
	Total	Sexo		%	N	P
		Fem.	Masc.			
Total	39	16	23	100.0	31	1
Arequipa	3	1	2	7.7	3	-
Cajamarca	1	1	-	2.6	1	-
Callao	1	-	1	2.6	-	-
Jaén - Cajamarca	1	-	1	2.6	-	1
Junín	8	2	6	20.5	6	-
La Libertad	7	5	2	17.9	6	-
Lima Sur	1	-	1	2.6	1	-
Lima Ciudad	10	4	6	25.6	9	-
Luciano Castillo - Piura	4	2	2	10.3	4	-
Essalud	3	1	2	7.7	1	-

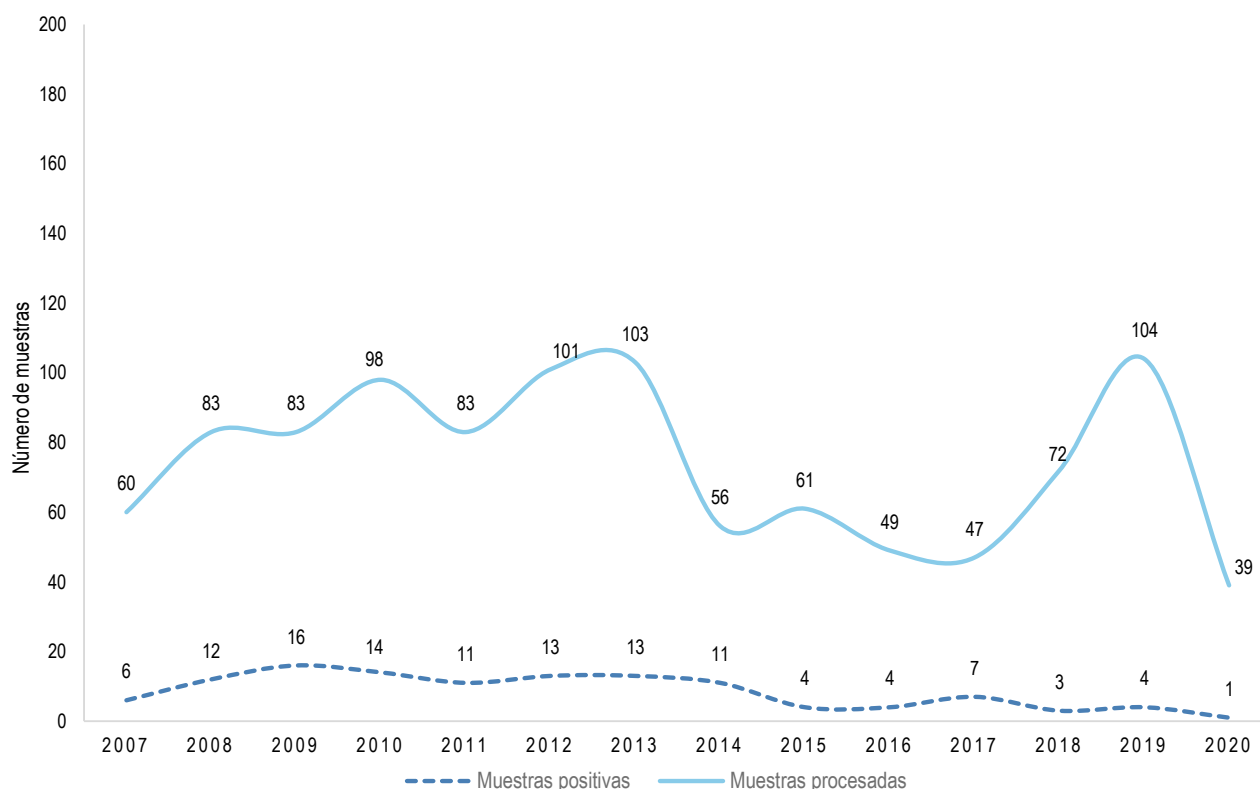
P= Positivo, N= Negativo

Fuente: Instituto Nacional de Salud, Centro Nacional de Salud Pública - Netlab, 2021

Elaboración: Oficina Ejecutiva de Estadística e Informática - OGIS

Fecha de descarga: julio de 2021 de la base de datos Netlab v1

Gráfico 1.3. Tendencia de muestras procesadas y positivas para el diagnóstico de parálisis flácida, Instituto Nacional de Salud (INS), 2007-2020



Fuente: Instituto Nacional de Salud, Centro Nacional de Salud Pública - Netlab, 2021

Elaboración: Oficina Ejecutiva de Estadística e Informática - OGIS

Fecha de descarga: julio de 2021 de la base de datos Netlab v1

Muestra positiva para la prueba de Aislamiento y tipificación

Cuadro 1.23. Muestras procesadas para el diagnóstico de rotavirus por tipo de examen según mes de ingreso al Instituto Nacional de Salud (INS), 2020

MES	Número de muestras únicas ingresadas				Tipo de examen	
					Elsa Rotavirus	
	Total	Sexo		N		
		Fem.	Masc.		%	
Total	288	218	70	100.0	218	70
Enero	194	127	67	67.4	127	67
Febrero	22	22	-	7.6	22	-
Marzo	9	9	-	3.1	9	-
Abril	2	2	-	0.7	2	-
Mayo	0	-	-	0.0	-	-
Junio	1	1	-	0.3	1	-
Julio	46	44	2	16.0	44	2
Agosto	0	-	-	0.0	-	-
Septiembre	0	-	-	0.0	-	-
Octubre	4	3	1	1.4	3	1
Noviembre	8	8	-	2.8	8	-
Diciembre	2	2	-	0.7	2	-

P= Positivo, N= Negativo

Fuente: Instituto Nacional de Salud, Centro Nacional de Salud Pública - Netlab, 2021

Elaboración: Oficina Ejecutiva de Estadística e Informática - OGIS

Fecha de descarga: julio de 2021 de la base de datos Netlab v1

Cuadro 1.24. Muestras procesadas para el diagnóstico de rotavirus por tipo de examen según DISA - DIRESA/ otras instituciones remitentes al Instituto Nacional de Salud (INS), 2020

DISA - DIRESA/ OTRAS INSTITUCIONES	Número de muestras únicas ingresadas				Tipo de examen		
					Elisa Rotavirus Control de calidad		
	Total	Sexo		%	N	P	
		Fem.	Masc.				
Total	288	117	171	100.0	218	70	
Arequipa	205	89	116	71.2	136	69	
Cajamarca	2	1	1	0.7	2	-	
Callao	8	1	7	2.8	8	-	
Cusco	3	1	2	1.0	3	-	
Jaén - Cajamarca	1	-	1	0.3	1	-	
Junín	2	-	2	0.7	2	-	
La Libertad	12	5	7	4.2	12	-	
Lambayeque	4	1	3	1.4	4	-	
Lima Sur	3	-	3	1.0	3	-	
Lima Este	1	-	1	0.3	1	-	
Lima Ciudad	26	11	15	9.0	25	1	
Luciano Castillo - Piura	3	1	2	1.0	3	-	
Piura	11	4	7	3.8	11	-	
Instituto Nacional de Salud	0	-	-	0.0	-	-	
Essalud	7	3	4	2.4	7	-	

P= Positivo, N= Negativo

Fuente: Instituto Nacional de Salud, Centro Nacional de Salud Pública - Netlab, 2021

Elaboración: Oficina Ejecutiva de Estadística e Informática - OGIS

Fecha de descarga: julio de 2021 de la base de datos Netlab v1

LABORATORIO DE IRAS E IIH

Cuadro 1.25 Muestras procesadas para el diagnóstico de difteria por tipo de examen según mes de ingreso al Instituto Nacional de Salud, 2020

MES	Número de muestras únicas ingresadas				Tipo de examen	
	Total	Sexo		%	Aislamiento e identificación bioquímica	P
		fem.	masc.			
Total	197	106	91	100.0	192	5
Enero	0	-	-	0.0	-	-
Febrero	0	-	-	0.0	-	-
Marzo	0	-	-	0.0	-	-
Abril	0	-	-	0.0	-	-
Mayo	0	-	-	0.0	-	-
Junio	0	-	-	0.0	-	-
Julio	0	-	-	0.0	-	-
Agosto	0	-	-	0.0	-	-
Septiembre	0	-	-	0.0	-	-
Octubre	49	26	23	24.9	45	4
Noviembre	129	69	60	65.5	128	1
Diciembre	19	11	8	9.6	19	-

P= Positivo, N= Negativo

Fuente: Instituto Nacional de Salud, Centro Nacional de Salud Pública - Netlab, 2021

Elaboración: Oficina Ejecutiva de Estadística e Informática - OGIS

Fecha de descarga: julio de 2021 de la base de datos Netlab v1

Cuadro 1.26 Muestras procesadas para el diagnóstico de difteria por tipo de examen según DISA - DIRESA / otras instituciones remitentes al Instituto Nacional de Salud, 2020

DISA - DIRESA/ OTRAS INSTITUCIONES	Número de muestras únicas ingresadas				Tipo de examen	
	Total	Sexo		%	Aislamiento e identificación bioquímica	P
		fem.	masc.			
Total	197	106	91	100.0	192	5
Ancash	1	-	1	0.5	1	-
Andahuaylas - Apurímac	1	1	-	0.5	1	-
Arequipa	6	3	3	3.0	6	-
Callao	4	2	2	2.0	4	-
Cusco	2	-	2	1.0	2	-
Huancavelica	1	1	-	0.5	1	-
Huánuco	2	1	1	1.0	2	-
La Libertad	3	3	-	1.5	3	-
Lambayeque	7	5	2	3.6	7	-
Lima Sur	11	6	5	5.6	11	-
Lima Este	5	3	2	2.5	5	-
Lima Norte	1	1	-	0.5	1	-
Lima Provincias	4	2	2	2.0	4	-
Lima Ciudad	136	71	65	69.0	131	5
Loreto	5	2	3	2.5	5	-
Luciano Castillo - Piura	1	-	1	0.5	1	-
Piura	1	-	1	0.5	1	-

Luciano Castillo - Piura	1	-	1	0.5	1	-
Piura	1	-	1	0.5	1	-
Puno	1	-	1	0.5	1	-
Instituto Nacional de Salud	1	1	-	0.5	1	-
Essalud	2	2	-	1.0	2	-
Consultorio particular	2	2	-	1.0	2	-

P= Positivo, N= Negativo

Fuente: Instituto Nacional de Salud, Centro Nacional de Salud Pública - Netlab, 2021

Elaboración: Oficina Ejecutiva de Estadística e Informática - OGIS

Fecha de descarga: julio de 2021 de la base de datos Netlab v1

Cuadro 1.27 Muestras procesadas para el diagnóstico de meningitis bacteriana por tipo de examen según mes de ingreso al Instituto Nacional de Salud (INS), 2020

MES	Número de muestras únicas ingresadas					Tipo de examen				
						Cultivo		Aglutinación por látex		Identificación confirmatoria
	Total	Sexo		NE 1/	%	N	H. influenzae b	S. pneumoniae	Otros	S. pneumoniae
		Fem.	Masc.							
Total	98	24	73	1	100.0	1	1	1	94	1
Enero	33	10	23	-	33.7	-	-	-	32	1
Febrero	34	4	30	-	34.7	-	1	1	32	-
Marzo	13	5	8	-	13.3	-	-	-	13	-
Abril	0	-	-	-	0.0	-	-	-	-	-
Mayo	0	-	-	-	0.0	-	-	-	-	-
Junio	2	1	1	-	2.0	-	-	-	1	-
Julio	0	-	-	-	0.0	-	-	-	-	-
Agosto	1	1	-	-	1.0	-	-	-	1	-
Septiembre	5	-	5	-	5.1	-	-	-	5	-
Octubre	3	1	2	-	3.1	1	-	-	3	-
Noviembre	4	2	2	-	4.1	-	-	-	4	-
Diciembre	3	-	2	1	3.1	-	-	-	3	-

N= Negativo

S. pneumoniae= Streptococcus pneumoniae, H. influenzae b= Haemophilus influenzae b, Otros= Pruebas usadas con fines de investigación

1/ No especifica el origen de la muestra

Fuente: Instituto Nacional de Salud, Centro Nacional de Salud Pública - Netlab, 2021

Elaboración: Oficina Ejecutiva de Estadística e Informática - OGIS

Fecha de descarga: julio de 2021 de la base de datos Netlab v1

Cuadro 1.28 Muestras procesadas para el diagnóstico de meningitis bacteriana por tipo de examen según DISA/DIRESA / otras instituciones remitentes al Instituto Nacional de Salud (INS), 2020

DISA - DIRESA / OTRAS INSTITUCIONES	Número de muestras únicas ingresadas					Tipo de examen				
						Cultivo		Aglutinación por látex		Identificación confirmatoria
	Total	Sexo		NE 1/	%	N	H. influenzae b	S. pneumoniae	Otros	S. pneumoniae
		Fem.	Masc.							
Total	98	24	73	1	100.0	1	1	1	94	1
Ancash	2	-	2	-	2.0	-	-	-	2	-
Arequipa	1	1	-	-	1.0	-	-	-	1	-
Cajamarca	3	2	1	-	3.1	-	-	-	3	-
Callao	19	4	15	-	19.4	-	-	-	18	-
Cusco	1	-	1	-	1.0	-	-	-	1	-
Lambayeque	5	1	4	-	5.1	-	-	-	5	-
Lima Sur	2	-	2	-	2.0	-	-	-	2	-
Lima Este	1	-	1	-	1.0	-	-	-	1	-
Lima Ciudad	25	8	16	1	25.5	-	1	1	22	1
Loreto	4	-	4	-	4.1	-	-	-	4	-
Luciano Castillo - Piura	7	1	6	-	7.1	-	-	-	7	-
Piura	2	2	-	-	2.0	1	-	-	2	-
Essalud	26	5	21	-	26.5	-	-	-	26	-

N= Negativo

S. pneumoniae= Streptococcus pneumoniae, H. influenzae b= Haemophilus influenzae b, Otros= Pruebas usadas con fines de investigación

1/ No especifica el origen de la muestra

Fuente: Instituto Nacional de Salud, Centro Nacional de Salud Pública - Netlab, 2021

Elaboración: Oficina Ejecutiva de Estadística e Informática - OGIS

Fecha de descarga: julio de 2021 de la base de datos Netlab v1

Cuadro 1.29 Muestras procesadas para el diagnóstico de tos ferina por tipo de examen según mes de ingreso al Instituto Nacional de Salud (INS), 2020

MES	Número de muestras únicas ingresadas					Tipo de examen		
						Cultivo		RT-PCR
	Total	Sexo		NE 1/	%	N	N	P
		Fem.	Masc.					
Total	365	158	206	1	100.0	1	317	48
Enero	114	52	62	-	31.2	-	103	11
Febrero	82	34	47	1	22.5	-	56	26
Marzo	70	25	45	-	19.2	1	65	5
Abril	19	10	9	-	5.2	-	17	2
Mayo	7	1	6	-	1.9	-	5	2
Junio	3	2	1	-	0.8	-	2	1
Julio	3	2	1	-	0.8	-	3	-
Agosto	14	5	9	-	3.8	-	14	-
Septiembre	12	4	8	-	3.3	-	12	-
Octubre	21	12	9	-	5.8	-	21	-
Noviembre	14	8	6	-	3.8	-	13	1
Diciembre	6	3	3	-	1.6	-	6	-

P= Positivo, N= Negativo

1/ No especifica el origen de la muestra

Fuente: Instituto Nacional de Salud, Centro Nacional de Salud Pública - Netlab, 2021

Elaboración: Oficina Ejecutiva de Estadística e Informática - OGIS

Fecha de descarga: julio de 2021 de la base de datos Netlab v1

Cuadro 1.30 Muestras procesadas para el diagnóstico de tos ferina por tipo de examen según DISA/DIRESA / otras instituciones remitentes al Instituto Nacional de Salud (INS), 2020

DISA - DIRESA/ OTRAS INSTITUCIONES	Número de muestras únicas ingresadas					Tipo de examen		
						Cultivo		RT-PCR
	Total	Sexo		NE 1/	%	N	N	P
		Fem.	Masc.					
Total	365	158	206	1	100.0	1	317	48
Amazonas	6	3	3	-	1.6	-	5	1
Áncash	6	4	2	-	1.6	-	6	-
Arequipa	7	4	3	-	1.9	-	7	-
Ayacucho	12	5	7	-	3.3	-	10	2
Bagua - Amazonas	1	-	1	-	0.3	-	-	1
Cajamarca	6	1	5	-	1.6	-	4	2
Callao	32	13	19	-	8.8	-	31	1
Cusco	6	2	4	-	1.6	-	3	3
Huancavelica	6	2	4	-	1.6	-	6	-
Huánuco	3	1	2	-	0.8	-	2	1
Ica	1	-	1	-	0.3	-	-	1
Jaén - Cajamarca	1	-	1	-	0.3	-	1	-
Junín	4	2	2	-	1.1	-	4	-
La Libertad	22	12	10	-	6.0	-	17	5
Lambayeque	11	2	9	-	3.0	-	7	4
Lima Sur	29	14	15	-	7.9	-	23	6
Lima Este	13	7	5	1	3.6	-	10	3
Lima Provincias	3	-	3	-	0.8	-	3	-
Lima Ciudad	67	28	39	-	18.4	1	61	6
Loreto	69	34	35	-	18.9	-	66	3
Piura	9	2	7	-	2.5	-	9	-
Puno	6	3	3	-	1.6	-	3	3
San Martín	2	1	1	-	0.5	-	1	1
Ucayali	18	8	10	-	4.9	-	17	1
Instituto Nacional de Salud	3	-	3	-	0.8	-	2	1
Essalud	19	8	11	-	5.2	-	17	2
Militar	1	1	-	-	0.3	-	1	-
Consultorio particular	2	1	1	-	0.5	-	1	1

P= Positivo, N= Negativo

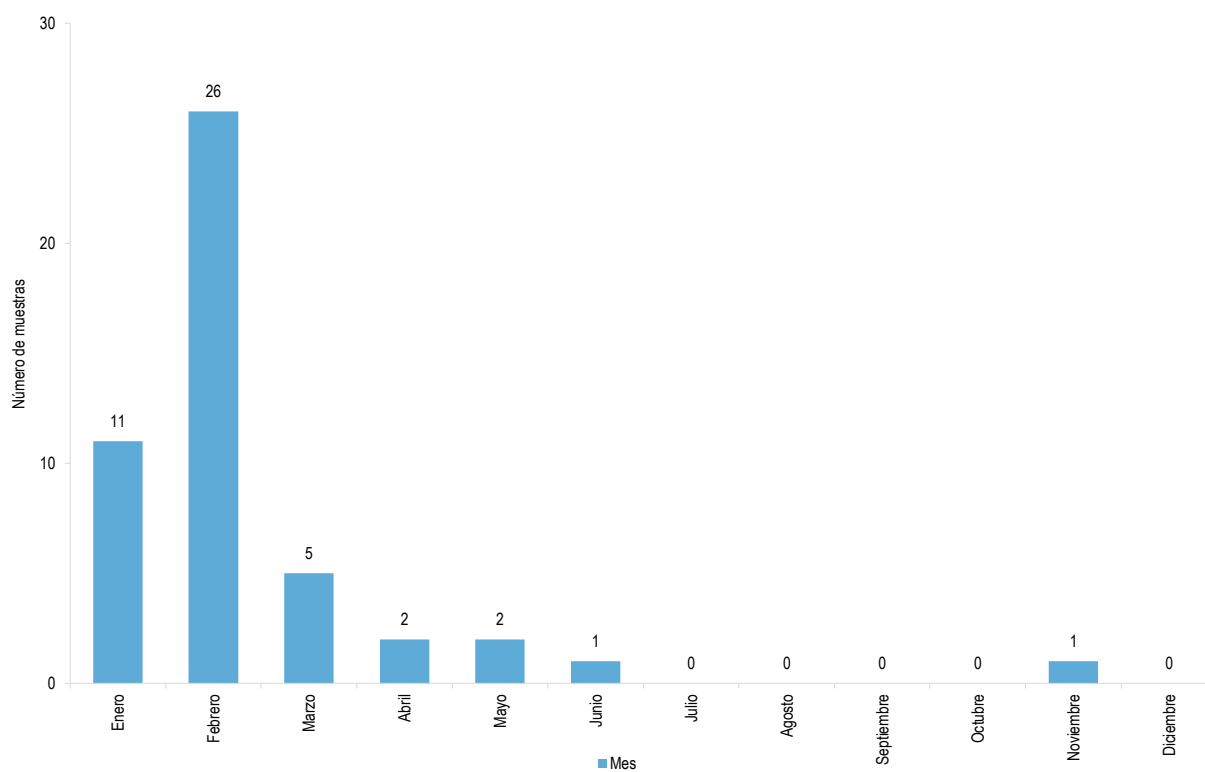
1/ No especifica el origen de la muestra

Fuente: Instituto Nacional de Salud, Centro Nacional de Salud Pública - Netlab, 2021

Elaboración: Oficina Ejecutiva de Estadística e Informática - OGIS

Fecha de descarga: julio de 2021 de la base de datos Netlab v1

Gráfico 1.4 Tos ferina: muestras positivas a RT-PCR reportados mensualmente por el INS, 2020



Fuente: Instituto Nacional de Salud, Centro Nacional de Salud Pública - Netlab, 2021

Elaboración: Oficina Ejecutiva de Estadística e Informática - OGIS

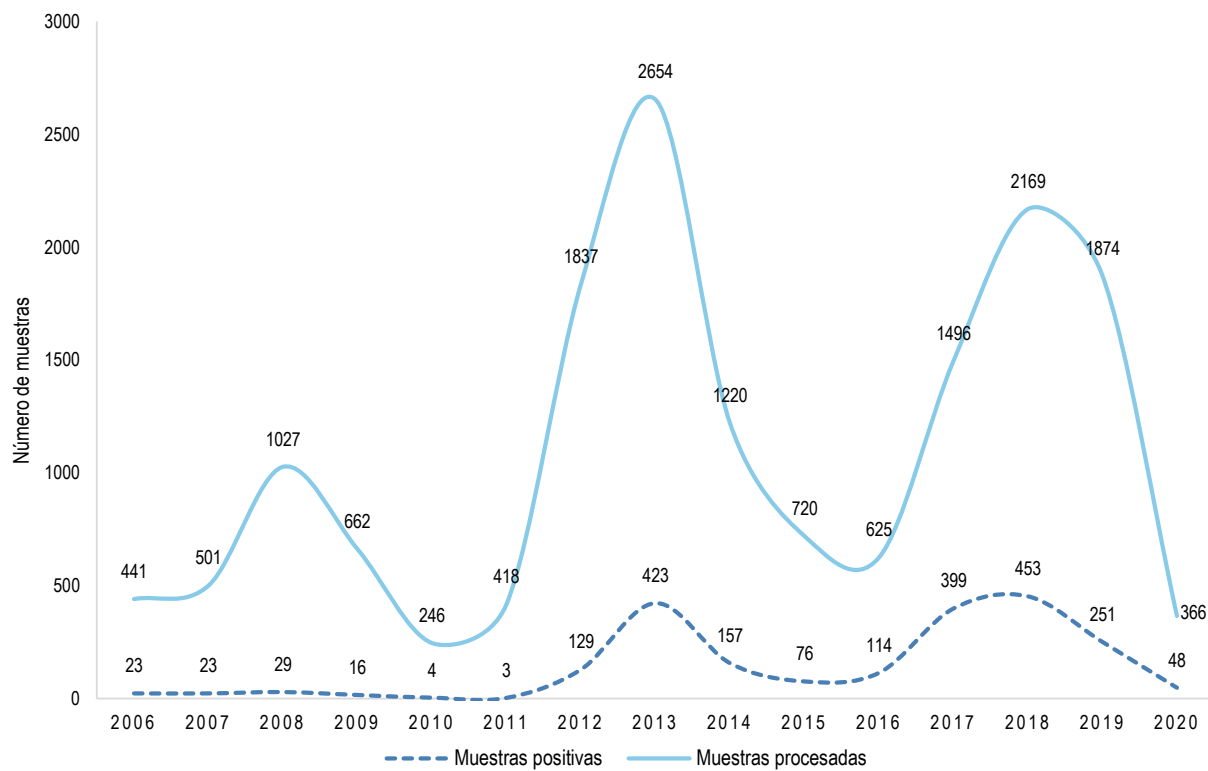
Fecha de descarga: julio de 2021 de la base de datos Netlab v1

Mapa 1.4 Distribución de muestras positivas para diagnóstico de tos ferina según departamentos, INS, 2020



Fuente: Instituto Nacional de Salud, Centro Nacional de Salud Pública, Netlab, 2021
Elaboración: Oficina Ejecutiva de Estadística e Informática, OGIS

Gráfico 1.5 Tendencia de muestras procesadas y positivas para el diagnóstico de tos ferina, INS, 2006-2020



Fuente: Instituto Nacional de Salud, Centro Nacional de Salud Pública - Netlab, 2021

Elaboración: Oficina Ejecutiva de Estadística e Informática - OGIS

LABORATORIO DE IIIH

Cuadro 1.31 Bacterias aisladas de infecciones intrahospitalarias mediante los métodos de identificación confirmatoria según mes de ingreso al Instituto Nacional de Salud, 2020

MES	Número de cepas únicas ingresadas		Tipo de examen																				OBS		
	Total	%	Gpr	Aba	Abx	Ecl	Eav	Efa	Efm	Eco	Kpn	Mno	Pmi	Pre	Pae	Ppu	Sau	Sep	Shl	Sho	Pma	NV		N	C
Total	895	100.0	1	382	16	6	1	2	9	28	243	1	4	1	110	1	5	5	2	4	6	15	1	29	23
Enero	47	5.3	-	4	-	1	-	-	-	2	23	-	-	-	8	1	1	2	-	1	1	-	-	2	1
Febrero	80	8.9	-	14	-	-	-	-	1	3	28	-	1	-	27	-	1	-	-	-	1	-	-	2	2
Marzo	22	2.5	-	4	-	1	-	-	-	-	12	-	-	-	5	-	-	-	-	-	-	-	-	-	-
Abril	1	0.1	-	-	-	-	-	-	-	-	-	-	-	-	-	-	-	-	-	-	-	-	1	-	-
Mayo	8	0.9	-	-	-	-	-	-	-	-	4	-	-	4	-	-	-	-	-	-	-	-	-	-	-
Junio	46	5.1	-	26	-	-	-	-	-	1	10	-	-	8	-	-	-	-	-	-	-	-	-	-	1
Julio	23	2.6	-	7	12	-	-	-	-	1	2	-	-	-	-	-	-	-	-	-	1	-	-	-	-
Agosto	165	18.4	-	98	-	-	-	-	-	3	38	-	-	9	-	3	-	-	-	-	1	1	1	10	2
Septiembre	147	16.4	-	74	-	-	-	-	4	6	31	-	-	16	-	-	-	-	-	-	-	5	-	7	4
Octubre	144	16.1	1	84	3	1	-	-	2	5	32	-	-	9	-	-	-	-	-	-	-	-	-	-	7
Noviembre	127	14.2	-	56	-	2	1	1	1	6	10	-	1	16	-	-	-	3	2	3	2	9	-	8	6
Diciembre	85	9.5	-	15	1	1	-	1	1	1	53	1	2	1	8	-	-	-	-	-	-	-	-	-	-

Gpr= *Achromobacter xylosoxidans*, Aba= *Acinetobacter baumannii*, Abx= *Acinetobacter del complejo baumannii/calcoaceticus*, Ecl= *Enterobacter cloacae*, Eav= *Enterococcus avium*, Efa= *Enterococcus faecalis*, Efm= *Enterococcus faecium*, Eco= *Escherichia coli*, Kpn= *Klebsiella pneumoniae*, Mno= *Morganella morganii*, Pmi= *Providencia rettgeri*, Pae= *Pseudomonas aeruginosa*, Ppu= *Pseudomonas putida*, Sau= *Staphylococcus aureus*, Sep= *Staphylococcus epidermidis*, Shl= *Staphylococcus haemolyticus*, Sho= *Staphylococcus hominis*, Pma= *Stenotrophomonas maltophilia*
C= Contaminado, NV= No viable, N= Negativo, OBS= Ver observaciones

Fuente: Instituto Nacional de Salud, Centro Nacional de Salud Pública - Neilab, 2021

Elaboración: Oficina Ejecutiva de Estadística e Informática - OGIS

Fecha de descarga: julio de 2021 de la base de datos Neilab v1

Cuadro 1.32 Bacterias aisladas de infecciones intrahospitalarias mediante los métodos de identificación confirmatoria según DISA - DIRESA/ otras instituciones remitentes al Instituto Nacional de Salud, 2020

DISA - DIRESA/ OTRAS INSTITUCIONES	Número de cepas únicas ingresadas		Tipo de examen																											
	Total	Cepas (Otras) %	Gpr	Aba	Abx	Ecl	Eav	Efa	Efm	Eco	Kpn	Mmo	Pmi	Pre	Pae	Ppu	Sau	Sep	Shi	Sho	Pma	NV	N	C	OBS					
Total	895	895	1	382	16	6	1	2	9	28	243	1	4	1	110	1	5	5	2	4	6	15	1	29	23					
Ancash	3	0.3	-	-	-	-	-	-	-	-	-	-	-	-	-	-	-	2	-	1	-	-	-	-	-					
Apurímac	1	0.1	-	-	-	-	-	-	-	-	-	-	-	-	-	-	-	-	-	-	-	-	-	-	1					
Arequipa	6	0.7	-	6	-	-	-	-	-	-	-	-	-	-	-	-	-	-	-	-	-	-	-	-	-					
Callao	32	3.6	-	11	-	-	-	-	-	14	-	-	-	6	-	-	-	-	-	-	-	-	-	-	1					
Cusco	29	3.2	-	3	3	1	-	2	1	7	-	-	-	6	1	-	-	-	-	-	2	-	-	1	2					
Huánuco	5	0.6	-	1	-	-	-	-	-	4	-	-	-	-	-	-	-	-	-	-	-	-	-	-	-					
Junín	2	0.2	-	-	-	-	-	-	1	-	-	-	-	1	-	-	-	-	-	-	-	-	-	-	-					
La Libertad	68	7.6	-	34	-	1	1	1	2	2	-	-	-	5	-	-	-	3	2	3	1	8	-	3	2					
Lambayeque	37	4.1	-	33	-	-	-	-	-	3	-	-	-	-	-	-	-	-	-	-	-	1	-	-	-					
Lima Sur	37	4.1	-	21	1	2	-	1	-	1	-	1	1	8	-	-	-	-	-	-	-	1	-	-	-					
Lima Este	106	11.8	1	33	-	1	-	1	6	4	44	-	2	5	-	-	-	-	-	-	1	4	-	2	2					
Lima Provincias	1	0.1	-	-	-	-	-	-	-	-	-	-	-	1	-	-	-	-	-	-	-	-	-	-	-					
Lima Ciudad	208	23.2	-	103	-	1	-	-	6	28	-	1	-	48	-	2	-	-	-	-	1	1	-	10	7					
Loreto	23	2.6	-	5	8	-	-	-	-	2	-	-	-	2	-	3	-	-	-	-	1	-	-	1	1					
Moquegua	1	0.1	-	-	-	-	-	-	-	-	-	-	-	-	-	-	-	-	-	-	-	-	-	1	-					
Instituto Nacional de Salud	7	0.8	-	6	-	-	-	-	-	-	-	-	-	-	-	-	-	-	-	-	-	-	1	-	-					
Essalud	315	35.2	-	119	-	-	-	-	13	137	1	-	-	27	-	-	-	-	-	-	-	-	-	11	7					
Militar	1	0.1	-	-	-	-	-	-	-	-	-	-	-	1	-	-	-	-	-	-	-	-	-	-	-					
Consultorio particular	13	1.5	-	7	4	-	-	-	-	1	1	-	-	-	-	-	-	-	-	-	-	-	-	-	-					

Gpr= Acinetobacter xylosoxidans, Abx= Acinetobacter baumannii, Abx= Acinetobacter del complejo baumannii/calcoaceticus, EcF= Enterobacter cloacae, Eav= Enterococcus avium, Efa= Enterococcus faecalis, Efm= Enterococcus faecium, Eco= Escherichia coli, Kpn= Klebsiella pneumoniae, Mmo= Morganella morganii, Pmi= Providencia rettgeri, Pae= Pseudomonas aeruginosa, Ppu= Pseudomonas putida, Sau=Staphylococcus aureus, Sep= Staphylococcus epidermidis, Shi= Staphylococcus haemolyticus, Sho=Staphylococcus hominis, Pma= Stenotrophomonas maltophilia, C= Contaminado, NV= No viable, NF= Negativo, OBS= Ver observaciones

Fuente: Instituto Nacional de Salud, Centro Nacional de Salud Pública - Netlab, 2021

Elaboración: Oficina Ejecutiva de Estadística e Informática - OGIS

Fecha de descarga: julio de 2021 de la base de datos Netlab v1

Cuadro 1.33 Resistencia del microorganismo *Acinetobacter baumannii*, según método de susceptibilidad y gen de resistencia realizadas por mes en el Instituto Nacional de Salud, 2020

Tipo de bacteria: <i>Acinetobacter baumannii</i>	Método	Resultados	Enero	Febrero	Marzo	Abril	Mayo	Junio	Julio	Agosto	Septiembre	Octubre	Noviembre	Diciembre	Total
			Suceptibilidad antimicrobiana												
Amikacina	Disco Difusión	Intermedio	-	4	-	-	-	1	-	-	-	-	-	-	5
		Resistente	1	8	3	-	-	25	7	57	-	2	1	6	110
		Sensible	-	-	-	-	-	-	-	1	-	-	-	-	1
Ampicilina_sulbactam	Disco Difusión	Intermedio	1	1	-	-	-	1	1	32	1	-	-	-	37
		Resistente	2	10	3	-	-	23	6	22	23	1	1	-	91
		Sensible	1	2	1	-	-	2	-	4	-	-	-	-	10
Cefepime	Disco Difusión	Intermedio	1	1	-	-	-	1	1	13	-	-	1	-	18
		Resistente	3	12	1	-	-	25	6	84	73	83	55	15	357
		Sensible	-	-	3	-	-	-	-	1	-	1	-	-	5
Cefixime	Disco Difusión	Intermedio	-	-	-	-	-	-	-	-	-	-	-	-	0
		Resistente	-	-	-	-	-	-	-	1	-	1	-	-	2
		Sensible	-	-	-	-	-	-	-	-	-	-	-	-	0
Cefotaxima	Disco Difusión	Intermedio	-	-	-	-	-	-	-	-	-	-	-	-	0
		Resistente	-	2	3	-	-	-	-	-	-	-	-	-	5
		Sensible	-	-	-	-	-	-	-	-	-	-	-	-	0
Ceftazidime	Disco Difusión	Intermedio	-	-	-	-	-	-	-	-	-	-	-	-	0
		Resistente	4	13	1	-	-	26	7	98	73	84	56	11	373
		Sensible	-	-	-	-	-	-	-	-	1	-	-	-	1
Ciprofloxacino	Disco Difusión	Intermedio	-	-	-	-	-	-	-	-	-	-	-	-	0
		Resistente	4	13	1	-	-	26	7	58	-	2	1	6	118
		Sensible	-	-	-	-	-	-	-	-	-	-	-	-	0
Gentamicina	Disco Difusión	Intermedio	1	1	-	-	-	-	-	-	-	-	-	-	2
		Resistente	3	9	1	-	-	22	7	58	-	2	1	2	105
		Sensible	-	3	1	-	-	4	-	-	-	-	-	-	8
Imipenem	Disco Difusión	Intermedio	-	-	-	-	-	-	-	-	-	-	-	-	0
		Resistente	4	13	4	-	-	26	7	95	73	84	40	14	360
		Sensible	-	-	-	-	-	-	-	-	1	-	-	-	1
Levofloxacina	Disco Difusión	Intermedio	-	-	-	-	-	-	-	-	-	-	-	-	0
		Resistente	-	-	-	-	-	-	7	55	-	2	1	-	65
		Sensible	-	-	-	-	-	-	-	-	-	2	-	-	2
Linezolid	Disco Difusión	Intermedio	-	-	-	-	-	-	-	-	-	-	-	-	0
		Resistente	-	-	-	-	-	-	-	1	-	-	-	-	1
		Sensible	-	-	-	-	-	-	-	-	-	-	-	-	0
Lomefloxacina	Disco Difusión	Intermedio	-	-	-	-	-	-	-	-	-	-	-	-	0
		Resistente	-	-	-	-	-	-	-	1	-	-	-	-	1
		Sensible	-	-	-	-	-	-	-	-	-	-	-	-	0
Meropenem	Disco Difusión	Intermedio	-	-	-	-	-	-	-	-	-	-	-	-	0
		Resistente	4	13	4	-	-	26	7	94	73	84	50	13	368
		Sensible	-	-	-	-	-	-	-	-	1	-	-	-	1

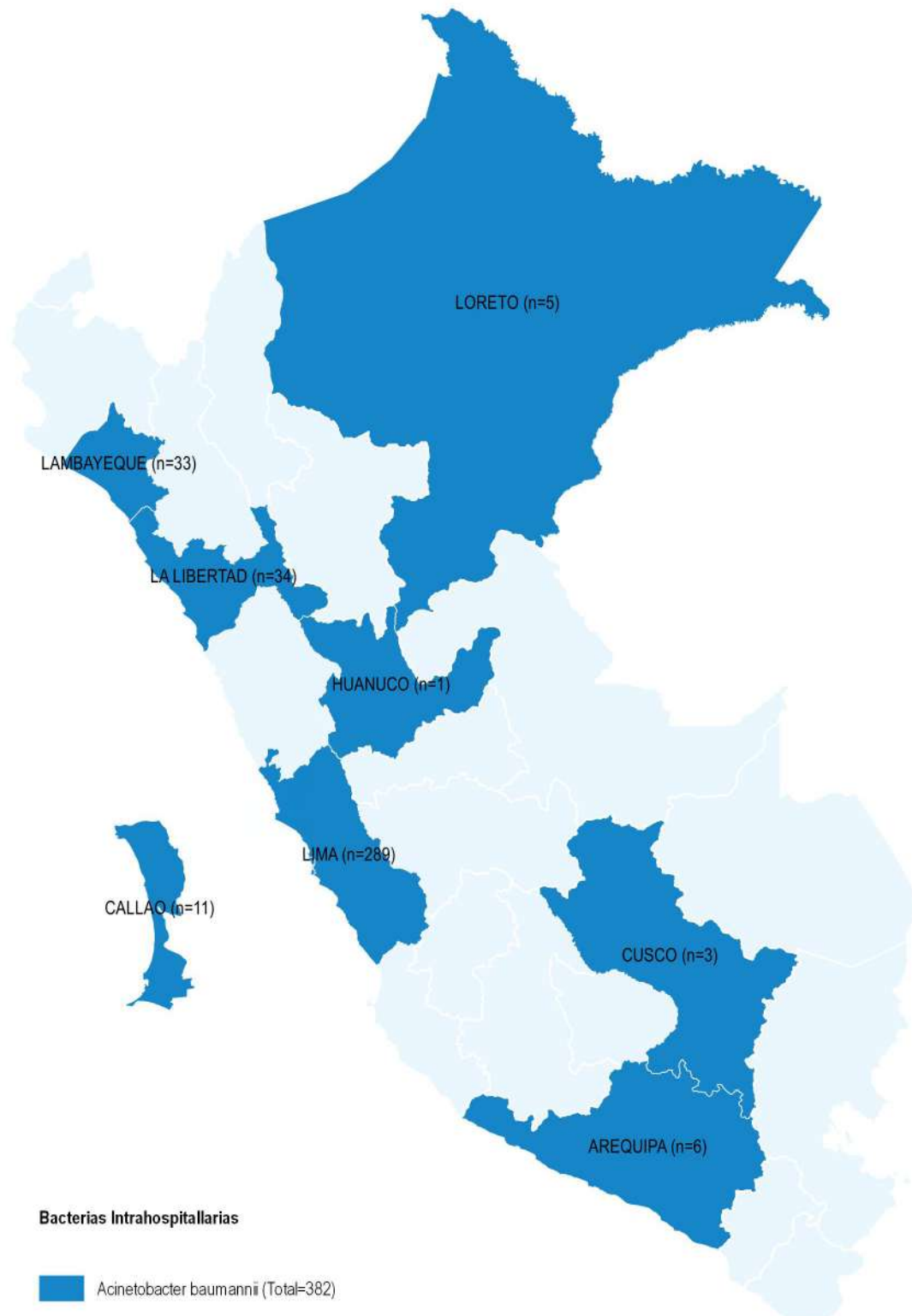
Minociclina	Disco Difusión	Intermedio	-	1	-	-	-	8	-	17	2	-	1	1	30
		Resistente	1	5	-	-	-	6	-	69	46	74	48	11	260
		Sensible	3	5	-	-	-	12	7	12	9	10	6	3	67
Nitrofurantoina	Disco Difusión	Intermedio	-	-	-	-	-	-	-	-	-	-	-	-	0
		Resistente	1	-	-	-	-	-	-	1	-	-	1	-	3
		Sensible	-	-	-	-	-	-	-	-	-	-	-	-	0
Piperacilin/tazobact	Disco Difusión	Intermedio	-	-	-	-	-	-	-	-	-	-	-	-	0
		Resistente	4	13	1	-	-	26	7	97	5	3	1	6	163
		Sensible	-	-	-	-	-	-	-	-	-	-	-	-	0
Teicoplanina	Disco Difusión	Intermedio	-	-	-	-	-	-	-	-	-	-	-	-	0
		Resistente	-	-	-	-	-	-	-	-	1	-	-	-	1
		Sensible	-	-	-	-	-	-	-	-	-	-	-	-	0
Tetraciclina	Disco Difusión	Intermedio	-	1	1	-	-	4	-	1	-	-	3	1	11
		Resistente	2	9	-	-	-	15	7	87	46	77	48	12	303
		Sensible	2	2	-	-	-	7	-	9	-	7	1	1	29
Ticarcilina	Disco Difusión	Intermedio	-	-	-	-	-	-	-	-	-	-	-	-	0
		Resistente	-	-	1	-	-	-	-	-	-	-	1	-	2
		Sensible	-	-	-	-	-	-	-	-	-	-	-	-	0
Ticarcilina/ac clavul	Disco Difusión	Intermedio	-	-	-	-	-	-	-	-	-	-	-	-	0
		Resistente	-	-	-	-	-	-	-	-	-	-	-	-	0
		Sensible	-	-	-	-	-	-	-	-	-	-	4	-	4
Trimet/sulfamet	Disco Difusión	Intermedio	-	-	-	-	-	1	-	-	-	-	-	-	1
		Resistente	4	9	1	-	-	23	7	57	-	2	1	-	104
		Sensible	-	2	-	-	-	2	-	-	-	-	-	-	4
Genes de resistencia															
BLEE	TEM Negativo	-	-	-	-	-	-	-	-	-	-	22	-	-	22
	TEM Positivo	-	-	-	-	-	-	-	-	-	-	-	-	-	-
METALOBETALACTAMASAS (MBLs)	NDM negativo	-	-	-	-	-	-	-	-	-	-	-	-	-	0
	NDM positivo	-	-	-	-	-	-	-	-	-	-	1	-	-	1
MCR	MCR-1 Negativo	-	1	-	-	-	-	-	-	-	-	-	-	-	1
	MCR-1 Positivo	-	-	-	-	-	-	-	-	-	-	-	-	-	-
OXA-143	Negativo	-	-	-	-	-	-	-	-	-	-	-	-	2	2
	Positivo	-	-	-	-	-	-	-	-	-	-	-	-	-	0
OXA-23	Negativo	-	-	-	-	-	-	-	-	-	-	-	-	2	2
	Positivo	2	4	3	-	-	17	-	70	26	22	7	2	153	
OXA-24	Negativo	1	-	-	-	-	-	-	-	-	-	-	-	1	
	Positivo	2	10	1	-	-	9	7	28	47	61	49	13	227	
OXA-48	Negativo	1	-	-	-	-	-	-	-	-	-	-	-	1	
	Positivo	-	-	-	-	-	-	-	-	-	-	-	-	0	
OXA-51	Negativo	-	-	-	-	-	-	-	-	-	-	-	2	2	
	Positivo	-	-	-	-	-	26	7	98	74	82	56	15	358	
OXA-58	Negativo	1	-	-	-	-	-	-	-	-	-	-	2	3	
	Positivo	-	-	-	-	-	-	-	-	-	1	-	-	1	

Fuente: Instituto Nacional de Salud, Centro Nacional de Salud Pública, Netlab, 2021

Elaboración: Oficina Ejecutiva de Estadística e Informática, OGIS

Fecha de descarga: julio de 2021 de la base de datos Netlab v1

Mapa 1.5 Distribución del microorganismo acinetobacter baumannii, según regiones remitentes al Instituto Nacional de Salud, 2020



Fuente: Instituto Nacional de Salud, Centro Nacional de Salud Pública, Netlab, 2021
Elaboración: Oficina Ejecutiva de Estadística e Informática, OGIS

Cuadro 1.34 Resistencia del microorganismo Acinetobacter del complejo baumannii/calcoaceticus, según método de susceptibilidad realizadas por mes en el Instituto Nacional de Salud, 2020

Tipo de bacteria: Acinetobacter del complejo baumannii/calcoaceticus	Método	Resultados	Suceptibilidad antimicrobiana													
			Enero	Febrero	Marzo	Abril	Mayo	Junio	Julio	Agosto	Septiembre	Octubre	Noviembre	Diciembre	Total	
Amikacina	Disco Difusión	Intermedio	-	-	-	-	-	-	-	2	-	-	-	-	-	2
		Resistente	-	-	-	-	-	-	8	-	-	-	-	-	-	8
		Sensible	-	-	-	-	-	-	2	-	-	3	-	1	-	6
Ampicilina_sulbactam	Disco Difusión	Intermedio	-	-	-	-	-	-	6	-	-	-	-	-	-	6
		Resistente	-	-	-	-	-	-	3	-	-	-	-	-	-	3
		Sensible	-	-	-	-	-	-	3	-	-	3	-	-	-	6
Cefepime	Disco Difusión	Intermedio	-	-	-	-	-	-	1	-	-	-	-	-	-	1
		Resistente	-	-	-	-	-	-	11	-	-	-	-	-	-	11
		Sensible	-	-	-	-	-	-	-	-	-	3	-	1	-	4
Ceftazidime	Disco Difusión	Intermedio	-	-	-	-	-	-	-	-	-	-	-	-	-	0
		Resistente	-	-	-	-	-	-	12	-	-	-	-	-	-	12
		Sensible	-	-	-	-	-	-	-	-	-	3	-	-	-	3
Ciprofloxacino	Disco Difusión	Intermedio	-	-	-	-	-	-	-	-	-	-	-	-	-	0
		Resistente	-	-	-	-	-	-	12	-	-	-	-	-	-	12
		Sensible	-	-	-	-	-	-	-	-	-	3	-	1	-	4
Gentamicina	Disco Difusión	Intermedio	-	-	-	-	-	-	1	-	-	-	-	-	-	1
		Resistente	-	-	-	-	-	-	11	-	-	-	-	-	-	11
		Sensible	-	-	-	-	-	-	-	-	-	3	-	-	-	3
Imipenem	Disco Difusión	Intermedio	-	-	-	-	-	-	-	-	-	-	-	-	-	0
		Resistente	-	-	-	-	-	-	12	-	-	-	-	-	-	12
		Sensible	-	-	-	-	-	-	-	-	-	3	-	1	-	4
Levofloxacina	Disco Difusión	Intermedio	-	-	-	-	-	-	-	-	-	-	-	-	-	0
		Resistente	-	-	-	-	-	-	12	-	-	-	-	-	-	12
		Sensible	-	-	-	-	-	-	-	-	-	2	-	-	-	2
Meropenem	Disco Difusión	Intermedio	-	-	-	-	-	-	-	-	-	-	-	-	-	0
		Resistente	-	-	-	-	-	-	11	-	-	-	-	-	-	11
		Sensible	-	-	-	-	-	-	-	-	-	3	-	1	-	4
Minociclina	Disco Difusión	Intermedio	-	-	-	-	-	-	-	-	-	-	-	-	-	0
		Resistente	-	-	-	-	-	-	-	-	-	-	-	-	-	0
		Sensible	-	-	-	-	-	-	12	-	-	3	-	1	-	16
Piperacilin/tazobact	Disco Difusión	Intermedio	-	-	-	-	-	-	-	-	-	-	-	-	1	1
		Resistente	-	-	-	-	-	-	12	-	-	-	-	-	-	12
		Sensible	-	-	-	-	-	-	-	-	-	3	-	-	-	3
Tetraciclina	Disco Difusión	Intermedio	-	-	-	-	-	-	1	-	-	-	-	-	-	1
		Resistente	-	-	-	-	-	-	4	-	-	-	-	-	-	4
		Sensible	-	-	-	-	-	-	7	-	-	3	-	1	-	11
Ticarclina/ac clavu	Disco Difusión	Intermedio	-	-	-	-	-	-	-	-	-	-	-	-	-	0
		Resistente	-	-	-	-	-	-	-	-	-	-	-	-	-	0

Trimet/sulfamet	Disco Difusión	Intermedio	-	-	-	-	-	-	-	-	-	-	-	-	0
		Resistente	-	-	-	-	-	12	-	-	-	-	-	-	12
		Sensible	-	-	-	-	-	-	-	-	3	-	-	-	3
Genes de resistencia															
OXA-23		Negativo	-	-	-	-	-	-	-	-	-	-	-	-	0
		Positivo	-	-	-	-	-	8	-	-	-	-	-	-	8
OXA-24		Negativo	-	-	-	-	-	-	-	-	-	-	-	-	0
		Positivo	-	-	-	-	-	4	-	-	-	-	-	-	4

Fuente: Instituto Nacional de Salud, Centro Nacional de Salud Pública, Netlab, 2021

Elaboración: Oficina Ejecutiva de Estadística e Informática , OGIS

Fecha de descarga: julio de 2021 de la base de datos Netlab v1

Mapa 1.6 Distribución del microorganismo acinetobacter del complejo baumannii/calcoaceticus, según regiones remitentes al Instituto Nacional de Salud, 2020



Fuente: Instituto Nacional de Salud, Centro Nacional de Salud Pública, Netlab, 2021
Elaboración: Oficina Ejecutiva de Estadística e Informática, OGIS

Cuadro 1.35 Resistencia del microorganismo Enterococcus avium, según metodo de susceptibilidad realizadas por mes en el Instituto Nacional de Salud, 2020

Tipo de bacteria: Enterococcus avium	Método	Resultados	Suceptibilidad antimicrobiana												Total	
			Enero	Febrero	Marzo	Abril	Mayo	Junio	Julio	Agosto	Septiembre	Octubre	Noviembre	Diciembre		
Ampicilina	Disco Difusión	Intermedio	-	-	-	-	-	-	-	-	-	-	-	-	-	0
		Resistente	-	-	-	-	-	-	-	-	-	-	-	-	-	0
		Sensible	-	-	-	-	-	-	-	-	-	-	1	-	-	1
Cloranfenicol	Disco Difusión	Intermedio	-	-	-	-	-	-	-	-	-	-	-	-	-	0
		Resistente	-	-	-	-	-	-	-	-	-	-	1	-	-	1
		Sensible	-	-	-	-	-	-	-	-	-	-	-	-	-	0
Estreptomicina, Alta carga	Disco Difusión	Intermedio	-	-	-	-	-	-	-	-	-	-	-	-	-	0
		Resistente	-	-	-	-	-	-	-	-	-	-	1	-	-	1
		Sensible	-	-	-	-	-	-	-	-	-	-	-	-	-	0
Gentamicina,Alta Carga	Disco Difusión	Intermedio	-	-	-	-	-	-	-	-	-	-	-	-	-	0
		Resistente	-	-	-	-	-	-	-	-	-	-	1	-	-	1
		Sensible	-	-	-	-	-	-	-	-	-	-	-	-	-	0
Linezolid	Disco Difusión	Intermedio	-	-	-	-	-	-	-	-	-	-	-	-	-	0
		Resistente	-	-	-	-	-	-	-	-	-	-	1	-	-	1
		Sensible	-	-	-	-	-	-	-	-	-	-	-	-	-	0
Penicilina	Disco Difusión	Intermedio	-	-	-	-	-	-	-	-	-	-	-	-	-	0
		Resistente	-	-	-	-	-	-	-	-	-	-	1	-	-	1
		Sensible	-	-	-	-	-	-	-	-	-	-	-	-	-	0
Teicoplanina	Disco Difusión	Intermedio	-	-	-	-	-	-	-	-	-	-	-	-	-	0
		Resistente	-	-	-	-	-	-	-	-	-	-	1	-	-	1
		Sensible	-	-	-	-	-	-	-	-	-	-	-	-	-	0
Tetraciclina	Disco Difusión	Intermedio	-	-	-	-	-	-	-	-	-	-	-	-	-	0
		Resistente	-	-	-	-	-	-	-	-	-	-	1	-	-	1
		Sensible	-	-	-	-	-	-	-	-	-	-	-	-	-	0
Vancomicina	Disco Difusión	Intermedio	-	-	-	-	-	-	-	-	-	-	1	-	-	1
		Resistente	-	-	-	-	-	-	-	-	-	-	-	-	-	0
		Sensible	-	-	-	-	-	-	-	-	-	-	-	-	-	0

Fuente: Instituto Nacional de Salud, Centro Nacional de Salud Pública,Netlab, 2021

Elaboración: Oficina Ejecutiva de Estadística e Informática , OGIS

Fecha de descarga: julio de 2021 de la base de datos Netlab v1

Mapa 1.7 Distribución del microorganismo *Enterococcus avium*, según regiones remitentes al Instituto Nacional de Salud, 2020



Fuente: Instituto Nacional de Salud, Centro Nacional de Salud Pública, Netlab, 2021
Elaboración: Oficina Ejecutiva de Estadística e Informática, OGIS

Cuadro 1.36 Resistencia del microorganismo *Enterococcus faecalis*, según método de susceptibilidad y gen de resistencia realizadas por mes en el Instituto Nacional de Salud, 2020

Tipo de bacteria: <i>Enterococcus faecalis</i>	Método	Resultados	Enero	Febrero	Marzo	Abril	Mayo	Junio	Julio	Agosto	Septiembre	Octubre	Noviembre	Diciembre	Total	
			Suceptibilidad antimicrobiana													
Ampicilina	Disco Difusión	Intermedio	-	-	-	-	-	-	-	-	-	-	-	-	0	
		Resistente	-	-	-	-	-	-	-	-	-	-	-	-	-	0
		Sensible	-	-	-	-	-	-	-	-	-	-	-	1	1	2
Ciprofloxacino	Disco Difusión	Intermedio	-	-	-	-	-	-	-	-	-	-	-	-	0	
		Resistente	-	-	-	-	-	-	-	-	-	-	-	1	1	1
		Sensible	-	-	-	-	-	-	-	-	-	-	-	1	-	1
Cloranfenicol	Disco Difusión	Intermedio	-	-	-	-	-	-	-	-	-	-	-	-	0	
		Resistente	-	-	-	-	-	-	-	-	-	-	-	-	-	0
		Sensible	-	-	-	-	-	-	-	-	-	-	-	1	-	1
Doxiciclina	Disco Difusión	Intermedio	-	-	-	-	-	-	-	-	-	-	-	-	0	
		Resistente	-	-	-	-	-	-	-	-	-	-	-	-	-	0
		Sensible	-	-	-	-	-	-	-	-	-	-	-	1	-	1
Eritromicina	Disco Difusión	Intermedio	-	-	-	-	-	-	-	-	-	-	-	-	0	
		Resistente	-	-	-	-	-	-	-	-	-	-	-	1	1	1
		Sensible	-	-	-	-	-	-	-	-	-	-	-	-	-	0
Estreptomicina, Alta carga	Disco Difusión	Intermedio	-	-	-	-	-	-	-	-	-	-	-	-	0	
		Resistente	-	-	-	-	-	-	-	-	-	-	-	-	-	0
		Sensible	-	-	-	-	-	-	-	-	-	-	-	1	-	1
Gentamicina	Disco Difusión	Intermedio	-	-	-	-	-	-	-	-	-	-	-	-	0	
		Resistente	-	-	-	-	-	-	-	-	-	-	-	1	1	1
		Sensible	-	-	-	-	-	-	-	-	-	-	-	-	-	0
Gentamicina,Alta Carga	Disco Difusión	Intermedio	-	-	-	-	-	-	-	-	-	-	-	-	0	
		Resistente	-	-	-	-	-	-	-	-	-	-	-	-	-	0
		Sensible	-	-	-	-	-	-	-	-	-	-	-	1	-	1
Linezolid	Disco Difusión	Intermedio	-	-	-	-	-	-	-	-	-	-	-	-	0	
		Resistente	-	-	-	-	-	-	-	-	-	-	1	-	1	1
		Sensible	-	-	-	-	-	-	-	-	-	-	-	-	-	0
Minociclina	Disco Difusión	Intermedio	-	-	-	-	-	-	-	-	-	-	-	-	0	
		Resistente	-	-	-	-	-	-	-	-	-	-	-	-	-	0
		Sensible	-	-	-	-	-	-	-	-	-	-	-	1	-	1
Nitrofurantoina	Disco Difusión	Intermedio	-	-	-	-	-	-	-	-	-	-	-	-	0	
		Resistente	-	-	-	-	-	-	-	-	-	-	-	-	-	0
		Sensible	-	-	-	-	-	-	-	-	-	-	-	1	-	1
Penicilina	Disco Difusión	Intermedio	-	-	-	-	-	-	-	-	-	-	-	-	0	
		Resistente	-	-	-	-	-	-	-	-	-	-	-	-	-	0
		Sensible	-	-	-	-	-	-	-	-	-	-	-	1	-	1

ANUARIO ESTADÍSTICO 2020

Teicoplanina	Disco Difusión	Intermedio	-	-	-	-	-	-	-	-	-	-	1	-	1	
		Resistente	-	-	-	-	-	-	-	-	-	-	-	-	-	0
		Sensible	-	-	-	-	-	-	-	-	-	-	-	-	-	0
Tetraciclina	Disco Difusión	Intermedio	-	-	-	-	-	-	-	-	-	-	-	-	0	
		Resistente	-	-	-	-	-	-	-	-	-	-	-	-	-	0
		Sensible	-	-	-	-	-	-	-	-	-	-	-	1	-	1
Vancomicina	Disco Difusión	Intermedio	-	-	-	-	-	-	-	-	-	-	1	-	1	
		Resistente	-	-	-	-	-	-	-	-	-	-	-	-	-	0
		Sensible	-	-	-	-	-	-	-	-	-	-	-	-	1	1
Genes de resistencia																
VAN A		Negativo	-	-	-	-	-	-	-	-	-	-	-	1	1	
		Positivo	-	-	-	-	-	-	-	-	-	-	-	-	-	0
VAN B		Negativo	-	-	-	-	-	-	-	-	-	-	-	1	1	
		Positivo	-	-	-	-	-	-	-	-	-	-	-	-	-	0

Fuente: Instituto Nacional de Salud, Centro Nacional de Salud Pública, Netlab, 2021

Elaboración: Oficina Ejecutiva de Estadística e Informática, OGIS

Fecha de descarga: julio de 2021 de la base de datos Netlab v1

Mapa 1.8 Distribución del microorganismo enterococcus faecalis, según regiones remitentes al Instituto Nacional de Salud, 2020



Fuente: Instituto Nacional de Salud, Centro Nacional de Salud Pública, Netlab, 2021
Elaboración: Oficina Ejecutiva de Estadística e Informática, OGIS

Cuadro 1.37 Resistencia del microorganismo *Enterococcus faecium*, según método de susceptibilidad y gen de resistencia realizadas por mes en el Instituto Nacional de Salud, 2020

Tipo de bacteria: <i>Enterococcus faecium</i>	Método	Resultados	Suceptibilidad antimicrobiana													
			Enero	Febrero	Marzo	Abril	Mayo	Junio	Julio	Agosto	Septiembre	Octubre	Noviembre	Diciembre	Total	
Ampicilina	Disco Difusión	Intermedio	-	-	-	-	-	-	-	-	-	-	-	-	-	0
		Resistente	-	1	-	-	-	-	-	-	4	2	1	1	9	
		Sensible	-	-	-	-	-	-	-	-	-	-	-	-	0	
Ciprofloxacino	Disco Difusión	Intermedio	-	-	-	-	-	-	-	-	-	-	-	-	0	
		Resistente	-	-	-	-	-	-	-	-	4	2	1	1	8	
		Sensible	-	-	-	-	-	-	-	-	-	-	-	-	0	
Clindamicina	Disco Difusión	Intermedio	-	-	-	-	-	-	-	-	-	-	-	-	0	
		Resistente	-	1	-	-	-	-	-	-	2	1	-	-	4	
		Sensible	-	-	-	-	-	-	-	-	-	-	-	-	0	
Cloranfenicol	Disco Difusión	Intermedio	-	-	-	-	-	-	-	-	-	-	-	-	0	
		Resistente	-	-	-	-	-	-	-	-	-	-	-	-	0	
		Sensible	-	1	-	-	-	-	-	-	2	2	-	-	5	
Doxiciclina	Disco Difusión	Intermedio	-	-	-	-	-	-	-	-	-	1	-	-	1	
		Resistente	-	-	-	-	-	-	-	-	2	-	-	-	2	
		Sensible	-	-	-	-	-	-	-	-	-	1	-	-	1	
Eritromicina	Disco Difusión	Intermedio	-	-	-	-	-	-	-	-	-	-	-	-	0	
		Resistente	-	-	-	-	-	-	-	-	-	-	1	1	2	
		Sensible	-	-	-	-	-	-	-	-	-	-	-	-	0	
Estreptomicina, Alta carga	Disco Difusión	Intermedio	-	-	-	-	-	-	-	-	-	-	-	-	0	
		Resistente	-	1	-	-	-	-	-	-	2	2	-	1	6	
		Sensible	-	-	-	-	-	-	-	-	-	-	-	-	0	
Fosfomicina	Disco Difusión	Intermedio	-	-	-	-	-	-	-	-	-	-	-	-	0	
		Resistente	-	-	-	-	-	-	-	-	-	-	-	-	0	
		Sensible	-	-	-	-	-	-	-	-	-	1	-	-	1	
Gentamicina,Alta Carga	Disco Difusión	Intermedio	-	-	-	-	-	-	-	-	-	-	-	-	0	
		Resistente	-	-	-	-	-	-	-	-	-	-	-	-	0	
		Sensible	-	-	-	-	-	-	-	-	2	-	1	1	4	
Levofloxacina	Disco Difusión	Intermedio	-	-	-	-	-	-	-	-	-	-	-	-	0	
		Resistente	-	-	-	-	-	-	-	-	3	1	-	-	4	
		Sensible	-	-	-	-	-	-	-	-	-	-	-	-	0	
Linezolid	Disco Difusión	Intermedio	-	-	-	-	-	-	-	-	-	-	-	-	0	
		Resistente	-	-	-	-	-	-	-	-	-	-	-	-	0	
		Sensible	-	1	-	-	-	-	-	-	4	1	1	-	7	
Minociclina	Disco Difusión	Intermedio	-	-	-	-	-	-	-	-	-	-	-	-	0	
		Resistente	-	-	-	-	-	-	-	-	-	1	1	-	2	
		Sensible	-	-	-	-	-	-	-	-	-	-	-	-	0	

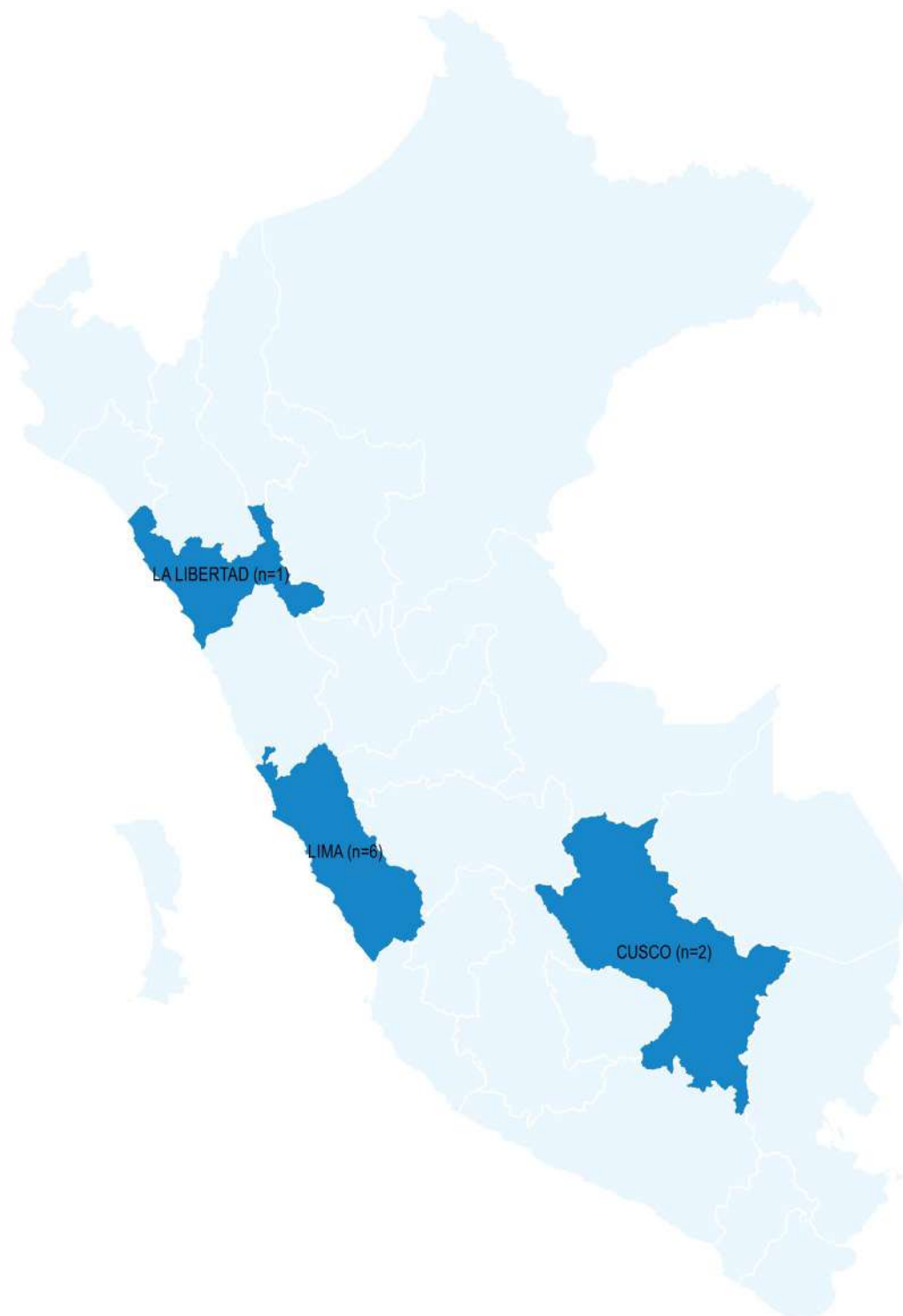
Nitrofurantoina	Disco Difusión	Intermedio	-	-	-	-	-	-	-	-	-	-	-	0
		Resistente	-	-	-	-	-	-	-	1	-	-	-	1
		Sensible	-	1	-	-	-	-	-	1	-	1	-	3
Penicilina	Disco Difusión	Intermedio	-	-	-	-	-	-	-	-	-	-	0	
		Resistente	-	1	-	-	-	-	-	4	2	1	-	8
		Sensible	-	-	-	-	-	-	-	-	-	-	-	0
Teicoplanina	Disco Difusión	Intermedio	-	1	-	-	-	-	-	-	-	-	1	2
		Resistente	-	-	-	-	-	-	-	2	2	-	-	4
		Sensible	-	-	-	-	-	-	-	-	-	1	-	1
Tetraciclina	Disco Difusión	Intermedio	-	-	-	-	-	-	-	-	-	-	0	
		Resistente	-	-	-	-	-	-	-	2	1	1	1	5
		Sensible	-	1	-	-	-	-	-	-	-	-	-	1
Vancomicina	Disco Difusión	Intermedio	-	1	-	-	-	-	-	-	-	-	1	
		Resistente	-	-	-	-	-	-	-	2	2	-	1	5
		Sensible	-	-	-	-	-	-	-	-	-	1	-	1
Genes de resistencia														
VAN A		Negativo	-	-	-	-	-	-	-	-	2	-	1	3
		Positivo	-	-	-	-	-	-	-	-	-	-	-	0

Fuente: Instituto Nacional de Salud, Centro Nacional de Salud Pública, Netlab, 2021

Elaboración: Oficina Ejecutiva de Estadística e Informática, OGIS

Fecha de descarga: julio de 2021 de la base de datos Netlab v1

Mapa 1.9 Distribución del microorganismo enterococcus faecalis, según regiones remitentes al Instituto Nacional de Salud, 2020



Fuente: Instituto Nacional de Salud, Centro Nacional de Salud Pública, Netlab, 2021
Elaboración: Oficina Ejecutiva de Estadística e Informática, OGIS

Cuadro 1.38 Resistencia del microorganismo Escherichia coli, según método de susceptibilidad y gen de resistencia realizadas por mes en el Instituto Nacional de Salud, 2020

Tipo de bacteria: Escherichia coli	Método	Resultados	Suceptibilidad antimicrobiana													
			Enero	Febrero	Marzo	Abril	Mayo	Junio	Julio	Agosto	Septiembre	Octubre	Noviembre	Diciembre	Total	
Ac nalidixico	Disco Difusión	Intermedio	1	-	-	-	-	-	-	-	-	-	-	-	-	1
		Resistente	2	2	-	-	-	1	1	-	-	-	-	-	-	6
		Sensible	-	-	-	-	-	-	-	-	-	-	-	-	-	0
Amikacina	Disco Difusión	Intermedio	-	1	-	-	-	-	-	-	-	-	-	-	1	
		Resistente	-	2	-	-	-	1	1	-	-	-	-	-	4	
		Sensible	-	-	-	-	-	-	-	-	-	-	-	-	0	
Amoxicilina/ ac clavul	Disco Difusión	Intermedio	-	-	-	-	-	-	-	-	-	-	-	-	0	
		Resistente	2	3	-	-	-	1	-	3	6	4	6	1	26	
		Sensible	-	-	-	-	-	-	1	-	-	-	-	-	1	
Ampicilina/ sulbactan	Disco Difusión	Intermedio	-	-	-	-	-	-	-	-	-	-	-	-	0	
		Resistente	1	2	-	-	-	1	-	-	-	-	-	-	4	
		Sensible	-	-	-	-	-	-	-	-	-	-	-	-	0	
Aztreonam	Disco Difusión	Intermedio	-	-	-	-	-	-	-	-	-	-	-	-	0	
		Resistente	-	-	-	-	-	1	-	2	5	4	5	-	17	
		Sensible	2	-	-	-	-	-	1	1	-	1	1	1	7	
Cefazolina	Disco Difusión	Intermedio	-	-	-	-	-	-	-	-	-	-	-	-	0	
		Resistente	-	-	-	-	-	-	-	-	1	3	-	-	4	
		Sensible	-	-	-	-	-	-	-	-	-	-	-	-	0	
Cefepime	Disco Difusión	Intermedio	-	-	-	-	-	-	-	-	-	-	-	-	0	
		Resistente	1	2	-	-	-	1	-	2	6	5	3	-	20	
		Sensible	-	1	-	-	-	-	1	1	-	-	1	-	4	
Cefixime	Disco Difusión	Intermedio	-	-	-	-	-	-	-	-	-	-	-	-	0	
		Resistente	1	-	-	-	-	-	-	-	-	-	-	-	1	
		Sensible	-	-	-	-	-	-	-	-	-	-	-	-	0	
Cefotoxima	Disco Difusión	Intermedio	-	-	-	-	-	-	-	-	-	-	-	-	0	
		Resistente	2	3	-	-	-	1	1	-	3	1	-	-	11	
		Sensible	-	-	-	-	-	-	-	-	-	-	-	-	0	
Cefoxitin	Disco Difusión	Intermedio	-	-	-	-	-	-	-	-	-	-	-	-	0	
		Resistente	2	2	-	-	-	1	-	-	-	1	-	1	7	
		Sensible	-	1	-	-	-	-	1	-	-	-	-	-	2	
Ceftazidime	Disco Difusión	Intermedio	-	-	-	-	-	-	-	-	-	-	-	-	0	
		Resistente	2	2	-	-	-	1	-	2	6	4	5	1	23	
		Sensible	-	1	-	-	-	-	1	1	-	-	1	-	4	
Cefuroxima	Disco Difusión	Intermedio	-	-	-	-	-	-	-	-	-	-	-	-	0	
		Resistente	2	3	-	-	-	1	1	-	-	-	-	-	7	
		Sensible	-	-	-	-	-	-	-	-	-	-	-	-	0	

Ciprofloxacino	Disco Difusión	Intermedio	-	-	-	-	-	-	-	-	-	-	-	-	-	0
		Resistente	2	2	-	-	-	1	1	-	-	-	-	-	1	7
		Sensible	-	1	-	-	-	-	-	-	-	-	-	-	-	1
Etest Colistina	CIM	Intermedio	-	-	-	-	-	-	-	-	-	-	-	-	0	
		Resistente	-	-	-	-	-	-	-	-	2	-	-	-	2	
		Sensible	-	-	-	-	-	-	-	-	-	-	-	-	-	0
Etest Meropenem	CIM	Intermedio	-	-	-	-	-	-	-	-	-	-	-	-	0	
		Resistente	2	-	-	-	-	-	-	-	-	-	-	-	2	
		Sensible	-	1	-	-	-	-	-	-	-	-	-	-	-	1
Fosfomicina	Disco Difusión	Intermedio	-	-	-	-	-	-	-	-	-	-	-	-	0	
		Resistente	-	-	-	-	-	-	-	-	-	1	1	-	2	
		Sensible	-	-	-	-	-	-	-	-	-	4	5	1	10	
Gentamicina	Disco Difusión	Intermedio	-	-	-	-	-	-	-	-	-	-	-	-	0	
		Resistente	-	1	-	-	1	-	-	-	-	-	-	-	2	
		Sensible	2	2	-	-	-	-	1	-	-	-	-	-	5	
Meropenem	Disco Difusión	Intermedio	-	-	-	-	-	-	-	-	-	-	-	-	0	
		Resistente	2	2	-	-	-	1	-	3	4	4	4	1	21	
		Sensible	-	1	-	-	-	-	1	-	2	1	2	-	7	
Minociclina	Disco Difusión	Intermedio	-	-	-	-	-	1	-	-	-	-	-	1		
		Resistente	1	-	-	-	-	-	-	-	-	-	-	-	1	
		Sensible	1	-	-	-	-	-	-	-	-	-	-	-	1	
Nitrofurantoina	Disco Difusión	Intermedio	-	1	-	-	-	-	-	-	-	-	-	-	1	
		Resistente	-	-	-	-	-	-	-	-	-	-	-	-	0	
		Sensible	2	2	-	-	-	-	1	-	-	-	-	-	5	
Piperacilin/tazobact	Disco Difusión	Intermedio	-	-	-	-	-	-	-	-	-	-	-	-	0	
		Resistente	2	2	-	-	-	1	-	3	-	3	-	1	12	
		Sensible	-	1	-	-	-	-	1	-	-	1	1	-	4	
Tetraciclina	Disco Difusión	Intermedio	-	-	-	-	-	-	-	-	-	-	-	-	0	
		Resistente	-	2	-	-	-	1	-	-	-	-	-	-	3	
		Sensible	2	1	-	-	-	-	1	-	-	-	-	-	4	
Ticarclina/ac clavu	Disco Difusión	Intermedio	-	-	-	-	-	-	-	-	-	-	-	-	0	
		Resistente	-	-	-	-	-	1	-	-	-	-	-	-	1	
		Sensible	-	-	-	-	-	-	-	-	-	-	-	-	0	
Trimet/sulfamet	Disco Difusión	Intermedio	-	-	-	-	-	-	-	-	-	-	-	-	0	
		Resistente	2	2	-	-	-	1	-	-	-	-	-	-	5	
		Sensible	-	1	-	-	-	-	1	-	-	-	-	-	2	
Genes de resistencia																
BLEE		CTX-M Negativo	-	-	-	-	-	-	-	-	-	-	-	-	0	
		CTX-M Positivo	-	1	-	-	-	-	-	-	5	3	4	-	13	
		TEM Negativo	-	-	-	-	-	-	-	-	-	-	-	-	0	
		TEM Positivo	-	-	-	-	-	-	-	-	-	2	-	-	2	
METALOBETALACTAMASAS (MBLs)		NDM negativo	-	-	-	-	-	-	-	-	-	-	-	-	0	
		NDM positivo	2	1	-	-	-	1	-	2	4	4	4	1	19	

KPC	Negativo	-	1	-	-	-	-	-	-	-	-	-	2	3
	Positivo	-	-	-	-	-	-	-	-	-	-	-	-	0
MCR	MCR-1 Negativo	-	-	-	-	-	-	-	-	-	-	-	-	0
	MCR-1 Positivo	-	-	-	-	-	-	-	2	-	-	-	-	2
OXA-48	Negativo	-	-	-	-	-	-	-	-	-	-	-	-	0
	Positivo	-	1	-	-	-	-	-	1	-	-	-	-	2

Fuente: Instituto Nacional de Salud, Centro Nacional de Salud Pública, Netlab, 2021

Elaboración: Oficina Ejecutiva de Estadística e Informática, OGIS

Fecha de descarga: julio de 2021 de la base de datos Netlab v1

Mapa 1.10 Distribución del microorganismo Escherichia coli, según regiones remitentes al Instituto Nacional de Salud, 2020



Fuente: Instituto Nacional de Salud, Centro Nacional de Salud Pública, Netlab, 2021
Elaboración: Oficina Ejecutiva de Estadística e Informática, OGIS

Cuadro 1.39 Resistencia del microorganismo *Klebsiella pneumoniae*, según método de susceptibilidad y gen de resistencia realizadas por mes en el Instituto Nacional de Salud, 2020

Tipo de bacteria: <i>Klebsiella pneumoniae</i>	Método	Resultados	Suceptibilidad antimicrobiana													
			Enero	Febrero	Marzo	Abril	Mayo	Junio	Julio	Agosto	Septiembre	Octubre	Noviembre	Diciembre	Total	
Ac nalidixico	Disco Difusión	Intermedio	1	3	-	-	-	-	-	-	5	-	-	-	-	9
		Resistente	19	23	-	-	-	10	1	15	-	-	-	-	-	68
		Sensible	3	2	1	-	-	-	1	-	-	-	-	-	-	7
Amikacina	Disco Difusión	Intermedio	-	2	-	-	-	-	-	1	-	-	-	-	3	
		Resistente	-	8	-	-	-	1	-	12	-	-	-	14	35	
		Sensible	2	18	1	-	4	9	2	7	-	-	4	12	59	
Amoxicilina/ac_clavul	Disco Difusión	Intermedio	-	-	1	-	-	-	-	-	-	-	4	-	5	
		Resistente	23	25	11	-	4	10	2	37	31	32	6	52	233	
		Sensible	-	2	-	-	-	-	-	-	-	-	-	-	2	
Ampicilina/sulbactam	Disco Difusión	Intermedio	-	1	-	-	-	-	-	-	-	-	-	-	1	
		Resistente	16	16	1	-	-	6	2	20	-	-	-	-	61	
		Sensible	-	3	-	-	-	-	-	-	-	-	-	-	3	
Aztreonam	Disco Difusión	Intermedio	-	-	-	-	-	-	-	-	-	-	-	-	0	
		Resistente	22	-	-	-	-	10	2	38	30	32	10	51	195	
		Sensible	-	-	-	-	-	-	-	-	-	-	-	1	1	
Cefazolina	Disco Difusión	Intermedio	-	-	-	-	-	-	-	-	-	-	-	-	0	
		Resistente	-	-	-	-	-	-	-	-	3	26	5	1	35	
		Sensible	-	-	-	-	-	-	-	-	-	-	-	-	0	
Cefepime	Disco Difusión	Intermedio	-	-	-	-	-	-	-	-	-	-	-	-	0	
		Resistente	23	25	6	-	4	10	2	37	30	31	9	26	203	
		Sensible	-	2	-	-	-	-	-	-	-	-	-	-	2	
Cefixime	Disco Difusión	Intermedio	-	-	-	-	-	-	-	-	-	-	-	-	0	
		Resistente	-	-	-	-	-	-	-	1	1	-	-	1	3	
		Sensible	-	-	-	-	-	-	-	-	-	-	-	-	0	
Cefotoxima	Disco Difusión	Intermedio	-	-	-	-	-	-	-	-	-	-	-	-	0	
		Resistente	23	24	11	-	4	10	2	20	6	16	6	-	122	
		Sensible	-	2	-	-	-	-	-	-	-	-	-	-	2	
Cefoxitin	Disco Difusión	Intermedio	-	1	-	-	-	-	-	-	-	-	-	-	1	
		Resistente	23	21	-	-	-	8	2	20	-	3	-	25	102	
		Sensible	-	5	1	-	-	1	-	-	-	-	-	-	7	
Ceftazidime	Disco Difusión	Intermedio	-	-	-	-	-	-	-	-	-	-	-	-	0	
		Resistente	23	24	12	-	4	10	2	35	29	32	10	50	231	
		Sensible	-	2	-	-	-	-	-	-	-	-	-	-	2	
Cefuroxima	Disco Difusión	Intermedio	-	-	-	-	-	-	-	-	-	-	-	-	0	
		Resistente	23	25	1	-	-	10	2	20	-	-	-	-	81	
		Sensible	-	-	-	-	-	-	-	-	-	-	-	-	0	
Ciprofloxacino	Disco Difusión	Intermedio	-	-	-	-	-	-	-	-	-	-	-	-	0	
		Resistente	22	23	12	-	10	1	20	20	-	-	5	26	139	
		Sensible	1	2	-	-	-	-	1	-	-	-	-	-	4	

ANUARIO ESTADÍSTICO 2020

Cloranfenicol	Disco Difusión	Intermedio	-	-	-	-	-	-	-	-	-	-	-	-	-	0	
		Resistente	-	2	-	-	-	-	-	-	-	-	-	-	-	-	2
		Sensible	-	1	-	-	-	-	-	-	-	-	-	-	-	-	1
Elest Colistina	Disco Difusión	Intermedio	-	-	-	-	-	-	-	-	-	-	-	-	-	0	
		Resistente	1	-	-	-	-	-	-	-	4	-	-	-	1	6	
		Sensible	-	-	-	-	-	-	-	-	-	-	-	-	-	-	0
Elest Meropenem	Disco Difusión	Intermedio	-	-	-	-	-	-	-	-	-	-	-	-	-	0	
		Resistente	21	2	-	-	-	-	-	-	-	-	-	-	1	24	
		Sensible	-	1	-	-	-	-	-	-	-	-	-	-	-	-	1
Fosfomicina	Disco Difusión	Intermedio	-	-	-	-	-	-	-	-	-	1	-	3	4		
		Resistente	-	1	-	-	-	-	-	-	-	15	3	26	45		
		Sensible	-	-	-	-	-	-	-	-	-	11	2	7	20		
Gentamicina	Disco Difusión	Intermedio	-	-	-	-	-	1	-	-	-	-	-	-	1		
		Resistente	20	23	11	-	-	9	1	3	-	-	5	-	72		
		Sensible	3	5	-	-	-	-	1	11	-	-	-	-	20		
Imipenem	Disco Difusión	Intermedio	1	1	-	-	-	-	-	-	-	-	-	-	2		
		Resistente	22	22	2	-	-	9	2	37	31	32	5	52	214		
		Sensible	-	5	1	-	-	1	-	-	-	-	5	-	12		
Levofloxacin	Disco Difusión	Intermedio	-	-	-	-	-	-	1	3	-	-	-	-	4		
		Resistente	-	-	-	-	-	-	-	7	-	-	-	-	7		
		Sensible	-	-	-	-	-	-	1	10	-	-	-	-	11		
Lomefloxacin	Disco Difusión	Intermedio	-	-	-	-	-	-	-	-	-	-	-	-	0		
		Resistente	-	-	-	-	-	-	-	-	-	-	-	1	1		
		Sensible	-	-	-	-	-	-	-	-	-	-	-	-	0		
Meropenem	Disco Difusión	Intermedio	-	-	-	-	-	-	-	-	-	-	-	-	0		
		Resistente	23	23	7	-	4	9	2	38	31	32	5	51	225		
		Sensible	-	5	1	-	1	-	-	-	-	-	5	-	12		
Minociclina	Disco Difusión	Intermedio	3	-	-	-	-	2	-	-	-	-	-	5			
		Resistente	5	-	-	-	-	-	-	-	-	-	-	5			
		Sensible	-	-	-	-	5	-	-	-	-	-	-	5			
Minociclina	Disco Difusión	Intermedio	3	-	-	-	-	2	-	-	-	-	-	5			
		Resistente	5	-	-	-	-	-	-	-	-	-	-	5			
		Sensible	-	-	-	-	5	-	-	-	-	-	-	5			
Nitrofurantoina	Disco Difusión	Intermedio	3	-	-	-	-	2	-	-	-	-	-	5			
		Resistente	5	-	-	-	-	-	-	-	-	-	-	5			
		Sensible	-	-	-	-	5	-	-	-	-	-	-	5			
Piperacilin/tazobact	Disco Difusión	Intermedio	-	-	-	-	-	-	-	-	-	-	-	0			
		Resistente	23	25	-	-	-	10	1	36	4	28	-	41	168		
		Sensible	-	3	-	-	-	-	1	1	-	-	-	-	5		
Tetraciclina	Disco Difusión	Intermedio	1	3	-	-	-	-	-	-	-	-	-	4			
		Resistente	6	19	1	-	-	6	1	18	-	1	-	52			
		Sensible	16	5	-	-	-	4	1	1	-	-	-	27			
Tetraciclina	Disco Difusión	Intermedio	-	-	-	-	-	-	-	-	-	-	-	0			
		Resistente	-	2	-	-	-	-	-	-	-	-	-	2			
		Sensible	-	-	-	-	-	-	-	-	-	-	-	0			
Ticarcilina/ac clav	Disco Difusión	Intermedio	-	-	-	-	-	-	-	-	-	-	-	0			
		Resistente	-	-	-	-	-	4	-	2	-	-	-	6			
		Sensible	-	-	-	-	-	-	-	-	-	-	-	0			
Trimet/sulfamet	Disco Difusión	Intermedio	2	-	-	-	-	1	-	-	-	-	-	3			
		Resistente	16	17	10	-	-	6	1	17	-	-	5	72			
		Sensible	4	9	-	-	-	3	1	1	-	-	-	18			

Genes de resistencia														
KPC	Negativo	-	5	-	-	-	-	-	-	-	-	-	2	7
	Positivo	1	6	4	-	-	-	1	3	4	8	-	8	35
BLEE	CTX-M Negativo	-	-	-	-	-	-	-	-	-	-	-	1	1
	CTX-M Positivo	-	1	-	-	-	-	-	-	18	31	10	48	108
	SHV positivo	1	2	-	-	-	-	-	-	4	1	-	2	10
METALOBETALACTAMASAS (MBLs)	NDM negativo	-	-	-	-	-	-	-	-	-	-	-	-	0
	NDM positivo	22	17	6	-	4	9	1	35	23	24	5	45	191
OXA-48	Negativo	-	5	-	-	-	-	-	-	-	1	-	-	6
	Positivo	-	-	-	-	-	-	-	-	3	-	-	-	3
MCR 1	Negativo	11	-	2	-	-	-	-	8	2	2	-	-	25
	Positivo	-	-	-	-	-	-	-	-	-	-	-	-	0

Fuente: Instituto Nacional de Salud, Centro Nacional de Salud Pública, Netlab, 2021

Elaboración: Oficina Ejecutiva de Estadística e Informática, OGIS

Fecha de descarga: julio de 2021 de la base de datos Netlab v1

Mapa 1.11 Distribución del microorganismo klebsiella pneumoniae, según regiones remitentes al Instituto Nacional de Salud, 2020



Fuente: Instituto Nacional de Salud, Centro Nacional de Salud Pública, Netlab, 2021
Elaboración: Oficina Ejecutiva de Estadística e Informática, OGIS

Cuadro 1.40 Resistencia del microorganismo Pseudomonas aeruginosa, según método de susceptibilidad y gen de resistencia realizadas por mes en el Instituto Nacional de Salud, 2020

Tipo de bacteria: Pseudomonas aeruginosa	Método	Resultados	Suceptibilidad antimicrobiana													
			Enero	Febrero	Marzo	Abril	Mayo	Junio	Julio	Agosto	Septiembre	Octubre	Noviembre	Diciembre	Total	
Amikacina	Disco Difusión	Intermedio	-	3	1	-	-	-	-	-	-	-	-	-	-	4
		Resistente	-	14	1	-	-	6	1	-	-	-	-	-	-	22
		Sensible	-	9	3	-	-	2	6	-	-	-	-	-	-	20
Amoxicilina/ac clavul	Disco Difusión	Intermedio	-	-	-	-	-	-	-	-	-	-	-	-	0	
		Resistente	-	-	-	-	4	-	-	-	-	-	-	-	4	
		Sensible	-	-	-	-	-	-	-	-	-	-	-	-	-	0
Ampicilina/sulbactan	Disco Difusión	Intermedio	-	-	-	-	-	-	-	-	-	-	-	-	0	
		Resistente	-	-	-	-	-	-	-	-	-	-	-	-	0	
		Sensible	-	-	-	-	-	-	-	-	-	-	1	-	1	
Aztreonam	Disco Difusión	Intermedio	4	-	-	-	-	2	-	2	3	3	1	-	15	
		Resistente	3	-	-	-	-	3	-	5	10	6	8	7	42	
		Sensible	-	-	-	-	-	3	-	2	1	-	5	1	12	
Cefalotina	Disco Difusión	Intermedio	-	-	-	-	-	-	-	-	-	-	-	-	0	
		Resistente	1	-	-	-	-	-	-	-	-	-	-	-	1	
		Sensible	-	-	-	-	-	-	-	-	-	-	-	-	0	
Cefepime	Disco Difusión	Intermedio	-	2	-	-	-	-	-	-	-	-	-	-	2	
		Resistente	7	17	3	-	4	5	-	5	12	7	2	2	64	
		Sensible	1	6	1	-	-	3	-	4	4	2	6	-	27	
Cefixime	Disco Difusión	Intermedio	-	-	-	-	-	-	-	-	-	-	-	-	0	
		Resistente	-	1	-	-	-	-	-	-	-	-	-	-	1	
		Sensible	-	-	-	-	-	-	-	-	-	-	-	-	0	
Cefotaxima	Disco Difusión	Intermedio	-	-	-	-	-	-	-	-	-	-	-	-	0	
		Resistente	-	-	-	-	1	-	-	-	-	-	-	-	1	
		Sensible	-	-	-	-	-	-	-	-	-	-	-	-	0	
Ceftazidime	Disco Difusión	Intermedio	-	-	-	-	-	1	-	-	-	1	2	-	4	
		Resistente	7	25	3	-	3	4	-	3	9	5	6	5	70	
		Sensible	1	2	1	-	-	2	-	6	7	3	8	3	33	
Ciprofloxacino	Disco Difusión	Intermedio	-	-	-	-	-	-	-	-	-	-	-	-	0	
		Resistente	7	20	3	-	3	6	-	3	-	-	-	6	48	
		Sensible	1	7	-	-	-	2	-	4	-	1	-	-	15	
Etest Ceftazidima	CIM	Intermedio	-	-	-	-	-	-	-	-	-	-	-	-	0	
		Resistente	3	6	-	-	-	-	-	-	-	-	-	-	9	
		Sensible	-	-	-	-	-	-	-	-	-	-	-	-	0	
Etest Meropenem	CIM	Intermedio	-	-	-	-	-	-	-	-	-	-	-	-	0	
		Resistente	1	-	-	-	-	-	-	-	-	-	-	-	1	
		Sensible	-	-	-	-	-	-	-	-	-	-	-	-	0	

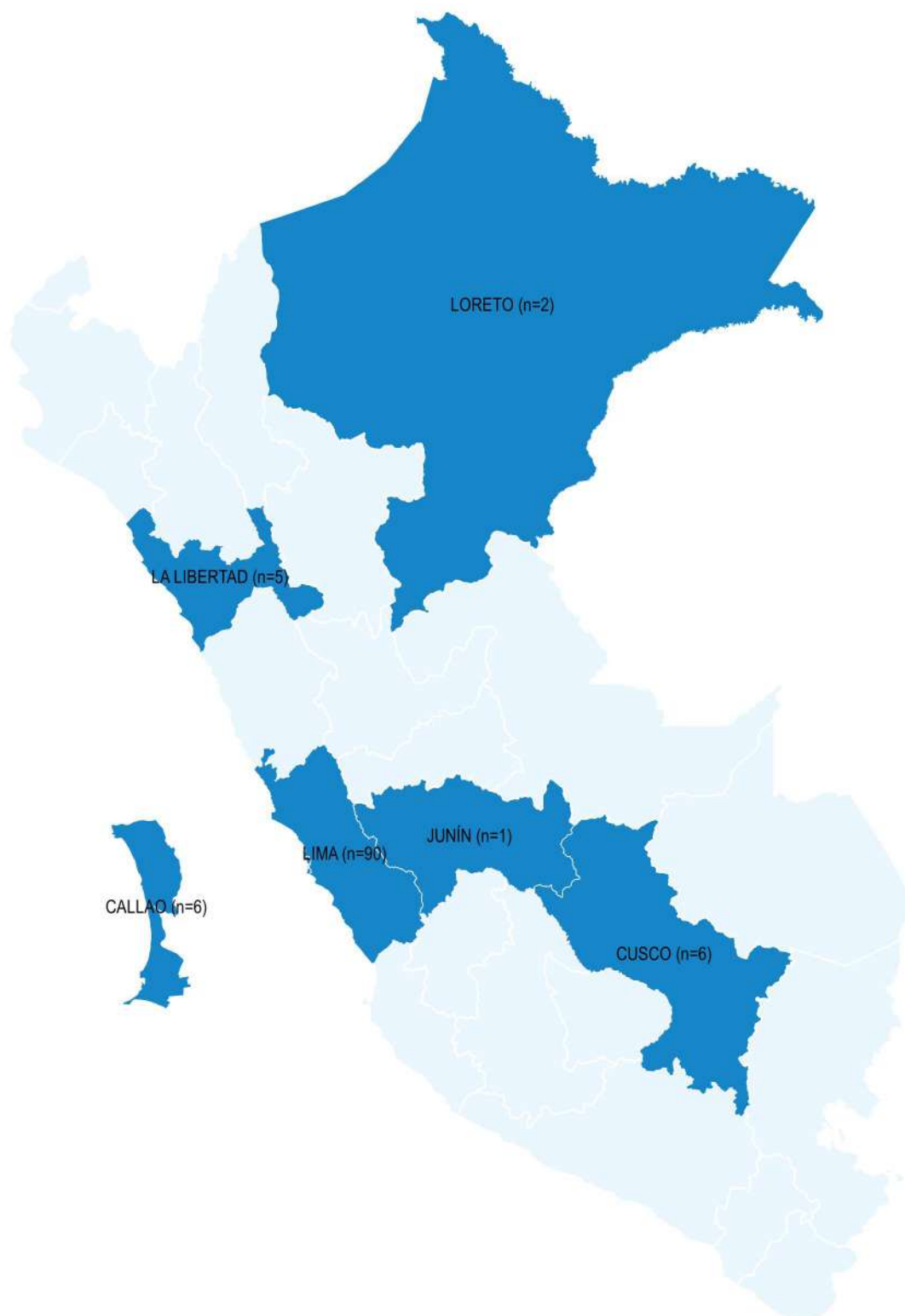
Gentamicina	Disco Difusión	Intermedio	-	2	-	-	-	-	-	-	-	-	-	-	2	
		Resistente	7	17	3	-	4	5	-	3	-	1	-	-	-	40
		Sensible	1	8	1	-	-	3	-	4	-	-	-	-	-	17
Imipenem	Disco Difusión	Intermedio	-	-	-	-	-	-	1	-	-	-	-	-	1	
		Resistente	8	26	3	-	-	6	-	5	15	9	9	7	88	
		Sensible	-	1	1	-	-	2	-	3	1	-	5	-	13	
Meropenem	Disco Difusión	Intermedio	-	-	-	-	-	-	-	-	-	-	-	-	0	
		Resistente	8	26	3	-	3	5	-	6	14	8	10	8	91	
		Sensible	-	1	2	-	-	2	-	3	2	1	5	-	16	
Piperacilin/tazobact	Disco Difusión	Intermedio	6	14	-	-	-	1	2	-	-	-	4	-	27	
		Resistente	1	5	2	-	-	2	-	1	-	7	3	3	24	
		Sensible	1	7	1	-	-	5	-	5	-	-	-	2	21	
Piperaciclina	Disco Difusión	Intermedio	-	1	-	-	-	1	-	-	-	-	-	-	2	
		Resistente	-	4	-	-	-	4	-	-	-	-	-	-	8	
		Sensible	-	2	1	-	-	3	-	-	-	-	-	-	6	
Ticarclina	Disco Difusión	Intermedio	-	-	-	-	-	-	-	-	-	-	-	-	0	
		Resistente	-	3	2	-	-	-	-	-	-	-	-	-	5	
		Sensible	-	-	-	-	-	-	-	-	-	-	-	-	0	
Ticarclina/ac clav	Disco Difusión	Intermedio	-	2	-	-	-	3	-	2	-	3	1	2	13	
		Resistente	6	12	1	-	-	4	-	5	11	5	5	4	53	
		Sensible	-	2	-	-	-	1	-	1	2	-	6	2	14	
Trimet/sulfamet	Disco Difusión	Intermedio	-	-	-	-	-	-	-	-	-	-	-	-	0	
		Resistente	-	-	-	-	-	-	-	1	-	-	-	-	1	
		Sensible	-	-	-	-	-	-	-	-	-	-	-	-	0	
Genes de resistencia																
BLEE	CTX-M Negativo	-	-	-	-	-	-	-	-	-	-	-	-	-	0	
	CTX-M Positivo	-	-	-	-	-	-	-	-	2	5	-	-	-	7	
GES	Negativo	-	-	-	-	-	-	-	-	-	-	1	-	-	1	
	Positivo	-	-	-	-	-	-	-	-	-	-	-	-	-	0	
KPC	Negativo	-	-	-	-	-	-	-	-	-	-	-	-	-	0	
	Positivo	-	-	-	-	-	-	-	-	1	-	-	-	-	1	
METALOBETALACTAMASAS (MBLs)	NDM negativo	-	-	-	-	-	-	-	-	1	-	1	-	-	2	
	NDM positivo	-	-	-	-	-	-	-	-	-	-	-	-	-	0	
	IMP negativo	-	-	-	-	-	-	-	-	-	-	-	-	-	0	
	IMP positivo	6	11	2	-	4	3	-	1	5	-	1	4	37		
	VIM negativo	-	-	-	-	-	-	-	-	-	-	-	-	-	0	
VIM positivo	-	3	-	-	-	-	-	-	3	1	1	-	-	8		
MCR 1	Negativo	-	2	-	-	-	-	-	-	-	-	-	-	-	2	
	Positivo	-	-	-	-	-	-	-	-	-	-	-	-	-	0	
PER	Negativo	-	-	-	-	-	-	-	-	-	-	1	-	-	1	
	Positivo	-	-	-	-	-	-	-	-	-	-	-	-	-	0	

Fuente: Instituto Nacional de Salud, Centro Nacional de Salud Pública, Netlab, 2021

Elaboración: Oficina Ejecutiva de Estadística e Informática, OGIS

Fecha de descarga: junio de 2021 de la base de datos Netlab v1

Mapa 1.12 Distribución del microorganismo pseudomonas aeruginosa, según regiones remitentes al Instituto Nacional de Salud, 2020



Fuente: Instituto Nacional de Salud, Centro Nacional de Salud Pública, Netlab, 2021
Elaboración: Oficina Ejecutiva de Estadística e Informática, OGIS

Cuadro 1.41 Resistencia del microorganismo Staphylococcus aureus, según método de susceptibilidad realizadas por mes en el Instituto Nacional de Salud, 2020

Tipo de bacteria: Staphylococcus aureus	Método	Resultados	Suceptibilidad antimicrobiana												Total	
			Enero	Febrero	Marzo	Abril	Mayo	Junio	Julio	Agosto	Septiembre	Octubre	Noviembre	Diciembre		
Amikacina	Disco Difusión	Intermedio	-	-	-	-	-	-	-	-	-	-	-	-	-	0
		Resistente	-	-	-	-	-	-	-	-	-	-	-	-	-	0
		Sensible	-	1	-	-	-	-	-	3	-	-	-	-	-	4
Ciprofloxacino	Disco Difusión	Intermedio	1	-	-	-	-	-	-	-	-	-	-	-	1	
		Resistente	-	1	-	-	-	-	-	3	-	-	-	-	4	
		Sensible	-	-	-	-	-	-	-	-	-	-	-	-	0	
Clindamicina	Disco Difusión	Intermedio	-	-	-	-	-	-	-	-	-	-	-	-	0	
		Resistente	1	1	-	-	-	-	-	-	-	-	-	-	2	
		Sensible	-	-	-	-	-	-	-	3	-	-	-	-	3	
Cloranfenicol	Disco Difusión	Intermedio	-	-	-	-	-	-	-	-	-	-	-	-	0	
		Resistente	-	-	-	-	-	-	-	-	-	-	-	-	0	
		Sensible	-	1	-	-	-	-	-	2	-	-	-	-	3	
Eritromicina	Disco Difusión	Intermedio	-	-	-	-	-	-	-	-	-	-	-	-	0	
		Resistente	-	-	-	-	-	-	-	3	-	-	-	-	3	
		Sensible	-	-	-	-	-	-	-	-	-	-	-	-	0	
Etest Vancomicina	Disco Difusión	Intermedio	-	-	-	-	-	-	-	-	-	-	-	-	0	
		Resistente	-	-	-	-	-	-	-	-	-	-	-	-	0	
		Sensible	1	-	-	-	-	-	-	4	-	-	-	-	5	
Gentamicina	Disco Difusión	Intermedio	-	-	-	-	-	-	-	-	-	-	-	-	0	
		Resistente	1	-	-	-	-	-	-	-	-	-	-	-	1	
		Sensible	-	1	-	-	-	-	-	-	-	-	-	-	1	
Levofloxacina	Disco Difusión	Intermedio	-	-	-	-	-	-	-	-	-	-	-	-	0	
		Resistente	-	-	-	-	-	-	-	-	-	-	-	-	0	
		Sensible	-	-	-	-	-	-	-	3	-	-	-	-	3	
Nitrofurantoina	Disco Difusión	Intermedio	-	-	-	-	-	-	-	-	-	-	-	-	0	
		Resistente	-	-	-	-	-	-	-	-	-	-	-	-	0	
		Sensible	1	-	-	-	-	-	-	3	-	-	-	-	4	
Oxacilina	Disco Difusión	Intermedio	-	-	-	-	-	-	-	-	-	-	-	-	0	
		Resistente	-	-	-	-	-	-	-	-	-	-	-	-	0	
		Sensible	-	1	-	-	-	-	-	3	-	-	-	-	4	
Tetraciclina	Disco Difusión	Intermedio	-	-	-	-	-	-	-	-	-	-	-	-	0	
		Resistente	-	-	-	-	-	-	-	-	-	-	-	-	0	
		Sensible	1	-	-	-	-	-	-	3	-	-	-	-	4	
Trimet/sulfamet	Disco Difusión	Intermedio	-	-	-	-	-	-	-	-	-	-	-	-	0	
		Resistente	1	-	-	-	-	-	-	-	-	-	-	-	1	
		Sensible	-	1	-	-	-	-	-	3	-	-	-	-	4	

Fuente: Instituto Nacional de Salud, Centro Nacional de Salud Pública, Netlab, 2021

Elaboración: Oficina Ejecutiva de Estadística e Informática, OGIS

Fecha de descarga: junio de 2021 de la base de datos Netlab v1

Mapa 1.13 Distribución del microorganismo *Staphylococcus aureus*, según regiones remitentes al Instituto Nacional de Salud, 2020



Fuente: Instituto Nacional de Salud, Centro Nacional de Salud Pública, Netlab, 2021
Elaboración: Oficina Ejecutiva de Estadística e Informática, OGIS

LABORATORIO DE LEISHMANIA

Cuadro 1.42. Muestras procesadas para el diagnóstico de leishmaniasis por tipo de examen según mes de ingreso al Instituto Nacional de Salud (INS), 2020

MES	Número de muestras únicas ingresadas				Tipo de examen												
					Examen directo - Coloración Giemsa		Cultivo		Confirmación diagnóstica de frotis		Inmunofluorescencia indirecta		Intradermo reacciones de Montenegro				
	Total	Sexo		NE 1/	%	N	P	C	N	P	N	P	I	N	P	N	P
		fem.	masc.														
Total	1,129	348	780	1	100.0	18	10	1	4	3	4	1	51	587	423	17	10
Enero	167	56	111	-	14.8	5	2	1	2	1	1	-	7	92	52	2	2
Febrero	166	63	103	-	14.7	7	3	-	-	-	-	-	8	87	53	5	3
Marzo	167	39	128	-	14.8	2	-	-	-	-	-	-	6	87	67	5	-
Abril	10	4	6	-	0.9	-	-	-	-	-	-	-	-	8	2	-	-
Mayo	63	16	47	-	5.6	-	-	-	-	-	-	-	-	-	-	-	-
Junio	44	19	25	-	3.9	-	-	-	-	1	-	-	3	38	21	-	-
Julio	54	13	41	-	4.8	-	-	-	-	-	1	-	1	27	15	-	-
Agosto	96	31	65	-	8.5	-	1	-	-	1	-	-	6	22	23	-	1
Septiembre	139	44	95	-	12.3	1	1	-	-	-	1	-	4	55	30	3	1
Octubre	107	37	70	-	9.5	2	1	-	2	-	-	-	5	65	61	2	1
Noviembre	116	26	89	1	10.3	1	2	-	-	-	1	-	7	51	44	-	2
Diciembre	0	-	-	-	0.0	-	-	-	-	1	-	-	4	55	55	-	-

C= Contaminado, P= Positivo, N= Negativo, I= Indeterminado

1/ No especifica el origen de la muestra

Fuente: Instituto Nacional de Salud, Centro Nacional de Salud Pública - Netlab, 2021

Elaboración: Oficina Ejecutiva de Estadística e Informática - OGIS

Fecha de descarga: julio de 2021 de la base de datos Netlab v1

Cuadro 1.43. Muestras procesadas para el diagnóstico de leishmaniasis por tipo de examen según DISA - DIRESA/ otras instituciones remitentes al Instituto Nacional de Salud (INS), 2020

DISA - DIRESA/ OTRAS INSTITUCIONES	Número de muestras únicas ingresadas					Tipo de examen											
						Examen directo - Coloración Giemsa			Cultivo		Confirmación diagnóstica de frotis		Inmunofluorescencia indirecta		Intradermo reacciones de Montenegro		
	Total	Sexo		NE 1/	%	N	P	C	N	P	N	P	I	N	P	N	P
		fern.	masc.														
Total	1,129	348	780	1	100.0	18	10	1	4	3	4	1	51	587	423	17	10
Amazonas	4	1	3	-	0.4	-	-	-	-	-	-	-	-	2	2	-	-
Andahuaylas - Apurímac	20	5	15	-	1.8	-	-	-	-	-	-	-	1	8	11	-	-
Apurímac	13	3	10	-	1.2	-	-	-	-	-	-	-	1	5	7	-	-
Arequipa	13	3	10	-	1.2	-	-	-	-	-	-	-	-	5	8	-	-
Bagua - Amazonas	27	7	20	-	2.4	-	-	-	-	-	-	-	-	22	5	-	-
Cajamarca	6	3	3	-	0.5	-	-	-	-	-	-	-	-	3	3	-	-
Callao	12	2	10	-	1.1	2	-	-	1	-	-	-	-	6	3	-	-
Chanka - Apurímac	3	1	2	-	0.3	-	-	-	-	-	-	-	1	2	-	-	-
Cusco	207	56	151	-	18.3	-	-	-	-	-	-	-	17	93	97	-	-
Huancavelica	19	5	14	-	1.7	-	-	-	-	-	-	-	3	6	10	-	-
Huánuco	129	44	85	-	11.4	-	-	-	-	-	-	-	3	87	39	-	-
Ica	4	1	3	-	0.4	-	-	-	-	-	-	-	-	2	2	-	-
Jaén - Cajamarca	13	2	11	-	1.2	-	-	-	-	-	-	-	-	8	5	-	-
Junín	107	37	70	-	9.5	-	-	-	-	-	-	-	3	71	33	-	-
La Libertad	3	2	1	-	0.3	-	-	-	-	-	-	-	-	1	2	-	-
Lambayeque	5	1	4	-	0.4	-	-	-	-	-	-	-	-	2	3	-	-
Lima Sur	14	4	10	-	1.2	1	2	-	-	-	-	-	-	6	1	2	2
Lima Este	23	12	11	-	2.0	2	-	-	-	-	-	-	1	13	7	-	-
Lima Provincias	26	10	15	1	2.3	-	-	-	-	-	-	-	-	22	4	-	-
Lima Ciudad	14	4	10	-	1.2	-	1	-	-	-	4	1	-	3	4	-	1
Loreto	75	18	57	-	6.6	-	-	-	-	-	-	-	3	36	36	-	-
Madre de Dios	21	7	14	-	1.9	-	-	-	-	-	-	-	1	12	8	-	-
Pasco	17	8	9	-	1.5	-	-	-	-	-	-	-	1	11	5	-	-
Piura	3	2	1	-	0.3	-	1	-	-	-	-	-	-	2	-	-	-
San Martín	80	33	47	-	7.1	-	-	-	-	-	-	-	5	45	30	-	-
Tacna	7		7	-	0.6	-	-	-	-	-	-	-	1	2	4	-	-
Ucayali	185	56	129	-	16.4	1	-	-	-	-	-	-	10	92	82	-	-
Instituto Nacional de Salud	7	3	4	-	0.6	1	2	-	-	-	-	-	-	1	1	-	2
Essalud	6	2	4	-	0.5	-	-	-	-	-	-	-	-	5	1	-	-
Consultorio particular	66	16	50	-	5.8	11	4	1	3	3	-	-	-	14	10	15	5

C= Contaminado, P= Positivo, N= Negativo, I= Indeterminado

1/ No especifica el origen de la muestra

Fuente: Instituto Nacional de Salud, Centro Nacional de Salud Pública - Netlab, 2021

Elaboración: Oficina Ejecutiva de Estadística e Informática - OGIS

Fecha de descarga: julio de 2021 de la base de datos Netlab v1

Cuadro 1.43. Muestras procesadas para el diagnóstico de leishmaniasis por tipo de examen según DISA - DIRESA/ otras instituciones remitentes al Instituto Nacional de Salud (INS), 2020

DISA - DIRESA/ OTRAS INSTITUCIONES	Número de muestras únicas ingresadas					Tipo de examen											
						Examen directo - Coloración Giemsa			Cultivo		Confirmación diagnóstica de frotis		Inmunofluorescencia indirecta		Intradermo reacciones de Montenegro		
	Total	Sexo		NE 1/	%	N	P	C	N	P	N	P	I	N	P	N	P
		fern.	masc.														
Total	1,129	348	780	1	100.0	18	10	1	4	3	4	1	51	587	423	17	10
Amazonas	4	1	3	-	0.4	-	-	-	-	-	-	-	-	2	2	-	-
Andahuaylas - Apurímac	20	5	15	-	1.8	-	-	-	-	-	-	-	1	8	11	-	-
Apurímac	13	3	10	-	1.2	-	-	-	-	-	-	-	1	5	7	-	-
Arequipa	13	3	10	-	1.2	-	-	-	-	-	-	-	-	5	8	-	-
Bagua - Amazonas	27	7	20	-	2.4	-	-	-	-	-	-	-	-	22	5	-	-
Cajamarca	6	3	3	-	0.5	-	-	-	-	-	-	-	-	3	3	-	-
Callao	12	2	10	-	1.1	2	-	-	1	-	-	-	-	6	3	-	-
Chanka - Apurímac	3	1	2	-	0.3	-	-	-	-	-	-	-	1	2	-	-	-
Cusco	207	56	151	-	18.3	-	-	-	-	-	-	-	17	93	97	-	-
Huancavelica	19	5	14	-	1.7	-	-	-	-	-	-	-	3	6	10	-	-
Huánuco	129	44	85	-	11.4	-	-	-	-	-	-	-	3	87	39	-	-
Ica	4	1	3	-	0.4	-	-	-	-	-	-	-	-	2	2	-	-
Jaén - Cajamarca	13	2	11	-	1.2	-	-	-	-	-	-	-	-	8	5	-	-
Junín	107	37	70	-	9.5	-	-	-	-	-	-	-	3	71	33	-	-
La Libertad	3	2	1	-	0.3	-	-	-	-	-	-	-	-	1	2	-	-
Lambayeque	5	1	4	-	0.4	-	-	-	-	-	-	-	-	2	3	-	-
Lima Sur	14	4	10	-	1.2	1	2	-	-	-	-	-	-	6	1	2	2
Lima Este	23	12	11	-	2.0	2	-	-	-	-	-	-	1	13	7	-	-
Lima Provincias	26	10	15	1	2.3	-	-	-	-	-	-	-	-	22	4	-	-
Lima Ciudad	14	4	10	-	1.2	-	1	-	-	-	4	1	-	3	4	-	1
Loreto	75	18	57	-	6.6	-	-	-	-	-	-	-	3	36	36	-	-
Madre de Dios	21	7	14	-	1.9	-	-	-	-	-	-	-	1	12	8	-	-
Pasco	17	8	9	-	1.5	-	-	-	-	-	-	-	1	11	5	-	-
Piura	3	2	1	-	0.3	-	1	-	-	-	-	-	-	2	-	-	-
San Martín	80	33	47	-	7.1	-	-	-	-	-	-	-	5	45	30	-	-
Tacna	7		7	-	0.6	-	-	-	-	-	-	-	1	2	4	-	-
Ucayali	185	56	129	-	16.4	1	-	-	-	-	-	-	10	92	82	-	-
Instituto Nacional de Salud	7	3	4	-	0.6	1	2	-	-	-	-	-	-	1	1	-	2
Essalud	6	2	4	-	0.5	-	-	-	-	-	-	-	-	5	1	-	-
Consultorio particular	66	16	50	-	5.8	11	4	1	3	3	-	-	-	14	10	15	5

C= Contaminado, P= Positivo, N= Negativo, I= Indeterminado

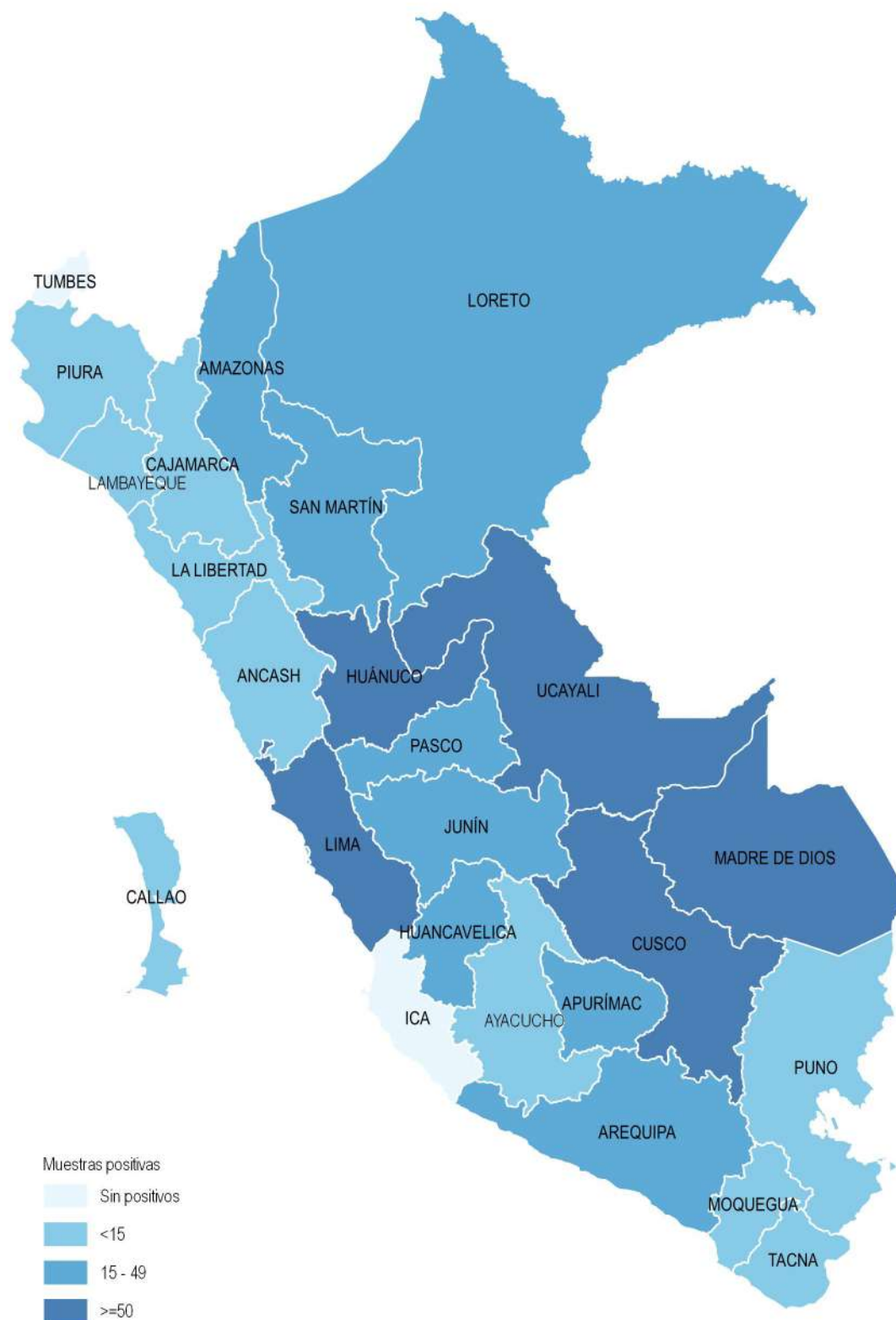
1/ No especifica el origen de la muestra

Fuente: Instituto Nacional de Salud, Centro Nacional de Salud Pública - Netlab, 2021

Elaboración: Oficina Ejecutiva de Estadística e Informática - OGIS

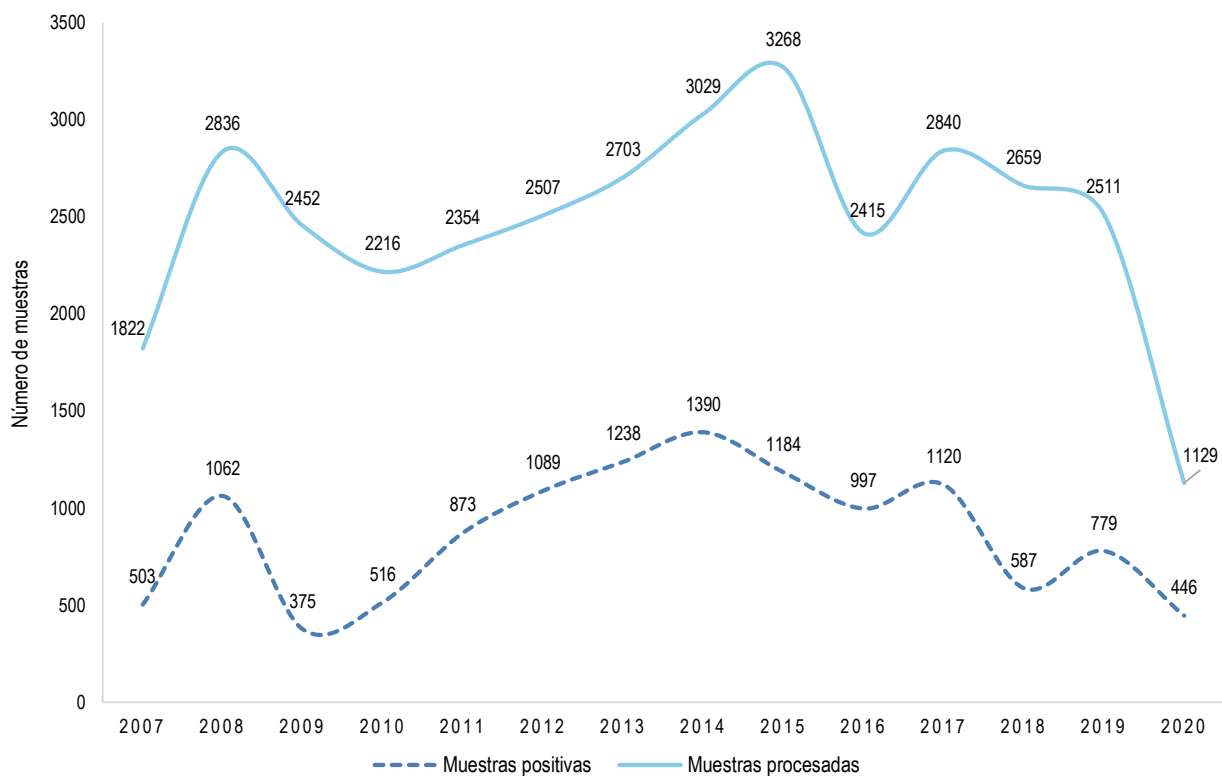
Fecha de descarga: julio de 2021 de la base de datos Netlab v1

Mapa 1.14 Distribución de muestras positivas para diagnóstico de leishmaniasis según departamentos, INS 2020



Fuente: Instituto Nacional de Salud, Centro Nacional de Salud Pública, Netlab, 2021
Elaboración: Oficina Ejecutiva de Estadística e Informática, OGIS

Gráfico 1.6. Tendencia de muestras procesadas y positivas para el diagnóstico de leishmaniasis, Instituto Nacional de Salud (INS), 2007–2020



Fuente: Instituto Nacional de Salud, Centro Nacional de Salud Pública - Netlab, 2021

Elaboración: Oficina Ejecutiva de Estadística e Informática - OGIS

LABORATORIO DE MALARIA

Cuadro 1.44. Muestras procesadas para el diagnóstico de malaria (paludismo) por tipo de examen según mes de ingreso al Instituto Nacional de Salud (INS), 2020

MES	Número de muestras únicas ingresadas				Tipo de examen					
					Prueba parasitológica de gota gruesa		Prueba confirmatoria gota gruesa		Prueba de Diagnóstico gota gruesa	
	Total	Sexo		%	PF	PV	PF	N	PF	PV
		Fem.	Masc.							
Total	278	52	226	100.0	3	4	2	241	3	6
Enero	193	25	168	69.4	-	-	1	189	2	1
Febrero	31	6	25	11.2	-	-	-	28	-	3
Marzo	11	3	8	4.0	-	-	-	10	-	1
Abril	8	4	4	2.9	-	-	1	3	-	-
Mayo	1	-	1	0.4	-	-	-	1	-	-
Junio	2	1	1	0.7	-	-	-	2	-	-
Julio	1	-	1	0.4	-	-	-	-	-	1
Agosto	1	-	1	0.4	-	-	-	-	-	-
Septiembre	2	1	1	0.7	-	-	-	-	-	-
Octubre	0	-	-	0.0	-	-	-	-	-	-
Noviembre	23	10	13	8.3	3	4	-	4	-	-
Diciembre	5	2	3	1.8	-	-	-	4	1	-

PF= Positivo a Plasmodium Falciparum, PV= Positivo a Plasmodium vivax, N= Negativo

Fuente: Instituto Nacional de Salud, Centro Nacional de Salud Pública - Netlab, 2021

Elaboración: Oficina Ejecutiva de Estadística e Informática - OGIS

Fecha de descarga: julio de 2021 de la base de datos Netlab v1

Cuadro 1.45. Muestras procesadas para el diagnóstico de malaria (paludismo) por tipo de examen según DISA-DIRESA/ otras instituciones remitentes al Instituto Nacional de Salud (INS), 2020

DISA - DIRESA/ OTRAS INSTITUCIONES	Número de muestras únicas ingresadas				Tipo de examen					
					Prueba parasitológica de gota gruesa		Prueba confirmatoria gota gruesa		Prueba de Diagnóstico gota gruesa	
	Total	Sexo		%	PF	PV	PF	N	PF	PV
		Fem.	Masc.							
Total	278	52	226	100.0	3	4	2	241	3	6
Arequipa	2	-	2	0.7	-	-	-	2	-	-
Bagua - Amazonas	1	-	1	0.4	-	-	-	1	-	-
Callao	227	29	198	81.7	-	-	-	221	1	4
Huánuco	1	-	1	0.4	-	-	1	-	-	-
Lima Sur	4	-	4	1.4	-	-	-	3	-	-
Lima Este	3	2	1	1.1	-	-	-	-	-	-
Lima Provincias	1	1	-	0.4	-	-	-	1	-	-
Lima Ciudad	9	4	5	3.2	-	-	1	3	-	1
Loreto	19	10	9	6.8	3	4	-	1	-	-
Essalud	1	1	-	0.4	-	-	-	1	-	-
Instituto Nacional de Salud	4	3	1	1.4	-	-	-	4	-	-
Consultorio particular	6	2	4	2.2	-	-	-	4	2	1

M= Positivo mixto, PF= Positivo a Plasmodium Falciparum, PV= Positivo a Plasmodium vivax, N= Negativo

Fuente: Instituto Nacional de Salud, Centro Nacional de Salud Pública - Netlab, 2021

Elaboración: Oficina Ejecutiva de Estadística e Informática - OGIS

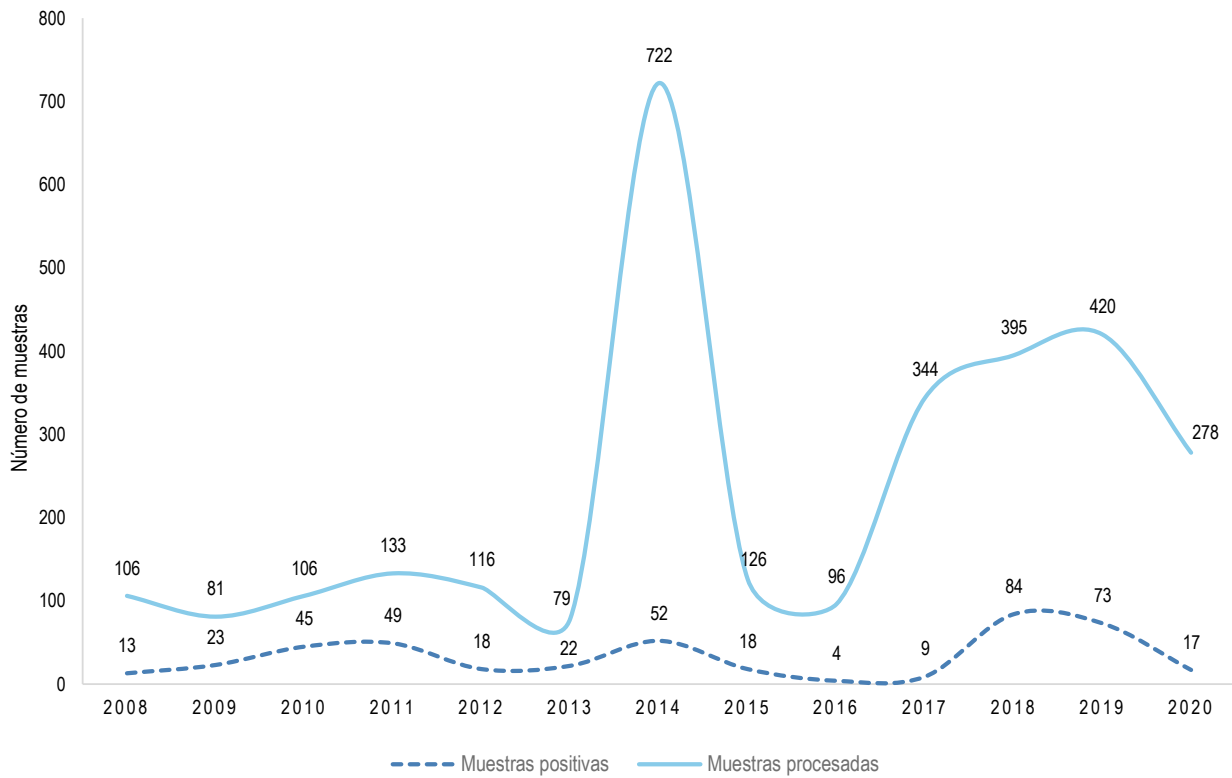
Fecha de descarga: julio de 2021 de la base de datos Netlab v1

Mapa 1.15 Distribución de muestras positivas para diagnóstico de malaria (paludismo) según departamentos, INS, 2020



Fuente: Instituto Nacional de Salud, Centro Nacional de Salud Pública, Netlab, 2021
Elaboración: Oficina Ejecutiva de Estadística e Informática, OGIS

Gráfico 1.7. Tendencia de muestras procesadas y positivas para el diagnóstico de malaria (paludismo), Instituto Nacional de Salud (INS), 2008-2020



Fuente: Instituto Nacional de Salud, Centro Nacional de Salud Pública - Netlab, 2021

Elaboración: Oficina Ejecutiva de Estadística e Informática - OGIS

LABORATORIO DE METAXÉNICAS BACTERIANAS

Cuadro 1.46. Muestras procesadas para el diagnóstico de enfermedad de arañazo de gato por tipo de examen según mes de ingreso al Instituto Nacional de Salud (INS), 2020

MES	Número de muestras únicas ingresadas				Tipo de examen									
					Inmunofluorescencia indirecta IgM					Inmunofluorescencia indirecta IgG				
	Total	Sexo		%	N	P <1:20	P >1:20	P 1:20	N	P >1:256	P 1:128	P 1:256	P 1:64	
		fem.	masc.											
Total	433	210	223	100.0	148	24	194	65	92	87	66	102	84	
Enero	66	25	41	15.2	24	1	29	11	15	19	11	12	9	
Febrero	102	51	51	23.6	33	2	53	14	17	26	11	24	24	
Marzo	57	30	27	13.2	20	2	28	7	14	14	6	17	6	
Abril	0	-	-	0.0	-	-	-	-	-	-	-	-	-	
Mayo	0	-	-	0.0	-	-	-	-	-	-	-	-	-	
Junio	30	12	18	6.9	14	6	9	1	6	3	6	11	4	
Julio	8	6	2	1.8	3	-	1	3	1	1	2	-	4	
Agosto	12	7	5	2.8	6	2	2	2	3	2	-	-	7	
Septiembre	18	10	8	4.2	3	2	9	4	2	2	6	7	1	
Octubre	36	19	17	8.3	10	4	14	8	6	8	5	9	8	
Noviembre	50	25	25	11.5	16	5	25	4	12	5	11	12	10	
Diciembre	54	25	29	12.5	19	-	24	11	16	7	8	10	11	

N= Negativo, P <1:20= Positivo <1:20, P >1:256= Positivo >1:256, P 1:64= Positivo 1:64, P 1:128= Positivo <1:128, P 1:256= Positivo <1:256

Fuente: Instituto Nacional de Salud, Centro Nacional de Salud Pública - Netlab, 2021

Elaboración: Oficina Ejecutiva de Estadística e Informática - OGIS

Fecha de descarga: julio de 2021 de la base de datos Netlab v1

Cuadro 1.47. Muestras procesadas para el diagnóstico de enfermedad de arañazo de gato por tipo de examen según DISA - DIRESA/ otras instituciones remitentes al Instituto Nacional de Salud (INS), 2020

DISA - DIRESA/ OTRAS INSTITUCIONES	Número de muestras únicas ingresadas				Tipo de examen								
					Inmunofluorescencia indirecta IgM			Inmunofluorescencia indirecta IgG					
	Total	Sexo		%	N	P <1:20	P >1:20	P 1:20	N	P >1:256	P 1:128	P 1:256	P 1:64
		fem.	masc.										
Total	433	210	223	100.0	148	24	194	65	92	87	66	102	84
Amazonas	1	1	-	0.2	-	-	1	-	-	-	-	1	-
Arequipa	1	1	-	0.2	1	-	-	-	1	-	-	-	-
Ayacucho	1	-	1	0.2	-	-	-	1	-	-	1	-	-
Callao I	70	28	42	16.2	22	7	33	8	12	14	13	17	14
Huánuco	1	1	-	0.2	1	-	-	-	-	-	-	1	-
Ica	1	-	1	0.2	-	-	1	-	-	1	-	-	-
La Libertad	43	25	18	9.9	16	-	21	6	10	9	4	12	8
Lambayeque	9	4	5	2.1	1	-	5	3	4	2	1	2	-
Lima Sur	58	28	30	13.4	16	3	27	12	10	17	7	13	11
Lima Este	42	21	21	9.7	11	4	23	4	8	11	8	8	7
Lima Provincias	30	16	14	6.9	9	5	14	2	6	5	4	7	8
Lima Ciudad	74	34	40	17.1	31	1	27	15	20	7	13	15	19
Loreto	1	-	1	0.2	1	-	-	-	-	-	-	-	1
Luciano Castillo - Piura	1	1	-	0.2	-	-	1	-	-	1	-	-	-
Piura	4	2	2	0.9	2	1	1	-	-	1	-	-	3
San Martín	5	1	4	1.2	4	-	-	1	4	-	-	1	-
Instituto Nacional de Salud	5	2	3	1.2	4	-	1	-	2	-	-	1	2
Essalud	26	12	14	6.0	9	1	12	3	5	5	5	8	3
Consultorio Particular	60	33	27	13.9	20	2	27	10	10	14	10	16	8

N= Negativo, P <1:20= Positivo <1:20, P >1:256= Positivo >1:256, P 1:64= Positivo 1:64, P 1:128= Positivo <1:128, P 1:256= Positivo <1:256

Fuente: Instituto Nacional de Salud, Centro Nacional de Salud Pública - Netlab, 2021

Elaboración: Oficina Ejecutiva de Estadística e Informática - OGIS

Fecha de descarga: julio de 2021 de la base de datos Netlab v1

Cuadro 1.48. Muestras procesadas para el diagnóstico de enfermedad de Carrión (bartonelosis) por tipo de examen según mes de ingreso al Instituto Nacional de Salud (INS), 2020

MES	Número de muestras únicas ingresadas				Tipo de examen											
					Coloración Giemsa		Cultivo para Bartonelosis		Elisa IgG			Elisa IgM			PCR enfermedad de Carrión	
	Total	Sexo		%	N	P	N	P	I	NR	R	I	NR	R	N	P
		fem.	masc.													
Total	245	109	136	100.0	100	2	93	3	6	97	39	11	76	55	8	1
Enero	122	56	66	49.8	55	1	51	2	2	48	16	8	27	31	-	1
Febrero	43	22	21	17.6	17	-	15	-	-	15	11	-	14	12	1	-
Marzo	15	9	6	6.1	5	-	4	-	1	9	-	-	4	6	-	-
Abril	2	-	2	0.8	-	-	-	-	1	1	-	-	2	-	-	-
Mayo	0	-	-	0.0	-	-	-	-	-	-	-	-	-	-	-	-
Junio	6	2	4	2.4	4	-	4	-	-	2	-	-	2	-	4	-
Julio	6	3	3	2.4	1	-	1	-	1	1	3	-	3	2	-	-
Agosto	0	-	-	0.0	-	-	-	-	-	-	-	-	-	-	-	-
Septiembre	7	1	6	2.9	3	-	3	-	1	1	2	1	1	2	-	-
Octubre	17	10	7	6.9	7	-	7	-	-	5	4	2	6	1	1	-
Noviembre	10	1	9	4.1	3	-	3	-	-	5	2	-	7	-	2	-
Diciembre	17	5	12	6.9	5	1	5	1	-	10	1	-	10	1	-	-

P= Positivo, N= Negativo, NR= No reactivo, R= Reactivo

1/ No especifica el origen de la muestra

Fuente: Instituto Nacional de Salud, Centro Nacional de Salud Pública - Netlab, 2021

Elaboración: Oficina Ejecutiva de Estadística e Informática - OGIS

Fecha de descarga: julio de 2021 de la base de datos Netlab v1

Cuadro 1.49. Muestras procesadas para el diagnóstico de enfermedad de Carrión (bartonelosis) por tipo de examen según DISA - DIRESA/ otras instituciones remitentes al Instituto Nacional de Salud (INS), 2020

DISA - DIRESA/OTRAS INSTITUCIONES	Número de muestras únicas ingresadas				Tipo de examen											
					Coloración Giemsa		Cultivo para Bartonelosis		Elisa IgG			Elisa IgM		PCR enfermedad de carrión		
	Total	Sexo		%	N	P	N	P	I	NR	R	I	NR	R	N	P
		fem.	masc.													
Total	245	109	136	100.0	100	2	93	3	6	97	39	11	76	55	8	1
Ancash	2	1	1	0.8	1	-	1	-	-	1	-	-	1	-	-	-
Apurímac	4	2	2	1.6	2	-	2	-	-	-	2	-	1	1	-	-
Bagua - Amazonas	1	1	-	0.4	1	-	1	-	-	-	-	-	-	-	-	-
Cajamarca	38	20	18	15.5	11	2	11	2	1	16	8	2	14	9	-	-
Cusco	81	40	41	33.1	39	-	39	-	1	35	6	6	15	21	-	-
Cutervo - Cajamarca	5	1	4	2.0	2	-	2	-	-	1	2	-	2	1	2	-
Huancavelica	1	-	1	0.4	-	-	-	-	-	1	-	-	1	-	-	-
Jaén - Cajamarca	29	9	20	11.8	14	-	14	-	1	11	3	-	9	6	3	-
La Libertad	16	8	8	6.5	8	-	7	1	-	2	6	-	3	5	1	-
Lambayeque	2	-	2	0.8	1	-	1	-	-	1	-	-	-	1	-	-
Lima Sur	4	2	2	1.6	-	-	-	-	-	3	1	-	2	2	-	-
Lima Este	17	7	10	6.9	5	-	4	-	-	9	2	1	7	3	-	-
Lima Provincias	6	2	4	2.4	-	-	-	-	1	-	5	-	3	3	-	-
Lima Ciudad	3	3	-	1.2	1	-	1	-	-	2	-	-	1	1	1	-
Loreto	1	-	1	0.4	-	-	-	-	-	1	-	-	1	-	-	-
Moquegua	2	1	1	0.8	-	-	-	-	-	1	1	1	1	-	-	-
Piura	1	-	1	0.4	-	-	-	-	-	1	-	-	1	-	-	-
San Martín	13	-	13	5.3	9	-	5	-	-	4	-	-	4	-	-	-
Instituto Nacional de Salud	6	4	2	2.4	3	-	3	-	1	5	2	1	1	1	1	1
Essalud	7	3	4	2.9	-	-	-	-	1	-	1	-	7	-	-	-
Consultorio particular	6	5	1	2.4	3	-	2	-	-	3	-	-	2	1	-	-

P= Positivo, N= Negativo, NR= No reactivo, R= Reactivo

1/ No especifica el origen de la muestra

Fuente: Instituto Nacional de Salud, Centro Nacional de Salud Pública - Netlab, 2021

Elaboración: Oficina Ejecutiva de Estadística e Informática - OGIS

Fecha de descarga: julio de 2021 de la base de datos Netlab v1

Mapa 1.16 Distribución de muestras positivas para diagnóstico de enfermedad de Carrión según departamentos, INS, 2020



Fuente: Instituto Nacional de Salud, Centro Nacional de Salud Pública, Netlab, 2021
Elaboración: Oficina Ejecutiva de Estadística e Informática, OGIS

Cuadro 1.50. Muestras procesadas para el diagnóstico de rickettsias en humanos por tipo de examen según mes de ingreso al Instituto Nacional de Salud (INS), 2020

MES	Número de muestras únicas ingresadas				Tipo de examen															
					Cultivo y tipificación			Inmunofluorescencia indirecta de anticuerpos IgG						Inmunofluorescencia indirecta de anticuerpos IgM						PCR Rickettsias
	Total	Sexo		%	N	P	N	P 1/64	P 1/128	P 1/256	P>1/256	N	P<1/20	P 1/20	P>1/20	P 1/64	P 1/128	P 1/256	P>1/256	N
		Fem.	Masc.																	
Total	858	332	526	100.0	151	3	485	98	29	21	10	287	1	1	124	123	79	18	10	1
Enero	366	99	267	42.7	95	1	201	43	14	7	4	145	-	-	124	-	-	-	1	-
Febrero	216	96	120	25.2	45	-	102	25	2	8	1	44	-	-	-	50	36	5	3	1
Marzo	111	62	49	12.9	1	-	74	8	1	3	-	39	1	1	-	24	13	6	1	-
Abril	4	1	3	0.5	-	-	3	1	-	-	-	2	-	-	-	-	2	-	-	-
Mayo	0	-	-	0.0	-	-	-	-	-	-	-	-	-	-	-	-	-	-	-	-
Junio	5	3	2	0.6	-	-	4	1	-	-	-	2	-	-	-	1	1	1	-	-
Julio	9	4	5	1.0	1	-	6	-	1	-	1	3	-	-	-	3	2	-	-	-
Agosto	4	1	3	0.5	-	-	3	1	-	-	-	1	-	-	-	1	2	-	-	-
Septiembre	49	26	23	5.7	-	-	33	7	4	2	1	17	-	-	-	16	8	3	3	-
Octubre	18	8	10	2.1	3	-	9	4	1	-	-	7	-	-	-	3	2	1	1	-
Noviembre	40	24	16	4.7	2	-	26	4	4	1	3	13	-	-	-	14	9	2	-	-
Diciembre	36	8	28	4.2	4	2	24	4	2	-	-	14	-	-	-	11	4	-	1	-

P= Positivo, P 1/20= Positivo 1/20, P 1/64= Positivo 1/64, P 1/128= Positivo 1/128, P 1/256= Positivo 1/256, N= Negativo

Fuente: Instituto Nacional de Salud, Centro Nacional de Salud Pública - Netlab, 2021

Elaboración: Oficina Ejecutiva de Estadística e Informática - OGIS

Fecha de descarga: julio de 2021 de la base de datos Netlab v1

Cuadro 1.51. Muestras procesadas para el diagnóstico de rickettsias en humanos por tipo de examen según DISA - DIRESA/ otras instituciones remitentes al Instituto Nacional de Salud (INS), 2020

DISA - DIRESA/ OTRAS INSTITUCIONES	Número de muestras únicas ingresadas				Tipo de examen															
					Cultivo y tipificación				Inmunofluorescencia indirecta de anticuerpos IgG						Inmunofluorescencia indirecta de anticuerpos IgM					
	Total	Sexo		%	N	P	N	P 1/64	P 1/128	P 1/256	P>1/256	N	P<1/20	P 1/20	P>1/20	P 1/64	P 1/128	P 1/256	P>1/256	N
		Fem.	Masc.																	
Total	858	332	526	100.0	59	2	251	51	16	11	4	163	1	1	110	26	22	7	2	0
Áncash	1	-	1	0.1	-	-	1	-	-	-	-	1	-	-	-	-	-	-	-	-
Apurímac	4	2	2	0.5	2	-	1	1	-	-	-	-	-	-	1	-	1	-	-	-
Cajamarca	38	20	18	4.4	10	-	22	3	-	-	-	11	-	-	2	5	5	2	-	-
Callao	218	29	189	25.4	4	-	176	27	8	3	-	129	1	-	66	8	9	-	1	-
Cusco	74	33	41	8.6	36	-	14	14	4	4	2	5	-	-	33	-	-	-	-	-
Cutervo - Cajamarca	3	-	3	0.3	1	-	1	-	-	1	-	-	-	-	-	2	-	-	-	-
Jaén - Cajamarca	15	2	13	1.7	3	2	7	3	-	-	-	4	-	-	2	2	2	-	-	-
La Libertad	9	6	3	1.0	-	-	7	-	-	2	-	-	-	-	1	3	2	2	1	-
Lambayeque	2	1	1	0.2	-	-	1	1	-	-	-	-	-	-	1	-	1	-	-	-
Lima Sur	7	2	5	0.8	-	-	5	1	1	-	-	3	-	-	3	-	-	1	-	-
Lima Este	19	7	12	2.2	3	-	12	1	1	1	1	7	-	1	2	3	2	-	-	-
Lima Provincias	7	2	5	0.8	-	-	4	-	2	-	1	3	-	-	-	2	1	1	-	-
Lima Ciudad	62	17	45	7.2	1	-	48	8	3	1	1	24	-	-	4	20	10	-	3	1
Loreto	22	11	11	2.6	-	-	15	3	2	-	2	9	-	-	1	6	4	1	1	-
Luciano Castillo - Piura	11	3	8	1.3	7	-	2	1	-	1	-	1	-	-	2	-	1	-	-	-
Moquegua	2	1	1	0.2	-	-	2	-	-	-	-	1	-	-	-	1	-	-	-	-
Piura	304	162	142	35.4	81	1	126	25	5	8	1	66	-	-	4	55	31	6	3	-
San Martín	11	4	7	1.3	-	-	8	1	1	-	1	5	-	-	-	4	-	1	1	-
Tacna	20	18	2	2.3	-	-	14	3	2	-	1	6	-	-	-	7	5	2	-	-
Instituto Nacional de Salud	8	5	3	0.9	2	-	5	1	-	-	-	4	-	-	1	-	1	-	-	-
Essalud	16	5	11	1.9	-	-	12	4	-	-	-	6	-	-	1	3	5	1	-	-
Consultorio particular	5	2	3	0.6	1	-	2	1	-	-	-	2	-	-	1	1	-	-	-	-

P= Positivo, P 1/64 = Positivo 1/64, P 1/128 = Positivo 1/128, P 1/256 = Positivo 1/256, N= Negativo

Fuente: Instituto Nacional de Salud, Centro Nacional de Salud Pública - Netlab, 2021

Elaboración: Oficina Ejecutiva de Estadística e Informática - OGIS

Fecha de descarga: julio de 2021 de la base de datos Netlab v1

LABORATORIO DE METAXÉNICAS VIRALES

Cuadro 1.52. Muestras procesadas para el diagnóstico de dengue por tipo de examen según mes de ingreso al Instituto Nacional de Salud (INS), 2020

MES	Número de muestras únicas ingresadas				Tipo de examen																			
					Aislamiento y tipificación viral dengue				Diagnóstico molecular				ELISA NS1 dengue				ELISA CAPTURA IgG dengue				ELISA IgM dengue			
	Total	Sexo		NE 1/	%	N	P1	P2	i	N	I	N	P	I	N	P	I	N	P	I	N	P1	P2	P4
		fem.	masc.																					
Total	24,391	12,513	11,861	17	100.0	197	146	162	1	6	1	121	350	51	1,869	988	68	1,641	1,379	3	4,246	1,994	2,144	3
Enero	2,456	1179	1,276	1	10.1	146.0	145	84	-	-	-	1	1	5	498	147	18	488	215	-	432	98	293	2
Febrero	2,680	1345	1,332	3	11.0	51.0	1	78	1	6	-	2	3	7	189	144	6	209	168	-	1,155	317	670	-
Marzo	2,006	1023	980	3	8.2	-	-	-	-	-	-	43	55	3	220	105	6	185	141	3	327	149	55	1
Abril	1,151	585	566	-	4.7	-	-	-	-	-	1	15	79	4	153	80	7	124	124	-	20	51	25	-
Mayo	1,098	541	557	-	4.5	-	-	-	-	-	-	31	142	2	129	63	5	83	106	-	32	40	9	-
Junio	686	326	359	1	2.8	-	-	-	-	-	-	16	35	-	62	25	1	50	54	-	51	9	12	-
Julio	563	307	256	-	2.3	-	-	-	-	-	-	4	3	53	37	3	43	47	-	94	79	23	-	
Agosto	1,305	660	645	-	5.4	-	-	-	-	-	-	-	1	46	24	-	43	28	-	173	106	177	-	
Septiembre	1,533	729	803	1	6.3	-	-	-	-	-	-	13	23	4	65	40	-	65	46	-	209	102	91	-
Octubre	3,632	1969	1,662	1	14.9	-	-	-	-	-	-	7	5	91	95	3	89	123	-	755	406	377	-	
Noviembre	3,263	1749	1,511	3	13.4	-	-	-	-	-	-	-	7	133	99	5	99	134	-	762	473	328	-	
Diciembre	4,018	2100	1,914	4	16.5	-	-	-	-	-	-	1	10	230	129	14	163	193	-	236	164	84	-	

I= Indeterminado, N= Negativo, P= Positivo, P1= Positivo dengue 1, P2= Positivo dengue 2, P3= Positivo dengue 3, P4= Positivo dengue 4

1/ No especifica el origen de la muestra

Fuente: Instituto Nacional de Salud, Centro Nacional de Salud Pública - Netlab, 2021

Elaboración: Oficina Ejecutiva de Estadística e Informática - OGIS

Fecha de descarga: julio de 2021 de la base de datos Netlab v1

Cuadro 1.53. Muestras procesadas para el diagnóstico de dengue por tipo de examen según DISA - DIRESA / otras instituciones remitentes al Instituto Nacional de Salud (INS), 2020

DISA - DIRESA/ OTRAS INSTITUCIONES	Número de muestras únicas ingresadas					Tipo de examen																				
						Aislamiento y tipificación viral dengue						Diagnóstico molecular			ELISA NS1 dengue			ELISA CAPTURA IgG dengue				ELISA IgM dengue				RT-PCR
	Total	Sexo		NE 1/	%	N	P1	P2	I	N	I	N	P	I	N	P	I	N	P	I	N	P1	P2	P4		
		fem.	masc.																							
Total	24,391	12,513	11,861	17	100.0	197	146	162	1	6	1	121	350	51	1,869	988	68	1,641	1,379	3	4,246	1,994	2,144	3		
Amazonas	6	4	2	-	0.0	-	-	-	-	-	-	-	-	-	-	-	-	-	-	-	-	-	2	-	4	-
Ancash	29	11	18	-	0.1	-	-	-	-	-	-	12	-	-	11	1	1	12	-	-	1	-	2	-	-	-
Apurímac	9	4	5	-	0.0	-	-	-	-	-	-	-	-	-	6	1	-	6	1	-	2	-	-	-	-	-
Arequipa	27	11	16	-	0.1	-	-	-	-	-	3	4	-	11	8	-	9	10	-	1	1	5	-	-	-	-
Ayacucho	1,315	686	629	-	5.4	-	-	-	-	-	1	1	4	144	72	14	78	128	-	56	197	140	-	-	-	-
Bagua - Amazonas	22	11	11	-	0.1	-	-	-	-	-	-	-	1	1	4	-	6	1	-	3	-	12	-	-	-	-
Cajamarca	35	19	16	-	0.1	-	-	-	-	-	-	-	-	-	22	6	1	22	5	-	5	-	-	-	-	-
Callao	338	93	245	-	1.4	-	1	-	-	-	-	-	-	1	239	22	-	237	23	-	66	7	3	-	-	-
Cusco	2,102	1,140	962	-	8.6	-	-	-	-	-	-	-	-	2	88	47	1	64	78	-	432	38	338	1	-	-
Cutervo - Cajamarca	2	2	-	-	0.0	-	-	-	-	-	-	-	-	1	1	-	1	1	-	-	-	-	-	-	-	-
Huancavelica	6	3	3	-	0.0	-	-	-	-	-	-	-	-	-	2	-	-	2	-	-	3	1	-	-	-	-
Huánuco	1,225	626	595	4	5.0	-	-	-	-	-	-	-	2	46	27	2	40	33	-	301	213	119	-	-	-	-
Ica	539	286	251	2	2.2	-	-	-	-	-	58	153	3	142	30	3	90	106	3	90	83	2	-	-	-	-
Jaén - Cajamarca	617	319	298	-	2.5	-	-	-	-	-	-	-	-	-	18	15	2	21	12	-	229	10	-	-	-	-
Junín	4,832	2,416	2,415	1	19.8	-	-	-	-	-	-	1	8	323	274	9	297	321	-	475	8	673	-	-	-	-
La Libertad	156	71	85	-	0.6	-	-	-	-	-	-	1	3	44	16	3	40	24	-	41	26	8	-	-	-	-
Lambayeque	266	128	138	-	1.1	-	-	-	-	-	-	-	-	-	24	6	-	21	8	-	47	4	50	-	-	-
Lima Sur	50	23	27	-	0.2	-	-	-	-	-	-	1	-	22	4	-	19	8	-	15	2	5	-	-	-	-
Lima Este	78	34	44	-	0.3	-	-	-	-	-	-	-	1	24	21	1	16	32	-	18	8	5	-	-	-	-
Lima Provincias	21	15	6	-	0.1	-	-	-	-	-	-	1	-	10	2	1	6	5	-	9	1	-	-	-	-	-
Lima Ciudad	693	313	380	-	2.8	-	1	-	-	1	27	151	3	227	94	8	159	161	-	179	64	19	1	-	-	-
Loreto	4,756	2,519	2,228	9	19.5	143	143	38	-	-	13	30	16	154	146	9	158	163	-	1,509	1,225	100	-	-	-	-
Luciano Castillo - Piura	15	4	11	-	0.1	-	-	-	-	-	-	-	-	-	5	-	-	5	-	-	9	1	-	-	-	-
Madre de Dios	833	453	380	-	3.4	3	-	46	1	5	-	1	1	1	28	18	3	28	16	-	24	2	28	-	-	-
Moquegua	3	2	1	-	0.0	-	-	-	-	-	-	-	-	-	1	-	-	2	-	-	-	-	-	-	-	-
Pasco	48	22	26	-	0.2	-	-	-	-	-	-	-	-	-	5	13	-	5	13	-	7	-	19	-	-	-
Piura	9	2	7	-	0.0	-	-	-	-	-	-	-	-	-	5	-	-	5	-	-	4	-	-	-	-	-
Puno	147	71	76	-	0.6	-	-	-	-	-	3	3	-	30	17	-	26	21	-	28	-	68	-	-	-	-
San Martín	600	313	286	1	2.5	51	1	78	-	1	-	-	-	1	27	37	8	60	82	-	267	3	177	-	-	-
Tacna	9	6	3	-	0.0	-	-	-	-	-	-	-	-	1	3	3	-	2	5	-	1	1	1	-	-	-
Tumbes	1	1	-	-	0.0	-	-	-	-	-	-	-	-	-	-	-	-	-	-	-	1	-	-	-	-	-
Ucayali	5,433	2,841	2,592	-	22.3	-	-	-	-	-	-	-	-	3	142	61	2	140	68	-	389	100	344	-	-	-
Instituto Nacional de Salud	15	6	9	-	0.1	-	-	-	-	-	-	-	-	-	5	1	-	7	1	-	3	3	1	-	-	-
Essalud	87	39	48	-	0.4	-	-	-	-	-	-	1	-	38	23	-	36	27	-	19	3	5	-	-	-	-
Militar	31	5	26	-	0.1	-	-	-	-	-	-	-	-	1	9	13	-	7	16	-	5	1	3	-	-	-
Consultorio particular	36	14	22	-	0.1	-	-	-	-	-	3	2	-	12	5	-	14	10	-	5	2	3	1	-	-	-

I= Indeterminado, N= Negativo, P= Positivo, P1= Positivo dengue 1, P2= Positivo dengue 2, P3= Positivo dengue 3, P4 = Positivo dengue 4

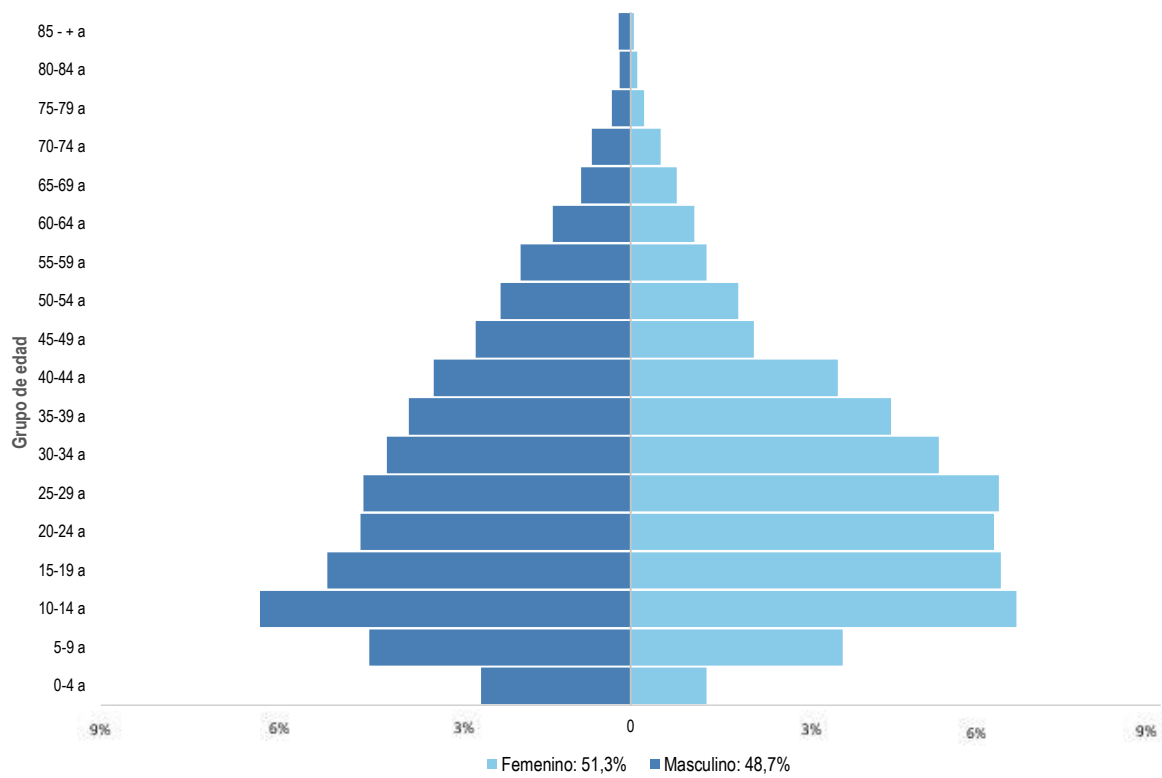
1/ No especifica el origen de la muestra

Fuente: Instituto Nacional de Salud, Centro Nacional de Salud Pública - Netlab, 2021

Elaboración: Oficina Ejecutiva de Estadística e Informática - OGIS

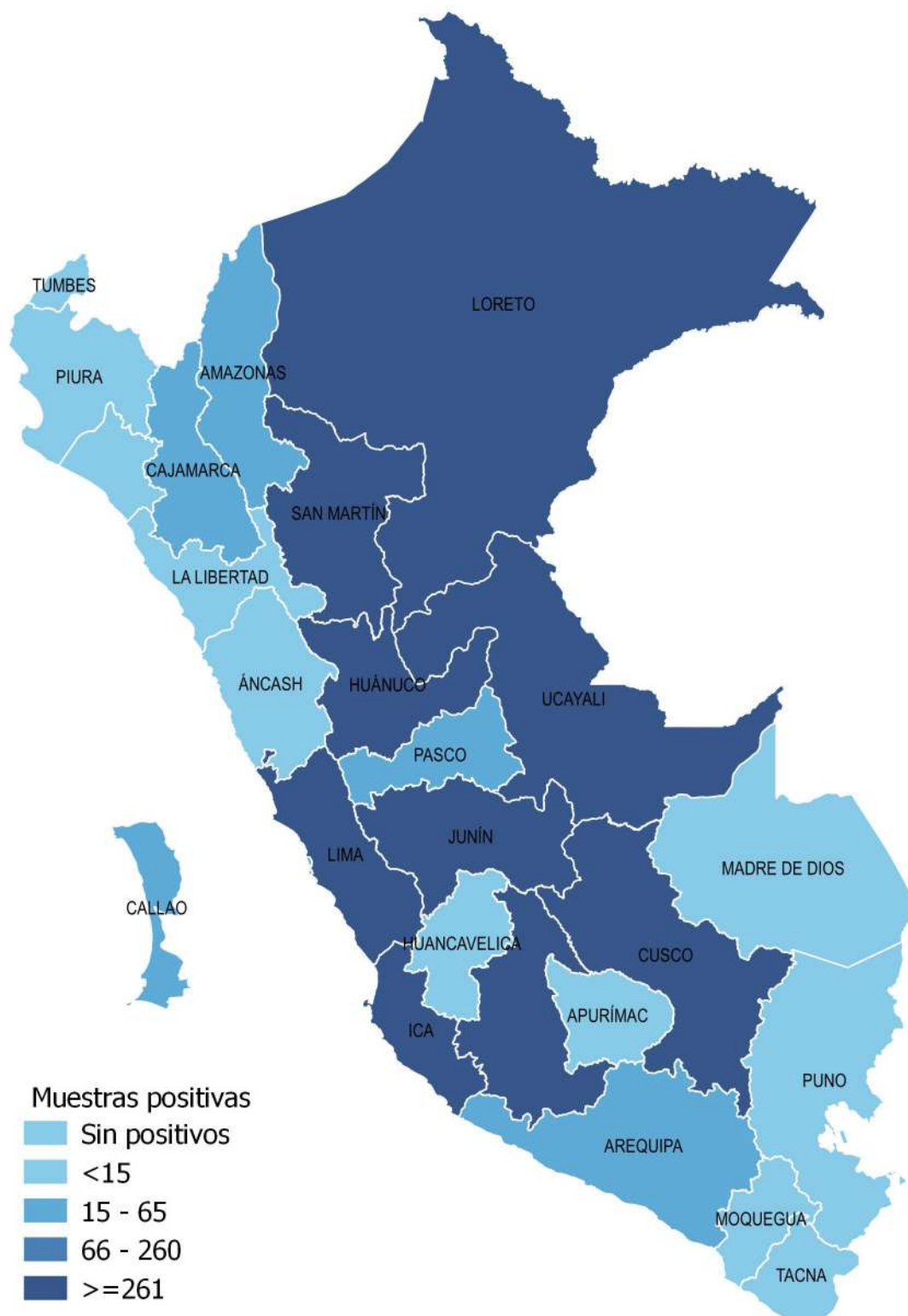
Fecha de descarga: julio de 2021 de la base de datos Netlab v1

Gráfico 1.8 Distribución de muestras positivas para diagnóstico de dengue, INS, 2020



Fuente: Instituto Nacional de Salud (INS), Centro Nacional de Salud Pública - Netlab, 2021
Elaboración: Oficina Ejecutiva de Estadística e Informática - OGIS

Mapa 1.18 Distribución de muestras positivas para diagnóstico de dengue según departamentos, INS, 2020



Fuente: Instituto Nacional de Salud, Centro Nacional de Salud Pública, Netlab, 2021
Elaboración: Oficina Ejecutiva de Estadística e Informática, OGIS

Cuadro 1.54. Muestras procesadas para el diagnóstico de encéfalo equino-animal por tipo de examen según mes de ingreso al Instituto Nacional de Salud (INS), 2020

MES	Número de muestras únicas ingresadas		Tipo de examen			
	Total	%	Inhibición de hemaglutinación EEE	Inhibición de hemaglutinación EEO	Inhibición de Hemaglutinación EEV	
			N	N	N	P
Total	103	100.0	32	32	97	1
Enero	2	1.9	2	2	-	-
Febrero	13	12.6	2	2	11	-
Marzo	2	1.9	1	1	-	1
Abril	-	0.0	-	-	-	-
Mayo	-	0.0	-	-	-	-
Junio	-	0.0	-	-	-	-
Julio	-	0.0	-	-	-	-
Agosto	1	1.0	-	-	1	-
Septiembre	6	5.8	-	-	6	-
Octubre	48	46.6	24	24	48	-
Noviembre	31	30.1	3	3	31	-
Diciembre	-	0.0	-	-	-	-

P= Positivo, N= Negativo

Fuente: Instituto Nacional de Salud, Centro Nacional de Salud Pública - Netlab, 2021

Elaboración: Oficina Ejecutiva de Estadística e Informática - OGIS

Fecha de descarga: julio de 2021 de la base de datos Netlab v1

Cuadro 1.55. Muestras procesadas para el diagnóstico de encéfalo equino-animal por tipo de examen según DISA - DIRESA/ otras instituciones remitentes al Instituto Nacional de Salud (INS), 2020

DISA - DIRESA/ OTRAS INSTITUCIONES	Número de muestras únicas ingresadas		Tipo de examen			
	Total	%	Inhibición de hemaglutinación EEE	Inhibición de hemaglutinación EEO	Inhibición de hemaglutinación EEV	
			N	N	N	P
Total	103	100.0	32	32	97	1
Instituto Nacional de Salud	24	23.3	24	24	24	-
SENASA	23	22.3	-	-	22	1
Consultorio particular	56	54.4	8	8	51	-

P= Positivo, N= Negativo

Fuente: Instituto Nacional de Salud, Centro Nacional de Salud Pública - Netlab, 2021

Elaboración: Oficina Ejecutiva de Estadística e Informática - OGIS

Fecha de descarga: julio de 2021 de la base de datos Netlab v1

Cuadro 1.56. Muestras procesadas para el diagnóstico de encéfalo equino-humanos por tipo de examen según mes de ingreso al Instituto Nacional de Salud (INS), 2020

MES	Número de muestras únicas ingresadas				Tipo de examen	
					Encefalo Equino del Este	Encefalo Equino Venezolano
	Total	Muestras humanas		Inhibición de hemaglutinación EEE	Elisa de captura IgM EEV	
		fem.	masc.			N
			%			
Total	17	10	7	100.0	7	10
Enero	13	8	5	76.5	5	8
Febrero	4	2	2	23.5	2	2
Marzo	0	-	-	0.0	-	-
Abril	0	-	-	0.0	-	-
Mayo	0	-	-	0.0	-	-
Junio	0	-	-	0.0	-	-
Julio	0	-	-	0.0	-	-
Agosto	0	-	-	0.0	-	-
Septiembre	0	-	-	0.0	-	-
Octubre	0	-	-	0.0	-	-
Noviembre	0	-	-	0.0	-	-
Diciembre	0	-	-	0.0	-	-

N= Negativo

Fuente: Instituto Nacional de Salud, Centro Nacional de Salud Pública - Netlab, 2021

Elaboración: Oficina Ejecutiva de Estadística e Informática - OGIS

Fecha de descarga: julio de 2021 de la base de datos Netlab v1

Cuadro 1.57. Muestras procesadas para el diagnóstico de encéfalo equino-humanos por tipo de examen según DISA - DIRESA/ otras instituciones remitentes al Instituto Nacional de Salud (INS), 2020

DISA - DIRESA / OTRAS INSTITUCIONES	Número de muestras únicas ingresadas				Tipo de examen	
					Encefalo Equino del Este	Encefalo Equino Venezolano
	Total	Muestras humanas		Inhibición de hemaglutinación EEE	Elisa de captura IgM EEV	
		fem.	masc.			N
			%			
Total	17	10	7	100.0	7	10
Cusco	12	8	4	70.6	5	7
San Martín	3	-	3	17.6	1	2
Tumbes	2	2	-	11.8	1	1

N= Negativo

Fuente: Instituto Nacional de Salud, Centro Nacional de Salud Pública - Netlab, 2021

Elaboración: Oficina Ejecutiva de Estadística e Informática - OGIS

Fecha de descarga: julio de 2021 de la base de datos Netlab v1

Cuadro 1.58. Muestras procesadas para el diagnóstico de fiebre amarilla por tipo de examen según mes de ingreso al Instituto Nacional de Salud (INS), 2020

MES	Número de muestras únicas ingresadas				Tipo de examen					
					Diagnóstico molecular			Elisa de IgM		
	Total	Sexo		%	N	P	I	N	P	
		fem.	masc.							
Total	479	163	316	100.0	105	2	2	367	11	
Enero	223	41	182	46.6	28	1	2	201	2	
Febrero	58	29	29	12.1	20	1	-	43	2	
Marzo	16	5	11	3.3	6	-	-	10	4	
Abril	30	17	13	6.3	10	-	-	28	2	
Mayo	2	1	1	0.4	-	-	-	2	-	
Junio	4	2	2	0.8	1	-	-	4	-	
Julio	0	-	-	0.0	-	-	-	-	-	
Agosto	48	28	20	10.0	17	-	-	18	-	
Septiembre	17	8	9	3.5	1	-	-	13	-	
Octubre	18	8	10	3.8	-	-	-	13	-	
Noviembre	47	17	30	9.8	21	-	-	28	1	
Diciembre	16	7	9	3.3	1	-	-	7	-	

P= Positivo, N= Negativo, I= Indeterminado

Fuente: Instituto Nacional de Salud, Centro Nacional de Salud Pública - Netlab, 2021

Elaboración: Oficina Ejecutiva de Estadística e Informática - OGIS

Fecha de descarga: julio de 2021 de la base de datos Netlab v1

Cuadro 1.59. Muestras procesadas para el diagnóstico de fiebre amarilla por tipo de examen según DISA - DIRESA/ otras instituciones remitentes al Instituto Nacional de Salud (INS), 2020

DISA - DIRESA/ OTRAS INSTITUCIONES	Número de muestras únicas ingresadas				Tipo de examen				
					Diagnóstico molecular			Elisa de IgM	
	Total	Sexo		%	N	P	I	N	P
		fem.	masc.						
Total	479	163	316	100.0	105	2	2	367	11
Apurímac	3	-	3	0.6	1	-	-	2	-
Ayacucho	3	1	2	0.6	2	-	-	-	1
Bagua - Amazonas	1	-	1	0.2	-	-	-	1	-
Cajamarca	6	3	3	1.3	4	-	-	2	-
Callao	189	20	169	39.5	-	-	-	189	-
Cusco	6	4	2	1.3	4	-	-	6	-
Huancavelica	1	1	-	0.2	1	-	-	-	-
Huánuco	5	4	1	1.0	2	-	-	3	-
Jaén - Cajamarca	6	-	6	1.3	1	-	-	1	-
Junín	8	3	5	1.7	4	-	-	7	-
La Libertad	1	1	-	0.2	1	-	-	-	-
Lambayeque	8	5	3	1.7	1	-	-	7	-
Lima Sur	7	2	5	1.5	1	-	-	5	-
Lima Este	8	3	5	2	-	-	-	8	-
Lima Provincias	1	-	1	0.2	-	-	-	1	-
Lima Ciudad	6	1	5	1	3	-	-	4	-
Loreto	12	9	3	2.5	9	1	1	5	1
Madre de Dios	3	3	-	1	2	-	-	1	-
Piura	1	1	-	0.2	-	-	-	1	-
San Martín	11	3	8	2	5	1	-	7	2
Tumbes	1	1	-	0.2	1	-	-	-	-
Ucayali	171	92	79	36	59	-	-	105	6
Instituto Nacional de Salud	4	3	1	0.8	-	-	-	2	-
Essalud	14	3	11	3	3	-	-	8	1
Consultorio particular	3	-	3	0.6	1	-	1	2	-

P= Positivo, N= Negativo, I= Indeterminado

Fuente: Instituto Nacional de Salud, Centro Nacional de Salud Pública - Netlab, 2021

Elaboración: Oficina Ejecutiva de Estadística e Informática - OGIS

Fecha de descarga: julio de 2021 de la base de datos Netlab v1

Mapa 1.19. Distribución de muestras positivas para diagnóstico de fiebre amarilla según regiones, INS, 2020



Fuente: Instituto Nacional de Salud, Centro Nacional de Salud Pública, Netlab, 2021
Elaboración: Oficina Ejecutiva de Estadística e Informática, OGIS

Cuadro 1.60. Muestras procesadas para el diagnóstico de fiebre de chikungunya por tipo de examen según mes de ingreso al Instituto Nacional de Salud (INS), 2020

MES	Número de muestras únicas ingresadas				Tipo de examen			
	Total	Sexo		NE 1/	%	Elisa de captura IgG chikungunya	Elisa de captura IgM chikungunya	RT-Reacción en cadena de la polimerasa chikungunya
		fem.	masc.					
	N	N	N					
Total	869	350	518	1	100.0	17	668	173
Enero	386	127	259	-	44.4	-	295	93
Febrero	154	71	82	1	17.7	-	149	2
Marzo	30	16	14	-	3.5	-	27	-
Abril	33	18	15	-	3.8	-	31	2
Mayo	24	16	8	-	2.8	-	4	20
Junio	46	26	20	-	5.3	-	32	12
Julio	23	9	14	-	2.6	1	14	9
Agosto	16	9	7	-	1.8	-	16	-
Septiembre	41	10	31	-	4.7	-	40	-
Octubre	22	9	13	-	2.5	7	19	-
Noviembre	42	15	27	-	4.8	5	21	9
Diciembre	52	24	28	-	6.0	4	20	26

N= Negativo

1/ No especifica el origen de la muestra

Fuente: Instituto Nacional de Salud, Centro Nacional de Salud Pública - Netlab, 2021

Elaboración: Oficina Ejecutiva de Estadística e Informática - OGIS

Fecha de descarga: julio de 2021 de la base de datos Netlab v1

Cuadro 1.61. Muestras procesadas para el diagnóstico de fiebre de chikungunya por tipo de examen según DISA - DIRESA/ otras instituciones remitentes al Instituto Nacional de Salud (INS), 2020

DISA - DIRESA/ OTRAS INSTITUCIONES	Número de muestras únicas ingresadas					Tipo de examen		
						Elisa de captura IgG chikungunya	Elisa de captura IgM chikungunya	RT-Reacción en cadena de la polimerasa chikungunya
	Total	Sexo		NE 1/	%			
		fem.	masc.					
Total	869	350	518	1	100.0	17	668	173
Ancash	4	1	3	-	0.5	-	1	3
Arequipa	4	2	2	-	0.5	-	4	-
Ayacucho	16	11	5	-	1.8	-	8	7
Cajamarca	10	5	5	-	1.2	1	9	1
Callao	224	26	198	-	25.8	-	221	1
Cusco	12	8	4	-	1.4	-	11	5
Huánuco	17	10	7	-	2.0	1	7	9
Ica	30	15	15	-	3.5	1	24	8
Jaén-Cajamarca	45	21	23	1	5.2	3	22	21
Junín	45	20	25	-	5.2	1	22	20
La Libertad	31	21	10	-	3.6	-	26	3
Lambayeque	78	42	36	-	9.0	-	65	12
Lima Sur	5	2	3	-	0.6	-	3	1
Lima Este	9	2	7	-	1.0	-	6	3
Lima Provincias	6	3	3	-	0.7	-	2	3
Lima Ciudad	78	37	41	-	9.0	7	51	16
Loreto	81	32	49	-	9.3	-	73	8
Luciano Castillo-Piura	28	11	17	-	3.2	-	10	18
Madre de Dios	7	6	1	-	0.8	-	6	-
Piura	27	13	14	-	3.1	-	19	6
San Martín	1	1	-	-	0.1	-	1	-
Ucayali	80	51	29	-	9.2	-	55	25
Instituto Nacional de Salud	5	4	1	-	0.6	-	4	-
Essalud	11	2	9	-	1.3	1	6	-
Militar	5	1	4	-	0.6	-	3	2
Consultorio particular	10	3	7	-	1.2	2	9	1

N= Negativo

1/ No especifica el origen de la muestra

Fuente: Instituto Nacional de Salud, Centro Nacional de Salud Pública - Netlab, 2021

Elaboración: Oficina Ejecutiva de Estadística e Informática - OGIS

Fecha de descarga: julio de 2021 de la base de datos Netlab v1

Cuadro 1.62. Muestras procesadas para el diagnóstico de fiebre de oropuche por tipo de examen según mes de ingreso al Instituto Nacional de Salud (INS), 2020

MES	Número de muestras únicas ingresadas							
	Total	Sexo		%				
		Fem.	Masc.					
					I	N	P	N
Total	8,143	4,183	3,960	100.0	4	7,926	117	66
Enero	1,083	532	551	13.3	-	1,029	28	31
Febrero	1,095	571	524	13.4	1	1,036	23	26
Marzo	1,171	560	611	14.4	-	1,151	20	-
Abril	923	477	446	11.3	1	891	13	-
Mayo	342	167	175	4.2	-	336	6	-
Junio	457	218	239	5.6	-	457	-	-
Julio	209	100	109	2.6	-	209	-	-
Agosto	183	84	99	2.2	-	178	-	2
Septiembre	391	198	193	4.8	-	391	-	-
Octubre	320	178	142	3.9	-	319	-	-
Noviembre	700	396	304	8.6	1	689	6	-
Diciembre	1,269	702	567	15.6	1	1,240	21	7

P= Positivo, N= Negativo, I= Indeterminado

1/ No especifica el origen de la muestra

Fuente: Instituto Nacional de Salud, Centro Nacional de Salud Pública - Netlab, 2021

Elaboración: Oficina Ejecutiva de Estadística e Informática - OGIS

Fecha de descarga: julio de 2021 de la base de datos Netlab v1

Cuadro 1.63. Muestras procesadas para el diagnóstico de fiebre de oropuche por tipo de examen según DISA - DIRESA/ otras instituciones remitentes al Instituto Nacional de Salud (INS), 2020

DISA - DIRESA/ OTRAS INSTITUCIONES	Número de muestras únicas ingresadas				Tipo de examen			
					Elisa de captura IgM		PCR oropuche	
	Total	Sexo		%	I	N	P	N
		Fem.	Masc.					
Total	8,143	4,183	3,960	100.0	4	7,926	117	65
Arequipa	4	1	3	0.0	-	4	-	-
Ayacucho	1,828	982	846	22.4	1	1,755	7	47
Cajamarca	2	1	1	0.0	-	2	-	-
Callao	177	19	158	2.2	-	177	-	-
Cusco	1,126	542	584	13.8	2	1,109	10	10
Huánuco	18	8	10	0.2	-	-	-	-
Ica	7	3	4	0.1	-	7	-	-
Jaén - Cajamarca	7	4	3	0.1	-	-	-	7
Junín	746	366	380	9.2	1	742	3	-
La Libertad	6	4	2	0.1	-	6	-	-
Lambayeque	24	16	8	0.3	-	23	-	1
Lima Ciudad	4	3	1	0.0	-	4	-	-
Loreto	1,039	550	489	12.8	-	1,036	3	-
Luciano Castillo - Piura	1	1	-	0.0	-	1	-	-
Madre de Dios	2,938	1,580	1,358	36.1	-	2,846	92	-
Puno	12	5	7	0.1	-	12	-	-
San Martín	18	7	11	0.2	-	18	-	-
Ucayali	180	91	89	2.2	-	178	2	-
Essalud	3	-	3	0.0	-	3	-	-
Militar	2	-	2	0.0	-	2	-	-
Consultorio particular	1	-	1	0.0	-	1	-	-

P= Positivo, N= Negativo, I= Indeterminado

Fuente: Instituto Nacional de Salud, Centro Nacional de Salud Pública - Netlab, 2021

Elaboración: Oficina Ejecutiva de Estadística e Informática - OGIS

Fecha de descarga: julio de 2021 de la base de datos Netlab v1

Cuadro 1.64. Muestras procesadas para el diagnóstico de fiebre de mayaro por tipo de examen según mes de ingreso al Instituto Nacional de Salud (INS), 2020

MES	Número de muestras únicas ingresadas								
	Total	Sexo		%	Eiisa de captura IgG		Eiisa de captura IgM		RT - PCR
		Fem.	Masc.		N	I	N	P	
Total	8,476	4,381	4,095	100.0	1	18	8,063	14	63
Enero	1,064	522	542	12.6	-	4	1,027	1	32
Febrero	1,077	570	507	12.7	-	6	1,036	-	26
Marzo	1,183	568	615	14.0	1	3	1,177	1	-
Abril	955	491	464	11.3	-	-	936	1	-
Mayo	344	168	176	4.1	-	1	342	1	-
Junio	468	228	240	5.5	-	-	468	-	-
Julio	209	101	108	2.5	-	-	209	-	-
Agosto	244	107	137	2.9	-	-	180	-	2
Septiembre	394	202	192	4.6	-	-	394	-	-
Octubre	383	219	164	4.5	-	-	337	-	-
Noviembre	891	506	385	10.5	-	-	707	1	3
Diciembre	1,264	699	565	14.9	-	4	1,250	9	-

P= Positivo, N= Negativo, I= Inderterminado

Fuente: Instituto Nacional de Salud, Centro Nacional de Salud Pública - Netlab, 2021

Elaboración: Oficina Ejecutiva de Estadística e Informática - OGIS

Fecha de descarga: julio de 2021 de la base de datos Netlab v1

Cuadro 1.65. Muestras procesadas para el diagnóstico de fiebre de mayo por tipo de examen según DISA-DIRESA/ otras instituciones remitentes al Instituto Nacional de Salud (INS), 2020

DISA - DIRESA/ OTRAS INSTITUCIONES	Número de muestras únicas ingresadas								
	Total	Sexo		%	Elisa de captura IgG		Elisa de captura IgM		RT - PCR
		Fem.	Masc.		N	I	N	P	
Total	8,476	4,381	4,095	100.0	2	18	8,063	14	63
Arequipa	4	1	3	0.0	-	-	4	-	-
Ayacucho	2,140	1,161	979	25.2	-	3	1,785	3	51
Cajamarca	2	1	1	0.0	-	-	2	-	-
Callao	183	20	163	2.2	-	-	183	-	-
Cusco	1,140	552	588	13.4	-	3	1,124	3	10
Huánuco	18	8	10	0.2	-	-	-	-	-
Ica	7	3	4	0.1	-	-	7	-	-
Junín	754	369	385	8.9	1	-	752	1	-
La Libertad	6	4	2	0.1	-	-	6	-	-
Lambayeque	24	16	8	0.3	-	-	23	-	1
Lima Ciudad	4	3	1	0.0	-	-	4	-	-
Loreto	1,020	541	479	12.0	-	1	1,016	3	-
Luciano Castillo - Piura	1	1	-	0.0	-	-	1	-	-
Madre de Dios	2,946	1,593	1,353	34.8	-	11	2,931	4	-
Puno	12	5	7	0.1	-	-	12	-	-
San Martín	21	8	13	0.2	-	-	21	-	-
Ucayali	186	93	93	2.2	-	-	184	-	-
Instituto Nacional de Salud	2	2	-	0.0	-	-	2	-	1
Essalud	3	-	3	0.0	1	-	3	-	-
Militar	2	-	2	0.0	-	-	2	-	-
Consultorio particular	1	-	1	0.0	-	-	1	-	-

P= Positivo, N= Negativo, I= Indeterminado

Fuente: Instituto Nacional de Salud, Centro Nacional de Salud Pública - Netlab, 2021

Elaboración: Oficina Ejecutiva de Estadística e Informática - OGIS

Fecha de descarga: julio de 2021 de la base de datos Netlab v1

Cuadro 1.66. Muestras procesadas para el diagnóstico de infección por virus Hanta por tipo de examen según mes de ingreso al Instituto Nacional de Salud (INS), 2020

MES	Número de muestras únicas procesadas				Tipo de examen			
					Elisa IgG Hantavirus		Elisa IgM Hantavirus	
	Total	Sexo		%	N	I	N	N
		fem.	masc.					
Total	27	14	13	100.0	17	1	26	3
Enero	3	3	-	11.1	3	-	3	-
Febrero	2	2	-	7.4	-	-	2	-
Marzo	5	4	1	18.5	5	-	5	3
Abril	0	-	-	0.0	4	-	4	-
Mayo	4	2	2	14.8	-	-	-	-
Junio	1	-	1	3.7	1	-	1	-
Julio	2	1	1	7.4	-	-	2	-
Agosto	1	-	1	3.7	-	-	1	-
Septiembre	2	-	2	7.4	2	-	2	-
Octubre	4	1	3	14.8	2	1	3	-
Noviembre	2	-	2	7.4	-	-	2	-
Diciembre	1	1	-	3.7	-	-	1	-

I= Indeterminado, N= Negativo

Fuente: Instituto Nacional de Salud, Centro Nacional de Salud Pública - Netlab, 2021

Elaboración: Oficina Ejecutiva de Estadística e Informática - OGIS

Fecha de descarga: julio de 2021 de la base de datos Netlab v1

Cuadro 1.67. Muestras procesadas para el diagnóstico de infección por virus Hanta por tipo de examen según DISA - DIRESA / otras instituciones remitentes al Instituto Nacional de Salud (INS), 2020

DISA - DIRESA / OTRAS INSTITUCIONES	Número de muestras únicas ingresadas				Tipo de examen			
					Elisa IgG Hantavirus		Elisa IgM Hantavirus	
	Total	Sexo		%	N	I	N	N
		fem.	masc.					
Total	27	14	13	100.0	17	1	26	3
Lima Ciudad	1	1	-	3.7	1.	-	1	-
Loreto	25	12	13	92.6	15.	1	24	3
Consultorio Particular	1	1	-	3.7	1.	-	1	-

I= Indeterminado, N= Negativo

Fuente: Instituto Nacional de Salud, Centro Nacional de Salud Pública - Netlab, 2021

Elaboración: Oficina Ejecutiva de Estadística e Informática - OGIS

Fecha de descarga: julio de 2021 de la base de datos Netlab v1

Cuadro 1.68. Muestras procesadas para el diagnóstico de virus de Zika por tipo de examen según mes de ingreso al Instituto Nacional de Salud (INS), 2020

MES	Número de muestras únicas ingresadas					Tipo de examen						
						Elisa IGG Virus Zika		Elisa IGM Virus Zika			PCRRT para Zika	
	Total	Sexo		NE 1/	%	N	I	N	P	I	N	P
		Fem.	Masc.									
Total	5,197	2,645	2,549	3	100.0	2	2	1,296	11	6	3,117	43
Enero	1,837	889	946	2	35.3	-	1	366	3	4	1,247	3
Febrero	943	460	483	-	18	1	-	267	-	2	653	12
Marzo	382	186	196	-	7	-	-	149	2	-	127	2
Abril	161	83	77	1	3	-	1	70	3	-	34	1
Mayo	104	60	44	-	2	-	-	26	1	-	16	-
Junio	161	94	67	-	3	-	-	50	-	-	85	20
Julio	439	183	256	-	8	1	-	103	-	-	107	3
Agosto	162	96	66	-	3	-	-	19	1	-	147	-
Septiembre	183	109	74	-	4	-	-	22	1	-	147	2
Octubre	386	217	169	-	7	-	-	102	-	-	251	-
Noviembre	162	98	64	-	3	-	-	45	-	-	112	-
Diciembre	277	170	107	-	5	-	-	77	-	-	191	-

P= Positivo, N= Negativo, I= Indeterminado

1/ No especifica el origen de la muestra

Fuente: Instituto Nacional de Salud (INS), Centro Nacional de Salud Pública, Netlab, 2021

Elaboración: Oficina Ejecutiva de Estadística e Informática - OGIS

Fecha de descarga: julio de 2021 de la base de datos Netlab v1

Cuadro 1.69. Muestras procesadas para el diagnóstico de virus de Zika por tipo de examen según DISA - DIRESA/ otras instituciones remitentes al Instituto Nacional de Salud (INS), 2020

DISA - DIRESA/ OTRAS INSTITUCIONES	Número de muestras únicas ingresadas					Tipo de examen						
						Elisa IGG Virus Zika		Elisa IGM Virus Zika			PCR-RT para Zika	
	Total	Sexo		NE 1/	%	N	I	N	P	I	N	P
		Fem.	Masc.									
Total	5,197	2,645	2,549	3	100.0	2	2	1,296	11	6	3,117	43
Amazonas	3	2	1	-	0.1	-	-	-	-	-	3	-
Ancash	7	1	6	-	0.1	-	-	3	-	-	4	-
Arequipa	11	5	6	-	0.2	-	-	10	-	-	1	-
Ayacucho	63	51	12	-	1.2	-	-	3	-	-	46	-
Bagua - Amazonas	13	11	2	-	0.3	-	-	8	-	-	5	-
Cajamarca	43	18	25	-	0.8	-	-	26	1	-	15	-
Callao	312	60	252	-	6.0	-	-	256	-	-	50	-
Cusco	172	89	83	-	3.3	-	-	9	-	-	158	-
Huancavelica	1	-	1	-	0.0	-	-	1	-	-	-	-
Huánuco	117	59	58	-	2.3	-	-	7	1	1	101	3
Ica	32	18	14	-	0.6	-	-	21	-	-	11	-
Jaén - Cajamarca	855	427	428	-	16.5	-	-	253	2	-	250	25
Junín	308	154	154	-	5.9	-	-	18	-	-	289	-
La Libertad	170	68	102	-	3.3	-	-	86	-	-	72	-
Lambayeque	164	88	76	-	3.2	-	-	43	-	-	118	1
Lima Sur	19	5	14	-	0.4	-	-	8	-	-	12	-
Lima Este	15	6	9	-	0.3	-	-	5	-	-	9	-
Lima Provincias	9	6	3	-	0.2	-	-	1	-	-	8	-
Lima Ciudad	305	127	178	-	5.9	-	1	170	1	-	127	-
Loreto	900	487	413	-	17.3	-	-	80	-	4	580	1
Luciano Castillo - Piura	91	37	54	-	1.8	-	-	25	1	-	57	3
Madre de Dios	24	22	2	-	0.5	-	-	-	-	-	23	-
Pasco	3	2	1	-	0.1	-	-	-	-	-	3	-
Piura	159	78	80	1	3.1	-	-	68	-	-	85	7
Puno	10	6	4	-	0.2	-	-	1	-	-	9	-
San Martín	7	4	3	-	0.1	-	-	1	-	-	6	-
Tumbes	1	1	-	-	0.0	-	-	1	-	-	-	-
Ucayali	1,229	773	454	2	23.6	-	1	112	5	1	998	3
Instituto Nacional de Salud	2	1	1	-	0.0	-	-	2	-	-	-	-
Essalud	135	34	101	-	2.6	-	-	67	-	-	71	-
Militar	5	-	5	-	0.1	-	-	3	-	-	2	-
Consultorio particular	12	5	7	-	0.2	2	-	8	-	-	4	-

P= Positivo, N= Negativo, I= Indeterminado

1/ No especifica el origen de la muestra

Fuente: Instituto Nacional de Salud. Centro Nacional de Salud Pública - Netlab. 2021

Elaboración: Oficina Ejecutiva de Estadística e Informática - OGIS

Fecha de descarga: julio de 2021 de la base de datos Netlab v1

Cuadro 1.70. Muestras procesadas para el diagnóstico de lepra por tipo de examen según mes de ingreso al Instituto Nacional de Salud (INS), 2020

MES	Número de muestras únicas ingresadas				Tipo de examen			
					Baciloscopia			
	Total	Sexo		%	N	P+	P4+	P5+
		fem.	masc.					
Total	11	3	8	100.0	3	2	1	2
Enero	1	1	-	9.1	1	-	-	-
Febrero	4	2	2	36.4	2	-	-	-
Marzo	2	-	2	18.2	-	-	1	1
Abril	0	-	-	0.0	-	-	-	-
Mayo	0	-	-	0.0	-	-	-	-
Junio	0	-	-	0.0	-	-	-	-
Julio	0	-	-	0.0	-	-	-	-
Agosto	0	-	-	0.0	-	-	-	-
Septiembre	1	-	1	9.1	-	-	-	1
Octubre	0	-	-	0.0	-	-	-	-
Noviembre	1	-	1	9.1	-	1	-	-
Diciembre	2	-	2	18.2	-	1	-	-

N= Negativo, P+= Positivo +, P4+= Positivo +++, P5+= Positivo ++++

Fuente: Instituto Nacional de Salud, Centro Nacional de Salud Pública - Netlab, 2021

Elaboración: Oficina Ejecutiva de Estadística e Informática - OGIS

Fecha de descarga: julio de 2021 de la base de datos Netlab v1

Cuadro 1.71. Muestras procesadas para el diagnóstico de lepra por tipo de examen según DISA - DIRESA/ otras instituciones remitentes al Instituto Nacional de Salud (INS), 2020

DISA - DIRESA/ OTRAS INSTITUCIONES	Número de muestras únicas ingresadas				Tipo de examen			
					Baciloscopia			
	Total	Sexo		%	N	P+	P4+	P5+
		fem.	masc.					
Total	11	3	8	100.0	3	2	1	2
La Libertad	2	-	2	18.2	-	1	-	-
Lima Este	3	-	3	27.3	-	-	1	2
Loreto	4	2	2	36.4	2	-	-	-
Instituto Nacional de Salud	2	1	1	18.2	1	1	-	-

N= Negativo, P+= Positivo +, P4+= Positivo +++, P5+= Positivo ++++

Fuente: Instituto Nacional de Salud, Centro Nacional de Salud Pública - Netlab, 2021

Elaboración: Oficina Ejecutiva de Estadística e Informática - OGIS

Fecha de descarga: julio de 2021 de la base de datos Netlab v1

LABORATORIO DE MICOBACTERIAS

Cuadro 1.72. Muestras procesadas para el diagnóstico de tuberculosis por tipo de examen según mes de ingreso al Instituto Nacional de Salud (INS), 2020

MES	Número de muestras únicas ingresadas				Tipo de examen												
					Cultivo bactec 960MT			Cultivo ogawa			Identificación inmunocromatográfica		Identificación molecular Genotype		Pirazinamida por bactec MGIT 960		
	Total	Sexo		%	C	N	P	C	N	P	CM	PM	C	R	S	R	S
		Fem.	Masc.														
Total	10,389	3,344	7,045	100.0	52	313	191	22	25	11	3	447	5	43	90	276	440
Enero	1,406	435	971	13.5	15	78	38	4	4	2	2	33	2	20	30	-	1
Febrero	1,208	417	791	11.6	9	94	48	2	1	2	-	59	2	5	19	-	-
Marzo	911	305	606	8.8	10	38	24	4	6	1	-	28	-	-	-	-	-
Abril	837	256	581	8.1	1	12	13	3	-	-	-	25	-	-	-	-	-
Mayo	558	147	411	5.4	2	7	20	1	-	1	-	12	-	-	-	-	-
Junio	393	144	249	3.8	2	13	16	-	-	-	-	5	-	-	1	8	15
Julio	655	179	476	6.3	2	10	1	1	2	1	-	18	-	9	33	37	72
Agosto	706	217	489	6.8	2	12	9	4	2	-	1	39	1	6	3	63	81
Septiembre	783	264	519	7.5	4	21	9	1	2	1	-	46	-	2	3	70	111
Octubre	1,081	377	704	10.4	5	27	12	-	7	2	-	47	-	1	1	82	130
Noviembre	944	308	636	9.1	-	-	-	1	-	-	-	66	-	-	-	16	30
Diciembre	907	295	612	8.7	-	1	1	1	1	1	-	69	-	-	-	-	-

P= Positivo, N= Negativo, C= Contaminado, R= Resistente, S= Sensible, PM= Positivo a Mycobacterium

Fuente: Instituto Nacional de Salud, Centro Nacional de Salud Pública - Netlab, 2021

Elaboración: Oficina Ejecutiva de Estadística e Informática - OGIS

Fecha de descarga: julio de 2021 de la base de datos Netlab v1 y v2

Cuadro 1.73. Muestras procesadas para el diagnóstico de tuberculosis por tipo de examen según DISA - DIRESA/ otras instituciones remitentes al Instituto Nacional de Salud (INS), 2020

DISA - DIRESA/ OTRAS INSTITUCIONES	Número de muestras únicas ingresadas				Tipo de examen												
					Cultivo bacter 960MT			Cultivo ogawa			Identificación inmunocromatográfica		Identificación molecular Genotype		Pirazinamida por badeec MGIT 960		
	Total	Sexo		%	C	N	P	C	N	P	CM	PM	C	R	S	R	S
		Fem.	Masc.														
Total	10,389	3,344	7,045	100.0	52	313	190	22	25	11	3	447	5	43	90	276	440
Amazonas	29	12	17	0.3	1	-	-	-	-	-	-	-	-	-	-	1	1
Áncash	655	192	463	6.3	4	27	36	2	6	2	-	6	-	2	2	9	1
Andahuaylas - Apurímac	12	6	6	0.1	-	-	-	-	-	-	-	-	-	-	-	-	-
Apurímac	36	15	21	0.3	-	1	2	-	1	-	-	-	1	-	-	-	-
Arequipa	33	7	26	0.3	-	-	-	-	-	-	-	1	-	-	-	1	2
Ayacucho	218	87	131	2.1	5	9	8	-	1	-	1	8	-	-	1	1	4
Cajamarca	102	38	64	1.0	-	1	-	-	-	-	-	5	-	-	1	1	1
Callao	459	127	332	4.4	1	4	5	1	-	-	-	16	-	4	6	29	40
Cusco	278	95	183	2.7	-	15	6	1	1	-	-	6	-	-	-	-	1
Cutervo - Cajamarca	3	3	-	0.0	-	-	-	-	-	-	-	-	-	-	-	-	-
Huancavelica	20	6	14	0.2	-	1	-	-	-	-	-	-	-	-	-	-	-
Huánuco	347	126	221	3.3	18	46	17	1	5	1	-	5	-	-	3	1	3
Ica	880	217	663	8.5	1	2	19	4	2	3	-	14	-	2	4	17	20
Junín	527	187	340	5.1	2	3	21	4	3	1	1	4	-	-	3	1	3
La Libertad	241	67	174	2.3	-	-	1	-	2	-	-	9	-	-	7	8	46
Lambayeque	521	145	376	5.0	-	1	-	-	-	-	-	17	-	1	2	8	4
Lima Sur	375	136	239	3.6	1	4	1	-	-	-	-	26	-	-	10	28	44
Lima Este	419	153	266	4.0	-	-	3	1	-	-	-	22	1	9	16	17	36
Lima Ciudad	1,774	582	1,192	17.1	15	187	43	-	1	2	-	174	-	11	16	71	100
Lima Norte	915	300	615	8.8	-	-	1	1	1	-	-	27	3	11	8	48	58
Lima Provincias	151	40	111	1.5	-	-	-	-	-	-	1	3	-	-	2	19	17
Loreto	587	192	395	5.7	-	-	4	1	1	1	-	11	-	-	2	4	10
Madre de Dios	218	64	154	2.1	-	2	5	2	-	-	-	5	-	1	-	7	4
Moquegua	60	22	38	0.6	-	1	2	-	-	-	-	-	-	-	-	-	3
Pasco	55	24	31	0.5	3	6	6	-	-	-	-	-	-	-	1	-	-
Piura	356	111	245	3.4	-	-	2	-	-	-	-	61	-	-	-	2	5
Puno	12	4	8	0.1	-	-	-	-	-	-	-	-	-	-	-	-	-
San Martín	186	61	125	1.8	-	-	-	-	-	-	-	6	-	-	-	-	1
Tacna	334	124	210	3.2	-	1	4	1	1	-	-	10	-	-	1	1	8
Tumbes	51	11	40	0.5	-	-	-	-	-	-	-	1	-	1	-	-	5
Ucayali	529	188	341	5.1	-	-	3	2	-	-	-	10	-	1	5	2	23
Consultorio particular	6	2	4	0.1	1	2	1	1	-	1	-	-	-	-	-	-	-

P= Positivo, N= Negativo, C= Contaminado, R= Resistente, S= Sensible, ND= No desarrollado

Fuente: Instituto Nacional de Salud, Centro Nacional de Salud Pública - Netlab, 2021

Elaboración: Oficina Ejecutiva de Estadística e Informática - OGIS

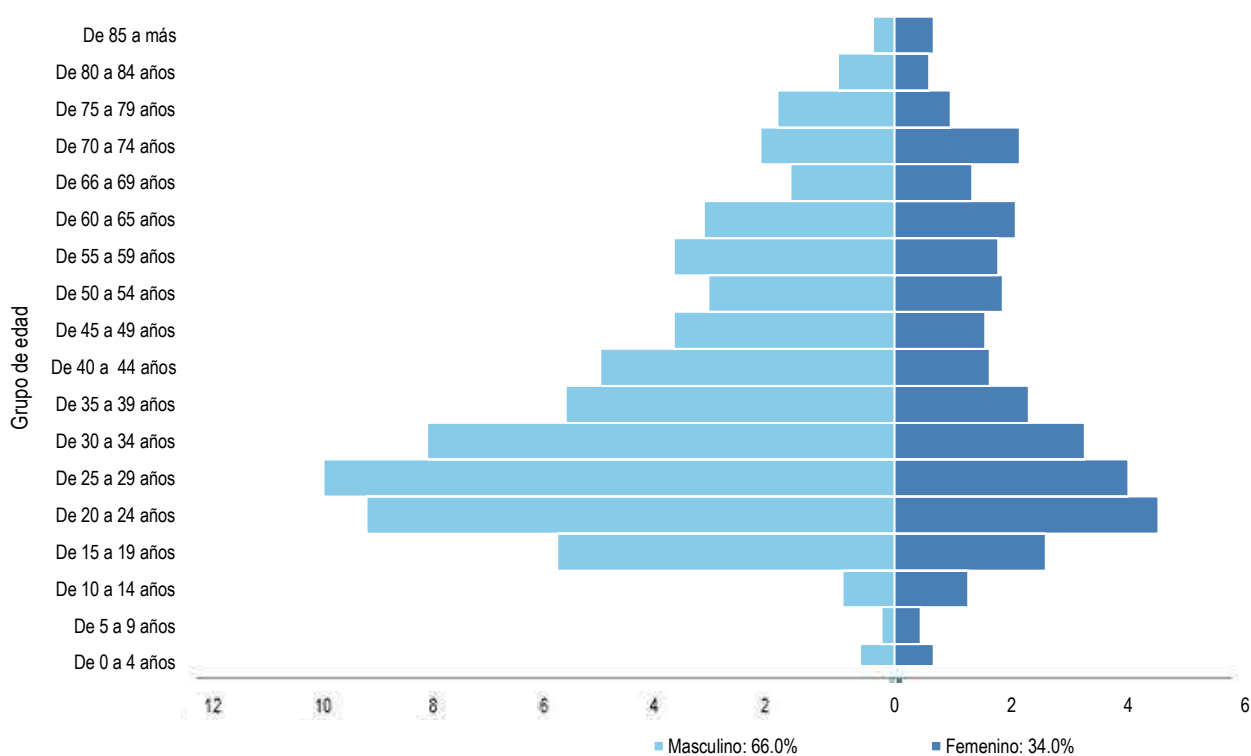
Fecha de descarga: julio de 2021 de la base de datos Netlab v1 y v2

Mapa 1.20 Distribución de muestras positivas para diagnóstico de tuberculosis según departamentos, INS, 2020



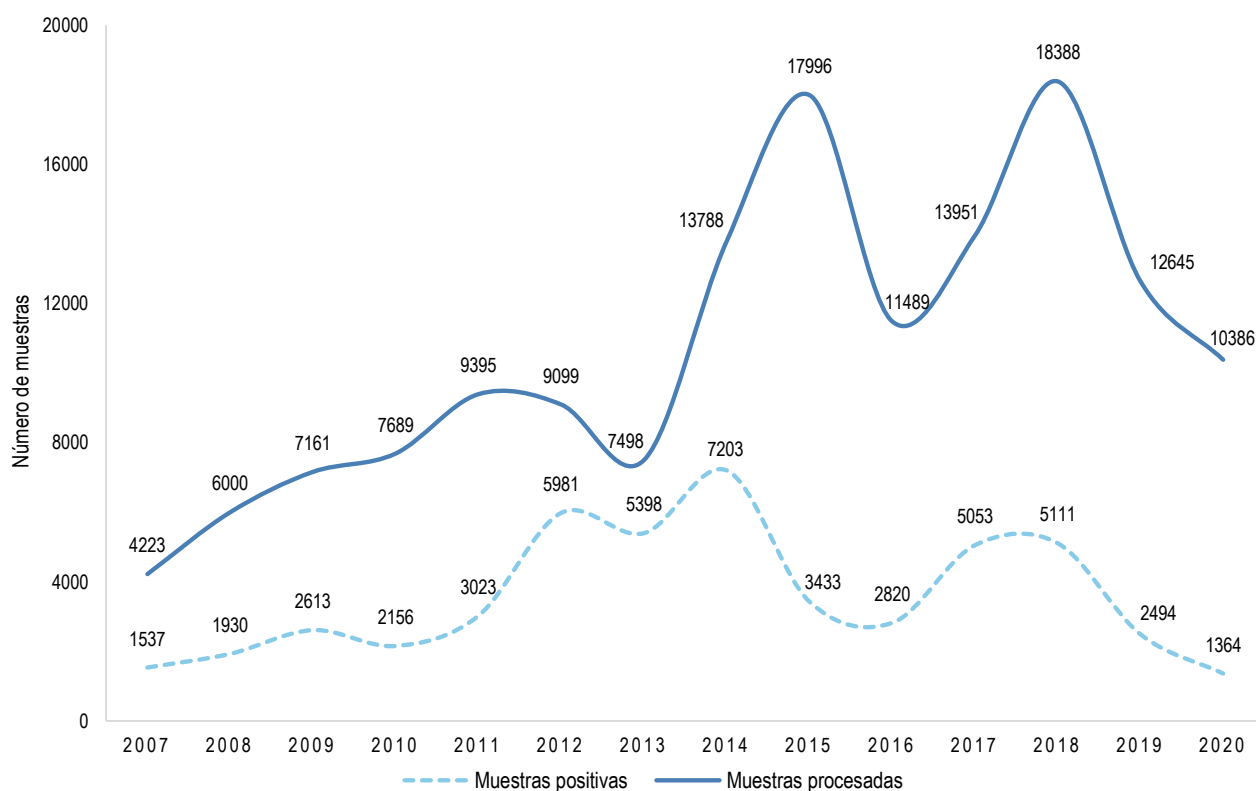
Fuente: Instituto Nacional de Salud, Centro Nacional de Salud Pública, Netlab, 2021
Elaboración: Oficina Ejecutiva de Estadística e Informática, OGIS

Gráfico 1.9. Pirámide de pacientes con muestras positivas para tuberculosis, Instituto Nacional de Salud (INS), 2020



Fuente: Instituto Nacional de Salud, Centro Nacional de Salud Pública - Netlab, 2021
 Elaboración: Oficina Ejecutiva de Estadística e Informática - OGIS
 Fecha de descarga: julio de 2021 de la base de datos Netlab v1

Gráfico 1.10. Tendencia de muestras procesadas y positivas para el diagnóstico de tuberculosis, Instituto Nacional de Salud (INS), 2007-2020



Fuente: Instituto Nacional de Salud, Centro Nacional de Salud Pública - Netlab, 2021
 Elaboración: Oficina Ejecutiva de Estadística e Informática - OGIS
 Fecha de descarga: julio de 2021 de la base de datos Netlab v1

LABORATORIO DE MICOLOGÍA

Cuadro 1.74. Muestras procesadas para el diagnóstico de micosis producidas por hongos por tipo de examen según mes de ingreso al Instituto Nacional de Salud (INS), 2020

MES	Número de muestras únicas ingresadas					Tipo de examen											
						Aglutinación en látex <i>Cryptococcus</i>			Cultivo			Examen directo (hidróxido de potasio)		Inmunodifusión en gel de agar <i>Paracoccidioidomycosis</i>		Inmunodifusión en gel de agar para <i>Aspergillus</i>	
	Total	Sexo		NE 1/	%	N	P	C	N	NV	P	N	NS	P	N	N	N
		Fem.	Masc.														
Total	583	300	208	75	100.0	4	1	10	38	4	428	36	8	67	2	31	31
Enero	112	62	46	4	19.2	2	-	4	9	-	75	14	2	24	2	4	4
Febrero	68	41	27	-	11.7	2	1	4	7	-	34	11	3	25	-	4	4
Marzo	167	109	23	35	28.6	-	-	2	10	1	142	9	-	11	-	7	7
Abril	0	-	-	-	0.0	-	-	-	-	-	-	-	-	-	-	-	-
Mayo	1	1	-	-	0.2	-	-	-	-	-	-	-	-	-	-	1	1
Junio	0	-	-	-	0.0	-	-	-	-	-	-	-	-	-	-	-	-
Julio	33	27	6	-	5.7	-	-	-	-	1	26	-	-	-	-	2	2
Agosto	27	2	3	22	4.6	-	-	-	1	-	24	1	-	1	-	-	-
Septiembre	43	18	25	-	7.4	-	-	-	-	-	39	-	1	-	-	-	-
Octubre	17	5	12	-	2.9	-	-	-	3	-	12	-	-	4	-	1	1
Noviembre	73	24	35	14	12.5	-	-	-	6	2	53	1	-	2	-	6	6
Diciembre	42	11	31	-	7.2	-	-	-	2	-	23	-	2	-	-	6	6

P= Positivo, N= Negativo, C= Contaminado, NV= No viable, NS= No solicitado

NE 1/ No especifica el origen de la muestra

Fuente: Instituto Nacional de Salud, Centro Nacional de Salud Pública - Netlab, 2021

Elaboración: Oficina Ejecutiva de Estadística e Informática - OGIS

Fecha de descarga: julio de 2021 de la base de datos Netlab v1

Cuadro 1.75. Muestras procesadas para el diagnóstico de micosis producidas por hongos según DISA - DIRESA/ otras instituciones remitentes al Instituto Nacional de Salud (INS), 2020

DISA - DIRESA/ OTRAS INSTITUCIONES	Número de muestras únicas ingresadas					Tipo de examen											
						Aglutinación en látex <i>Cryptococcus</i>			Cultivo			Examen directo (hidróxido de potasio)		Inmunodifusión en gel de agar <i>Paracoccidioidomycosis</i>		Inmunodifusión en gel de agar para <i>Aspergillus</i>	
	Total	Sexo		NE 1/	%	N	P	C	N	NV	P	N	NS	P	N	N	N
		Fem.	Masc.														
Total	544	300	208	36	100.0	4	1	10	38	4	428	37	8	65	2	30	31
Amazonas	1	-	1	-	0.2	-	-	-	-	-	1	-	-	-	-	-	-
Arequipa	1	-	1	-	0.2	1	-	-	-	-	-	-	-	-	-	-	-
Ayacucho	149	145	4	-	27.4	-	-	2	-	3	179	-	-	-	-	-	-
Callao	3	2	1	-	0.6	-	-	-	2	-	-	-	-	-	-	-	1
Jaén - Cajamarca	6	2	4	-	1.1	-	-	-	4	-	6	-	-	-	-	-	-
Junín	1	1	-	-	0.2	1	-	-	2	-	-	-	-	-	-	-	-
La Libertad	22	14	8	-	4.0	-	-	-	-	-	20	-	-	-	-	-	2
Lambayeque	0	-	-	-	0.0	-	-	-	-	-	2	-	-	-	-	-	-
Lima Sur	49	6	7	36	9.0	2	-	-	2	1	36	-	-	-	2	1	7
Lima Este	57	16	41	-	10.5	-	-	-	-	-	53	-	-	-	-	4	-
Lima Ciudad	70	29	41	-	12.9	-	-	1	3	-	58	-	-	-	-	-	6
Loreto	1	1	-	-	0.2	-	-	-	-	-	-	-	-	-	-	-	1
Instituto Nacional de Salud	14	4	10	-	2.6	-	1	-	-	-	6	2	2	-	-	1	1
Essalud	16	3	13	-	2.9	-	-	-	-	-	-	1	-	-	-	5	8
Consultorio particular	154	77	77	-	28.3	-	-	7	25	-	67	34	6	65	-	19	5

P= Positivo, N= Negativo, C= Contaminado, NV= No viable, NS= No solicitado

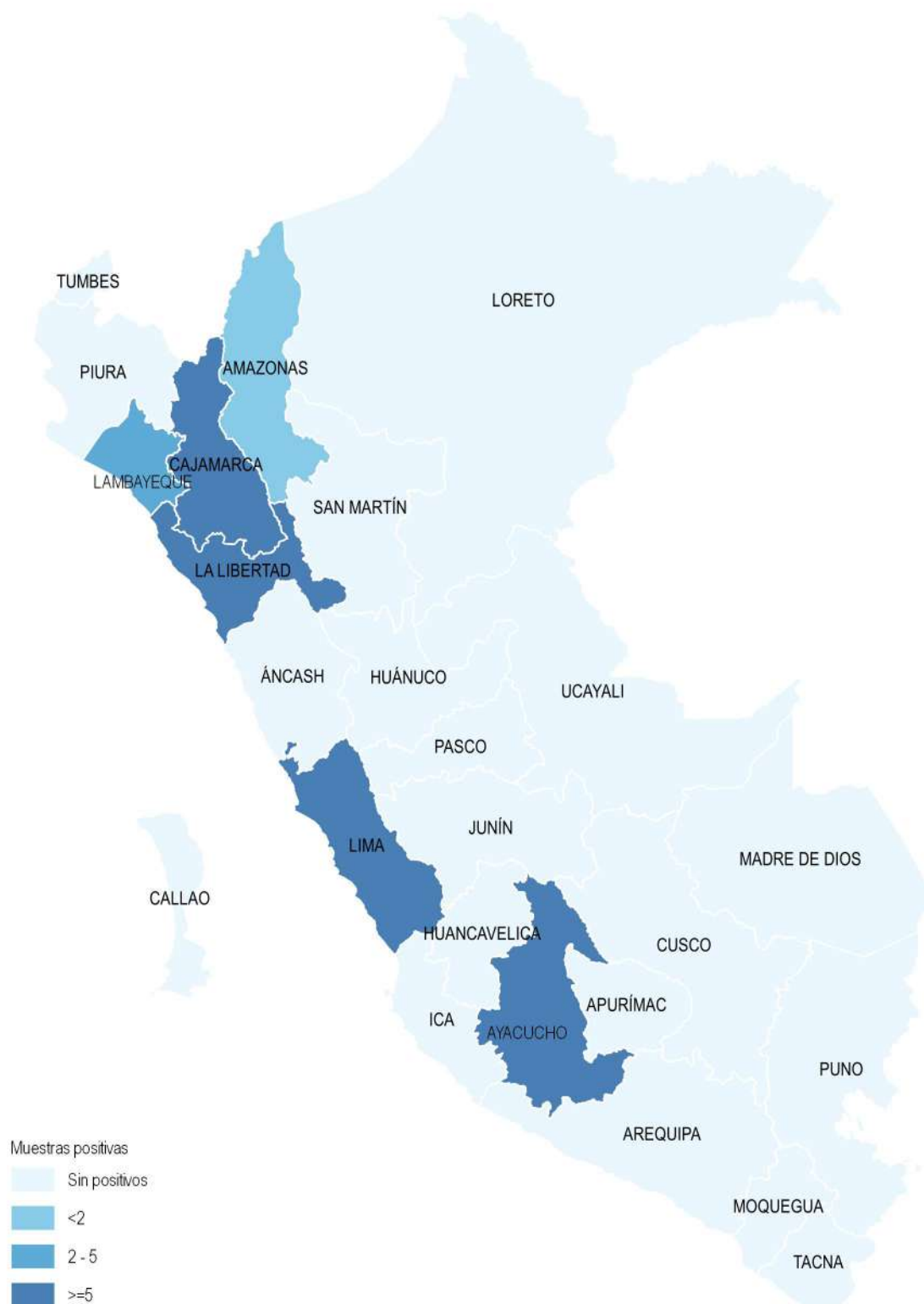
1/ No especifica el origen de la muestra

Fuente: Instituto Nacional de Salud, Centro Nacional de Salud Pública - Netlab, 2021

Elaboración: Oficina Ejecutiva de Estadística e Informática - OGIS

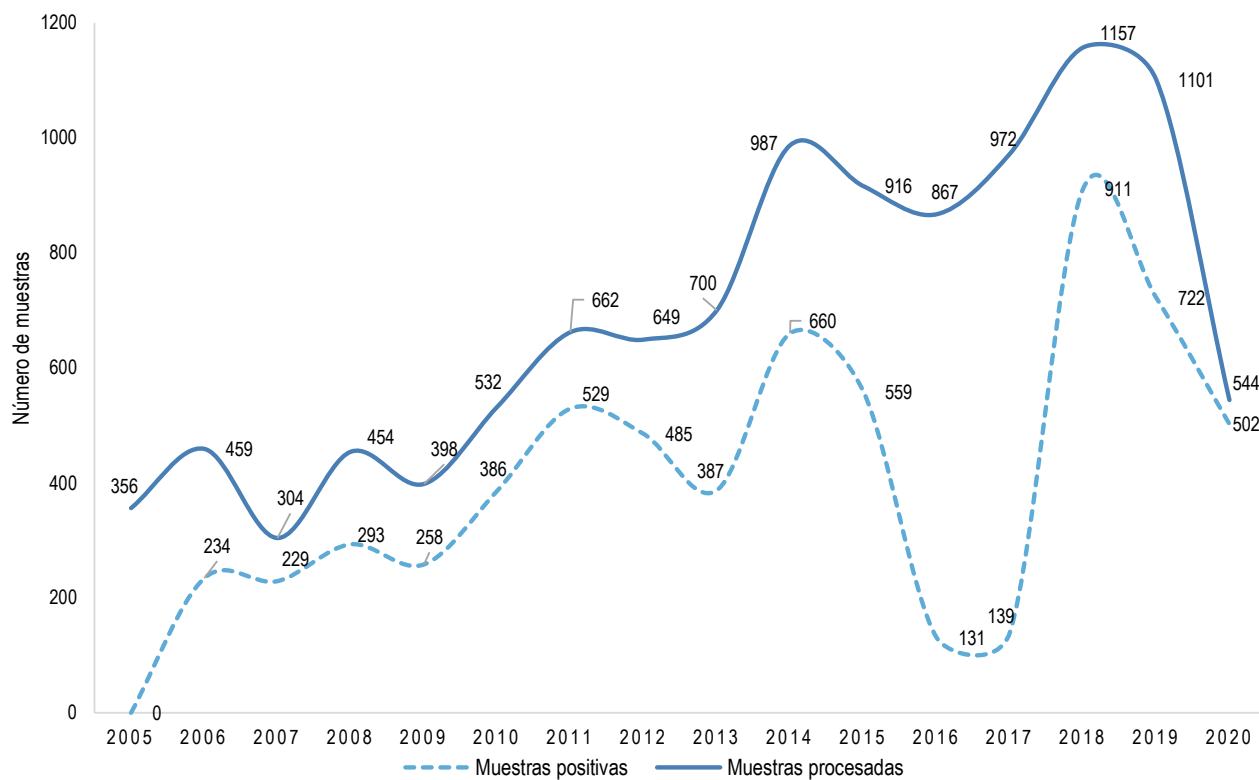
Fecha de descarga: julio de 2021 de la base de datos Netlab v1

Mapa 1.21 Distribución de muestras positivas para diagnóstico de micosis producidas por hongos según departamentos, INS, 2020



Fuente: Instituto Nacional de Salud, Centro Nacional de Salud Pública, Netlab, 2021
Elaboración: Oficina Ejecutiva de Estadística e Informática, OGIS

Gráfico 1.11. Tendencia de muestras procesadas y positivas para el diagnóstico de micosis, Instituto Nacional de Salud (INS), 2005-2020



Fuente: Instituto Nacional de Salud, Centro Nacional de Salud Pública - Netlab, 2021

Elaboración: Oficina Ejecutiva de Estadística e Informática - OGIS

Fecha de descarga: julio de 2021 de la base de datos Netlab v1

Cuadro 1.76. Muestras procesadas para el diagnóstico de Epstein Barr por tipo de examen según mes de ingreso al Instituto Nacional de Salud (INS), 2020

MES	Número de muestras únicas ingresadas				Tipo de examen				
	Total	Sexo		%	ELISA INDIRECTA EBNA IgG P	ELISA INDIRECTA EBNA IgM N	ELISA INDIRECTA IGM EPSTEIN BARR N	ELISA INDIRECTA VCA IgG N	ELISA INDIRECTA VCA IgM N
		fem.	masc.						
Total	27	12	15	100.0	7	1	12	1	14
Enero	4	1	3	14.8	-	-	-	-	4
Febrero	6	3	3	22.2	3	-	-	-	6
Marzo	4	3	1	14.8	4	-	1	-	3
Abril	0	-	-	0.0	-	-	-	-	-
Mayo	1	1	-	3.7	-	1	-	-	-
Junio	0	-	-	0.0	-	-	-	-	-
Julio	0	-	-	0.0	-	-	-	-	-
Agosto	0	-	-	0.0	-	-	-	-	-
Septiembre	1	-	1	3.7	-	-	-	1	1
Octubre	2	-	2	7.4	-	-	2	-	-
Noviembre	5	2	3	18.5	-	-	5	-	-
Diciembre	4	2	2	14.8	-	-	4	-	-

P= Positivo, N= Negativo

Fuente: Instituto Nacional de Salud, Centro Nacional de Salud Pública - Netlab, 2021

Elaboración: Oficina Ejecutiva de Estadística e Informática - OGIS

Fecha de descarga: julio de 2021 de la base de datos Netlab v1

Cuadro 1.77. Muestras procesadas para el diagnóstico de Eipstein Barr por tipo de examen según DISA - DIRESA / otras instituciones remitentes al Instituto Nacional de Salud (INS), 2020

DISA - DIRESA / OTRAS INSTITUCIONES	Número de muestras únicas ingresadas				Tipo de examen				
	Total	Sexo		%	ELISA INDIRECTA EBNA IgG P	ELISA INDIRECTA EBNA IgM N	ELISA INDIRECTA IGM EPSTEIN BARR N	ELISA INDIRECTA VCA IgG N	ELISA INDIRECTA VCA IgM N
		fem.	masc.						
Total	27	12	15	100.0	7	1	12	1	14
Cajamarca	1	1	-	3.7	-	-	-	-	1
Callao	1	1	-	3.7	1	-	-	-	1
Cusco	1	1	-	3.7	1	-	-	-	1
La Libertad	2	-	2	7.4	-	-	-	-	2
Lambayeque	7	4	3	25.9	-	-	7	-	-
Lima Sur	5	1	4	18.5	1	1	1	-	3
Lima Este	1	-	1	3.7	-	-	1	-	-
Lima Ciudad	3	2	1	11.1	2	-	1	1	2
Luciano Castillo - Piura	1	1	-	3.7	-	-	-	-	1
Piura	1	-	1	3.7	-	-	1	-	-
Instituto Nacional de Salud	2	1	1	7.4	2	-	-	-	2
Consultorio Particular	2	-	2	7.4	-	-	1	-	1

P= Positivo, N= Negativo

Fuente: Instituto Nacional de Salud, Centro Nacional de Salud Pública - Netlab, 2021

Elaboración: Oficina Ejecutiva de Estadística e Informática - OGIS

Fecha de descarga: julio de 2021 de la base de datos Netlab v1

LABORATORIO DE SARAMPIÓN Y RUBÉOLA

Cuadro 1.78. Muestras procesadas para el diagnóstico de herpes I por tipo de examen según mes de ingreso al Instituto Nacional de Salud (INS), 2020

MES	Número de muestras únicas ingresadas					Tipo de examen	
						Elisa indirecta IgM herpes I	
	Total	Sexo		NE 1/	%	N	
		fem.	masc.				
Total	620	444	155	21	100.0	618	1
Enero	52	43	8	1	8.4	52	-
Febrero	43	31	12	-	6.9	43	-
Marzo	51	40	9	2	8.2	51	-
Abril	22	15	6	1	3.5	22	-
Mayo	53	44	9	-	8.5	53	-
Junio	21	14	7	-	3.4	21	-
Julio	18	9	7	2	2.9	18	-
Agosto	42	29	13	-	6.8	41	1
Septiembre	81	70	11	-	13.1	81	-
Octubre	103	71	28	4	16.6	103	-
Noviembre	68	52	12	4	11.0	67	-
Diciembre	66	26	33	7	10.6	66	-

P= Positivo, N= Negativo

1/ No especifica el origen de la muestra

Fuente: Instituto Nacional de Salud, Centro Nacional de Salud Pública - Netlab, 2021

Elaboración: Oficina Ejecutiva de Estadística e Informática - OGIS

Fecha de descarga: julio de 2021 de la base de datos Netlab v1

Cuadro 1.79. Muestras procesadas para el diagnóstico de herpes I por tipo de examen según DISA - DIRESA/ otras instituciones remitentes al Instituto Nacional de Salud (INS), 2020

DISA - DIRESA/ OTRAS INSTITUCIONES	Número de muestras únicas ingresadas					Tipo de examen	
						Elisa indirecta IgM herpes I	
	Total	Sexo		NE 1/	%	N	P
		fem.	masc.				
Total	620	444	155	21	100.0	618	1
Amazonas	1	1	-	-	0.2	1	-
Ancash	1	1	-	-	0.2	1	-
Apurímac	8	4	4	-	1.3	8	-
Arequipa	1	-	1	-	0.2	1	-
Ayacucho	10	5	5	-	1.6	10	-
Cajamarca	8	6	1	1	1.3	8	-
Cusco	22	5	12	5	3.5	22	-
Huancavelica	6	2	4	-	1.0	6	-
Huánuco	2	1	1	-	0.3	1	-
Jaén - Cajamarca	7	3	4	-	1.1	7	-
Junín	94	42	46	6	15.2	94	-
La Libertad	14	6	8	-	2.3	14	-
Lambayeque	17	9	7	1	2.7	17	-
Lima Sur	28	11	16	1	4.5	28	-
Lima Provincias	23	12	10	1	3.7	23	-
Lima Ciudad	23	12	8	3	3.7	23	-
Loreto	5	2	2	1	0.8	5	-
Luciano Castillo - Piura	2	2	-	-	0.3	2	-
Moquegua	2	1	1	-	0.3	2	-
Piura	30	16	12	2	4.8	30	-
Tacna	5	2	3	-	0.8	5	-
Ucayali	307	300	7	-	49.5	306	1
Instituto Nacional de Salud	2	1	1	-	0.3	2	-
Consultorio particular	2	-	2	-	0.3	2	-

P= Positivo, N= Negativo

1/ No especifica el origen de la muestra

Fuente: Instituto Nacional de Salud, Centro Nacional de Salud Pública - Netlab, 2021

Elaboración: Oficina Ejecutiva de Estadística e Informática - OGIS

Fecha de descarga: julio de 2021 de la base de datos Netlab v1

Cuadro 1.80. Muestras procesadas para el diagnóstico de herpes II por tipo de examen según mes de ingreso al Instituto Nacional de Salud (INS), 2020

MES	Número de muestras únicas ingresadas					Tipo de examen	
	Total	Sexo		NE 1/	%	Elisa indirecta IgM herpes II	
		fem.	masc.			N	
Total	489	332	138	19	100.0	489	
Enero	47	38	8	1	9.6	47	
Febrero	42	30	12	-	8.6	42	
Marzo	48	36	9	3	9.8	48	
Abril	21	14	6	1	4.3	21	
Mayo	53	44	9	-	10.8	53	
Junio	20	13	7	-	4.1	20	
Julio	18	9	7	2	3.7	18	
Agosto	42	29	12	1	8.6	42	
Septiembre	35	24	11	-	7.2	35	
Octubre	99	68	27	4	20.2	99	
Noviembre	19	7	10	2	3.9	19	
Diciembre	45	20	20	5	9.2	45	

P= Positivo, N = Negativo, VL= Valor límite o indeterminado

1/ No especifica el origen de la muestra

Fuente: Instituto Nacional de Salud, Centro Nacional de Salud Pública - Netlab, 2021

Elaboración: Oficina Ejecutiva de Estadística e Informática - OGIS

Fecha de descarga: julio de 2021 de la base de datos Netlab v1

Cuadro 1.81. Muestras procesadas para el diagnóstico de herpes II por tipo de examen según DISA - DIRESA/ otras instituciones remitentes al Instituto Nacional de Salud (INS), 2020

DISA - DIRESA/ OTRAS INSTITUCIONES	Número de muestras únicas ingresadas					Tipo de examen	
	Total	Sexo		NE 1/	%	Elisa indirecta IgM herpes II	N
		fem.	masc.				
Total	489	332	138	19	100.0	489	
Amazonas	1	1	-	-	0.2	1	
Ancash	1	1	-	-	0.2	1	
Apurímac	7	4	3	-	1.4	7	
Arequipa	1		1	-	0.2	1	
Ayacucho	8	3	5	-	1.6	8	
Cajamarca	7	5	1	1	1.4	7	
Cusco	18	5	9	4	3.7	18	
Huancavelica	5	2	3	-	1.0	5	
Jaén - Cajamarca	7	3	4	-	1.4	7	
Junín	84	38	41	5	17.2	84	
La Libertad	13	5	8	-	2.7	13	
Lambayeque	16	9	6	1	3.3	16	
Lima Sur	26	11	14	1	5.3	26	
Lima Provincias	20	10	9	1	4.1	20	
Lima Ciudad	20	10	8	2	4.1	20	
Loreto	5	2	2	1	1.0	5	
Luciano Castillo - Piura	2	2	-	-	0.4	2	
Moquegua	1	-	1	-	0.2	1	
Piura	26	12	12	2	5.3	26	
Tacna	3	1	2	-	0.6	3	
Ucayali	214	207	6	1	43.8	214	
Intituto Nacional de Salud	2	1	1	-	0.4	2	
Consultorio particular	2	-	2	-	0.4	2	

P= Positivo, N= Negativo, VL= Valor límite o indeterminado

1/ No especifica el origen de la muestra

Fuente: Instituto Nacional de Salud, Centro Nacional de Salud Pública - Netlab, 2021

Elaboración: Oficina Ejecutiva de Estadística e Informática - OGIS

Fecha de actualización: 15 de agosto de 2021

Cuadro 1.82. Muestras procesadas para el diagnóstico de parvovirus b19 por tipo de examen según mes de ingreso al Instituto Nacional de Salud (INS), 2020

MES	Número de muestras únicas ingresadas				Tipo de examen		
					Elisa indirecta IgG		Elisa indirecta IgM
	Total	Sexo		%	N	N	P
		Fem.	Masc.				
Total	8	3	5	100.0	2	7	1
Enero	0	-	-	0.0	-	-	-
Febrero	1	1	-	12.5	1	-	1
Marzo	1	-	1	12.5	1	1	-
Abril	0	-	-	0.0	-	-	-
Mayo	0	-	-	0.0	-	-	-
Junio	0	-	-	0.0	-	-	-
Julio	0	-	-	0.0	-	-	-
Agosto	0	-	-	0.0	-	-	-
Septiembre	1	-	1	12.5	-	1	-
Octubre	2	-	2	25.0	-	2	-
Noviembre	3	2	1	37.5	-	3	-
Diciembre	0	-	-	0.0	-	-	-

P= Positivo, N= Negativo

Fuente: Instituto Nacional de Salud, Centro Nacional de Salud Pública - Netlab, 2020

Elaboración: Oficina Ejecutiva de Estadística e Informática - OGIS

Fecha de descarga: julio de 2021 de la base de datos Netlab v1

Cuadro 1.83. Muestras procesadas para el diagnóstico de parvovirus b19 por tipo de examen según DISA - DIRESA/ otras instituciones remitentes al Instituto Nacional de Salud (INS), 2020

DISA - DIRESA/ OTRAS INSTITUCIONES	Número de muestras únicas ingresadas				Tipo de examen		
					Elisa indirecta IgG		Elisa indirecta IgM
	Total	Sexo		%	N	N	P
		Fem.	Masc.				
Total	8	3	5	100.0	2	7	1
Lambayeque	6	2	4	75.0	-	6	-
Lima Ciudad	1	-	1	12.5	1	1	-
Essalud	1	1	-	12.5	1	-	1

P= Positivo, N= Negativo

Fuente: Instituto Nacional de Salud, Centro Nacional de Salud Pública - Netlab, 2020

Elaboración: Oficina Ejecutiva de Estadística e Informática - OGIS

Fecha de descarga: julio de 2021 de la base de datos Netlab v1

Cuadro 1.84. Muestras procesadas para el diagnóstico de rubéola por tipo de examen según mes de ingreso al Instituto Nacional de Salud (INS), 2020

MES	Número de muestras únicas ingresadas					Tipo de examen		
						Elisa IgM	Elisa IgG	PCR Tiempo real
	Total	Sexo		NE 1/	%			
		Fem.	Masc.					
						N	N	N
Total	956	619	314	23	100.0	871	1	1
Enero	152	91	60	1	15.9	104	1	-
Febrero	120	71	49	-	12.6	97	-	-
Marzo	116	78	35	3	12.1	107	-	-
Abril	23	16	6	1	2.4	23	-	-
Mayo	52	43	9	-	5.4	52	-	-
Junio	24	14	10	-	2.5	24	-	-
Julio	45	18	24	3	4.7	44	-	1
Agosto	53	36	17	-	5.5	53	-	-
Septiembre	83	72	11	-	8.7	83	-	-
Octubre	110	75	31	4	11.5	110	-	-
Noviembre	105	72	29	4	11.0	101	-	-
Diciembre	73	33	33	7	7.6	73		

N= Negativo

1/ No especifica el origen de la muestra

Fuente: Instituto Nacional de Salud, Centro Nacional de Salud Pública - Netlab, 2021

Elaboración: Oficina Ejecutiva de Estadística e Informática - OGIS

Fecha de descarga: julio de 2021 de la base de datos Netlab v1

Cuadro 1.85. Muestras procesadas para el diagnóstico de rubéola por tipo de examen según DISA - DIRESA/ otras instituciones remitentes al Instituto Nacional de Salud (INS), 2020

DISA - DIRESA/ OTRAS INSTITUCIONES	Número de muestras únicas ingresadas					Tipo de examen		
						Elisa IgM	Elisa IgG	PCR/Tiempo real
	Total	Sexo		NE 1/	%			
		Fem.	Masc.					
						N	N	N
Total	956	619	314	23	100.0	871	2	4
Amazonas	1	1	-	-	0.1	1	-	-
Ancash	3	2	1	-	0.3	2	-	-
Apurímac	11	4	7	-	1.2	10	-	-
Arequipa	21	4	17	-	2.2	21	-	-
Ayacucho	19	10	9	-	2.0	16	-	-
Bagua - Amazonas	1	-	1	-	0.1	1	-	-
Cajamarca	37	16	20	1	3.9	32	-	-
Callao	7	3	4	-	0.7	6	-	1
Cusco	40	14	20	6	4.2	40	-	-
Huancavelica	12	6	6	-	1.3	12	-	-
Huánuco	4	3	1	-	0.4	3	-	-
Ica	7	4	3	-	0.7	7	-	-
Jaén - Cajamarca	13	7	6	-	1.4	12	-	-
Junín	155	62	87	6	16.2	153	-	-
La Libertad	16	8	8	-	1.7	12	-	1
Lambayeque	37	22	14	1	3.9	34	-	-
Lima Sur	51	24	25	2	5.3	38	-	-
Lima Este	10	7	3	-	1.0	9	-	1
Lima Provincias	28	15	12	1	2.9	28	-	-
Lima Ciudad	48	24	21	3	5.0	44	2	1
Loreto	16	6	9	1	1.7	16	-	-
Luciano Castillo - Piura	7	3	4	-	0.7	5	-	-
Moquegua	2	1	1	-	0.2	1	-	-
Pasco	1	1	-	-	0.1	1	-	-
Piura	40	22	16	2	4.2	39	-	-
Puno	1	-	1	-	0.1	1	-	-
San Martín	3	1	2	-	0.3	3	-	-
Tacna	5	2	3	-	0.5	5	-	-
Ucayali	355	347	8	-	37.1	314	-	-
Instituto Nacional de Salud	1	-	1	-	0.1	1	-	-
Essalud	2	-	2	-	0.2	2	-	-
Consultorio particular	2	-	2	-	0.2	2	-	-

N= Negativo

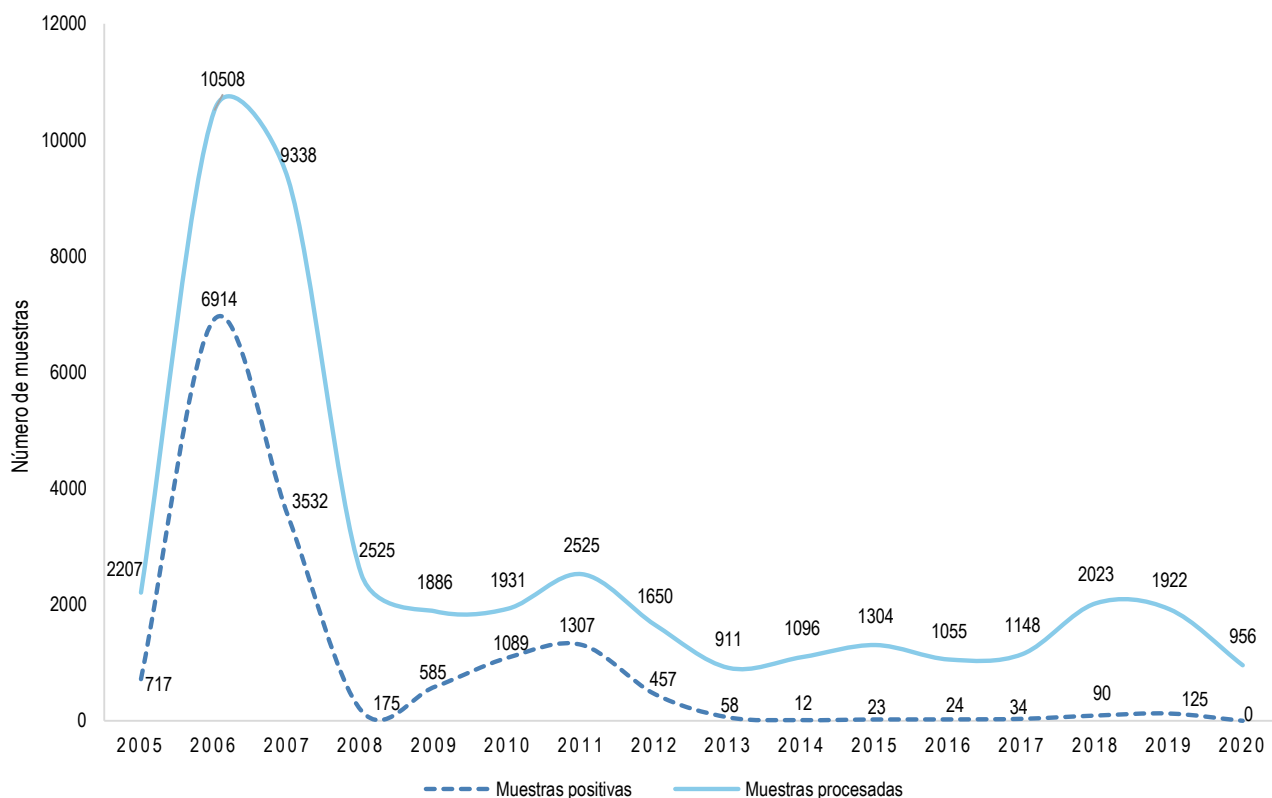
1/ No especifica el origen de la muestra

Fuente: Instituto Nacional de Salud, Centro Nacional de Salud Pública - Netlab, 2021

Elaboración: Oficina Ejecutiva de Estadística e Informática - OGIS

Fecha de descarga: julio de 2021 de la base de datos Netlab v1

Gráfico 1.12. Tendencia de muestras procesadas y positivas para el diagnóstico de rubeola, Instituto Nacional de Salud (INS), 2005-2020



Fuente: Instituto Nacional de Salud, Centro Nacional de Salud Pública - Netlab, 2021

Elaboración: Oficina Ejecutiva de Estadística e Informática - OGIS

Fecha de descarga: julio de 2021 de la base de datos Netlab v1

Cuadro 1.86. Muestras procesadas para el diagnóstico de sarampión por tipo de examen según mes de ingreso al Instituto Nacional de Salud (INS), 2020

MES	Número de muestras únicas ingresadas				Elisa IgG	Elisa IgM	PCR Tiempo real
	Total	Sexo		%			
		Fem.	Masc.				
					N	N	N
Total	278	202	76	100.0	2	247	29
Enero	49	15	34	17.6	1	34	14
Febrero	32	17	15	11.5	-	24	8
Marzo	12	5	7	4.3	-	10	2
Abril	8	8	-	2.9	-	8	-
Mayo	4	4	-	1.4	-	4	-
Junio	0	-	-	0.0	-	-	-
Julio	6	3	3	2.2	-	5	1
Agosto	1	1	-	0.4	-	1	-
Septiembre	65	63	2	23.4	-	65	-
Octubre	32	27	5	11.5	-	32	-
Noviembre	61	52	9	21.9	1	58	2
Diciembre	8	7	1	2.9	-	6	2

N= Negativo

Fuente: Instituto Nacional de Salud, Centro Nacional de Salud Pública - Netlab, 2021

Elaboración: Oficina Ejecutiva de Estadística e Informática - OGIS

Fecha de descarga: julio de 2021 de la base de datos Netlab v1

Cuadro 1.87. Muestras procesadas para el diagnóstico de sarampión por tipo de examen según DISA - DIRESA/ otras instituciones remitentes al Instituto Nacional de Salud (INS), 2020

DISA - DIRESA/ OTRAS INSTITUCIONES	Número de muestras únicas ingresadas				Eliasa IgG	Eliasa IgM	PCR Tiempo real
	Total	Sexo		%			
		Fem.	Masc.				
					N	N	N
Total	278	202	76	99.640	2	247	29
Ancash	2	1	1	0.7	-	2	-
Apurímac	1	-	1	0.4	-	1	-
Arequipa	25	6	19	9.0	-	20	5
Ayacucho	1	1	-	0.4	-	1	-
Bagua - Amazonas	1	-	1	0.4	-	1	-
Cajamarca	1	1	-	0.4	-	1	-
Callao	10	3	7	3.6	-	5	5
Cusco	2	1	1	0.7	-	2	-
Huancavelica	3	3	-	1.1	-	3	-
Huánuco	2	1	1	0.7	-	2	-
Jaén - Cajamarca	2	-	2	0.7	-	1	1
Junín	7	4	3	2.5	-	7	-
La Libertad	2	2	-	0.7	-	1	1
Lambayeque	2	1	1	0.7	-	2	-
Lima Sur	9	8	1	3.2	-	7	2
Lima Este	10	6	4	3.6	-	9	1
Lima Provincias	1	1	-	0.4	-	1	-
Lima Ciudad	31	15	16	11.2	2	21	8
Loreto	2	1	1	0.7	-	2	-
Luciano Castillo - Piura	4	2	2	1.4	-	2	2
Pasco	1	1	-	0.0	-	1	-
Piura	8	4	4	2.9	-	6	2
Puno	2	-	2	0.7	-	1	1
San Martín	3	1	2	1.1	-	3	-
Ucayali	143	139	4	51.4	-	143	-
Essalud	3	-	3	1.1	-	2	1

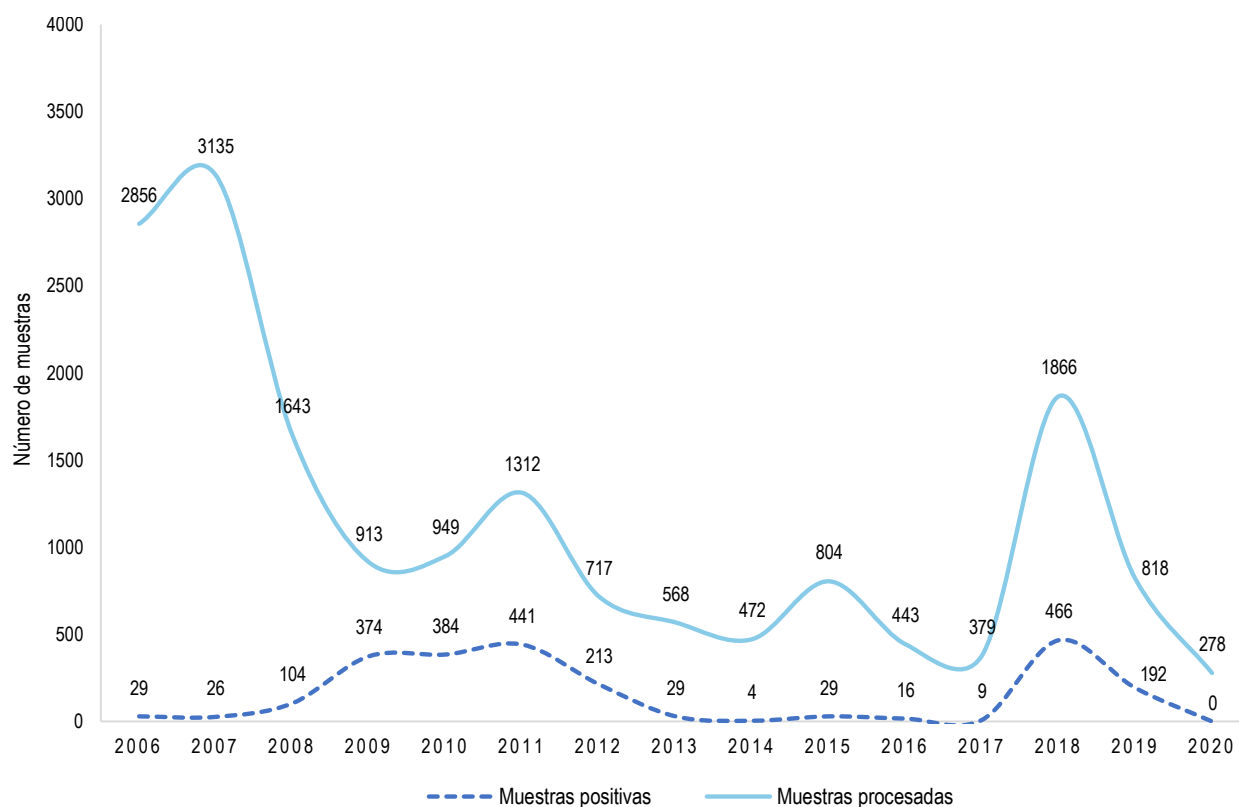
P= Positivo, N= Negativo, VL= Valor límite o indeterminado

Fuente: Instituto Nacional de Salud, Centro Nacional de Salud Pública - Netlab, 2021

Elaboración: Oficina Ejecutiva de Estadística e Informática - OGIS

Fecha de descarga: julio de 2021 de la base de datos Netlab v1

Gráfico 1.13. Tendencia de muestras procesadas y positivas para el diagnóstico de sarampión, Instituto Nacional de Salud (INS), 2006-2020



Fuente: Instituto Nacional de Salud, Centro Nacional de Salud Pública - Netlab, 2021

Elaboración: Oficina Ejecutiva de Estadística e Informática - OGIS

Fecha de descarga: julio de 2021 de la base de datos Netlab v1

Cuadro 1.88. Muestras procesadas para el diagnóstico de varicela por tipo de examen según mes de ingreso al Instituto Nacional de Salud (INS), 2020

MES	Número de muestras únicas ingresadas				Tipo de examen				
					ELISA IgG Varicela		ELISA IgM Varicela		PCR en tiempo real Varicela
	Total	Sexo		N	P	N	P	N	
		Fem.	Masc.						%
Total	11	3	8	100.0	1	7	5	4	1
Enero	1	-	1	9.1	-	1	-	1	-
Febrero	6	1	5	54.5	1	4	4	1	1
Marzo	3	1	2	27.3	-	2	1	1	-
Abril	0	-	-	0.0	-	-	-	-	-
Mayo	0	-	-	0.0	-	-	-	-	-
Junio	0	-	-	0.0	-	-	-	-	-
Julio	1	1	-	9.1	-	-	-	1	-
Agosto	0	-	-	0.0	-	-	-	-	-
Septiembre	0	-	-	0.0	-	-	-	-	-
Octubre	0	-	-	0.0	-	-	-	-	-
Noviembre	0	-	-	0.0	-	-	-	-	-
Diciembre	0	-	-	0.0	-	-	-	-	-

P= Positivo, N= Negativo, VL= Valor límite o indeterminado

Fuente: Instituto Nacional de Salud, Centro Nacional de Salud Pública - Netlab, 2021

Elaboración: Oficina Ejecutiva de Estadística e Informática - OGIS

Fecha de descarga: julio de 2021 de la base de datos Netlab v1

Cuadro 1.89. Muestras procesadas para el diagnóstico de varicela por tipo de examen según DISA - DIRESA/ otras instituciones remitentes al Instituto Nacional de Salud (INS), 2020

DISA - DIRESA/ OTRAS INSTITUCIONES	Número de muestras únicas ingresadas				Tipo de examen				
					ELISA IgG Varicela		ELISA IgM Varicela		PCR en tiempo real Varicela
	Total	Sexo		%	N	P	N	P	N
		Fem.	Masc.						
Total	11	3	8	100.0	1	7	5	4	1
Arequipa	2	-	2	18.2	1	-	1	-	1
Ayacucho	1	1	-	9.1	-	-	-	1	-
Huancavelica	1	-	1	9.1	-	-	1	-	-
Junín	3	1	2	27.3	-	3	3	-	-
Luciano Castillo - Piura	2	-	2	18.2	-	2	-	2	-
Tacna	1	-	1	9.1	-	1	-	1	-
Consultorio particular	1	1	-	9.1	-	1	-	-	-

P= Positivo, N= Negativo

Fuente: Instituto Nacional de Salud, Centro Nacional de Salud Pública - Netlab, 2021

Elaboración: Oficina Ejecutiva de Estadística e Informática - OGIS

Fecha de descarga: julio de 2021 de la base de datos Netlab v1

LABORATORIO DE VTS - VIH/SIDA

Cuadro 1.90. Muestras procesadas para el diagnóstico de infección por citomegalovirus por tipo de examen según mes de ingreso al Instituto Nacional de Salud (INS), 2020

MES	Número de muestras únicas ingresadas					Tipo de examen					
						ELISA para detección de anticuerpos IgG			ELISA para detección de anticuerpos IgM		
	Total	Sexo		NE 1/	%	I	N	P	I	N	P
		fem.	masc.								
Total	940	616	297	27	100.0	5	27	906	60	714	165
Enero	156	101	54	1	16.6	2	8	145	11	128	17
Febrero	116	68	48	-	12.3	-	3	112	7	77	31
Marzo	114	73	36	5	12.1	-	2	112	10	78	26
Abril	28	18	9	1	3.0	-	-	28	-	24	4
Mayo	57	48	9	-	6.1	-	-	57	1	48	8
Junio	25	16	9	-	2.7	-	2	23	2	17	6
Julio	23	12	9	2	2.4	1	1	21	1	14	8
Agosto	57	39	16	2	6.1	-	-	57	3	46	8
Septiembre	84	71	13	-	8.9	-	2	82	5	62	17
Octubre	112	75	32	5	11.9	1	2	109	10	85	17
Noviembre	97	68	25	4	10.3	1	3	93	7	75	15
Diciembre	71	27	37	7	7.6	-	4	67	3	60	8

P= Positivo, N= Negativo, I= Indeterminado

1/ No especifica el origen de la muestra

Fuente: Instituto Nacional de Salud, Centro Nacional de Salud Pública - Netlab, 2021

Elaboración: Oficina Ejecutiva de Estadística e Informática - OGIS

Fecha de descarga: julio de 2021 de la base de datos Netlab v1

Cuadro 1.91. Muestras procesadas para el diagnóstico de infección por citomegalovirus por tipo de examen según DISA - DIRESA/ otras instituciones remitentes al Instituto Nacional de Salud (INS), 2020

DISA - DIRESA/ OTRAS INSTITUCIONES	Número de muestras únicas ingresadas					Tipo de examen					
						ELISA para detección de anticuerpos IgG			ELISA para detección de anticuerpos IgM		
	Total	Sexo		NE 1/	%	I	N	P	I	N	P
		fem.	masc.								
Total	940	616	297	27	100.0	5	27	906	60	714	165
Amazonas	1	1	-	-	0.1	-	-	1	-	1	-
Ancash	1	1	-	-	0.1	-	-	1	-	-	1
Apurímac	10	4	6	-	1.1	-	-	10	-	7	3
Arequipa	2	-	2	-	0.2	-	1	1	-	2	-
Ayacucho	19	9	10	-	2.0	-	1	18	-	16	3
Cajamarca	40	16	22	2	4.3	-	1	39	1	30	9
Callao	1	-	1	-	0.1	-	-	1	-	1	-
Cusco	63	21	36	6	6.7	-	4	59	4	42	17
Huancavelica	7	3	4	-	0.7	-	-	7	-	7	-
Huánuco	2	1	1	-	0.2	-	-	2	-	1	1
Ica	7	4	3	-	0.7	-	1	6	-	7	-
Jaén - Cajamarca	11	7	4	-	1.2	-	1	10	-	8	3
Junín	119	49	63	7	12.7	-	-	119	2	107	10
La Libertad	17	7	10	-	1.8	1	1	15	2	10	5
Lambayeque	76	44	31	1	8.1	1	4	71	6	42	28
Lima Sur	50	20	28	2	5.3	2	3	45	2	45	3
Lima Provincias	27	14	12	1	2.9	-	2	25	1	22	4
Lima Ciudad	27	14	10	3	2.9	-	1	26	-	24	3
Loreto	3	2	1	-	0.3	-	-	3	-	2	1
Luciano Castillo - Piura	6	3	3	-	0.6	-	-	6	-	5	1
Moquegua	2	1	1	-	0.2	-	-	2	-	2	-
Piura	53	24	25	4	5.6	-	4	49	4	39	10
Tacna	8	3	5	-	0.9	-	-	8	-	8	-
Ucayali	381	367	13	1	40.5	1	3	376	38	279	63
Instituto Nacional de Salud	3	1	2	-	0.3	-	-	3	-	3	-
Consultorio particular	4	-	4	-	0.4	-	-	3	-	4	-

P= Positivo, N= Negativo, I= Indeterminado

1/ No especifica el origen de la muestra

Fuente: Instituto Nacional de Salud, Centro Nacional de Salud Pública - Netlab, 2021

Elaboración: Oficina Ejecutiva de Estadística e Informática - OGIS

Fecha de descarga: julio de 2021 de la base de datos Netlab v1

Cuadro 1.92. Muestras procesadas para el diagnóstico de infección por el virus de inmunodeficiencia humana (SIDA) por tipo de examen según mes de ingreso al Instituto Nacional de Salud (INS), 2020

MES	Número de muestras únicas ingresadas					Tipo de examen							
						Elisa (detección de antígenos y anticuerpos totales)			Inmunofluorescencia indirecta			Inmunoensayo en línea o Western Blot (Inmunoblot)	
	Total	Sexo		NE 1/	%	NR	R	I	N	P	I	N	P
		fem.	masc.										
Total	2,427	698	1,679	50	100.0	4	3	12	620	3256	23	75	367
Enero	348	93	253	2	14.3	1	1	-	44	535	6	17	32
Febrero	271	73	197	1	11.2	1	1	-	36	437	3	12	33
Marzo	158	35	121	2	6.5	-	-	-	9	164	2	17	121
Abril	41	6	35	-	1.7	-	-	-	-	-	3	7	73
Mayo	56	15	41	-	2.3	-	-	-	8	29	2	6	79
Junio	89	30	58	1	3.7	1	-	-	24	103	3	4	11
Julio	132	28	88	16	5.4	-	-	4	54	170	-	1	1
Agosto	237	101	134	2	9.8	-	-	3	109	310	-	-	-
Septiembre	216	72	142	2	8.9	-	-	3	68	321	-	-	-
Octubre	257	52	191	14	10.6	-	-	1	75	383	-	-	-
Noviembre	293	97	193	3	12.1	-	-	1	103	432	-	-	-
Diciembre	329	96	226	7	13.6	1	1	-	90	372	4	11	17

P= Positivo, N= Negativo, I= Indeterminado, NR= No reactivo, R= Reactivo, RD= Reactivo débil

1/ No especifica el origen de la muestra

Fuente: Instituto Nacional de Salud, Centro Nacional de Salud Pública - Netlab, 2021

Elaboración: Oficina Ejecutiva de Estadística e Informática - OGIS

Cuadro 1.93. Muestras procesadas para el diagnóstico de infección por el virus de inmunodeficiencia humana (SIDA) por tipo de examen según DISA - DIRESA/ otras instituciones remitentes al Instituto Nacional de Salud (INS), 2020

DISA - DIRESA/ OTRAS INSTITUCIONES	Número de muestras únicas ingresadas					Tipo de examen							
						Eliasa (detección de antígenos y anticuerpos totales)			Inmunofluorescencia indirecta			Inmunoensayo en línea o Western Blot (Inmunoblot)	
	Total	Sexo		NE 1/	%	NR	R	I	N	P	I	N	P
		Fem.	Masc.										
Total	2,411	698	1,679	34	100.0	4	3	12	620	3,256	23	75	367
Amazonas	123	95	26	2	5.1	-	-	2	120	75	1	6	1
Ancash	62	15	47	-	2.6	-	-	-	12	90	1	5	5
Andahuaylas - Apurímac	2	1	1	-	0.1	-	-	-	2	1	-	-	1
Apurímac	7	5	2	-	0.3	-	-	-	4	5	-	1	-
Ayacucho	3	2	1	-	0.1	-	-	-	2	2	-	1	-
Bagua - Amazonas	75	44	31	-	3.1	-	-	-	43	53	1	1	48
Cajamarca	25	6	19	-	1.0	-	-	-	-	26	-	-	8
Callao	4	1	3	-	0.2	-	-	-	-	12	-	-	-
Chanka - Apurímac	1	1	-	-	0.0	-	-	-	1	2	-	-	2
Chota - Cajamarca	6	3	3	-	0.2	-	-	1	-	8	-	-	-
Cusco	54	18	34	2	2.2	-	-	-	16	68	-	2	17
Huancavelica	18	11	7	-	0.7	-	-	-	13	9	-	4	4
Huánuco	52	14	34	4	2.2	-	-	-	18	66	1	5	7
Ica	93	29	59	5	3.9	-	-	1	19	157	1	1	10
Jaén - Cajamarca	24	7	17	-	1.0	-	-	-	10	30	-	-	3
Junín	109	24	85	-	4.5	-	-	-	30	140	2	2	20
La Libertad	162	35	127	-	6.7	-	-	-	33	205	3	15	40
Lambayeque	42	4	36	2	1.7	-	-	1	15	56	-	-	-
Lima Sur	110	30	77	3	4.6	-	-	1	23	144	2	2	12
Lima Este	331	58	270	3	13.7	1	-	1	42	536	5	5	31
Lima Provincias	76	25	51	-	3.2	-	-	-	8	121	1	-	15
Lima Ciudad	610	145	456	9	25.3	1	1	3	94	885	5	8	93
Loreto	70	24	46	-	2.9	-	-	1	21	110	-	2	9
Luciano Castillo - Piura	18	3	15	-	0.7	-	-	-	2	28	-	1	4
Madre de Dios	40	10	30	-	1.7	-	-	-	7	59	-	1	6
Moquegua	19	7	12	-	0.8	-	-	-	6	20	-	1	6
Pasco	11	5	5	1	0.5	-	-	-	3	13	-	2	2
Piura	77	19	55	3	3.2	-	-	-	31	89	-	3	11
San Martín	8	2	6	-	0.3	-	1	-	10	2	-	1	-
Tacna	2	2	2	-	0.1	-	-	-	1	1	-	2	-
Tumbes	29	5	24	-	1.2	-	-	-	1	50	-	-	-
Ucayali	134	43	91	-	5.6	-	-	1	23	189	-	4	12
Instituto Nacional de Salud	4	4	-	-	0.2	2	-	-	4	-	-	-	-
Minsa	3	-	3	-	0.1	-	-	-	3	-	-	-	-
Consultorio particular	7	3	4	-	0.3	-	1	-	3	4	-	-	-

P= Positivo, N= Negativo, I= Indeterminado, NR= No reactivo, R= Reactivo, RD= Reactivo débil

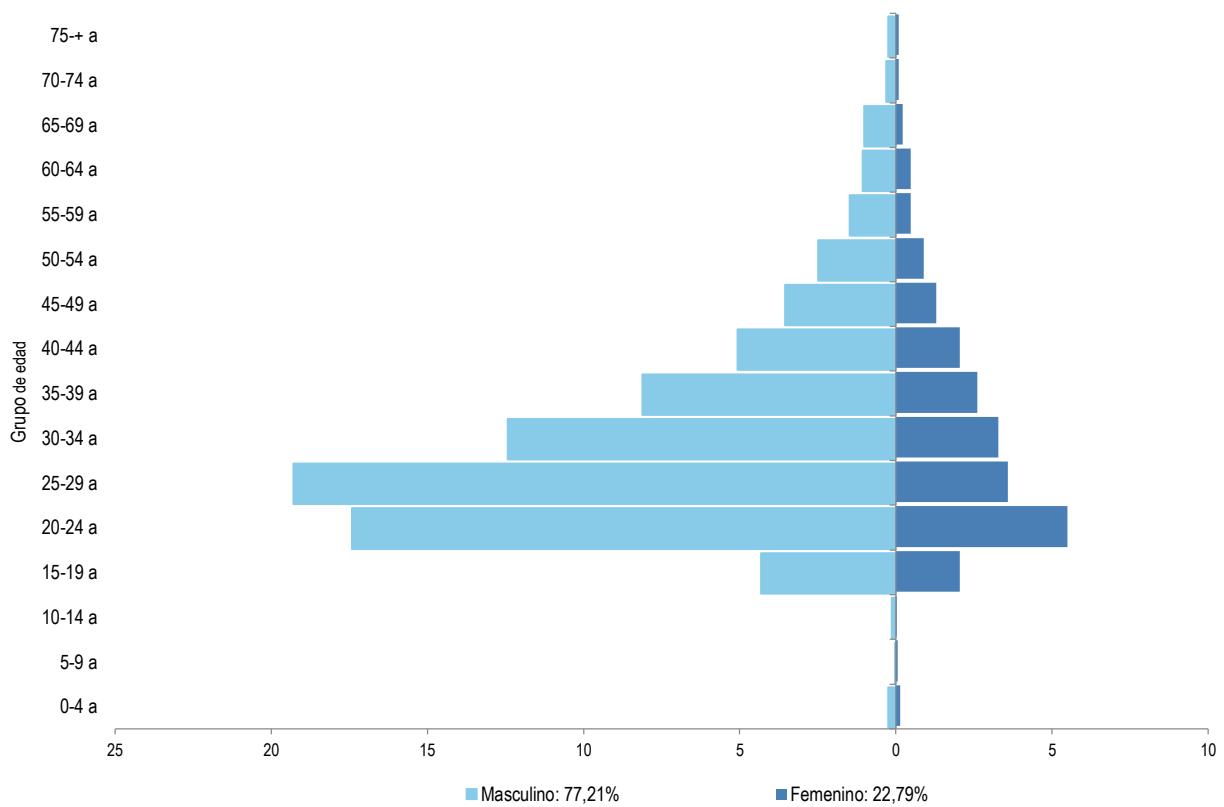
1/ No especifica el origen de la muestra

Fuente: Instituto Nacional de Salud, Centro Nacional de Salud Pública - Netlab, 2021

Elaboración: Oficina Ejecutiva de Estadística e Informática - OGIS

Fecha de descarga: julio de 2021 de la base de datos Netlab v1

Gráfico 1.14. Pirámide de pacientes con muestras positivas para infección por el virus de inmunodeficiencia humana (SIDA), Instituto Nacional de Salud (INS), 2020

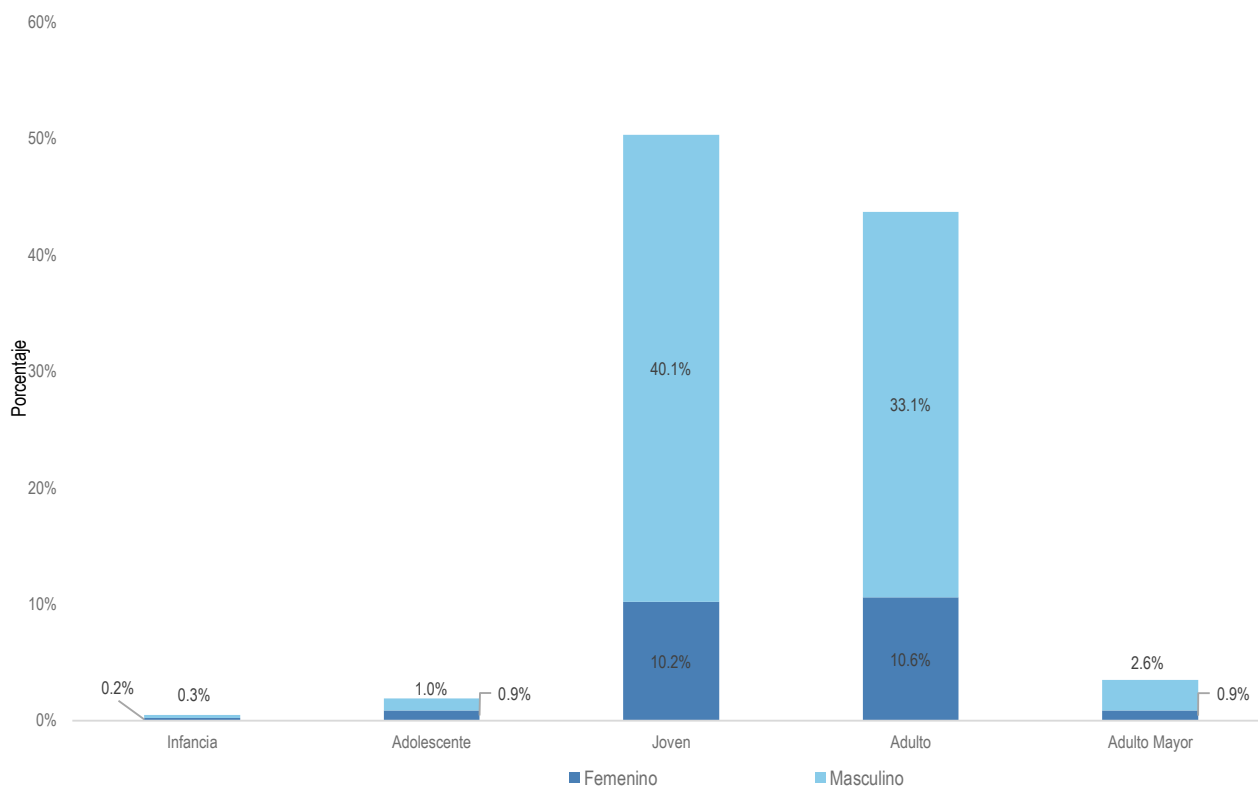


Fuente: Instituto Nacional de Salud, Centro Nacional de Salud Pública - Netlab, 2021

Elaboración: Oficina Ejecutiva de Estadística e Informática - OGIS

Fecha de descarga: julio de 2021 de la base de datos Netlab v1

Grafico 1.15. Muestras positivas para VIH (SIDA) según etapas de vida, Instituto Nacional de Salud (INS), 2020

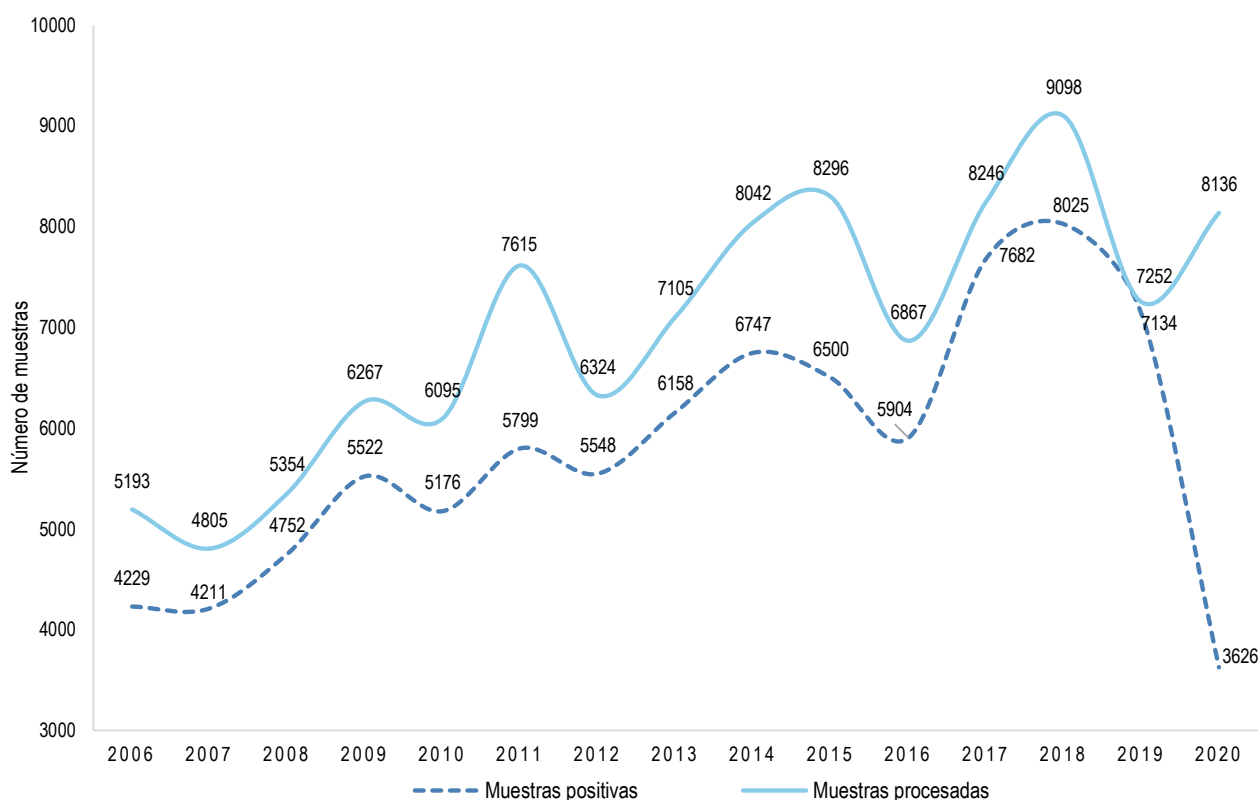


Fuente: Instituto Nacional de Salud, Centro Nacional de Salud Pública - Netlab, 2021

Elaboración: Oficina Ejecutiva de Estadística e Informática - OGIS

Fecha de descarga: julio de 2021 de la base de datos Netlab v1

Gráfico 1.16. Tendencia de muestras procesadas y positivas para el diagnóstico de VIH (SIDA), INS, 2006-2020



Fuente: Instituto Nacional de Salud, Centro Nacional de Salud Pública - Netlab, 2021

Elaboración: Oficina Ejecutiva de Estadística e Informática - OGIS

Fecha de descarga: julio de 2021 de la base de datos Netlab v1

Cuadro 1.94. Muestras procesadas para evaluar la carga viral y los linfocitos CD4/CD8 por tipo de examen según mes de ingreso al Instituto Nacional de Salud (INS), 2020

MES	Número de muestras únicas ingresadas					Tipo de examen										
						Carga viral					Recuento CD4 / CD8					
	Total	Sexo		NE 1/	%	PCR Primera Prueba		PCR Segunda Prueba			PCR Tercera Prueba			Recuento CD4 / CD8		
		Fem.	Masc.			CR	I	N	P	I	N	P	I		N	P
Total	4,478	1,559	2,902	17	100.0	1,171	1	997	48	1	536	17	1	93	2	2,010
Enero	2,806	767	2,035	4	62.7	1,171	1	81	4	-	72	2	-	16	-	1,946
Febrero	227	90	137	-	5.1	-	-	87	4	-	57	3	-	11	-	64
Marzo	90	44	45	1	2.0	-	-	41	3	-	34	1	-	4	1	-
Abril	19	10	9	-	0.4	-	-	10	-	-	5	-	-	-	-	-
Mayo	38	18	20	-	0.8	-	-	22	4	-	10	1	-	1	-	-
Junio	61	32	28	1	1.4	-	-	43	1	-	11	-	-	5	-	-
Julio	166	77	86	3	3.7	-	-	97	3	-	40	-	-	4	-	-
Agosto	185	81	101	3	4.1	-	-	118	5	1	46	1	-	6	-	-
Septiembre	178	95	82	1	4.0	-	-	105	8	-	48	3	-	5	1	-
Octubre	256	125	131	-	5.7	-	-	146	6	-	76	3	1	4	-	-
Noviembre	194	91	102	1	4.3	-	-	105	4	-	68	2	-	7	-	-
Diciembre	258	129	126	3	5.8	-	-	142	6	-	69	1	-	30	-	-

P= Positivo, N= Negativo, I= Indeterminado, CR= Con resultado

1/ No especifica el origen de la muestra

Fuente: Instituto Nacional de Salud, Centro Nacional de Salud Pública - Netlab, 2021

Elaboración: Oficina Ejecutiva de Estadística e Informática - OGIS

Fecha de descarga: julio de 2021 de la base de datos Netlab v1

Cuadro 1.95. Muestras procesadas para evaluar la carga viral y los linfocitos CD4/CD8 por tipo de examen según DISA - DIRESA/ otras instituciones remitentes al Instituto Nacional de Salud (INS), 2020

DISA - DIRESA/ OTRAS INSTITUCIONES	Número de muestras únicas ingresadas					Tipo de examen										
						Carga viral			PCR primera prueba			PCR segunda prueba			PCR tercera prueba	
	Total	Sexo		NE 1/	%	CR	I	N	P	I	N	P	I	N	P	CR
		Fem.	Masc.													
Total	4,478	1,559	2,902	17	100.0	1,171	1	997	48	1	536	17	1	93	2	2,010
Amazonas	22	8	14	-	0.5	-	-	12	5	1	4	-	-	-	-	-
Ancash	123	44	78	1	2.7	93	-	19	1	-	9	1	-	-	-	84
Andahuaylas - Apurímac	2	2	-	-	0.0	2	-	-	-	-	-	-	-	-	-	-
Apurímac	14	4	10	-	0.3	11	-	2	-	-	1	1	-	-	-	11
Arequipa	210	47	163	-	4.7	181	-	18	1	-	7	1	-	2	-	-
Ayacucho	53	18	35	-	1.2	36	-	9	1	-	3	1	-	2	1	36
Bagua - Amazonas	33	16	17	-	0.7	-	-	18	4	-	9	-	-	1	-	-
Cajamarca	9	1	8	-	0.2	-	-	7	-	-	2	1	-	-	-	-
Callao	70	29	40	1	1.6	13	-	34	-	-	20	-	-	2	-	13
Chanka - Apurímac	1	1	-	-	0.0	-	-	1	-	-	-	-	-	-	-	-
Cusco	121	41	80	-	2.7	90	-	19	-	-	6	-	-	1	-	16
Cutervo - Cajamarca	3	2	1	-	0.1	-	-	-	-	-	2	-	-	-	-	-
Huancavelica	16	2	12	2	0.4	13	-	2	-	-	1	-	-	-	-	13
Huánuco	84	22	62	-	1.9	55	-	15	-	-	6	-	-	7	-	55
Ica	89	39	50	-	2.0	-	-	42	3	-	23	-	-	3	-	18
Jaén - Cajamarca	15	7	8	-	0.3	6	-	5	1	-	2	1	-	-	-	-
Junín	142	51	91	-	3.2	117	-	15	2	-	7	1	-	-	-	-
La Libertad	181	81	97	3	4.0	-	-	61	4	-	34	-	-	3	-	68
Lambayeque	187	65	122	-	4.2	133	-	31	1	-	18	2	-	1	1	-
Lima Sur	470	169	299	2	10.5	4	-	106	8	-	53	3	1	4	-	294
Lima Este	458	157	301	-	10.2	17	-	107	2	-	57	-	-	2	-	288
Lima Provincias	107	52	55	-	2.4	47	1	28	1	-	21	-	-	6	-	47
Lima Ciudad	757	282	471	4	16.9	104	-	175	7	-	123	4	-	8	-	366
Loreto	205	86	119	-	4.6	39	-	66	1	-	41	-	-	7	-	56
Luciano Castillo - Piura	32	16	15	1	0.7	-	-	19	-	-	10	-	-	1	-	-
Madre de Dios	82	25	57	-	1.8	42	-	17	1	-	6	1	-	2	-	53
Moquegua	23	10	13	-	0.5	7	-	7	1	-	6	-	-	1	-	-
Pasco	27	11	16	-	0.6	19	-	5	-	-	1	-	-	-	-	19
Piura	46	23	21	2	1.0	-	-	28	1	-	9	-	-	8	-	-
Puno	39	8	31	-	0.9	31	-	6	-	-	2	-	-	-	-	-
San Martín	35	15	20	-	0.8	-	-	20	1	-	5	-	-	4	-	-
Tacna	61	17	44	-	1.4	57	-	3	-	-	1	-	-	-	-	-
Tumbes	12	6	6	-	0.3	-	-	9	-	-	2	-	-	1	-	-
Ucayali	260	109	151	-	5.8	-	-	63	-	-	41	-	-	2	-	154
Instituto Nacional de Salud	2	2	-	-	0.0	1	-	1	-	-	-	-	-	-	-	1
Essalud	2	1	1	-	0.0	1	-	1	-	-	-	-	-	-	-	-
Minsa	3	-	3	-	0.1	-	-	3	-	-	-	-	-	-	-	-
Consultorio particular	482	90	391	1	10.8	52	-	23	2	-	4	-	-	25	-	418

P= Positivo, N= Negativo, I= Indeterminado, CR= Con resultado

1/ No especifica el origen de la muestra

Fuente: Instituto Nacional de Salud, Centro Nacional de Salud Pública - Netlab, 2021

Elaboración: Oficina Ejecutiva de Estadística e Informática - OGIS

Fecha de descarga: julio de 2021 de la base de datos Netlab v1

Cuadro 1.96. Muestras procesadas para el diagnóstico de infecciones por virus linfotrópico humano - HTLV-1 por tipo de examen según mes de ingreso al Instituto Nacional de Salud (INS), 2020

MES	Número de muestras únicas ingresadas				Tipo de examen								
					Elisa			Inmunofluorescencia indirecta			Inmunoblot		
	Total	Sexo		%	NR	R	RD	I	N	P	I	N	P
		fem.	masc.										
Total	251	127	124	100.0	111	130	3	1	69	84	3	54	43
Enero	57	23	34	22.7	28	27	1	-	2	2	1	30	22
Febrero	73	38	35	29.1	32	39	-	-	28	33	1	5	9
Marzo	24	15	9	9.6	13	11	-	-	1	1	1	11	10
Abril	1	-	1	0.4	1	-	-	-	-	-	-	1	-
Mayo	5	3	2	2.0	1	4	-	-	1	4	-	-	-
Junio	4	-	4	1.6	4	-	-	-	4	-	-	-	-
Julio	7	3	4	2.8	2	5	-	-	1	4	-	1	1
Agosto	8	4	4	3.2	3	1	-	-	1	-	-	6	1
Septiembre	5	3	2	2.0	2	3	-	-	3	2	-	-	-
Octubre	23	12	11	9.2	12	11	-	-	12	11	-	-	-
Noviembre	24	16	8	9.6	5	17	2	1	8	15	-	-	-
Diciembre	20	10	10	8.0	8	12	-	-	8	12	-	-	-

NR= No Reactivo, R= Reactivo, RD= Reactivo Débil, P= Positivo, N= Negativo, I= Indeterminado

Fuente: Instituto Nacional de Salud, Centro Nacional de Salud Pública - Netlab, 2021

Elaboración: Oficina Ejecutiva de Estadística e Informática - OGIS

Fecha de descarga: julio de 2021 de la base de datos Netlab v1

Cuadro 1.97. Muestras procesadas para el diagnóstico de infecciones por virus linfotrópico humano - HTLV-1 por tipo de examen según DISA - DIRESA / otras instituciones remitentes al Instituto Nacional de Salud (INS), 2020

DISA - DIRESA/ OTRAS INSTITUCIONES	Número de muestras únicas ingresadas				Tipo de examen								
					Sexo				Elisa			Inmunofluorescencia indirecta	
	Total	fem.	masc.	%					NR	R	RD	I	N
Total	251	127	124	100.0	111	130	3	1	69	84	3	54	43
Andahuaylas - Apurímac	11	5	6	4.4	1	10	-	1	-	5	-	1	4
Apurímac	2	2	-	0.8	1	1	-	-	-	-	-	1	1
Arequipa	12	3	9	4.8	8	4	-	-	3	2	-	5	2
Ayacucho	8	6	2	3.2	5	3	-	-	2	3	-	3	-
Cajamarca	5	2	3	2.0	4	1	-	-	2	1	-	2	-
Callao	1	1	-	0.4	-	1	-	-	-	1	-	-	-
Cusco	12	6	6	4.8	3	9	-	-	2	7	-	2	1
Cutervo - Cajamarca	1	1	-	0.4	1	-	-	-	1	-	-	-	-
Huancavelica	1	-	1	0.4	-	1	-	-	-	1	-	-	-
Ica	1	1	-	0.4	-	1	-	-	-	1	-	-	-
Junín	1	1	-	0.4	1	-	-	-	1	-	-	-	-
La Libertad	33	11	22	13.1	21	10	2	-	14	2	1	9	7
Lambayeque	19	5	14	7.6	9	10	-	-	8	9	-	1	1
Lima Sur	18	6	12	7.2	8	10	-	-	6	1	1	2	8
Lima Ciudad	55	45	10	21.9	4	51	-	-	2	37	1	2	13
Loreto	11	3	8	4.4	10	1	-	-	3	-	-	7	1
San Martín	31	12	19	12.4	20	10	1	-	17	8	-	5	1
Tacna	1	1	-	0.4	-	1	-	-	1	-	-	-	-
Ucayali	19	12	7	7.6	13	6	-	-	7	6	-	6	3
Instituto Nacional de Salud	3	2	1	1.2	2	-	-	-	-	-	-	5	1
Consultorio particular	6	2	4	2.4	-	-	-	-	-	-	-	3	-

P= Positivo, N= Negativo, I= Indeterminado

Fuente: Instituto Nacional de Salud, Centro Nacional de Salud Pública - Netlab, 2021

Elaboración: Oficina Ejecutiva de Estadística e Informática - OGIS

Fecha de descarga: julio de 2021 de la base de datos Netlab v1

Cuadro 1.98. Muestras procesadas para el diagnóstico de virus respiratorios por tipo de examen según mes de ingreso al Instituto Nacional de Salud (INS), 2020

MES	Número de muestras únicas ingresadas					Tipo de examen																					
						Inmunofluorescencia directa										RT-PCR Tiempo real											
	Total	Sexo		NE 1/	%	Adenovirus	Influenza A		Influenza B		Metapneumovirus	Parainfluenza 1		Parainfluenza 2		Parainfluenza 3		Virus sincicial respiratorio	Influenza A		Influenza B		Linaje Influenza		Subtipificación Influenza A		Tipificación
		Fem.	Masc.				N	P	N	P		N	P	N	P	N	P		N	P	N	P	N	P	V	Y	
Total	1,217	571	645	1	100.0	176	10	184	2	185	1	186	186	186	179	7	155	31	687	29	696	15	12	3	25	3	36
Enero	279	129	150	-	22.9	95	-	95	-	94	1	95	95	95	95	-	83	12	215	10	208	12	10	2	9	-	2
Febrero	314	126	188	-	25.8	65	7	70	2	72	-	72	72	72	66	6	56	16	249	13	261	1	1	-	11	2	-
Marzo	418	206	212	-	34.3	16	3	19	-	19	-	19	19	19	18	1	16	3	121	6	125	2	1	1	5	1	25
Abril	27	15	12	-	2.2	-	-	-	-	-	-	-	-	-	-	-	-	-	1	-	1	-	-	-	-	-	-
Mayo	19	10	9	-	1.6	-	-	-	-	-	-	-	-	-	-	-	-	-	-	-	-	-	-	-	-	-	-
Junio	24	15	9	-	2.0	-	-	-	-	-	-	-	-	-	-	-	-	-	-	-	-	-	-	-	-	-	-
Julio	6	3	3	-	0.5	-	-	-	-	-	-	-	-	-	-	-	-	-	-	-	-	-	-	-	-	-	-
Agosto	9	4	5	-	0.7	-	-	-	-	-	-	-	-	-	-	-	-	-	4	-	4	-	-	-	-	-	-
Septiembre	14	4	10	-	1.2	-	-	-	-	-	-	-	-	-	-	-	-	-	5	-	5	-	-	-	-	-	-
Octubre	38	18	20	-	3.1	-	-	-	-	-	-	-	-	-	-	-	-	-	31	-	31	-	-	-	-	-	-
Noviembre	31	20	11	-	2.5	-	-	-	-	-	-	-	-	-	-	-	-	-	27	-	27	-	-	-	-	-	-
Diciembre	38	21	16	1	3.1	-	-	-	-	-	-	-	-	-	-	-	-	-	34	-	34	-	-	-	-	-	9

P= Positivo, N= Negativo, V= Victoria, Y= Yamagata, H1= H1N1 pdm09, H3= H3N2, RT= RT, PCR Tiempo real

1/ No especifica el origen de la muestra

Fuente: Instituto Nacional de Salud, Centro Nacional de Salud Pública - Netlab, 2021

Elaboración: Oficina Ejecutiva de Estadística e Informática - OGIS

Fecha de descarga: julio de 2021 de la base de datos Netlab v1 y v2

Cuadro 1.99. Muestras procesadas para el diagnóstico de virus respiratorios por tipo de examen según DISA - DIRESA/ otras instituciones remitentes al Instituto Nacional de Salud (INS), 2020

DISA - DIRESA/ OTRAS INSTITUCIONES	Número de muestras únicas ingresadas					Tipo de examen																					
						Inmunofluorescencia directa											RT-PCR Tiempo real										
	Total	Sexo		NE 1/	%	Adenovirus	Influenza A		Influenza B	Metapneumovirus	Parainfluenza 1		Parainfluenza 2		Parainfluenza 3		Virus sincicial respiratorio		Influenza A		Influenza B		Lineaje Influenza		Subtipificación Influenza A		Tipificación
		Fem.	Masc.				N	P			N	P	N	P	N	P	N	P	N	P	N	P	N	P	V	Y	
Total	1,217	571	645	1	100.0	176	10	184	2	185	1	186	186	186	179	7	155	31	687	29	696	15	12	3	25	3	36
Amazonas	2	1	1	-	0.2	-	-	-	-	-	-	-	-	-	-	-	-	-	-	-	-	-	-	-	-	-	-
Áncash	15	10	5	-	1.2	-	-	-	-	-	-	-	-	-	-	-	-	-	-	-	-	-	-	-	-	-	-
Apurímac	1	-	1	-	0.1	-	-	-	-	-	-	-	-	-	-	-	-	-	1	-	1	-	-	-	-	-	-
Arequipa	24	11	13	-	2.0	-	-	-	-	-	-	-	-	-	-	-	-	-	18	-	18	-	-	-	-	-	-
Ayacucho	8	3	5	-	0.7	-	-	-	-	-	-	-	-	-	-	-	-	-	7	1	7	-	-	-	1	-	-
Cajamarca	21	9	12	-	1.7	-	-	-	-	-	-	-	-	-	-	-	-	-	1	-	1	-	-	-	-	-	-
Callao	88	29	59	-	7.2	18	2	19	1	20	-	20	20	20	-	12	8	63	2	65	-	-	-	1	1	-	
Cusco	18	12	6	-	1.5	7	-	7	-	6	1	7	7	7	7	-	7	10	1	9	2	2	-	1	-	-	
Cutervo - Cajamarca	1	-	1	-	0.1	-	-	-	-	-	-	-	-	-	-	-	-	-	-	-	-	-	-	-	-	-	-
Huancavelica	18	12	6	-	1.5	-	-	-	-	-	-	-	-	-	-	-	-	16	-	16	-	-	-	-	-	-	
Huánuco	9	4	5	-	0.7	-	-	-	-	-	-	-	-	-	-	-	-	4	-	3	1	-	1	-	-	-	
Ica	12	7	5	-	1.0	-	-	-	-	-	-	-	-	-	-	-	-	1	-	1	1	-	1	-	-	-	
Junín	13	5	8	-	1.1	-	-	-	-	-	-	-	-	-	-	-	-	8	-	8	-	-	-	-	-	-	
La Libertad	72	27	45	-	5.9	4	-	4	-	4	-	4	4	4	-	4	-	37	2	38	-	-	-	2	-	-	
Lambayeque	51	23	28	-	4.2	-	-	-	-	-	-	-	-	-	-	-	-	34	1	32	3	3	-	1	-	-	
Lima Sur	78	40	38	-	6.4	20	2	22	-	22	-	22	22	22	-	18	4	36	1	37	-	-	-	1	-	-	
Lima Este	47	33	14	-	3.9	-	-	-	-	-	-	-	-	-	-	-	-	4	-	4	-	-	-	-	-	-	
Lima Norte	110	52	58	-	9.0	24	-	24	-	24	-	24	24	23	1	17	7	69	1	70	-	-	-	1	-	-	
Lima Provincias	36	17	19	-	3.0	6	-	6	-	6	-	6	6	6	-	4	2	23	2	25	-	-	-	1	1	-	
Lima Ciudad	454	214	240	-	37.3	93	5	97	1	98	-	98	98	98	92	6	88	277	5	276	4	3	1	5	-	-	
Loreto	2	1	1	-	0.2	-	-	-	-	-	-	-	-	-	-	-	-	31	5	36	-	-	-	5	-	36	
Madre de Dios	39	16	22	1	3.2	-	-	-	-	-	-	-	-	-	-	-	-	1	1	1	-	-	-	-	1	-	
Moquegua	1	-	1	-	0.1	-	-	-	-	-	-	-	-	-	-	-	-	-	-	-	-	-	-	-	-	-	
Piura	4	4	-	-	0.3	1	-	1	-	1	-	1	1	1	-	1	-	2	1	3	-	-	-	-	-	-	
Puno	14	6	8	-	1.2	-	-	-	-	-	-	-	-	-	-	-	-	10	1	9	2	2	-	1	-	-	
San Martín	11	4	7	-	0.9	-	-	-	-	-	-	-	-	-	-	-	-	10	-	9	1	1	-	-	-	-	
Tacna	13	5	8	-	1.1	-	-	-	-	-	-	-	-	-	-	-	-	7	1	8	-	-	-	1	-	-	
Tumbes	14	6	8	-	1.2	-	1	1	-	1	-	1	1	1	-	1	-	1	-	1	-	-	-	-	-	-	
Ucayali	10	7	3	-	0.8	1	-	1	-	1	-	1	1	1	-	1	-	4	2	4	1	1	-	2	-	-	
Consumidor particular	31	13	18	-	2.5	2	-	2	-	2	-	2	2	2	-	2	-	12	2	14	-	-	-	2	-	-	

P= Positivo, N= Negativo, V= Victoria, Y= Yamagata, H1= H1N1 pdm09, H3= H3N2, RT= RT-PCR Tiempo real

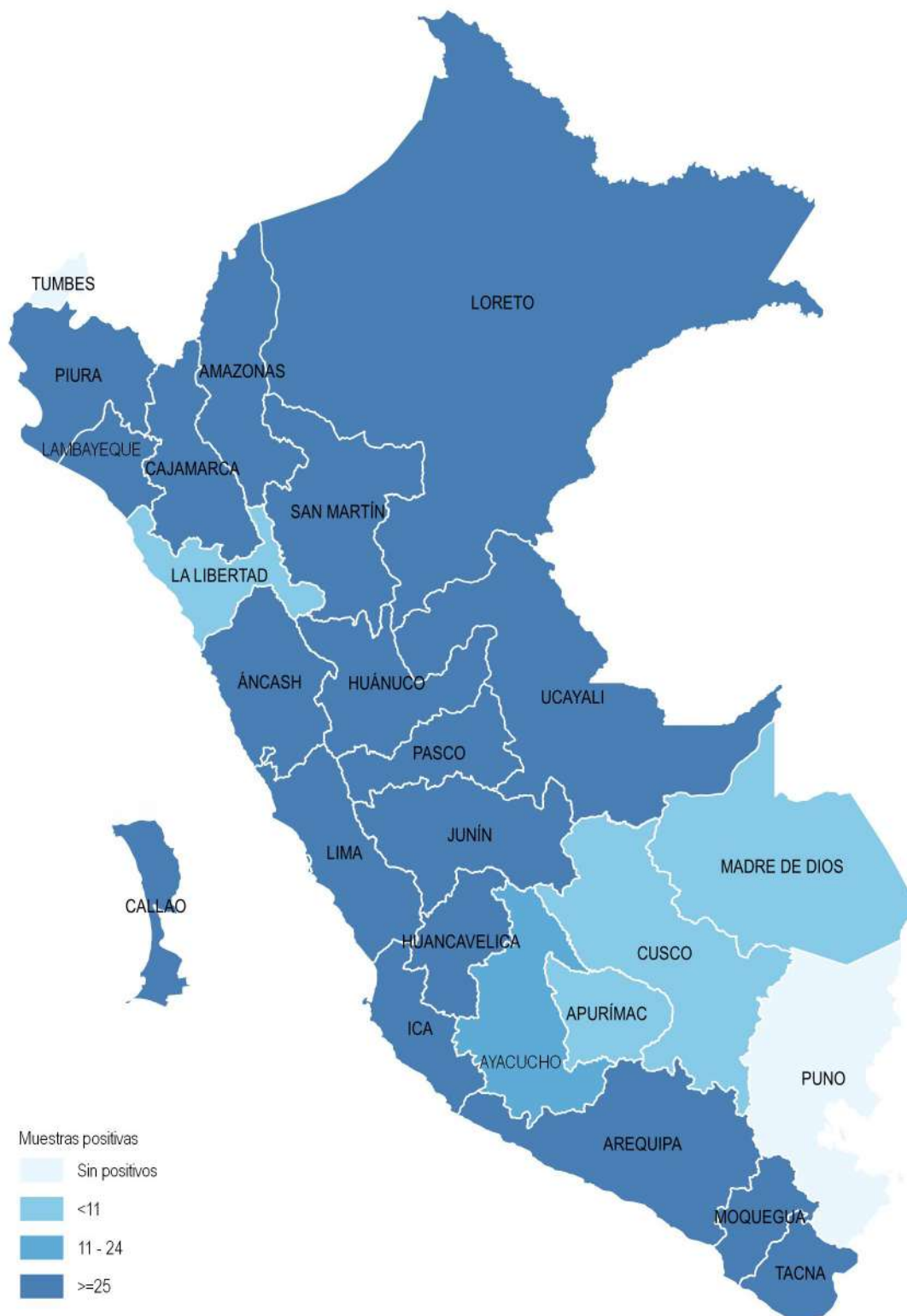
1/ No especifica el origen de la muestra

Fuente: Instituto Nacional de Salud, Centro Nacional de Salud Pública - Netlab, 2021

Elaboración: Oficina Ejecutiva de Estadística e Informática - OGIS

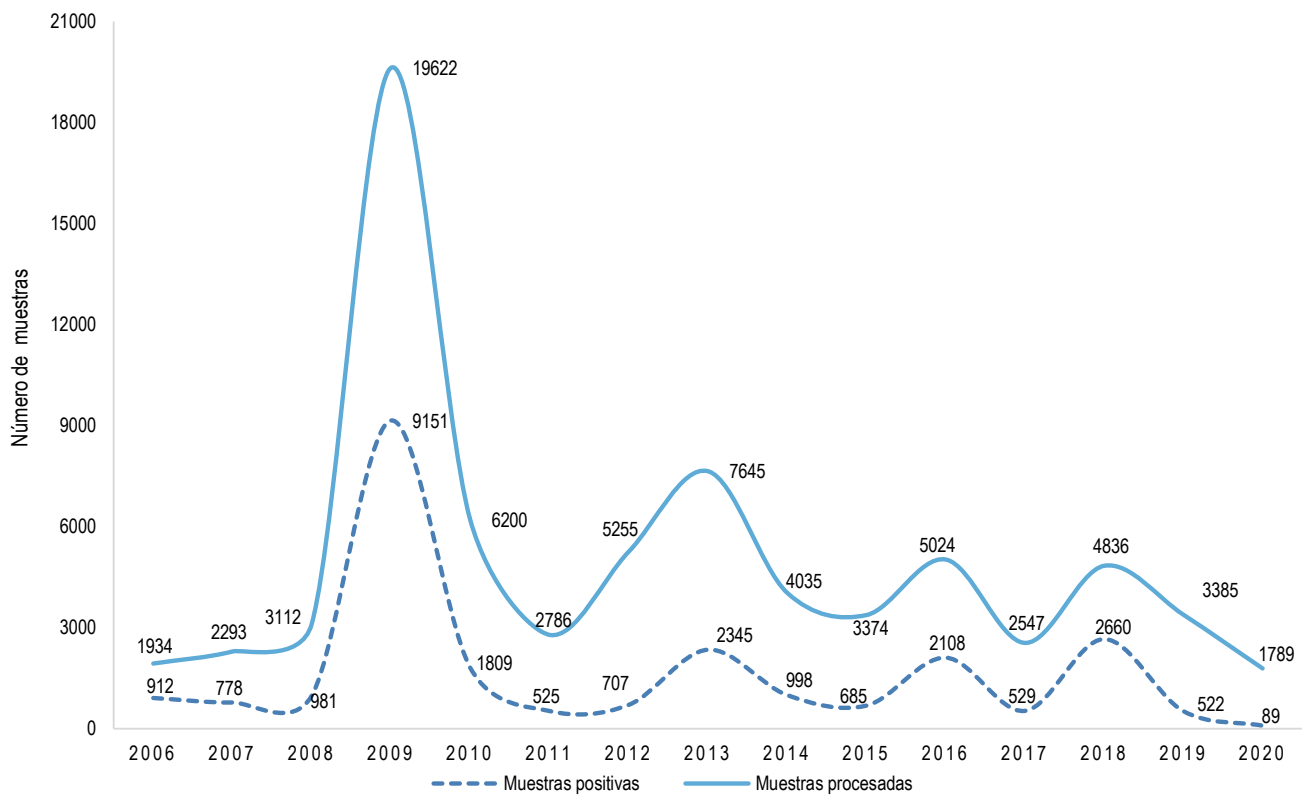
Fecha de descarga: julio de 2021 de 2020 de la base de datos Netlab v1 y v2

Mapa 1.23 Distribución de muestras positivas para diagnóstico de virus respiratorios según departamentos, INS, 2020



Fuente: Instituto Nacional de Salud, Centro Nacional de Salud Pública, Netlab, 2021
Elaboración: Oficina Ejecutiva de Estadística e Informática, OGIS

Gráfico 1.17. Tendencia de muestras procesadas y positivas para el diagnóstico de virus respiratorios, Instituto Nacional de Salud (INS), 2006-2020



Fuente: Instituto Nacional de Salud, Centro Nacional de Salud Pública - Netlab, 2021

Elaboración: Oficina Ejecutiva de Estadística e Informática - OGIS

Fecha de descarga: julio de 2021 de la base de datos Netlab v1

Cuadro 1.100. Muestras procesadas para el diagnóstico de COVID-19 por tipo de examen según mes de ingreso al Instituto Nacional de Salud (INS), 2020

MES	Número de muestras únicas ingresadas				Tipo de examen											
					RT-PCR Tiempo real											
	Total	Sexo		%	2019-nCoV RNA [PRESENCIA] EN ASPIRADO BRONCOALVEOLAR		2019-nCoV RNA [PRESENCIA] EN ASPIRADO TRAQUEAL		2019-nCoV RNA [PRESENCIA] EN HISOPADO NASAL Y FARINGEO		2019-nCoV RNA [PRESENCIA] EN LAVADO BRONCOALVEOLAR		2019-nCoV RNA [PRESENCIA] EN TEJIDO PULMONAR		SARS-coronavirus 2 ARN [Presencia] en muestra respiratoria	
		Fem.	Masc.		N	P	N	P	N	P	N	P	N	P	N	P
Total	564,579	293,712	270,867	100.0	12	11	10	2	41,384	18,083	10	9	3	1	388,012	111,904
Enero	9	4	5	0.0	-	-	-	-	8	-	-	-	-	-	1	-
Febrero	71	38	33	0.0	-	-	1	-	69	-	-	-	-	-	1	-
Marzo	16,127	8,805	7,322	2.9	1	-	4	-	14,558	1,439	3	1	2	1	-	-
Abril	34,268	15,897	18,371	6.1	8	11	5	2	20,873	13,193	5	6	1	-	3	2
Mayo	54,656	26,561	28,095	9.7	3	-	-	-	5,875	3,451	2	2	-	-	29,112	15,725
Junio	61,605	30,910	30,695	10.9	-	-	-	-	-	-	-	-	-	-	40,427	20,694
Julio	72,222	37,383	34,839	12.8	-	-	-	-	-	-	-	-	-	-	46,878	24,571
Agosto	67,825	35,174	32,651	12.0	-	-	-	-	1	-	-	-	-	-	46,975	19,583
Septiembre	48,938	25,877	23,061	8.7	-	-	-	-	-	-	-	-	-	-	40,289	8,217
Octubre	70,579	38,166	32,413	12.5	-	-	-	-	-	-	-	-	-	-	64,037	5,932
Noviembre	66,122	36,190	29,932	11.7	-	-	-	-	-	-	-	-	-	-	60,596	5,271
Diciembre	72,157	38,707	33,450	12.8	-	-	-	-	-	-	-	-	-	-	59,693	11,909

P= Positivo, N= Negativo

Fuente: Instituto Nacional de Salud, Centro Nacional de Salud Pública - Netlab, 2021

Elaboración: Oficina Ejecutiva de Estadística e Informática - OGIS

Fecha de descarga: julio de 2021 de la base de datos Netlab v1 y v2

Cuadro 1.101. Muestras procesadas para el diagnóstico de COVID-19 por tipo de examen según DISA - DIRESA/ otras instituciones remitentes al Instituto Nacional de Salud (INS), 2020

DISA - DIRESA/ OTRAS INSTITUCIONES	Número de muestras únicas ingresadas				Tipo de examen											
					RT-PCR Tiempo real											
	Total	Sexo		%	2019-nCoV RNA [PRESENCIA] EN ASPIRADO BRONCOALVEOLAR		2019-nCoV RNA [PRESENCIA] EN ASPIRADO TRAQUEAL		2019-nCoV RNA [PRESENCIA] EN HISOPADO NASAL Y FARINGEO		2019-nCoV RNA [PRESENCIA] EN LAVADO BRONCOALVEOLAR		2019-nCoV RNA [PRESENCIA] EN TEJIDO PULMONAR		SARS-coronavirus 2 ARN [Presencia] en muestra respiratoria	
		Fem.	Masc.		N	P	N	P	N	P	N	P	N	P	N	P
Total	564,579	293,712	270,867	100.0	12	11	10	2	41,384	18,083	10	9	3	1	388,012	111,904
Amazonas	4,099	2,156	1,943	0.7	-	-	-	-	40	2	-	-	-	-	3,120	928
Áncash	32,020	17,158	14,862	5.7	-	-	-	-	1,245	306	-	-	-	-	23,890	6,357
Andahuaylas - Apurímac	11	4	7	0.0	-	-	-	-	-	-	-	-	-	-	-	-
Apurímac	40	16	24	0.0	-	-	1	-	10	-	-	-	-	-	4	1
Arequipa	696	388	308	0.1	-	-	-	-	633	57	1	-	-	-	2	-
Ayacucho	232	114	118	0.0	-	-	-	-	206	15	-	-	-	-	7	1
Cajamarca	347	156	191	0.1	-	-	-	-	190	8	1	-	-	-	88	56
Callao	23,284	11,322	11,962	4.1	1	2	2	-	1,683	1,476	1	2	1	1	14,446	5,495
Cusco	84	50	34	0.0	-	-	-	-	77	4	-	-	-	-	-	-
Cutervo - Cajamarca	3	-	3	0.0	-	-	-	-	3	-	-	-	-	-	-	-
Huancavelica	2,501	1,329	1,172	0.4	-	-	-	-	247	20	-	1	-	-	1,691	511
Huánuco	3,388	1,842	1,546	0.6	-	-	-	-	206	9	-	-	-	-	2,265	859
Ica	11,799	5,744	6,055	2.1	-	-	2	-	1,381	322	-	-	-	-	7,039	2,934
Junín	6,953	3,512	3,441	1.2	2	-	-	-	1,306	186	-	-	-	-	3,646	1,586
La Libertad	138	79	59	0.0	-	-	-	-	130	4	-	-	-	-	1	1
Lambayeque	1,181	551	630	0.2	-	-	-	-	624	479	-	-	-	-	-	2
Lima Centro	203,231	105,027	98,204	36.0	5	2	2	1	17,112	7,577	4	5	-	-	138,022	39,148
Lima Este	19,069	9,556	9,513	3.4	3	7	-	-	1,956	1,231	-	-	-	-	11,372	4,345
Lima Norte	144,741	77,231	67,510	25.6	-	-	-	-	3,434	2,035	1	-	-	-	112,069	26,549
Lima Sur	43,729	22,736	20,993	7.7	1	-	-	1	2,772	2,383	1	-	-	-	27,649	10,611
Lima Provincias	21,440	10,811	10,629	3.8	-	-	2	-	1,386	615	-	-	1	-	13,301	6,015
Loreto	1,010	478	532	0.2	-	-	-	-	79	187	-	-	-	-	273	464
Madre de Dios	13	8	5	0.0	-	-	-	-	10	1	-	-	-	-	2	-
Moquegua	1,553	891	662	0.3	-	-	-	-	244	7	-	-	-	-	924	351
Pasco	1,518	819	699	0.3	-	-	-	-	165	25	-	-	-	-	1,120	203
Piura	715	363	352	0.1	-	-	-	-	153	11	-	-	-	-	236	310
Puno	18	10	8	0.0	-	-	-	-	15	-	-	-	-	-	2	-
San Martín	213	115	98	0.0	-	-	-	-	104	1	-	-	-	-	52	50
Tacna	763	366	397	0.1	-	-	-	-	469	25	-	-	-	-	201	56
Tumbes	20	6	14	0.0	-	-	-	-	18	-	-	-	-	-	-	-
Ucayali	2,717	1,325	1,392	0.5	-	-	-	-	226	154	-	1	-	-	1,516	786
Consultorio particular	37,053	19,549	17,504	6.6	-	-	1	-	5,260	943	1	-	1	-	25,074	4,285

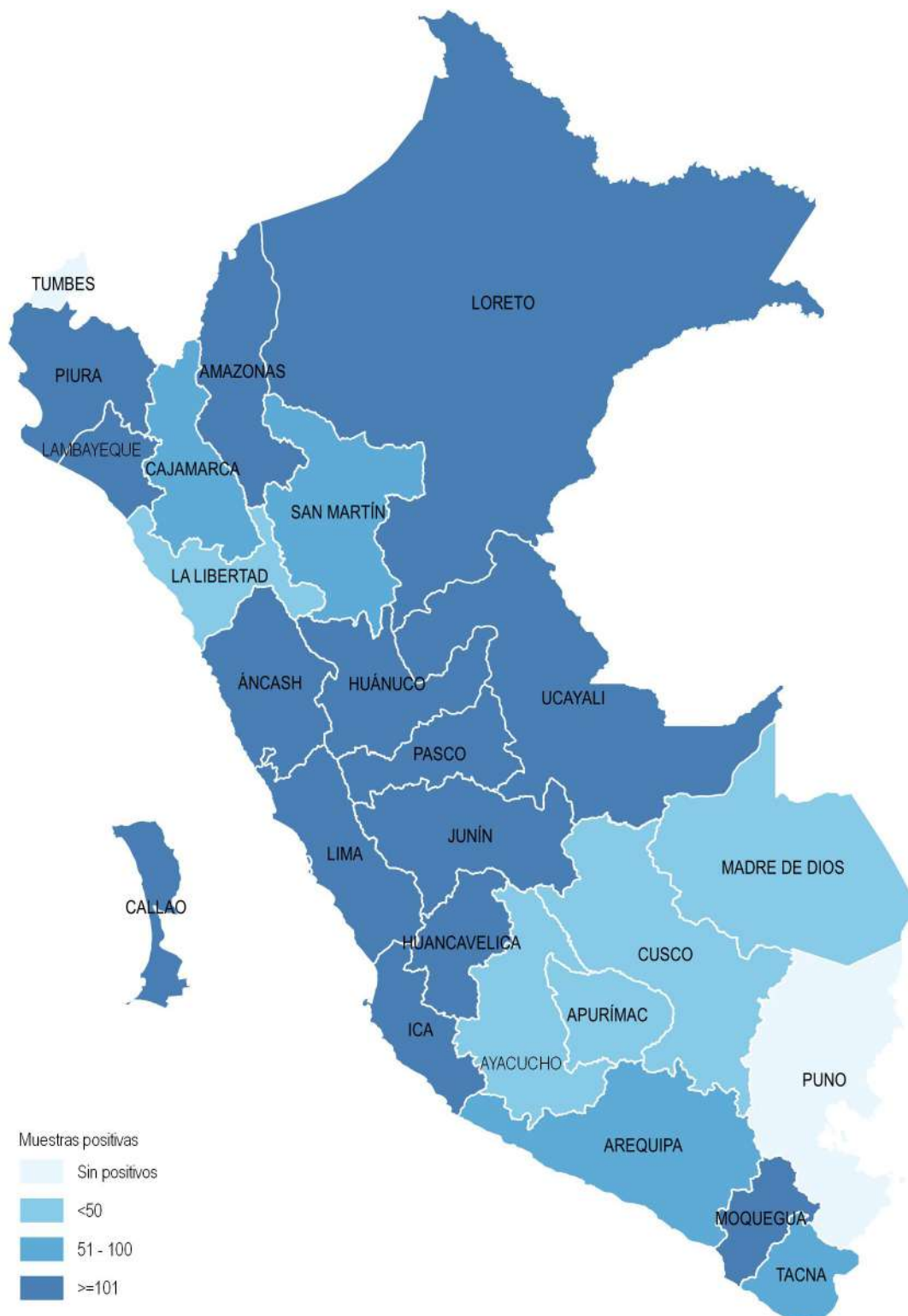
P= Positivo, N= Negativo, V= Victoria, Y= Yamagata, H1= H1N1 pdm09, H3= H3N2, RT= RT-PCR Tiempo real

1/ No especifica el origen de la muestra

Fuente: Instituto Nacional de Salud, Centro Nacional de Salud Pública - Netlab, 2020

Elaboración: Centro Nacional de Salud Pública - Netlab, 2020

Mapa 1.24 Distribución de muestras positivas para diagnóstico de covid-19 según departamentos, INS, 2020



Fuente: Instituto Nacional de Salud, Centro Nacional de Salud Pública, Netlab, 2021
Elaboración: Oficina Ejecutiva de Estadística e Informática, OGIS

LABORATORIO DE ZONOSIS BACTERIANA

Cuadro 1.102. Muestras procesadas para el diagnóstico de ántrax - carbunco por tipo de examen según mes de ingreso al Instituto Nacional de Salud (INS), 2020

MES	Número de muestras únicas ingresadas				Tipo de examen				
					Cultivo		PCR		Tinción Gram
	Total	Sexo		%	N	P	N	P	P
		fem.	masc.						
Total	8	5	3	100.0	5	1	5	1	1
Enero	2	2	-	25.0	2	-	2	-	-
Febrero	3	3	-	37.5	1	1	1	1	1
Marzo	0	-	-	0.0	-	-	-	-	-
Abril	0	-	-	0.0	-	-	-	-	-
Mayo	0	-	-	0.0	-	-	-	-	-
Junio	0	-	-	0.0	-	-	-	-	-
Julio	0	-	-	0.0	-	-	-	-	-
Agosto	0	-	-	0.0	-	-	-	-	-
Septiembre	0	-	-	0.0	-	-	-	-	-
Octubre	0	-	-	0.0	-	-	-	-	-
Noviembre	3	-	3	37.5	2	-	2	-	-
Diciembre	0	-	-	0.0	-	-	-	-	-

P= Positivo, N= Negativo, NR= No reactivo

Fuente: Instituto Nacional de Salud, Centro Nacional de Salud Pública - Netlab, 2021

Elaboración: Oficina Ejecutiva de Estadística e Informática - OGIS

Fecha de descarga: julio de 2021 de la base de datos Netlab v1

Cuadro 1.103. Muestras procesadas para el diagnóstico de ántrax - carbunco por tipo de examen según DISA - DIRESA/ otras instituciones remitentes al Instituto Nacional de Salud (INS), 2020

MES	Número de muestras únicas ingresadas				Tipo de examen				
					Cultivo y tipificación		PCR		Tinción Gram
	Total	Sexo		%	N	P	N	P	P
		fem.	masc.						
Total	8	5	3	100.0	5	1	5	1	1
Apurímac	2	2	-	25.0	2	-	2	-	-
Callao	3	-	3	37.5	2	-	2	-	-
Piura	3	3	-	37.5	1	1	1	1	1

P= Positivo, N= Negativo, NR= No reactivo

Fuente: Instituto Nacional de Salud, Centro Nacional de Salud Pública - Netlab, 2021

Elaboración: Oficina Ejecutiva de Estadística e Informática - OGIS

Fecha de descarga: julio de 2021 de la base de datos Netlab v1

Cuadro 1.104. Muestras procesadas para el diagnóstico de brucelosis por tipo de examen según mes de ingreso al Instituto Nacional de Salud (INS), 2020

MES	Número de muestras únicas ingresadas				Tipo de examen								
					Dx bacteriología cultivo		Rosa de Bengala		Elisa IgG		Elisa IgM		PCR
	Total	Sexo		%	N	N	P	NR	R	I	NR	R	N
		fem.	masc.										
Total	597	241	356	100.0	18	565	14	97	1	1	96	1	11
Enero	114	43	71	19.1	8	104	1	54	-	-	54	-	5
Febrero	233	101	132	39.0	3	226	4	32	1	-	32	1	1
Marzo	66	34	32	11.1	1	63	2	6	-	-	6	-	-
Abril	11	3	8	1.8	-	9	2	-	-	-	-	-	-
Mayo	5	3	2	0.8	-	5	-	-	-	-	-	-	-
Junio	10	4	6	1.7	-	8	2	-	-	-	-	-	-
Julio	10	4	6	1.7	-	10	-	-	-	-	-	-	-
Agosto	11	6	5	1.8	-	11	-	-	-	-	-	-	-
Septiembre	14	7	7	2.3	-	14	-	-	-	-	-	-	-
Octubre	16	7	9	2.7	1	15	1	-	-	-	-	-	-
Noviembre	51	16	35	8.5	4	47	-	4	-	1	3	-	4
Diciembre	56	13	43	9.4	1	53	2	1	-	-	1	-	1

P= Positivo, N= Negativo, I= Indeterminado, NR= No reactivo, R= Reactivo

Fuente: Instituto Nacional de Salud, Centro Nacional de Salud Pública - Netlab, 2021

Elaboración: Oficina Ejecutiva de Estadística e Informática - OGIS

Fecha de descarga: julio de 2021 de la base de datos Netlab v1

Cuadro 1.105. Muestras procesadas para el diagnóstico de brucelosis por tipo de examen según DISA - DIRESA/ otras instituciones remitentes al Instituto Nacional de Salud (INS), 2020

DISA - DIRESA/ OTRAS INSTITUCIONES	Número de muestras únicas ingresadas				Tipo de examen								
					Dx bacteriología cultivo			Rosa de Bengala			Elisa IgG		
	Total	Sexo		%	N	N	P	NR	R	I	NR	R	N
		fem.	masc.										
Total	597	241	356	100.0	18	565	14	97	1	1	96	1	11
Amazonas	2	-	2	0.3	-	2	-	-	-	-	-	-	-
Ancash	1	-	1	0.2	-	1	-	-	-	-	-	-	-
Arequipa	1	1	-	0.2	-	1	-	-	-	-	-	-	-
Cajamarca	9	7	2	1.5	-	8	1	-	-	-	-	-	-
Callao	75	21	54	12.6	2	73	-	9	-	-	9	-	2
Cusco	6	4	2	1.0	1	4	1	1	-	-	1	-	1
Huancavelica	2	1	1	0.3	-	2	-	1	-	-	1	-	-
Huánuco	9	4	5	1.5	-	9	-	3	-	-	3	-	-
Ica	16	13	3	2.7	1	11	3	3	-	-	3	-	2
Jaén - Cajamarca	14	9	5	2.3	-	12	2	1	-	-	1	-	-
Junín	6	3	3	1.0	-	6	-	1	-	-	1	-	-
La Libertad	18	8	10	3.0	3	15	-	7	-	-	7	-	-
Lambayeque	64	38	26	10.7	-	62	2	-	-	-	-	-	-
Lima Sur	39	15	24	6.5	1	38	-	11	-	-	11	-	-
Lima Este	25	12	13	4.2	-	25	-	6	-	-	6	-	-
Lima Provincias	33	19	14	5.5	-	30	3	2	1	-	3	-	-
Lima Ciudad	153	43	110	25.6	2	151	-	12	-	-	12	-	-
Luciano Castillo - Piura	6	4	2	1.0	3	3	-	3	-	1	2	-	3
Piura	5	2	3	0.8	-	5	-	5	-	-	5	-	-
San Martín	9	4	5	1.5	-	8	1	-	-	-	-	-	-
Tacna	5	3	2	0.8	1	5	-	-	-	-	-	-	-
Ucayali	14	3	11	2.3	-	13	1	9	-	-	8	1	-
Instituto Nacional de Salud	11	5	6	1.8	2	9	-	6	-	-	6	-	2
Essalud	31	11	20	5.2	1	30	-	4	-	-	4	-	1
Militar	28	3	25	4.7	-	28	-	5	-	-	5	-	-
Consultorio particular	15	8	7	2.5	1	14	-	8	-	-	8	-	-

P= Positivo, N= Negativo, I= Indeterminado, NR= No reactivo, R= Reactivo

Fuente: Instituto Nacional de Salud, Centro Nacional de Salud Pública - Netlab, 2021

Elaboración: Oficina Ejecutiva de Estadística e Informática - OGIS

Fecha de descarga: julio de 2021 de la base de datos Netlab v1

Cuadro 1.106. Muestras procesadas para el diagnóstico de leptospirosis animal por tipo de examen según mes de ingreso al Instituto Nacional de Salud (INS), 2020

MES	Número de muestras únicas ingresadas			Tipo de examen			
				Cultivo		Microaglutinación	
	Total	NE 1/	%	N	NR	R	N
Total	43	43	100.0	20	6	12	5
Enero	6	6	14.0	-	1	-	5
Febrero	0	-	0.0	-	-	-	-
Marzo	0	-	0.0	-	-	-	-
Abril	0	-	0.0	-	-	-	-
Mayo	0	-	0.0	-	-	-	-
Junio	0	-	0.0	-	-	-	-
Julio	0	-	0.0	-	-	-	-
Agosto	0	-	0.0	-	-	-	-
Septiembre	0	-	0.0	-	-	-	-
Octubre	0	-	0.0	-	-	-	-
Noviembre	37	37	86.0	20	5	12	-
Diciembre	0	-	0.0	-	-	-	-

NR= No reactivo, R= Reactivo, N= Negativo

1/ No especifica el origen de la muestra

Fuente: Instituto Nacional de Salud, Centro Nacional de Salud Pública - Netlab, 2021

Elaboración: Oficina Ejecutiva de Estadística e Informática - OGIS

Fecha de descarga: julio de 2021 de la base de datos Netlab v1

Cuadro 1.107. Muestras procesadas para el diagnóstico de leptospirosis animal por tipo de examen según DISA - DIRESA/ otras instituciones remitentes al Instituto Nacional de Salud (INS), 2020

DISA - DIRESA / OTRAS INSTITUCIONES	Número de muestras únicas ingresadas			Tipo de examen			
				Cultivo		Microaglutinación	
	Total	NE 1/	%	N	NR	R	N
Total	43	43	100.0	20	6	12	5
Cusco	6	6	14.0	-	1	-	5
La Libertad	37	37	86.0	20	5	12	-

NR= No reactivo, R= Reactivo, N= Negativo

1/ No especifica el origen de la muestra

Fuente: Instituto Nacional de Salud, Centro Nacional de Salud Pública - Netlab, 2021

Elaboración: Oficina Ejecutiva de Estadística e Informática - OGIS

Fecha de descarga: julio de 2021 de la base de datos Netlab v1

Cuadro 1.108. Muestras procesadas para el diagnóstico de leptospirosis humano por tipo de examen según mes de ingreso al Instituto Nacional de Salud (INS), 2020

MES	Número de muestras únicas ingresadas					Tipo de examen									
						Cultivo		Elisa IgG		Elisa IgM		Microaglutinación		PCR	
	Total	Sexo		NE 1/	%	N	NR	I	NR	R	NR	R	N	P	
		fem.	masc.												
Total	17,093	9,702	7,388	3	100.0	1,134	5	132	2,008	258	684	11,662	1,093	311	
Enero	3,128	1,655	1,473	-	18.3	365	1	42	384	95	187	1,938	284	228	
Febrero	3,259	1,874	1,385	-	19.1	259	1	20	332	34	42	1,959	569	78	
Marzo	2,008	1,180	827	1	11.7	261	-	11	242	22	39	1,437	165	4	
Abril	472	281	191	-	2.8	-	-	3	72	12	18	382	-	-	
Mayo	461	272	188	1	2.7	1	-	3	39	2	29	392	-	-	
Junio	726	420	306	-	4.2	12	-	2	124	1	33	557	-	-	
Julio	1,347	775	572	-	7.9	1	-	6	215	7	41	1,083	7	-	
Agosto	1,048	562	486	-	6.1	3	-	3	159	5	12	871	8	-	
Septiembre	738	430	308	-	4.3	25	-	5	126	6	27	557	6	-	
Octubre	928	530	397	1	5.4	39	-	9	145	12	65	634	9	1	
Noviembre	1,835	1,107	728	-	10.7	63	3	18	84	26	165	1,310	6	-	
Diciembre	1,143	616	527	-	6.7	105	-	10	86	36	26	542	39	-	

P= Positivo, N= Negativo, NR= No reactivo, R= Reactivo, I= Indeterminado

1/ No especifica el origen de la muestra

Fuente: Instituto Nacional de Salud, Centro Nacional de Salud Pública - Netlab, 2021

Elaboración: Oficina Ejecutiva de Estadística e Informática - OGIS

Fecha de descarga: julio de 2021 de la base de datos Netlab v1

Cuadro 1.109. Muestras procesadas para el diagnóstico de leptospirosis humano por tipo de examen según DISA - DIRESA/ otras instituciones remitentes al Instituto Nacional de Salud (INS), 2020

DISA - DIRESA/ OTRAS INSTITUCIONES	Número de muestras únicas ingresadas				Tipo de examen									
					Cultivo			Elisa IgG		Elisa IgM		Microaglutinación		PCR
	Total	Sexo		NE 1/	%	N	NR	I	NR	R	NR	R	N	P
		fem.	masc.											
Total	17,093	9,702	7,388	3	100.0	1,134	5	132	2,008	258	684	11,662	1,093	311
Amazonas	1	-	1	-	0.0	-	-	1	-	-	-	1	-	-
Ancash	1	-	1	-	0.0	-	-	-	1	-	-	-	-	-
Apurímac	6	2	4	-	0.0	1	-	-	2	2	-	3	-	-
Arequipa	8	3	5	-	0.0	-	-	2	5	1	-	3	-	-
Ayacucho	332	186	146	-	1.9	-	-	-	21	2	10	281	-	-
Bagua - Amazonas	2	-	2	-	0.0	-	-	-	2	-	-	-	-	-
Cajamarca	29	15	14	-	0.2	-	-	-	15	-	4	10	-	-
Callao	266	43	223	-	1.6	-	-	22	195	41	65	133	-	-
Cusco	537	295	242	-	3.1	8	-	17	39	65	23	418	54	2
Cutervo- Cajamarca	1	-	1	-	0.0	-	-	-	-	1	-	1	-	-
Huancavelica	2	2	-	-	0.0	1	-	-	1	-	-	-	1	-
Huánuco	207	113	94	-	1.2	-	-	5	20	7	14	173	-	-
Ica	12	9	3	-	0.1	-	-	1	5	-	-	7	-	-
Jaén - Cajamarca	346	177	169	-	2.0	-	-	1	8	1	37	299	-	-
Junín	25	6	19	-	0.1	-	-	3	17	5	1	7	-	-
La Libertad	226	121	105	-	1.3	58	-	2	52	11	7	51	53	3
Lambayeque	321	178	143	-	1.9	-	-	1	45	5	19	257	-	-
Lima Sur	49	21	28	-	0.3	1	-	1	39	-	2	7	1	1
Lima Este	30	16	14	-	0.2	3	-	3	18	6	2	5	3	-
Lima Provincias	31	14	17	-	0.2	-	-	9	5	16	1	25	-	-
Lima Ciudad	151	44	107	-	0.9	-	-	14	104	32	16	34	-	-
Loreto	9,051	5,295	3,754	2	53.0	251	-	13	1,003	18	276	6,532	635	305
Luciano Castillo - Piura	184	130	54	-	1.1	19	-	2	1	3	19	143	4	-
Madre de Dios	2,368	1,366	1,002	-	13.9	371	-	-	4	-	85	1,493	291	-
Moquegua	2	1	1	-	0.0	-	-	-	2	-	-	-	-	-
Pasco	3	1	2	-	0.0	-	-	-	3	-	-	-	-	-
Piura	372	209	163	-	2.2	174	-	1	11	1	9	135	41	-
San Martín	734	385	349	-	4.3	242	-	2	-	1	17	442	-	-
Tacna	67	45	22	-	0.4	-	-	9	24	14	2	22	-	-
Tumbes	83	46	37	-	0.5	-	-	-	29	-	9	45	-	-
Ucayali	1,519	926	592	1	8.9	-	1	19	241	13	56	1,116	2	-
Instituto Nacional de Salud	18	9	9	-	0.1	2	-	-	14	-	1	2	1	-
Essalud	41	14	27	-	0.2	1	-	2	32	4	-	7	3	-
Militar	25	3	22	-	0.1	-	-	1	19	5	1	5	-	-
Consultorio particular	43	27	16	-	0.3	2	4	1	31	4	8	5	4	-

P= Positivo, N= Negativo, NR= No reactivo, R= Reactivo, I= Indeterminado

1/ No especifica el origen de la muestra

Fuente: Instituto Nacional de Salud, Centro Nacional de Salud Pública - Netlab, 2021

Elaboración: Oficina Ejecutiva de Estadística e Informática - OGIS

Fecha de descarga: julio de 2021 de la base de datos Netlab v1

Cuadro 1.110. Muestras procesadas para el diagnóstico de Lyme por tipo de examen según mes de ingreso al Instituto Nacional de Salud (INS), 2020

MES	Número de muestras únicas ingresadas				Tipo de examen			
					Elisa IgG Lyme		Elisa IgM Lyme	
	Total	Sexo		%	I	R	NR	R
		fem.	masc.					
Total	5	4	1	100.0	1	3	1	4
Enero	0	-	-	0.0	-	-	-	-
Febrero	0	-	-	0.0	-	-	-	-
Marzo	2	1	1	40.0	1	-	1	1
Abril	0	-	-	0.0	-	-	-	-
Mayo	0	-	-	0.0	-	-	-	-
Junio	0	-	-	0.0	-	-	-	-
Julio	1	1	-	20.0	-	1	-	1
Agosto	1	1	-	20.0	-	1	-	1
Septiembre	0	-	-	0.0	-	-	-	-
Octubre	1	1	-	20.0	-	1	-	1
Noviembre	0	-	-	0.0	-	-	-	-
Diciembre	0	-	-	0.0	-	-	-	-

I= Indeterminado, NR= No reactivo, R= Reactivo

Fuente: Instituto Nacional de Salud, Centro Nacional de Salud Pública - Netlab, 2021

Elaboración: Oficina Ejecutiva de Estadística e Informática - OGIS

Fecha de descarga: julio de 2021 de la base de datos Netlab v1

Cuadro 1.111. Muestras procesadas para el diagnóstico de Lyme por tipo de examen según DISA - DIRESA/ otras instituciones remitentes al Instituto Nacional de Salud (INS), 2020

DISA - DIRESA/ OTRAS INSTITUCIONES	Número de muestras únicas ingresadas				Tipo de examen			
					Elisa IgG Lyme		Elisa IgM Lyme	
	Total	Sexo		%	I	R	NR	R
		fem.	masc.					
Total	5	4	1	100.0	1	3	1	4
Piura	3	3	-	60.0	-	3	-	3
Instituto Nacional de Salud	1	-	1	20.0	1	-	-	1
Consultorio particular	1	1	-	20.0	-	-	1	-

I= Indeterminado, NR= No reactivo, R= Reactivo

Fuente: Instituto Nacional de Salud, Centro Nacional de Salud Pública - Netlab, 2021

Elaboración: Oficina Ejecutiva de Estadística e Informática - OGIS

Fecha de descarga: julio de 2021 de la base de datos Netlab v1

Cuadro 1.112. Muestras procesadas para el diagnóstico de peste animal por tipo de examen según mes de ingreso al Instituto Nacional de Salud (INS), 2020

MES	Número de muestras únicas ingresadas		Tipo de examen		
			Cultivo		Elisa IgG
	Total	%	N	N	P
Total	432	100.0	48	368	16
Enero	11	2.5	-	11	-
Febrero	105	24.3	-	105	-
Marzo	167	38.7	2	149	16
Abril	0	0.0	-	-	-
Mayo	0	0.0	-	-	-
Junio	0	0.0	-	-	-
Julio	0	0.0	-	-	-
Agosto	0	0.0	-	-	-
Septiembre	0	0.0	-	-	-
Octubre	68	15.7	-	68	-
Noviembre	75	17.4	40	35	-
Diciembre	6	1.4	6	-	-

P= Positivo, N= Negativo

Fuente: Instituto Nacional de Salud, Centro Nacional de Salud Pública - Netlab, 2021

Elaboración: Oficina Ejecutiva de Estadística e Informática - OGIS

Fecha de descarga: julio de 2021 de la base de datos Netlab v1

Cuadro 1.113. Muestras procesadas para el diagnóstico de peste animal por tipo de examen según DISA - DIRESA/ otras instituciones remitentes al ingreso al Instituto Nacional de Salud (INS), 2020

DISA - DIRESA/ OTRAS INSTITUCIONES	Número de muestras únicas ingresadas		Tipo de examen		
			Cultivo		Elisa IgG
	Total	%	N	N	P
Total	432	100.0	368	368	16
Cutervo - Cajamarca	1	0.2	1	1	-
Jaén - Cajamarca	74	17.1	68	68	-
La Libertad	357	82.6	299	299	16

P= Positivo, N= Negativo

Fuente: Instituto Nacional de Salud, Centro Nacional de Salud Pública - Netlab, 2021

Elaboración: Oficina Ejecutiva de Estadística e Informática - OGIS

Fecha de descarga: julio de 2021 de la base de datos Netlab v1

Cuadro 1.114. Muestras procesadas para el diagnóstico de peste humana por tipo de examen según mes de ingreso al Instituto Nacional de Salud (INS), 2020

MES	Número de muestras únicas ingresadas				Tipo de examen		
					Cultivo	Elisa IgG	PCR
	Total	Sexo		N			
	Fem.	Masc.	%				
Total	17	0	17	100.0	5	7	10
Enero	2	-	2	11.8	1	1	1
Febrero	2	-	2	11.8	-	1	1
Marzo	0	-	-	0.0	-	-	-
Abril	0	-	-	0.0	-	-	-
Mayo	0	-	-	0.0	-	-	-
Junio	0	-	-	0.0	-	-	-
Julio	0	-	-	0.0	-	-	-
Agosto	4	-	4	23.5	-	2	2
Septiembre	0	-	-	0.0	-	-	-
Octubre	9	-	9	52.9	4	3	6
Noviembre	0	-	-	0.0	-	-	-
Diciembre	0	-	-	0.0	-	-	-

P= Positivo, N= Negativo

Fuente: Instituto Nacional de Salud, Centro Nacional de Salud Pública - Netlab, 2021

Elaboración: Oficina Ejecutiva de Estadística e Informática - OGIS

Fecha de descarga: julio de 2021 de la base de datos Netlab v1

Cuadro 1.115. Muestras procesadas para el diagnóstico de peste humana por tipo de examen según DISA - DIRESA/ otras instituciones remitentes al Instituto Nacional de Salud (INS), 2020

MES	Número de muestras únicas ingresadas				Tipo de examen		
					Cultivo	Elisa IgG	PCR
	Total	Sexo		N			
	Fem.	Masc.	%				
Total	17	0	17	100.0	5	7	10
Jaén - Cajamarca	7	-	7	41.2	-	3	4
La Libertad	3	-	3	17.6	2	1	2
Lambayeque	4	-	4	23.5	1	2	2
Piura	3	-	3	17.6	2	1	2

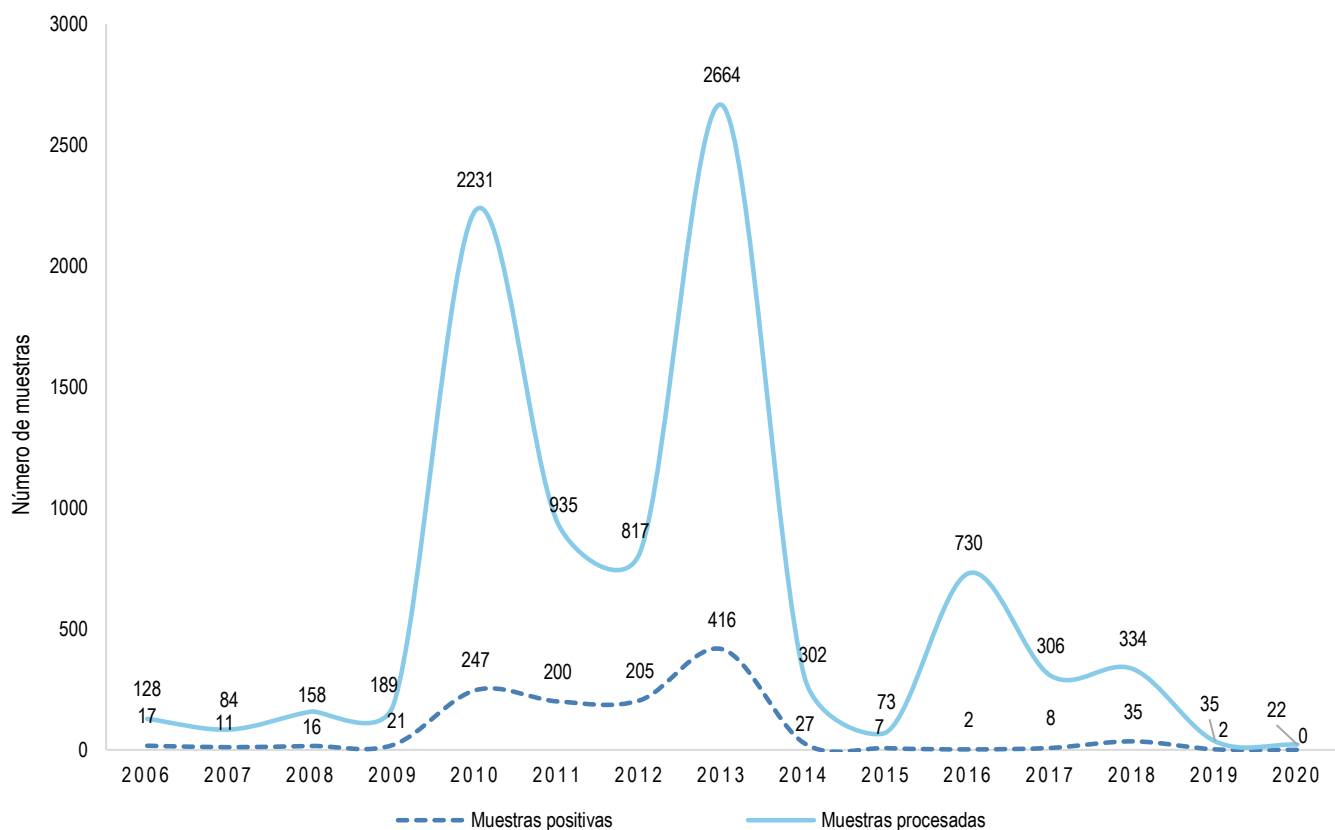
P= Positivo, N= Negativo

Fuente: Instituto Nacional de Salud, Centro Nacional de Salud Pública - Netlab, 2021

Elaboración: Oficina Ejecutiva de Estadística e Informática - OGIS

Fecha de descarga: julio de 2021 de la base de datos Netlab v1

Gráfico 1.18. Tendencia de muestras procesadas y positivas para el diagnóstico de peste humana, Instituto Nacional de Salud (INS), 2006-2020



Fuente: Instituto Nacional de Salud, Centro Nacional de Salud Pública - Netlab, 2021

Elaboración: Oficina Ejecutiva de Estadística e Informática - OGIS

Fecha de acceso: julio de 2021 de la base de datos Netlab v1

LABORATORIO DE ZONOSIS PARASITARIAS

Cuadro 1.116. Muestras procesadas para el diagnóstico de cisticercosis por tipo de examen según mes de ingreso al Instituto Nacional de Salud (INS), 2020

MES	Número de muestras procesadas				Tipo de examen	
	Total	Sexo		%	Immunoblot	
		fem.	masc.		N	P
Total	466	242	224	100.0	437	29
Enero	84	41	43	18.0	79	5
Febrero	76	46	30	16.3	66	10
Marzo	45	26	19	9.7	41	4
Abril	4	3	1	0.9	4	-
Mayo	17	13	4	3.6	13	4
Junio	7	4	3	1.5	7	-
Julio	11	5	6	2.4	9	2
Agosto	3	1	2	0.6	2	1
Septiembre	27	13	14	5.8	27	-
Octubre	30	11	19	6.4	29	1
Noviembre	44	33	11	9.4	43	1
Diciembre	118	46	72	25.3	117	1

NR= No reactivo, P= Positivo, N= Negativo

Fuente: Instituto Nacional de Salud, Centro Nacional de Salud Pública - Netlab, 2021

Elaboración: Oficina Ejecutiva de Estadística e Informática - OGIS

Fecha de descarga: julio de 2021 de la base de datos Netlab v1

Cuadro 1.117. Muestras procesadas para el diagnóstico de cisticercosis por tipo de examen según DISA - DIRESA/ otras instituciones remitentes al Instituto Nacional de Salud (INS), 2020

DISA - DIRESA/ OTRAS INSTITUCIONES	Número de muestras procesadas				Tipo de examen	
	Total	Sexo		%	N	P
		fem.	masc.			
						Immunoblot
Total	466	242	224	100.0	437	29
Amazonas	2	-	2	0.4	2	-
Apurímac	21	12	9	4.5	20	1
Arequipa	108	33	75	23.2	108	-
Ayacucho	65	41	24	13.9	64	1
Cajamarca	2	-	2	0.4	2	-
Callao	2	-	2	0.4	2	-
Chanka - Apurímac	1	-	1	0.2	1	-
Cusco	73	48	25	15.7	62	11
Huancavelica	10	9	1	2.1	10	-
Huánuco	2	1	1	0.4	2	-
Ica	1	-	1	0.2	1	-
Junín	38	17	21	8.2	31	7
La Libertad	4	-	4	0.9	4	-
Lambayeque	2	1	1	0.4	1	1
Lima Sur	6	2	4	1.3	5	1
Lima Provincias	29	20	9	6.2	26	3
Lima Ciudad	5	2	3	1.1	5	-
Madre de Dios	1	-	1	0.2	1	-
Piura	2	-	2	0.4	2	-
Puno	16	9	7	3.4	16	-
San Martín	3	2	1	0.6	3	-
Tacna	41	29	12	8.8	41	-
Ucayali	4	2	2	0.9	4	-
Instituto Nacional de Salud	3	3	-	0.6	3	-
Consultorio Particular	25	11	14	5.4	21	4

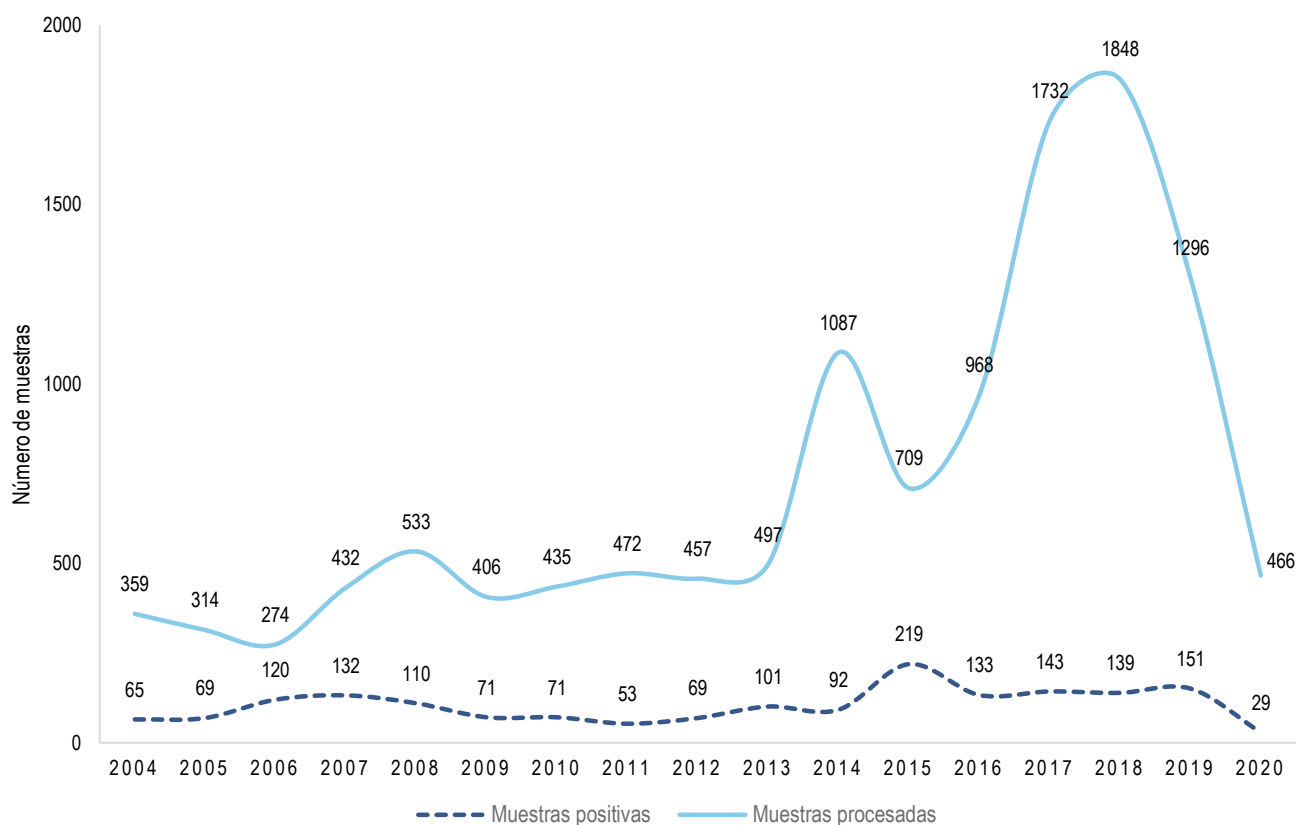
NR= No reactivo, P= Positivo, N= Negativo

Fuente: Instituto Nacional de Salud, Centro Nacional de Salud Pública - Netlab, 2021

Elaboración: Oficina Ejecutiva de Estadística e Informática - OGIS

Fecha de descarga: julio de 2021 de la base de datos Netlab v1

Gráfico 1.19. Tendencia de muestras procesadas y positivas para el diagnóstico de cisticercosis, Instituto Nacional de Salud (INS), 2004 -2020



Fuente: Instituto Nacional de Salud, Centro Nacional de Salud Pública - Netlab, 2021
Elaboración: Oficina Ejecutiva de Estadística e Informática - OGIS

Cuadro 1.118. Muestras procesadas para el diagnóstico de hidatidosis o echinococosis por tipo de examen según mes de ingreso al Instituto Nacional de Salud (INS), 2020

MES	Número de muestras únicas ingresadas				Inmunoblot	
	Total	Sexo		%	N	P
		fem.	masc.			
Total	779	431	348	100.0	667	112
Enero	126	83	43	16.2	109	17
Febrero	193	91	102	24.8	166	27
Marzo	104	71	33	13.4	87	17
Abril	3	3	-	0.4	2	1
Mayo	11	5	6	1.4	9	2
Junio	18	9	9	2.3	15	3
Julio	12	7	5	1.5	9	3
Agosto	9	6	3	1.2	8	1
Septiembre	44	22	22	5.6	36	8
Octubre	46	26	20	5.9	38	8
Noviembre	66	45	21	8.5	49	17
Diciembre	147	63	84	18.9	139	8

P= Positivo, N= Negativo

Fuente: Instituto Nacional de Salud, Centro Nacional de Salud Pública - Netlab, 2021

Elaboración: Oficina Ejecutiva de Estadística e Informática - OGIS

Fecha de descarga: julio de 2021 de la base de datos Netlab v1

Cuadro 1.119. Muestras procesadas para el diagnóstico de hidatidosis o echinococosis por tipo de examen según DISA - DIRESA/ otras instituciones remitentes al Instituto Nacional de Salud (INS), 2020

DISA - DIRESA/ OTRAS INSTITUCIONES	Número de muestras procesadas				N	P
	Total	Sexo		%		
		fem.	masc.			
Total	779	431	348	100.0	667	112
Ancash	1	1	-	0.1	1	-
Andahuaylas - Apurímac	1	-	1	0.1	1	-
Apurímac	13	6	7	1.7	12	1
Arequipa	74	14	60	9.5	73	1
Ayacucho	84	55	29	10.8	73	11
Cajamarca	3	2	1	0.4	3	-
Callao	3	-	3	0.4	3	-
Chanka - Apurímac	1	-	1	0.1	1	-
Cusco	77	54	23	9.9	69	8
Huancavelica	85	23	62	10.9	78	7
Huánuco	2	1	1	0.3	2	-
Junín	111	73	38	14.2	80	31
La Libertad	2	2	-	0.3	2	-
Lima Sur	31	15	16	4.0	21	10
Lima Este	9	5	4	1.2	7	2
Lima Provincias	39	22	17	5.0	26	13
Lima Ciudad	17	12	5	2.2	15	2
Madre de Dios	1	1	-	0.1	1	-
Moquegua	6	3	3	0.8	5	1
Pasco	6	4	2	0.8	6	-
Puno	18	10	8	2.3	12	6
San Martín	4	4	-	0.5	4	-
Tacna	42	29	13	5.4	39	3
Ucayalí	4	3	1	0.5	4	-
Instituto Nacional de Salud	13	7	6	1.7	12	1
Essalud	2	2	-	0.3	-	2
Consultorio particular	130	83	47	16.7	117	13

P= Positivo, N= Negativo

Fuente: Instituto Nacional de Salud, Centro Nacional de Salud Pública - Netlab, 2021

Elaboración: Oficina Ejecutiva de Estadística e Informática - OGIS

Fecha de descarga: julio de 2021 de la base de datos Netlab v1

Cuadro 1.120. Muestras procesadas para el diagnóstico de fasciolosis por tipo de examen según mes de ingreso al Instituto Nacional de Salud (INS), 2020

MES	Número de muestras únicas procesadas				Tipo de examen	
					Inmunoblot IgG	
	Total	Sexo		%	N	P
	fem.	masc.				
Total	395	189	206	100.0	347	45
Enero	46	23	23	11.6	34	12
Febrero	101	31	70	25.6	81	20
Marzo	40	29	11	10.1	35	5
Abril	2	1	1	0.5	2	-
Mayo	10	6	4	2.5	7	3
Junio	1	1	-	0.3	1	-
Julio	0	-	-	0.0	-	-
Agosto	2	1	1	0.5	1	1
Septiembre	25	13	12	6.3	25	-
Octubre	21	9	12	5.3	21	-
Noviembre	35	31	4	8.9	32	1
Diciembre	112	44	68	28.4	108	3

NR= No Reactivo, P= Positivo, N= Negativo, R= Reactivo

Fuente: Instituto Nacional de Salud, Centro Nacional de Salud Pública - Netlab, 2021

Elaboración: Oficina Ejecutiva de Estadística e Informática - OGIS

Fecha de descarga: julio de 2021 de la base de datos Netlab v1

Cuadro 1.121. Muestras procesadas para el diagnóstico de fasciolosis por tipo de examen según DISA - DIRESA/ otras instituciones remitentes al Instituto Nacional de Salud (INS), 2020

DISA - DIRESA/ OTRAS INSTITUCIONES	Número de muestras únicas ingresadas				Tipo de examen	
	Total	Sexo		%	Inmunoblot IgG	
		fem.	masc.		N	P
Total	395	189	206	100.0	347	45
Amazonas	1	1	-	0.3	22	5
Apurímac	27	15	12	6.8	70	7
Arequipa	77	14	63	19.5	57	1
Ayacucho	60	37	23	15.2	2	-
Cajamarca	2	1	1	0.5	1	-
Chanka - Apurímac	1	-	1	0.3	56	7
Cusco	63	48	15	15.9	51	3
Huancavelica	54	5	49	13.7	8	4
Junín	12	5	7	3.0	2	1
La Libertad	3	3	-	0.8	-	1
Lambayeque	1	1	-	0.3	25	3
Lima Provincias	28	17	11	7.1	9	-
Lima Ciudad	9	5	4	2.3	10	13
Puno	23	14	9	5.8	31	-
Tacna	31	22	9	7.8	3	-
Consultorio particular	3	1	2	0.8	-	-

P= Positivo, N= Negativo

Fuente: Instituto Nacional de Salud, Centro Nacional de Salud Pública - Netlab, 2021

Elaboración: Oficina Ejecutiva de Estadística e Informática - OGIS

Fecha de descarga: julio de 2021 de la base de datos Netlab v1

Cuadro 1.122. Muestras procesadas para el diagnóstico de toxoplasmosis por tipo de examen según mes de ingreso al Instituto Nacional de Salud (INS), 2020

MES	Número de muestras únicas ingresadas					Tipo de examen								
						Inmunofluorescencia indirecta IgG						Inmunofluorescencia indirecta IgM		
	Total	Sexo		NE 1/	%	N	P 1/16	P 1/64	P 1/256	P 1/1024	P 1/2048	N	P 1/16	P 1/64
		Fem.	Masc.											
Total	800	482	295	23	100.0	349	46	127	133	132	13	787	10	3
Enero	159	113	44	2	19.9	44	10	25	41	34	5	158	1	-
Febrero	121	69	52	-	15.1	48	8	17	18	30	-	117	4	-
Marzo	101	66	32	3	12.6	38	4	10	27	20	2	100	1	-
Abril	37	26	10	1	4.6	12	1	6	4	14	-	37	-	-
Mayo	64	54	10	-	8.0	17	2	12	21	10	2	62	1	1
Junio	27	17	10	-	3.4	13	5	5	1	3	-	27	-	-
Julio	23	11	10	2	2.9	13	5	4	1	-	-	23	-	-
Agosto	31	14	17	-	3.9	18	4	2	4	3	-	29	2	-
Septiembre	23	11	12	-	2.9	8	2	2	8	2	1	23	-	-
Octubre	75	38	33	4	9.4	38	5	14	8	7	3	72	1	2
Noviembre	60	30	26	4	7.5	41	-	15	-	4	-	60	-	-
Diciembre	79	33	39	7	9.9	59	-	15	-	5	-	79	-	-

P= Positivo, N= Negativo

1/ No especifica el origen de la muestra

Fuente: Instituto Nacional de Salud, Centro Nacional de Salud Pública - Netlab, 2021

Elaboración: Oficina Ejecutiva de Estadística e Informática - OGIS

Fecha de descarga: julio de 2021 de la base de datos Netlab v1

Cuadro 1.123. Muestras procesadas para el diagnóstico de toxoplasmosis por tipo de examen según DISA - DIRESA/ otras instituciones remitentes al Instituto Nacional de Salud (INS), 2020

DISA - DIRESA/ OTRAS INSTITUCIONES	Número de muestras únicas ingresadas					Tipo de examen								
						Inmunofluorescencia indirecta IgG						Inmunofluorescencia indirecta IgM		
	Total	Sexo		NE 1/	%	N	P 1/16	P 1/64	P 1/256	P 1/1024	P 1/2048	N	P 1/16	P 1/64
		Fem.	Masc.											
Total	800	482	295	23	100.0	349	46	127	133	132	13	787	10	3
Amazonas	1	1	-	-	0.1	1	-	-	-	-	-	1	-	-
Ancash	1	1	-	-	0.1	1	-	-	-	-	-	1	-	-
Apurímac	10	4	6	-	1.3	4	1	2	2	1	-	10	-	-
Arequipa	2	-	2	-	0.3	2	-	-	-	-	-	2	-	-
Ayacucho	18	9	9	-	2.3	6	1	4	2	4	1	18	-	-
Cajamarca	36	15	20	1	4.5	20	4	2	3	6	1	35	1	-
Callao	1	-	1	-	0.1	1	-	-	-	-	-	1	-	-
Cusco	65	21	38	6	8.1	38	4	9	7	5	2	63	1	1
Huancavelica	10	5	5	-	1.3	9	-	-	-	1	-	10	-	-
Huánuco	3	1	2	-	0.4	1	-	-	1	1	-	3	-	-
Ica	7	4	3	-	0.9	5	1	1	-	-	-	7	-	-
Jaén - Cajamarca	11	7	4	-	1.4	5	-	-	3	-	1	11	-	-
Junín	145	74	64	7	18.1	86	10	21	18	8	2	144	1	-
La Libertad	18	10	8	-	2.3	8	1	3	1	5	-	18	-	-
Lambayeque	63	35	27	1	7.9	33	2	6	9	13	-	61	2	-
Lima Sur	50	19	29	2	6.3	27	5	9	4	5	-	50	-	-
Lima Provincias	27	14	12	1	3.4	16	6	4	1	-	-	27	-	-
Lima Ciudad	25	13	9	3	3.1	18	-	3	2	2	-	25	-	-
Loreto	3	2	1	-	0.4	1	-	-	1	1	-	3	-	-
Luciano Castillo - Piura	5	2	3	-	0.6	2	-	1	1	1	-	5	-	-
Moquegua	2	1	1	-	0.3	1	1	-	-	-	-	2	-	-
Piura	62	35	25	2	7.8	28	5	11	7	10	1	59	2	1
Tacna	6	3	3	-	0.8	6	-	-	-	-	-	6	-	-
Ucayali	219	204	15	-	27.4	24	4	49	71	66	5	215	3	1
Instituto Nacional de Salud	4	1	3	-	0.5	3	-	2	-	1	-	4	-	-
Consultorio particular	6	1	5	-	0.8	3	1	-	-	2	-	6	-	-

P= Positivo, N= Negativo

1/ No especifica el origen de la muestra

Fuente: Instituto Nacional de Salud, Centro Nacional de Salud Pública - Netlab, 2021

Elaboración: Oficina Ejecutiva de Estadística e Informática - OGIS

Fecha de descarga: julio de 2021 de la base de datos Netlab v1

LABORATORIO DE ZONOSIS VIRALES

Cuadro 1.124. Muestras procesadas para el diagnóstico de rabia animal por tipo de examen según mes de ingreso al Instituto Nacional de Salud (INS), 2020

MES	Número de muestras únicas ingresadas		Tipo de examen				
			Inmunofluorescencia directa		RT-PCR Rabia		Cultivo Celular
	Total	%	N	P	N	P	N
Total	869	100.0	2.525	77	770	36	63
Enero	110	12.7	164	8	74	1	35
Febrero	93	10.7	152	4	82	5	6
Marzo	86	9.9	175	3	59	5	22
Abril	13	1.5	267	6	13	-	-
Mayo	9	1.0	225	7	9	-	-
Junio	21	2.4	237	6	19	2	-
Julio	60	6.9	206	3	50	10	-
Agosto	199	22.9	154	14	197	2	-
Septiembre	57	6.6	213	9	57	-	-
Octubre	72	8.3	294	8	66	6	-
Noviembre	65	7.5	204	3	63	2	-
Diciembre	84	9.7	234	6	81	3	-

P= Positivo, N= Negativo, PA= Presencia de anticuerpos, AA= Ausencia de anticuerpos

Fuente: Instituto Nacional de Salud, Centro Nacional de Salud Pública - Netlab, 2021

Elaboración: Oficina Ejecutiva de Estadística e Informática - OGIS

Fecha de descarga: julio de 2021 de la base de datos Netlab v1

Cuadro 1.125. Muestras procesadas para el diagnóstico de rabia animal por tipo de examen según DISA - DIRESA / otras instituciones remitentes al Instituto Nacional de Salud (INS), 2020

DISA - DIRESA/ OTRAS INSTITUCIONES	Número de muestras únicas ingresadas		Tipo de examen				
			Inmunofluorescencia directa		RT-PCR Rabia		Cultivo Celular
	Total	%	N	P	N	P	N
Total	869	100.0	810	36	770	36	63
Amazonas	27	3.1	26	1	6	1	20
Apurímac	35	4.0	26	9	26	9	-
Arequipa	140	16.1	123	17	123	17	-
Ayacucho	77	8.9	77	-	76	-	1
Bagua - Amazonas	262	30.1	261	1	229	1	32
Cajamarca	2	0.2	2	-	2	-	-
Cusco	36	4.1	34	-	36	-	-
Cutervo - Cajamarca	1	0.1	1	-	1	-	-
Huancavelica	2	0.2	2	-	2	-	-
Huánuco	1	0.1	1	-	1	-	-
Ica	5	0.6	5	-	4	-	-
Jaén - Cajamarca	9	1.0	9	-	9	-	1
Junín	53	6.1	53	-	53	-	-
La Libertad	7	0.8	7	-	7	-	-
Lambayeque	6	0.7	6	-	6	-	-
Lima Este	32	3.7	32	-	32	-	-
Lima Provincias	5	0.6	3	-	3	-	2
Lima Ciudad	35	4.0	20	-	35	-	-
Loreto	9	1.0	9	-	9	-	-
Luciano Castillo - Piura	1	0.1	1	-	1	-	-
Madre de Dios	7	0.8	5	-	6	-	1
Moquegua	1	0.1	1	-	1	-	-
Pasco	14	1.6	13	1	7	1	6
Piura	5	0.6	4	1	4	1	-
Puno	82	9.4	76	5	77	5	-
San Martín	1	0.1	-	1	-	1	-
Tacna	13	1.5	12	-	13	-	-
Tumbes	1	0.1	1	-	1	-	-

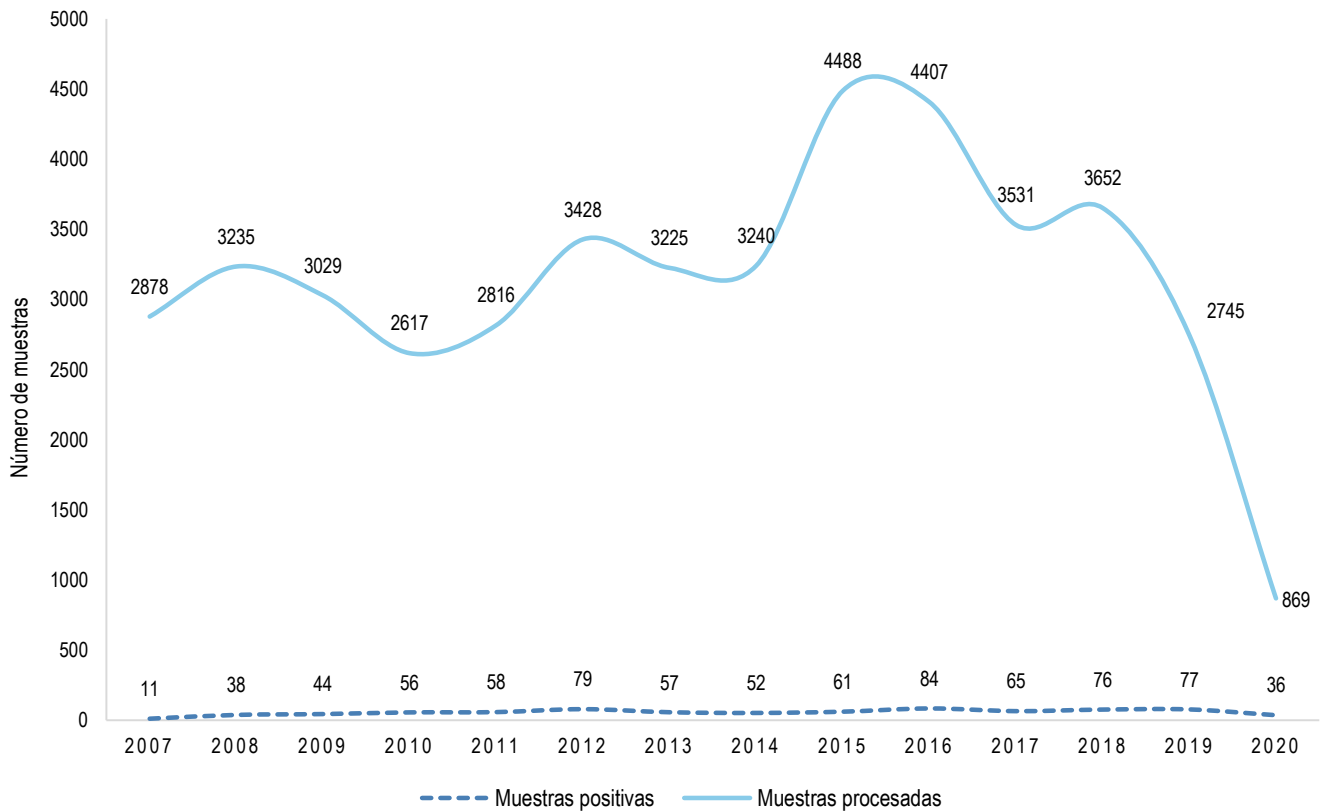
P= Positivo, N= Negativo, PA= Presencia de anticuerpos, AA= Ausencia de anticuerpos

Fuente: Instituto Nacional de Salud, Centro Nacional de Salud Pública - Netlab, 2021

Elaboración: Oficina Ejecutiva de Estadística e Informática - OGIS

Fecha de descarga: julio de 2021 de la base de datos Netlab v1

Gráfico 1.20. Tendencia de muestras procesadas y positivas para el diagnóstico de rabia animal, Instituto Nacional de Salud (INS), 2007-2020



Fuente: Instituto Nacional de Salud, Centro Nacional de Salud Pública - Netlab, 2021

Elaboración: Oficina Ejecutiva de Estadística e Informática - OGIS

Fecha de descarga: julio de 2021 de la base de datos Netlab v1

Cuadro 1.126. Muestras procesadas para el diagnóstico de rabia humana por tipo de examen según mes de ingreso al Instituto Nacional de Salud (INS), 2020

MES	Número de muestras únicas ingresadas				Tipo de examen			
					Hemifnestec RT-PCR	Inmunofluorescencia directa	Prueba RFFIT	
	N	P	AA	PA				
			Total	Sexo			%	
Fem.	Masc.							
Total	84	42	42	100.0	2	1	2	76
Enero	57	30	27	67.9	-	-	2	55
Febrero	21	12	9	25.0	-	-	-	21
Marzo	1	-	1	1.2	-	-	-	-
Abril	1	-	1	1.2	-	-	-	-
Mayo	0	-	-	0.0	-	-	-	-
Junio	0	-	-	0.0	-	-	-	-
Julio	0	-	-	0.0	-	-	-	-
Agosto	1	-	1	1.2	-	1	-	-
Septiembre	3	-	3	3.6	2	-	-	-
Octubre	0	-	-	0.0	-	-	-	-
Noviembre	0	-	-	0.0	-	-	-	-
Diciembre	0	-	-	0.0	-	-	-	-

P= Positivo, N= Negativo, AA= Ausencia de anticuerpos, PA= Presencia de anticuerpos

Fuente: Instituto Nacional de Salud, Centro Nacional de Salud Pública - Netlab, 2021

Elaboración: Oficina Ejecutiva de Estadística e Informática - OGIS

Fecha de descarga: julio de 2021 de la base de datos Netlab v1

Cuadro 1.127. Muestras procesadas para el diagnóstico de rabia humana por tipo de examen según DISA - DIRESA/ otras instituciones remitentes al Instituto Nacional de Salud (INS), 2020

DISA - DIRESA/ OTRAS INSTITUCIONES	Número de muestras únicas ingresadas				Tipo de examen			
					Hemítested RT-PCR	Inmunofluorescencia directa	Prueba RFFIT	
	N	P	AA	PA				
			Total	Sexo		%		
Fem.	Masc.							
Total	84	42	42	100.0	2	1	2	76
Amazonas	2	-	2	2.4	2	-	-	-
Apurímac	1	-	1	1.2	-	1	-	-
Cusco	45	21	24	53.6	-	-	2	42
Lima Ciudad	1	-	1	1.2	-	-	-	1
Loreto	1	-	1	1.2	-	-	-	-
Instituto Nacional de Salud	34	21	13	40.5	-	-	-	33

P= Positivo, N= Negativo, NP= No se procesó, AA= Ausencia de anticuerpos, PA= Presencia de anticuerpos

Fuente: Instituto Nacional de Salud, Centro Nacional de Salud Pública - Netlab, 2021

Elaboración: Oficina Ejecutiva de Estadística e Informática - OGIS

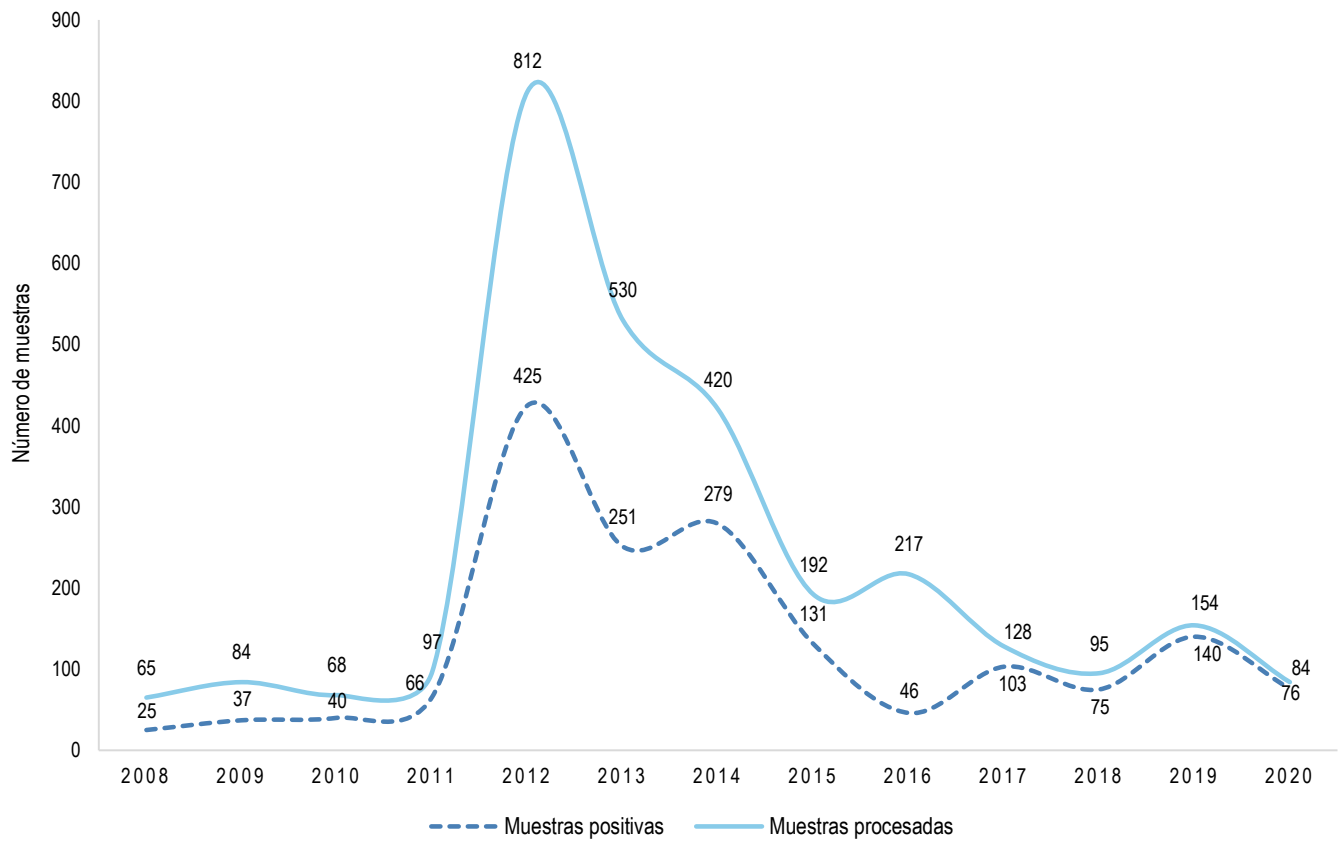
Fecha de descarga: julio de 2021 de la base de datos Netlab v1

Mapa 1.27 Distribución de muestras positivas para diagnóstico de rabia humana según departamentos, INS, 2020



Fuente: Instituto Nacional de Salud, Centro Nacional de Salud Pública, Netlab, 2021
Elaboración: Oficina Ejecutiva de Estadística e Informática, OGIS

Gráfico 1.21. Tendencia de muestras procesadas y positivas para el diagnóstico de rabia humana, Instituto Nacional de Salud (INS), 2008-2020



Fuente: Instituto Nacional de Salud, Centro Nacional de Salud Pública - Netlab, 2021

Elaboración: Oficina Ejecutiva de Estadística e Informática - OGIS

Fecha de descarga: julio de 2021 de la base de datos Netlab v1



**CENTRO NACIONAL
DE ALIMENTACIÓN
Y NUTRICIÓN**



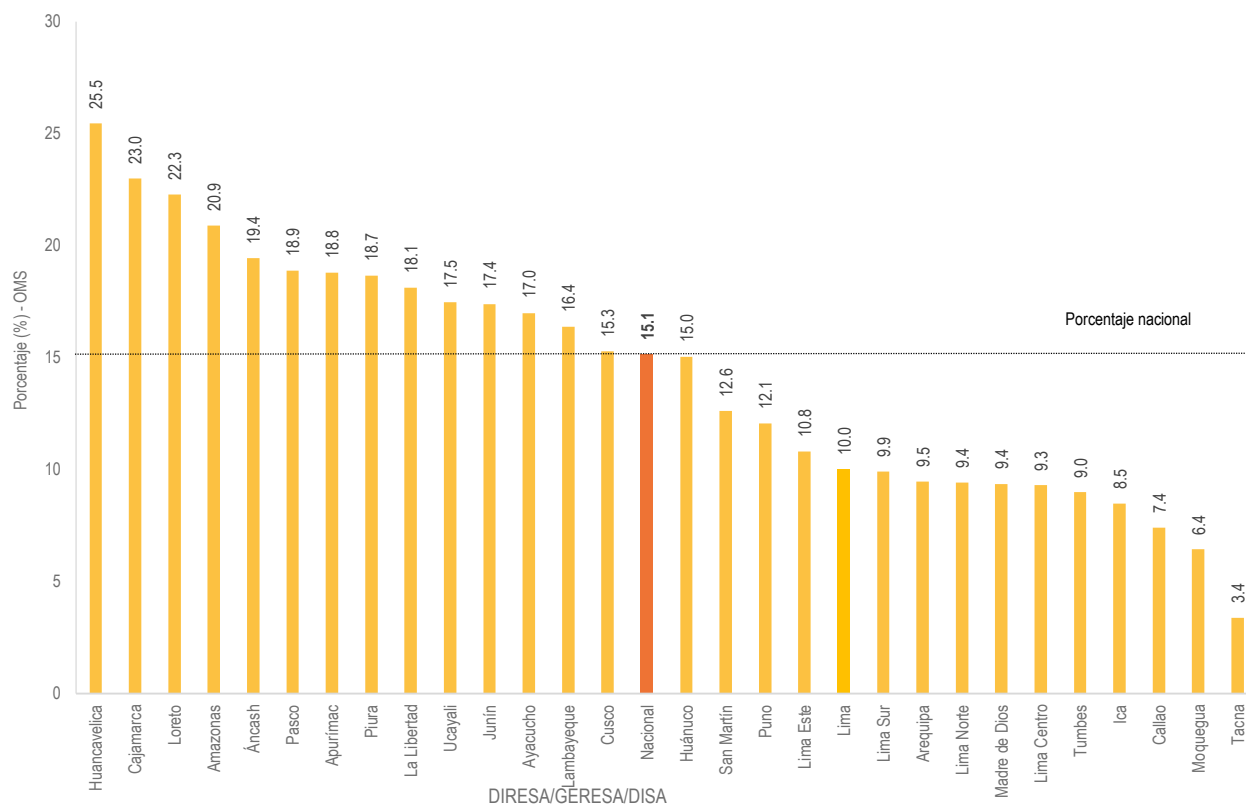
Cuadro 2.1. Proporción de desnutrición crónica (talla/edad) en niño/as menores de tres años que acceden a los establecimientos de salud por criterio de evaluación según DIRESA/ GERESA/ DISA; HIS, 2020

DISA/ GERESA/ DIRESA	ORGANIZACIÓN MUNDIAL DE SALUD		
	N.º Evaluados	Casos	(%)
Nacional	706 592	106 968	15.1
Amazonas	19118	3996	20.9
Áncash	22818	4434	19.4
Apurímac	11907	2237	18.8
Arequipa	26450	2501	9.5
Ayacucho	21828	3708	17.0
Cajamarca	58000	13335	23.0
Callao	17555	1299	7.4
Cusco	30913	4724	15.3
Huancavelica	12617	3213	25.5
Huánuco	26686	4010	15.0
Ica	27266	2315	8.5
Junín	23952	4166	17.4
La Libertad	33113	5997	18.1
Lambayeque	25274	4138	16.4
Lima	31806	3185	10.0
Lima Centro	18599	1730	9.3
Lima Este	21414	2315	10.8
Lima Norte	39011	3673	9.4
Lima Sur	27642	2743	9.9
Loreto	33472	7456	22.3
Madre de Dios	7369	690	9.4
Moquegua	4080	263	6.4
Pasco	8878	1676	18.9
Piura	63047	11766	18.7
Puno	33090	3990	12.1
San Martín	29342	3700	12.6
Tacna	8608	292	3.4
Tumbes	6542	588	9.0
Ucayali	16195	2828	17.5

Fuente: Ministerio de Salud, Vice Ministerio de Salud Pública, Oficina General de Tecnologías de la Información, HIS, Instituto Nacional de Salud (INS), Centro Nacional de Alimentación y Nutrición, Dirección Ejecutiva de Vigilancia Alimentaria y Nutricional, Sistema de Información del Estado Nutricional (SIEN)

Elaboración: Área de Bioestadística y Análisis de Datos, DEVAN, INS y Oficina Ejecutiva de Estadística e Informática - OGIS

Gráfico 2.1. Proporción de desnutrición crónica (talla/edad) en niño/as menores de tres años que acceden a los establecimientos de salud por criterio de evaluación según DIRESA/ GERESA/ DISA; HIS, 2020



Fuente: Ministerio de Salud, Vice Ministerio de Salud Pública, Oficina General de Tecnologías de la Información, HIS, Instituto Nacional de Salud (INS), Centro Nacional de Alimentación y Nutrición, Dirección Ejecutiva de Vigilancia Alimentaria y Nutricional, Sistema de Información del Estado Nutricional (SIEN)

Elaboración: Área de Bioestadística y Análisis de Datos, DEVAN, INS y Oficina Ejecutiva de Estadística e Informática - OGIS

Mapa 2.1 Prevalencia de desnutrición crónica (talla/edad) en niños/as menores de tres años que acceden a los establecimientos de salud por criterio de evaluación según DIRESA/GERESA/DISA - HIS, 2020



Fuente: Ministerio de Salud, Vice Ministerio de Salud Pública, Oficina General de Tecnologías de la Información, HIS, Instituto Nacional de Salud, Centro Nacional de Alimentación y Nutrición, Dirección Ejecutiva de Vigilancia Alimentaria y Nutricional, Sistema de Información del Estado Nutricional (SIEN)
Elaboración: Oficina Ejecutiva de Estadística e Informática, OGIS, INS

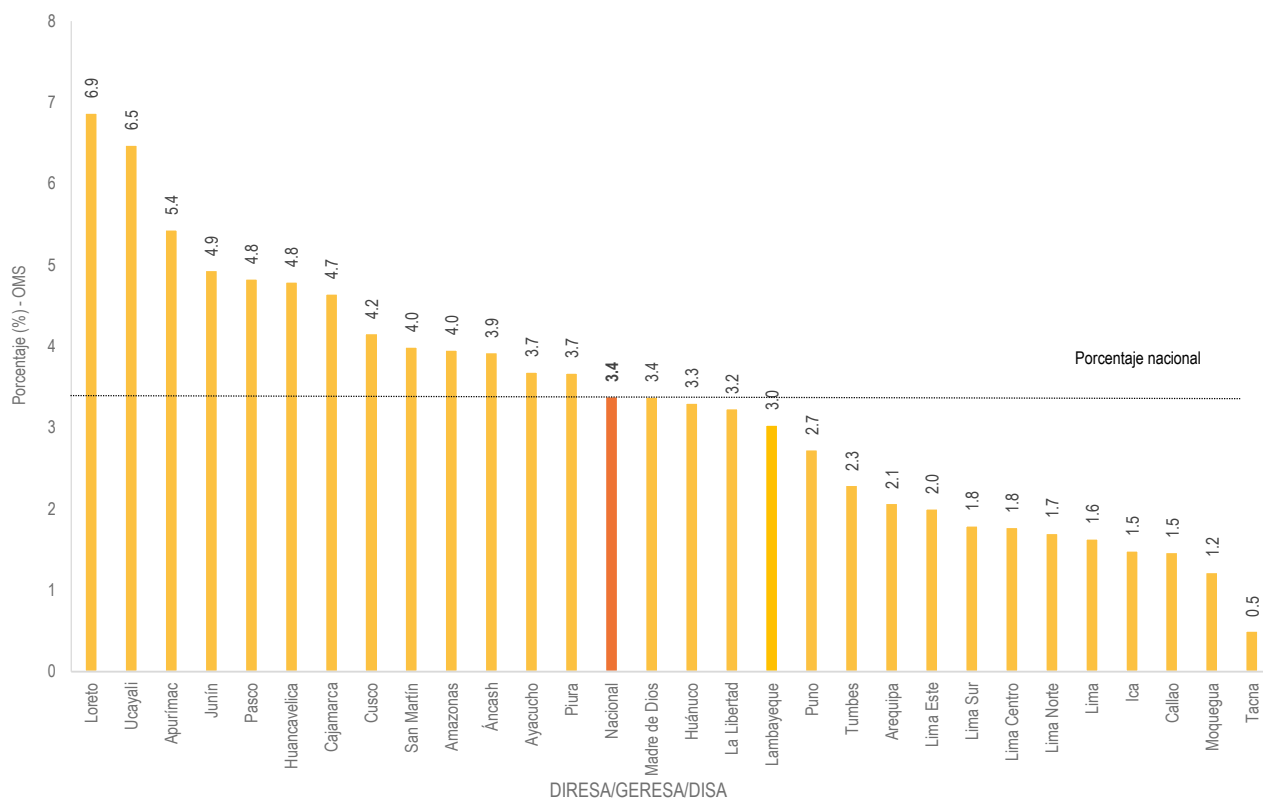
Cuadro 2.2. Proporción de desnutrición global (peso/edad) en niños/as menores de tres años que acceden a los establecimientos de salud por criterio de evaluación según DIRESA/ GERESA/ DISA; HIS, 2020

DISA/ GERESA/ DIRESA	ORGANIZACIÓN MUNDIAL DE SALUD		
	N.º Evaluados	Casos	(%)
Nacional	706 592	23913	3.4
Amazonas	19118	757	4.0
Áncash	22818	896	3.9
Apurímac	11907	647	5.4
Arequipa	26450	548	2.1
Ayacucho	21828	805	3.7
Cajamarca	58000	2697	4.7
Callao	17555	258	1.5
Cusco	30913	1286	4.2
Huancavelica	12617	605	4.8
Huánuco	26686	882	3.3
Ica	27266	406	1.5
Junín	23952	1182	4.9
La Libertad	33113	1072	3.2
Lambayeque	25274	767	3.0
Lima	31806	521	1.6
Lima Centro	18599	330	1.8
Lima Este	21414	429	2.0
Lima Norte	39011	665	1.7
Lima Sur	27642	497	1.8
Loreto	33472	2300	6.9
Madre de Dios	7369	249	3.4
Moquegua	4080	50	1.2
Pasco	8878	429	4.8
Piura	63047	2315	3.7
Puno	33090	905	2.7
San Martín	29342	1173	4.0
Tacna	8608	43	0.5
Tumbes	6542	150	2.3
Ucayali	16195	1049	6.5

Fuente: Ministerio de Salud, Vice Ministerio de Salud Pública, Oficina General de Tecnologías de la Información, HIS, Instituto Nacional de Salud (INS), Centro Nacional de Alimentación y Nutrición, Dirección Ejecutiva de Vigilancia Alimentaria y Nutricional, Sistema de Información del Estado Nutricional (SIEN)

Elaboración: Área de Bioestadística y Análisis de Datos, DEVAN, INS y Oficina Ejecutiva de Estadística e Informática - OGIS

Gráfico 2.2. Proporción de desnutrición global (talla/edad) en niños/as menores de tres años que acceden a los establecimientos de salud por criterio de evaluación según DIRESA/ GERESA/ DISA; HIS, 2020



Fuente: Ministerio de Salud, Vice Ministerio de Salud Pública, Oficina General de Tecnologías de la Información, HIS, Instituto Nacional de Salud (INS), Centro Nacional de Alimentación y Nutrición, Dirección Ejecutiva de Vigilancia Alimentaria y Nutricional, Sistema de Información del Estado Nutricional (SIEN)

Elaboración: Área de Bioestadística y Análisis de Datos, DEVAN, INS y Oficina Ejecutiva de Estadística e Informática - OGIS

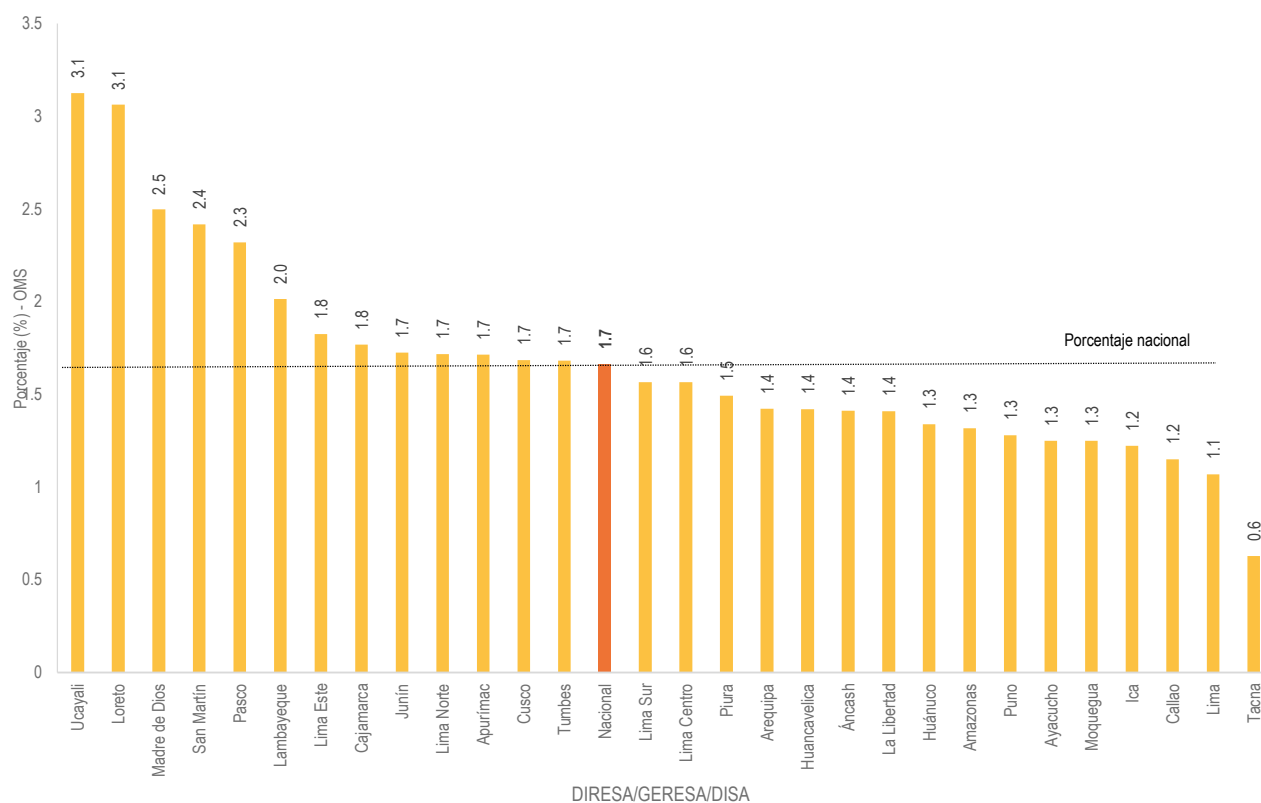
Cuadro 2.3. Proporción de desnutrición aguda en niños/as menores de tres años que acceden a los establecimientos de salud por criterio de evaluación según DIRESA/ GERESA/ DISA; HIS, 2020

DISA/ GERESA/ DIRESA	ORGANIZACIÓN MUNDIAL DE SALUD		
	N.º Evaluados	Casos	(%)
Nacional	706 592	11 767	1.7
Amazonas	19118	252	1.3
Áncash	22818	322	1.4
Apurímac	11907	204	1.7
Arequipa	26450	376	1.4
Ayacucho	21828	273	1.3
Cajamarca	58000	1025	1.8
Callao	17555	202	1.2
Cusco	30913	521	1.7
Huancavelica	12617	179	1.4
Huánuco	26686	357	1.3
Ica	27266	333	1.2
Junín	23952	413	1.7
La Libertad	33113	467	1.4
Lambayeque	25274	509	2.0
Lima	31806	340	1.1
Lima Centro	18599	291	1.6
Lima Este	21414	391	1.8
Lima Norte	39011	670	1.7
Lima Sur	27642	433	1.6
Loreto	33472	1025	3.1
Madre de Dios	7369	184	2.5
Moquegua	4080	51	1.3
Pasco	8878	206	2.3
Piura	63047	941	1.5
Puno	33090	423	1.3
San Martín	29342	709	2.4
Tacna	8608	54	0.6
Tumbes	6542	110	1.7
Ucayali	16195	506	3.1

Fuente: Ministerio de Salud, Vice Ministerio de Salud Pública, Oficina General de Tecnologías de la Información, HIS, Instituto Nacional de Salud (INS), Centro Nacional de Alimentación y Nutrición, Dirección Ejecutiva de Vigilancia Alimentaria y Nutricional, Sistema de Información del Estado Nutricional (SIEN)

Elaboración: Área de Bioestadística y Análisis de Datos, DEVAN, INS y Oficina Ejecutiva de Estadística e Informática - OGIS

Gráfico 2.3. Proporción de desnutrición aguda en niños/as menores de tres años que acceden a los establecimientos de salud por criterio de evaluación según DIRESA/GERESA/DISA; HIS, 2020



Fuente: Ministerio de Salud, Vice Ministerio de Salud Pública, Oficina General de Tecnologías de la Información, HIS, Instituto Nacional de Salud (INS), Centro Nacional de Alimentación y Nutrición, Dirección Ejecutiva de Vigilancia Alimentaria y Nutricional, Sistema de Información del Estado Nutricional (SIEN)

Elaboración: Área de Bioestadística y Análisis de Datos, DEVAN, INS y Oficina Ejecutiva de Estadística e Informática - OGIS

Mapa 2.3 Proporción de desnutrición aguda en niños/as menores de tres años que acceden a los establecimientos de salud por criterio de evaluación según DIRESA/GERESA/DISA -HIS, 2020



Fuente: Ministerio de Salud, Vice Ministerio de Salud Pública, Oficina General de Tecnologías de la Información, HIS, Instituto Nacional de Salud, Centro Nacional de Alimentación y Nutrición, Dirección Ejecutiva de Vigilancia Alimentaria y Nutricional, Sistema de Información del Estado Nutricional (SIEN)
Elaboración: Oficina Ejecutiva de Estadística e Informática, OGIS, INS

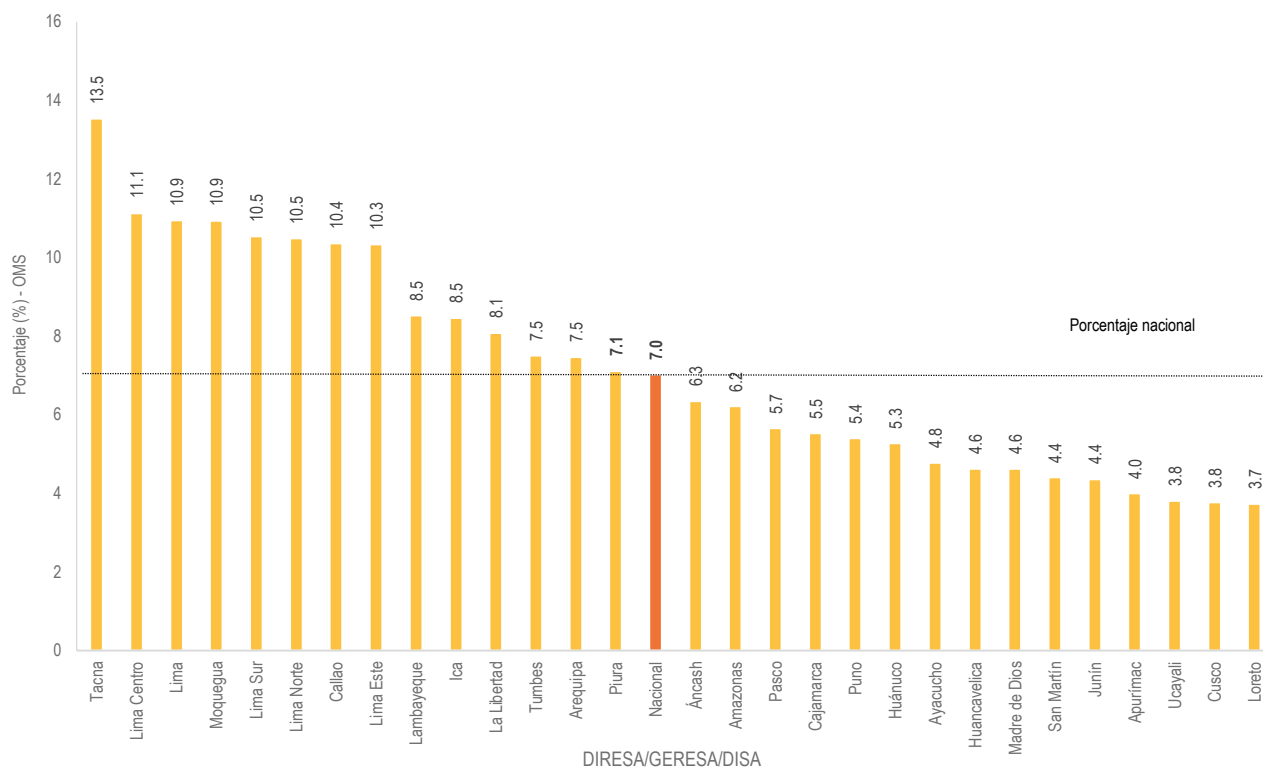
Cuadro 2.4. Proporción de sobrepeso (peso/talla) en niños/as menores de tres años que acceden a los establecimientos de salud por criterio de evaluación según DIRESA/GERESA/ DISA; HIS, 2020

DISA/ GERESA/ DIRESA	ORGANIZACIÓN MUNDIAL DE SALUD		
	N.º Evaluados	Casos	(%)
Nacional	706 592	49 634	7.0
Amazonas	19118	1188	6.2
Áncash	22818	1448	6.3
Apurímac	11907	476	4.0
Arequipa	26450	1975	7.5
Ayacucho	21828	1043	4.8
Cajamarca	58000	3204	5.5
Callao	17555	1819	10.4
Cusco	30913	1164	3.8
Huancavelica	12617	584	4.6
Huánuco	26686	1408	5.3
Ica	27266	2307	8.5
Junín	23952	1045	4.4
La Libertad	33113	2676	8.1
Lambayeque	25274	2156	8.5
Lima	31806	3480	10.9
Lima Centro	18599	2070	11.1
Lima Este	21414	2213	10.3
Lima Norte	39011	4092	10.5
Lima Sur	27642	2912	10.5
Loreto	33472	1251	3.7
Madre de Dios	7369	341	4.6
Moquegua	4080	446	10.9
Pasco	8878	502	5.7
Piura	63047	4482	7.1
Puno	33090	1787	5.4
San Martín	29342	1292	4.4
Tacna	8608	1165	13.5
Tumbes	6542	491	7.5
Ucayali	16195	617	3.8

Fuente: Ministerio de Salud, Vice Ministerio de Salud Pública, Oficina General de Tecnologías de la Información, HIS, Instituto Nacional de Salud (INS), Centro Nacional de Alimentación y Nutrición, Dirección Ejecutiva de Vigilancia Alimentaria y Nutricional, Sistema de Información del Estado Nutricional (SIEN)

Elaboración: Área de Bioestadística y Análisis de Datos, DEVAN, INS y Oficina Ejecutiva de Estadística e Informática - OGIS

Gráfico 2.4. Proporción de sobrepeso (peso/talla) en niños/as menores de tres años que acceden a los establecimientos de salud por criterio de evaluación según DIRESA/GERESA/DISA; HIS, 202



Fuente: Ministerio de Salud, Vice Ministerio de Salud Pública, Oficina General de Tecnologías de la Información, HIS, Instituto Nacional de Salud (INS), Centro Nacional de Alimentación y Nutrición, Dirección Ejecutiva de Vigilancia Alimentaria y Nutricional, Sistema de Información del Estado Nutricional (SIEN)

Elaboración: Área de Bioestadística y Análisis de Datos, DEVAN, INS y Oficina Ejecutiva de Estadística e Informática - OGIS

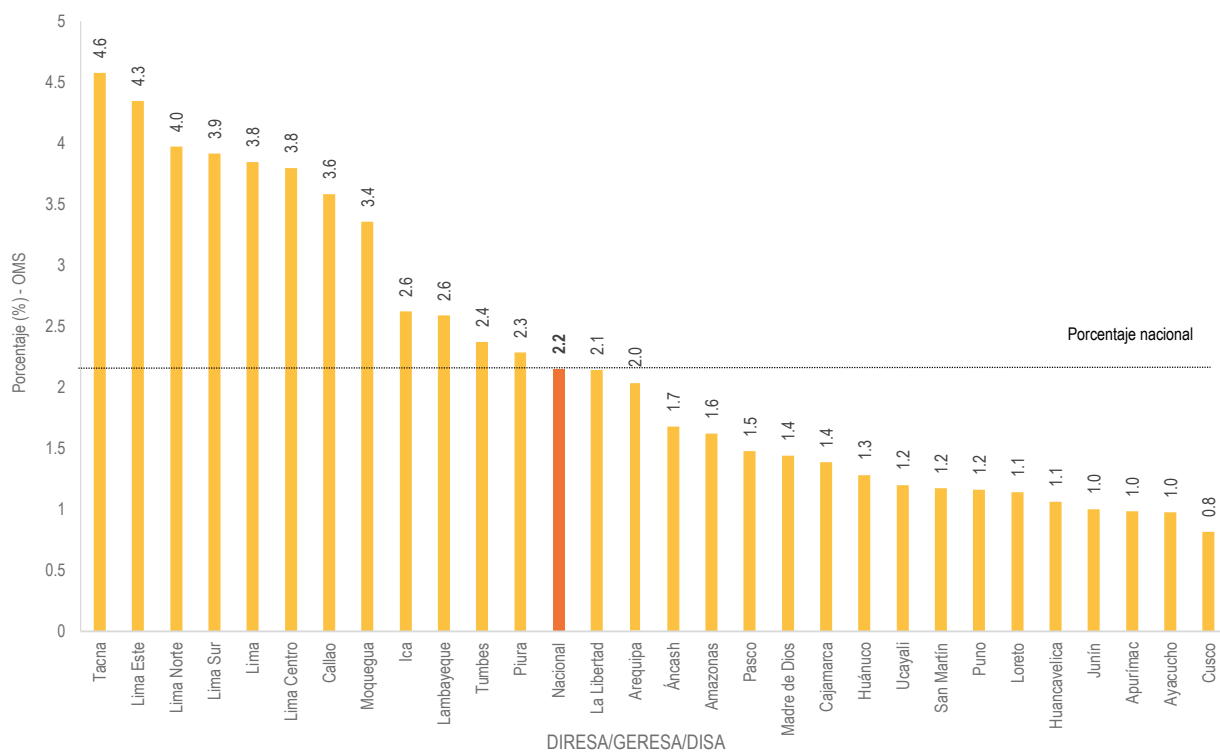
Cuadro 2.5 Proporción de obesidad (peso/ talla) en niños menores de tres años que acceden a los establecimientos de salud por criterio de evaluación según DIRESA/ GERESA/ DISA; HIS, 2020

DISA/ GERESA/ DIRESA	ORGANIZACIÓN MUNDIAL DE SALUD		
	N.º Evaluados	Casos	(%)
Nacional	706 592	15 201	2.2
Amazonas	19118	310	1.6
Áncash	22818	383	1.7
Apurímac	11907	117	1.0
Arequipa	26450	540	2.0
Ayacucho	21828	213	1.0
Cajamarca	58000	803	1.4
Callao	17555	629	3.6
Cusco	30913	252	0.8
Huancavelica	12617	134	1.1
Huánuco	26686	342	1.3
Ica	27266	715	2.6
Junín	23952	240	1.0
La Libertad	33113	709	2.1
Lambayeque	25274	654	2.6
Lima	31806	1223	3.8
Lima Centro	18599	706	3.8
Lima Este	21414	931	4.3
Lima Norte	39011	1550	4.0
Lima Sur	27642	1082	3.9
Loreto	33472	382	1.1
Madre de Dios	7369	106	1.4
Moquegua	4080	137	3.4
Pasco	8878	131	1.5
Piura	63047	1441	2.3
Puno	33090	384	1.2
San Martín	29342	344	1.2
Tacna	8608	394	4.6
Tumbes	6542	155	2.4
Ucayali	16195	194	1.2

Fuente: Ministerio de Salud, Vice Ministerio de Salud Pública, Oficina General de Tecnologías de la Información, HIS, Instituto Nacional de Salud (INS), Centro Nacional de Alimentación y Nutrición, Dirección Ejecutiva de Vigilancia Alimentaria y Nutricional, Sistema de Información del Estado Nutricional (SIEN)

Elaboración: Área de Bioestadística y Análisis de Datos, DEVAN, INS y Oficina Ejecutiva de Estadística e Informática - OGIS

Gráfico 2.5. Proporción de obesidad (peso/talla) en niños/as menores de tres años que acceden a los establecimientos de salud por criterio de evaluación según DIRESA/GERESA/DISA; HIS, 2020



Fuente: Ministerio de Salud, Vice Ministerio de Salud Pública, Oficina General de Tecnologías de la Información, HIS, Instituto Nacional de Salud (INS), Centro Nacional de Alimentación y Nutrición, Dirección Ejecutiva de Vigilancia Alimentaria y Nutricional, Sistema de Información del Estado Nutricional (SIEN)

Elaboración: Área de Bioestadística y Análisis de Datos, DEVAN, INS y Oficina Ejecutiva de Estadística e Informática - OGIS

Mapa 2.5 Proporción de obesidad (peso/talla) en niños/as menores de tres años que acceden a los establecimientos de salud por criterio de evaluación según DIRESA/GERESA/DISA - HIS,2020



Fuente: Ministerio de Salud, Vice Ministerio de Salud Pública, Oficina General de Tecnologías de la Información, HIS, Instituto Nacional de Salud, Centro Nacional de Alimentación y Nutrición, Dirección Ejecutiva de Vigilancia Alimentaria y Nutricional, Sistema de Información del Estado Nutricional (SIEN)
Elaboración: Oficina Ejecutiva de Estadística e Informática, OGIS, INS

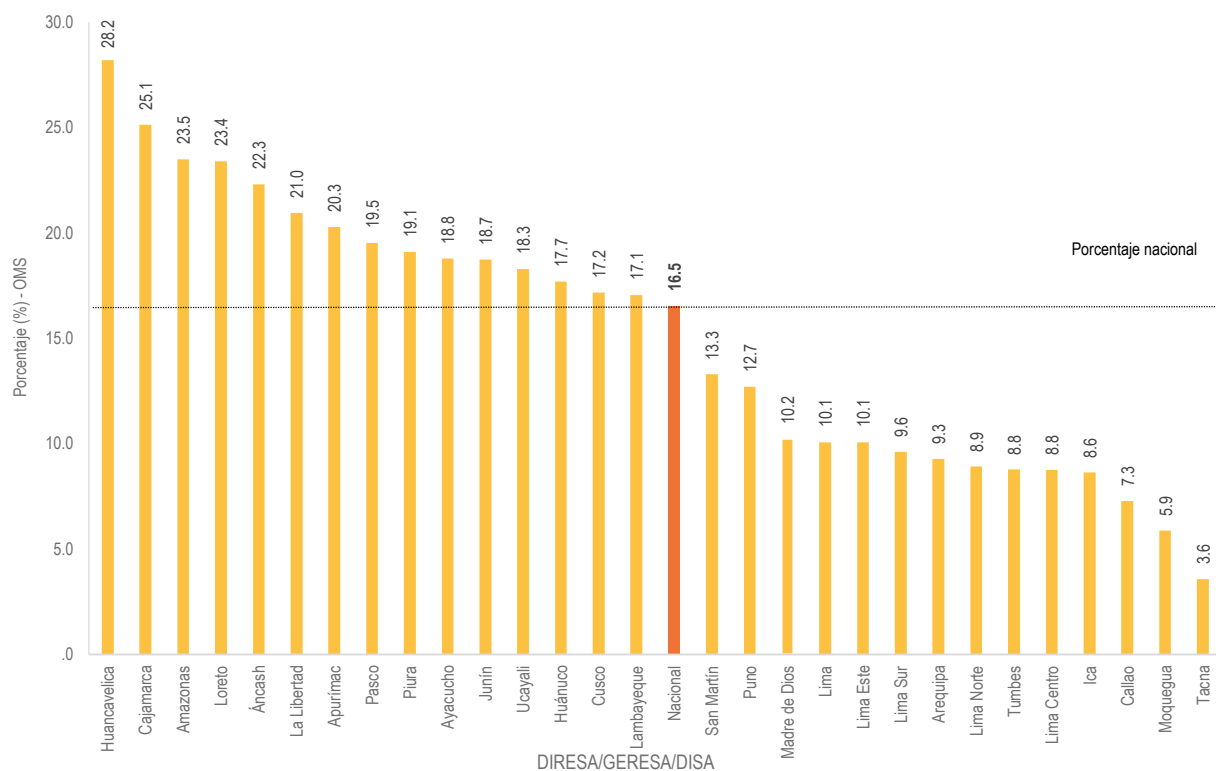
Cuadro 2.6. Proporción de desnutrición crónica (talla/edad) en niños/as menores de cinco años que acceden a los establecimientos de salud por criterio de evaluación según DIRESA/ GERESA/ DISA; HIS, 2020

DISA/ GERESA/ DIRESA	ORGANIZACIÓN MUNDIAL DE SALUD		
	N.º Evaluados	Casos	(%)
Nacional	1 057 868	174 902	16.5
Amazonas	35175	8 262	23.5
Áncash	36727	8 191	22.3
Apurímac	19499	3 956	20.3
Arequipa	37807	3503	9.3
Ayacucho	34777	6 533	18.8
Cajamarca	97672	24 540	25.1
Callao	22963	1 671	7.3
Cusco	45950	7885	17.2
Huancavelica	20992	5 919	28.2
Huánuco	43561	7 710	17.7
Ica	36351	3 135	8.6
Junín	34619	6 486	18.7
La Libertad	51801	10 856	21.0
Lambayeque	35093	5984	17.1
Lima	46307	4 664	10.1
Lima Centro	23472	2 054	8.8
Lima Este	29221	2 943	10.1
Lima Norte	50715	4 522	8.9
Lima Sur	36706	3 525	9.6
Loreto	53801	12587	23.4
Madre de Dios	10478	1 072	10.2
Moquegua	6308	0 371	5.9
Pasco	14638	2 856	19.5
Piura	95103	18151	19.1
Puno	50861	6 462	12.7
San Martín	44606	5 925	13.3
Tacna	12514	0 447	3.6
Tumbes	8634	0 758	8.8
Ucayali	21517	3 934	18.3

Fuente: Ministerio de Salud, Vice Ministerio de Salud Pública, Oficina General de Tecnologías de la Información, HIS, Instituto Nacional de Salud (INS), Centro Nacional de Alimentación y Nutrición, Dirección Ejecutiva de Vigilancia Alimentaria y Nutricional, Sistema de Información del Estado Nutricional (SIEN)

Elaboración: Área de Bioestadística y Análisis de Datos, DEVAN, INS y Oficina Ejecutiva de Estadística e Informática - OGIS

Gráfico 2.6. Proporción de desnutrición crónica (talla/edad) en niños/as menores de cinco años que acceden a los establecimientos de salud por criterio de evaluación según DIRESA/ GERESA/ DISA; HIS, 2020



Fuente: Ministerio de Salud, Vice Ministerio de Salud Pública, Oficina General de Tecnologías de la Información, HIS, Instituto Nacional de Salud (INS), Centro Nacional de Alimentación y Nutrición, Dirección Ejecutiva de Vigilancia Alimentaria y Nutricional, Sistema de Información del Estado Nutricional (SIEN)

Elaboración: Área de Bioestadística y Análisis de Datos, DEVAN, INS y Oficina Ejecutiva de Estadística e Informática - OGIS

Mapa 2.6 Proporción de desnutrición crónica (talla/edad) en niños/as menores de cinco años que acceden a los establecimientos de salud por criterio de evaluación según DIRESA/GERESA/DISA - HIS, 2020



Fuente: Ministerio de Salud, Vice Ministerio de Salud Pública, Oficina General de Tecnologías de la Información, HIS, Instituto Nacional de Salud, Centro Nacional de Alimentación y Nutrición, Dirección Ejecutiva de Vigilancia Alimentaria y Nutricional, Sistema de Información del Estado Nutricional (SIEN)
Elaboración: Oficina Ejecutiva de Estadística e Informática, OGIS, INS

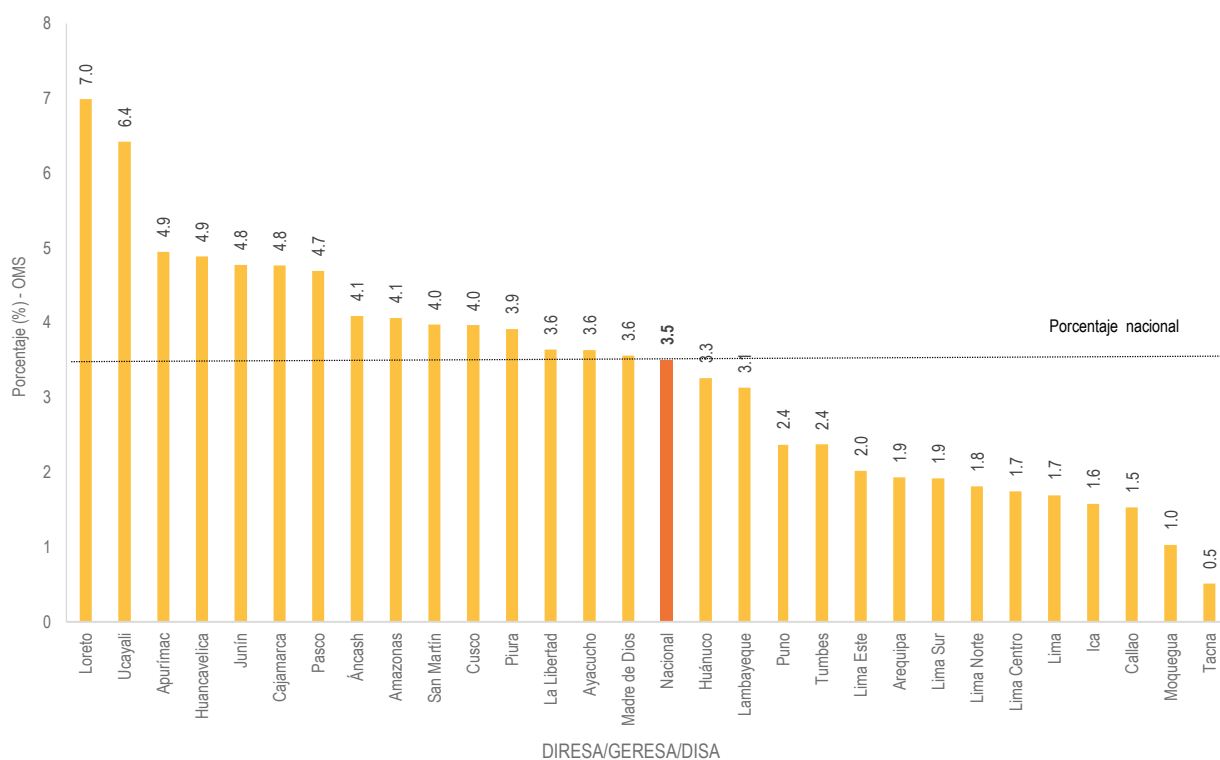
Cuadro 2.7. Proporción de desnutrición global (peso/edad) en niños/as menores de cinco años que acceden a los establecimientos de salud por criterio de evaluación según DIRESA/ GERESA/ DISA; HIS, 2020

DISA/ GERESA/ DIRESA	ORGANIZACIÓN MUNDIAL DE SALUD		
	N.º Evaluados	Casos	(%)
Nacional	1 057 868	37018	3.5
Amazonas	35 175	1428	4.1
Áncash	36 727	1501	4.1
Apurímac	19 499	964	4.9
Arequipa	37 807	731	1.9
Ayacucho	34 777	1264	3.6
Cajamarca	97 672	4651	4.8
Callao	22 963	352	1.5
Cusco	45 950	1822	4.0
Huancavelica	20 992	1026	4.9
Huánuco	43 561	1420	3.3
Ica	36 351	574	1.6
Junín	34 619	1652	4.8
La Libertad	51 801	1887	3.6
Lambayeque	35 093	1099	3.1
Lima	46 307	784	1.7
Lima Centro	23 472	409	1.7
Lima Este	29 221	589	2.0
Lima Norte	50 715	919	1.8
Lima Sur	36 706	703	1.9
Loreto	53 801	3759	7.0
Madre de Dios	10 478	373	3.6
Moquegua	6 308	65	1.0
Pasco	14 638	687	4.7
Piura	95 103	3725	3.9
Puno	50 861	1210	2.4
San Martín	44 606	1773	4.0
Tacna	12 514	64	0.5
Tumbes	8 634	205	2.4
Ucayali	21 517	1382	6.4

Fuente: Ministerio de Salud, Vice Ministerio de Salud Pública, Oficina General de Tecnologías de la Información, HIS, Instituto Nacional de Salud (INS), Centro Nacional de Alimentación y Nutrición, Dirección Ejecutiva de Vigilancia Alimentaria y Nutricional, Sistema de Información del Estado Nutricional (SIEN)

Elaboración: Área de Bioestadística y Análisis de Datos, DEVAN, INS y Oficina Ejecutiva de Estadística e Informática - OGIS

Gráfico 2.7. Proporción de desnutrición global (peso/edad) en niños/as menores de cinco años que acceden a los establecimientos de salud por criterio de evaluación según DIRESA/ GERESA/ DISA; HIS, 2020



Fuente: Ministerio de Salud, Vice Ministerio de Salud Pública, Oficina General de Tecnologías de la Información, HIS, Instituto Nacional de Salud (INS), Centro Nacional de Alimentación y Nutrición, Dirección Ejecutiva de Vigilancia Alimentaria y Nutricional, Sistema de Información del Estado Nutricional (SIEN)

Elaboración: Área de Bioestadística y Análisis de Datos, DEVAN, INS y Oficina Ejecutiva de Estadística e Informática - OGIS

Mapa 2.7 Proporción de desnutrición global (peso/edad) en niños/as menores de cinco años que acceden a los establecimientos de salud por criterio de evaluación según DIRESA/GERESA/DISA -HIS, 2020



Fuente: Ministerio de Salud, Vice Ministerio de Salud Pública, Oficina General de Tecnologías de la Información, HIS, Instituto Nacional de Salud, Centro Nacional de Alimentación y Nutrición, Dirección Ejecutiva de Vigilancia Alimentaria y Nutricional, Sistema de Información del Estado Nutricional (SIEN)
Elaboración: Oficina Ejecutiva de Estadística e Informática, OGIS, INS

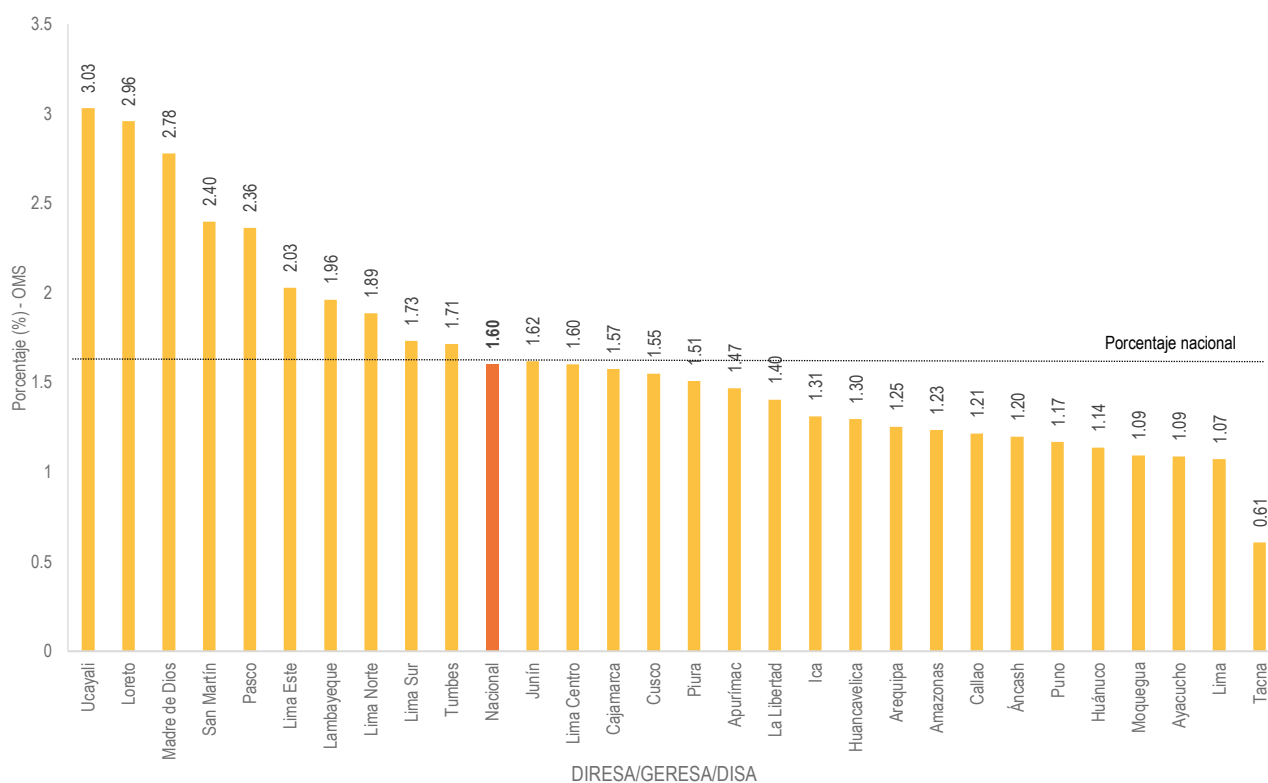
Cuadro 2.8. Proporción de desnutrición aguda en niños/as menores de cinco años que acceden a los establecimientos de salud por criterio de evaluación según DIRESA/GERESA/ DISA; HIS, 2020

DISA/ GERESA/ DIRESA	ORGANIZACIÓN MUNDIAL DE SALUD		
	N.º Evaluados	Casos	(%)
Nacional	1 057 868	17092	1.6
Amazonas	35 175	434	1.2
Áncash	36 727	440	1.2
Apurímac	19 499	286	1.5
Arequipa	37 807	474	1.3
Ayacucho	34 777	378	1.1
Cajamarca	97 672	1538	1.6
Callao	22 963	279	1.2
Cusco	45 950	712	1.5
Huancavelica	20 992	272	1.3
Huánuco	43 561	495	1.1
Ica	36 351	477	1.3
Junín	34 619	560	1.6
La Libertad	51 801	727	1.4
Lambayeque	35 093	689	2.0
Lima	46 307	497	1.1
Lima Centro	23 472	376	1.6
Lima Este	29 221	593	2.0
Lima Norte	50 715	956	1.9
Lima Sur	36 706	636	1.7
Loreto	53 801	1592	3.0
Madre de Dios	10 478	291	2.8
Moquegua	6 308	69	1.1
Pasco	14 638	346	2.4
Piura	95 103	1435	1.5
Puno	50 861	594	1.2
San Martín	44 606	1070	2.4
Tacna	12 514	76	0.6
Tumbes	8 634	148	1.7
Ucayali	21 517	652	3.0

Fuente: Ministerio de Salud, Vice Ministerio de Salud Pública, Oficina General de Tecnologías de la Información, HIS, Instituto Nacional de Salud (INS), Centro Nacional de Alimentación y Nutrición, Dirección Ejecutiva de Vigilancia Alimentaria y Nutricional, Sistema de Información del Estado Nutricional (SIEN)

Elaboración: Área de Bioestadística y Análisis de Datos, DEVAN, INS y Oficina Ejecutiva de Estadística e Informática - OGIS

Gráfico 2.8. Proporción de desnutrición aguda en niños/as menores de cinco años que acceden a los establecimientos de salud por criterio de evaluación según DIRESA/ GERESA/ DISA; HIS, 2020



Fuente: Ministerio de Salud, Vice Ministerio de Salud Pública, Oficina General de Tecnologías de la Información, HIS, Instituto Nacional de Salud (INS), Centro Nacional de Alimentación y Nutrición, Dirección Ejecutiva de Vigilancia Alimentaria y Nutricional, Sistema de Información del Estado Nutricional (SIEN)

Mapa 2.8 Proporción de desnutrición aguda en niños/as menores de cinco años que acceden a los establecimientos de salud por criterio de evaluación según DIRESA/GERESA/DISA - HIS, 2020



Fuente: Ministerio de Salud, Vice Ministerio de Salud Pública, Oficina General de Tecnologías de la Información, HIS, Instituto Nacional de Salud, Centro Nacional de Alimentación y Nutrición, Dirección Ejecutiva de Vigilancia Alimentaria y Nutricional, Sistema de Información del Estado Nutricional (SIEN)
Elaboración: Oficina Ejecutiva de Estadística e Informática, OGIS, INS

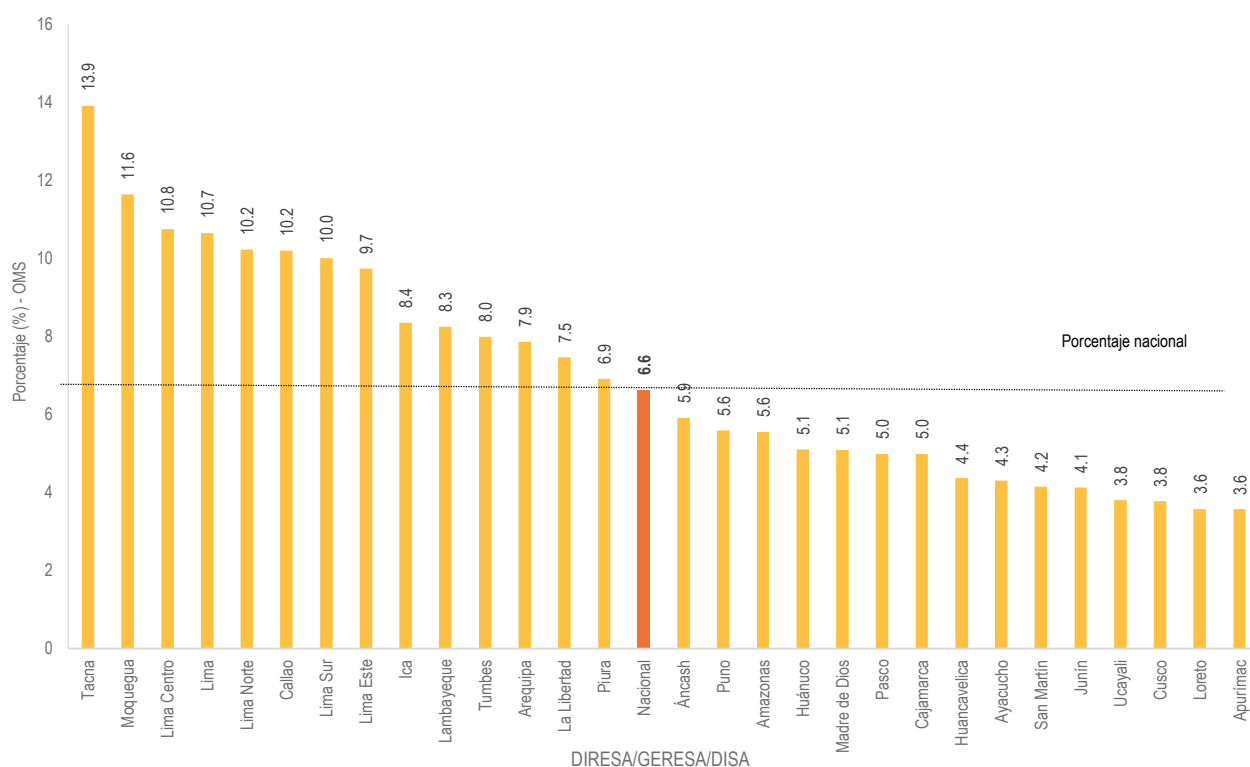
Cuadro 2.9. Proporción de sobrepeso (peso/talla) en niños/as menores de cinco años que acceden a los establecimientos de salud por criterio de evaluación según DIRESA/ GERESA/ DISA; HIS, 2020

DISA/ GERESA/ DIRESA	ORGANIZACIÓN MUNDIAL DE SALUD		
	N.º Evaluados	Casos	(%)
Nacional	1 057 868	70 208	6.6
Amazonas	35 175	1953	5.6
Áncash	36 727	2171	5.9
Apurímac	19 499	696	3.6
Arequipa	37 807	2975	7.9
Ayacucho	34 777	1496	4.3
Cajamarca	97 672	4870	5.0
Callao	22 963	2342	10.2
Cusco	45 950	1735	3.8
Huancavelica	20 992	917	4.4
Huánuco	43 561	2223	5.1
Ica	36 351	3036	8.4
Junín	34 619	1427	4.1
La Libertad	51 801	3867	7.5
Lambayeque	35 093	2896	8.3
Lima	46 307	4932	10.7
Lima Centro	23 472	2525	10.8
Lima Este	29 221	2845	9.7
Lima Norte	50 715	5185	10.2
Lima Sur	36 706	3673	10.0
Loreto	53 801	1925	3.6
Madre de Dios	10 478	534	5.1
Moquegua	6 308	734	11.6
Pasco	14 638	730	5.0
Piura	95 103	6573	6.9
Puno	50 861	2844	5.6
San Martín	44 606	1855	4.2
Tacna	12 514	1741	13.9
Tumbes	8 634	690	8.0
Ucayali	21 517	818	3.8

Fuente: Ministerio de Salud, Vice Ministerio de Salud Pública, Oficina General de Tecnologías de la Información, HIS, Instituto Nacional de Salud (INS), Centro Nacional de Alimentación y Nutrición, Dirección Ejecutiva de Vigilancia Alimentaria y Nutricional, Sistema de Información del Estado Nutricional (SIEN)

Elaboración: Área de Bioestadística y Análisis de Datos, DEVAN, INS y Oficina Ejecutiva de Estadística e Informática - OGIS

Gráfico 2.9. Proporción de sobrepeso (peso/talla) en niños/as menores de cinco años que acceden a los establecimientos de salud por criterio de evaluación según DIRESA/GERESA/DISA; HIS, 2020



Fuente: Ministerio de Salud, Vice Ministerio de Salud Pública, Oficina General de Tecnologías de la Información, HIS, Instituto Nacional de Salud (INS), Centro Nacional de Alimentación y Nutrición, Dirección Ejecutiva de Vigilancia Alimentaria y Nutricional, Sistema de Información del Estado Nutricional (SIEN)

Elaboración: Área de Bioestadística y Análisis de Datos, DEVAN, INS y Oficina Ejecutiva de Estadística e Informática - OGIS

Mapa 2.9 Proporción de sobrepeso (peso/talla) en niños/as menores de cinco años que acceden a los establecimientos de salud por criterio de evaluación según DIRESA/GERESA/DISA - HIS, 2020



Fuente: Ministerio de Salud, Vice Ministerio de Salud Pública, Oficina General de Tecnologías de la Información, HIS, Instituto Nacional de Salud, Centro Nacional de Alimentación y Nutrición, Dirección Ejecutiva de Vigilancia Alimentaria y Nutricional, Sistema de Información del Estado Nutricional (SIEN)
Elaboración: Oficina Ejecutiva de Estadística e Informática, OGIS, INS

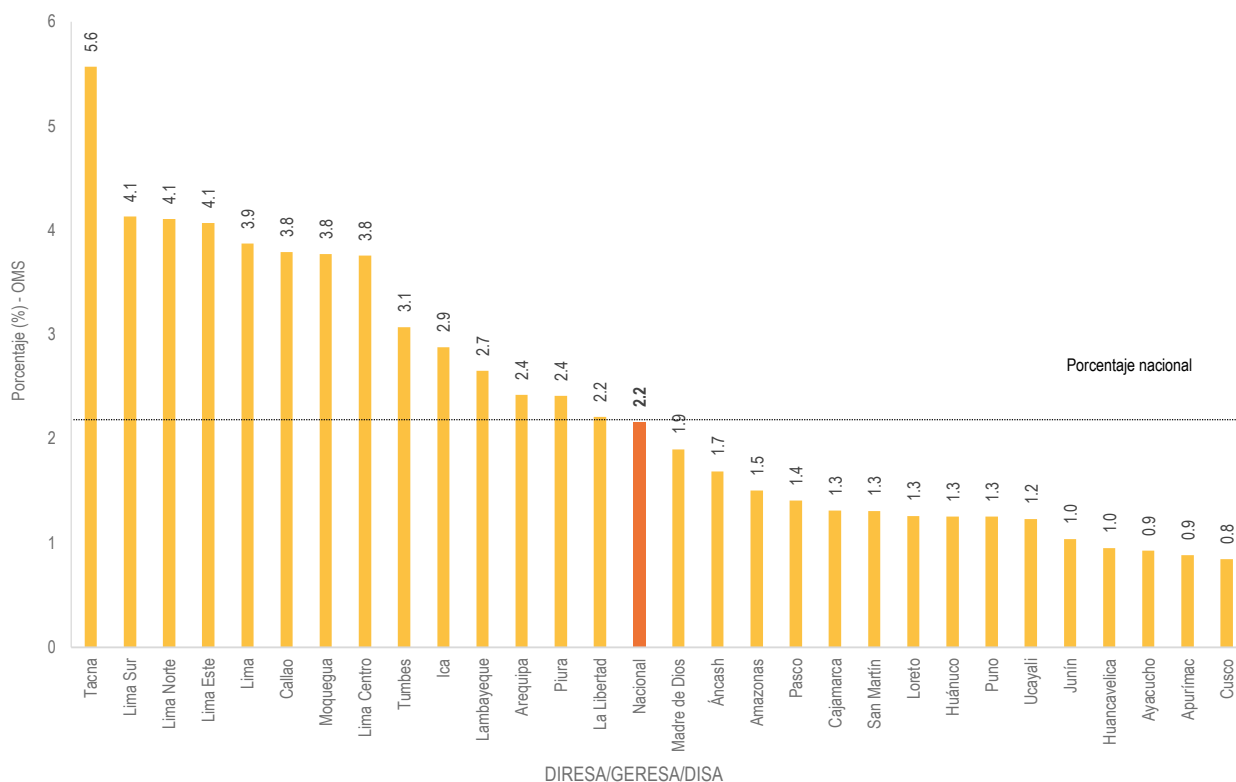
Cuadro 2.10. Proporción de obesidad (peso/talla) en niños/as menores de cinco años que acceden a los establecimientos de salud por criterio de evaluación según DIRESA/GERESA/ DISA; HIS, 2020

DISA/ GERESA/ DIRESA	Obesidad		
	N.º Evaluados	Casos	(%)
Nacional	1 057 868	22852	2.2
Amazonas	35 175	529	1.5
Áncash	36 727	620	1.7
Apurímac	19 499	172	0.9
Arequipa	37 807	915	2.4
Ayacucho	34 777	323	0.9
Cajamarca	97 672	1281	1.3
Callao	22 963	871	3.8
Cusco	45 950	389	0.8
Huancavelica	20 992	200	1.0
Huánuco	43 561	546	1.3
Ica	36 351	1046	2.9
Junín	34 619	359	1.0
La Libertad	51 801	1145	2.2
Lambayeque	35 093	930	2.7
Lima	46 307	1793	3.9
Lima Centro	23 472	882	3.8
Lima Este	29 221	1189	4.1
Lima Norte	50 715	2083	4.1
Lima Sur	36 706	1516	4.1
Loreto	53 801	678	1.3
Madre de Dios	10 478	199	1.9
Moquegua	6 308	238	3.8
Pasco	14 638	206	1.4
Piura	95 103	2296	2.4
Puno	50 861	637	1.3
San Martín	44 606	582	1.3
Tacna	12 514	697	5.6
Tumbes	8 634	265	3.1
Ucayali	21 517	265	1.2

Fuente: Ministerio de Salud, Vice Ministerio de Salud Pública, Oficina General de Tecnologías de la Información, HIS, Instituto Nacional de Salud (INS), Centro Nacional de Alimentación y Nutrición, Dirección Ejecutiva de Vigilancia Alimentaria y Nutricional, Sistema de Información del Estado Nutricional (SIEN)

Elaboración: Área de Bioestadística y Análisis de Datos, DEVAN, INS y Oficina Ejecutiva de Estadística e Informática - OGIS

Gráfico 2.10. Proporción de obesidad (peso/talla) en niños/as menores de cinco años que acceden a los establecimientos de salud por criterio de evaluación según DIRESA/GERESA/DISA; HIS, 2020



Fuente: Ministerio de Salud, Vice Ministerio de Salud Pública, Oficina General de Tecnologías de la Información, HIS, Instituto Nacional de Salud (INS), Centro Nacional de Alimentación y Nutrición, Dirección Ejecutiva de Vigilancia Alimentaria y Nutricional, Sistema de Información del Estado Nutricional (SIEN)

Elaboración: Área de Bioestadística y Análisis de Datos, DEVAN, INS y Oficina Ejecutiva de Estadística e Informática - OGIS

Mapa 2.10 Proporción de obesidad (peso/talla) en niños/as menores de cinco años que acceden a los establecimientos de salud por criterio de evaluación según DIRESA/GERESA/DISA - HIS, 2020



Fuente: Ministerio de Salud, Vice Ministerio de Salud Pública, Oficina General de Tecnologías de la Información, HIS, Instituto Nacional de Salud, Centro Nacional de Alimentación y Nutrición, Dirección Ejecutiva de Vigilancia Alimentaria y Nutricional, Sistema de Información del Estado Nutricional (SIEN)
Elaboración: Oficina Ejecutiva de Estadística e Informática, OGIS, INS

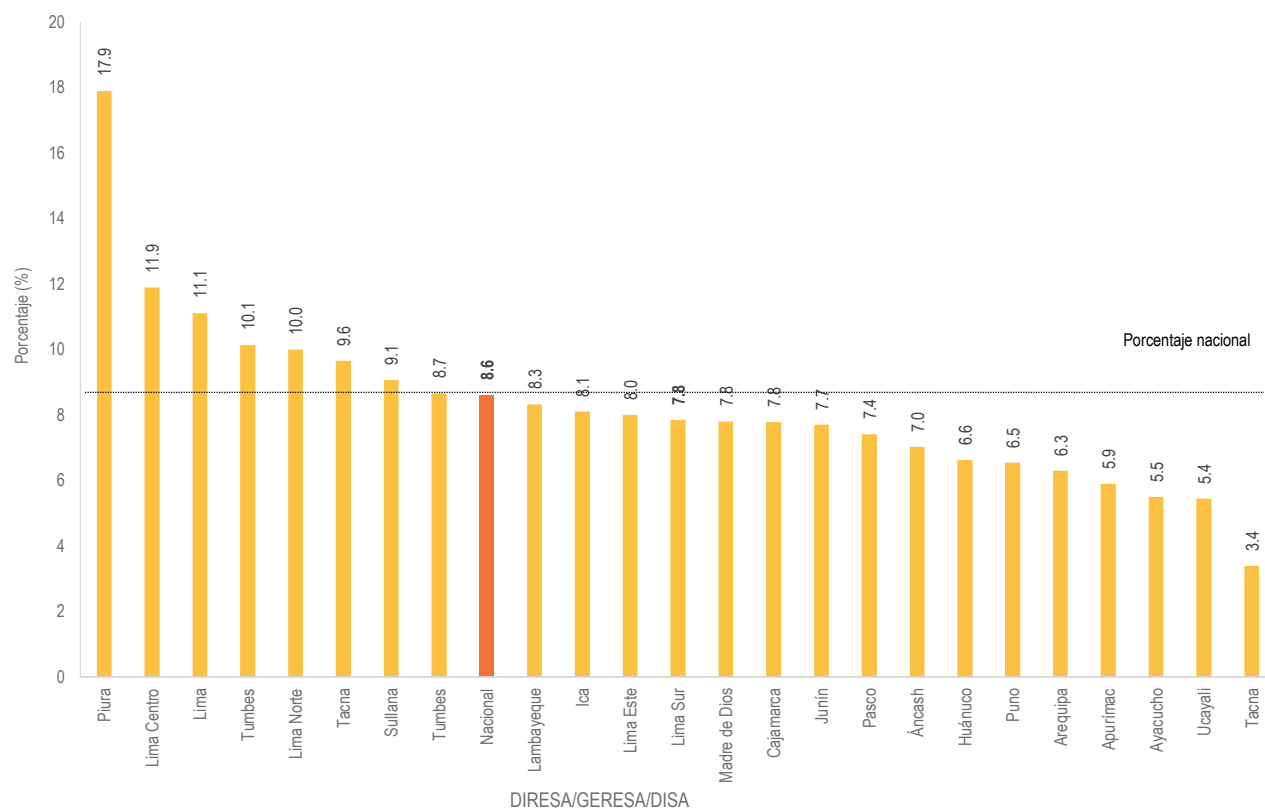
Cuadro 2.11. Proporción de déficit de peso y sobrepeso en gestantes que acceden a los establecimientos de salud según DIRESA/ GERESA/ DISA; Centro Latinoamericano de Perinatología (CLAP), Instituto Nacional de Salud (INS), 2020

DISA/ GERESA/ DIRESA	DÉFICIT (PESO/TALLA)			SOBREPESO (PESO/TALLA)		
	N.º Evaluados	Casos	(%)	N.º Evaluados	Casos	(%)
Nacional	257309	22004	8.6	257309	125355	48.7
Amazonas	(SD)	(SD)	(SD)	(SD)	(SD)	(SD)
Áncash	13853	974	7.0	13853	6812	49.2
Andahuaylas	3305	195	5.9	3305	1609	48.7
Apurímac	5504	347	6.3	5504	2606	47.3
Arequipa	18718	1029	5.5	18718	10580	56.5
Ayacucho	14893	1160	7.8	14893	6693	44.9
Cajamarca	(SD)	(SD)	(SD)	(SD)	(SD)	(SD)
Callao	(SD)	(SD)	(SD)	(SD)	(SD)	(SD)
Chota	(SD)	(SD)	(SD)	(SD)	(SD)	(SD)
Cusco	27260	1804	6.6	27260	13121	48.1
Cutervo	2641	214	8.1	2641	1103	41.8
Huancavelica	10139	782	7.7	10139	3960	39.1
Huánuco	(SD)	(SD)	(SD)	(SD)	(SD)	(SD)
Ica	10776	897	8.3	10776	6188	57.4
Jaén	5790	643	11.1	5790	2317	40.0
Junín	21213	2522	11.9	21213	8669	40.9
La Libertad	14545	1163	8.0	14545	6912	47.5
Lambayeque	5645	564	10.0	5645	2611	46.3
Lima	10676	837	7.8	10676	5939	55.6
Lima Centro	(SD)	(SD)	(SD)	(SD)	(SD)	(SD)
Lima Este	6675	521	7.8	6675	3509	52.6
Lima Norte	(SD)	(SD)	(SD)	(SD)	(SD)	(SD)
Lima Sur	13777	1021	7.4	13777	7838	56.9
Loreto	20341	3638	17.9	20341	7571	37.2
Madre de Dios	5364	351	6.5	5364	3145	58.6
Moquegua	(SD)	(SD)	(SD)	(SD)	(SD)	(SD)
Pasco	3048	294	9.6	3048	1310	43.0
Piura	6727	682	10.1	6727	2913	43.3
Puno	19029	1037	5.4	19029	9957	52.3
San Martín	(SD)	(SD)	(SD)	(SD)	(SD)	(SD)
Sullana	9230	837	9.1	9230	4767	51.6
Tacna	4087	139	3.4	4087	2801	68.5
Tumbes	4073	353	8.7	4073	2424	59.5
Ucayali	(SD)	(SD)	(SD)	(SD)	(SD)	(SD)

Fuente: Instituto Nacional de Salud, Centro Nacional de Alimentación y Nutrición, Dirección Ejecutiva de Vigilancia Alimentaria y Nutricional, Sistema de Información del Estado Nutricional (SIEN)

Elaboración: Área de Bioestadística y Análisis de Datos, DEVAN, INS y Oficina Ejecutiva de Estadística e Informática - OGIS

Gráfico 2.11. Proporción de déficit de peso en gestantes que acceden a los establecimientos de salud según DIRESA/ GERESA/ DISA; Centro Latinoamericano de Perinatología (CLAP), Instituto Nacional de Salud (INS), 2020



Fuente: Instituto Nacional de Salud, Centro Nacional de Alimentación y Nutrición, Dirección Ejecutiva de Vigilancia Alimentaria y Nutricional, Sistema de Información del Estado Nutricional (SIEN)

Elaboración: Área de Bioestadística y Análisis de Datos, DEVAN, INS y Oficina Ejecutiva de Estadística e Informática - OGIS

Mapa 2.11 Proporción de déficit de peso en gestantes que acceden a los establecimientos de salud según DIRESA/GERESA/DISA; Centro Latinoamericano de Perinatología (CLAP) - Instituto Nacional de Salud (INS), 2020

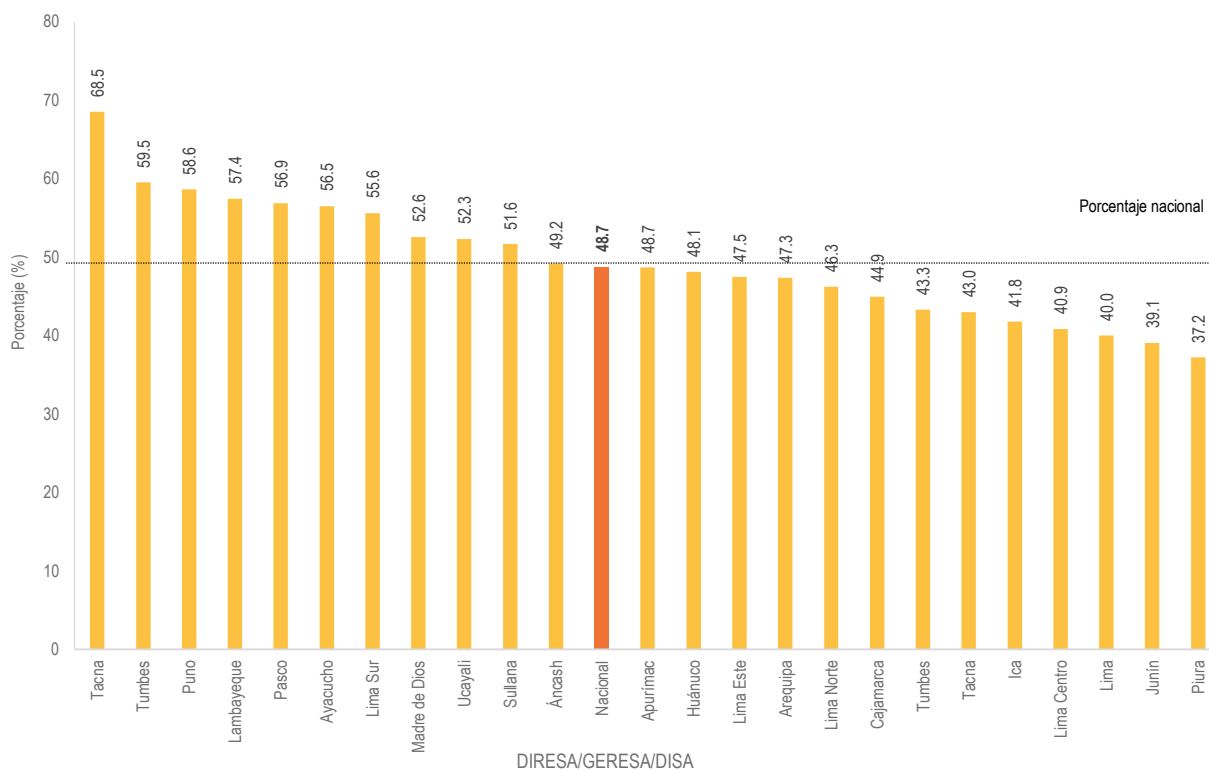


* Regiones que no reportaron SIEN

Fuente: Instituto Nacional de Salud (INS), Centro Nacional de Alimentación y Nutrición, Dirección Ejecutiva de Vigilancia Alimentaria y Nutricional, Sistema de Información del Estado Nutricional (SIEN)

Elaboración: Oficina Ejecutiva de Estadística e Informática, OGIS, INS

Gráfico 2.12. Proporción de sobrepeso en gestantes que acceden a los establecimientos de salud según DIRESA/ GERESA/ DISA; Centro Latinoamericano de Perinatología (CLAP), Instituto Nacional de Salud (INS), 2020



Fuente: Instituto Nacional de Salud, Centro Nacional de Alimentación y Nutrición, Dirección Ejecutiva de Vigilancia Alimentaria y Nutricional, Sistema de Información del Estado Nutricional (SIEN)

Elaboración: Área de Bioestadística y Análisis de Datos, DEVAN, INS y Oficina Ejecutiva de Estadística e Informática - OGIS

Mapa 2.12 Proporción de sobrepeso en gestantes que acceden a los establecimientos de salud según DIRESA/GERESA/DISA; Centro Latinoamericano de Perinatología (CLAP) - Instituto Nacional de Salud (INS), 2020



*Regiones que no reportaron al SIEN

Fuente: Instituto Nacional de Salud (INS), Centro Nacional de Alimentación y Nutrición, Dirección Ejecutiva de Vigilancia Alimentaria y Nutricional, Sistema de Información del Estado Nutricional (SIEN)

Elaboración: Oficina Ejecutiva de Estadística e Informática, OGIS, INS

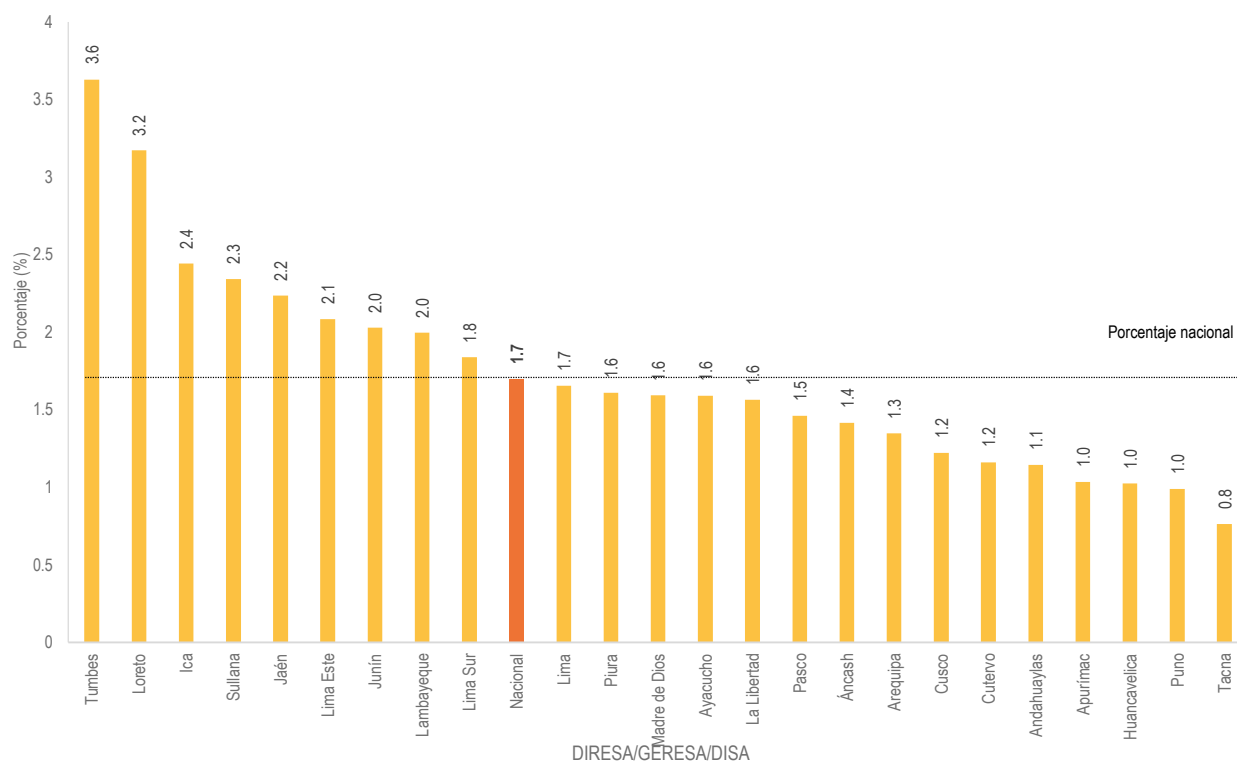
Cuadro 2.12. Proporción de IMC pregestacional en mujeres que acceden a los establecimientos de salud según DIRESA/ GERESA/ DISA; Centro Latinoamericano de Perinatología (CLAP), Instituto Nacional de Salud (INS), 2020

DISA/ GERESA/ DIRESA	BAJO PESO			SOBREPESO			OBESIDAD		
	N° Evaluados	Casos	(%)	N° Evaluados	Casos	(%)	N° Evaluados	Casos	(%)
Nacional	285786	4945	1.7	285786	97782	34.2	285786	39358	13.8
Amazonas	(SD)	(SD)	(SD)	(SD)	(SD)	(SD)	(SD)	(SD)	(SD)
Áncash	15557	220	1.4	15557	5567	35.8	15557	2106	13.5
Andahuaylas	3675	42	1.1	3675	1238	33.7	3675	376	10.2
Apurímac	6180	64	1.0	6180	2209	35.7	6180	630	10.2
Arequipa	21017	283	1.3	21017	7634	36.3	21017	3347	15.9
Ayacucho	16428	261	1.6	16428	5445	33.1	16428	1705	10.4
Cajamarca	(SD)	(SD)	(SD)	(SD)	(SD)	(SD)	(SD)	(SD)	(SD)
Callao	(SD)	(SD)	(SD)	(SD)	(SD)	(SD)	(SD)	(SD)	(SD)
Chota	(SD)	(SD)	(SD)	(SD)	(SD)	(SD)	(SD)	(SD)	(SD)
Cusco	30115	368	1.2	30115	10520	34.9	30115	3201	10.6
Cutervo	3013	35	1.2	3013	1028	34.1	3013	255	8.5
Huancavelica	11312	116	1.0	11312	3466	30.6	11312	790	7.0
Huánuco	(SD)	(SD)	(SD)	(SD)	(SD)	(SD)	(SD)	(SD)	(SD)
Ica	11712	286	2.4	11712	4040	34.5	11712	2442	20.9
Jaén	6664	149	2.2	6664	2174	32.6	6664	660	9.9
Junín	23763	482	2.0	23763	7222	30.4	23763	2451	10.3
La Libertad	16430	257	1.6	16430	5799	35.3	16430	2259	13.7
Lambayeque	6410	128	2.0	6410	2260	35.3	6410	952	14.9
Lima	12085	200	1.7	12085	4384	36.3	12085	2377	19.7
Lima Centro	(SD)	(SD)	(SD)	(SD)	(SD)	(SD)	(SD)	(SD)	(SD)
Lima Este	7339	153	2.1	7339	2574	35.1	7339	1077	14.7
Lima Norte	(SD)	(SD)	(SD)	(SD)	(SD)	(SD)	(SD)	(SD)	(SD)
Lima Sur	15019	276	1.8	15019	5176	34.5	15019	2665	17.7
Loreto	22573	716	3.2	22573	6878	30.5	22573	2971	13.2
Madre de Dios	5904	94	1.6	5904	2091	35.4	5904	1272	21.5
Moquegua	(SD)	(SD)	(SD)	(SD)	(SD)	(SD)	(SD)	(SD)	(SD)
Pasco	3426	50	1.5	3426	1133	33.1	3426	354	10.3
Piura	7460	120	1.6	7460	2562	34.3	7460	914	12.3
Puno	20403	202	1.0	20403	7469	36.6	20403	2498	12.2
San Martín	(SD)	(SD)	(SD)	(SD)	(SD)	(SD)	(SD)	(SD)	(SD)
Sullana	10375	243	2.3	10375	3645	35.1	10375	1907	18.4
Tacna	4325	33	0.8	4325	1710	39.5	4325	1159	26.8
Tumbes	4601	167	3.6	4601	1558	33.9	4601	990	21.5
Ucayali	(SD)	(SD)	(SD)	(SD)	(SD)	(SD)	(SD)	(SD)	(SD)

Fuente: Instituto Nacional de Salud, Centro Nacional de Alimentación y Nutrición, Dirección Ejecutiva de Vigilancia Alimentaria y Nutricional, Sistema de Información del Estado Nutricional (SIEN)

Elaboración: Área de Bioestadística y Análisis de Datos, DEVAN, INS y Oficina Ejecutiva de Estadística e Informática - OGIS

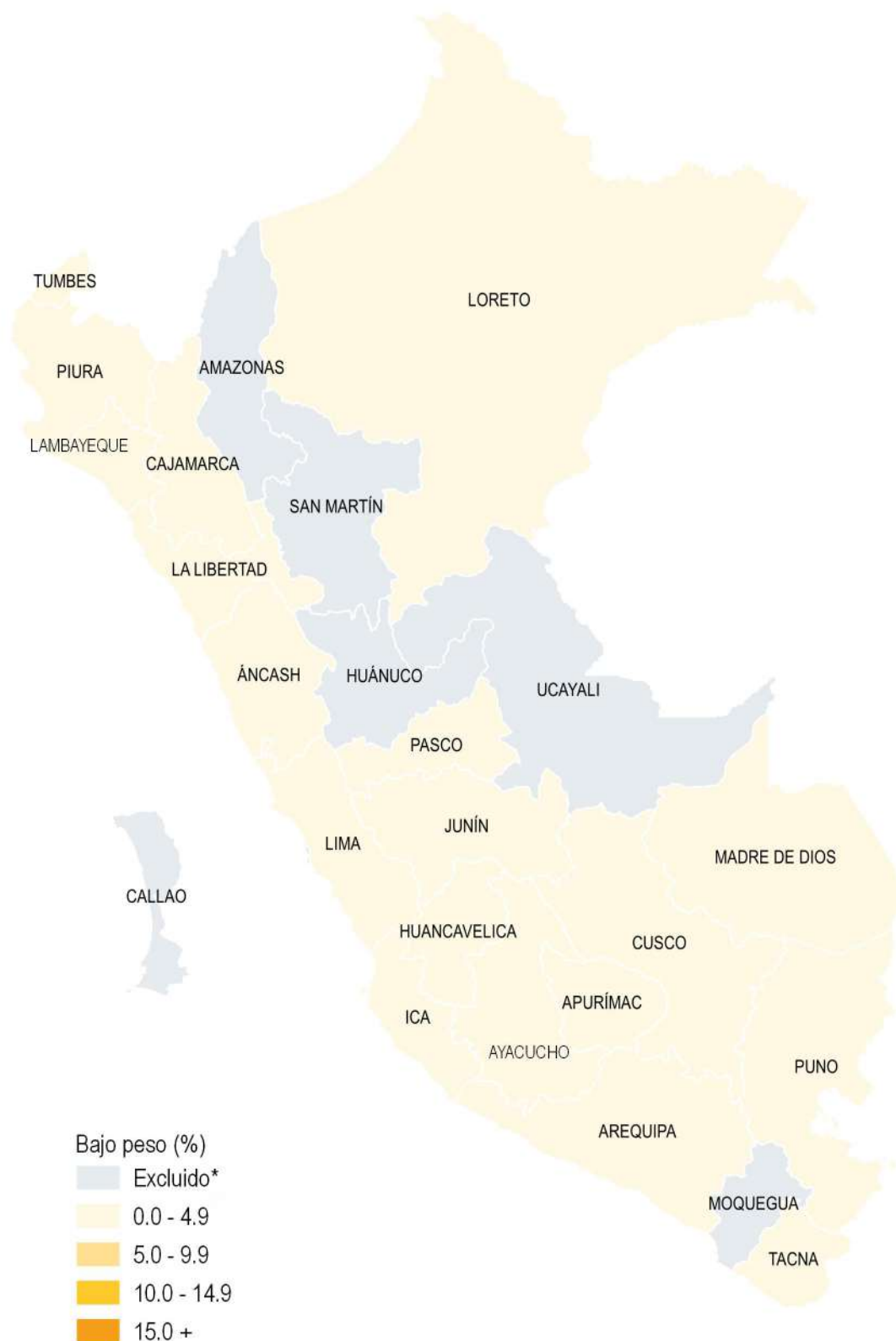
Gráfico 2.13. Proporción de bajo peso según IMC pregestacional en mujeres que acceden a los establecimientos de salud según DIRESA/ GERESA/ DISA; Centro Latinoamericano de Perinatología (CLAP), Instituto Nacional de Salud (INS), 2020



Fuente: Instituto Nacional de Salud, Centro Nacional de Alimentación y Nutrición, Dirección Ejecutiva de Vigilancia Alimentaria y Nutricional, Sistema de Información del Estado Nutricional (SIEN)

Elaboración: Área de Bioestadística y Análisis de Datos, DEVAN, INS y Oficina Ejecutiva de Estadística e Informática - OGIS

Mapa 2.13 Proporción de bajo peso según IMC Pregestacional en mujeres que acceden a los establecimientos de salud según DIRESA/GERESA/DISA; Centro Latinoamericano de Perinatología (CLAP) - Instituto Nacional de Salud (INS), 2020

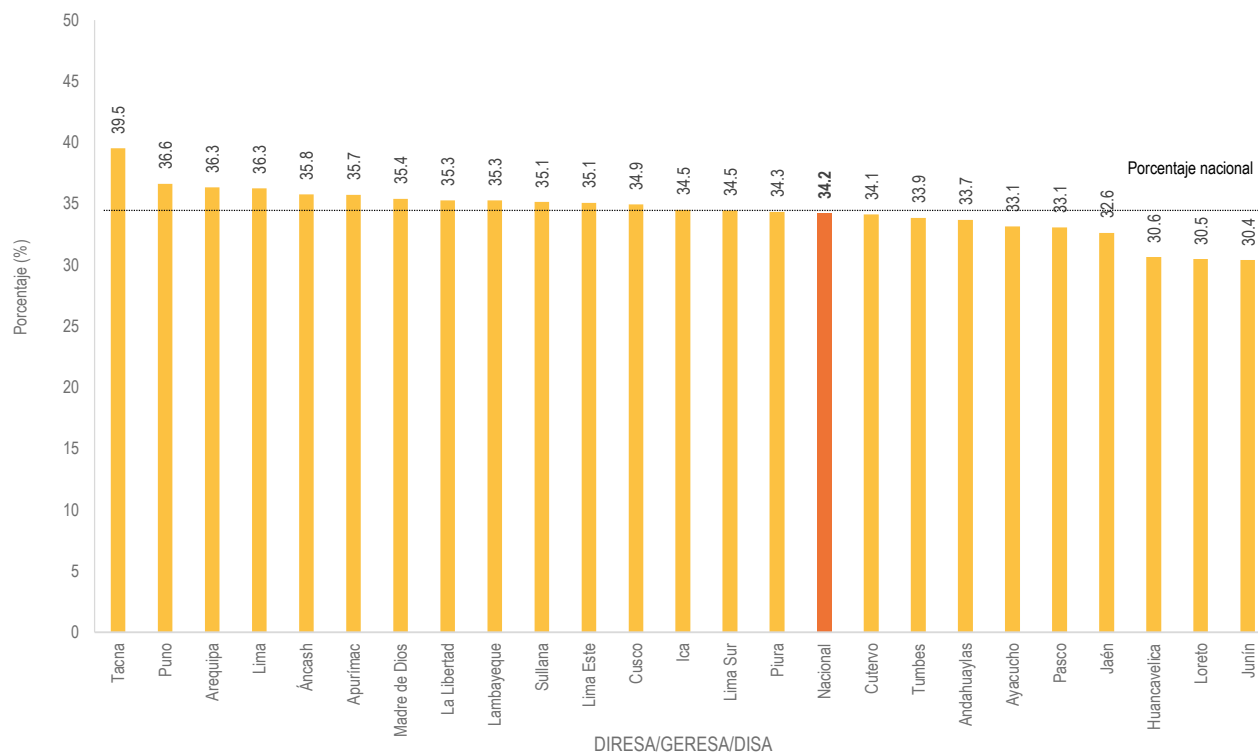


*Regiones que no reportaron al SIEN

Fuente: Instituto Nacional de Salud (INS), Centro Nacional de Alimentación y Nutrición, Dirección Ejecutiva de Vigilancia Alimentaria y Nutricional, Sistema de Información del Estado Nutricional (SIEN)

Elaboración: Oficina Ejecutiva de Estadística e Informática, OGIS, INS

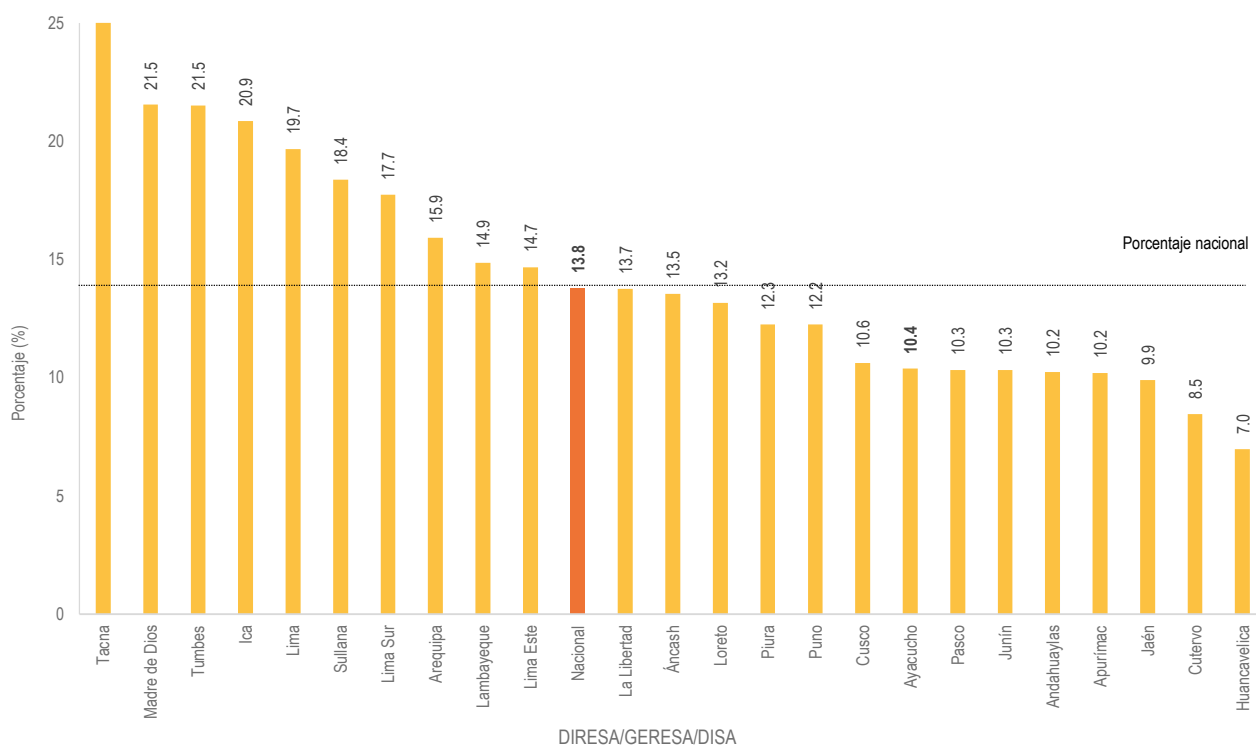
Gráfico 2.14. Proporción de sobrepeso según IMC pregestacional en mujeres que acceden a los establecimientos de salud según DIRESA/ GERESA/ DISA; Centro Latinoamericano de Perinatología (CLAP), Instituto Nacional de Salud (INS), 2020



Fuente: Instituto Nacional de Salud, Centro Nacional de Alimentación y Nutrición, Dirección Ejecutiva de Vigilancia Alimentaria y Nutricional, Sistema de Información del Estado Nutricional (SIEN)

Elaboración: Área de Bioestadística y Análisis de Datos, DEVAN, INS y Oficina Ejecutiva de Estadística e Informática - OGIS

Gráfico 2.15. Proporción de obesidad según IMC pregestacional en mujeres que acceden a los establecimientos de salud según DIRESA/ GERESA/ DISA; Centro Latinoamericano de Perinatología (CLAP), Instituto Nacional de Salud (INS), 2020



Fuente: Instituto Nacional de Salud, Centro Nacional de Alimentación y Nutrición, Dirección Ejecutiva de Vigilancia Alimentaria y Nutricional, Sistema de Información del Estado Nutricional (SIEN)

Elaboración: Área de Bioestadística y Análisis de Datos, DEVAN, INS y Oficina Ejecutiva de Estadística e Informática - OGIS

Mapa 2.15 Proporción de obesidad según IMC Pregestacional en mujeres que acceden a los establecimientos de salud según DIRESA/GERESA/DISA; Centro Latinoamericano de Perinatología (CLAP) - Instituto Nacional de Salud (INS), 2020



*Regiones que no reportaron al SIEN

Fuente: Instituto Nacional de Salud (INS), Centro Nacional de Alimentación y Nutrición, Dirección Ejecutiva de Vigilancia Alimentaria y Nutricional, Sistema de Información del Estado Nutricional (SIEN)

Elaboración: Oficina Ejecutiva de Estadística e Informática, OGIS, INS

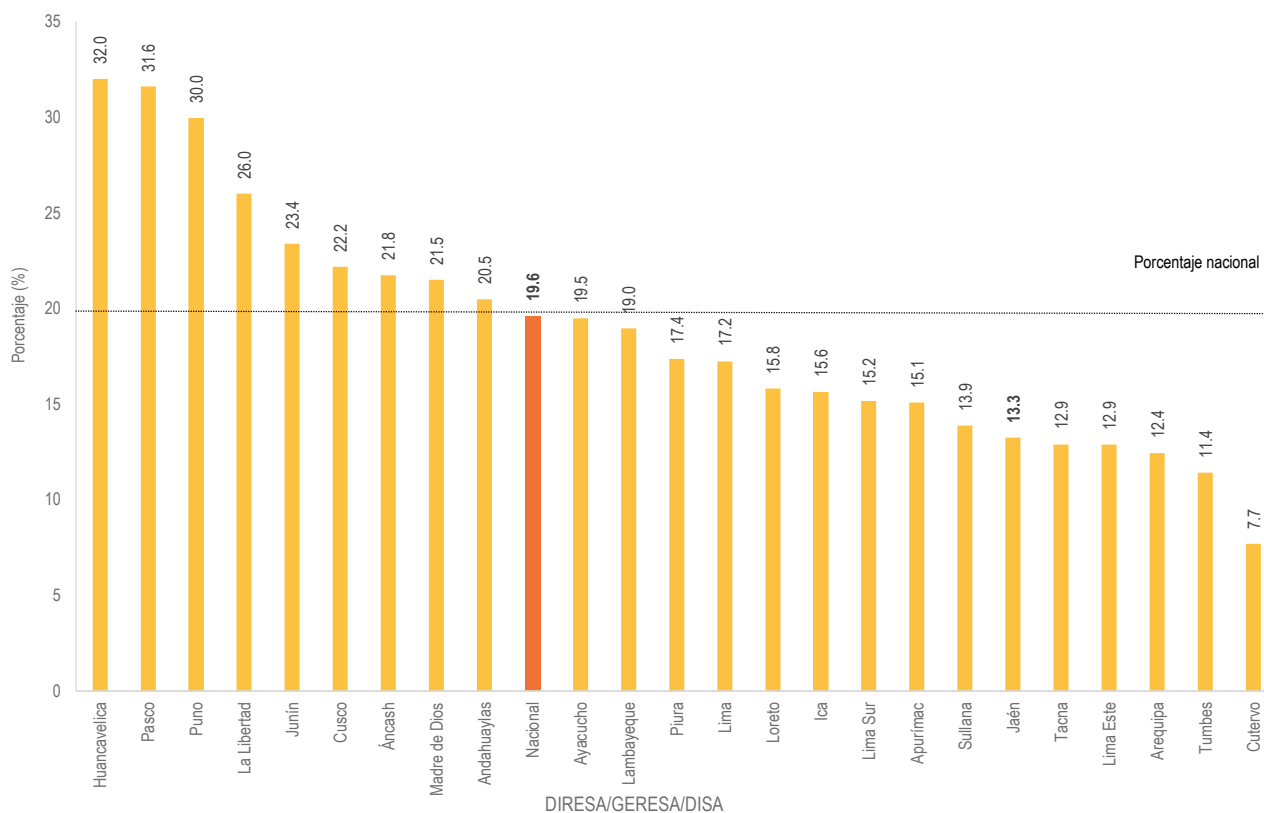
Cuadro 2.13. Proporción de anemia en gestantes que acceden a los establecimientos de salud según DIRESA/ GERESA/ DISA; Instituto Nacional de Salud (INS), 2020

DISA/ GERESA/ DIRESA	ORGANIZACIÓN MUNDIAL DE LA SALUD		
	N° Evaluados	Casos	(%)
Nacional	187824	36732	19.6
Amazonas	(SD)	(SD)	(SD)
Áncash	8551	1860	21.8
Andahuaylas	2269	465	20.5
Apurímac	4331	653	15.1
Arequipa	14579	1813	12.4
Ayacucho	11735	2286	19.5
Cajamarca	(SD)	(SD)	(SD)
Callao	(SD)	(SD)	(SD)
Chota	(SD)	(SD)	(SD)
Cusco	19401	4302	22.2
Cutervo	2157	166	7.7
Huancavelica	7468	2390	32.0
Huánuco	(SD)	(SD)	(SD)
Ica	7810	1222	15.6
Jaén	4430	587	13.3
Junín	14347	3355	23.4
La Libertad	11044	2871	26.0
Lambayeque	4290	813	19.0
Lima	6195	1068	17.2
Lima Centro	(SD)	(SD)	(SD)
Lima Este	5522	712	12.9
Lima Norte	(SD)	(SD)	(SD)
Lima Sur	12971	1966	15.2
Loreto	14243	2252	15.8
Madre de Dios	3697	795	21.5
Moquegua	(SD)	(SD)	(SD)
Pasco	2617	827	31.6
Piura	5335	926	17.4
Puno	12909	3867	30.0
San Martín	(SD)	(SD)	(SD)
Sullana	5705	792	13.9
Tacna	2280	294	12.9
Tumbes	3938	450	11.4
Ucayali	(SD)	(SD)	(SD)

Fuente: Instituto Nacional de Salud, Centro Nacional de Alimentación y Nutrición, Dirección Ejecutiva de Vigilancia Alimentaria y Nutricional, Sistema de Información del Estado Nutricional (SIEN)

Elaboración: Área de Bioestadística y Análisis de Datos, DEVAN, INS y Oficina Ejecutiva de Estadística e Informática - OGIS

Gráfico 2.16. Proporción de anemia en gestantes que acceden a los establecimientos de salud según DIRESA/ GERESA /DISA; Instituto Nacional de Salud (INS), 2020



Fuente: Instituto Nacional de Salud, Centro Nacional de Alimentación y Nutrición, Dirección Ejecutiva de Vigilancia Alimentaria y Nutricional, Sistema de Información del Estado Nutricional (SIEN)

Elaboración: Área de Bioestadística y Análisis de Datos, DEVAN, INS y Oficina Ejecutiva de Estadística e Informática - OGIS

Mapa 2.16 Proporción de anemia en gestantes que acceden a los establecimientos de salud según DIRESA/GERESA/DISA - Instituto Nacional de Salud (INS), 2020



*Regiones que no reportaron al SIEN

Fuente: Instituto Nacional de Salud (INS), Centro Nacional de Alimentación y Nutrición, Dirección Ejecutiva de Vigilancia Alimentaria y Nutricional, Sistema de Información del Estado Nutricional (SIEN)

Elaboración: Oficina Ejecutiva de Estadística e Informática, OGIS, INS

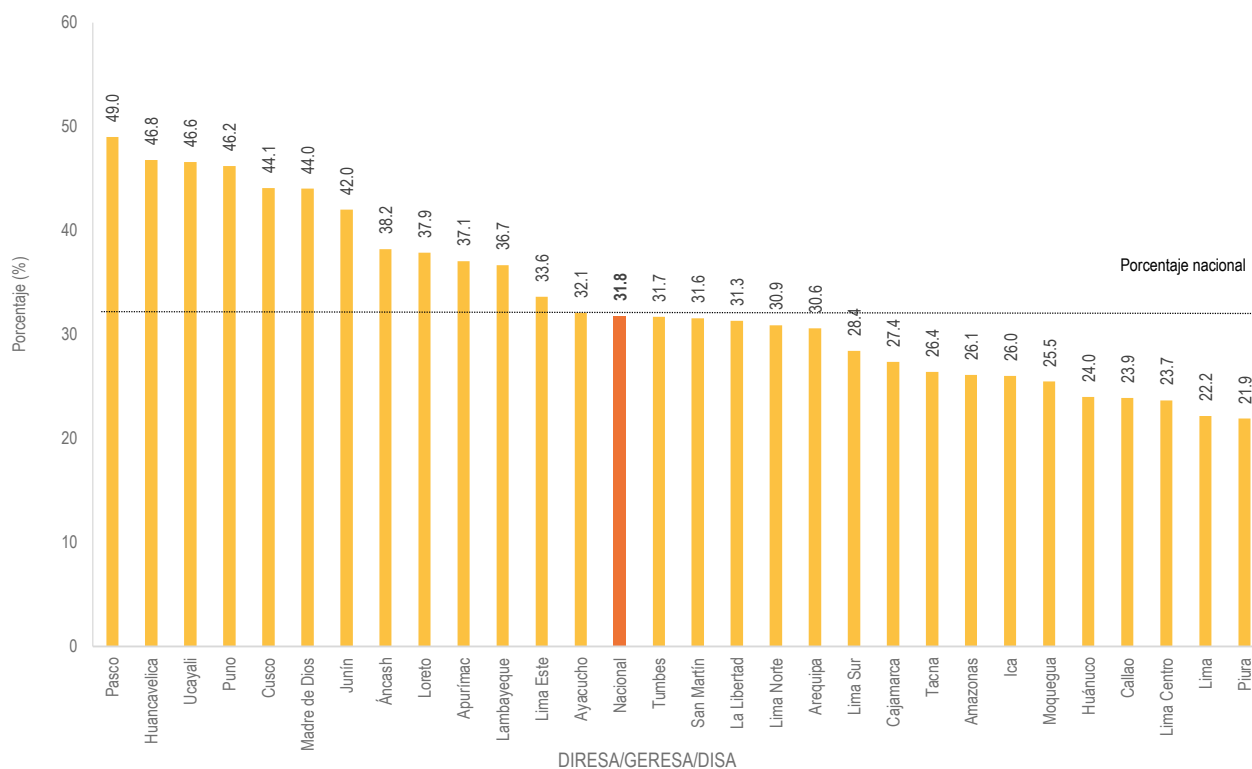
Cuadro 2.14. Proporción de anemia en niños/as que acceden a los establecimientos de salud según DIRESA/ GERESA/ DISA; HIS, 2020

DISA/ GERESA/ DIRESA	NIÑOS MENORES 36 MESES			NIÑOS MENORES DE 60 MESES		
	N° Evaluados	Casos	(%)	N° Evaluados	Casos	(%)
Nacional	407 510	129 560	31.8	578 576	158 379	27.4
Amazonas	4 478	1 169	26.1	8 016	1 603	20.0
Áncash	18 772	7 173	38.2	30 121	9 749	32.4
Apurímac	8 598	3 187	37.1	13 656	4 343	31.8
Arequipa	12 748	3 901	30.6	18 352	4 690	25.6
Ayacucho	15 099	4 846	32.1	25 516	6 386	25.0
Cajamarca	21 098	5 774	27.4	33 520	7 602	22.7
Callao	11 770	2 812	23.9	14 170	3 077	21.7
Cusco	18 043	7 953	44.1	26 562	10 050	37.8
Huancavelica	4 960	2 321	46.8	8 121	3 323	40.9
Huánuco	10 945	2 626	24.0	18 402	3 596	19.5
Ica	13 081	3 405	26.0	17 323	3 778	21.8
Junín	18 655	7 839	42.0	25 640	9 857	38.4
La Libertad	26 902	8 423	31.3	37 790	11 072	29.3
Lambayeque	15 102	5 538	36.7	20 062	6 487	32.3
Lima	15 192	3 366	22.2	21 170	4 012	19.0
Lima Centro	20 442	4 841	23.7	24 039	5 127	21.3
Lima Este	15 266	5 132	33.6	18 681	5 563	29.8
Lima Norte	31 070	9 597	30.9	35 918	10 190	28.4
Lima Sur	30 500	8 674	28.4	38 561	9 692	25.1
Loreto	12 273	4 647	37.9	18 784	5 843	31.1
Madre de Dios	2 700	1 189	44.0	3 541	1 352	38.2
Moquegua	1 805	460	25.5	2 852	547	19.2
Pasco	3 674	1 801	49.0	5 646	2 374	42.0
Piura	34 165	7 484	21.9	51 879	8 996	17.3
Puno	12 524	5 788	46.2	19 956	7 499	37.6
San Martín	11 650	3 677	31.6	18 738	4 647	24.8
Tacna	3 933	1 038	26.4	5 888	1 294	22.0
Tumbes	4 843	1 535	31.7	6 460	1 778	27.5
Ucayali	7 222	3 364	46.6	9 212	3 852	41.8

Fuente: Ministerio de Salud, Vice Ministerio de Salud Pública, Oficina General de Tecnologías de la Información, HIS, Instituto Nacional de Salud (INS), Centro Nacional de Alimentación y Nutrición, Dirección Ejecutiva de Vigilancia Alimentaria y Nutricional, Sistema de Información del Estado Nutricional (SIEN)

Elaboración: Área de Bioestadística y Análisis de Datos, DEVAN, INS y Oficina Ejecutiva de Estadística e Informática - OGIS

Gráfico 2.17. Proporción de anemia en niños/as menores de 36 meses que acceden a los establecimientos de salud según DIRESA/ GERESA/ DISA; HIS, 2020



Fuente: Ministerio de Salud, Vice Ministerio de Salud Pública, Oficina General de Tecnologías de la Información, HIS, Instituto Nacional de Salud (INS), Centro Nacional de Alimentación y Nutrición, Dirección Ejecutiva de Vigilancia Alimentaria y Nutricional, Sistema de Información del Estado Nutricional (SIEN)

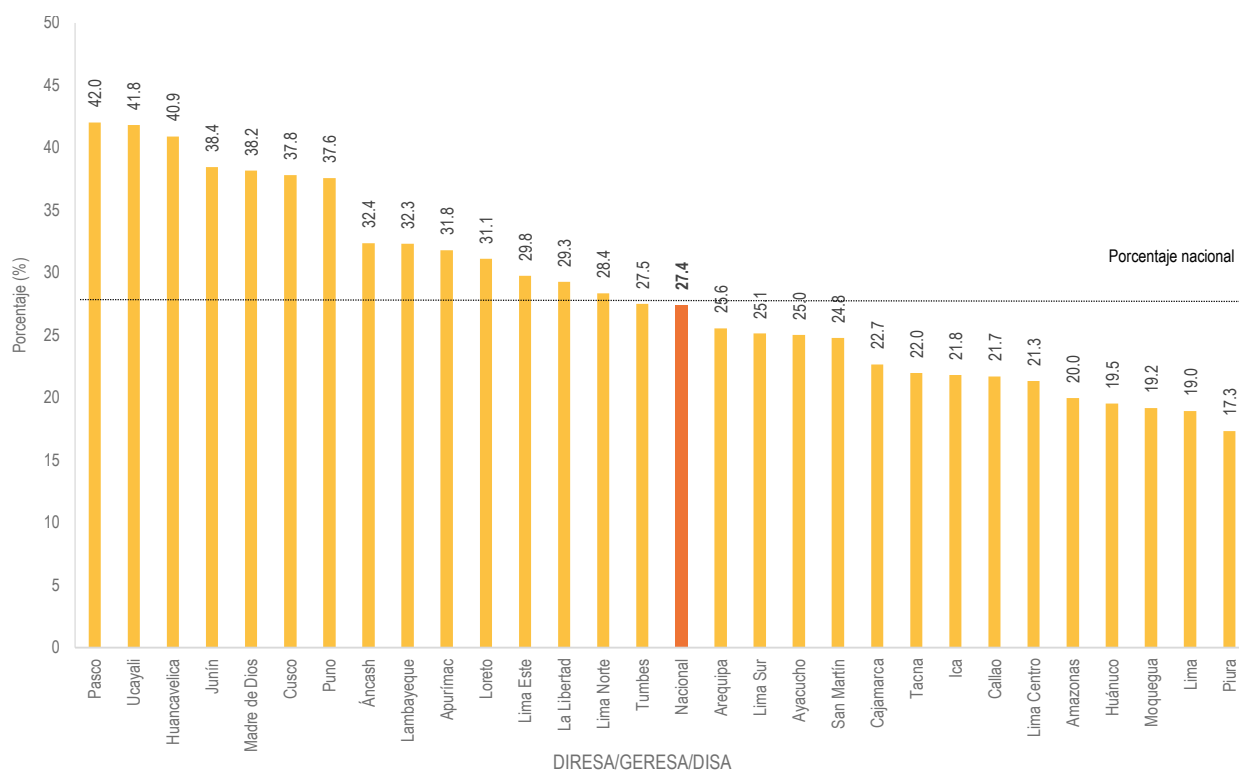
Elaboración: Área de Bioestadística y Análisis de Datos, DEVAN, INS y Oficina Ejecutiva de Estadística e Informática - OGIS

Mapa 2.17 Proporción de anemia en niños/as menores de 36 meses que acceden a los establecimientos de salud según DIRESA/GERESA/DISA - HIS, 2020



Fuente: Ministerio de Salud, Vice Ministerio de Salud Pública, Oficina General de Tecnologías de la Información, HIS, Instituto Nacional de Salud, Centro Nacional de Alimentación y Nutrición, Dirección Ejecutiva de Vigilancia Alimentaria y Nutricional, Sistema de Información del Estado Nutricional (SIEN)
Elaboración: Oficina Ejecutiva de Estadística e Informática, OGIS, INS

Gráfico 2.18. Proporción de anemia en niños/as menores de 60 meses que acceden a los establecimientos de salud según DIRESA/ GERESA/ DISA; HIS, 2020



Fuente: Ministerio de Salud, Vice Ministerio de Salud Pública, Oficina General de Tecnologías de la Información, HIS, Instituto Nacional de Salud (INS), Centro Nacional de Alimentación y Nutrición, Dirección Ejecutiva de Vigilancia Alimentaria y Nutricional, Sistema de Información del Estado Nutricional (SIEN)

Elaboración: Área de Bioestadística y Análisis de Datos, DEVAN, INS y Oficina Ejecutiva de Estadística e Informática - OGIS



**CENTRO NACIONAL
DE PRODUCTOS
BIOLÓGICOS**



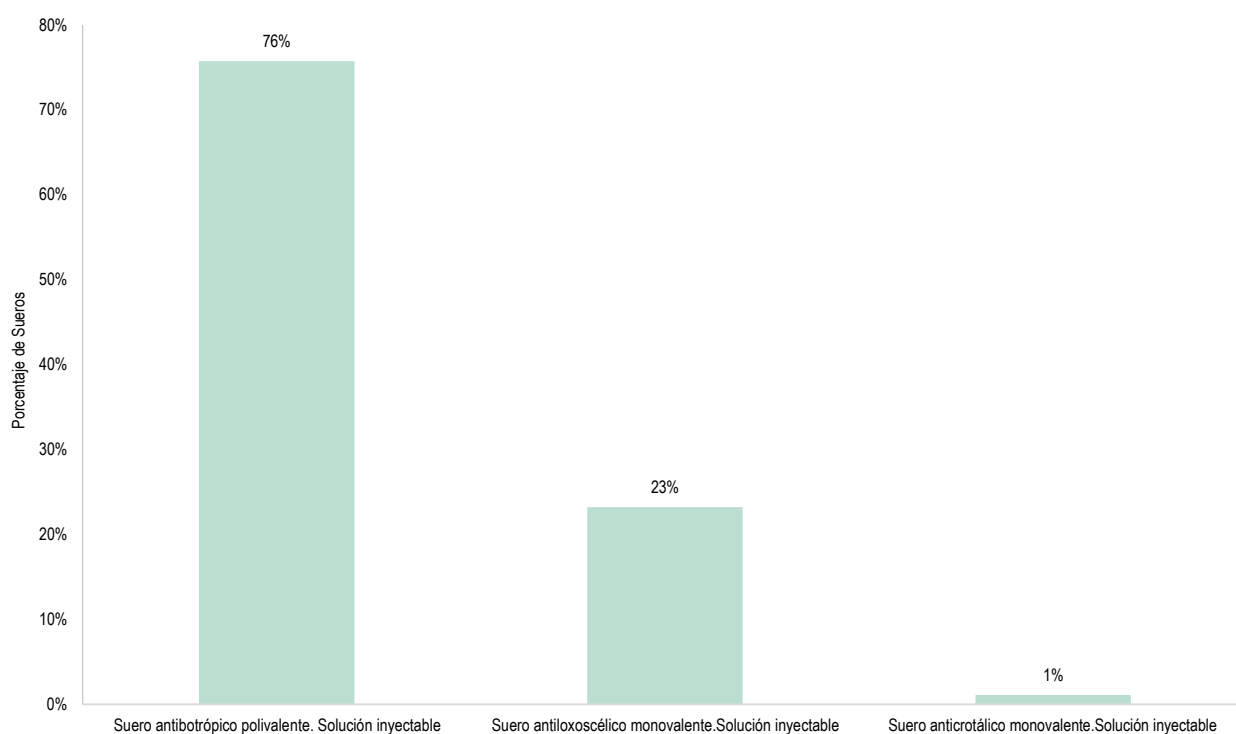
Cuadro 3.1 Producción de sueros de uso humano en el Laboratorio de Reactivos de Diagnóstico, Instituto Nacional de Salud (INS), 2020

PRODUCTOS DE USO HUMANO	Meses												Total
	Enero	Febrero	Marzo	Abril	Mayo	Junio	Julio	Agosto	Septiembre	Octubre	Noviembre	Diciembre	
Total	0	0	2,675	0	0	0	165	0	0	2,019	0	8,419	13278
Suero antitropical polivalente. Solución inyectable	-	-	2,675	-	-	-	165	-	-	2,019	-	5,194	10053
Suero antiloxoscélico monovalente. Solución inyectable	-	-	-	-	-	-	-	-	-	-	-	3081	3081
Suero anticrotálico monovalente. Solución inyectable	-	-	-	-	-	-	-	-	-	-	-	144	144

Fuente: Instituto Nacional de Salud, Centro Nacional de Productos Biológicos

Elaboración: Centro Nacional de Productos Biológicos

Gráfico 3.1 Producción de sueros de uso humano en el Laboratorio de Reactivos de Diagnóstico - Instituto Nacional de Salud (INS), 2020



Fuente: Instituto Nacional de Salud, Centro Nacional de Productos Biológicos

Elaboración: Centro Nacional de Productos Biológicos

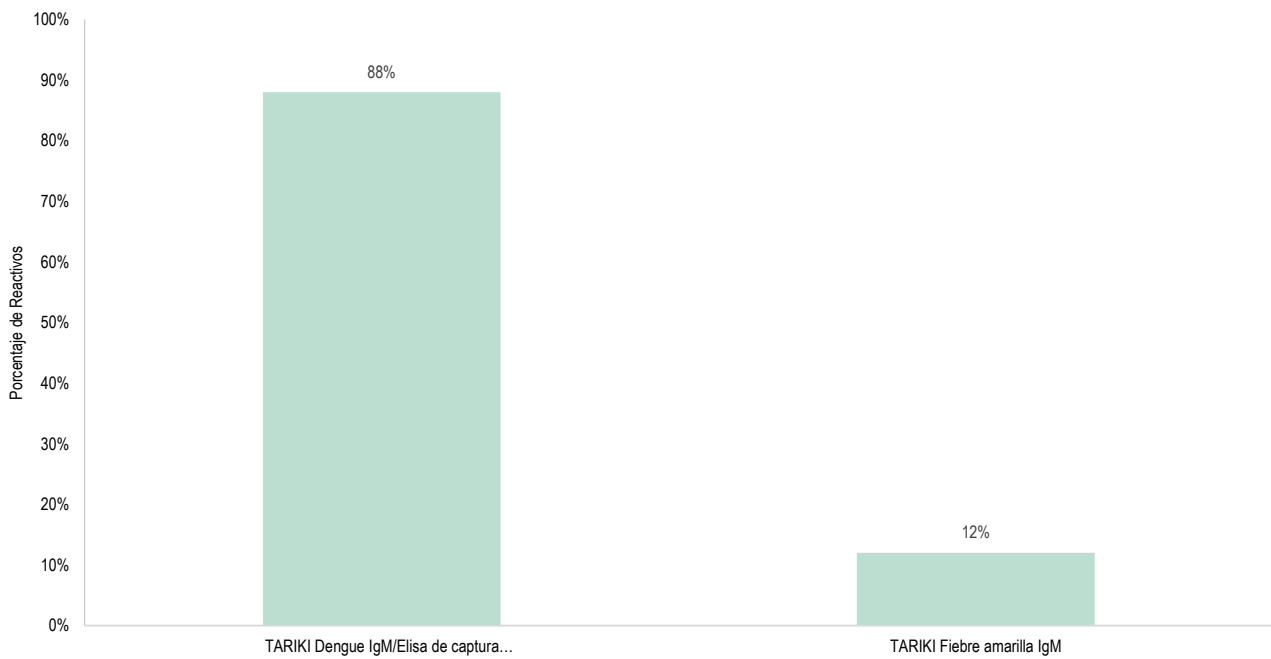
Cuadro 3.2 Producción de reactivos para diagnóstico de uso humano en el Laboratorio de Reactivos de Diagnóstico, Instituto Nacional de Salud (INS), 2020

PRODUCTOS DE USO HUMANO	Meses												Total
	Enero	Febrero	Marzo	Abril	Mayo	Junio	Julio	Agosto	Septiembre	Octubre	Noviembre	Diciembre	
Total	0	0	13920	0	0	0	0	0	0	0	17280	0	31200
TARIKI Dengue IgM/Elisa de captura	-	-	13920	-	-	-	-	-	-	-	13536	-	27456
TARIKI Fiebre amarilla IgM	-	-	-	-	-	-	-	-	-	-	3744	-	3744

Fuente: Instituto Nacional de Salud, Centro Nacional de Productos Biológicos

Elaboración: Centro Nacional de Productos Biológicos

Gráfico 3.2 Producción de reactivos para diagnóstico de uso humano en el Laboratorio de Reactivos de Diagnóstico, Instituto Nacional de Salud (INS), 2020



Fuente: Instituto Nacional de Salud, Centro Nacional de Producción de Biológicos

Elaboración: Centro Nacional de Producción de Biológicos

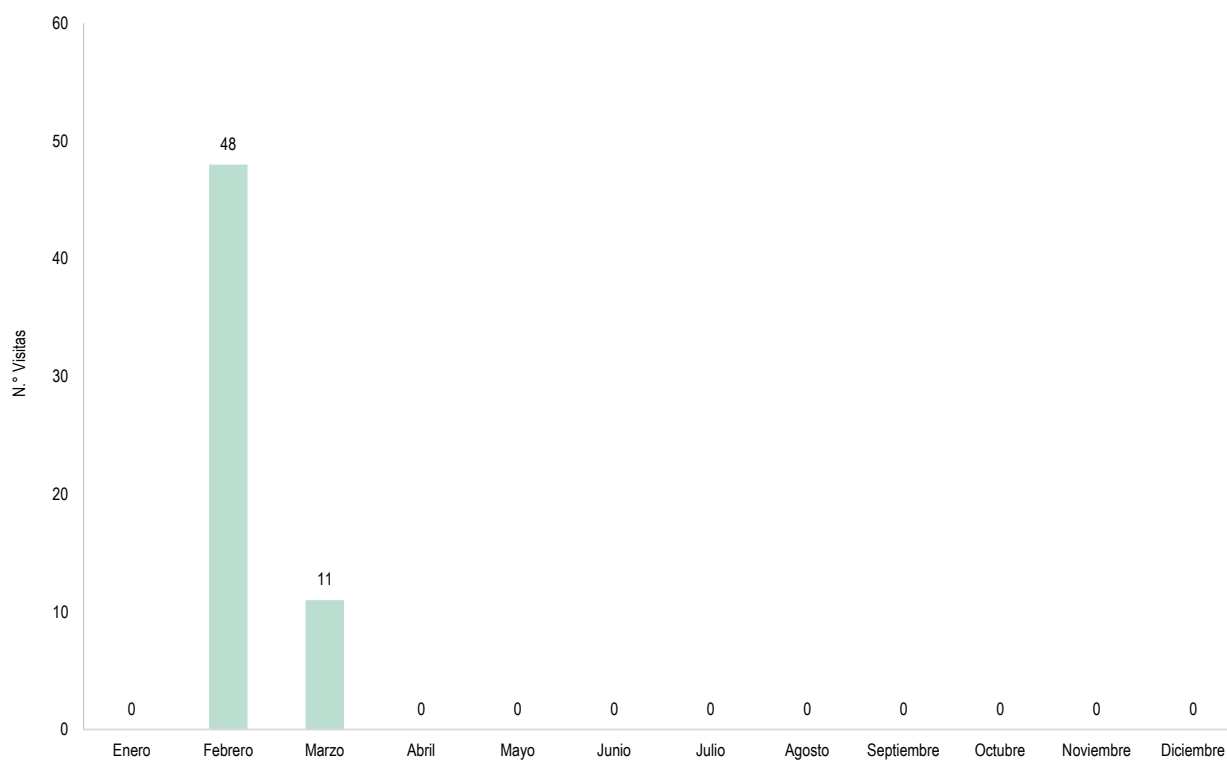
Cuadro 3.5 Visitas realizadas al serpentario "Oswaldo Meneses" por entidad y por mes, Instituto Nacional de Salud (INS), 2020

ENTIDAD	Enero	Febrero	Marzo	Abril	Mayo	Junio	Julio	Agosto	Septiembre	Octubre	Noviembre	Diciembre	Total
Total	0	48	11	0	0	0	0	0	0	0	0	0	59
Escuela francotiradores del Ejército	-	31	-	-	-	-	-	-	-	-	-	-	31
Particular	-	17	11	-	-	-	-	-	-	-	-	-	28

Fuente: Instituto Nacional de Salud, Centro Nacional de Productos Biológicos

Elaboración: Centro Nacional de Productos Biológicos

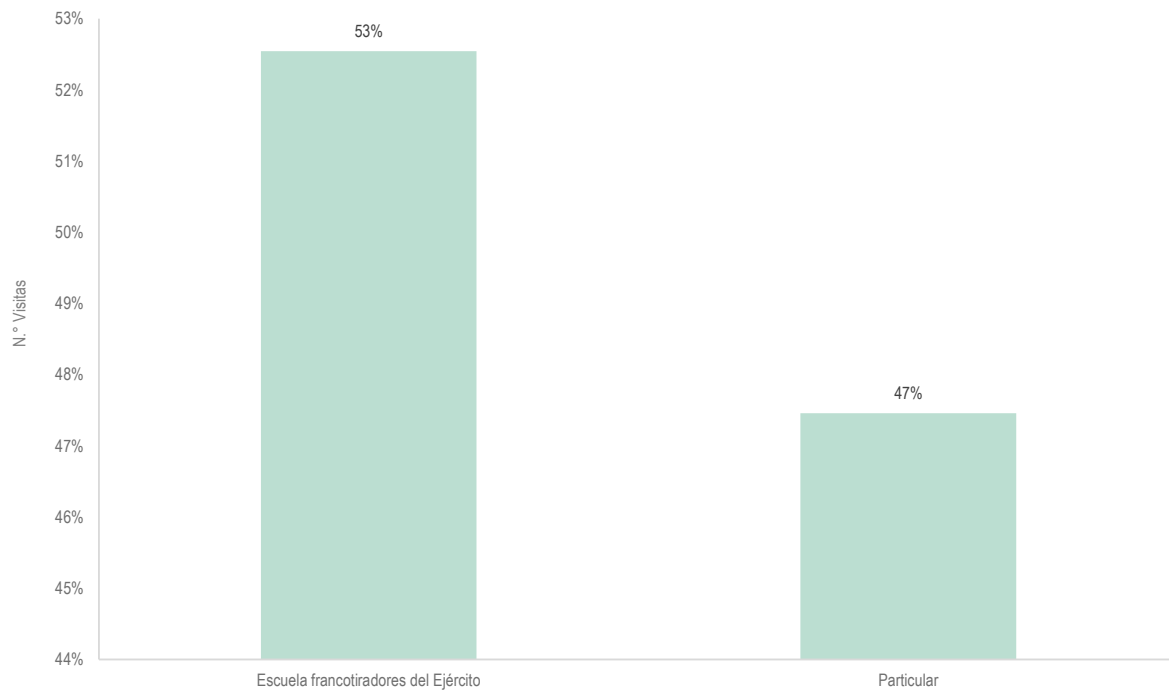
Gráfico 3.5 Número de visitas realizadas al serpentario "Oswaldo Meneses" según meses, Instituto Nacional de Salud (INS), 2020




Fuente: Instituto Nacional de Salud, Centro Nacional de Productos Biológicos

Elaboración: Centro Nacional de Productos Biológicos


Gráfico 3.6 Número de visitas realizadas al serpentario "Oswaldo Meneses" según entidad, Instituto Nacional de Salud (INS), 2020



Fuente: Instituto Nacional de Salud, Centro Nacional de Productos Biológicos
Elaboración: Centro Nacional de Productos Biológicos



**CENTRO NACIONAL
DE SALUD OCUPACIONAL
Y PROTECCIÓN
DEL AMBIENTE
PARA LA SALUD**



Cuadro 4.1. Personas atendidas por meses según lugar de región en el Servicio de Psicología, Instituto Nacional de Salud (INS), 2020

REGIÓN	MES												Total
	Enero	Febrero	Marzo	Abril	Mayo	Junio	Julio	Agosto	Septiembre	Octubre	Noviembre	Diciembre	
Total	29	29	16	88	54	78	50	26	21	5	3	0	399
Lima	29	29	16	88	54	78	50	26	21	5	3	0	399

Fuente: Instituto Nacional de Salud, Centro Nacional de Salud Ocupacional y Protección del Ambiente para la Salud

Elaboración: Oficina General de Información y Sistemas - Oficina Ejecutiva de Estadística e Informática

Cuadro 4.2. Análisis realizados por motivo de la muestra según tipo de análisis en el Laboratorio clínico, Instituto Nacional de Salud (INS), 2020

TIPO DE ANÁLISIS	MES												Total
	Enero	Febrero	Marzo	Abril	Mayo	Junio	Julio	Agosto	Septiembre	Octubre	Noviembre	Diciembre	
Total	35	111	127	0	5	0	0	1	11	315	74	17	696
EMO (Hemograma completo, Examen completo de orina, RPR)	26	29	16	-	-	-	-	-	2	0	-	-	73
Análisis creatinina	9	82	111	-	5	-	-	1	9	315	74	17	623

Fuente: Instituto Nacional de Salud, Centro Nacional de Salud Ocupacional y Protección del Ambiente para la Salud

Elaboración: Oficina General de Información y Sistemas - Oficina Ejecutiva de Estadística e Informática

Cuadro 4.3. Análisis de metales pesados en muestras biológicas (sangre, orina) en el Laboratorio Químico Toxicológico, Instituto Nacional de Salud (INS), 2020

MES	Sangre						Orina		Total
	Pb		Cd		As		Hg		
Total	103	0	1506	260	0	131	2000		
Enero	28	-	477	181	-	7	693		
Febrero	6	-	5	8	-	7	26		
Marzo	11	-	64	9	-	53	137		
Abril	3	-	106	-	-	2	111		
Mayo	-	-	-	-	-	-	0		
Junio	-	-	-	-	-	-	0		
Julio	-	-	2	2	-	2	6		
Agosto	1	-	1	1	-	1	4		
Setiembre	-	-	-	-	-	-	0		
Octubre	-	-	-	-	-	-	0		
Noviembre	54	-	59	59	-	59	231		
Diciembre	-	-	792	-	-	-	792		

Fuente: Instituto Nacional de Salud, Centro Nacional de Salud Ocupacional y Protección del Ambiente para la Salud

Elaboración: Oficina General de Información y Sistemas - Oficina Ejecutiva de Estadística e Informática

Cuadro 4.4. Personas atendidas por sexo según rango de edad en el Laboratorio Químico Toxicológico, Instituto Nacional de Salud (INS) 2020

MES	Rango de edad	Sexo	
		Femenino	Masculino
Total		862	687
Enero	Niños(0-11 años)	164	182
	Adolescentes (12-17 años)	39	41
	Adultos (18-59 años)	54	10
	Adulto mayor (60 a más)	2	3
Febrero	Niños(0-11 años)	6	2
	Adolescentes (12-17 años)	0	3
	Adultos (18-59 años)	3	2
	Adulto mayor (60 a más)	3	1
Marzo	Niños(0-11 años)	14	7
	Adolescentes (12-17 años)	4	4
	Adultos (18-59 años)	17	7
	Adulto mayor (60 a más)	4	9
Abril	Niños(0-11 años)	16	13
	Adolescentes (12-17 años)	2	1
	Adultos (18-59 años)	25	1
	Adulto mayor (60 a más)	31	19
Mayo	Niños(0-11 años)	-	-
	Adolescentes (12-17 años)	-	-
	Adultos (18-59 años)	-	-
	Adulto mayor (60 a más)	-	-
Junio	Niños(0-11 años)	-	-
	Adolescentes (12-17 años)	-	-
	Adultos (18-59 años)	-	-
	Adulto mayor (60 a más)	-	-
Julio	Niños(0-11 años)	-	2
	Adolescentes (12-17 años)	-	1
	Adultos (18-59 años)	-	-
	Adulto mayor (60 a más)	-	-
Agosto	Niños(0-11 años)	-	1
	Adolescentes (12-17 años)	-	-
	Adultos (18-59 años)	-	-
	Adulto mayor (60 a más)	-	-
Setiembre	Niños(0-11 años)	-	-
	Adolescentes (12-17 años)	-	-
	Adultos (18-59 años)	-	-
	Adulto mayor (60 a más)	-	-
Octubre	Niños(0-11 años)	-	-
	Adolescentes (12-17 años)	-	-
	Adultos (18-59 años)	-	-
	Adulto mayor (60 a más)	-	-
Noviembre	Niños(0-11 años)	6	11
	Adolescentes (12-17 años)	4	1
	Adultos (18-59 años)	22	18
	Adulto mayor (60 a más)	-	2

Diciembre	Niños(0-11 años)	214	211
	Adolescentes (12-17 años)	30	29
	Adultos (18-59 años)	161	69
	Adulto mayor (60 a más)	41	37

Fuente: Instituto Nacional de Salud, Centro Nacional de Salud Ocupacional y Protección del Ambiente para la Salud

Elaboración: Oficina General de Información y Sistemas - Oficina Ejecutiva de Estadística e Informática

Cuadro 4.5. Personas atendidas según lugar de procedencia en el Laboratorio Químico Toxicológico, Instituto Nacional de Salud (INS), 2020

PROCEDENCIA	MES												Total
	Enero	Febrero	Marzo	Abril	Mayo	Junio	Julio	Agosto	Septiembre	Octubre	Noviembre	Diciembre	
Total	495	20	66	108	0	0	3	1	0	0	64	792	1549
Ancash	-	9	-	-	-	-	3	-	-	-	-	-	12
Cajamarca	1	-	-	-	-	-	-	-	-	-	-	-	1
Cusco	4	5	-	2	-	-	-	-	-	-	-	-	11
Huánuco	9	-	-	-	-	-	-	-	-	-	-	-	9
Ica	100	-	-	-	-	-	-	-	-	-	-	69	169
Junín	7	-	-	-	-	-	-	-	-	-	-	-	7
Lambayeque	-	-	-	-	-	-	-	-	-	-	-	315	315
Lima	148	2	1	-	-	-	-	1	-	-	-	-	152
Loreto	-	-	-	-	-	-	-	-	-	-	64	-	64
Madre de Dios	2	-	-	-	-	-	-	-	-	-	-	-	2
Moquegua	224	-	-	6	-	-	-	-	-	-	-	-	230
Pasco	-	4	10	-	-	-	-	-	-	-	-	-	14
Puno	-	-	55	100	-	-	-	-	-	-	-	408	563

Fuente: Instituto Nacional de Salud, Centro Nacional de Salud Ocupacional y Protección del Ambiente para la Salud

Elaboración: Oficina General de Información y Sistemas - Oficina Ejecutiva de Estadística e Informática

Cuadro 4.6. Personas atendidas por lugar de residencia (regiones) en el Laboratorio Químico Toxicológico, Instituto Nacional de Salud (INS), 2020

REGIÓN	Sexo		Total
	Femenino	Masculino	
Total	862	687	1549
Ancash	5	7	12
Cajamarca	0	1	1
Cusco	7	4	11
Huánuco	3	6	9
Ica	92	77	169
Junín	4	3	7
Lambayeque	156	159	315
Lima	97	55	152
Loreto	32	32	64
Madre de Dios	1	1	2
Moquegua	105	125	230
Pasco	7	7	14
Puno	353	210	563

Fuente: Instituto Nacional de Salud, Centro Nacional de Salud Ocupacional y Protección del Ambiente para la Salud

Elaboración: Oficina General de Información y Sistemas - Oficina Ejecutiva de Estadística e Informática



**CENTRO NACIONAL
DE SALUD
INTERCULTURAL**

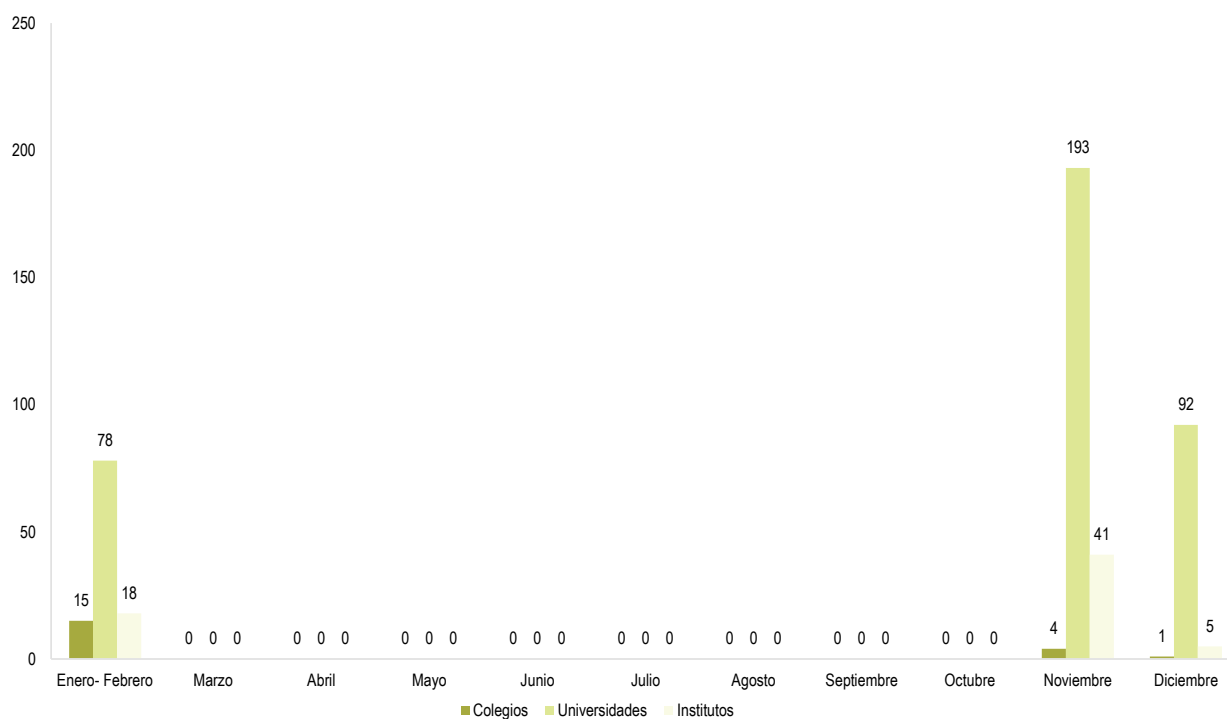


Cuadro 5.1. Visitas realizadas al Jardín Botánico por entidad y por mes, Instituto Nacional de Salud (INS), 2020

PROCEDENCIA DEL VISITANTE	Mes												Total
	Enero - Febrero	Marzo	Abril	Mayo	Junio	Julio	Agosto	Septiembre	Octubre	Noviembre	Diciembre		
Total	281	0	0	0	0	0	0	0	0	430	145	856	
Colegios	15	-	-	-	-	-	-	-	-	4	1	20	
Universidades	78	-	-	-	-	-	-	-	-	193	92	363	
Institutos	180	-	-	-	-	-	-	-	-	41	5	226	
Medios de comunicación	-	-	-	-	-	-	-	-	-	-	-	0	
Turistas extranjeros	-	-	-	-	-	-	-	-	-	-	-	0	
Profesionales diversos	2	-	-	-	-	-	-	-	-	61	18	81	
Profesionales de la salud	-	-	-	-	-	-	-	-	-	124	27	151	
Público	6	-	-	-	-	-	-	-	-	7	2	15	

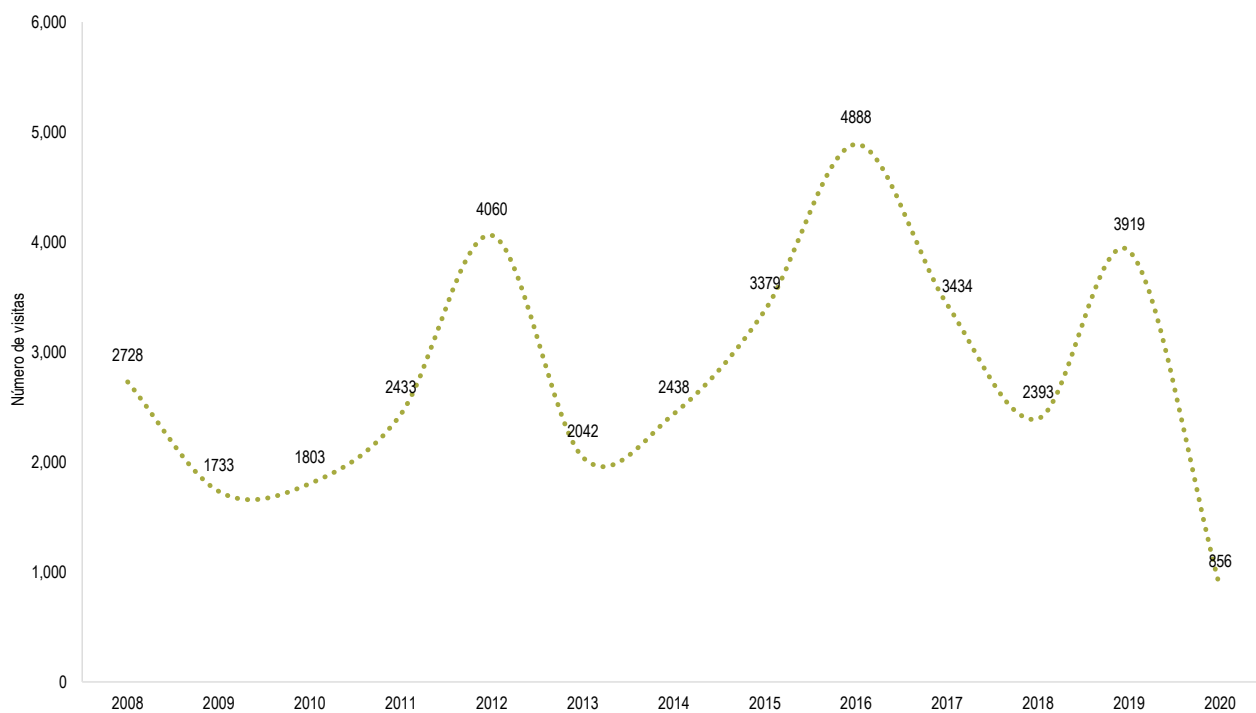
Fuente: Instituto Nacional de Salud, Centro Nacional de Salud Intercultural, Dirección Ejecutiva de Medicina Tradicional
Elaboración: Oficina General de Información y Sistemas - Oficina Ejecutiva de Estadística e Informática

Gráfico 5.1. Visitas realizadas al Jardín Botánico según procedencia, Instituto Nacional de Salud (INS), 2020



Fuente: Instituto Nacional de Salud, Centro Nacional de Salud Intercultural, Dirección Ejecutiva de Medicina Tradicional
Elaboración: Oficina General de Información y Sistemas - Oficina Ejecutiva de Estadística e Informática

Gráfico 5.2. Tendencia de visitas al Jardín Botánico, INS 2008-2020



Fuente: Instituto Nacional de Salud, Centro Nacional de Salud Intercultural, Dirección Ejecutiva de Medicina Tradicional
Elaboración: Oficina General de Información y Sistemas - Oficina Ejecutiva de Estadística e Informática



**CENTRO NACIONAL
DE CONTROL
DE CALIDAD**



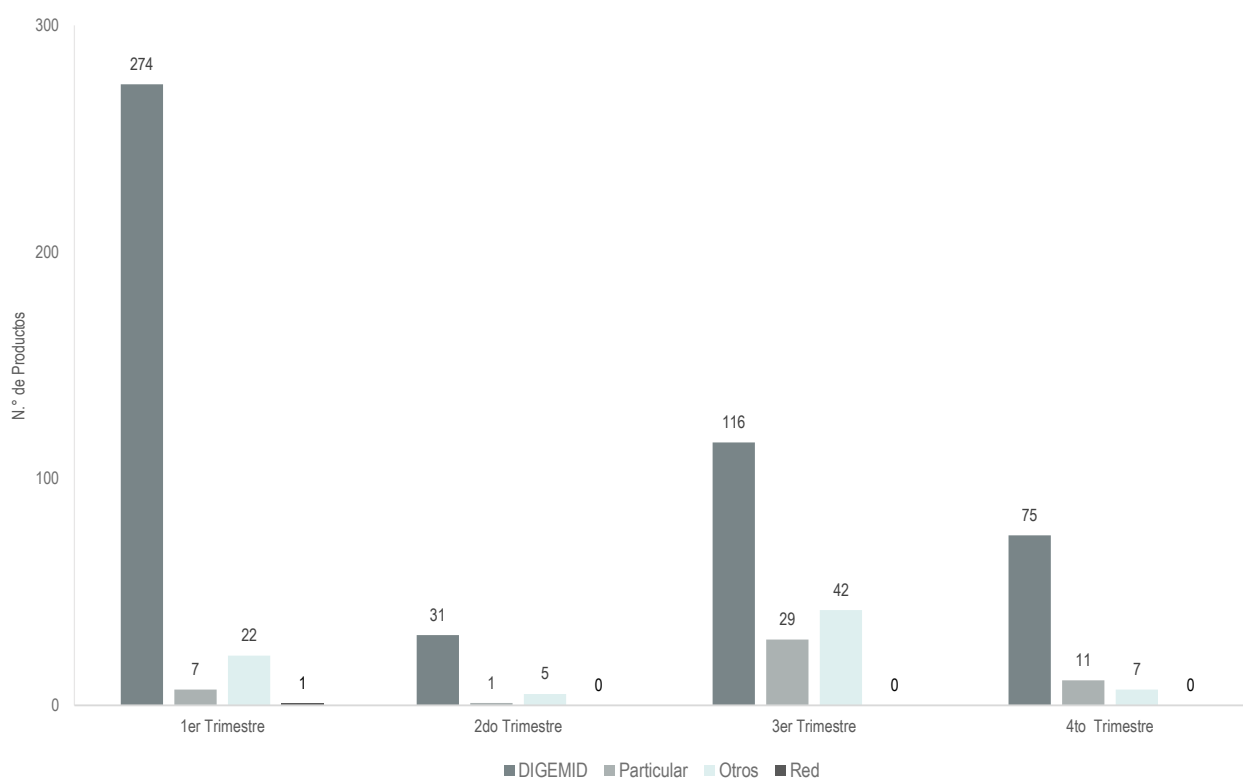
Cuadro 6.1. Productos ingresados para el control de la calidad según cliente, Instituto Nacional de Salud (INS), 2020

CLIENTE	Enero	Febrero	Marzo	Abril	Mayo	Junio	Julio	Agosto	Septiembre	Octubre	Noviembre	Diciembre	Total
Total	71	176	57	0	0	37	88	79	20	5	48	40	621
DIGEMID	65	169	40	-	-	31	42	54	20	5	38	32	496
Particular	3	1	3	-	-	1	22	7	-	-	6	5	48
Red	-	1	-	-	-	-	-	-	-	-	-	-	1
Otros	3	5	14	-	-	5	24	18	-	-	4	3	76

Fuente: Instituto Nacional de Salud, Centro Nacional de Control de Calidad

Elaboración: Centro Nacional de Control de Calidad

Gráfico 6.1. Productos ingresados para el análisis de control de la calidad, Instituto Nacional de Salud (INS), 2020



Fuente: Instituto Nacional de Salud, Centro Nacional de Control de Calidad

Elaboración: Centro Nacional de Control de Calidad

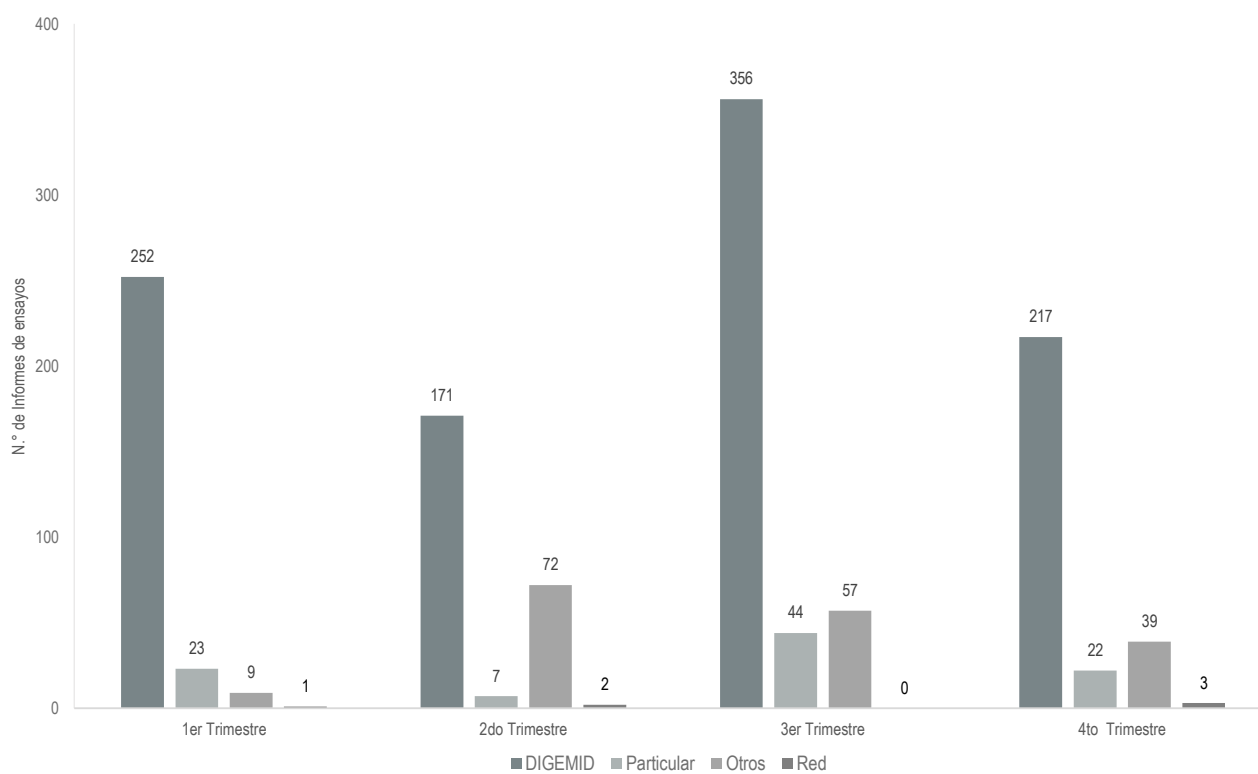
Cuadro 6.2. Informes de ensayos emitidos según cliente, Instituto Nacional de Salud (INS), 2020

CLIENTE	Enero	Febrero	Marzo	Abril	Mayo	Junio	Julio	Agosto	Septiembre	Octubre	Noviembre	Diciembre	Total
Total	94	112	79	30	113	109	141	140	176	129	54	98	1275
DIGEMID	80	102	70	28	67	76	87	123	146	96	42	79	996
Particular	12	9	2	1	3	3	24	11	9	8	7	7	96
Red	-	1	-	1	1	-	-	-	-	3	-	-	6
Otros	2	-	7	-	42	30	30	6	21	22	5	12	177

Fuente: Instituto Nacional de Salud, Centro Nacional de Control de Calidad

Elaboración: Centro Nacional de Control de Calidad

Gráfico 6.2. Informes de ensayos emitidos según cliente, Instituto Nacional de Salud (INS), 2020



Fuente: Instituto Nacional de Salud, Centro Nacional de Control de Calidad

Elaboración: Centro Nacional de Control de Calidad

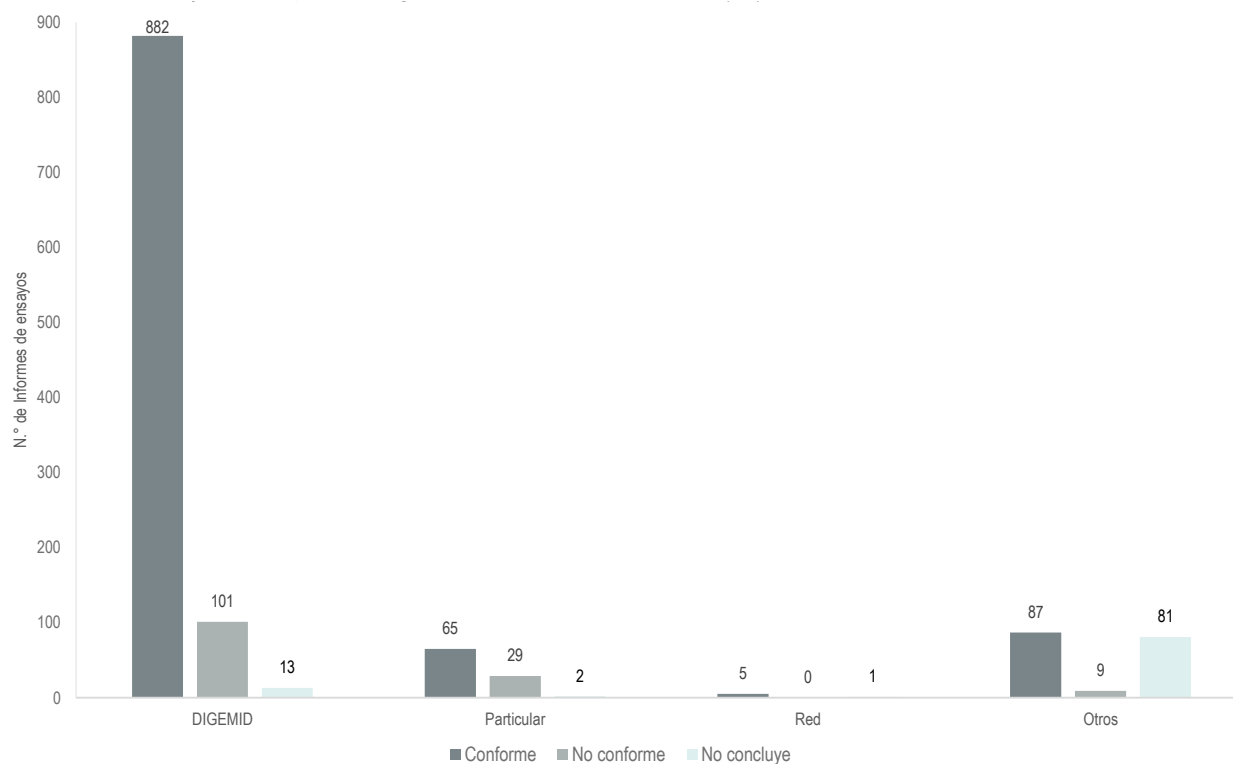
Cuadro 6.3. Informes de ensayos emitidos por cliente según conclusión, Instituto Nacional de Salud (INS), 2020

CONCLUSIÓN	DIGEMID	Particular	Red	Otros	Total
Total	996	96	6	177	1275
Conforme	882	65	5	87	1039
No conforme	101	29	-	9	139
No concluye	13	2	1	81	97

Fuente: Instituto Nacional de Salud, Centro Nacional de Control de Calidad

Elaboración: Centro Nacional de Control de Calidad

Gráfico 6.3. Informes de ensayos emitidos por cliente según conclusión, Instituto Nacional de Salud (INS), 2020



Fuente: Instituto Nacional de Salud, Centro Nacional de Control de Calidad

Elaboración: Centro Nacional de Control de Calidad

Cuadro 6.4. Informes de ensayos emitidos por cliente según conclusión, Instituto Nacional de Salud (INS), 2020

MES	CONCLUSIÓN	DIGEMID	Particular	Red	Otros	Total
	Total	80	12	0	2	94
Enero	Conforme	72	12	-	2	86
	No conforme	8	-	-	-	8
	No concluye	-	-	-	-	0
	Total	102	9	1	0	112
Febrero	Conforme	101	9	1	-	111
	No conforme	1	-	-	-	1
	No concluye	-	-	-	-	0
	Total	70	2	0	7	79
Marzo	Conforme	70	1	-	7	78
	No conforme	-	1	-	-	1
	No concluye	-	-	-	-	0
	Total	28	1	1	0	30
Abril	Conforme	28	1	1	-	30
	No conforme	-	-	-	-	0
	No concluye	-	-	-	-	0
	Total	67	3	1	42	113
Mayo	Conforme	60	3	-	3	66
	No conforme	4	-	-	2	6
	No concluye	3	-	1	37	41
	Total	76	3	0	30	109
Junio	Conforme	67	1	-	8	76
	No conforme	3	2	-	1	6
	No concluye	6	-	-	21	27
	Total	87	24	0	30	141
Julio	Conforme	69	13	-	12	94
	No conforme	17	10	-	6	33
	No concluye	1	1	-	12	14
	Total	123	11	0	6	140
Agosto	Conforme	96	5	-	5	106
	No conforme	26	6	-	-	32
	No concluye	1	-	-	1	2
	Total	146	9	0	21	176
Septiembre	Conforme	135	5	-	13	153
	No conforme	10	4	-	-	14
	No concluye	1	-	-	8	9
	Total	96	8	3	22	129
Octubre	Conforme	79	4	3	22	108
	No conforme	17	4	-	-	21
	No concluye	-	-	-	-	0
	Total	42	7	0	5	54
Noviembre	Conforme	37	5	-	5	47
	No conforme	5	1	-	-	6
	No concluye	-	1	-	-	1
	Total	79	7	0	12	98
Diciembre	Conforme	68	6	-	10	84
	No conforme	10	1	-	-	11
	No concluye	1	-	-	2	3

Fuente: Instituto Nacional de Salud, Centro Nacional de Control de Calidad

Elaboración: Centro Nacional de Control de Calidad

Cuadro 6.5. Informe de ensayos emitidos por clase de producto según cliente, Instituto Nacional de Salud (INS), 2020

CLASE DE PRODUCTO	Cliente				Total
	DIGEMID	Particular	Red	Otros	
Total	996	96	6	177	1275
Producto Farmacéutico	628	13	3	73	717
Producto Sanitario	132	8	1	4	145
Dispositivo Médico	224	63	2	31	320
Productos Otros	12	12	-	69	93

Fuente: Instituto Nacional de Salud, Centro Nacional de Control de Calidad

Elaboración: Centro Nacional de Control de Calidad

Cuadro 6.6. Informe de ensayos emitidos por clase de producto según cliente y mes, Instituto Nacional de Salud (INS), 2020

MES	CLIENTE	Producto farmacéutico	Producto Sanitario	Dispositivo médico	Producto Otros	Total
	Total	62	15	16	1	94
Enero	DIGEMID	55	15	10	-	80
	Particular	6	-	6	-	12
	Red	-	-	-	-	0
	Otros	1	-	-	1	2
	Total	85	7	18	2	112
Febrero	DIGEMID	83	7	12	-	102
	Particular	1	-	6	2	9
	Red	1	-	-	-	1
	Otros	-	-	-	-	0
	Total	63	2	10	4	79
Marzo	DIGEMID	61	2	7	-	70
	Particular	1	-	1	-	2
	Red	-	-	-	-	0
	Otros	1	-	2	4	7
	Total	25	2	2	1	30
Abril	DIGEMID	25	2	1	-	28
	Particular	-	-	-	1	1
	Red	-	-	1	-	1
	Otros	-	-	-	-	0
	Total	40	9	27	37	113
Mayo	DIGEMID	33	9	24	1	67
	Particular	1	-	1	1	3
	Red	-	-	1	-	1
	Otros	6	-	1	35	42
	Total	63	16	23	7	109
Junio	DIGEMID	40	16	19	1	76
	Particular	-	-	3	-	3
	Red	-	-	-	-	0
	Otros	23	-	1	6	30
	Total	75	21	31	14	141
Julio	DIGEMID	60	17	9	1	87
	Particular	1	4	13	6	24
	Red	-	-	-	-	0
	Otros	14	-	9	7	30
	Total	61	18	59	2	140
Agosto	DIGEMID	56	18	49	-	123
	Particular	-	-	10	1	11
	Red	-	-	-	-	0
	Otros	5	-	-	1	6
	Total	85	25	57	9	176
Septiembre	DIGEMID	78	21	44	3	146
	Particular	1	1	7	-	9
	Red	-	-	-	-	0
	Otros	6	3	6	6	21
	Total	76	16	36	1	129
Octubre	DIGEMID	61	13	22	-	96
	Particular	-	2	5	1	8
	Red	2	1	-	-	3
	Otros	13	-	9	-	22
	Total	32	6	16	0	54
Noviembre	DIGEMID	29	5	8	-	42
	Particular	1	1	5	-	7
	Red	-	-	-	-	0
	Otros	2	-	3	-	5
	Total	50	8	25	15	98
Diciembre	DIGEMID	47	7	19	6	79
	Particular	1	-	6	-	7
	Red	-	-	-	-	0
	Otros	2	1	-	9	12

Fuente: Instituto Nacional de Salud, Centro Nacional de Control de Calidad

Elaboración: Centro Nacional de Control de Calidad

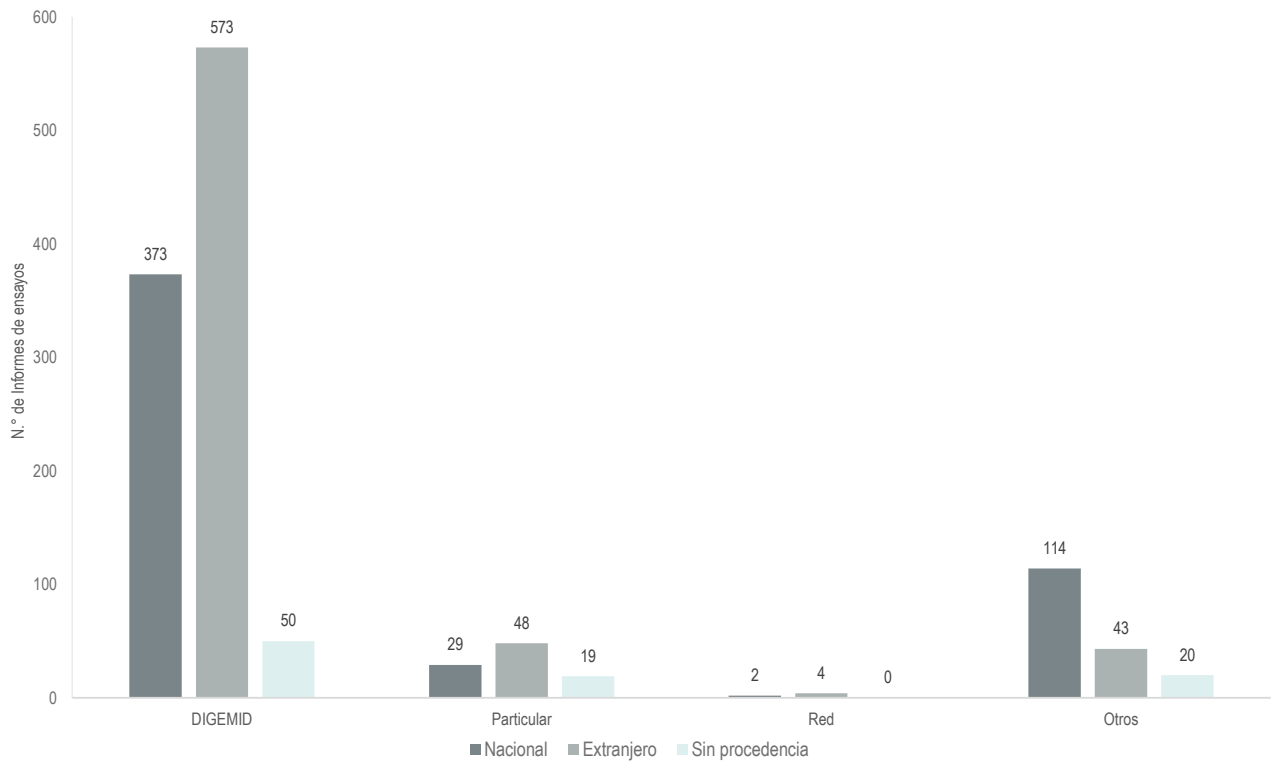
Cuadro 6.7. Informes de ensayos emitidos por procedencia de producto según cliente, Instituto Nacional de Salud (INS), 2020

CONCLUSIÓN	Procedencia			Total
	Nacional	Extranjero	Sin procedencia	
Total	518	668	89	1275
DIGEMID	373	573	50	996
Particular	29	48	19	96
Red	2	4	-	6
Otros	114	43	20	177

Fuente: Instituto Nacional de Salud, Centro Nacional de Control de Calidad

Elaboración: Centro Nacional de Control de Calidad

Gráfico 6.4. Informes de ensayos emitidos por procedencia de producto según cliente, Instituto Nacional de Salud (INS), 2020



Fuente: Instituto Nacional de Salud, Centro Nacional de Control de Calidad

Elaboración: Centro Nacional de Control de Calidad

Cuadro 6.8. Informe de ensayos emitidos por procedencia de producto según cliente y mes, Instituto Nacional de Salud (INS), 2020

MES	CLIENTE	Nacional	Extranjero	Sin Procedencia	Total
	Total	32	55	7	94
Enero	DIGEMID	26	48	6	80
	Particular	5	6	1	12
	Red	-	-	-	0
	Otros	1	1	-	2
	Total	46	64	2	112
Febrero	DIGEMID	39	63	-	102
	Particular	6	1	2	9
	Red	1	-	-	1
	Otros	-	-	-	0
	Total	37	42	0	79
Marzo	DIGEMID	36	34	-	70
	Particular	1	1	-	2
	Red	-	-	-	0
	Otros	-	7	-	7
	Total	17	13	0	30
Abril	DIGEMID	15	13	-	28
	Particular	1	-	-	1
	Red	1	-	-	1
	Otros	-	-	-	0
	Total	56	53	4	113
Mayo	DIGEMID	15	50	2	67
	Particular	1	1	1	3
	Red	-	1	-	1
	Otros	40	1	1	42
	Total	58	49	2	109
Junio	DIGEMID	30	46	-	76
	Particular	-	2	1	3
	Red	-	-	-	0
	Otros	28	1	1	30
	Total	52	70	19	141
Julio	DIGEMID	31	49	7	87
	Particular	4	13	7	24
	Red	-	-	-	0
	Otros	17	8	5	30
	Total	44	84	12	140
Agosto	DIGEMID	36	75	12	123
	Particular	2	9	-	11
	Red	-	-	-	0
	Otros	6	-	-	6
	Total	70	99	7	176
Septiembre	DIGEMID	54	86	6	146
	Particular	3	5	1	9
	Red	-	-	-	0
	Otros	13	8	-	21
	Total	49	59	21	129
Octubre	DIGEMID	46	44	6	96
	Particular	3	3	2	8
	Red	-	3	-	3
	Otros	-	9	13	22

	Total	16	32	6	54
Noviembre	DIGEMID	12	26	4	42
	Particular	2	3	2	7
	Red	-	-	-	0
	Otros	2	3	-	5
	Total	41	48	9	98
Diciembre	DIGEMID	33	39	7	79
	Particular	1	4	2	7
	Red	-	-	-	0
	Otros	7	5	-	12

Fuente: Instituto Nacional de Salud, Centro Nacional de Control de Calidad

Elaboración: Centro Nacional de Control de Calidad

Cuadro 6.9. Ensayos emitidos por tipo según cliente, Instituto Nacional de Salud (INS), 2020

MES	CLIENTE	Tipo de ensayo		Total
		Fisicoquímico	Microbiología	
	Total	358	74	432
Enero	DIGEMID	349	56	405
	Particular	5	16	21
	Red	-	-	-
	Otros	4	2	6
	Total	487	78	565
Febrero	DIGEMID	482	64	546
	Particular	4	14	18
	Red	1	-	1
	Otros	-	-	0
	Total	323	41	364
Marzo	DIGEMID	323	20	343
	Particular	-	2	2
	Red	-	-	0
	Otros	-	19	19
	Total	432	17	449
Abril	DIGEMID	432	14	446
	Particular	-	2	2
	Red	-	1	1
	Otros	-	-	0
	Total	337	96	433
Mayo	DIGEMID	245	56	301
	Particular	1	3	4
	Red	-	2	2
	Otros	91	35	126
	Total	366	103	469
Junio	DIGEMID	317	78	395
	Particular	5	-	5
	Red	-	-	0
	Otros	44	25	69
	Total	446	68	514
Julio	DIGEMID	348	45	393
	Particular	49	-	49
	Red	-	-	0
	Otros	49	23	72
	Total	1892	143	2035
Agosto	DIGEMID	426	125	551
	Particular	7	13	20
	Red	-	-	0
	Otros	1459	5	1464
	Total	562	159	721
Septiembre	DIGEMID	529	130	659
	Particular	15	10	25
	Red	-	-	0
	Otros	18	19	37
	Total	481	101	582
Octubre	DIGEMID	403	71	474
	Particular	11	12	23
	Red	2	1	3
	Otros	65	17	82
	Total	169	34	203
Noviembre	DIGEMID	162	19	181
	Particular	7	7	14
	Red	-	-	0
	Otros	-	8	8
	Total	1970	119	2089
Diciembre	DIGEMID	251	94	345
	Particular	6	8	14
	Red	-	-	0
	Otros	1713	17	1730

Fuente: Instituto Nacional de Salud, Centro Nacional de Control de Calidad

Elaboración: Centro Nacional de Control de Calidad

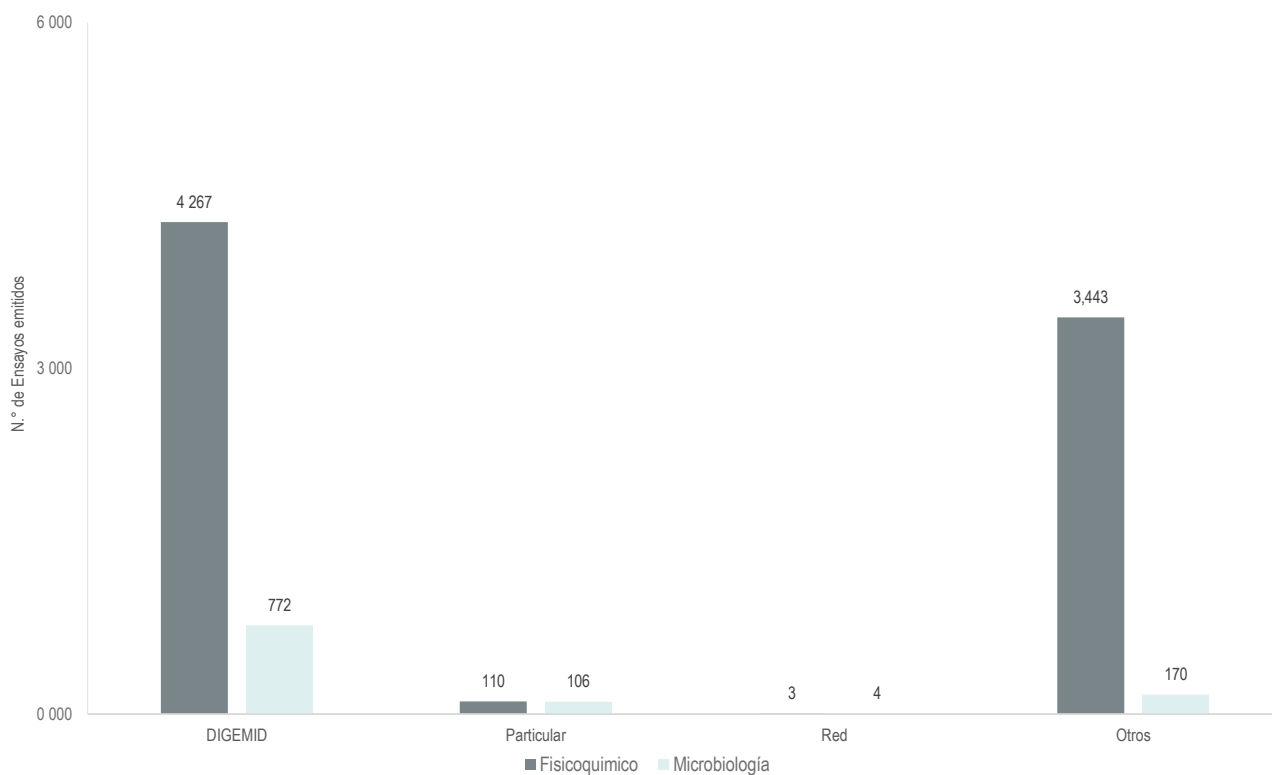
Cuadro 6.9. Ensayos emitidos por tipo según cliente, Instituto Nacional de Salud (INS), 2020

CLIENTE	Tipo de ensayo		Total
	Físicoquímico	Microbiología	
Total	7823	1052	8875
DIGEMID	4 267	772	5039
Particular	110	106	216
Red	3	4	7
Otros	3,443	170	3613

Fuente: Instituto Nacional de Salud, Centro Nacional de Control de Calidad

Elaboración: Centro Nacional de Control de Calidad

Gráfico 6.5. Ensayos emitidos por tipo de cliente, Instituto Nacional de Salud (INS), 2020



Fuente: Instituto Nacional de Salud, Centro Nacional de Control de Calidad

Elaboración: Centro Nacional de Control de Calidad



**OFICINA GENERAL
DE INVESTIGACIÓN
Y TRANSFERENCIA
TECNOLOGÍA**



Cuadro 7.1. Número de solicitudes de autorización de EC presentadas y Número de EC autorizados por año, 2003-2020

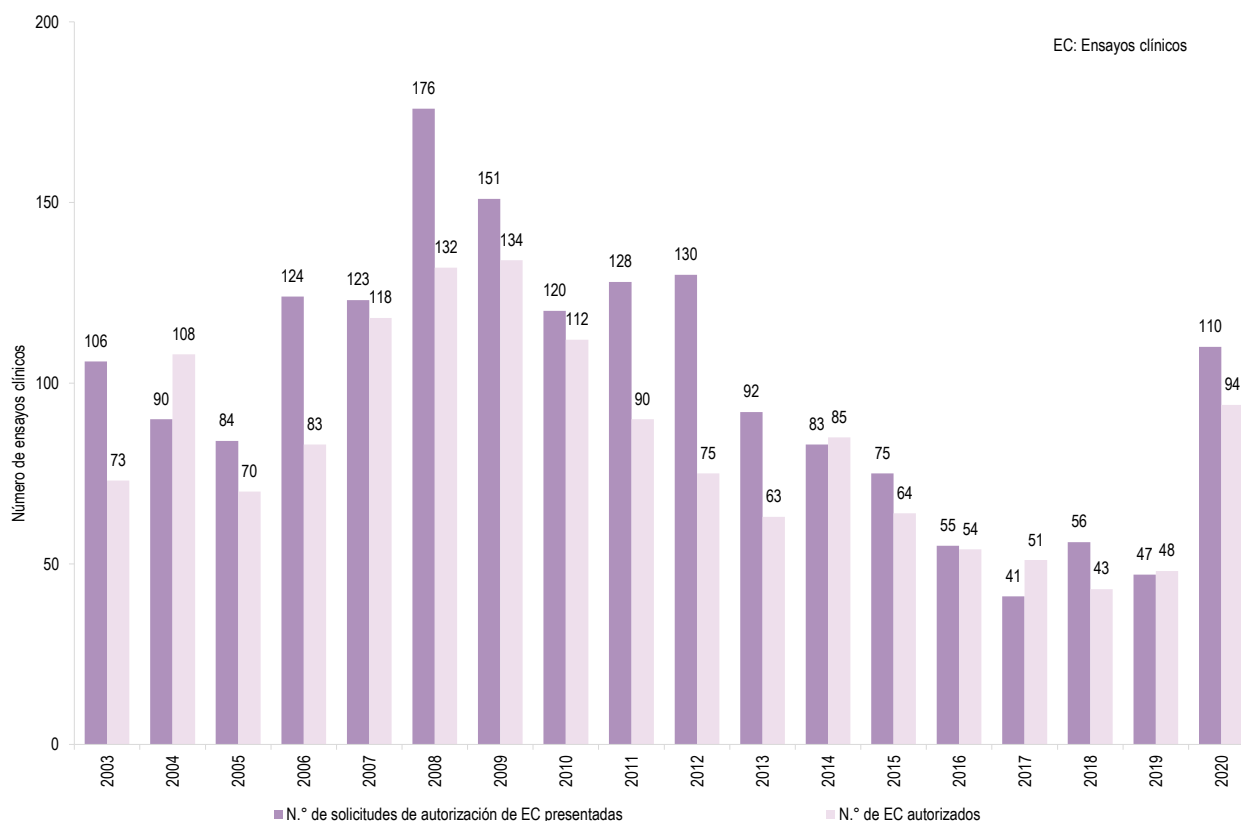
ANO	N.º de solicitudes de autorización de EC presentadas	N.º de EC autorizados
2003	106	73
2004	90	108
2005	84	70
2006	124	83
2007	123	118
2008	176	132
2009	151	134
2010	120	112
2011	128	90
2012	130	75
2013	92	63
2014	83	85
2015	75	64
2016	55	54
2017	41	51
2018	56	43
2019	47	48
2020	110	94

Fuente: Registro Peruano de Ensayos Clínicos (REPEC), Instituto Nacional de Salud (INS)

Elaboración: Oficina General de Investigación y Transferencia Tecnológica (OGITT)

EC: Ensayos clínicos

Gráfico 7.1. Ensayos clínicos presentados y autorizados por año, 2003-2020



Fuente: Registro Peruano de Ensayos Clínicos (REPEC), Instituto Nacional de Salud (INS)

Elaboración: Oficina General de Investigación y Transferencia Tecnológica (OGITT)

EC: Ensayos clínicos*

Del total de ensayos clínicos registrados, se puede observar que en el año 2008 se registró el mayor número de ensayos presentados (176). El mayor número de EC autorizados se dio en el año 2009 (134). A partir del año 2013, se observa una disminución de los ensayos clínicos presentados y autorizados.

En el año 2020 se observa un incremento de ensayos presentados y autorizados 110/94; los cuales, son entre ensayos clínicos Covid-19 y No Covid-19.

(*) La regulación de los ensayos clínicos en el Perú estuvo ejercida durante el periodo de 1995 a 2002 por la Dirección General de Salud de las Personas del Ministerio de Salud (MINSA). Para el año 2003 dicha función fue delegada al Instituto Nacional de Salud. El primer Reglamento de Ensayos Clínicos en el Perú fue aprobado en el 2006, y su modificatoria en el 2007.

Desde julio de 2017, entró en vigencia el Decreto Supremo 021-2017-SA que aprobó el nuevo Reglamento de Ensayos Clínicos.

Cuadro 7.2. Número de solicitudes de autorización de EC presentadas y tpo de conclusión del procedimiento según año 2003-2020

ANO	Solicitudes presentadas	EC autorizados	EC no autorizados	* Otros	Evaluados por INS	% autorizados	% no autorizados	% otros
Total	1,791	1,492	130	135	1,757			
2003	106	73	1	-	74	99	1	-
2004	90	108	2	4	114	95	2	4
2005	84	70	6	4	80	88	8	5
2006	124	83	2	14	99	84	2	14
2007	123	118	-	10	128	92	-	8
2008	176	132	8	-	140	94	6	0
2009	151	134	16	13	163	82	10	8
2010	120	112	14	6	132	85	11	5
2011	128	90	19	12	121	74	16	10
2012	130	75	22	15	112	67	20	13
2013	92	63	22	14	99	64	22	14
2014	83	85	7	10	102	83	7	10
2015	75	64	2	2	68	94	3	3
2016	55	54	2	11	67	81	3	16
2017	41	51	2	4	57	89	4	0
2018	56	43	2	4	49	88	4	8
2019	47	43	2	3	48	90	4	6
2020	110	94	1	9	104	90	1	9

Fuente: Registro Peruano de Ensayos Clínicos (REPEC), Instituto Nacional de Salud (INS)

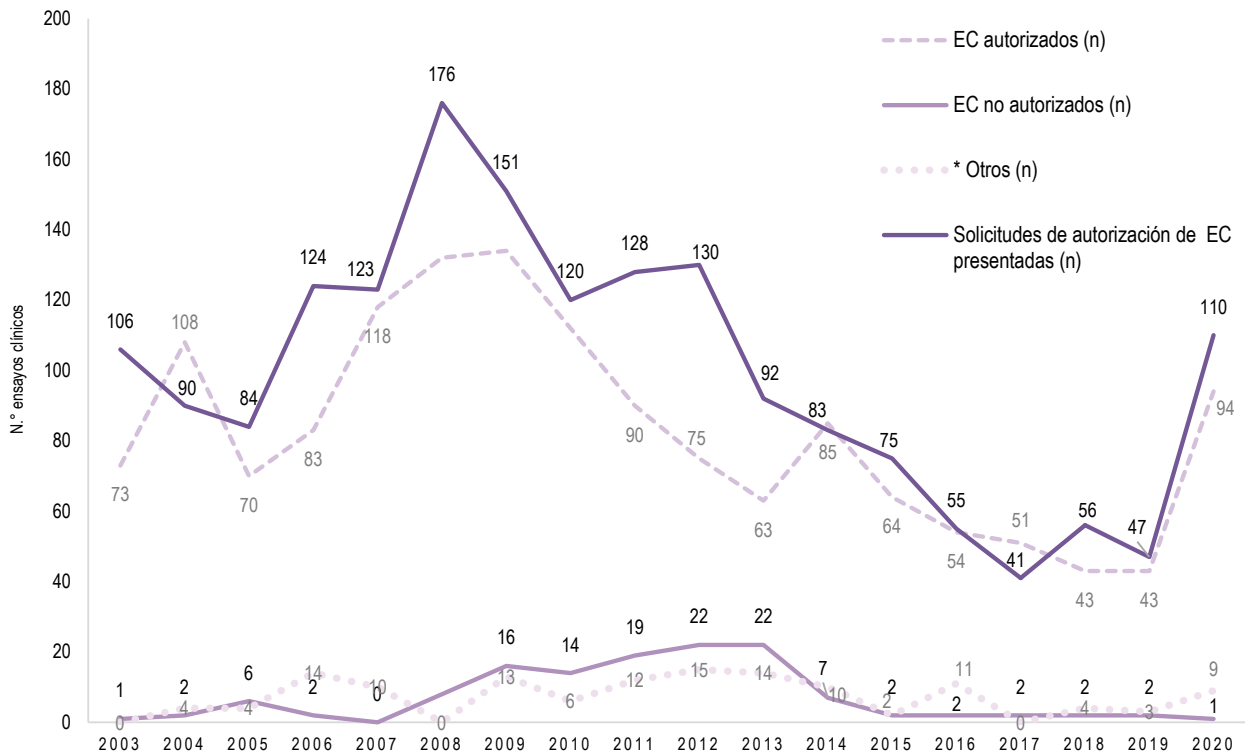
Elaboración: Oficina General de Investigación y Transferencia Tecnológica (OGITT)

* Otros: Desistimiento, Declarado en Abandono

EC: Ensayos clínicos

Más del 83% de las solicitudes de autorización de ensayos clínicos presentadas al Instituto Nacional de Salud (INS) (1492/1791) desde el año 2003 hasta el 2020, han sido autorizadas.

Gráfico 7.2. Número de ensayos clínicos presentados y conclusión de la solicitud de autorización según año, 2003-2020



Fuente: Registro Peruano de Ensayos Clínicos (REPEC), Instituto Nacional de Salud (INS)

Elaboración: Oficina General de Investigación y Transferencia Tecnológica (OGITT)

* Otros: desistimiento, declarado en abandono

EC: Ensayos clínicos

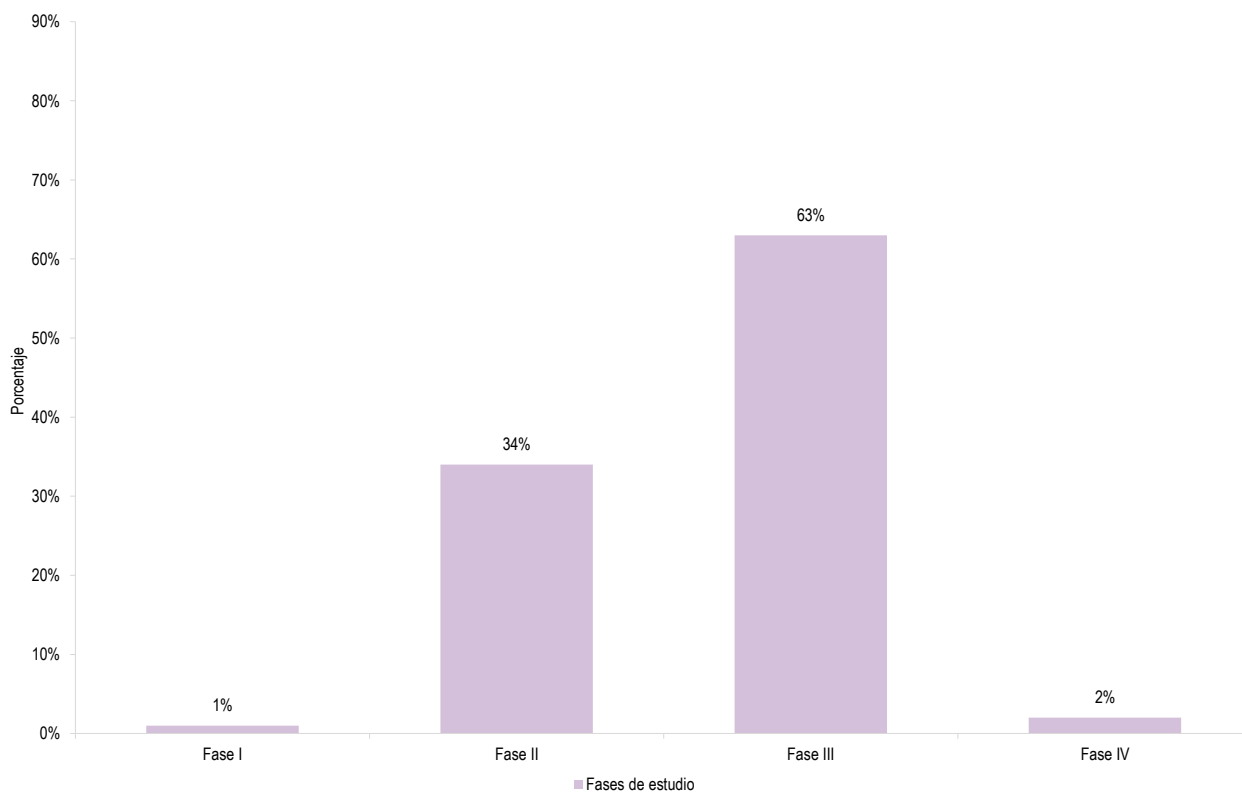
Cuadro 7.3. Ensayos clínicos autorizados según fase de estudio, 2020

FASE DE ESTUDIO	Número de ensayos	%
Total	94	100%
Fase I	1	1%
Fase II	32	34%
Fase III	59	63%
Fase IV	2	2%

Fuente: Registro Peruano de Ensayos Clínicos (REPEC), Instituto Nacional de Salud (INS)

Elaboración: Oficina General de Investigación y Transferencia Tecnológica (OGITT)

Gráfico 7.3. Ensayos clínicos autorizados según fase de estudio, 2020



Fuente: Registro Peruano de Ensayos Clínicos (REPEC), Instituto Nacional de Salud (INS)

Elaboración: Oficina General de Investigación y Transferencia Tecnológica (OGITT)

Cuadro 7.4. Ensayos clínicos autorizados por especialidad registrada, 2020

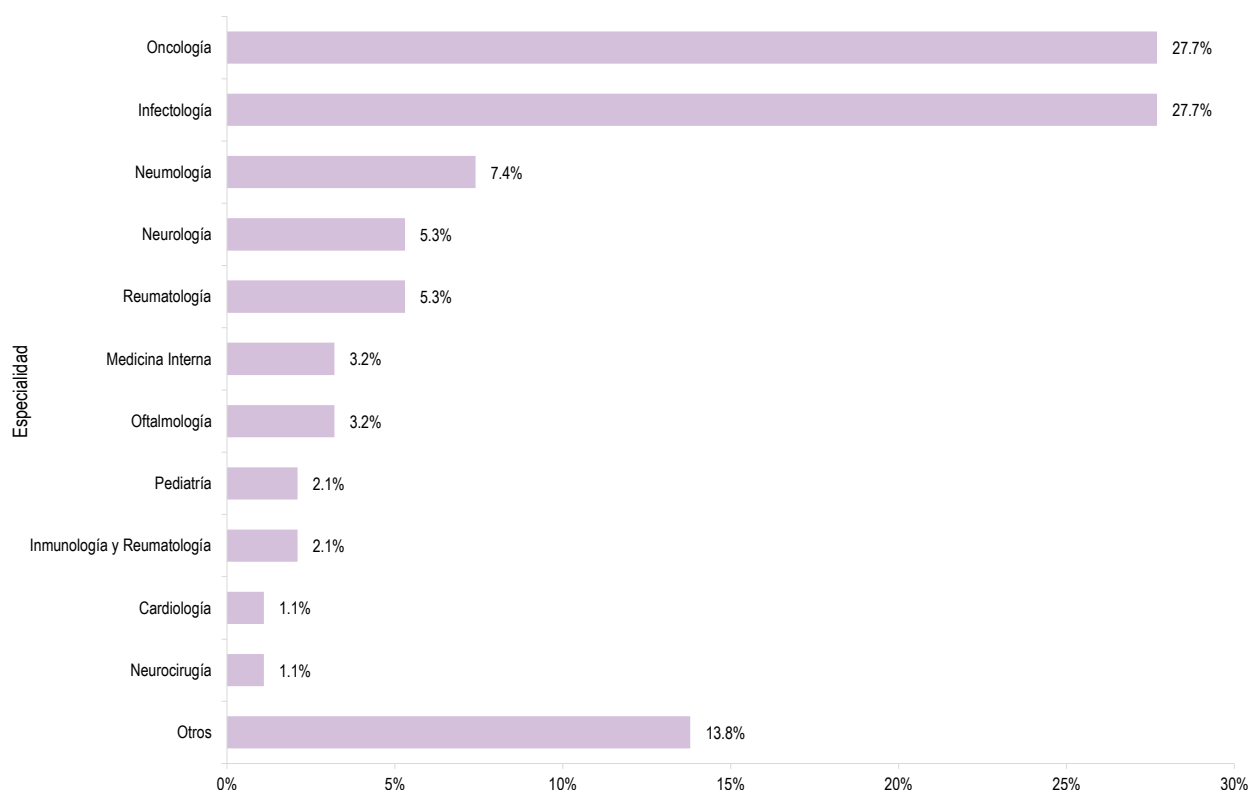
ESPECIALIDAD	N°	%
Total	94	84%
Infectología	26	27.7%
Oncología	26	27.7%
Neumología	7	7.4%
Reumatología	5	5.3%
Neurología	5	5.3%
Oftalmología	3	3.2%
Medicina Interna	3	3.2%
Inmunología y Reumatología	2	2.1%
Pediatría	2	2.1%
Neurocirugía	1	1.1%
Cardiología	1	1.1%
Otros	13	13.8%

Fuente: Registro Peruano de Ensayos Clínicos (REPEC), Instituto Nacional de Salud (INS)

Elaboración: Oficina General de Investigación y Transferencia Tecnológica (OGITT)

El mayor número de ensayos clínicos autorizados corresponden a las especialidades de Infectología y Oncología (27.7%), Neumología (7.4%), Reumatología y Neurología (5.3%), Oftalmología y Medicina Interna (3.2%); los cuales, representan el 80% y en menor cantidad las especialidades de Inmunología y Reumatología, Pediatría, Neurocirugía, Cardiología y otros; los cuales, representan el 20% de los estudios autorizados en el 2020.

Gráfico 7.4. Ensayos clínicos autorizados por especialidad registrada, 2020



Fuente: Registro Peruano de Ensayos Clínicos (REPEC), Instituto Nacional de Salud (INS)

Elaboración: Oficina General de Investigación y Transferencia Tecnológica (OGITT)

Cuadro 7.5. Inspecciones realizadas a ensayos clínicos autorizados, a centros de investigación y a comités institucionales de ética en investigación, 2020

TIPO DE INSPECCIÓN	Enero	Febrero	Marzo	Abril	Mayo	Junio	Julio	Agosto	Septiembre	Octubre	Noviembre	Diciembre	Totales
	EJE	EJE	EJE	EJE	EJE	EJE	EJE	EJE	EJE	EJE	EJE	EJE	
Total	7	10	6	1	1	3	4	5	7	9	9	8	70
INSPECCIÓN A CENTRO DE INVESTIGACIÓN													
Verificación de centro de investigación Lima	4	3	2	1	0	1	2	2	4	5	2	5	31
Verificación de centro de investigación Provincias	1	1	1	0	1	0	0	0	0	0	3	0	7
INSPECCION A ENSAYOS CLÍNICOS													
Inspecciones extraordinarias en Lima	0	0	0	0	0	2	0	0	0	0	0	1	3
Inspecciones ordinarias en Lima	2	1	1	0	0	0	2	3	2	3	3	2	19
Inspecciones ordinarias Provincias	0	1	0	0	0	0	0	0	1	1	1	0	4
INSPECCIÓN A COMITÉS DE ÉTICA													
C.I.E.I inspeccionados en Lima	0	4	2	0	0	0	0	0	0	0	0	0	6
C.I.E.I inspeccionados a Provincias	0	0	0	0	0	0	0	0	0	0	0	0	0

Fuente: Registro Peruano de Ensayos Clínicos (REPEC), Instituto Nacional de Salud (INS)

Elaboración: Oficina General de Investigación y Transferencia Tecnológica (OGITT)

Cuadro 7.6. Comités de ética que aprobaron los ensayos clínicos, por centro de investigación, 2020

COMITÉS DE ÉTICA	N° de Centros de investigación de ensayos clínicos evaluados	% del total de EC autorizados
Total	142	100%
Vía Libre	51	35.9%
Comité Nacional Transitorio de Ética en Investigación para la Evaluación y Supervisión de Ética de los Ensayos Clínicos de la Enfermedad COVID-19 (CNTEI)	50	35.2%
Comité Institucional de Ética en Investigación de la Asociación Benéfica Prisma	10	7.0%
Universidad San Martín de Porres	10	7.0%
Asociación Civil Impacta Salud y Educación	3	2.1%
Clínica Anglo Americana	3	2.1%
Hospital Nacional Cayetano Heredia	3	2.1%
Hospital Nacional Hipólito Unzué	2	1.4%
Instituto Nacional de Enfermedades Neoplásicas	2	1.4%
Instituto Regional de Oftalmología - Trujillo	1	0.7%
Investigaciones Médicas en Salud (INMENA)	1	0.7%
Instituto Nacional Cardiovascular "Carlos Alberto Peschiera Carrillo" (INCOR)	1	0.7%
Hospital Nacional Dos de Mayo	1	0.7%
Hospital Nacional Edgardo Rebagliati Martins	1	0.7%
Hospital Nacional Guillermo Almenara Irigoyen - EsSalud	1	0.7%
Hospital Nacional Alberto Sabogal Sologuren	1	0.7%
Hospital Nacional Carlos Alberto Seguín Escobedo - Arequipa	1	0.7%

Fuente: Registro Peruano de Ensayos Clínicos (REPEC). Instituto Nacional de Salud (INS)

Elaboración: Oficina General de Investigación y Transferencia Tecnológica - OGITT

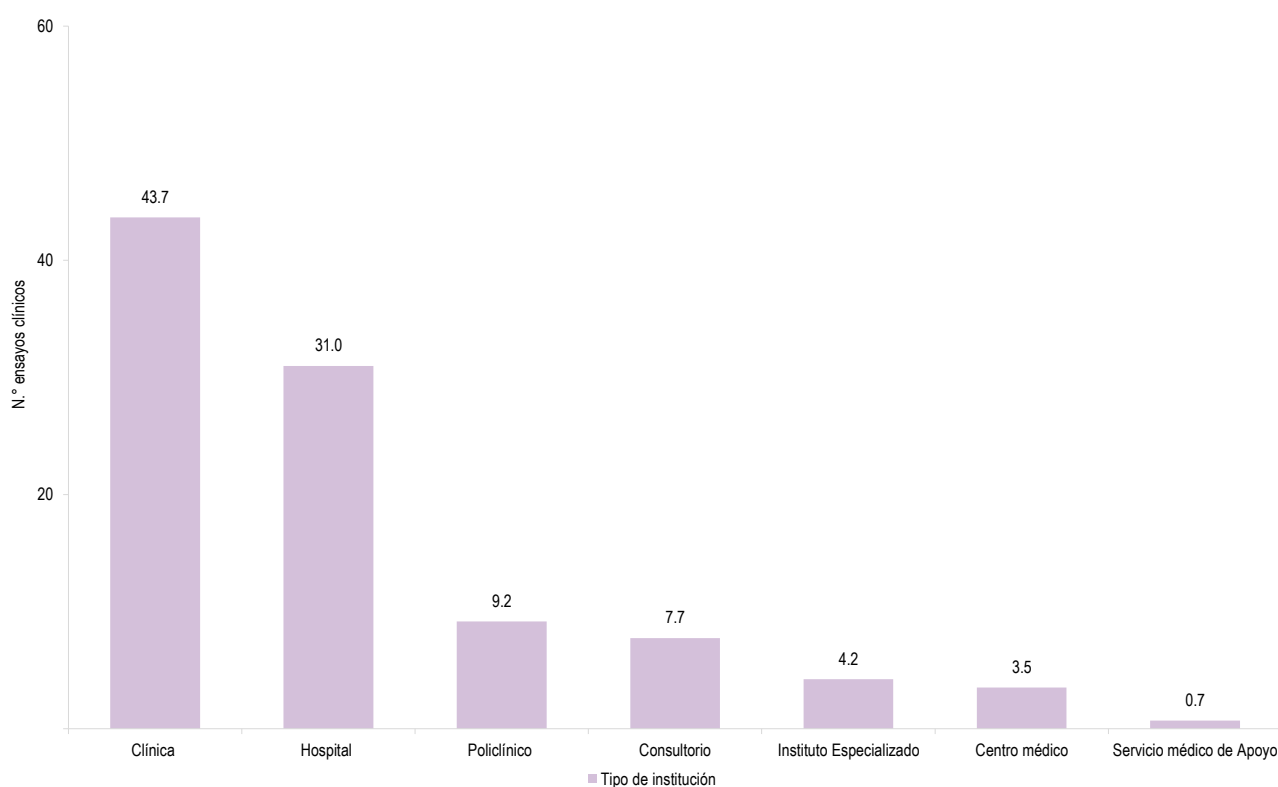
Cuadro 7.7. Ensayos clínicos autorizados según tipo de institución de investigación, 2020

TIPO DE PROCESO	N.º de ensayos clínicos	%
Total	142	100.0
Clínica	62	43.7
Hospital	44	31.0
Policlínico	13	9.2
Consultorio	11	7.7
Instituto Especializado	6	4.2
Centro médico	5	3.5
Servicio médico de Apoyo	1	0.7

Fuente: Registro Peruano de Ensayos Clínicos (REPEC). Instituto Nacional de Salud (INS)

Elaboración: Oficina General de Investigación y Transferencia Tecnológica - OGITT

Gráfico 7.5. Ensayos clínicos autorizados según tipo de institución de investigación, 2020



Fuente: Registro Peruano de Ensayos Clínicos (REPEC), Instituto Nacional de Salud (INS)

Elaboración: Oficina General de Investigación y Transferencia Tecnológica (OGITT)

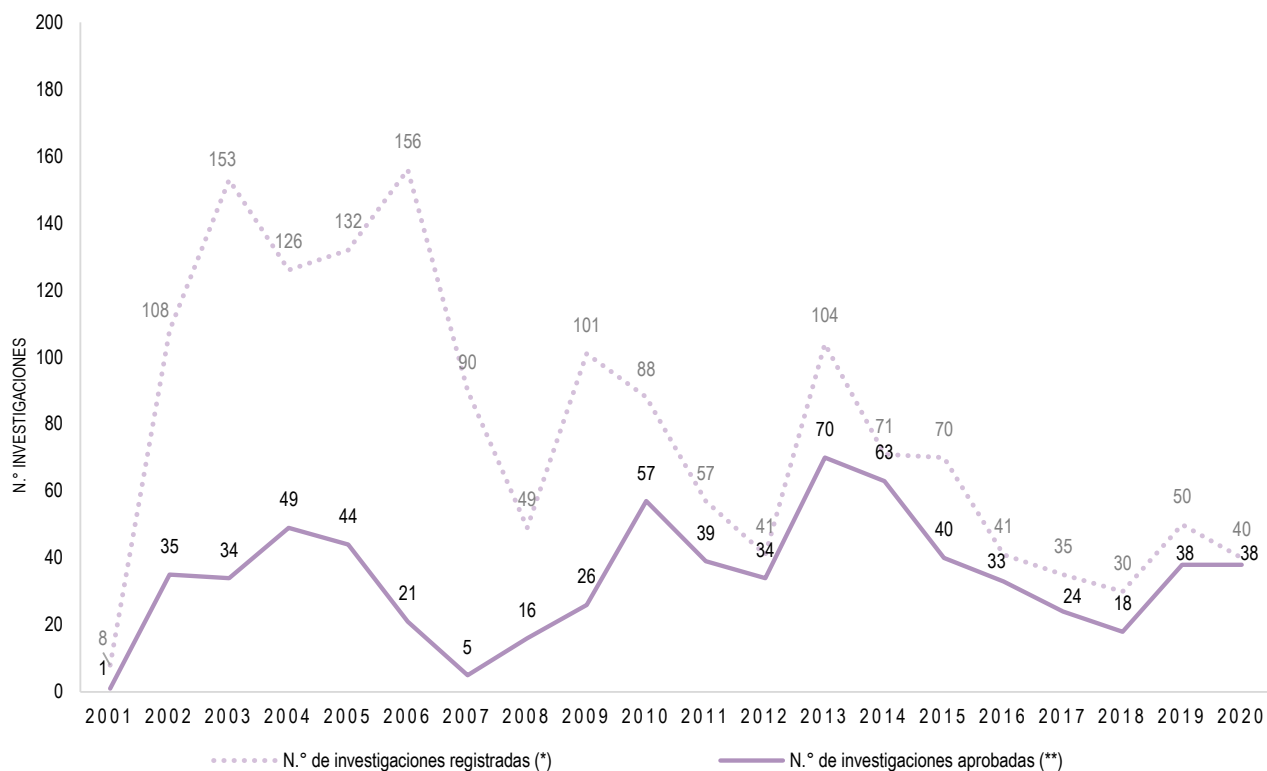
Cuadro 7.8. Total de centros de investigación registrados por región, 2020

UBICACIÓN	N.º de Centros de investigación	%
Total	538	100.0
Ancash	1	0.2
Arequipa	30	5.8
Cajamarca	2	0.4
Callao	3	0.4
Cusco	10	1.9
Huánuco	2	0.4
Ica	2	0.4
Juniín	2	2.7
La Libertad	16	2.3
Lambayeque	12	80.1
Lima	432	1.2
Loreto	6	0.2
Pasco	1	3.5
Piura	18	0.2
Tacna	1	0.2
Puno	1	0.2
Tumbes	1	0.2

Fuente: Registro Peruano de Ensayos Clínicos (REPEC), Instituto Nacional de Salud (INS)

Elaboración: Oficina General de Investigación y Transferencia Tecnológica (OGITT)

Gráfico 7.6. Investigaciones observacionales registradas y aprobadas, años 2001-2020



Fuente: Oficina General de Investigación y Transferencia Tecnológica (OGITT), Instituto Nacional de Salud (INS)

* Incluye las investigaciones institucionales, colaborativas y tesis

** Aprobado por la OGITT con RD

Cuadro 7.9. Proyectos de investigación aprobados con Resolución Directoral de la OGITT en el 2020, según órgano

ÓRGANO	N.º	%
Total	38	100
Centro Nacional de Salud Pública - CNSP	22	57.9
Oficina General de Investigación y Transferencia Tecnológica (OGITT)	4	10.5
Centro Nacional de Salud Ocupacional y Protección del Medio Ambiente para la Salud - CENSOPAS	4	10.5
Centro Nacional de Nutrición y Alimentación (CENAN)	4	10.5
Centro Nacional de Productos Biológicos (CNPB)	1	2.6
Universidad Nacional Mayor San Marcos (UNMSM)	1	2.6
Centro Nacional de Salud Intercultural (CENSI)	1	2.6
Centro Nacional de Control de Calidad (CNCC)	1	2.6

Fuente: Oficina General de Investigación y Transferencia Tecnológica (OGITT), Instituto Nacional de Salud (INS)

Elaboración: Oficina General de Investigación y Transferencia Tecnológica

Cuadro 7.10. Número de proyectos ganadores de fondos concursables incluidos en el Plan Operativo Institucional (POI) del 2020 (en cualquiera de sus versiones), según órgano

TIPO DE PROTOCOLO INSTITUCIONAL	N°	%
Total	6	100.0
Centro Nacional de Salud Pública (CNSP)	3	50.0
Oficina General de Investigación y Transferencia Tecnológica (OGITT)	2	33.3
Centro Nacional de Salud Ocupacional y Protección del Medio Ambiente para la Salud (CENSOPAS)	1	16.7

Fuente: Oficina General de Investigación y Transferencia Tecnológica (OGITT), Instituto Nacional de Salud (INS)

Elaboración: Oficina General de Investigación y Transferencia Tecnológica

En el 2020, el Centro Nacional de Salud Pública (CNSP), la Oficina General de Investigación y Transferencia Tecnológica (OGITT) y el Centro Nacional de Salud Ocupacional y Protección del Medio Ambiente para la Salud, obtuvieron financiamiento por fondos concursables para seis protocolos de investigación. De ellos, cuatro fueron financiados por un fondo interno para la promoción de investigaciones en el marco de la pandemia por COVID-19.

Cuadro 7.11. Proyectos de investigación supervisados por la OGITT en el 2020, según órgano

TIPO DE PROTOCOLO INSTITUCIONAL	N°	%
Total	31	100.0
Centro Nacional de Salud Pública (CNSP)	18	58.1
Centro Nacional de Salud Pública CNSP (CIETROP)	5	16.1
Centro Nacional de Alimentación y Nutrición (CENAN)	4	12.9
Centro Nacional de Salud Ocupacional (CENSOPAS)	1	3.2
Centro Nacional de Productos Biológicos (CNPB)	1	3.2
Centro Nacional de Salud Intercultural (CENSI)	1	3.2
Centro Nacional de Control de Calidad (CNCC)	1	3.2

Fuente: Oficina General de Investigación y Transferencia Tecnológica (OGITT), Instituto Nacional de Salud (INS)

Elaboración: Oficina General de Investigación y Transferencia Tecnológica

En el año 2020, se supervisaron (31) proyectos de investigación; de los cuales, (19) corresponden al Centro Nacional de Salud Pública.

Cuadro 7.11. Número de investigadores/as del Instituto Nacional de Salud (INS) en el Registro Nacional de Investigadores en Ciencia y Tecnología (RENACYT) al 2020, por órgano

TIPO DE PROTOCOLO INSTITUCIONAL	N.º	%
Total	59	100.0
Centro Nacional de Salud Pública (CNSP)	34	57.6
Centro Nacional de Alimentación y Nutrición (CENAN)	10	16.9
Centro Nacional de Salud Ocupacional y Protección del Medio Ambiente para la Salud (CENSOPAS)	5	8.5
Oficina General de Investigación y Transferencia Tecnológica (OGITT)	4	6.8
Centro Nacional de Salud Intercultural (CENSI)	3	5.1
Oficina General de Información y Sistemas (OGIS)	2	3.4
Centro Nacional de Productos Biológicos (CNPB)	1	1.7

Fuente: Oficina General de Investigación y Transferencia Tecnológica (OGITT), Instituto Nacional de Salud (INS)

Elaboración: Oficina General de Investigación y Transferencia Tecnológica

Para el año 2020, el Instituto Nacional de Salud cuenta con 59 investigadores dentro del Registro Nacional de Ciencia, Tecnología, e Innovación Tecnológica (RENACYT). Una cifra mayor a la mostrada en años anteriores.

Cuadro 7.13. Número de acciones de capacitación programadas vs. ejecutadas con financiamiento institucional (*) según trimestres - Plan de Desarrollo de las Personas del Instituto Nacional de Salud (INS), 2020, cuarta versión

ACCIONES DE CAPACITACIÓN (AC)	Trimestres			
	I	II	III	IV
N.º de AC programadas	1	4	10	5
N.º de AC ejecutadas	1	4	10	4
% Alcanzado	100.0	100.0	100.0	80.0

Fuente: Oficina Ejecutiva de Transferencia Tecnológica y Capacitación, SICAP

Elaboración: Oficina General de Investigación y Transferencia Tecnológica (OGITT)

En el año 2020, se ejecutó el 95% (19/20) de las acciones de capacitación (AC) programadas en la Matriz N.º 01 del Plan de Desarrollo de las Personas (PDP) - INS 2020, segunda versión (Resolución Jefatural N.º 235-2020-J-OPE/INS), siendo el tercer trimestre donde se ejecutó el mayor número de acciones de capacitación.

Cuadro 7.14. Acciones de capacitación ejecutadas mensualmente con financiamiento institucional - Plan de Desarrollo de las Personas del Instituto Nacional de Salud (INS), 2020 - segunda versión

METAS SIAF	Enero	Febrero	Marzo	Abril	Mayo	Junio	Julio	Agosto	Septiembre	Octubre	Noviembre	Diciembre
	Total	0	1	0	0	0	4	5	2	3	0	4
Meta 042 Capacitar Personas	-	1	0	0	0	4	5	2	3	0	4	0

Fuente: Oficina Ejecutiva de Transferencia Tecnológica y Capacitación, SICAP

Elaboración: Oficina General de Investigación y Transferencia Tecnológica (OGITT)

El 95% (19/20) de las Acciones de Capacitación (AC) ejecutadas en el marco de matriz 1 del Plan de Desarrollo de las Personas (PDP) – INS, 2020, segunda versión, se financiaron con la meta SIAF 041 “Capacitar Personas”. Asimismo, fueron implementadas en modalidad virtual, en cumplimiento a la normativa emitida en materia de capacitación durante este Estado de Emergencia Nacional por las graves circunstancias que afectan la vida a consecuencia del brote del COVID-19.

Cuadro 7.15. Número de capacitaciones (programado vs. ejecutado) por trimestres - PDP, Instituto Nacional de Salud (INS), 2020, segunda versión

NÚMERO DE CAPACITACIONES	Trimestres				Total
	I	II	III	IV	
Programado	5	58	220	102	385
Ejecutado	5	58	224	92	379
% Alcanzado	100.0	100.0	101.8	90.2	98.4

Fuente: Oficina Ejecutiva de Transferencia Tecnológica y Capacitación, SICAP

Elaboración: Oficina General de Investigación y Transferencia Tecnológica (OGITT)

El Plan de Desarrollo de las Personas del INS, 2020, segunda versión, programó brindar un total de 385 capacitaciones. Dicho aspecto alcanzó un 98.4% (379/385).

Cuadro 7.16. Número de trabajadores/as que al menos ha recibido una acción de capacitación y financiamiento institucional, a nivel de centro nacional u oficina general, PDP, Instituto Nacional de Salud (INS), 2020, segunda versión

UNIDAD ORGÁNICA	N.º Personas capacitadas por CN/OG	Porcentaje (%)
Total	308	1.0
CNSP	77	25.0%
CENAN	47	15.3%
CNCC	34	11.0%
CENSOPAS	29	9.4%
CNPB	23	7.5%
OGITT	22	7.1%
OGA	18	5.8%
OGIS	18	5.8%
CENSI	18	5.8%
OGAT	16	5.2%
SUB JEFATURA	3	1.0%
OGAJ	3	1.0%

Fuente: Oficina Ejecutiva de Transferencia Tecnológica y Capacitación, SICAP

Elaboración: Oficina General de Investigación y Transferencia Tecnológica (OGITT)

En el año 2020, la cobertura de capacitación, entendida como la proporción del número de personas capacitadas que han recibido al menos una acción de capacitación (matriz 1 y matriz 2), entre el total de servidores del INS (para el año 2019=939 Datos Proporcionados por la Oficina Ejecutiva de Personal a diciembre 2018), se tiene una cobertura de 32.8% (308/939), siendo el CNSP quien registra el mayor número de beneficiarios/as de capacitación.

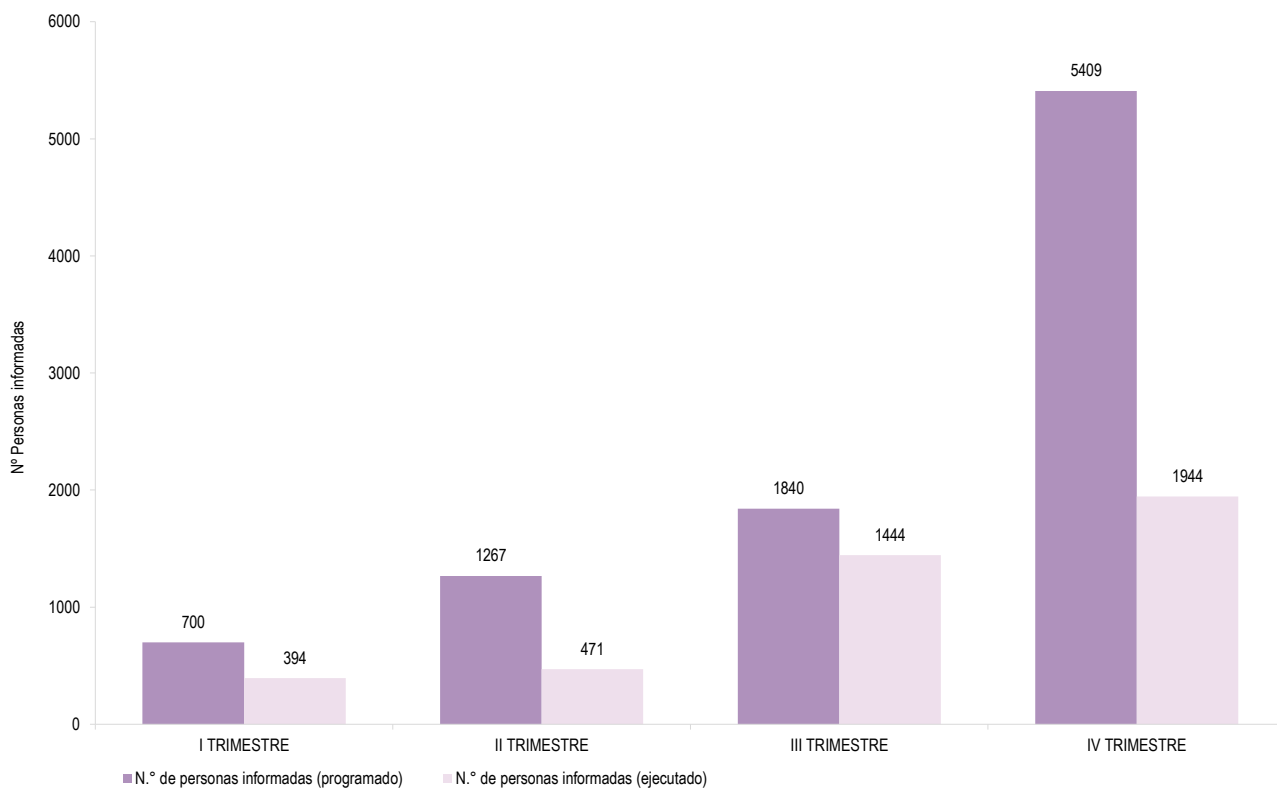
Cuadro 7.17. Acciones de capacitación ejecutadas con financiamiento institucional que cuentan con certificación de una institución educativa superior - PDP, Instituto Nacional de Salud (INS), 2020, tercera versión

Número	Denominación Acción de capacitación	Entidad que certifica la AC
1	Gestión de Almacenes e Inventarios	Instituto Superior San Ignacio de Loyola
2	Gestión Pública de las Contrataciones del Estado	Pontificia Universidad Católica del Perú
3	Interpretación de la Norma ISO/IEC17025 para Laboratorios de Ensayo y Calibración	Pontificia Universidad Católica del Perú
4	Herramientas Informáticas para Análisis de Estudios Cualitativos	Universidad San Ignacio de Loyola SA
5	Auditor Líder ISO 9001:2015	New Horizons Perú SA
6	Gestión de la Calidad en los Laboratorios bajo la Norma 15189	Ex Scientia Veritas E.I.R.L
7	Curso de Estadística Nivel Intermedio	Universidad de Piura (UDEP)
8	Asistente Administrativo en Gestión Pública	Universidad San Ignacio de Loyola SA
9	Planeamiento Estratégico	Universidad Científica del Sur
10	Curso de Instrumentación de Gestión por Procesos para el Sector Público	Universidad Tecnológica del Perú
11	ISO 31000:2018 de Gestión de Riesgos	Concepta Consulting SAC
12	Técnicas de Investigación Cualitativa en alimentación y nutrición	Universidad Científica del Sur
13	Ética en la Función Pública	Escuela Nacional de Administración Pública (ENAP)
14	Diseño Muestral para Estudios Observacionales	Universidad de Piura (UDEP)
15	Servicio al Ciudadano	Escuela Nacional de Administración Pública (ENAP)
16	Gestión de la Investigación en salud	Universidad de Piura (UDEP)
17	Gestión por procesos para la Administración Pública	Pontificia Universidad Católica del Perú
18	Marco Integral del Control Interno	Universidad ESAN
19	Análisis Estadístico para Estudios de Fuentes Secundarias	Universidad de Piura (UDEP)

Fuente: Oficina Ejecutiva de Transferencia Tecnológica y Capacitación, SICAP

Elaboración: Oficina General de Investigación y Transferencia Tecnológica (OGITT)

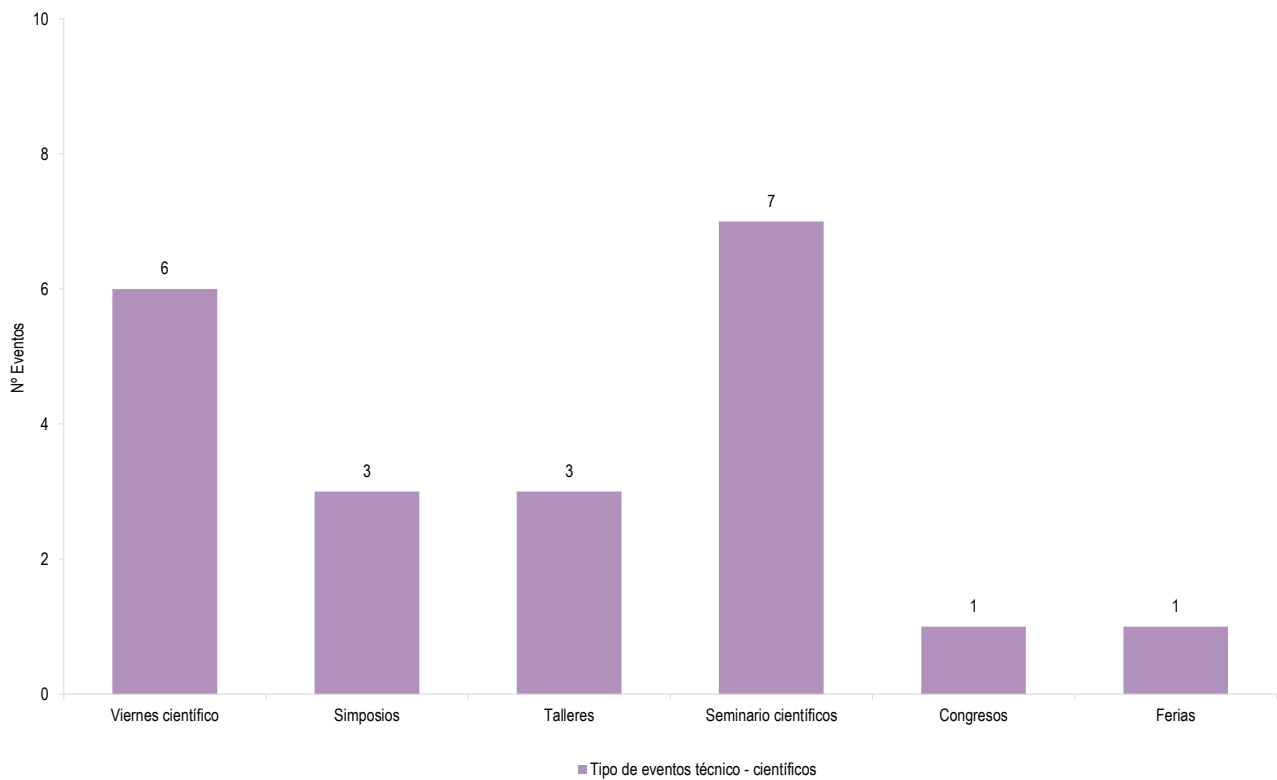
Gráfico 7.7. Número de personas informadas en “eventos técnico-científicos” organizados por el Instituto Nacional de Salud (INS), 2020 (ejecución) por trimestre - meta 049 “Eventos técnicos científicos”



Fuente: Oficina Ejecutiva de Transferencia Tecnológica y Capacitación, SICAP

Elaboración: Oficina General de Investigación y Transferencia Tecnológica (OGITT)

Gráfico 7.8. Número de “eventos técnico-científicos”, 2020 - meta 049



Fuente: Oficina Ejecutiva de Transferencia Tecnológica y Capacitación, SICAP

Elaboración: Oficina General de Investigación y Transferencia Tecnológica (OGITT)

Cuadro 7.18. Número de personas capacitadas por Unidad militar - Programa de Entrenamiento en salud pública dirigido al personal de tropa en servicio militar acuartelado-2020

Número	Unidades militares	DIRIS/DIRESA vinculadas en la coordinación	Número de personas capacitadas
Total egresados			864
1	1RA. BRIGADA DE INFANTERIA	DIRESA TUMBES	40
2	9NA. BRIGADA BLINDADA	DIRESA TUMBES	27
3	COMDESTELSA	DIRESA TUMBES	6
4	CAPITANIA ZORRITOS	DIRESA TUMBES	2
5	BATALLON DE INF. MOTORIZADO N°111	DIRESA CAJAMARCA - RED SAN IGNACIO	26
6	FUERTE VENCEDORES DE CENEP	RED BAGUA	3
7	4TA BRIGADA DE MONTAÑA	DIRESA PUNO	3
8	FUERTE MANCO CAPAC	DIRESA PUNO	4
9	BIM ZAPATA CAJAMARCA	DIRESA CAJAMARCA	1
10	DESTACAMENTO AEREO TACNA	DIRESA TACNA	32
11	GRUPO AEREO N°4 LA JOYA	GERESA AREQUIPA	7
12	32 BRIGADA INFANTERIA	DIRESA ANCASH	126
13	7MA. BRIGADA INFANTERIA	DIRESA LAMBAYEQUE	37
14	ALA AEREA N°1	DIRESA LAMBAYEQUE	41
15	CAPITANIA PUERTO PIMENTEL	DIRESA LAMBAYEQUE	3
16	BASE NAVAL DEL CALLAO	DIRESA CALLAO	92
17	CUARTEL GENERAL DEL EJERCITO	DIRIS LIMA CENTRO	18
18	1RA. BRIGADA MULTIPROPOSITO - RIMAC	DIRIS LIMA NORTE	26
19	BASE DE INFANTERIA DE LA MGP Y ANCON	DIRIS LIMA NORTE	34
20	DICEMENA (HOSPITAL NAVAL)	DIRESA CALLAO	6
21	AERONAVAL	DIRESA CALLAO	16
22	COEDE	DIRIS LIMA SUR	168
23	BASE NAVAL	DIRESA CALLAO	29
24	AVIACION DEL EJERCITO	DIRESA CALLAO	117

Fuente: Oficina Ejecutiva de Transferencia Tecnológica y Capacitación, SICAP

Elaboración: Oficina General de Investigación y Transferencia Tecnológica (OGITT)

Al finalizar el 2020, en el contexto de emergencia sanitaria por la COVID-19 y con la adaptación del Programa de Entrenamiento en Salud Pública en versión virtual, se logró la implementación satisfactoria del programa, en 24 unidades militares de 10 regiones del Perú, capacitándose a 864 jóvenes.

Cuadro 7.19. Acciones ejecutadas en el año 2020 en el marco del Centro de Apoyo a la Tecnología y la Innovación (CATI) en el Instituto Nacional de Salud (INS)

Número	Actividad	Indicador	Valor alcanzado en 2020
1	Asistencia en búsqueda de información tecnológica en bases de patentes	Cantidad de asistencias (personas) brindadas en búsqueda de información tecnológica en bases de patentes	1
2	Asistencia en la identificación de materia patentable	Cantidad de asistencias brindadas en la identificación de materia patentable	2
3	Formación de capacidades en estrategias y técnicas de búsqueda en base de datos de patentes	Cantidad de personas capacitadas	-
4	Orientación sobre los derechos de propiedad intelectual a lo largo del proceso de investigación y/o innovación	Cantidad de personas asesorados	6
5	Búsqueda y análisis estadístico	Cantidad de búsquedas y análisis estadísticos realizados	5
6	Búsqueda del estado anterior de la técnica	Cantidad de búsquedas del estado anterior de la técnica realizados	20
7	Identificación de materia protegible	Cantidad de proyectos analizados resulten o no con materia patentable	10
8	Análisis de patentabilidad	Cantidad de proyectos analizados	12
9	Asesoría legal para acuerdos de licenciamiento	Cantidad de asesorías brindadas	14
10	Redacción de documentos técnicos	Cantidad de redacción de documentos técnicos realizados	3
11	Infracción de patentes	Cantidad de casos atendidos	1
12	Charlas informativas de promoción y difusión	Cantidad de charlas brindadas Cantidad de personas informadas	1 60
13	Reporte Electrónico Tecnológico	Cantidad de Reportes Electrónicos Tecnológicos elaborados	5
14	Solicitud de Patente de Invención o de Modelo de Utilidad	Cantidad de solicitudes de Patentes	2
15	Solicitud de Registro de Marca	Cantidad de solicitudes de registros de Marca	1
16	Transferencia tecnológica de patentes o modelos de utilidad	Desde la institución hacia un tercero	3

Fuente: Oficina Ejecutiva de Transferencia Tecnológica y Capacitación, SICAP

Elaboración: Oficina General de Investigación y Transferencia Tecnológica (OGITT)



**OFICINA GENERAL
DE ADMINISTRACIÓN**



Cuadro 8.1. Personal del Instituto Nacional de Salud (INS) por nominación de cargo, 2020

NOMINACIÓN DE CARGO	Cantidad
Total	
Activos (Nombrados)	532
Administrativos	145
Directivos	4
Profesionales	48
Técnicos	83
Auxiliares	10
Asistenciales	373
Médico Cirujano	30
Biologo	82
Químico Farmaceutico	46
Tecnólogo Médico	22
Psicólogo	6
Enfermera	4
Otros Profesionales	52
Profesionales	1
Técnicos	81
Auxiliares	49
Activos	14
Destacados	14
Contrato Administrativo de Servicios (CAS)	515
Funcionarios	41
Profesionales, técnicos y Auxiliares	474

Fuente: Instituto Nacional de Salud, Oficina General de Administración

Elaboración: Oficina General de Información y Sistemas - Oficina Ejecutiva de Estadística e Informática

Cuadro 8.2. Personal del Instituto Nacional de Salud (INS) por órganos institucionales según nominación, 2020

ÓRGANOS INSTITUCIONALES	Nominación		Total
	Nombrados*	CAS	
Total	518	515	1,033
CNSP	145	221	366
OGA	65	56	121
CNPB	72	32	104
CENAN	73	38	111
CNCC	67	37	104
CENSOPAS	28	25	53
OGIS	15	29	44
OGITT	20	28	48
OGAT	6	18	24
CENSI	19	9	28
JEFATURA	6	8	14
OCI	0	11	11
OGAJ	2	3	5

Fuente: Instituto Nacional de Salud, Oficina General de Administración

Elaboración: Oficina General de Información y Sistemas - Oficina Ejecutiva de Estadística e Informática

* No incluye personal destacado



**OFICINA GENERAL
DE INFORMACIÓN
Y SISTEMAS**



Cuadro 9.1 Atenciones en búsqueda de información realizadas por tipo de usuario, 2020

Usuario	Presenciales		Virtuales
	Interno	Externo	Base de Datos
Total	26	20	1,103
Enero	6	15	22
Febrero	3	1	71
Marzo	5	1	77
Abril	0	0	36
Mayo	0	0	27
Junio	0	0	172
Julio	0	0	120
Agosto	0	0	100
Septiembre	1	0	94
Octubre	8	3	109
Noviembre	3	0	105
Diciembre	0	0	170

Fuente: Instituto Nacional de Salud (INS), Oficina General de Información y Sistemas, Oficina Ejecutiva de Información y Documentación Científica

Elaboración: Oficina Ejecutiva de Estadística e Informática - OGIS

Cuadro 9.2 Accesos a las bases de datos virtuales, 2020

Cuadro 9.2. Accesos a las bases de datos virtuales, 2020

Mes	Total	Base de datos virtuales			
		SCOPUS	EMBASE	EBMR	Research4Life
Total	6494	994	1,156	4,313	31
Enero	545	0	0	545	0
Febrero	887	0	0	887	0
Marzo	386	0	0	386	0
Abril	297	0	0	297	0
Mayo	193	0	0	193	0
Junio	313	0	0	313	0
Julio	407	0	28	379	0
Agosto	543	14	82	440	7
Septiembre	398	59	64	263	12
Octubre	890	187	423	275	5
Noviembre	717	297	229	185	6
Diciembre	918	437	330	150	1

Fuente: Instituto Nacional de Salud (INS), Oficina General de Información y Sistemas, Oficina Ejecutiva de Información y Documentación Científica

Elaboración: Oficina Ejecutiva de Estadística e Informática - OGIS

Cuadro 9.3 Accesos por usuarios/as a plataformas institucionales especializadas, 2020

Cuadro 9.3. Accesos por usuarios a plataformas institucionales especializadas, 2020

Mes	Total	Blogs institucionales				
		INSteractúa	Wiki INS	Salud ocupacional	ARIES	Dengue
Total	206,743	201,357	918	1,772	2,069	627
Enero	18,205	17,613	329	145	99	19
Febrero	11,397	10,566	81	146	468	136
Marzo	12,072	11,405	89	145	289	144
Abril	12,761	12,350	51	145	153	62
Mayo	17,452	17,074	44	146	131	57
Junio	15,797	15,430	53	147	106	61
Julio	13,294	12,938	64	148	127	17
Agosto	13,276	12,907	51	150	142	26
Septiembre	9,123	8,808	33	150	107	25
Octubre	31,058	30,667	41	151	169	30
Noviembre	29,000	28,665	36	150	124	25
Diciembre	23,308	22,934	46	149	154	25

Fuente: Instituto Nacional de Salud (INS), Oficina General de Información y Sistemas, Oficina Ejecutiva de Información y Documentación Científica

Elaboración: Oficina Ejecutiva de Estadística e Informática - OGIS

Cuadro 9.4 Procesamiento de la colección bibliográfica del CINDOC, 2020

Fase de estudio	Ingreso de publicaciones del INS, Repositorio institucional	Ingreso y edición de números de revistas y libros en el catálogo virtual KOHA
	Total	78
I trimestre	2	81
II trimestre	0	0
III trimestre	0	2,154
IV trimestre	76	1,106

Fuente: Instituto Nacional de Salud (INS), Oficina General de Información y Sistemas, Oficina Ejecutiva de Información y Documentación Científica

Elaboración: Oficina Ejecutiva de Estadística e Informática - OGIS

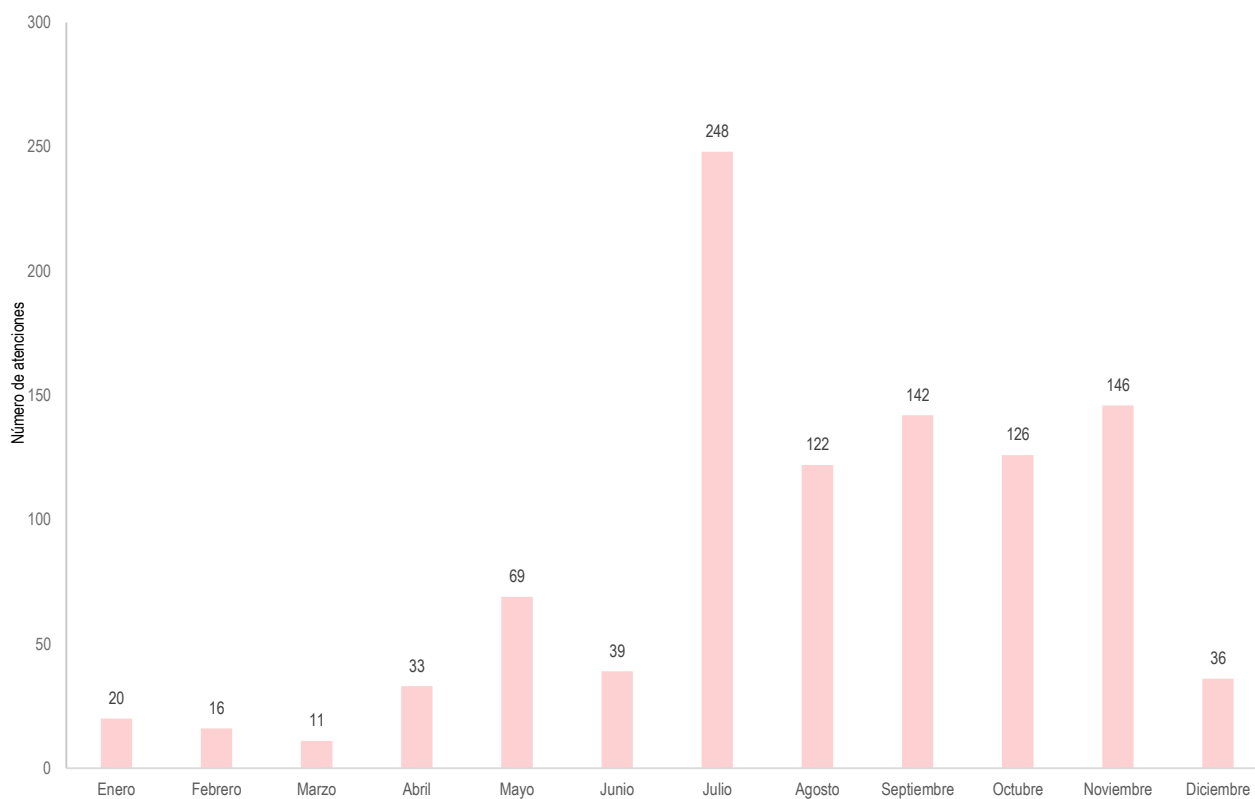
Cuadro 9.5 Atenciones a solicitudes de información por la Ley de Transparencia y Acceso a la Información Pública, 2020

Mes	Número de solicitudes
Total	1,008
Enero	20
Febrero	16
Marzo	11
Abril	33
Mayo	69
Junio	39
Julio	248
Agosto	122
Septiembre	142
Octubre	126
Noviembre	146
Diciembre	36

Fuente: Instituto Nacional de Salud (INS), Oficina General de Información y Sistemas, Oficina Ejecutiva de Información y Documentación Científica

Elaboración: Oficina Ejecutiva de Estadística e Informática - OGIS

Gráfico 9.1 Atenciones a solicitudes de información por la ley de Transparencia y acceso a la información pública, 2020



Fuente: Instituto Nacional de Salud (INS), Oficina General de Información y Sistemas, Oficina Ejecutiva de Información y Documentación Científica

Elaboración: Oficina Ejecutiva de Estadística e Informática - OGIS

Cuadro 7.6 Difusión de información técnica a través de la Biblioteca Virtual del Instituto Nacional de Salud (INS), 2019

Mes	Número de consultas
Total	6,737
Enero	288
Febrero	260
Marzo	507
Abril	458
Mayo	672
Junio	725
Julio	644
Agosto	591
Septiembre	818
Octubre	724
Noviembre	552
Diciembre	498

Fuente: Instituto Nacional de Salud (INS), Oficina General de Información y Sistemas, Oficina Ejecutiva de Información y Documentación Científica

Elaboración: Oficina Ejecutiva de Estadística e Informática - OGIS

Cuadro 9.7 Distribución y difusión externa de información técnica de las publicaciones del Instituto Nacional de Salud (INS), 2020

Mes	Número de solicitudes
Total	223
Enero	210
Febrero	0
Marzo	0
Abril	0
Mayo	0
Junio	0
Julio	0
Agosto	0
Septiembre	13
Octubre	0
Noviembre	0
Diciembre	0

Fuente: Instituto Nacional de Salud (INS), Oficina General de Información y Sistemas, Oficina Ejecutiva de Información y Documentación Científica

Elaboración: Oficina Ejecutiva de Estadística e Informática - OGIS

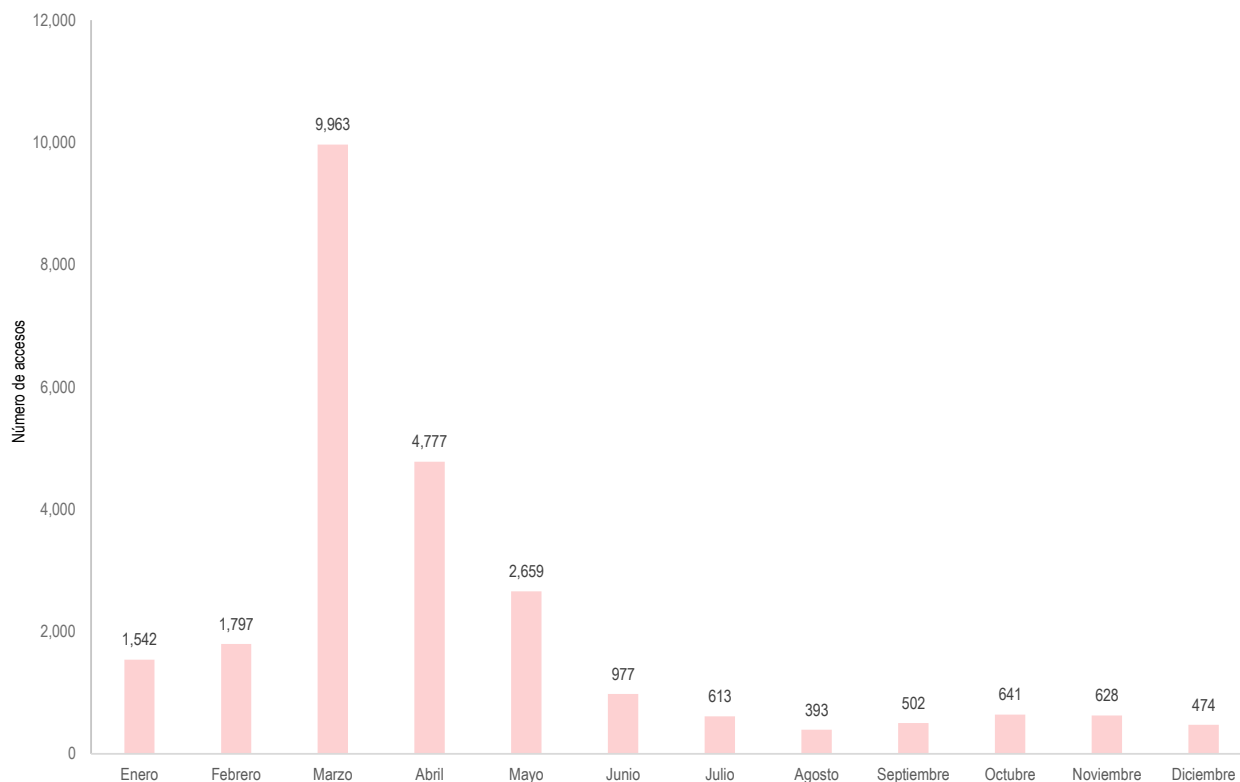
Cuadro 9.8 Accesos a diseminación selectiva de la información, 2020

Mes	Número de accesos
Total	24966
Enero	1542
Febrero	1797
Marzo	9963
Abril	4777
Mayo	2659
Junio	977
Julio	613
Agosto	393
Septiembre	502
Octubre	641
Noviembre	628
Diciembre	474

Fuente: Instituto Nacional de Salud (INS), Oficina General de Información y Sistemas, Oficina Ejecutiva de Información y Documentación Científica

Elaboración: Oficina Ejecutiva de Estadística e Informática - OGIS

Gráfico 9.2 Usuarios/as que reciben Diseminación Selectiva de la Información, 2020



Fuente: Instituto Nacional de Salud (INS), Oficina General de Información y Sistemas, Oficina Ejecutiva de Información y Documentación Científica

Elaboración: Oficina Ejecutiva de Estadística e Informática - OGIS

Cuadro 7.9 Participantes que usan la plataforma de videoconferencia virtual Zoom, 2019

Mes	Número de participantes
Total	23,576
Enero	72
Febrero	6
Marzo	163
Abril	858
Mayo	465
Junio	2,943
Julio	1,397
Agosto	1,176
Septiembre	3,290
Octubre	4,909
Noviembre	3,752
Diciembre	4,545

Fuente: Instituto Nacional de Salud (INS), Oficina General de Información y Sistemas, Oficina Ejecutiva de Información y Documentación Científica

Elaboración: Oficina Ejecutiva de Estadística e Informática - OGIS

Cuadro 9.10 Capacitación en publicación científica, búsqueda de información científica, gestión del conocimiento e información pública, 2020

Trimestre	Usuarios capacitados en edición y publicación científica	Usuarios capacitados en búsqueda de información científica y/o tecnológica	Usuarios capacitados en información pública	Usuarios que reciben información y gestión del conocimiento
Total	752	326	38	26
I Trimestre	0	0	0	8
II Trimestre	0	14	0	5
III Trimestre	580	0	0	7
IV Trimestre	172	312	38	6

Fuente: Instituto Nacional de Salud (INS), Oficina General de Información y Sistemas, Oficina Ejecutiva de Información y Documentación Científica

Cuadro 9.11 Número de usuarios/as que accedieron al Repositorio Científico del Instituto Nacional de Salud (INS) y catálogo virtual del INS, 2020

Mes	Accesos	
	Repositorio del INS	Catálogo virtual
Total	44,518	1,516
Enero	1,736	90
Febrero	1,928	115
Marzo	2,578	86
Abril	2,729	90
Mayo	3,928	119
Junio	4,697	159
Julio	4,131	168
Agosto	4,420	167
Septiembre	4,603	117
Octubre	5,699	170
Noviembre	4,395	131
Diciembre	3,674	104

Fuente: Instituto Nacional de Salud (INS), Oficina General de Información y Sistemas, Oficina Ejecutiva de Información y Documentación Científica

Elaboración: Oficina Ejecutiva de Estadística e Informática - OGIS

Cuadro 9.12 Número de artículos recibidos por la Revista Peruana de Medicina Experimental y Salud Pública durante el año 2020, distribuidos según tipo de artículo

Tipo de artículos	N.º de artículos
Total	785
Editorial	6
Artículo original	295
Original breve	73
Revisión	99
Simposio	7
Sección Especial	57
Reporte de Caso	58
Historia de la Salud Pública	7
Cartas al editor	181
Galería Fotográfica	2

Fuente: Instituto Nacional de Salud (INS), Oficina General de Información y Sistemas, Oficina Ejecutiva de Información y Documentación Científica, Unidad de Publicaciones

Elaboración: Oficina Ejecutiva de Estadística e Informática - OGIS

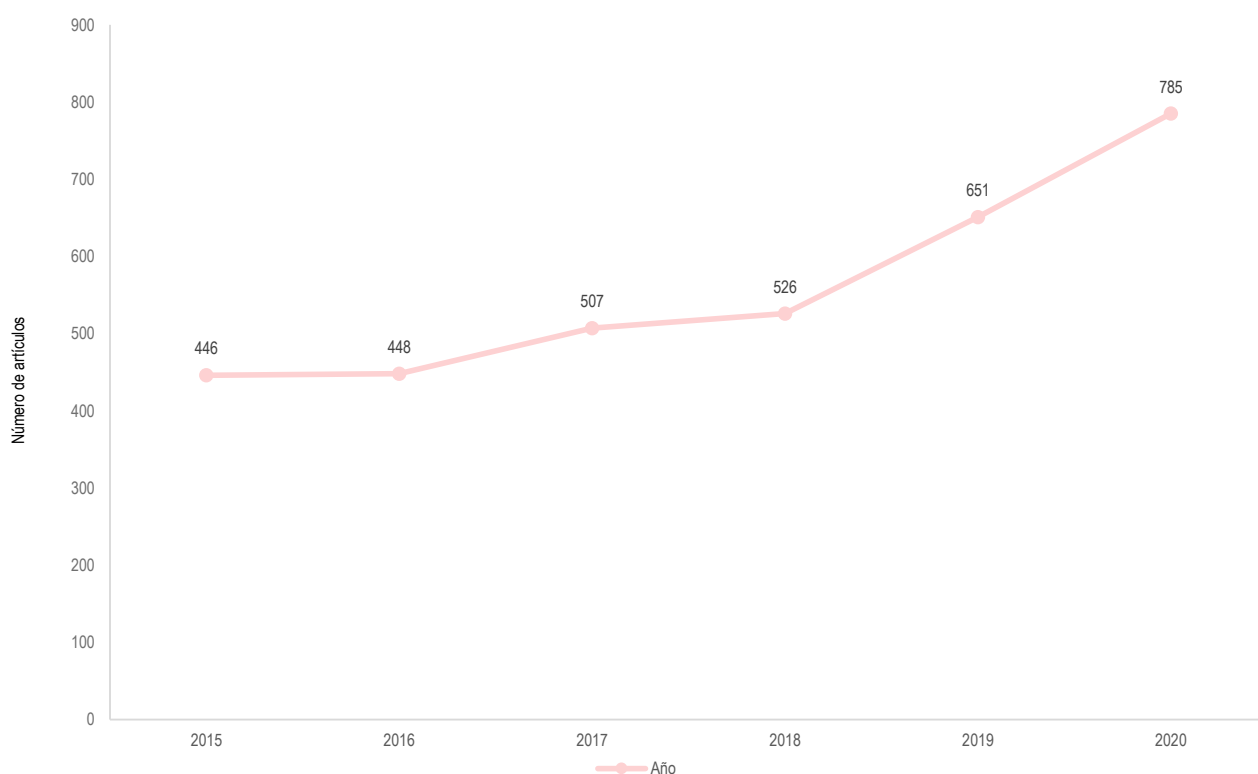
Cuadro 9.13 Número de artículos publicados por la Revista Peruana de Medicina Experimental y Salud Pública durante el año 2020, distribuidos según ediciones

Trimestre	Primer número	Segundo número	Tercer número	Cuarto número
Total	31	35	33	32
Editorial	1	1	1	1
Artículo original	6	7	12	10
Original breve	10	9	5	10
Revisión	2	6	1	2
Simposio	4	1	0	0
Sección Especial	0	1	3	0
Reporte de Caso	2	2	2	2
Historia de la Salud Pública	2	0	0	0
Cartas al editor	4	8	9	7
Historia de la Salud Pública	0	0	0	0

Fuente: Instituto Nacional de Salud (INS), Oficina General de Información y Sistemas, Oficina Ejecutiva de Información y Documentación Científica, Unidad de Publicaciones

Elaboración: Oficina Ejecutiva de Estadística e Informática - OGIS

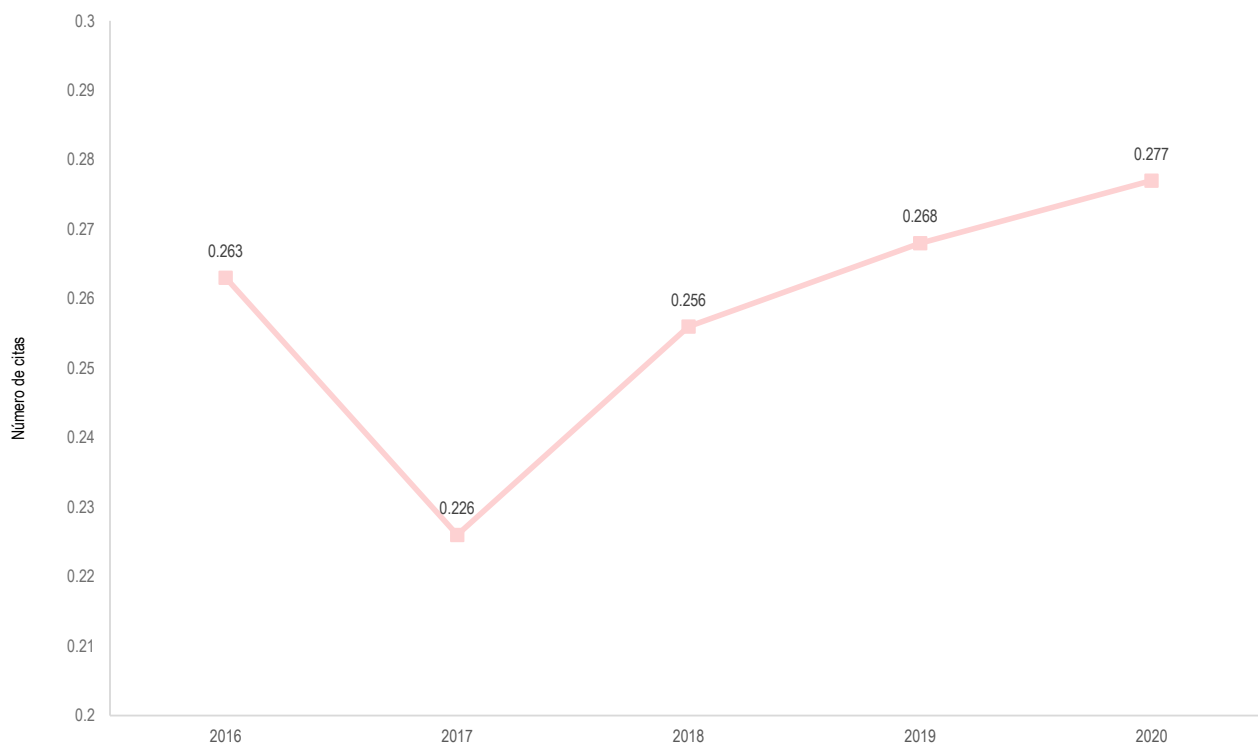
Gráfico 9.3 Artículos recibidos de la Revista de Medicina Experimental y Salud Pública, período 2015-2020



Fuente: Instituto Nacional de Salud (INS), Oficina General de Información y Sistemas, Oficina Ejecutiva de Información y Documentación Científica, Unidad de Publicaciones

Elaboración: Oficina Ejecutiva de Estadística e Informática - OGIS

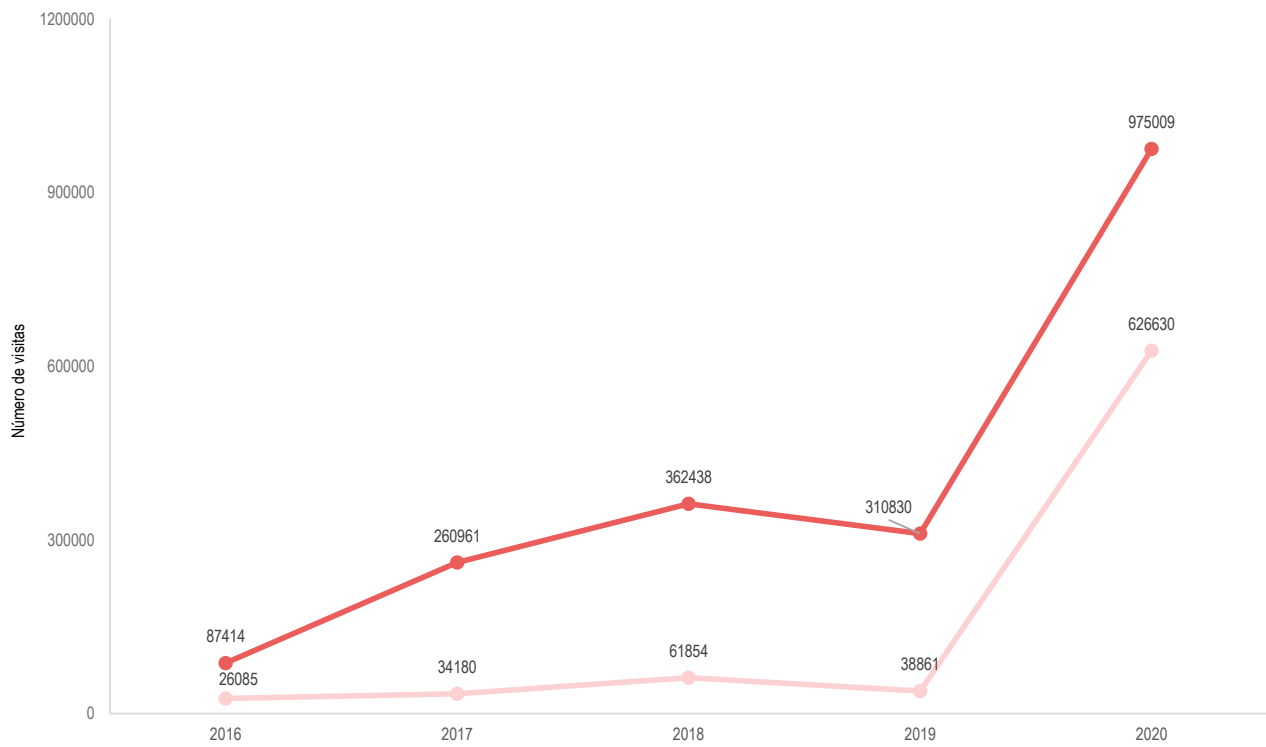
Gráfico 9.4 Evolución del indicador del Scimago Journal Rank (SJR) de la Revista Peruana de Medicina Experimental y Salud Pública, periodo 2016-2020.



Fuente: Instituto Nacional de Salud (INS), Oficina General de Información y Sistemas, Oficina Ejecutiva de Información y Documentación Científica, Unidad de Publicaciones

Elaboración: Oficina Ejecutiva de Estadística e Informática - OGIS

Gráfico 9.5 Número de visitas y descargas de la Revista de Medicina Experimental y Salud Pública, período 2016-2020.



Fuente: Instituto Nacional de Salud (INS), Oficina General de Información y Sistemas, Oficina Ejecutiva de Información y Documentación Científica, Unidad de Publicaciones

Elaboración: Oficina Ejecutiva de Estadística e Informática - OGIS

Cuadro 9.14 Accesos realizados a las principales páginas del portal web del Instituto Nacional de Salud (INS), 2020

Año	Enero	Febrero	Marzo	Abril	Mayo	Junio	Julio	Agosto	Setiembre	Octubre	Noviembre	Diciembre
TOTAL	13,028	15,764	18,338	28,055	30,312	25,766	26,996	28,097	32,488	26,561	30,333	22,340
Noticias	8,855	11,523	74,460	111,584	181,467	274,354	382,539	388,117	194,961	134,932	124,667	231,209
Acerca del INS	3,780	4,390	12,570	11,971	24,008	33,614	23,881	20,845	13,841	11,526	10,045	14,582
Acerca de CENAN	1,933	1,918	2,027	2,290	3,629	2,486	2,476	7,636	5,931	3,553	2,299	3,762
Acerca del CENSOPAS	540	684	698	825	3,261	16,396	10,293	4,816	2,501	1,940	1,678	3,524
Acerca de la OGITT	604	827	1,119	1,069	1,493	-	2,088	2,697	1,607	1,235	1,130	1,772
Acerca del CNCC	289	352	-	-	-	-	-	-	-	-	-	-
Acerca del CNSP	332	399	1,174	1,017	1,468	-	1,881	-	-	-	-	1,468
Sistema de información de laboratorios NETLAB	2,223	1,934	12,613	9,427	12,450	13,909	8,049	9,618	6,510	5,826	7,927	7,317
CNSP - Laboratorio covid-19	-	-	-	-	-	-	-	1,849	2,453	3,850	5,697	1,576
CNSP - Cómo hacer prueba rápida	-	-	-	-	-	25,937	43,833	32,299	10,473	8,510	5,248	15,083
Sistema de información del estado nutricional SIEN	1,103	1,318	-	-	-	-	-	-	1,591	2,684	-	1,556
CENAN - Recetas y refrigerios	-	449	-	853	-	-	-	-	1,518	-	-	-
CENSOPAS - Plan para vigilancia de COVID19 en el trabajo	-	-	-	-	-	3,014	46,758	23,635	12,029	8,480	8,544	17,236
CENSOPAS - Normatividad	433	504	-	-	1,484	-	-	-	-	-	1,108	-
CENSOPAS - Análisis de laboratorio	577	588	-	-	-	-	-	-	-	-	-	-
OGITT - Convocatoria investigación covid-19 INS 2020	-	-	-	-	2,819	-	-	-	-	-	-	-
OGITT - Prioridades de investigación	657	487	945	-	-	-	-	-	-	1,349	-	-
CENSI - Medicina tradicional	783	1,235	1,176	3,540	10,474	6,968	18,061	4,469	9,852	5,193	3,131	5,098
CENSI - Jardín botánico	305	368	-	-	-	-	-	-	-	-	-	-
Indicadores estadísticos - Pruebas realizadas para el diagnóstico	-	-	4,855	2,840	2,422	2,881	2,673	16,547	8,739	7,553	7,152	9,997
Convocatoria de personal CAS	2,119	2,194	3,507	1,961	4,078	2,911	3,215	-	4,078	1,331	7,710	-
Solicitud de acceso a la información pública	-	-	-	-	-	-	16,841	7,580	3,411	2,303	2,524	5,215
Cursos y eventos	4,069	4,561	984	-	-	3,055	-	-	5,602	4,551	7,875	1,725
Catálogo de precios de productos y/o servicios	277	-	-	-	-	2,173	2,107	-	-	-	-	-
Sistema de trámite documentario	542	378	-	-	2,301	-	-	-	-	-	-	-

Fuente: Instituto Nacional de Salud (INS), Oficina General de Información y Sistemas, Oficina Ejecutiva de Estadística e Informática

Elaboración: Oficina Ejecutiva de Estadística e Informática - OGIS

Cuadro 9.17 Número de publicaciones COVID-19 según filiación, Instituto Nacional de Salud (INS). 2020

Mes	Número de artículos COVID-19
Total	19
Enero	0
Febrero	0
Marzo	2
Abril	1
Mayo	3
Junio	3
Julio	1
Agosto	4
Septiembre	1
Octubre	3
Noviembre	0
Diciembre	1

Fuente: Instituto Nacional de Salud, Oficina General de Información y Sistemas, Oficina Ejecutiva de Información y Documentación Científica

Elaboración: Oficina Ejecutiva de Información y Documentación Científica - OGIS

Cuadro 9.18 Número de alertas bibliográficas sobre COVID-19, 2020

Mes	Número de alertas
Total	193
Enero	7
Febrero	27
Marzo	27
Abril	21
Mayo	5
Junio	21
Julio	18
Agosto	18
Septiembre	12
Octubre	18
Noviembre	10
Diciembre	9

Fuente: Instituto Nacional de Salud (INS), Oficina General de Información y Sistemas, Oficina Ejecutiva de Información y Documentación Científica

Elaboración: Oficina Ejecutiva de Información y Documentación Científica - OGIS

Cuadro 9.18 Número de accesos al Boletín Institucional 2020

Mes	Número de accesos
Total	19493
Enero	651
Febrero	734
Marzo	1344
Abril	1211
Mayo	1765
Junio	1705
Julio	1747
Agosto	1087
Septiembre	2071
Octubre	2693
Noviembre	2737
Diciembre	1748

Fuente: Instituto Nacional de Salud (INS), Oficina General de Información y Sistemas, Oficina Ejecutiva de Información y Documentación Científica

Elaboración: Oficina Ejecutiva de Información y Documentación Científica - OGIS



“INVESTIGAR PARA PROTEGER LA SALUD”



@INSPeru



INS_Peru



INS Peru



ins_peru_



INS_Perú

www.ins.gob.pe

Instituto Nacional de Salud

Jirón Cápac Yupanqui 1400, Lima 11, Perú

Av. Defensores del Morro 2268 - Chorrillos, Lima 9 - Perú

Central: 748-1111, 748-0000